



ИСТОРИЯ ОЗЕР СССР

ИСТОРИЯ  
ЛАДОЖСКОГО,  
ОНЕЖСКОГО,  
ПСКОВСКО-  
ЧУДСКОГО  
ОЗЕР,  
БАЙКАЛА  
И ХАНКИ



*Геошкола  
ИГУ им. А. Ф. Трешникова*



# ИСТОРИЯ ОЗЕР СССР

**Главный редактор**  
**академик А. Ф. Трешников**

Редакционная коллегия:

[Д. Д. КВАСОВ] (зам. гл. редактора),  
В. А. РУМЯНЦЕВ (зам. гл. редактора),  
Д. В. СЕВАСТЬЯНОВ (ученый секретарь),  
Г. И. ГАЛАЗИЙ, Н. Н. ДАВЫДОВА,  
М. В. КАБАЙЛЕНЕ, Г. Г. МАРТИНСОН,  
А. В. РАУКАС, О. Ф. ЯКУНИКО

*Ладожского  
Онежского  
Псковско-Чудского озер,  
Байкала и Ханки*

# ИСТОРИЯ ЛАДОЖСКОГО, ОНЕЖСКОГО, ПСКОВСКО-ЧУДСКОГО ОЗЕР, БАЙКАЛА И ХАНКИ

Редакционная коллегия:

**Д. Д. КВАСОВ** (отв. редактор),

Г. Г. МАРТИНСОН, А. В. РАУКАС



ЛЕНИНГРАД  
«НАУКА»  
ЛЕНИНГРАДСКОЕ ОТДЕЛЕНИЕ  
1990

УДК 551.80; 551.481.1

**История Ладожского, Онежского, Псковско-Чудского озер, Байкала и Ханки** (Серия: История озер СССР). Л.: Наука, 1989. 280 с.

Книга — четвертая в ряду продолжающегося издания, посвященного истории озер СССР, — содержит характеристику пяти крупнейших озер зоны избыточного увлажнения. Для каждого из них рассмотрены развитие представлений об истории озера, история древних береговых образований, строение донных отложений, тенденции развития природных процессов. Приводимые в книге материалы позволяют судить о возможных изменениях природы озер при разных вариантах развития климатических процессов и деятельности человека. Книга представляет интерес для геологов, географов и гидрологов. Библ. — 426 назв. Ил. — 66. Табл. — 3.

Р е ц е н з ен т ы:

Н. В. ТОЛСТИКОВА, В. А. ЗУБАКОВ

Р е д а к т о р и з д а т е л ь с т�а

Г. Л. КИРИКОВА

*Научное издание*

**ИСТОРИЯ ЛАДОЖСКОГО, ОНЕЖСКОГО,  
ПСКОВСКО-ЧУДСКОГО ОЗЕР, БАЙКАЛА И ХАНКИ**

*Утверждено к печати  
Институтом озероведения АН СССР*

Технический редактор М. Э. Карлайтис  
Корректоры Л. З. Маркова, М. К. Одипокова  
и Н. В. Романенкова

ИБ № 44162

Сдано в набор 24.12.89. Подписано к печати 3.08.90.  
Формат 60×90<sup>1</sup>/<sub>16</sub>. Бумага № 1 офсетная. Гарнитура  
обыкновенная. Печать офсетная. Фотонабор.  
Усл. печ. л. 17.50+2 вкладки (2 усл. печ. л.).  
Усл. кр.-отт. 19.50. Уч.-изд. л. 23.45. Тираж 850.  
Тип. зак. № 2231. Цена 4 р. 10 к.

Ордена Трудового Красного Знамени издательство  
«Наука», Ленинградское отделение.  
199034, Ленинград, В-34, Менделеевская лин., 1.

Ордена Трудового Красного Знамени  
Первая типография издательства «Наука».  
199034, Ленинград, В-34, 9 лин., 12.

И 1805040700-626  
042(02)-90 395-89, кн. 2

ISBN 5-02-024518-6

© Коллектив авторов, 1990

## ПРЕДИСЛОВИЕ

Настоящая книга — четвертая в ряду продолжающейся монографии «История озер СССР» — посвящена происхождению и развитию пяти крупнейших озер области избыточного увлажнения.

Самая длительная, а потому и наиболее богатая событиями история у Байкала — глубочайшего озера мира, возникшего в активно развивающейся рифтовой структуре земной коры и населенного представителями чрезвычайно богатой эндемичной фауны — прямой наследницы фауны древних озер внутренней Азии. В разрезе отложений Байкала отразились изменения климата и гидрологического режима на всем протяжении позднего кайнозоя. Крупнейший резервуар пресной воды, Байкал в последние годы остро нуждается в защите от загрязнения. Изучение прошлого озера позволит предвидеть, какие изменения можно ожидать в будущем.

Три крупнейших озера северо-запада Восточно-Европейской равнины — Ладожское, Онежское и Псковско-Чудское — сходны по происхождению и развитию. Они возникли около 12 тыс. лет назад (далее для краткости — л. н.) после отступления последнего оледенения в котловинах, созданных ледниковым выпахиванием, направление и глубина которого определялись литологией и особенностями залегания палеозойских, вендских и рифейских осадочных и метаморфических пород и строением кристаллического фундамента. До недавнего времени существовало предположение, что в поздне- или послеледниковые времена в озера проникали морские воды и, значит, сообщались между собой Балтийское и Белое моря. Теперь оно опровергнуто и доказано, что в котловинах всех трех озер существовали только пресноводные бассейны. На их развитие очень большое влияние оказало изостатическое поднятие, в результате которого Псковско-Чудское озеро постепенно увеличивает свои размеры, заливая южные берега. До геологически недавнего времени то же происходило и с Ладожским озером, но около 2 тыс. л. н. его воды перелились через водораздел между реками Мгой и Тосной, итогом чего явилось образование р. Невы, врезание которой вызвало резкое снижение уровня озера. Уменьшаются размеры и Онежского озера, а его северное побережье постепенно осушается.

В результате хозяйственной деятельности человека в последние годы Ладожское, Онежское и Псковско-Чудское озера оказались под угрозой сильного загрязнения, вызванного поступлением загрязняю-

щих веществ как непосредственно в озера, так и со стоком впадающих в них рек. Несмотря на широкий размах работ по охране природы озер, проблема борьбы с их загрязнением еще ждет своего решения. Исследования истории озер должны помочь планированию мероприятий по возвращению их к состоянию, предшествовавшему началу загрязнения их вод.

Находящееся на юге Дальнего Востока оз. Ханка имеет длительную историю, но в современном обличье оно возникло относительно недавно в результате образования на севере Ханкайской котловины «аллювиальной плотины», сформированной наносами рек Уссури и Мулинхе, выше которой образовалось обширное мелководное озеро.

О каждом из пяти озер собрано довольно много материалов: здесь и данные по геологическому строению и рельефу дна, геоморфологии береговой зоны, озерным отложениям, сведения о путях проникновения в озера флоры и фауны. Однако все они до сих пор слабо увязывались между собой. Предлагаемая вниманию читателей монография — первый опыт комплексного подхода к изучению истории пяти крупнейших озер Северной Евразии.

# Часть I

## ЛАДОЖСКОЕ ОЗЕРО

---

### Глава I

#### ПРИРОДНЫЕ ОСОБЕННОСТИ ОЗЕРА

Ладожское озеро с площадью 17 680 км<sup>2</sup> — одно из крупнейших в мире и крупнейшее в Европе — имеет форму несколько расширяющегося к югу четырехугольника, длинная ось которого направлена с северо-северо-запада на юго-юго-восток. Береговая линия, в северной части озера причудливо извилистая (от г. Приозерска до пос. Салми) и образующая множество небольших заливов, напоминающих шхеры северного берега Финского залива, в целом составляет 1570 км (Черняева, 1966). Вблизи северного побережья сосредоточено большое число островов, а южнее — целые скалистые архипелаги. Наиболее известный из них — Валаамский. На южном и юго-восточном берегах находятся три больших открытых залива: Петропрость, Волховская губа и Свирская губа.

Наибольшая глубина — 228 м, глубины более 100 м характерны для северной части озера (к ССЗ от линии о-в Коневец—о-в Мантсинсари), к тому же отличающейся резкими их перепадами на небольших расстояниях. По направлению к южному берегу глубины постепенно уменьшаются, а дно становится более ровным. Средняя глубина озера составляет 51 м, объем его водной массы — 908 км<sup>3</sup>.

По данным наблюдений за 1859—1980 гг., средний уровень Ладожского озера равен 4.68 м, амплитуда его колебаний — 3.16 м, наивысший уровень, отмеченный в июне 1924 г., — 6.64 м, а самый низкий — в феврале 1942 г. — 3.48 м. В последние годы наблюдаются относительно низкие уровни, что связано, возможно, с понижением отметки порога стока в верхнем течении р. Невы, где проводились работы по углублению судоходного форватора. Годовой ход уровня Ладоги довольно плавный, со средней разницей между экстремальными отметками 48 см. Минимальные уровни обычно наблюдаются в январе, а максимальные — в июне.

Основная часть (81 %) водосборного бассейна озера общей площадью 258 600 км<sup>2</sup> приходится на водосборы трех главных притоков: Свирь, Вуоксы и Волхова. Свирь вытекает из Онежского озера, Вуокса — из оз. Сайма, Волхов — из оз. Ильмень. Вытекает из Ладожского озера р. Нева, впадающая в Финский залив Балтийского моря.

Водный баланс озера оценен по данным наблюдений за 1853—1980 гг. Приходная часть баланса складывается из притока, поступающего через реки и ручьи и составляющего, по средним многолетним данным,  $7.13 \text{ км}^3$ , и атмосферных осадков объемом  $11.6 \text{ км}^3$  (656 мм). Основная часть притока поступает по рекам Свири (34 %), Вуоксе (27 %) и Волхову (23 %) (Кириллова, 1984). Подземный приток в силу своей незначительности не учитывается в расчетах. Расходная часть баланса включает испарение с водной поверхности ( $7.2 \text{ км}^3$ , или 405 мм) и сток по р. Неве ( $75.7 \text{ км}^3$ ).

Водные массы глубин озера отличаются постоянно низкими температурами, зимой распространяющимися на весь его объем. Весной в первую очередь прогреваются прибрежные районы, и на их границе с холодноводной центральной частью озера возникает термический бар, который постепенно перемещается все дальше от берегов. Разница температур по разные стороны термического бара иногда достигает  $20^\circ$ . К середине июля прогревается вся поверхность озера, а в августе ее температура достигает  $16^\circ$  (Тихомиров, 1962).

Воды Ладожского озера имеют очень низкую минерализацию — в среднем 62 мг/л. В составе растворенных веществ преобладают гидрокарбонатные ионы и ионы кальция. В последние годы в результате хозяйственной деятельности человека возросло поступление в озеро фосфора, азота, нефтепродуктов и отходов деревообрабатывающей и целлюлозно-бумажной промышленности, поэтому остро встал вопрос и об охране вод от загрязнения.

На берегах Ладожского озера разворачивались многие события русской истории. Через озеро проходил путь из варяг в греки. В течение сотен лет Приладожье было ареной борьбы между Россией и Швецией. В годы Великой Отечественной войны через Ладогу осуществлялась связь с осажденным Ленинградом. Вблизи устья Волхова находится древнейший город Ладоги (Старая Ладога), и это название вместо более древнего — Нево — и укрепилось за озером.

В настоящее время Ладожское озеро имеет большое экономическое значение как источник водоснабжения Ленинграда. Оно — звено Волго-Балтийского водного пути, объект для рыболовства, а берега и острова используются как места отдыха.

Изучение истории озера позволит судить о том, какие изменения можно ожидать в ближайшие десятилетия при изменении природных условий, развитии хозяйственной деятельности и работ по охране природы.

## Глава 2

### РАЗВИТИЕ ПРЕДСТАВЛЕНИЙ ОБ ИСТОРИИ ОЗЕРА

В конце XVIII—начале XIX в. господствовали представления, что суши относительно недавно освободилась от вод «всемирного потопа» и озера не что иное, как его следы. Так, В. Зуев (1787, с. 2) на пути из Петербурга в Новгород

отметил «возвышения, представляющие будто пороги, лежащие через дорогу и содержащие один к другому параллельно. Они все, сколько можно приметить, лежат от запада к востоку и, кажется, соответственно берегам Финского залива и Ладожского озера, так что думать можно, не в сих ли рубежах в последнее время Ладожское озеро с Финским заливом соединялось». К. Рулье (1852, с. 91) писал, что «озера, в том числе Онежское, Ладожское, Чудское и многие другие, — ясные остатки того древнего моря, которое покрывало Северо-Запад России и соединяло Балтийское море с Белым».

В середине XIX в. существование в прошлом моря обосновывалось уже теорией Ч. Лайеля, согласно которой валуны были разнесены айсбергами. Эту точку зрения, казалось, подтверждали материалы по зоогеографии озерной фауны. С. Ловен (Loven, 1861), обнаружив в озерах Швеции холодолюбивую фауну морского происхождения, на этом основании утверждал, что Балтика, имевшая большую площадь, чем теперь, некогда была заливом Северного Ледовитого океана (сообщалась с ним через районы Белого моря и Онежского и Ладожского озер) и лишь недавно соединилась с Атлантикой.

Следующий этап изучения истории Ладоги ознаменован становлением ледниковой теории. Еще Ф. Б. Шмидт (Schmidt, 1865), писавший об оледенении Эстляндии, отмечал, что отложения с морскими раковинами встречаются только на небольших высотах, а выше залегают пресноводные отложения, свидетельствующие о существовании крупных озер. На этом основании категорически отрицалось Беломорско-Балтийское соединение. Идея соединения критиковалась также с гидробиологических позиций. О. А. Гримм (1877, с. 112) писал, что «соединение Балтийского моря с Белым, в смысле теории Ловена, никогда не существовало», а «ледниковые реликты» проникли в Балтику через цепь пресноводных бассейнов.

Пользуясь современной терминологией, можно сказать, что в 70-х—80-х годах прошлого века был доказан пресноводный характер Ладоги начиная с литоринового времени. Среднеголоценовые отложения Ладожского озера и погребенные под ними археологические стоянки (неолит) были подробно описаны А. А. Иностранцевым (1882), который отметил существование в недавнем геологическом прошлом высокого уровня Ладоги. Причины трансгрессии были установлены выдающимся шведским ученым Г. Де Геером (De Geer, 1893, с. 538): «Сток из Ладоги мог раньше происходить в районе Выборга. Позднее водная масса Ладоги из-за неравномерного поднятия была перемещена к югу, что привело к возникновению р. Невы. Такая точка зрения дает возможность найти удовлетворительное объяснение геологическим разрезам, описанным А. А. Иностранцевым. Слои с неолитическими памятниками образовались в начальный период трансгрессии. Углубление современного стока из Ладоги привело к падению ее уровня» (перевод со шведского Л. Р. Серебренного).

В конце XIX в. появились предположения о проникновении

в Ладогу морских вод в позднеледниковое время. Г. Де Геер (De Geer, 1896) считал, что после отступления ледника в Балтийской, Ладожской, Онежской и Беломорской котловинах существовало «ледниковое море». Это море вскоре стали называть Йольдиевым. Однако, как писал Г. Де Геер, морской моллюск *Portlandia (Yoldia) arctica* в Балтийскую и другие котловины не проникал, а в восточной части Средне-Шведского пролива, соединявшего Северное море с Балтийским бассейном, встречался не более ста лет. Это свидетельствовало о почти полной пресноводности «ледникового моря». Его береговая линия («верхняя морская граница») была описана Ю. Айлио (Ailio, 1915) на территории, окружающей Ладожское озеро. Отметки этой береговой линии составляли около 50 м абсолютной высоты. При таких условиях Ладога свободно сообщалась с Балтикой, и от Карельского перешейка оставался только небольшой остров.

Ю. Айлио (Ailio, 1915) развил упоминавшиеся выше идеи Г. Де Геера (De Geer, 1893) о ладожской трансгрессии и образовании р. Невы. Была подробно изучена древняя береговая линия, образовавшаяся во время трансгрессии. Отметки гребней береговых валов составляли около 18 м в южной части озера и 20–21 м в северной. Для датирования трансгрессии изучались стоянки, образовавшиеся до и после максимума трансгрессии. Ю. Айлио считал, что Ладожское озеро достигло максимального уровня (на южных берегах) около 4 тыс. лет назад, когда и образовалась р. Нева.

Исследования истории выделенного Г. Де Геером (De Geer, 1896) «ледникового моря» (Ramsay, 1917) показали, что «верхняя морская граница» на побережьях Финского залива и Ладожского озера в действительности представляет собой береговую линию позднеледниковых пресноводных бассейнов, которые были объединены под названием Балтийского Ледникового озера. После отступления ледника из Средней Швеции (от горы Биллинген) его уровень упал на 28 м и стал равен существовавшему тогда уровню океана. Соленые воды через Средне-Шведский пролив проникли в Балтийскую котловину, и образовалось пребореальное Йольдиевое море. Вопрос о его проникновении в Ладожскую котловину (через северную часть Карельского перешейка) оставался открытым. Но дальше на восток Йольдиевое море во всяком случае не проникало, и, следовательно, не существовало Беломорско-Балтийского соединения.

Для района окрестностей Ленинграда эти взгляды были конкретизированы в работах В. Рамзая (Ramsay, 1928) и К. К. Маркова (1931). Последнему пришлось отстаивать их в ходе длительной дискуссии с С. А. Яковлевым (1925–1926). Вопрос о Беломорско-Балтийском соединении продолжал дискутироваться. Поскольку было доказано отсутствие соединения в пребореальное время, было выдвинуто предположение о существовании в аллере́де так называемого I Йольдиевого моря (Марков, 1933–1935), доказательством чему послужили обломки морских диатомей, которые иногда находили в позднеледниковых отложениях.

В 30-х–40-х годах продолжалось изучение береговой линии

ладожской трансгрессии (Марков и др., 1934; Марков, 1949). На севере озера была найдена также береговая линия антиловой трансгрессии, расположенная на несколько метров выше берега ладожской (Нуурра, 1943).

В последние годы изучена стратиграфия донных отложений Ладоги (Давыдова, 1965; Абрамова, Давыдова, 1966; Абрамова и др., 1967а, 1967б; Квасов, 1975; Давыдова, 1985). С помощью спорово-пыльцевого анализа был определен возраст отдельных горизонтов отложений, а с помощью диатомового анализа — экологические условия бассейнов, в которых они формировались. Во всех горизонтах начиная с позднего триаса была встречена диатомовая флора, свойственная крупным холодноводным пресным озерам и представители которой и поныне обитают в Ладоге. Тем самым было доказано, что в Ладогу не проникали воды пребореального Йольдиевого моря. Эта точка зрения находится в соответствии с данными Е. Хюния (Нуурра, 1963, 1966): из составленного им спектра террас Балтики следует, что уровни Йольдиевого моря были низкими и оно не могло распространяться восточнее Карельского перешейка.

На основе анализа сведений о находках морских диатомей в позднеледниковых отложениях Приладожья (Квасов и др., 1970) был сделан вывод, что все они переотложены из межледниковых мгинских отложений. Таким образом, вопрос о существовании I Йольдиевого моря и позднеледникового Беломорско-Балтийского соединения был окончательно закрыт.

Неследующие работы по истории Ладожского озера отражены в настоящей книге. Следует отметить, что большое внимание уделялось происхождению озерной котловины (Квасов, 1976; Ладожское озеро, 1978), четвертичным отложениям, истории оледенения Приладожья (Геоморфология..., 1969) и истории Ладоги по данным о распространении озерной фауны (Кудерский, 1961). Об этих работах речь пойдет в соответствующих разделах книги.

### Глава 3

#### ПРОИСХОЖДЕНИЕ И РАЗВИТИЕ ОЗЕРНОЙ КОТЛОВИНЫ

##### Рельеф озерной котловины

Впадина Ладожского озера располагается в цепи депрессий, ограничивающих юго-восточную периферию Фенноскандии, занимая место между Финским заливом на юго-западе и котловиной Онежского озера на северо-востоке. Котловина Ладоги вытянута в направлении северо-северо-запад — юго-юго-восток, а большая и малая ее оси соотносятся как 5 : 3.

По своим морфологическим особенностям котловина резко разделяется на меньшую по площади северо-западную и большую юго-восточную части, граница между которыми проходит приблизительно по линии Приозерск—Ууксу. В северо-западной части озера на побережье под четвертичными отложениями нахо-

дятся породы кристаллического фундамента, а под акваторией — рифейские осадочные и вулканогенные породы; в юго-восточной части и на побережье, и в пределах акватории распространены вендинские и нижнепалеозойские осадочные породы.

Для территории Северного Приладожья в целом характерен сельговый рельеф. Вытянутые гряды-сельги представляют собой, как правило, отпрепарированные денудацией системы изоклинальных складок метаморфических пород фундамента. На побережье такого рода образования формируют шхерный тип берега; сложенные кристаллическими породами, вытянутые полуострова и острова разделены узкими глубокими впадинами, которые в пределах суши завершаются глубоко вдающимися в нее заливами фьордового типа. В западной части Северного Приладожья преобладают линейные формы, ориентированные в направлении северо-запад—юго-восток; в восточной части ориентировка гряд и разделяющих их линейных депрессий приближается к меридиональной. Возникшие в отдаленном геологическом прошлом разрывные нарушения, имевшие следствием образование небольших блоков фундамента, в рельефе отражены в виде вытянутых мысов, переходящих в цепочки островов, разделенных глубокими и узкими проливами.

Формы рельефа береговой зоны северной части Ладоги продолжаются в рельефе ее дна. Здесь много островов, между которыми глубины иногда превышают 200 м. В центральной части озера крупнейшими являются острова Валаамского архипелага, а в восточной — архипелага, объединяющего острова Лункулансири и Мантсисари.

К югу от линии Приозерск—Ууксу рельеф дна и берегов озера становится более спокойным; глубины от 80—130 м уменьшаются до 60—100, а затем до 50—60 м. В средней части озерной котловины, лежащей между упомянутой линией Приозерск—Ууксу и линией Никулясы—устье р. Олонки, ориентировка форм донного рельефа сохраняет свою параллельность большой оси озера, но рельеф становится менее расчлененным: слабо вытянутые подводные возвышенности с вершинами на глубине от 30 до 60 м разделены здесь депрессиями дна, рисуемыми 70-метровой изобатой. К юго-востоку от линии Никулясы—устье р. Олонки в направлении южного берега озера отмечается равномерное пологое поднятие дна от 60 до 20 м. 10-метровая изобата обрисовывает выступы коренного берега.

За пределами развития шхер как на западном, так и на восточном побережьях озера его берега отличаются выровненностью, повсеместным преобладанием отлогих аккумулятивных берегов с неширокими песчаными пляжами, продолжающимися в глубь суши четко выраженными сериями береговых валов. Наиболее полные серии последних известны в границах Нижне-Свирского государственного заповедника на восточном и в Тайполовском заливе — на западном побережьях озера.

На южном побережье озера далеко выступающие к северу полуострова Волкосарский и Сторожно, сложенные устойчивыми к

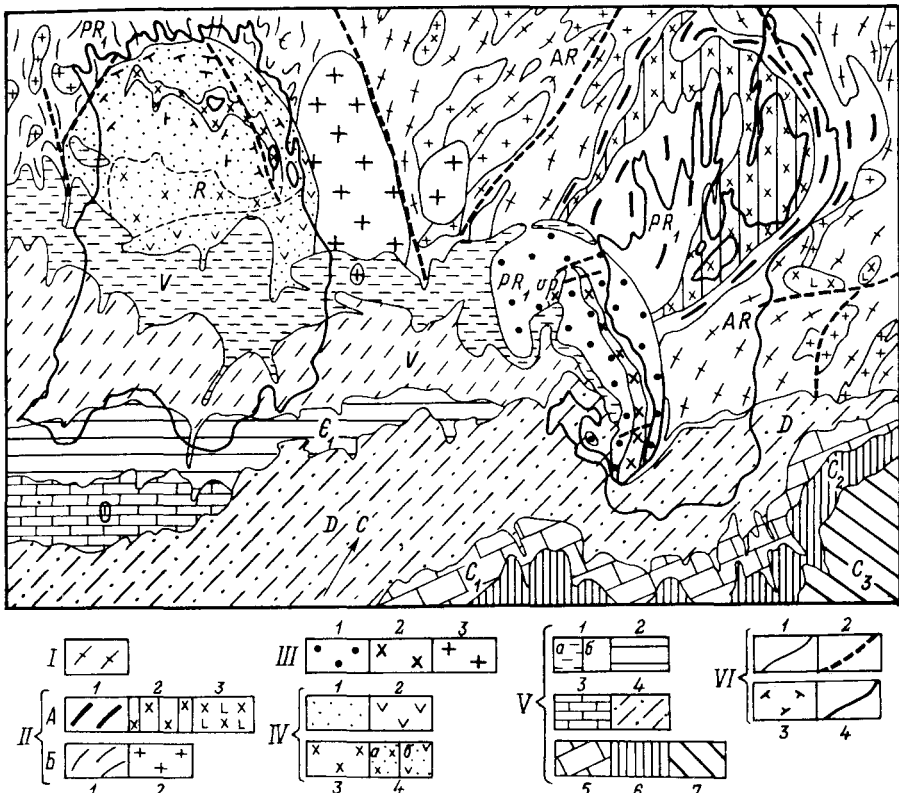
абразии разностями палеозойских пород, разделяются глубоко вдающими ся в сушу мелководными заливами (Петрокреность, Волховская и Свирская губы). В пределах этих заливов в формировании донного рельефа значительную роль играют аллювиальные образования, представляющие собой выносы крупных рек — Волхова, Паши, Ояти и Свири, заметно нивелирующие дно и формирующие прибрежные аккумулятивные формы дельтового типа.

### **Возникновение озерной котловины**

Существует мнение, что котловина возникла в результате дифференцированных тектонических движений, происходивших в позднем геологическом прошлом. Этому мнению, однако, противоречит плавный ход изобаз изостатического поднятия, которые окружают динамический центр последнего ледникового покрова в Фенноскандии. Вероятно, дифференцированных движений не было в поздне- и послеледниковое время, как и в более отдаленном геологическом прошлом. В той части Восточно-Европейской платформы, которую занимает южное Приладожье, осадочный чехол (вендинские и палеозойские отложения) имеет почти горизонтальное залегание с очень слабым уклоном на юго-восток (рис. 1, 2). В слоях осадочных пород здесь практически нет складок и разломов (Малаховский, Грейсер, 1987). Это показывает, что дифференцированных тектонических движений здесь не было начиная с венда. Отдельные небольшие структуры обычно захватывают только верхнюю часть осадочного чехла. Подробное изучение этих структур показало, что все они являются гляциодислокациями или отторженцами (Малаховский, Саммет, 1982).

Остается признать, что основная роль в возникновении рельефа Приладожья и Ладожской котловины принадлежит процессам денудации. В конце палеозоя, в мезозое и кайнозое здесь была суша, которая подвергалась размыву водами протекавших по ней рек. В четвертичное время через Приладожье несколько раз продвигались ледники. Помимо ледникового выщахивания происходило также накопление ледниковых отложений. Все это создало основные черты современного рельефа, который в поздне- и послеледниковое время был лишь незначительно видоизменен процессом осадконакопления в озере, а также под воздействием абразии и аккумуляции в ходе развития древних и современных берегов Ладоги.

Степень проявления процессов денудации зависела от литологии и тектонического строения тех районов, которые подвергались размыву или выщахиванию. Наибольшее сопротивление оказывали кристаллические и метаморфические породы, а за ними — известняки; наиболее легко поддавались разного рода воздействиям слои глин и песков. Таким образом, рельеф Приладожья в значительной степени предопределило его геологическое строение. Возвышенности находятся, как правило, в тех районах, где на поверхность выходят кристаллические породы или известняки, а понижения и котловины — в местах распространения рыхлых осадочных пород.



Через Ладожское озеро проходит граница Фенноскандинавского кристаллического щита и Восточно-Европейской плиты. К северо-западным, северным и северо-восточным берегам озера примыкает область распространения сложно дислоцированных метаморфических пород, возникших в архее и раннем протерозое. В пределах

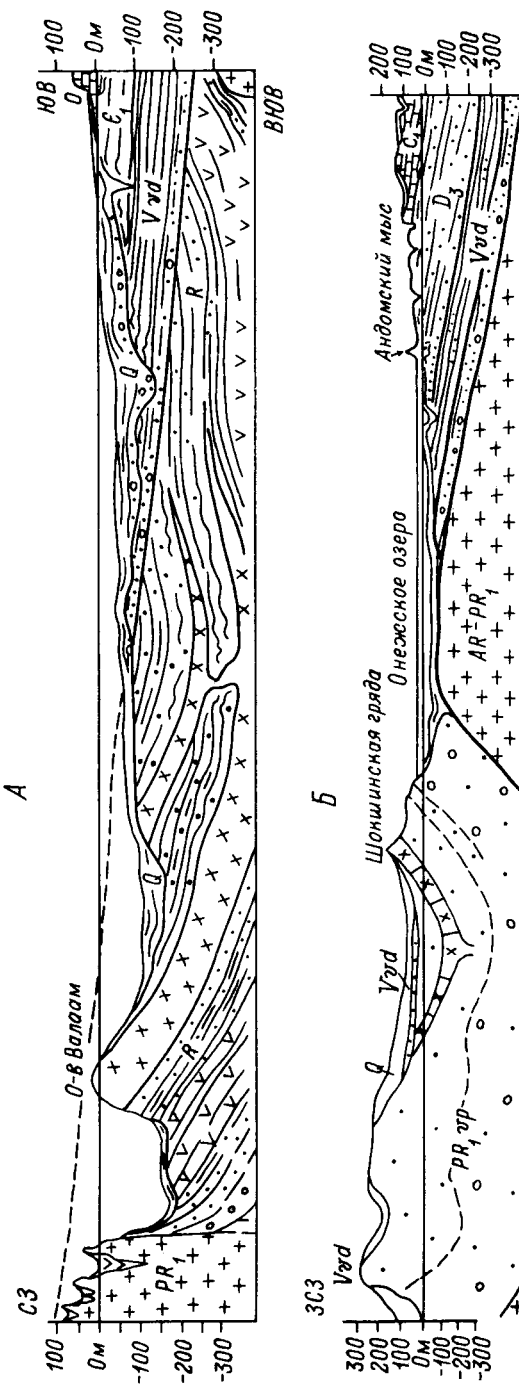


Рис. 2. Схематические геологические разрезы Ладожского (A) и Онежского (B) озер. Составил А. В. Амантов.  
Остальные обозначения те же, что и на рис. 1.

северной части Ладожской котловины, а местами также на берегах озера (район г. Приозерска) кристаллический фундамент находится на значительной глубине — здесь расположена Ладожская грабен-синклиналь, которая возникла в рифеях. Она заполнена красноцветными терригенными и вулканогенными отложениями, залегающими почти горизонтально (Ладожское озеро, 1978; Амантов, Спиридовонов, 1989), и не исключено, что они отлагались в озере, которое предшествовало современной Ладоге. Терригенные отложения прорваны пластовыми интрузиями.

На юге озера отложения Ладожской грабен-синклинали перекрыты вендским и палеозойским осадочным чехлом. В пределах южной части акватории распространены главным образом вендские, а у южного побережья — кембрийские отложения, представленные относительно рыхлыми терригенными породами. Вблизи южного берега Ладоги залегают ордовикские известняки.

Судить о развитии рельефа в течение позднего палеозоя, мезозоя и большей части кайнозоя не представляется возможным. Но установлено, что незадолго до начала четвертичного периода в Приладожье возникла сеть относительно узких и глубоких речных долин, тальвеги которых находятся на 100 и даже на 150 м ниже современного уровня моря (Квасов, 1975; Малаховский, Федоров, 1984). Главная долина, опоясывая край кристаллического щита, имела направление, примерно соответствующее очертаниям южного берега Ладоги. Притоки главной долины известны на Карельском перешейке, где они местами врезаны даже в кристаллические породы (район р. Вуоксы), на Онежско-Ладожском перешейке, в долине р. Мги. Не совсем ясен возраст долин, которые погребены под покровом четвертичных отложений и не выражены в рельефе. Предположительно их можно связать с планетарной регрессией Мирового океана, которая происходила в самом конце миоцена (мессинское время — 5—6 млн л. н.). В ходе геоакустического зондирования дна озерной котловины погребенные долины удалось обнаружить и под акваторией южной части Ладожского озера (Давыдова и др., 1986). Существование древних каньонообразных долин в Приладожье совершенно определенно свидетельствует о том, что в дочетвертичное время озерного бассейна в этом районе не существовало.

В четвертичное время через Приладожье неоднократно продвигалась на юг одна из лопастей Скандинавского ледникового щита. Первоначально ее направление определялось рельефом, а район Ладожской рифейской грабен-синклинали, вероятно, в то время был относительно понижен по сравнению с окружающими районами распространения метаморфических пород. В дальнейшем ледниковое вынуживание осадочно-вулканогенных пород, заполнивших грабен-синклиналь, сильно увеличило контрастность рельефа. Через миллиард лет существовавшая в рифеях котловина частично восстановилась. Места интрузий, прорывающих рифейские отложения, положили начало скалистому Валаамскому архипелагу и другим островам северной части Ладожского озера. В промежутках между ледниковыми лопастями происходило накопление ледни-

ковых отложений и возникали так называемые островные возвышенности. Они есть к западу и к востоку от Ладожской ледниковой лопасти — это Центральная возвышенность Карельского перешейка и западная часть Олонецкой возвышенности (ее восточная часть представляет собой выход иотпийских кварцитонесчаников).

Северная часть Ладожского озера находится в той зоне Скандинавского ледникового щита, где вытачивание было наибольшим (Квасов, 1976). К ней относятся также Норвежский желоб Северного моря и залива Скагеррак, Эландская и Готландская впадины Балтийского моря, западная и центральная части Финского залива, северная часть Онежского озера и Кандалакшская губа Белого моря. Здесь движущийся лед впервые соприкасался с ложем ледника и насыпался моренным материалом.

В следующей зоне лед, уже насыщенный моренным материалом, производил значительно меньшее вытачивание. К этой зоне относится южная часть Ладожского озера, а также южные части Балтийского моря и Онежского озера и юго-восточная часть Белого моря. В южном Приладожье значительное сопротивление вытачиванию оказали ордовикские известняки, залегающие с очень небольшим падением на юго-восток. В результате образовался крутой уступ-куэста, продолжающий Балтийский Глинт, который окаймляет южное побережье Ладожского озера.

В ранне- и среднечетвертичное время в Ладожской котловине несомненно существовали приледниковые озера, но их отложения были уничтожены последующими оледенениями. Во время последнего межледникового (микулинское, рисс-вюргмское, земское) в бассейн Ладоги проникало Мгинское море (Геоморфология, . . ., 1969).

Особенно яркие следы в Ладожской котловине оставило последнее оледенение (валдайское). С ним связано накопление большей части ледниковых и водно-ледниковых отложений и значительное вытачивание.

### **Развитие котловины во время межледниковых**

В ходе бурения на берегах Ладожского озера найдены отложения приледниковых озер, существовавших в конечные периоды среднечетвертичных оледенений. Наибольший интерес представляет разрез у г. Приозерска, где скважинами вскрыты четвертичные отложения мощностью до 180 м, залегающие на рифейских песчаниках. Под мгинскими морскими осадками залегает толща глин мощностью около 100 м, которая в ряде интервалов содержит органику. Литологический состав отложений, а также данные диатомового анализа свидетельствуют о существовании глубокого пресного озера, в развитии которого отмечаются два межстадиальных ритма. Во время второго из них глубины озера значительно уменьшились (Усикова и др., 1970).

По данным спорово-пыльцевого анализа, озерные отложения сформировались на конечных этапах среднечетвертичного оледенения. Во время первого потепления на берегах озера произрастали

березово-сосновые разреженные леса, которые потом сменились перигляциальной растительностью; во время второго распространились елово-сосновые леса, а позднее разреженные березовые леса.

Во время последнего (микулинского) межледниковых на территории Приладожья проникло Эзмское море, в этих районах больше известное под названием «Мгинское море» (по разрезу на р. Мге, где впервые были обнаружены его отложения). На территории Ленинграда и его окрестностей, а также в Приладожье отложения Мгинского моря в свое время были распространены повсеместно. Имея достаточно характерный облик, они легко опознаются в керне буровых скважин, но обнаружить их удалось лишь в ограниченном числе пунктов. В подавляющем большинстве случаев мгинские отложения уничтожены экзарацией во время валдайского оледенения, но ряд разрезов частично уцелел. Отторженцы мгинских отложений встречаются на расстоянии более 200 км от южных пределов распространения Мгинского моря. Характерный тому пример — разрез у хут. Эдази (район пос. Крестцы у подножия Валдайской возвышенности). В валдайских и голоценовых отложениях встречаются также обломки морских диатомей, переотложенных из мгинской толщи (Давыдова, 1985).

В большинстве случаев мгинская толща, местами мощностью 40 м (скв. у пос. Рыбацкое) сложена зеленовато-серыми или темно-серыми неясно слоистыми алевритами и глинями с пиритом и вивианитом и к тому же с запахом сероводорода и газопроявлениеми. Осадконакопление протекало с сублиторали, где, несмотря на теплый климат этого времени, существовала придонная холодная водная масса. Это обусловило своеобразный характер фауны моллюсков, среди которых ведущей была *Yoldia (Portlandia) arctica* — реликт времени окончания среднечетвертичного оледенения, сохранившийся в относительно глубоководных районах. Наряду с ней были широко распространены *Mytilus edulis*, *Cardium edule* и *Littorina littorea*. В совокупности с данными спорово-пыльцевого, диатомового и фораминиферового анализов наличие теплолюбивых моллюсков свидетельствует о том, что поверхностная водная масса Мгинского моря была достаточно теплой. В развитии мгинского бассейна удалось выделить фазы: марино-гляциальную (ленточные глины в разрезе на р. Мге и в скважине у пос. Рыбацкое), нижнюю лагуну, морскую фазу, верхнюю лагуну, верхнюю литораль.

Спорово-пыльцевой анализ позволяет уверенно сопоставлять мгинские морские и микулинские континентальные отложения, а также сравнивать климатические оптимумы микулинского (мгинского) межледниковых и голоцена. Сумма пыльцы широколиственных пород первого периода достигает 74 %, а второго не превышает 12—13 %. На долю пыльцы граба в отложениях микулинского времени приходилось до 35 %, а в отложениях голоцена — не более нескольких процентов.

Анализ расположения и высоты размеров мгинских отложений показывает, что Мгинское море не распространялось южнее Балтийско-Ладожского куэстового уступа (глинта), а его уровень зафиксирован

рован теперь на абс. высоте не более 15 м. По-видимому, центральная часть Карельского перешейка в мгинское время была островом. До сих пор не ясно, соединялись ли между собой морские бассейны, существовавшие тогда в Ладожской и Онежской котловинах. Беломорско-Балтийского морского соединения, возможно, не было не только в позднеледниковое, но и в межледниковые времена.

В начале валдайского оледенения на месте Мгинского моря образовались приледниковые озера. Отлагавшиеся в них ленточные глины залегают выше мгинских отложений на Карельском перешейке в районе оз. Суходольского (мощность глин 74 м) и у пос. Денисово (60 м), а также у пос. Синявино, что юго-восточнее г. Петрокрепость (35 м).

Неоднократно высказывались предположения о проникновении в средневалдайское время морских вод в район восточной части Финского залива и в Ладожскую котловину. Однако во всех изученных разрезах этого времени вскрыты только озерные отложения. Так, в районе пос. Молодежное на западном берегу Карельского перешейка средневалдайские озерные отложения встречены на 22 м ниже современного уровня моря. Они представлены тонкими пылеватыми слоистыми алевритами, сапропелем и торфом. Абсолютный возраст торфа  $45\,770 \pm 1160$  (ЛУ-673). Разрезы средневалдайских озерных отложений известны также во многих местах на побережье Финского залива и Ладожского озера.

### Позднеледниковая история озерной котловины

Ледники покинули Ладожскую котловину около 12 тыс. л. н. в ходе отступления ладожской лоны от краевых образований невской стадии валдайского оледенения. Уже 11.8–11.9 тыс. л. н. на севере котловины началось накопление ленточных глин (Вакхитов et al., 1987). Быстрому отступлению ледников, возможно, способствовало образование айсбергов в относительно глубоком приледниковом озере, существовавшем в Ладожской котловине.

Весьма вероятно, что современная глубоководная котловина северной Ладоги была заполнена мертвым льдом, смешанным с моренным материалом, который не давал льду всплывать (Давыдова, 1985). Если бы лед отсутствовал, котловина была бы заполнена флювиогляциальным материалом, который несли потоки талых ледниковых вод от гряд Салиусселья, на линии которых край ледника стабилизировался в течение позднего дриаса (11–10 тыс. л. н.). В это время в котловине отлагались ленточные глины. Местами они перекрывали мертвый лед, после таяния которого опустились на дно котловин, а их слои деформировались (Давыдова и др., 1986).

До недавнего времени считалось, что позднеледниковые террасы на побережье южной Ладоги оставлены Балтийским Ледниковым озером (Ramsay, 1928; Марков, 1931). Однако в последние годы установлено, что большая часть террас принадлежит самостоятельному приледниковому озеру, названному именем Рамзая, которое существовало до тех пор, пока ледники не отступили из района г. Раквере в Северной Эстонии (Квасов, Краснов, 1965, 1967; Квасов, 1975).

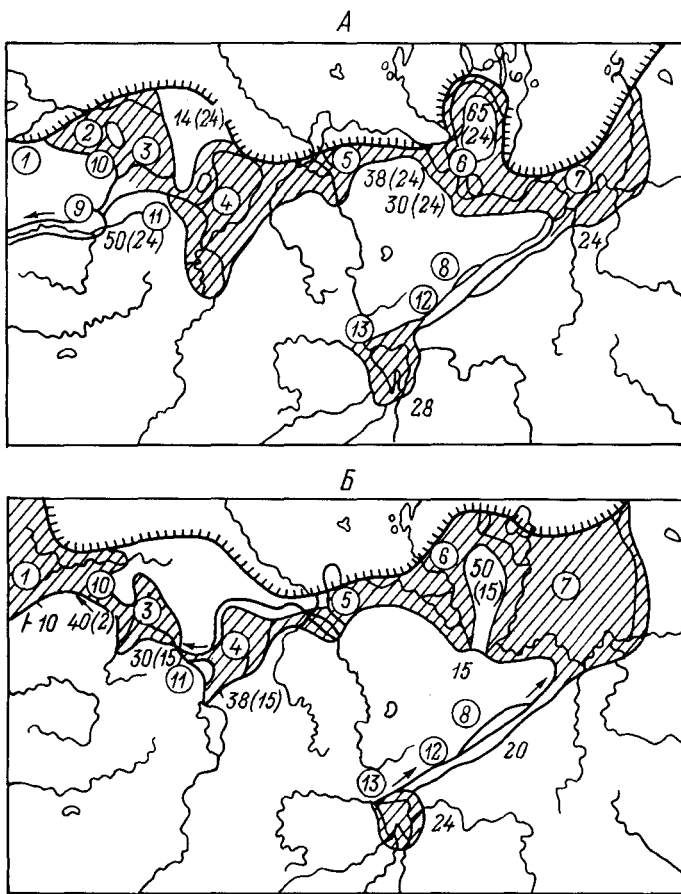


Рис. 3. Приледниковые озера Рамзая в начальный (A) и конечный (B) периоды развития (Квасов, 1975).

Цифры на рисунке: в кружках — древние озера [1 — Южно-Балтийское приледниковое озеро; 2—8 — плёсы озера Рамзая (2 — Кемь; 3 — Выртсъярвский, позднее — древнее оз. Выртсъярв; 4 — Чудского; 5 — Нижне-Лужский; 6 — Невский; 7 — Южно-Ладожский; 8 — Средне-Волховский (позднее — древнее Грузинское озеро); 9 — Валгаская сквозная долина; 10 — Вильяндийский пролив, позднее — сквозная долина; 11 — Тартуский пролив, позднее — сквозная долина; 12 — сквозная долина в районе пос. Концы; 13 — древнее оз. Ильмень]; без кружков — современная abs. выс. береговых линий приледниковых озер, в скобках — abs. выс. береговых линий приледниковых озер во время их существования.

В начальный период своего существования это озеро состояло из Южно-Ладожского, Невского, Нижне-Лужского, Чудского и Выртсъярвского плёсов и имело сток через район г. Валга в р. Гаю. Позднее, после отступления ледника от восточного берега Рижского залива, порог стока переместился в район г. Тарту (рис. 3). Уровень оз. Рамзая во время первой стадии находился в тектонически стабильных районах (юго-восточное побережье Ладоги) на отметке 24 м. В других районах эта береговая линия изостатическими движениями поднята к настоящему времени на высоту до 74 м (Цент-

ральная Эстония). Уровень оз. Рамзая во время второй стадии находился на отметке 15 м (район устья р. Свири). В других районах он поднят изостатическими движениями на высоту до 50 м (северный склон Центральной возвышенности Карельского перешейка).

После отступления ледника из Северной Эстонии уровень оз. Рамзая резко спизился, а его остатки вошли в состав Балтийского Ледникового озера. В северной части Карельского перешейка существовал пролив, соединявший основную акваторию Балтийского ледникового озера с его Ладожским заливом. Северное Приладожье до отметок около 50 м было затоплено, а южная часть современного дна Ладоги представляла собой сушу.

### **Изменения водосборного бассейна озера**

Основная часть водосборного бассейна Ладожского озера сформировалась к началу голоцене. В то время в Ладогу уже впадали Свирь, Волхов и другие реки, но р. Вуокса тогда еще не существовала.

Озеро Сайма, из которого теперь вытекает р. Вуокса, в бореальное и начале атлантического времени соединялось с расположенным западнее оз. Пляянне. Вся эта озерная система имела сток на северо-запад, в Ботнический залив, через порог стока Хинкуа (Aario, 1969). Поднятие порога стока привело к трансгрессии на юго-восточных берегах, и 5800 л. н. сток стал осуществляться через р. Кюминйоки в Финский залив. Река Вуокса образовалась 5000 л. н. (Saarnisto, 1970), после чего оз. Сайма стало самостоятельным бассейном. Именно тогда окончательно сложился современный водосборный бассейн Ладоги (Квасов, 1975).

Первоначально Вуокса впадала в Ладожское озеро, имевшее еще высокий уровень. После образования р. Невы на месте залива Ладоги возникли озера Вуокса и Суходольское (Суванто). В первое из них впадало верхнее течение р. Вуоксы. Сток из оз. Вуокса шел в Ладогу (устье у г. Приозерска), а часть вод поступала в Выборгский залив через порог стока Хейниоки (Вещево). Озеро Суходольское было отделено от Ладоги береговыми валами ладожской трансгрессии и имело весьма высокий уровень (около 17 м), а сток из него шел на северо-запад в оз. Вуокса.

В мае 1818 г. во время высокого стояния уровня оз. Суходольского крестьянами была прорыта канава для спуска вод озера в Ладогу. За несколько дней была промыта глубокая и широкая долина, а уровень озера снизился на 9 м. 17 сентября 1857 г. была сделана прорезь в перешейке между озерами Вуокса и Суходольское. В течение нескольких дней перешеек был размыт, уровень оз. Вуокса снизился на 2—3 м. Из-за увеличения расхода воды, вытекающей из оз. Суходольского, понизился также его уровень. В результате нижнее течение р. Вуоксы приобрело современные очертания. Сток из оз. Вуокса в Выборгский залив прекратился, а в Ладожское озеро через район г. Приозерска — сильно уменьшился. Основное течение р. Вуоксы

с тех пор проходит через оз. Суходольское (Кроноткин, 1876; Докучаев, 1878; Алио, 1915).

## Глава 4

### ДРЕВНИЕ БЕРЕГОВЫЕ ОБРАЗОВАНИЯ

#### Геоморфология береговой зоны

На побережье Ладоги остались следы геологически недавнего распространения озерных водоемов, многие из которых значительно превышали по своей площади и глубине современное Ладожское озеро. В северном Приладожье в пределах щерного берега встречаются отдельные абразионные террасовые поверхности, морфология которых в значительной степени повторяет элементы структуры кристаллических пород. Только в вершинах глубоко вдающихся в сушу заливов и на обращенных к побережью берегах островов наблюдаются изолированные аккумулятивные образования, с трудом сопоставляющиеся между собой по высоте. С приближением к границе платформы (южнее Приозерска на западном и Питкяранты на восточном берегу) повсеместное распространение получают аккумулятивные образования: террасы и серии береговых валов, занимающие значительные пространства в южном и юго-восточном Приладожье и заходящие далеко в глубь суши, особенно вдоль крупных рек — Олонки и Мергели, Свири, Паши, Ояти, Сяси, Волхова и Невы. На побережье озера последовательно (сверху вниз) отмечены древнебереговые образования, принадлежащие приледниковым водоемам: озерам Рамзая, Балтийскому Ледниковому, Анциловому и собственно Ладожскому.

Наиболее высокие уровни (от 70 до 110 м абсолют. выс.), обычно расположенные на значительном удалении от современной береговой линии, представлены фрагментарно, участки их развития разобщены и в результате гляциоизостатических деформаций значительно различаются по высотным отметкам.

Наиболее выдержаны по простиранию террасы оз. Рамзая. В южном Приладожье одна из них четко выражена, имеет ширину в несколько километров, окаймляет глинт и характеризуется отметкой тылового шва 25—28 м. Высота этой террасы увеличивается до 50—55 м на Карельском перешейке и в районе к северу от Олонца (Геоморфология..., 1969). Вблизи берега лестница позднеприледниковых террас наиболее отчетливо выражена на восточном побережье озера, в районе пос. Погран-Кондуши, где береговые линии отмечены в интервале высот 40—60 м.

Береговые образования Анцилового озера были сформированы во время одноименной трансгрессии Балтики, когда ее воды проникли в Ладожскую котловину через северную часть Карельского перешейка. Э. Хюпия (Нууррэ, 1943) установил, что береговая линия Анцилового озера наиболее выражена в северной и средней частях побережья, где она образует отчетливую ступень, превышающую по своим отметкам береговую линию времени максимума Ладожской

трансгрессии. В юго-восточном направлении в силу значительного перекоса, обусловленного интенсивным изостатическим поднятием на севере, анциловая терраса погребена под отложениями Ладожской трансгрессии. Тыловой шов анциловой террасы характеризуется отметками от 35.7 м у пос. Моторное до 31.2 м в депрессии оз. Суванто (Суходольское). На ее поверхности развиты галечниковые и валунно-галечниковые береговые валы, обычно отсутствующие на других террасах.

В качестве границы Ладожской трансгрессии на севере Ладоги Ю. Айлио (Ailio, 1915) рассматривал абрационную террасу, а далее на юго-восток — цепь аккумулятивных форм, следующих параллельно современному берегу озера на расстоянии 1—3 км и представленную серией береговых валов с отметками береговой линии 20—21 м в северной части и 18 м в южной части озера. Впоследствии К. К. Марков (1949), уточнив высоту этой береговой линии в южном Приладожье, понизил ее до 14—15 м. К такой трактовке границ трансгрессии присоединились О. М. Знаменская и Е. Н. Ананова (1967), Д. Д. Квасов и В. А. Назаренко (1970), М. Саарнисто и В. Сириайнен (Saarnisto, Siriainen, 1970). Между тем еще Б. Ф. Земляков (1932) на основании изучения Нягежемской неолитической стоянки, перекрытой отложениями трансгрессии, установил более высокое положение уровня трансгрессии в долине р. Свири — до отметки 23.2 м. Е. Г. Шеффер (1967), проследивший распространение древнеозерных отложений в южном Приладожье, также пришел к выводу о более высоком уровне трансгрессии, указывая предел ее распространения в интервале отметок 17—22 м.

Все это побудило нас осуществить непрерывное прослеживание береговых образований Ладожской трансгрессии. Более высокие из них представлены сочетанием песчаной аккумулятивной террасы с четким абрационным уступом, которые с перерывами выражены на значительном протяжении к юго-востоку от Питкяранты и далее по всему южному Приладожью. Эта береговая линия значительно отделена от современного берега озера и постепенно уменьшает свою высоту в юго-восточном направлении. Наиболее отчетлива она на следующих участках: на западном берегу — в долине р. Вьюн (20.1 м); на восточном — к югу от Питкяранты (20.1 м), на южном — в долине р. Оять (19.6 м), в долине р. Паши (19 м), в долине Волхова (19.2 м). Положение береговых линий в верховьях р. Невы намечено изображением береговых форм на карте К. К. Маркова (1931) по левому (18.9 м, на правом берегу р. Мги) и правому (18.9 м, к западу от пос. Новые Островки) берегам.

Отложения трансгрессии имеют мощность 1.5—2.5 м и в понижениях рельефа перекрывают торфяники, сформированные при более низком стоянии уровня озера, предшествовавшем началу трансгрессии. Трансгрессивное налегание отложений этой озерной террасы на торфяники отмечено в большом числе разрезов: в долине рек Ристиойя (пос. Аурико), Олонки (Нурмала, Старый Завод, д. Чимилица), Мегреги (Рыжула), Обжанки (руч. Ругойя), Свири (ур. Калач, а также в 1 км выше Лодейного Поля), Ояти (д. Чашковичи,

пос. Ленэнерго), Паши (Рыбежно, Усть-Рыбежно, Балдино). Сяси (Сясьские рядки, Оюка), Волхова, а также более мелких рек, впадающих в залив. Петропрепость (Кобона, Лава, Рябинка), в долине Невы (Невский пятачок), а по западному берегу Ладоги — в долине р. Вьюн.

Четко выраженные, преимущественно аккумулятивные образования, принимавшиеся ранее за границу максимального распространения трансгрессии, расположены на 4—4.5 м ниже наиболее высокой береговой линии и должны быть отнесены к более молодой, чем максимальная, второй стадии развития Ладожской трансгрессии. Для этой стадии характерна более четкая морфологическая выраженность образований — в виде непрерывной серии береговых валов, опоясывающих озеро на отметках до 14—17 м и блокирующих со стороны озера вытянутые вдоль его побережья болотные массивы и обширные лагуны. Береговые валы прослеживаются практически непрерывно начиная с пос. Койрипойя к северо-западу от Питкяранты и наиболее полные их серии представлены в районе пос. Тулокса и на правобережье р. Свири, в границах Нижне-Свирского заповедника. Наиболее мощный из этих валов выражен к югу от устья Свири, в осевой части п-ва Сторожино, а затем прослеживается в низовьях рек Воронежки, Сяси и Волхова, к западу от долины которого в пределах Волкосарского полуострова он известен под местным наименованием Коровий Хребет. На побережье залива Петропрепость вал выражен менее резко. Тем не менее он определенно прослеживается между Старо-Ладожским каналом и уступом глинта и вскрыт карьерами в долинах рек Рябинки и Назии.

На западном побережье озера признаки береговой линии второй стадии трансгрессии выражены также отчетливо и находятся на расстоянии 2.5—4 км от современного берега озера. Береговая линия следует подножию серии береговых валов на участке Ганнибаловка — пос. Трудовой. Далее валы поворачивают на запад, где на отрезке Ваганово—Борисова Грива отметка береговой линии составляет 15.3 м. Далее к северу валы этой генерации вновь простираются субмеридионально, ясно выражены в районе болота Соколье и прослеживаются далее по берегу Тайноловского залива. Еще дальше древний аккумулятивный берег протягивается в район пос. Моторное, где его положение фиксируется абразионным уступом в основании мощной аккумулятивной террасы.

И на западном, и на восточном берегах озера высота береговой линии уменьшается с северо-запада на юго-восток. Так, в низовьях р. Вьюн она составляет 17.9, у разъезда Карку — 17.6, в устье р. Тулоксы — 17.0, по р. Олонке — 16.1, в Кутлахте — 15.1, по р. Сясь — 15.0, на п-ове Сторожино — 14.1, у с. Шахново — 14.9 м. Природа рассматриваемой береговой линии устанавливается по отчетливо выраженному в разрезах трансгрессивному налеканию (нередко с размывом) отложений, участвующих в строении береговых валов, на подстилающие их осадки максимальной стадии трансгрессии. На отрезке от Питкяранты до Салми отмечен также самостоятельный горизонт погребенного торфа (Лак, Лукашов, Экман, 1978), более

молодого, чем в упомянутых выше пунктах за границами этой стадии трансгрессии. На более низких уровнях (10—12 м abs. выс.) во многих местах побережья прослеживаются еще одна—две террасы, по-видимому, сформированные в периоды непродолжительной стабилизации уровня водоема в ходе быстрого спада.

Спектр береговых линий Ладоги составлен по результатам их инивелирования (рис. 4). Видно, что в крайней северо-западной части озерной котловины, где береговые образования представлены фрагментарно, наблюдается значительный разброс точек, фиксирующих высотное положение отдельных частей древнего берега. Это затрудняет высотную корреляцию береговых линий. В пределах значительно большей по протяженности части побережья, от параллели Питкяранты до устья Волхова, береговые линии легко сопоставляются между собой и дают картину равномерно расходящегося пучка. При этом градиент наивысшей береговой линии Ладожской трансгрессии характеризуется значением 4 см/км, ниже расположенной трансгрессивной береговой линии — 3.2 см/км и дополнительной, сформированной в ходе регрессии, — 2.3 см/км.

Переходя к анализу плановых особенностей береговых образований Ладоги, следует указать, что береговая линия времени максимума Ладожской трансгрессии, глубоко заходящая в долины крупных рек, в совокупности с отрезками относительно спрямленной береговой линии второй трансгрессивной фазы образуют по периметру озера как бы ряд сегментов, в которых роль дуги играет береговая линия макси-

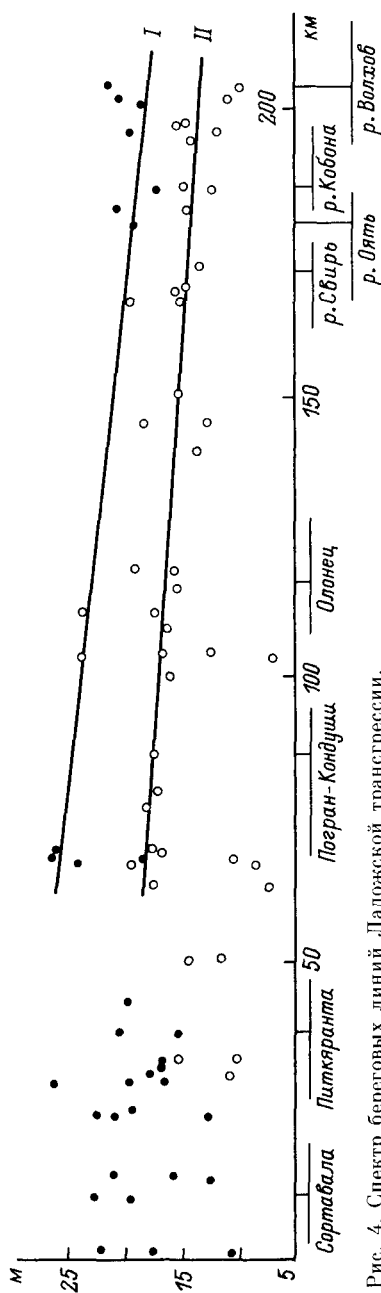


Рис. 4. Спектр береговых линий Ладожской трансгрессии.  
I — максимальная стадия (около 3700 л. н.); II — вторая стадия (около 2000 л. н.).

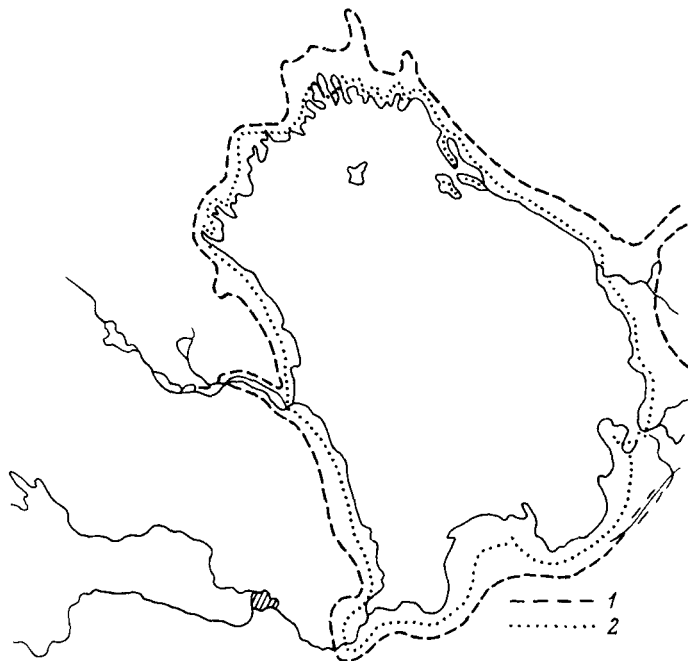


Рис. 5. Береговые линии Ладожской трансгрессии.

1 — максимальная стадия, 2 — вторая стадия.

мальной стадии трансгрессии, а хорды — отрезки более низкой и молодой береговой линии. Могут быть выделены Видлицкий, Олонецкий, Свирский, Сясь-Волховский и Мгинский сегменты (рис. 5).

### **Возраст береговых образований по радиоуглеродным и палинологическим данным**

Наиболее древние погребенные торфяники и перекрывающие их осадки встречены в разрезах западного побережья Ладоги — на р. Вьюн (Знаменская, Ананова, 1967), а в разрезах восточного побережья — в долинах рек Ристийя и Ууксу (Девятова, Какум, 1977). Эти образования характеризуются спорово-пыльцевым комплексом бореального времени — преобладанием пыльцы древесных пород, среди которой, чередуясь, доминируют пыльца сосны и березы, а также присутствием в малых количествах пыльцы широколиственных пород. Среди спор доминируют напоротникообразные. Озерные осадки содержат также характерный для Анцилового озера комплекс диатомовых с ведущими планктонными видами *Aulacosira islandica*, *A. granulata*, а также с представителями родов *Cymbella*, *Gomphonema*, *Epithemia*, *Navicula* (Лак, 1976, 1980). Подстилающий эти осадки в долине р. Ристийя автохтонный торф датирован радиоуглеродным методом  $8960 \pm 100$  и  $8610 \pm 100$  л. н. (Лийва

и др., 1971). Следует заметить, что во всех упомянутых разрезах рассматриваемые осадки расположены значительно ниже береговой линии Анцилового озера.

До последнего времени анциловые осадки отмечались исключительно в северной части озерной котловины, что согласуется с представлениями К. К. Маркова (1949) о распространении Анцилового озера лишь в северной и средней частях Ладожской котловины. При исследовании разрезов южного Приладожья недавно установлены озерные отложения, залегающие ниже погребенных торфяников, основание которых имеет радиоуглеродный возраст в интервале 5—7 тыс. л. н. и наряду с этим в разрезе урочища Калач на р. Свири озерные отложения залегают на торфяниках, для которых получены датировки  $8850 \pm 10$  (ЛУ-1938) и  $8750 \pm 100$  (ЛУ-1939) л. н.

Разрез на Свири исследовался еще К. К. Марковым (Марков и др., 1934, с. 87). По результатам спорово-пыльцевого анализа им был сделан вывод, что торфяник развивался начиная с преобреального времени, и, следовательно, субаэральные условия господствовали здесь на протяжении всего голоцене, вплоть до Ладожской трансгрессии. Основанием для заключения о преобреальном возрасте подошвы торфяника явилось высокое содержание пыльцы бересклета в нижних слоях. Однако большой процент содержащейся в этих же осадках пыльцы сосны, ели и ольхи ставит под сомнение такой вывод.

Сравнение опубликованной спорово-пыльцевой диаграммы (Марков и др., 1934) с диаграммой разреза Калач, полученной нами (рис. 6), показывает очень большое их сходство в части, касающейся верхнего горизонта торфа, имеющего суб boreальный возраст. Торфяник, описанный К. К. Марковым, скорее всего начал развиваться в начале суб boreального времени, а высокое содержание пыльцы бересклета объясняется местными условиями — появлением бересклета на образовавшемся болоте.

Палинологическое изучение отложений обнажения на Свири показало, что нижняя часть разреза, включающая песчаные осадки и подстилающий их нижний горизонт погребенного торфа, характеризуется спорово-пыльцевым комплексом с абсолютным господством древесной пыльцы. Доминирует пыльца бересклета (до 75 %) преимущественно древесных форм. Количество пыльцы хвойных увеличивается вверх по разрезу: сосны — от 22 до 51 %, ели — от 4 до 15 %. Пыльца ольхи, лещины и широколиственных встречается постоянно, но в малых количествах, возрастающих у верхней границы горизонта. Выше лежащие слои озерных алевритовых песков с неясно выраженной слоистостью характеризуются спорово-пыльцевым комплексом с повышенным содержанием пыльцы широколиственных пород, что позволяет отнести их к атлантическому времени.

Радиоуглеродные датировки подстилающих торфяников (все — древнее 8 тыс. лет) и характер спорово-пыльцевых спектров свидетельствуют о накоплении песчаной толщи в бореальное время, а положение области накопления и характер осадков показывают,

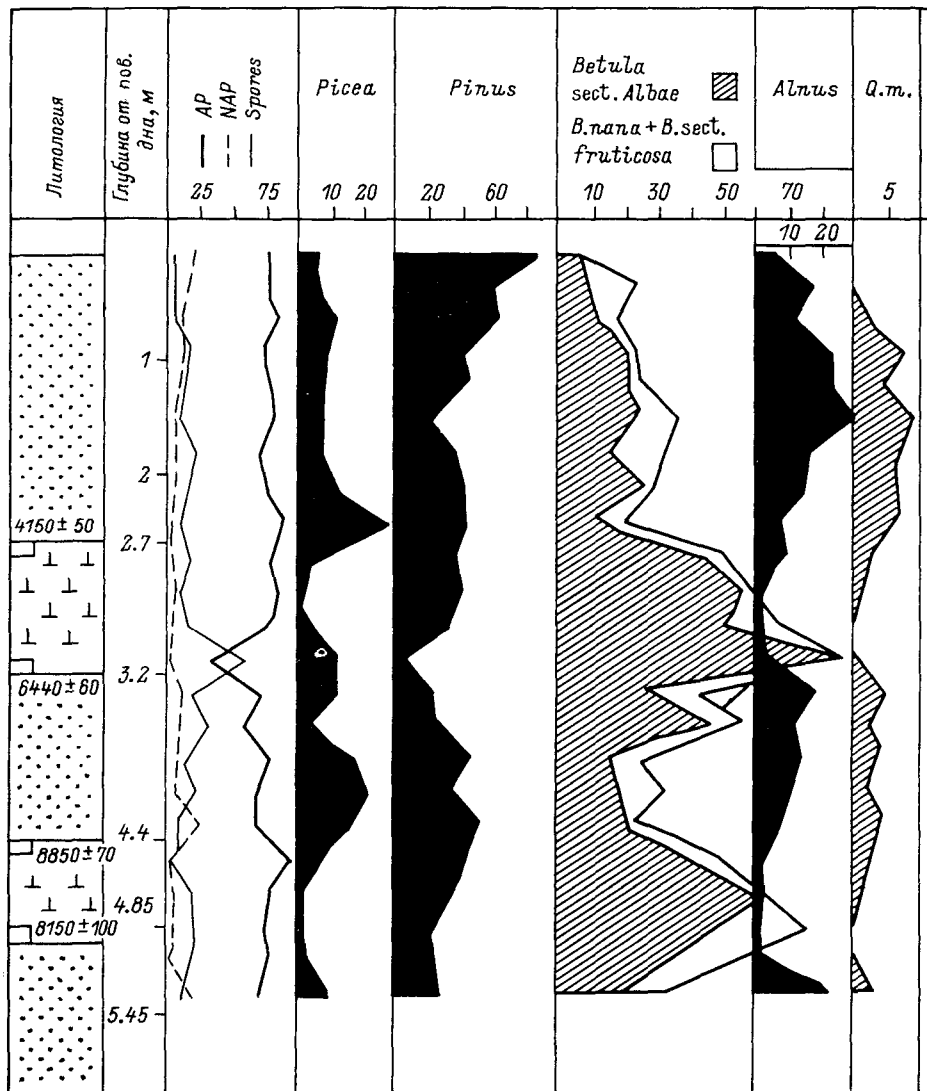


Рис. 6. Споро-пыльцевая диаграмма разреза в урочище Калач (нижнее течение р. Свирь).

что формирование отложений происходило в водах Анцилового озера. Таким образом, можно высказать суждение о более широком, чем предполагалось ранее, распространении вод Анцилового озера в южной части Ладожской котловины.

Как уже было отмечено, следующим крупным событием в истории озера была Ладожская трансгрессия. Опираясь преимущественно на археологические материалы, Ю. Айлио (Ailio, 1915) оценивал время ее максимума первой половиной второго тысячелетия до

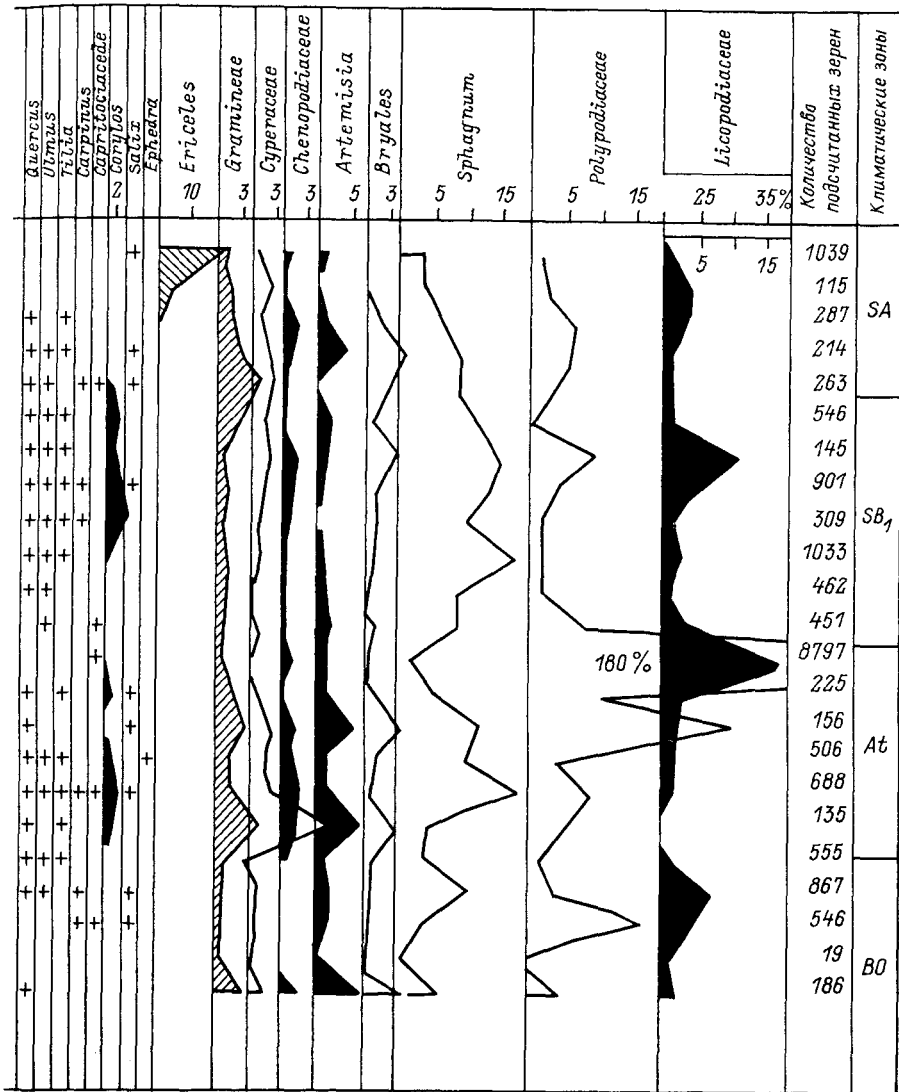


Рис. 6 (продолжение).

н. э., т. е. около 4 тыс. л. н. Этой даты придерживался и К. К. Марков (Марков и др., 1934). При этом оба они за максимальную границу распространения трансгрессии принимали систему береговых образований, на основании новых данных рассматриваемых нами в качестве образований второй стадии трансгрессии.

Д. Д. Квасов (Квасов, Краснов, 1967; Абрамова и др., 1967а, 1967б; Квасов, Назаренко, 1970; Квасов, 1975) подверг критике хронологические построения Айлио. С учетом уточненных данных

о возрасте памятников раннего металла он датировал ту же систему береговых образований временем около 2 тыс. л. н.

Для обоснования возраста Ладожской трансгрессии привлечено большое количество палинологических материалов (Знаменская, Анастасова, 1967; Знаменская и др., 1970; Лийва и др., 1971; Экман и др., 1975). Их анализ позволил сделать вывод, что трансгрессия закончилась, вероятно, в начале субатлантики. Спорово-пыльцевые спектры отложений Ладожской трансгрессии, изученных в обнажениях на берегах рек Ристиояя, Олонка, Свирь (рис. 6), Оять, Паша, Сясь, Волхов, Лава, Нева и Вьюн, обычно характеризуются высоким содержанием пыльцы ели (от 22 до 45 %), сравнительно небольшим количеством пыльцы сосны (около 30 %); в спектрах содержится также 20—30 % пыльцы древесных форм березы, 15—20 % ольхи. Весьма разнообразен спектр трав, где доминирует пыльца злаков и осок, иногда встречается пыльца водной и прибрежно-водной растительности. Среди спор преобладают сфагновые мхи и напаротники.

Для установления возраста осадков Ладожской трансгрессии важное значение имеет определение абсолютного возраста органогенного материала из подстилающих озерные отложения горизонтов погребенного торфа, особенно по образцам из кровли горизонта торфа, фиксирующим время, предшествовавшее развитию трансгрессии, и отвечающим интервалу от  $4000 \pm 70$  л. н. (стоянка Усть-Рыбежно-1, ЛЕ-599) до  $3070 \pm 70$  л. н. (район г. Питкяранта, ТА-355).

В ходе исследований 1986—1987 гг. авторами этой главы проведено дополнительное изучение прибрежных отложений по всему периметру Ладожского озера. Результатами спорово-пыльцевого анализа подтверждена правомерность отнесения горизонта подстилающих осадки Ладожской трансгрессии торфяников к атлантическому—первой половине суб boreального времени (табл. 1).

Интерес представляют результаты, полученные по двум соседним разрезам на побережье залива Петрокрепость, в долине р. Рябинки, — у деревень Нижняя Шельдиха и Горная Шельдиха. Они позволяют наиболее точно оценить время максимума ладожской трансгрессии в южном Приладожье. Террасы и береговые валы, сформированные в ходе перемещения береговой линии озера от максимального уровня Ладожской трансгрессии до современного, занимают здесь полосу побережья шириной до 3 км. Тыловой шов наиболее высокой террасы, имеющий отметку 15.5 м, совпадает здесь с подножием уступа глинта (Шеффер, 1967). Приблизительно на середине расстояния между современным берегом озера и упомянутым уступом террасовые отложения вскрыты карьером. В основании разреза обнажена кровля горизонта погребенного торфяника, сформированного в канун распространения Ладожской трансгрессии; выше залегают песчаные осадки времени самой трансгрессии; еще выше — песчаные отложения развитых здесь береговых валов. Спорово-пыльцевой спектр образца из кровли погребенного торфа сходен со спектрами других разрезов на побережье и типичен для суб boreального времени. Соответствует суб-

Таблица 1

**Радиоуглеродный возраст органогенных отложений, подстилающих озерные осадки Ладожской трансгрессии**

Местоположение разреза	Датируемый материал	Возраст, л.н. (лаб. № обр.)
Бассейн р. Ристийя, пос. Аурико Горизонт торфа мощностью 42 см под песками на глубине 0.46 м	Торф (из кровли горизонта) Торф (из основания)	$3350 \pm 120$ (ЛУ-1940) $4080 \pm 100$ (ЛУ-1941)
Олонка, правый берег, напротив пос. Старый Завод Горизонт гиттии и торфа мощностью 1.83 м, под песчаными осадками на глубине 1.17 м	Гиттия (из кровли) Торф (из основания)	$3970 \pm 90$ (ЛУ-1934) $6900 \pm 70$ (ЛУ-1935)
Мергела, правый берег, напротив дер. Руйгая Горизонт торфа с включениями древесины мощностью 1.3 м под песками ладожской трансгрессии на глубине 1.27 м	Древесина (из кровли) Древесина (из основания)	$3570 \pm 50$ (ЛУ-1927) $6060 \pm 90$ (ЛУ-1928)
Свирь, правый берег, урочище Калач Горизонт торфа с включениями древесины мощностью 0.43 м под песками ладожской трансгрессии на глубине 2.7 м	Древесина (из кровли) Торф (из основания)	$4150 \pm 50$ (ЛУ-1936) $6440 \pm 60$ (ЛУ-1937)
II горизонт торфа мощностью 0.45 м под песчаными отложениями анциловой трансгрессии на глубине 4.4 м	Торф (из кровли) Торф (из подошвы)	$8850 \pm 70$ (ЛУ-1938) $8750 \pm 100$ (ЛУ-1939)
Свирь, левый берег, в 1 км выше Лодейного Поля Горизонт гиттии мощностью 1 м с включениями древесины под су- глинками на глубине 1.85 м	Кусочки древесины (из кровли)	$4510 \pm 40$ (ЛУ-2037)
Оять, левый берег, у пос. Ленэнерго Горизонт гиттии и торфа с вклю- чениями древесины мощностью 0.65 м под слоистыми песками на глубине 2.45 м	Древесина (из основа- ния)	$5490 \pm 40$ (ЛУ-1930)
Паша, левый берег, пос. Рыбежно I горизонт торфа мощностью 0.1 м под песками на глубине 0.8 м II горизонт торфа мощностью 0.3 м, отделенный от вышележащего тонким (0.1) слоем песка	Торф Торф (из кровли)	$4360 \pm 50$ (ЛУ-2059) $4570 \pm 60$ (ЛУ-2051)
Сясь, правый берег, пос. Сясьские Рядки Горизонт гиттии мощностью 0.9 м под песками на глубине 3.6 м	Торф, подстилающий гиттию	$4880 \pm 80$ (ЛУ-1931)
Кобона, правый берег, на окраине с. Бор Горизонт торфа мощностью 0.63 м под береговым валом на глубине 2.65 м	Торф (из кровли) Торф (из основания)	$3840 \pm 30$ (ЛУ-2040) $4250 \pm 80$ (ЛУ-2039)

Таблица 1 (*продолжение*)

Местоположение разреза	Датируемый материал	Возраст, л. н. (лаб. № обр.)
Выон, правый берег, у моста дороги на Пятигорье		
Горизонт торфа мощностью 1.53 м под песками ладожской трансгрессии на глубине 2.12 м	Торф (из кровли) Торф (из основания)	$3690 \pm 100$ (ЛУ-2041) $5000 \pm 50$ (ЛУ-2058)
Горизонт гиттии мощностью 1.25 м непосредственно под торфом на глубине 0.65 м	Гиттия (из кровли) Гиттия (из основания)	$5260 \pm 70$ (ЛУ-2061) $5900 \pm 110$ (ЛУ-2042)
Рябинка, близ д. Шельдиха		
Горизонт торфа мощностью 0.48 м с включениями древесины под песками ладожской трансгрессии на глубине 0.42 м	Торф (из кровли) Древесина (плохой сохранности из основания)	$3820 \pm 40$ (ЛУ-2026) $4140 \pm 40$ (ЛУ-2035)
В 5 км к западу от д. Шахново		
Горизонт торфа мощностью 0.66 м под береговым валом на глубине 0.25 м	Торф (из кровли) Торф (из основания)	$2820 \pm 40$ (ЛУ-2047) $3980 \pm 40$ (ЛУ-2048)

бореальному возрасту и радиоуглеродная датировка торфа —  $3820 \pm 40$  л. н. (ЛУ-2026).

Далее в глубь суши у подножия глинта на поверхности террасы находится обширный торфяник более позднего времени, соответствующий периоду, наступившему после регрессии вод озера. К северу от д. Горная Шельдиха мелиоративной канавой был вскрыт разрез торфяной залежи, подстилаемой песками. В спорово-пыльцевых спектрах торфа преобладает пыльца ели, содержание которой возрастает вверх по разрезу. Содержание пыльцы сосны составляет всего 10—20 % (максимальное — 40 %), березы в нижней части разреза — 80 %, а выше резко снижается до 10 %. Среднее содержание пыльцы ольхи — 10 % (максимальное — 30 %). В нижней части разреза содержание пыльцы термофильных пород (вяза и дуба) составляет около 15 %, затем резко сокращается и вновь возрастает в верхней части до 5—10 %. В общем составе спектра от 5 до 20 % приходится на долю трав, преимущественно однодольных травянистых растений, представителей растительности заболоченных участков. Таким образом, судя по составу спектра, формирование этой толщи торфа также началось в суб boreальное время, а затем было прервано в связи с развитием лесной растительности. По образцу в основании торфяника получена датировка  $3670 \pm 60$  л. н. (ЛУ-1933).

Итак, максимум Ладожской трансгрессии имел место вскоре после времени  $3820 \pm 40$  л.н., когда еще формировались верхи толщи погребенного торфа, но до времени  $3670 \pm 60$  л.н., когда на отложениях трансгрессии началось образование новой толщи торфа. Поэтому максимум трансгрессии должен быть отнесен ко времени 3700—3750 л.н.

Возраст аккумулятивных образований второй стадии Ладожской трансгрессии по данным спорово-пыльцевого анализа соотносится

с началом субатлантического времени, что подтверждается данными палинологического изучения осадков, участвующих в строении береговых валов. В разрезе береговых валов в долине р. Рябинки и в обнажении у пос. Ленэнерго па р. Ояти в спектрах заметно уменьшается содержание пыльцы ели (до 10—20 %), возрастает процент пыльцы сосны (до 60—80 %), сокращается содержание пыльцы березы, ольхи и широколиственных пород. В общем составе спектра увеличивается процентное содержание спор. Эти процессы хорошо выражены на спорово-пыльцевой диаграмме обнажения на р. Рябинке (рис. 7, см. вкладку). Здесь видно, что слагающие вал пески характеризуются спектром с доминантным положением пыльцы сосны, небогатым спектром трав, а в составе спор начинают преобладать сфагновые мхи.

Между отложениями максимальной и второй стадии Ладожской трансгрессии в большинстве разрезов встречается горизонт размыва, представленный грубозернистыми песками с галькой; в отдельных случаях отложение двух стадий разделяет маломощный горизонт погребенного торфа (разрезы в части побережья между городами Питкяранта и Салми, у пос. Ленэнерго на Ояти, к западу от д. Шахново). Для тофра, подстилающего отложения второй стадии трансгрессии, получены датировки  $2280 \pm 70$ ,  $2240 \pm 80$  и  $2170 \pm 120$  л.н. (Лийва и др., 1971), что позволяет присоединиться к мнению об относительно недавнем окончании Ладожской трансгрессии (Квасов, Краснов, 1967; Квасов, 1975). Ее вторая и последняя стадии закончились около 2 тыс. л.н. Тогда же, очевидно, образовалась и р. Нева. В начале субатлантики резкое усиление притока пресных вод в восточную часть Финского залива вызвало существенное снижение минерализации ее вод, что отразилось на составе диатомовой флоры (Джиноридзе, 1986).

### Возраст береговых образований по археологическим данным

Археологические памятники, известные на берегах Ладоги (рис. 8), дают дополнительные возможности датировать послеледниковую историю озера. Первый из таких памятников обнаружил А. А. Иностранцев (1882) во время строительства Ново-Ладожского канала. К западу от устья Сяси были вскрыты залегающие на морене горизонтальные прослои и линзы тростникового торфа, содержащие разнообразный археологический материал (керамика, костяные изделия и др.), перекрытый слоистым сортированным песком серо-желтого цвета с прослойями грубозернистого песка и гравия. Изучение погребенного под озерными отложениями культурного горизонта позволило отнести его к неолитическому времени и сделать вывод об относительно низком уровне Ладоги в период существования памятника и о значительном последующем подъеме уровня озера, в результате которого археологические стоянки были затоплены.

В дальнейшем было изучено большое число неолитических памятников. Установлено, что в бассейне оз. Суходольского воды трансгрессировавшего озера затопили неолитические стоянки у Райсола (19 м)

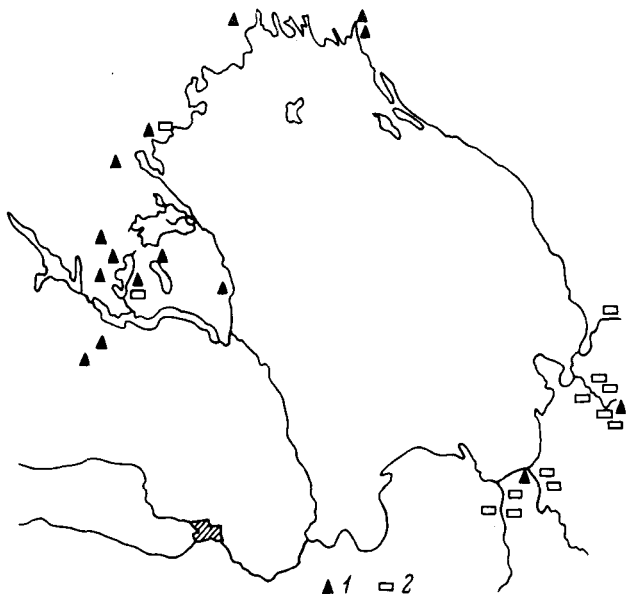


Рис. 8. Расположение археологических стоянок на побережье Ладожского озера.  
1, 2 — стоянки эпох соответственно неолитической и раннего металла.

и Каннилайоки (16—17 м), достигли уровня поселений в Каукола (21.5 м) и на побережье оз. Питкяярви (21—22 м) (Saarnisto, Siiriäinen, 1970). В южном Приладожье погребенные под отложениями Ладожской трансгрессии неолитические памятники были открыты в долине Свирь Б. Ф. Земляковым (1932) — Негежемская стоянка с отметками культурного слоя 19—19.5 м при высоте береговой линии трансгрессии на отметках 22—24 м. Н. Н. Гуриной (1961) была открыта и исследована наиболее богатая по находкам неолитическая стоянка Усть-Рыбежно-І в нижнем течении р. Паши, где культурный слой перекрыт озерными осадками мощностью до 1.5 м. По углю из культурного слоя этой стоянки получена дата  $6380 \pm 220$  л.н. (ЛЕ-405).

Неолитические стоянки находились вблизи берега Ладожского озера. Было отмечено увеличение их высот в направлении оси изостатического поднятия озерной котловины — с юго-востока на северо-запад — и определен градиент наклона «неолитической береговой линии» — 12 см/км (Saarnisto, Siiriäinen, 1970).

На побережье Ладожского озера описано много стоянок эпохи раннего металла. Они известны в районе Райсола (к западу от оз. Суходольского), а в южном Приладожье — в приусьевых частях долин Волхова (Валгома, Юшково, Изсады-І), Паши (Усть-Рыбежно-ІІ, под Соиской) и др. Большой интерес представляет обнаруженная на крайнем северо-западе озера близ пос. Куркийоки А. И. Сакса и В. Я. Шумкиным стоянка с асбестовой керамикой, культурный горизонт которой на отметке 16.8 м перекрыт отложениями предположительно второй стадии Ладожской трансгрессии. С террасой высотой

около 18 м на р. Вьюн связывают (Знаменская, Ананова, 1967) также стоянку, по материалу которой получена датировка  $1860 \pm 120$  лет (ЛЕ-419). Еще более поздние памятники — сопки «ладожского типа», сопровождающие курганные погребения южного Приладожья, — встречены на поверхности всех террас, будучи сформированы, по-видимому, при положении уровня озера, близком к современному.

Положение археологических стоянок тесно связано с береговыми линиями обеих стадий Ладожской трансгрессии и в общих чертах подтверждает рассмотренные выше данные о ее возрасте. Так, неолитические памятники, обнаруженные под осадками максимальной стадии трансгрессии, указывают на развитие этой стадии позднее времени существования самих стоянок, т. е. позднее III тысячелетия до н. э. Неолитические стоянки, обнаруженные на поверхности, оказываются за границами максимальной стадии.

Памятники эпохи раннего металла, названные Ю. Айлио «поселениями на береговых валах», находятся между границами распространения максимальной стадии Ладожской трансгрессии и образованиями ее второй стадии. Большая их часть находится на береговых валах, образовавшихся на конечной стадии трансгрессии. Это свидетельствует о том, что эти валы возникли не ранее середины I тысячелетия до н. э.

Д. Д. Квасов и В. А. Назаренко (1970), используя данные о возрасте стоянок эпохи раннего металла для установления времени максимума ладожской трансгрессии, в соответствии с господствовавшими представлениями Ю. Айлио и К. К. Маркова принимали за ее границу систему береговых валов, непрерывно прослеживающуюся в южном Приладожье на отметках 13—15 м. В связи с установленным более высоким положением максимальной стадии трансгрессии их выводы об относительно молодом возрасте (не древнее 2000 л.н.) береговой линии должны быть отнесены ко второй стадии Ладожской трансгрессии.

### Основные этапы развития береговой зоны

Изучение древних береговых образований в бассейне Ладожского озера позволяет наметить четыре основных этапа развития береговой зоны Ладожского озера.

В позднеледниковое время сформировались удаленные от современной береговой линии береговые образования преимущественно абразионного происхождения. Более высоко расположенные береговые линии соответствуют границам Ладожского плёса оз. Рамзая (Квасов, 1975). После снижения уровня последнего были сформированы береговые образования Балтийского Ледникового озера, занимавшего северную и центральную части ладожской котловины и соединенные с его основной акваторией проливом в северной части Карельского перешейка. Ограничено распространение аккумулятивных террас упомянутых бассейнов и почти полное отсутствие в их отложениях палеонтологического материала при значительной про-

странственной разобщенности участков их развития на побережьях Ладоги не позволяют строго дифференцировать береговые образования каждого из упомянутых приледниковых озер.

В раннем голоцене время относительно высокого стояния уровня водоема совпадает с трансгрессией Анцилового озера (около 8500 л. н.), террасы которого особенно четко представлены в средней и северной частях западного побережья.

Среднеголоценовый этап формирования береговых образований связан с начавшейся в атлантическое время и достигшей максимума в суббюреале (около 3700 л. н.) Ладожской трансгрессией. Береговые образования ее максимальной стадии представлены четко выраженным абразионно-аккумулятивными террасами, передко завершающимися значительными по высоте абразионными уступами. Здесь частично «обновлены» береговые линии приледниковых водоемов. Береговая линия максимальной стадии трансгрессии обычно удалена от современной береговой линии Ладоги на расстояние 3—5 км, а в южном Приладожье — на 10—30 км. Вдоль крупных рек (Олонка и Мергега, Свирь, Оять и Паша, Волхов) она обрисовывает глубоко вдававшиеся в сушу заливы.

В относительной близости от современной береговой линии располагаются береговые образования второй, более молодой (около 2000 л. н.) стадии трансгрессии. Они представлены главным образом мощными сериями береговых валов, а в приустьевых частях долин крупных рек — косами и пересыпями, развившимися при комбинированном (продольном и поперечном) перемещении материала в береговой зоне. Окончание трансгрессии было вызвано образованием р. Невы, глубинная эрозия которой послужила причиной резкого падения уровня.

Позднеголоценовый этап ознаменован тем, что после образования р. Невы уровень озера быстро снизился до значений, близких к современным; от воды освободилась обширная наклонная прибрежная равнина в пределах южного побережья озера.

## Г л а в а 5

### ДОННЫЕ ОТЛОЖЕНИЯ

#### История исследования донных отложений

Начало изучению стратиграфии донных отложений Ладожского озера положила Ладожская комплексная экспедиция Института озероведения в 1956 г. Исследования донных отложений возглавил Н. И. Семенович. Палинологические анализы выполнялись С. А. Абрамовой и Е. А. Анановой, диатомовые — Н. Н. Давыдовой. Итогом этих исследований явилась монография Н. И. Семеновича (1966), где по данным 618 станций им составлены схемы распределения различных типов донных отложений, пелитовой фракции, медианного состава осадков, карбонатов, серы, аутигенного кремния, железа, марганца, фосфора. С такой полнотой в то время не были изучены современные отложения ни одного из крупных озер.

Колонки донных отложений длиной до 80 см, взятые в глубоководных районах озера, содержали осадки голоцен, сформировавшиеся за последние 10 тыс. лет, и верхи позднеледниковых микрослоистых ленточных глин. Их диатомовый анализ показал, что голоценовые отложения содержат богатую по составу пресноводную диатомовую флору, а обнаруженные единичные морские диатомеи переотложены из мгинских отложений, широко распространенных в водосборном бассейне озера. Факт экологической несовместимости морских диатомей с богатейшими комплексами пресноводных, содержащихся в осадках озера, послужил основанием для утверждения, что морские воды литоринового моря в Ладожскую котловину не проникали, как не проникали в нее и воды Йольдиевого моря в преобреальную эпоху. На протяжении всего поздне- и послеледникового времени в Ладожской котловине непрерывно существовал глубоководный пресный бассейн (Абрамова и др., 1967а, б).

В 1978 г. работы по изучению донных отложений Ладоги были продолжены А. А. Курочкиной и Н. Н. Давыдовой в рамках актуальной проблемы выявления антропогенного воздействия на озеро. В зонах высоких скоростей илонакопления (в прибрежной — у г. Сортавала в глубоко врезанном в сушу заливе; в глубоководной — вблизи о-ва Валаам с максимальной глубиной 228 м) с помощью трубок длиной 1 и 1.5 м был произведен тонкий послойный отбор образцов из верхнего слоя отложений. Колонки были комплексно обработаны: выполнены послойные гранулометрические и химические анализы, впервые для Ладоги И. С. Трифоновой получены данные по содержанию в колонках хлорофилла «а». Н. Н. Давыдовой на основе диатомового анализа определена скорость и направленность изменений, происходивших в экосистеме озера под влиянием усиливающегося антропогенного воздействия (Давыдова, Трифонова, 1982).

Начиная с 1980 г. работы по изучению донных отложений проводятся Институтом озероведения АН СССР в содружестве со ВСЕГЕИ с использованием ударных трубок, дающих возможность получить колонки до 4—5 м длины; выполнены гранулометрический, химический, рентгенографический, спектральный, минералогический, диатомовый анализы (Давыдова и др., 1986).

### Общая характеристика донных отложений

Донные отложения Ладожского озера изучаются начиная с 1980 г. с помощью тяжелых гравитационных прямоточных трубок длиной до 5 м, а с 1984 г. — с привлечением высокочастотного геолакционного профилирования (Субетто, 1986; Давыдова и др., 1986). Проведенное впервые в 1987 г. непрерывное сейсмоакустическое профилирование позволило оценить полную мощность четвертичного покрова, выявить основные закономерности распространения донных осадков, установить характер их взаимоотношения с подстилающими породами. К настоящему времени изучено свыше 100 разрезов донных отложений мощностью от 1 до 4 м (рис. 9); составлена схема распространения современных отложений (рис. 10).

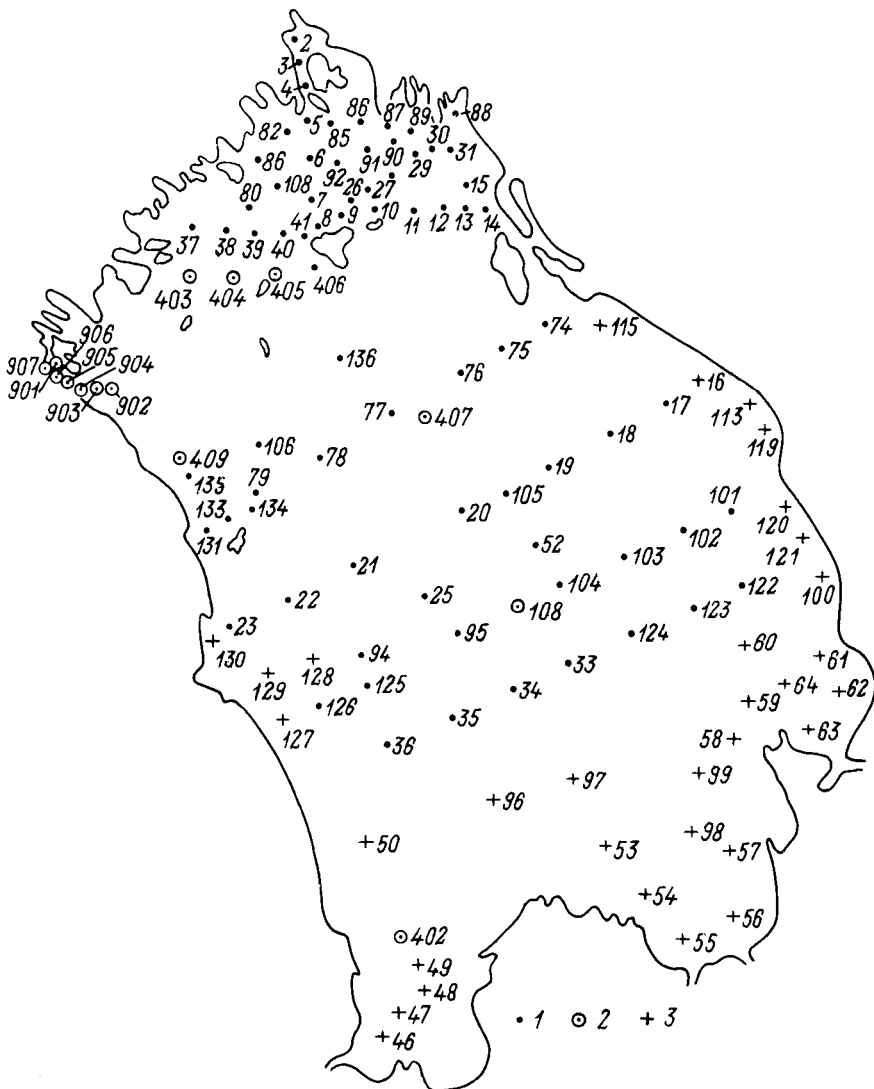


Рис. 9. Расположение станций отбора данных отложений.

Средства отбора: 1 — трубка ГОИН-1.5; 2 — 4-метровая трубка; 3 — дночерпатель. Цифры — номера проб.

В основании разреза, непосредственно на морене, а местами на породах довенского фундамента, залегает толща озерно-ледниковых отложений (рис. 11), представленных тонкими горизонтально-слоистыми (ленточными) глинами серого, буровато-серого или голубовато-серого цвета. Слоистость, четкая, двучленная, близкая к ритмичной, обусловлена чередованием слойков более грубого и тонкого гранулометрического состава, иногда отмечаются признаки градационной слоистости. Часто на тонкую гранулометрическую слоистость на-

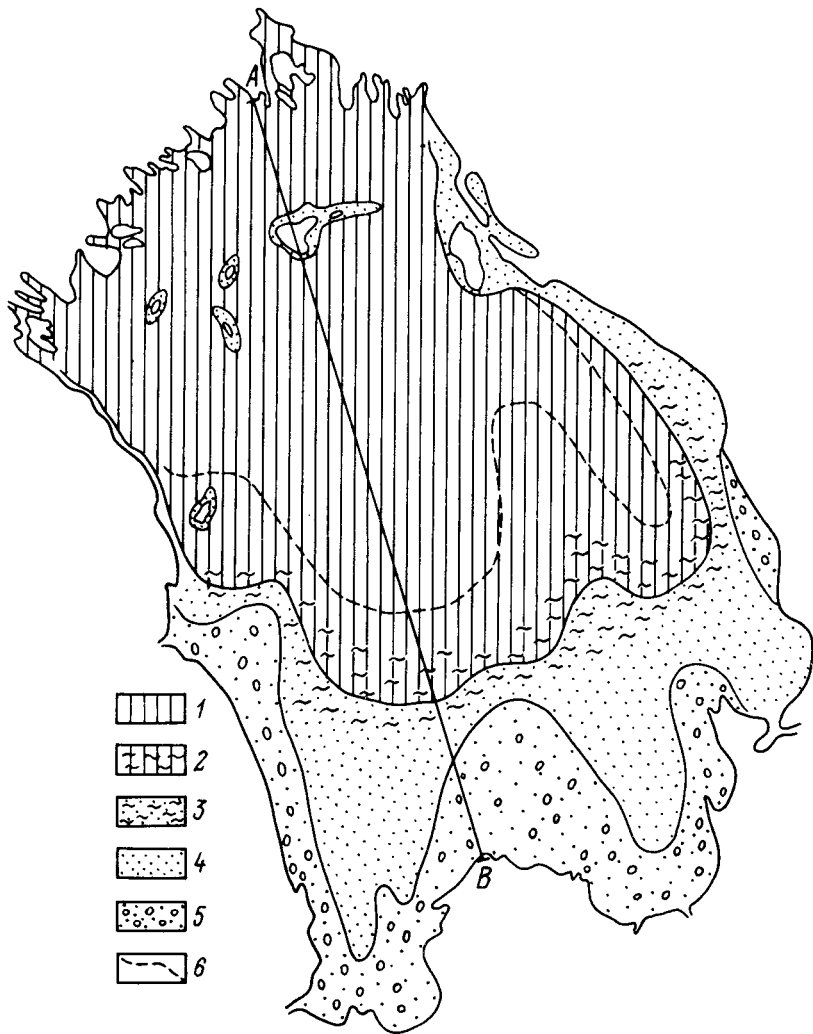


Рис. 10. Схема распространения современных донных отложений.

1 — алеврит-пелитовые илы; 2 — пелит-алевритовые илы; 3 — алевритовые пески; 4 — пески разной крупности; 5 — гравийно-галечные отложения, содержащие валуны; 6 — граница, к югу от которой на контакте глины — илы имеется алеврит-песчаная или песчаная прослойка.

кладывается более крупная цветовая полосчатость, охватывающая 3—10 ритмов. Слоистость подчеркивается отдельными тонкими слойками песчано-алевритового состава, иногда отмечаются прослои монотонных слегка песчанистых глин. По гранулометрическому составу преобладают алеврит-пелитовые разности, но встречаются и более тонкие — пелитовые. Минеральный состав глин гидрослюдистый, с примесью каолинита и хлорита. Из обломочных минералов постоянно присутствуют кварц, полевой шпат и слюда. Химические особенности ледниково-озерных осадков связаны прежде всего с низким

5

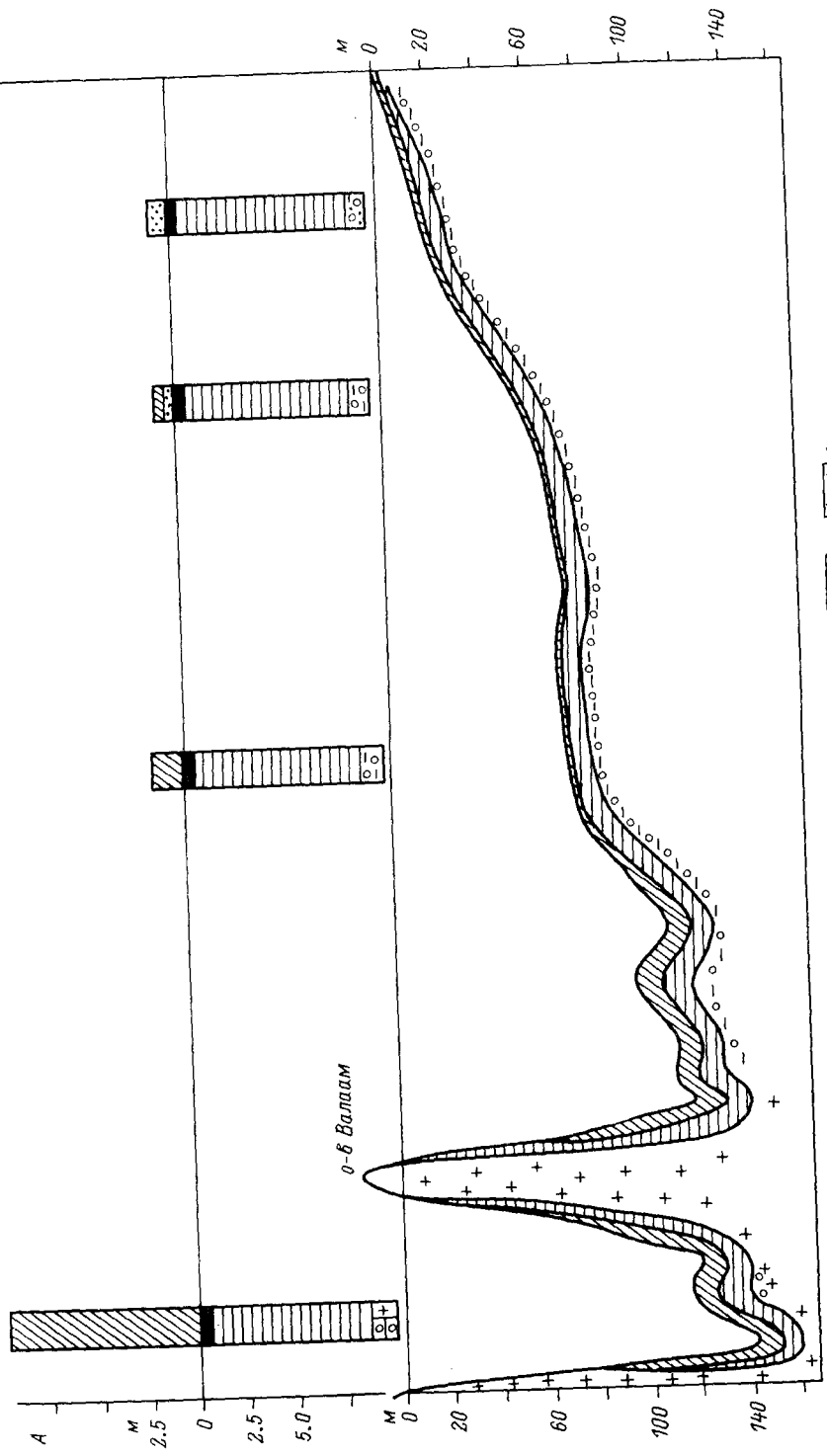


Рис. 11. Разрез ландшафтных отложений Ладожского озера по линии АВ (см. рис. 40).  
 1 - кембрийские глины; 2 - суглинки; 3 - суглинистые глины; 4 - гравийные глины;  
 5 - торфяники; 6 - морена; б - врагтакийские породы.

Таблица 2

Содержание биогенных элементов в донных отложениях (числитель — пределы, знаменатель — средние значения, %)

Тип отложений	Hg	C	N	P <sub>2</sub> O <sub>5</sub>	SiO <sub>2</sub> аут.
Илы	2.2—12.0	0.8—4.5	0.40—0.42	0.16—0.94	3.5—17.1
	5.2	2.3	0.17	0.32	9.7
Гомогенные глины	1.9—2.5	0.37—0.78	0.04—0.07	0.13—0.18	2.8—4.6
	2.1	0.45	0.05	0.46	3.5
Ленточные глины	1.8—3.0	0.35—0.61	0.01—0.09	0.14—0.49	2.5—6.2
	2.2	0.43	0.03	0.46	3.4

содержанием С<sub>орг</sub> и других биогенных компонентов (табл. 2). Ледниково-озерные глины имеют мощность в целом по озеру 10—20 м, хотя и встречаются участки дна (особенно в северной глубоководной части Ладожского озера с расчлененным, грядовым рельефом дна), где отсутствуют ленточные глины и обнажаются кристаллические породы или моренные отложения.

Выше ледниково-озерных отложений располагается пачка неслоистых, или гомогенных, глин серого или темно-серого цвета, отлагавшихся в переходных условиях осадконакопления — от ледниково-озерной к озерной обстановке. В них появляются четкие стяжения органического вещества. Осадки первично были водонасыщенными, о чем свидетельствует часто наблюдаемая сетчатая текстура. По своим литологическим характеристикам (гранулометрическому, минералогическому и химическому составу) гомогенные глины близки к ленточным (табл. 2). Переход между двумя этими пачками постепенный. Мощность неслоистых глин, распространенных на большей части котловины озера, невелика (0.3—0.6 м) и изменяется в узких пределах.

Верхняя пачка озерных осадков, формирование которых происходило в среднем и позднем голоцене, представлена несколькими фациями. В северной, глубоководной, и центральной частях озера распространены илы, в южной, а также в прибрежной зоне и на мелководьях они фациально замещаются алевритонесчаными и песчаными отложениями.

Голоценовые озерные отложения кроме региональных отличий характеризуются наибольшей пестротой по окраске, структурным особенностям, гранулометрическому, минеральному и химическому составам. По своей окраске иловая толща делится на нижнюю часть, окрашенную в бурый или буровато-серый цвет, и верхнюю — в зеленовато-бурый или зеленовато-серый. Часто, особенно в верхних горизонтах, илы из-за большого количества включений гидротроилита приобретают темно-серый цвет. По своей консистенции илы большей частью мягкие, полужидкие, вязкие и обладают «творожистой», рыхлой структурой. По гранулометрическому составу илы в основном алеврит-шелитовые и пелит-алевритовые, а ближе к мелководью — алевритовые с примесью песка.

Глинистые и обломочные минералы в илах в целом те же, что и в глинах: среди аутигенных минералов — сульфид железа (гидротроилит) и фосфат железа (вивианит). Последний встречается в виде отдельно разбросанных в толще осадка мелких белых включений размером до 1 мм, синеющих на воздухе. На поверхности осадка на контакте с водой — дно в окислительных условиях образуются железомарганцевые корки, прослои, стяжения. Мощность такой окисленной зоны может достигать 5—10 см, а рудных корок — до 1.5—2 см. Цвет корок бурый, охристо-бурый, коричневый, снизу иногда черный, резко отличающийся от цвета подстилающих илов.

В илах отмечено гораздо более высокое содержание органического вещества, чем в глинах. По направлению к поверхности увеличиваются концентрация органического углерода и других биогенных элементов, а также аутигенного кремнезема — показателя развития диатомовых водорослей, что связано с изменениями климатических условий и характера озерного осадконакопления.

Мощность илов сильно варьирует. В северной, глубоководной зоне Ладожского озера в депрессиях (аккумулятивных ловушках) она достигает 10 м, оконтуриваясь изобатами 80—90 м. В центральном районе озера, где глубины составляют около 50—70 м, она не превышает 1—2 м. В южной, мелководной зоне (на глубинах менее 30—40 м) илы сменяются алевритовыми песками и песками разной крупности, мощность которых колеблется от нескольких сантиметров до метра.

Контакт между илами и нижележащими гомогенными глинами в глубоководной зоне Ладожского озера (глубины более 80—90 м) носит неотчетливый характер. В центральной же части озера (глубины от 40 до 80 м) на контакте встречается прослой алеврита или песка мощностью до 2—3 см, который в южном направлении переходит в пачку алевритонесков мощностью до 50—60 см. Это связано с понижением уровня водоема примерно на границе бореального и атлантического времени до современных изобат 30—40 м (рис. 11).

#### **Датирование донных отложений с помощью палеомагнитного метода**

Среди многочисленных колонок донных отложений две были изучены палеомагнитными методами. Отбор образцов проводился на борту судна сразу же по извлечении колонки керна из пробоотборника, при этом вдоль нее наносилась линия, по которой сегменты (длиной от 0.7 до 1.0 м) разрезались на две равные половины. Образцы отбирались пластиковыми контейнерами размером 24×24×24 мм путем вдавливания последних в осадок. При этом контейнеры предварительно ориентировались относительно горизонтальной и вертикальной плоскостей. Из каждого 2.5-сантиметрового уровня отбиралось по 2—3 образца (диаметр керна около 120 мм, что позволяет из каждой половины сегмента отбирать несколько образцов из одного уровня). Из верхней части, где осадок насыщен водой, образцы для палеомагнитного анализа не отбирались. Каждый пластиковый контейнер герметизировался, наносилась маркировка и образцы повторно герметизировались в полиэтиленовые пакеты. Измерения магнитных

характеристик коллекции проводились в лабораторных условиях на астатическом магнитометре МА-21 и канна-метре. Магнитометрические данные анализировались вместе с данными по гранулометрии, естественной влажности и содержанию органики в осадках с учетом материалов спорово-пыльцевого и диатомового анализов.

Как было установлено, колонки 904 и 905 охватывают временный интервал от позднего дриаса до субатлантики (рис. 12). В первой в интервале 3,40–2,85 м намагниченность  $J_n$  возрастает (снизу вверх) в 2–2,5 раза, а магнитная восприимчивость  $\chi$  — в 1,5 раза, что связано с уменьшением естественной влажности до 35 %. Выше по разрезу (2,24–2,10 м) в микрослоистых глинах  $J_n$  резко возрастает в 5–7 раз, а  $\chi$  — в 2 раза, что также соответствует наименьшей естественной влажности (до 25 %); здесь же отмечается и наиболее низкое содержание  $N_{opt}$ . В колонке 905 этот же горизонт четко выделяется по скалярным магнитным параметрам ( $J_n$ ,  $\chi$ ,  $Q$ ) в интервале 3,40–2,87 м. Верхняя часть интервала микрослоистых серых глин, по данным спорово-пыльцевого анализа, формировалась на границе позднего дриаса и пребореала. Ранее А. С. Нисаревский (1986) указывал на увеличение остаточной намагниченности вблизи границы позднеледниковых ленточных глин и голоценовых илов в донных осадках Ладоги, т. е. в этом же времени и интервале. Таким образом, этот горизонт характеризуется аномально высокой (в 5–7 раз превышающей средние значения) остаточной намагниченностью и повышенной (в среднем в 1,5–2 раза) магнитной восприимчивостью, имеет надежную стратиграфическую привязку и является репером для выделения границы иллеистоцена и голоцена в донных осадках Ладоги. Следует отметить, что измерение величин скалярных магнитных параметров может проводиться непосредственно на борту судна.

В верхней части колонки 905 увеличение содержания  $N_{opt}$ , потерь при прокаливании (ППП) и естественной влажности с максимумом на уровне 80–55 см и последующим резким уменьшением сопоставимы с резким, но не очень значительным по величине скачком параметров  $\chi$  и соответственно  $Q$ .

Анализ изменения по длине колонки фактора  $Q$  (отношение естественной остаточной намагниченности  $J_n$  образца к его индуктивной намагниченности  $I_n$ , созданной в современном геомагнитном поле), показал, что вблизи подоны пребореала (на «реперном горизонте») его значения увеличиваются с 2 до 16 с последующим уменьшением до 1–2 единиц в осадках бореала; выше по разрезу они возрастают, достигая в атлантике 3–4 единиц, а еще выше — 5–6 единиц с характерным скачком вблизи подоны субатлантики.

По-видимому, вариации величин скалярных параметров  $J_n$  и  $\chi$ , тем более их резкие изменения, связаны с изменением физико-географических условий формирования осадков Ладожского озера, в то время как вариации параметра  $Q$  могут быть также связаны с изменением напряженности древнего геомагнитного поля во времени.

Анализ поведения угловых компонент вектора остаточной намагниченности — склонения  $D^\circ$  и наклонения  $I^\circ$  — проводился после предварительной магнитной чистки коллекций образцов переменных

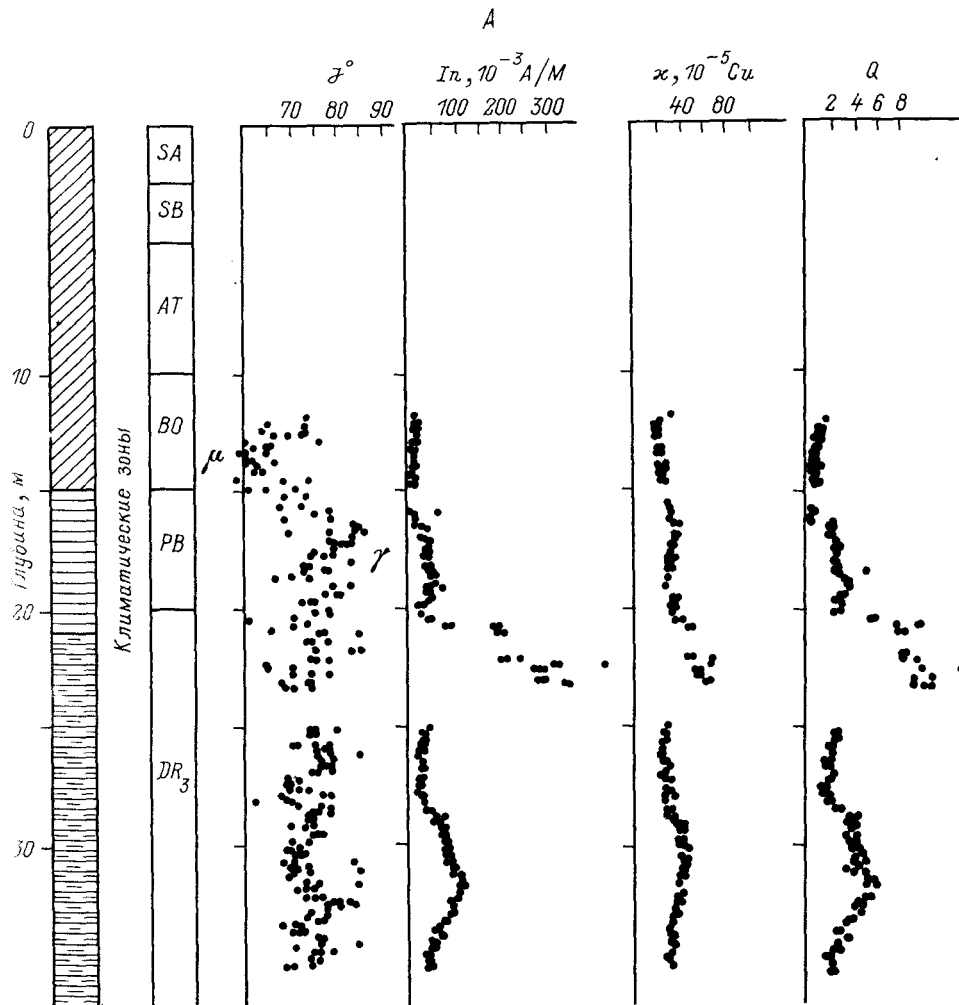


Рис. 12. Магнитные характеристики донных отложений Ладожского озера по данным колонок 901 (A) и 905 (B).

1 — илы; 2 — сомогенные глины; 3 — ленточные глины. Стратиграфия — по данным спорово-пыльцевого анализа.  $D^{\circ}$  — склонение (относительно условного нуля),  $J^{\circ}$  — наклонение;  $I_n$  — намагниченность;  $x$  — магнитная восприимчивость;  $Q$  — фактор.

полем 200 Э. Величины наклонения по длине колонки изменяются закономерно, тогда как в изменениях склонения подобного выявить не удалось. В иребореале и бореале вариации величин паклонения колонок 901 и 905 весьма сходны, а резкое уменьшение паклонения ниже 3 м в колонке 905, вероятно, связано с нарушением осадка в процессе отбора керна. В колонке 901 на этом же временном интервале резких изменений наклонения не отмечается.

Вариации  $J^{\circ}$  не коррелируют с гранулометрией и содержанием органики и, по нашим данным, связаны с изменением древнего геомаг-

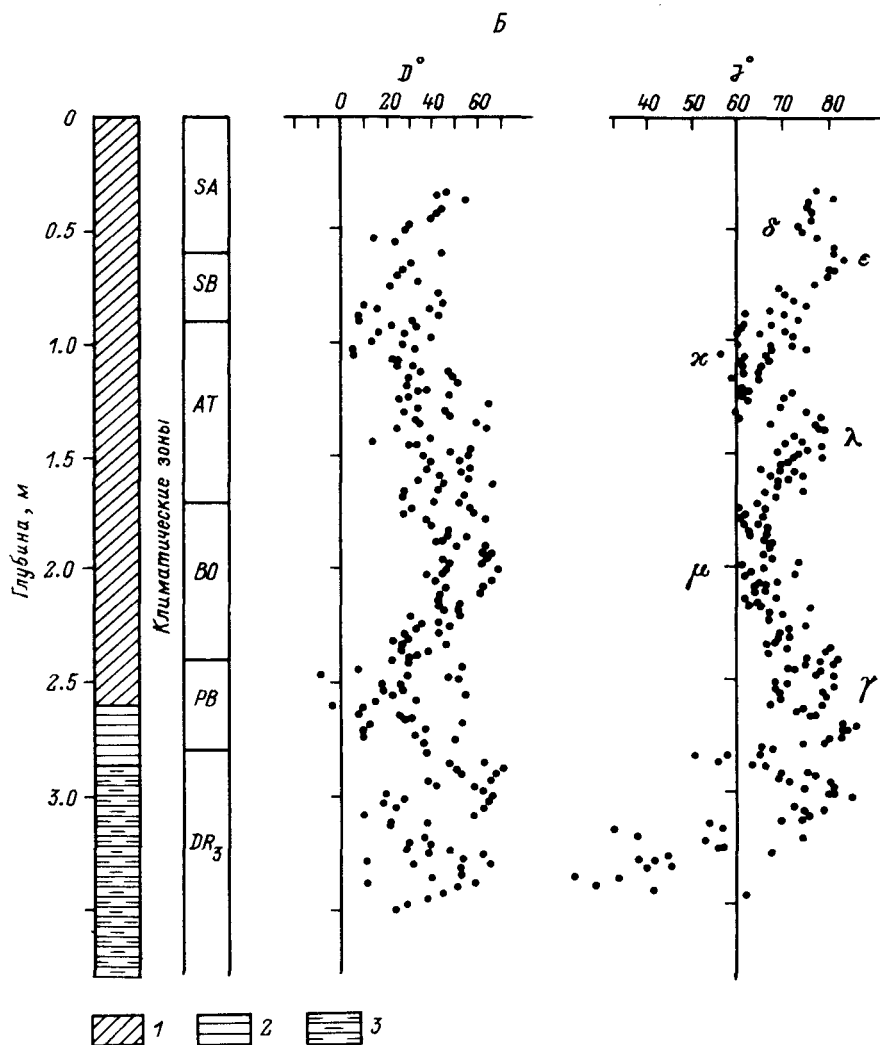


Рис. 12 (продолжение).

нитного поля во времени. Сопоставление вариаций наклонения (с учетом результатов спорово-пыльцевого анализа) с западноевропейскими данными (материал по оз. Уиндермир, Англия — Creer, 1981), позволяет принять вариант интерпретации наших данных, согласно буквенным обозначениям минимумов и максимумов периодов (рис. 12), по аналогии с выделенными периодами на западноевропейской шкале (Creer, Tucholka, 1982). Абсолютный возраст последних, по данным радиоуглеродного датирования, — соответственно  $\upsilon$  — 10100,  $\mu$  — 8400,  $\lambda$  — 7300,  $\kappa$  — 6100,  $\epsilon$  — 3000,  $\delta$  — 1650 л. п. При такой интерпретации сходимость наших данных с результатами спорово-пыльцевого анализа (с учетом абсолютного возраста границ палинологических зон) хорошая.

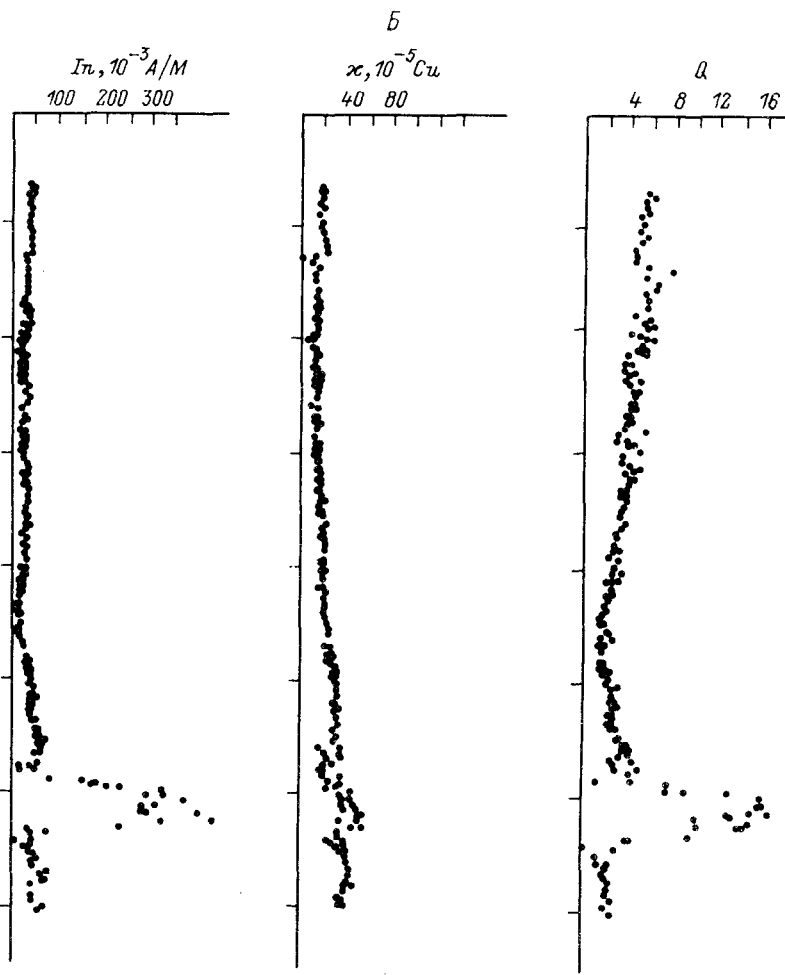


Рис. 12 (продолжение).

### Стратиграфия донных отложений озера и палеоклиматология Приладожья по палинологическим данным

Впервые стратиграфия отложений Ладоги палинологическим методом была установлена по 24 коротким (до 1,5 м) колонкам (Абрамова и др., 1967а, 1967б). В настоящее время изучены новые — длинные (до 4,5 м) колонки донных отложений (Давыдова и др., 1986). Палинологические исследования 10 из них позволили детализировать стратиграфию донных отложений и уточнить представления о палеоклиматологии Приладожья. Обработка образцов для спорово-пыльцевого анализа производилась по методу В. И. Гричука. Подсчет пыльцы и спор сделан по группам. Кустарники — *Corylus*,

*Salix*, *Altaster* — подсчитывались в группе древесных, кустарнички — *Ericales*, *Ephedra* — в группе трав.

Отложения позднеледникового времени (поздний дриас) изучены на примере образцов из северо-западной (зал. Лехмалахти; колонки 901, 903, 905), северо-восточной и центральной (станции 15/81, 29/81, 20/81) частей. Представленные ленточными глинами (колонка 903 — интервал 330—140 см, 901 — 340—215 см, 905 — 365—290 см; станции 15/81, 29/81 и 20/81 — соответственно 115—13, 85—23, 124—115 см), отложения этого времени имеют наибольшую мощность в северо-западной части котловины. Спорово-пыльцевой их комплекс характеризуется очень высоким процентом трав в общем составе спектра (в колонке 901 травы, составляя 45—70 %, доминируют в течение всего периода; в наиболее полном разрезе, представленном колонкой 903, иногда преобладает пыльца древесных, а содержание трав опускается до 20 %). В спектрах трав господствуют польни (до 80 %) и маревые (15—35 %). Почти постоянно присутствует пыльца *Cyperaceae*, *Poaceae*, *Ericales* и *Ephedra* sp.; встречаются пыльца трав, произрастающих лишь в условиях сухого холодного климата, чаще всего близ ледников (cf. *Pachyloma arvensis*, *Armeria* cf. *arctica*, *Talictrum* cf. *alpina*), а также отдельные зерна водных и прибрежно-водных растений (*Potamogeton* sp., *Nymphaeaceae*, *Alisma* sp., *Sagittaria* cf. *natans*, *Litorella* cf. *uniflora*), в верхней части дриасовых отложений не обнаруженные.

В спектре древесных господствует пыльца березы, в основном ее кустарниковые формы — *Betula nana*. Среди зерен присутствуют формы плохой сохранности и сильно минерализованные. Зерна пыльцы сосны, составляющие 15—35 %, чаще всего мелкие, уплощенные, минерализованные. Пыльца ели, на долю которой приходится 2—5 %, в отличие от пыльцы сосны имеет хорошую сохранность. Много пыльцы ольхи (15—35 %) с преобладающей формой *Altaster*. Иногда встречаются пыльцевые зерна широколистенных (максимально 2 %), но практически все они несут на себе следы механического повреждения, бывают уплощены, имеют бледную окраску, что позволяет считать их переотложенными. В составе спор в начальный период позднеледникового доминируют зеленые мхи, а в конце — сфагновые. В общем составе спектра споры составляют 2—10 %.

Отложения пребореального времени ранее были встречены в центральной и южной частях котловины (Абрамова и др., 1967а). Мощность их составляет не более 40—50 см (в колонке 20/81 — всего 25 см), а подошва совпадает с границей ленточных и гомогенных глин. Палинологический комплекс пребореальных отложений, целиком приуроченный к слою гомогенных глин, выделяется резким сокращением пыльцы трав, увеличением количества спор,ростом кривой сосны, сокращением процента пыльцы ольхи. В спектрах начинает доминировать пыльца деревьев (до 60—75 %). Количество спор постепенно увеличивается и к концу пребореала достигает 30—40 % (колонка 901). Достигает максимума кривая пыльцы березы (65—74 %), все еще доминируют ее кустарниковые формы

(45—50 %). Увеличивается количество пыльцы сосны. Встречаются зерна широколиственных (1—2 %, а в колонке 901—8 %). Так как они по-прежнему несут следы переотложения, комплекс вряд ли можно считать синхронным осадку. Количество пыльцы ольхи к концу преобораала сокращается до 5 % при максимальном значении 35 % в начале периода. Спорадически встречаются зерна *Corylus* и *Salix*. В спектре трав продолжают доминировать *Artemisia* и *Chenopodiaceae*, но состав разнотравья заметно обогащается. Отмечаются пыльцевые зерна водных и прибрежно-водных растений. Кратковременную вспышку дает пыльца *Ericales* (до 10 %) и *Ephedra* (до 5 %). В составе спор количество сфагновых и зеленых мхов уменьшается, а *Polypodiaceae* и *Lycopodiaceae* (преимущественно холодолюбивых *Lycopodium rupens*) растет.

Отложения бореального возраста, выделенные в З колонках, подопливой расположаются вблизи границы гомогенных глин и илов. Наличие комплекса их характеризуется абсолютным господством пыльцы древесных пород (80—95 %), в составе которых доминирует пыльца сосны. В начале периода количество пыльцы *Betula* еще достигает 20—30 %, а к концу падает до 5—8 %. Пыльца древесных форм березы преобладает над кустарниковыми. Пыльцы ели очень мало (2—3 %), но теперь она встречается постоянно. Характерной особенностью бореальных отложений является очень малое содержание пыльцы ольхи, наибольшее в начале (5 %) и конце (10—20 %) периода, а в середине составляющее от долей процента до полного исчезновения (колонка 905 — рис. 13, см. вкладку). Пыльцы термофильных широколиственных пород по-прежнему очень мало, однако найденные зерна уже лишены следов переотложения. Чаще всего встречаются зерна *Ulmus*, реже — *Quercus*, совсем редко — *Tilia*. Пыльца *Corylus* и *Salix* встречается постоянно, но единично. В составе спектра трав резко уменьшается количество пыльцы ксерофитов. Значительное становится процент *Cyperaceae* и *Poaceae*, богаче список разнотравья. Иногда отмечается пыльца водной растительности (*Myriophyllum* sp., *Nymphaeaceae*). В спектре спор преобладают *Polypodiaceae*, лесные виды плаунов, *Bryales* и *Sphagnum* встречаются приблизительно в равных количествах.

В отложениях атлантического времени, изученного в З колонках, спорово-пыльцевой комплекс отличается наибольшим богатством и по количеству, и по составу. Продолжает господствовать пыльца сосны (55—95 %); вновь приобретает существенное значение пыльца ольхи (до 25 %); на диаграммах растет кривая ели (до 10—12 %); пыльца березы не превышает 10 %. К атлантическому периоду относится максимум широколиственных пород, который в отложениях Ладожского озера составляет всего 5 %. Преимущественно это пыльца вяза, часто встречается пыльца липы, реже — дуба. Максимально расширяется список разнотравья. В составе спор по сравнению с бореалом несколько увеличивается количество *Sphagnum* и *Bryales*. Среди плаунов по-прежнему преобладают лесные виды.

Отложения суббореального времени, выделенные в З колонках, характеризуются прежде всего ником ели (45 % —

в колонке 904, 38 % — в колонке 905, 30 % — в колонке 20/81); количество пыльцы *Pinus* сокращается до 42—45 % на фоне постоянного присутствия *Betula* и *Alnus* в объеме соответственно не более 5 и 10 %; постоянен и процент широколиственных (2—3 %), среди которых по-прежнему господствует *Ulmus*. По сравнению с атлантическим периодом состав разнотравья почти не меняется. В группе спор — паноротники, сфагновые и зеленые мхи, присутствующие приблизительно в равных количествах.

Отложения субатлантического времени, изученные в 6 колонках, отличаются от отложений суббореала прежде всего резким сокращением пыльцы ели при возрастании процентного содержания сосны (снова более чем до 90 %) и уменьшении, а затем новом увеличении процента ольхи. В первой половине периода доля пыльцы ели вновь возрастает до 20—25 % (рис. 14). В составе пыльцы трав доминирует пыльца злаков (50—60 %), значительно количество пыльцы ксерофитов (*Artemisia* — до 35—40 %, *Chenopodiaceae* — 10—12 %). В верхней половине субатлантических отложений постоянно встречается пыльца *Nymphaeaceae* и других водных и прибрежно-водных растений. Среди спор преобладают *Polypodiaceae* и *Sphagnum*.

Таким образом, палинологическое изучение колонок донных отложений Ладожского озера позволяет проследить развитие и смену растительных формаций, а также палеоклиматологию Приладожья на протяжении последних 11 тыс. лет.

В позднеледниковое время (поздний дриас) в котловине Ладожского озера существовал приледниковый водоем, в котором откладывались ленточные глины. На суровый климат этого периода указывает господство в растительности ксерофитных группировок. Состав травяного покрова довольно однообразен — преобладают *Artemisia* и *Chenopodiaceae*, произрастают также холодолюбивые мхи и лишайники. Во влажных понижениях начинают развиваться бересняки, состоящие преимущественно из кустарниковых форм. Явная недоразвитость пыльцы *Pinus* косвенно свидетельствует о неблагоприятных климатических условиях для произрастания сосны. Очевидно, на территории Приладожья сосновки только начинали формироваться. В благоприятных условиях, вероятно, могла произрастать ель.

Колебания содержания пыльцы ксерофитных элементов спектра и изменения содержания пыльцы ели, сосны и березы свидетельствуют о том, что температура и атмосферные осадки на протяжении позднего дриаса могли изменяться. В целом на протяжении всего позднеледникового времени здесь господствовал холодный сухой климат. Наиболее распространенные ландшафты этого времени на территории Приладожья — тундростепи, для которых характерны средние температуры ниже современных на 10—14 °С при очень незначительном количестве осадков. К концу позднеледникового времени средние температуры года повышаются, несколько увеличивается и количество выпадаемых осадков. Эти изменения отчетливо выявляются в спорово-пыльцевых спектрах на границе позднего дри-

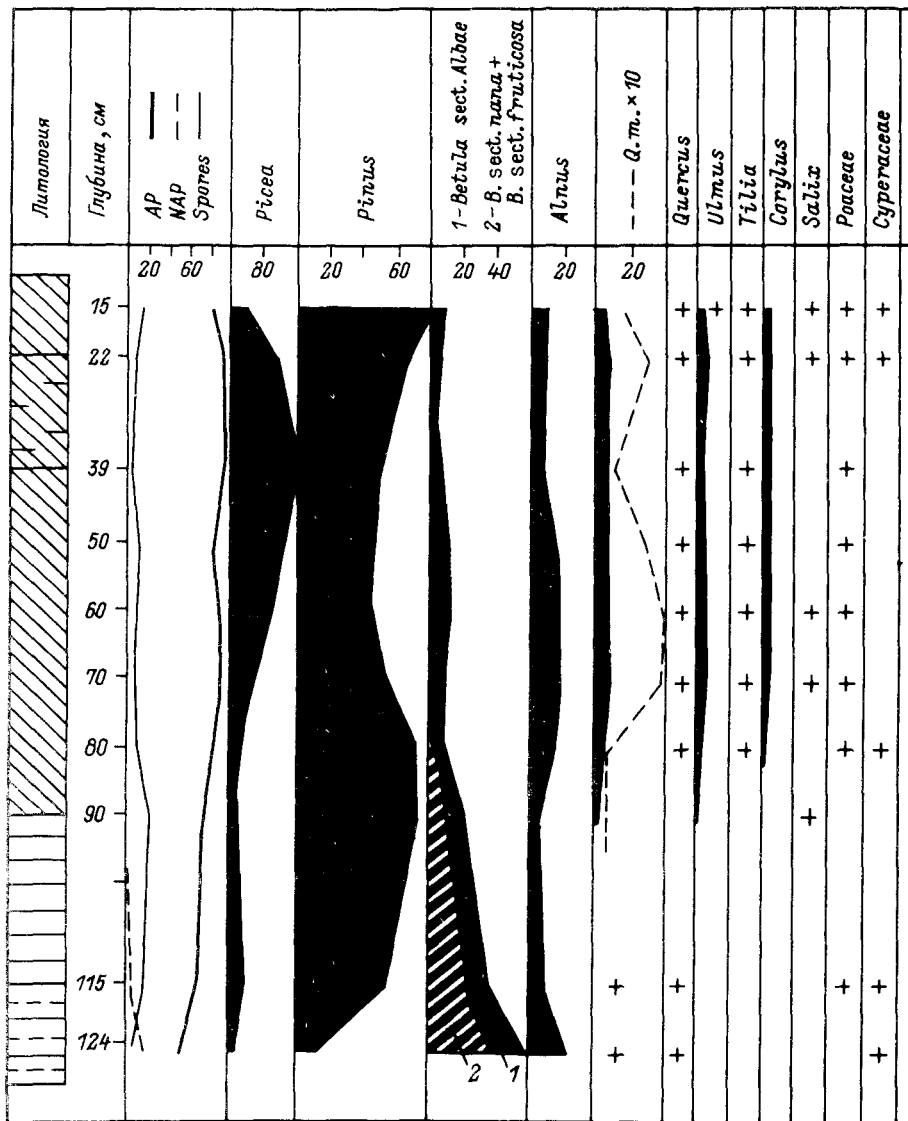


Рис. 14. Споро-пыльцевая диаграмма колонки 20/81.

аса и пребореала по резкому увеличению количества пыльцы древесных пород (главным образом березы) и сокращению количества пыльцы трав (главным образом за счет ксерофитов).

В пре boreальное время на месте тундростепей появляются бересковые леса при широком распространении также кустарниковых форм берески. Среди трав продолжают преобладать ксерофиты, но увеличивается роль лугового разнотравья. Большого разнообразия

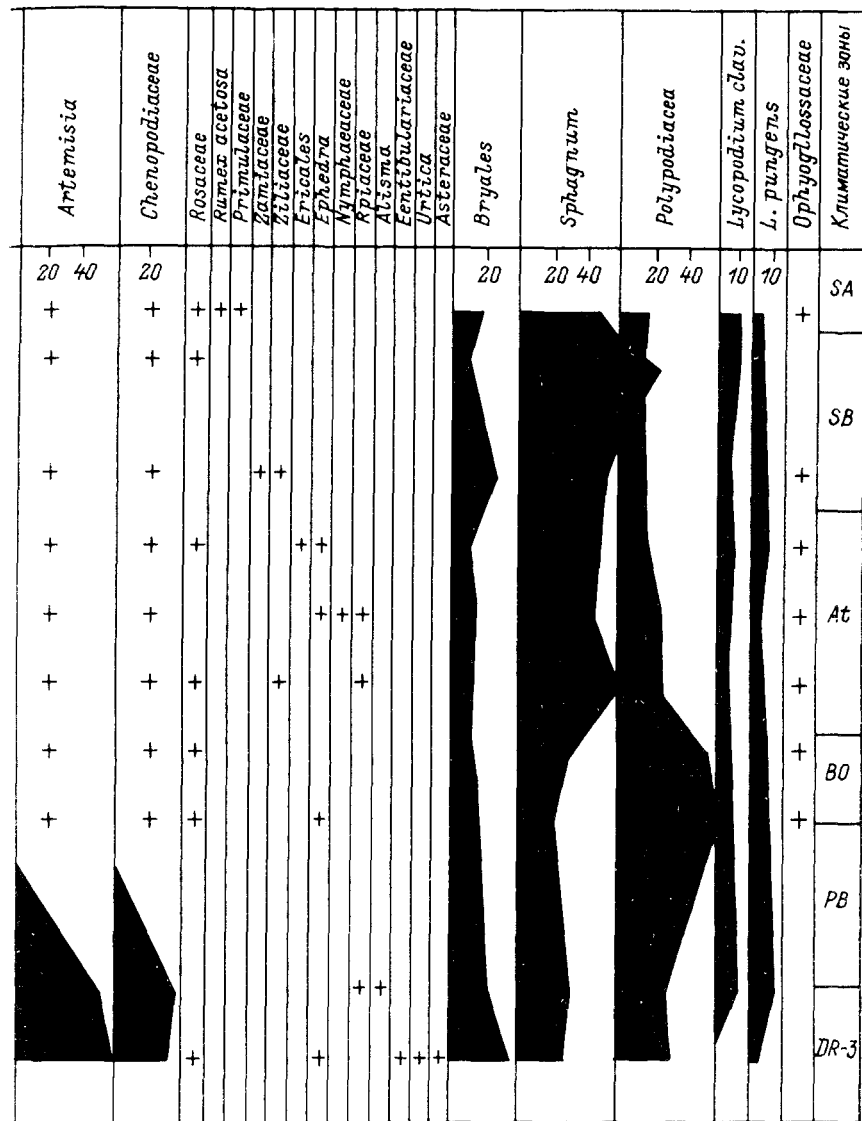


Рис. 14 (продолжение).

достигает водная растительность. К концу периода бересковые леса (с примесью ольхи) постепенно вытесняются хвойными. Климат становится несколько более влажным, продолжая оставаться холодным. В составе спорово-пыльцевых спектров преобреала отмечается направление изменение в сторону постепенного улучшения климата по сравнению с позднеледниковым временем. Возможно, что в середине преобреального времени происходило кратковременное похолодание.

Бореальное время характеризуется господством сосновых лесов с незначительной примесью ели и березы. В начале периода березняки занимают еще обширные территории, но в дальнейшем сокращаются. На территорию Приладожья начинают проникать широколиственные породы, среди которых чаще встречается вяз. В травяном ярусе господствуют злаковые и осоковые, широко развиваются иапоротники и лесные плауны. Разнообразнее становится состав разнотравья. К концу бореального времени почти полностью исчезают ксерофитные элементы. Климат этого времени немного холоднее современного, но более сухой, и хотя ближе к завершению становится заметно теплее, сухим продолжает оставаться.

Атлантическое время господство переходит к смешанным лесам с примесью широколиственных пород, среди которых преобладают вяз и липа. Вновь широкое распространение получает ольха. Богат кустарниковый ярус, где господствуют лещина и ива. Травяной покров чрезвычайно разнообразен. В лесах развит моховый ярус, который дифференцируется в зависимости от местных условий. Очень широко представлены папоротникообразные и лесные мхи. Это время наиболее теплого климата: средние температуры выше современных на 2–3 °С, влажность чуть меньше, чем теперь. К концу интервала становится прохладнее, влажность увеличивается.

Суб boreальное время широко распространяются еловые леса. Среди споровых растений трудно выделить доминирующий вид. В составе травяного яруса — злаки, осоковые и разнотравье примерно в равных пропорциях. Вновь несколько увеличивается роль ксерофитов. К концу периода еловые леса сокращаются, уступая место соснякам и смешанным лесам. Климат влажнеет, продолжая оставаться теплым.

Субатлантическое время в составе лесных фитоценозов уменьшается доля теплолюбивых широколиственных пород, среди которых преобладают дуб и липа. Соотношение древесных пород заметно меняется на протяжении субатлантического времени. Вероятно, эти изменения уже можно связать и с деятельностью человека. В целом климат субатлантического времени более прохладный по сравнению с предыдущим периодом. Вероятнее всего, что в середине субатлантического времени климат был близок к суб boreальному; позже он становится более прохладным и влажным (даже по сравнению с современным).

Анализ непрерывных колонок позволил судить о смене растительных формаций на протяжении конца позднеледникового и всего голоценового времени. Однако нам удалось выделить только крупные этапы развития растительности, что связано со спецификой формирования спорово-пыльцевых спектров в обширных водоемах — очень велико их осреднение. Происходит это благодаря перенасыщению донных отложений пыльцой хвойных пород, главным образом сосны. Это обстоятельство отмечается в работах многих исследователей (Малисова, Спиридонова, 1983; Савукинене, Клейменова, 1986; Хотинский, 1977). Иными словами, палинологические спектры отложений Ладожского озера отражают растительность крупного региона в слаг-

женном виде, без фиксации кратковременных климатических изменений, в отличие от береговых разрезов.

## Изменение экологических условий в озере по данным диатомового анализа

Исследование диатомей в толще донных отложений озера производилось параллельно с изучением стратиграфии осадков (Семенович, 1966) и базировалось на изучении 18 колонок (длиной до 1 м), взятых из различных районов котловины Ладоги, что позволило охарактеризовать состав диатомей начиная с позднего дриаса (Давыдова, 1961, 1965, 1968). Позднее с использованием трубок ГОИН, позволяющих отбирать колонки длиной до 1.5 м, удалось выявить изменения в составе диатомовых комплексов в последние тысячелетия, когда на экосистему озера начали воздействовать антропогенные факторы (Давыдова, Трифонова, 1982). В дальнейшем были применены ударные трубы системы ВСЕГЕИ, позволяющие отбирать колонки длиной в 4 м и более, давшие более полные сведения об изменениях в диатомовых комплексах в различные эпохи поздне- и послеледникового (Давыдова, 1985; Давыдова, Рыбалко и др., 1986). К настоящему времени состав диатомей изучен в 29 разрезах донных отложений прибрежных и глубоководных районов Ладожского озера.

Отложения эпохи позднего дриаса (рис. 15, 16) вскрыты в основании колонок из центральной, глубоководной области, где глубины превышают 50 м, районов северо-востока озера с глубинами до 30 м, юга с глубиной до 44 м и зал. Лехмалахти у западного побережья с диапазоном глубин от 13 до 70 м. Они представлены ленточными глинами с низким содержанием створок диатомей, которое в центральной области не превышает 1 тыс. в грамме воздушно-сухого осадка, на северо-востоке — до 5 тыс., в заливе — до 43 тыс. В целом послеледниковая диатомовая флора Ладожского озера богата и разнообразна по составу: из 117 видов и разновидностей диатомей 109 олигогалобов, обитателей пресных вод, и 8 морских диатомей, эу- и мезогалобов.

В числе пресноводных диатомей отмечено 27 планктонных, 44 обитателей обрастаний и 38 донных видов и разновидностей. Основу диатомовых комплексов составляют североальпийские диатомей, характерные обитатели Балтийского ледникового озера и других приледниковых бассейнов, — *Aulacosira islandica*, *A. distans* var. *alpigena* (Grun.) Sim., *A. italica* var. *subarctica* (O. Müll.) Dav., *Paralia arenaria* (Moore) Moiss., *Cyclotella bodanica* Eulenst., *C. vorticosa* A. Berg., *Eunotia Clevei* Grun.

В диатомовых комплексах открытых районов доминантом (более 10 % створок в отложениях) является планктонная североальпийская *Aulacosira islandica* (O. Müll.) Sim., характернейшая массовая диатомея современного планктона Ладоги и других крупных олиготрофных водоемов окраины Балтийского и Канадского щитов, обитавшая в этих водоемах со временем существования в них приледниковых бассейнов. Вторая массовая диатомея — *Stephanodiscus rotula* var. *minutula* Ross

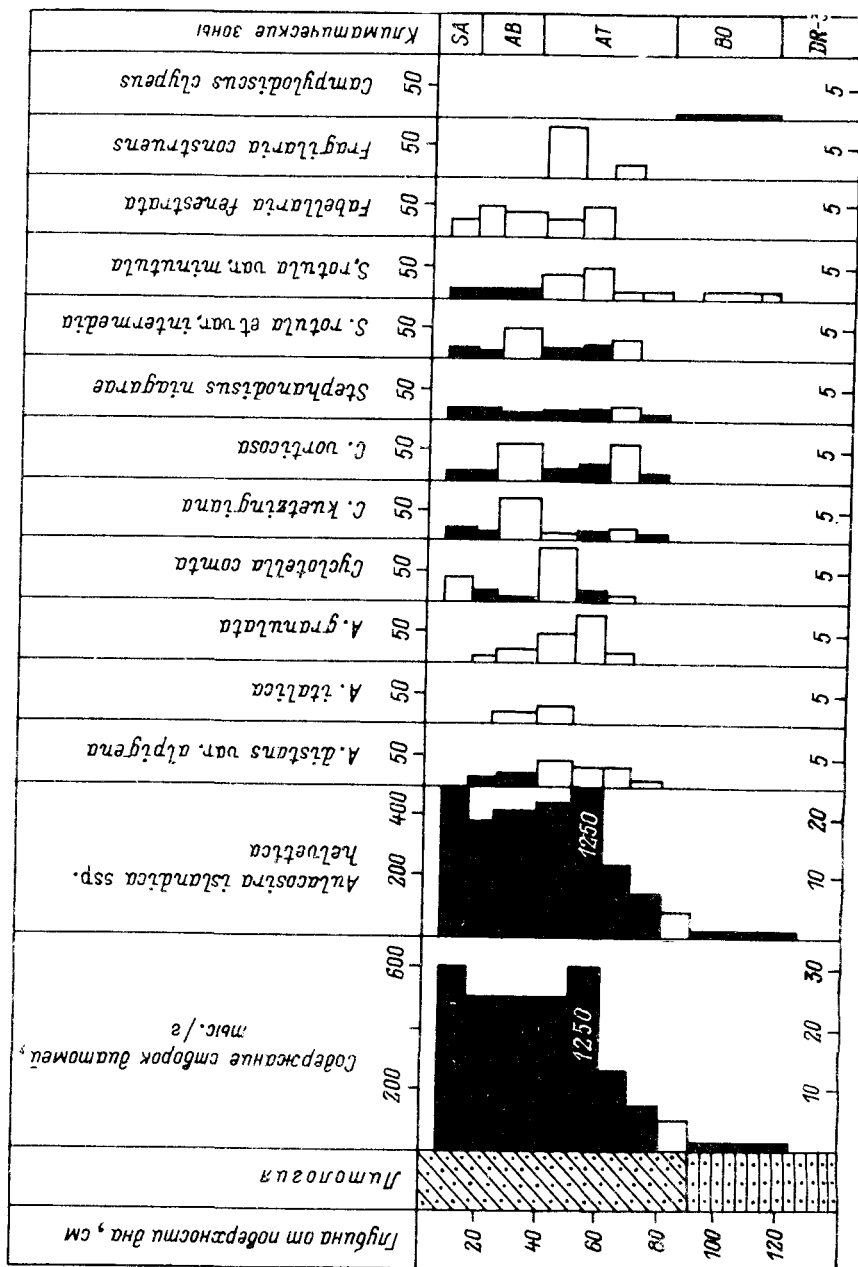


Рис. 15. Диаграммовая диаграмма зононки 20.

a. Sims — в глубоководной области является субдоминантом (более 5 % общего содержания створок в осадках). Бентосные диатомеи встречены в больших количествах только в заливе Лехмалахти.

Присутствие морских диатомеи в виде примеси в пресноводных диатомовых комплексах, формировавшихся в ленточных глинах приледниковых бассейнов Северо-Запада СССР, Финляндии и Швеции,

факт широко известный (Eronen, 1983; Давыдова, 1985). В отложениях Ладоги они обычно малочисленны и представлены спорами *Rhassiosira gravida* Cl., *T. excentrica* (Ehr.) Cl., створками *Paralia sulcata* (Ehr.) Sim., сентами *Rhabdonema* и др. В образцах из северо-восточной части озера (колонки 15 и 29) примесь створок морских диатомеи достигает 8 %.

Находка относительно богатой морской диатомовой флоры в ленточных глинах (Лак, 1976, 1980), вскрытых в нескольких скважинах в разрезах восточного побережья Ладоги, вызвала дискуссию о генезисе и возрасте этих отложений. Весьма вероятен вторичный характер залегания морских диатомеи, переотложенных из распространенных в этом районе морских микулинских (мгинских) осадочных толщ. Процесс размыва и переотложение морских диатомеи продолжается, хотя и не столь энергично, и поныне. Редкие находки створок морских диатомеи отмечены в поверхностных осадках Ладожского и Онежского озер (Давыдова, 1968, 1976), а механизм этого явления детально изучен (Лионен, 1971). Очевидно, в северо-восточном Приладожье в позднеледниковое время происходил активный размыв микулинской (мгинской) осадочной толщи водами и материал заносился в приледниковый бассейн, частью которого была ладожская котловина. При этом в прибрежных участках занос морских диатомеи был максимальным, а по мере удаления от берега — уменьшался.

Отложения прибрежного времени (рис. 16) изучены в центральной и южной частях озера, а также в зал. Лехмалахти. В центральной части они представлены гомогенными глинами. Содержание створок диатомеи низкое — до 14 тыс., господствуют планктонные виды, единственным доминантом является *Aulacosira islandica*, вторая по численности — *Stephanodiscus rotula* (Kütz.) Hendey. Целая группа планктонных диатомеи, регулярно, но в небольших количествах встречающаяся в прибрежных осадках, может считаться характерной для открытых районов. Следует отметить, что все эти диатомеи обитают в планктоне глубоководной области Ладожского озера и в настоящее время.

Прибрежные отложения зал. Лехмалахти мощностью до 75 см представлены верхними тонкослоистыми пачками ленточно-подобных глин, где, как и в открытом озере, доминантом является планктонная *Aulacosira islandica*. В осадках той части залива, где современные глубины не превышают 23 м, кроме планктонных *A. distans* var. *alpigena* и *Cyclotella vorticosa* численность субдоминантов имеют обрастаель *Eunotia clevei* и донная *Paralia arenaria* — обитатели прибрежных частей Балтийского Ледникового озера и Анцилового озера (Жузе, 1939) и песчаных мелководий Ладожского озера в современную эпоху. Среди характерных диатомеи в заливе отмечены живущие в бентосе

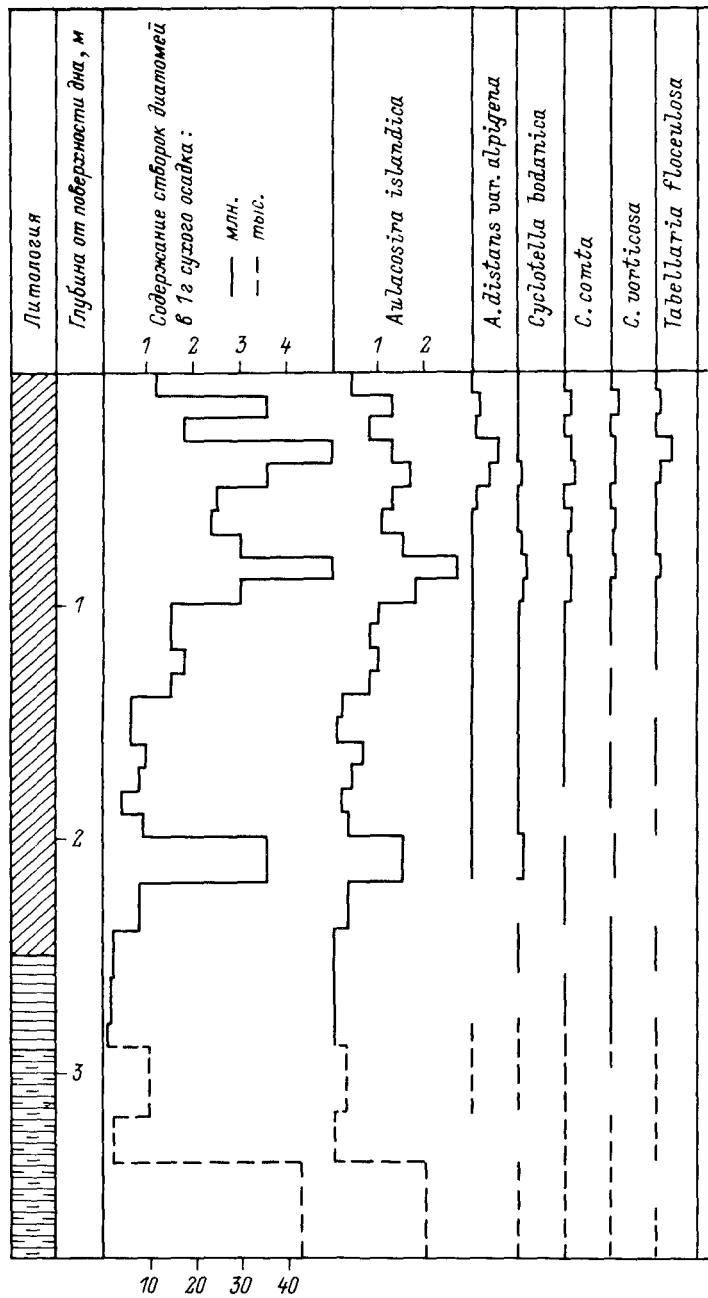


Рис. 16. Диатомовая диаграмма колонки 905.

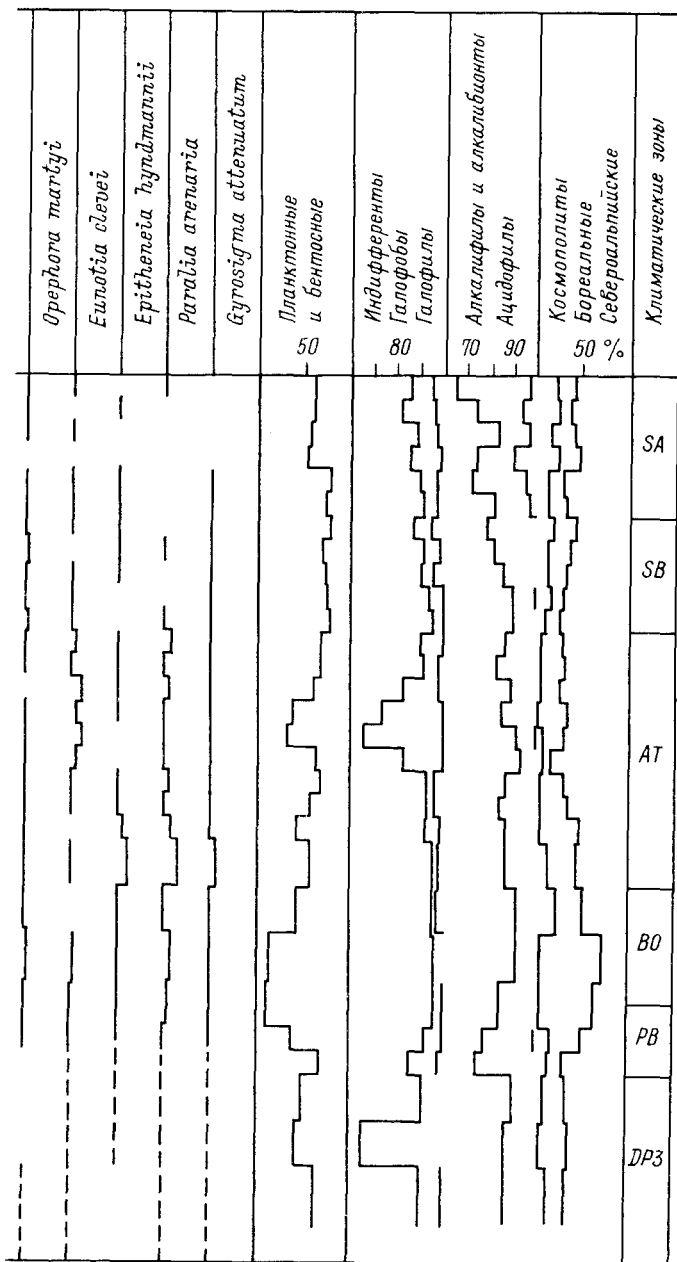


Рис. 16 (продолжение).

олиготрофных озер донные *Diploneis* и *Gyrosignia attenuatum* и обрастатели *Didymosphenia*, *Epithemia*. В диатомовых комплексах преобладающим видом в заливе Лехмалахти являются створки планктонных диатомей составляют 60—85 %, что свидетельствует о глубоководности этого участка древнего водоема.

Всего в отложениях преобладающим видом в разновидностях пресноводных диатомей, из них 28 планктонных. Во вторичном залегании найдены споры морской *Thalassiosira gravida*, следовательно, в преобладающем виде продолжался размыв и переотложение диатомей из морских осадочных толщ.

Донные отложения бореального времени (рис. 15, 16) изучены в центральной и северо-восточной частях озера и в заливе Лехмалахти. Содержание диатомей в отложениях центральной части озера очень низкое — до 5 тыс. створок, на северо-востоке — до 90 тыс., в Лехмалахти — до 360 тыс. Доминантом в осадках повсеместно является *Aulacosira islandica*. В открытых районах другие диатомей далеко уступают ей по численности. Среди характерных диатомей планктонные *Cyclotella kuetzingiana*, *Stephanodiscus rotula* var. *minutula* встречаются в центральной области и на северо-востоке, остальные — только в прибрежном северо-восточном районе. Более богатый состав диатомей — в заливе Лехмалахти, где паряду с *Aulacosira islandica* доминантом является донная *Paralia arenaria*, а субдоминантами — донные *P. teres*, *Diploneis domblittensis*, *Gyrosignia attenuatum*, обрастатели *Orephora*, *Eunotia clevei*. В заметных количествах отмечены диатомей холодных олиготрофных озер: планктонные — *Cyclotella torticosa*, *Stephanodiscus*, бентосные — *Achnanthus*, *Navicula jentzschii*, *N. scutelloides* W. Sm., *Coccconeis disculus* (Schum.) Cl., *Didymosphenia*, паряду с которыми впервые встречен характерный для эвтрофных водоемов *Cyclostephanos dubius* (Fricke) Round. В бореальное время уровень трофии залива был заметно выше, чем открытых районов озера. В отложениях бореала встречен 100 видов и разновидностей пресноводных диатомей, в том числе 28 планктонных. Во вторичном залегании найдены споры морской *Thalassiosira gravida*, створки солоноводных *Campylodiscus clypeus* Ehr. и *C. echencis* Ehr., септы *Rhabdonema*, *Thalassiosira baltica* (Grun.) Ostf. Флора залива Лехмалахти имеет большое сходство с синхронной флорой, описанной нами из отложений пебольшого ныне эвтрофного озера Вишневского, находящегося в низменной северной части Карельского перешейка в зоне распространения пролива, соединившего в бореале ладожскую котловину с Азиатским озером Балтики (Марков и др., 1934; Бискэ, 1959; Абрамова и др., 1965; Экман, Лак, 1975; Луканов и др., 1987).

Отложения атлантического возраста (рис. 15—17), установленного палеомагнитным методом (Писаревский, 1986), имеют наибольшую мощность в зоне максимального илонакопления у о-ва Валаам на глубине 228 м. Здесь, будучи не полностью пройденной, их вскрытая мощность составила 150 см. Неполный маломощный разрез атлантических отложений пройден в центральной области озера. В заливе Лехмалахти их мощность достигла 120 см. В атлантическую эпоху наблюдается существенный рост общей продуктивности экосистемы Ладожского озера, что выражалось в изменении характера осадкообра-

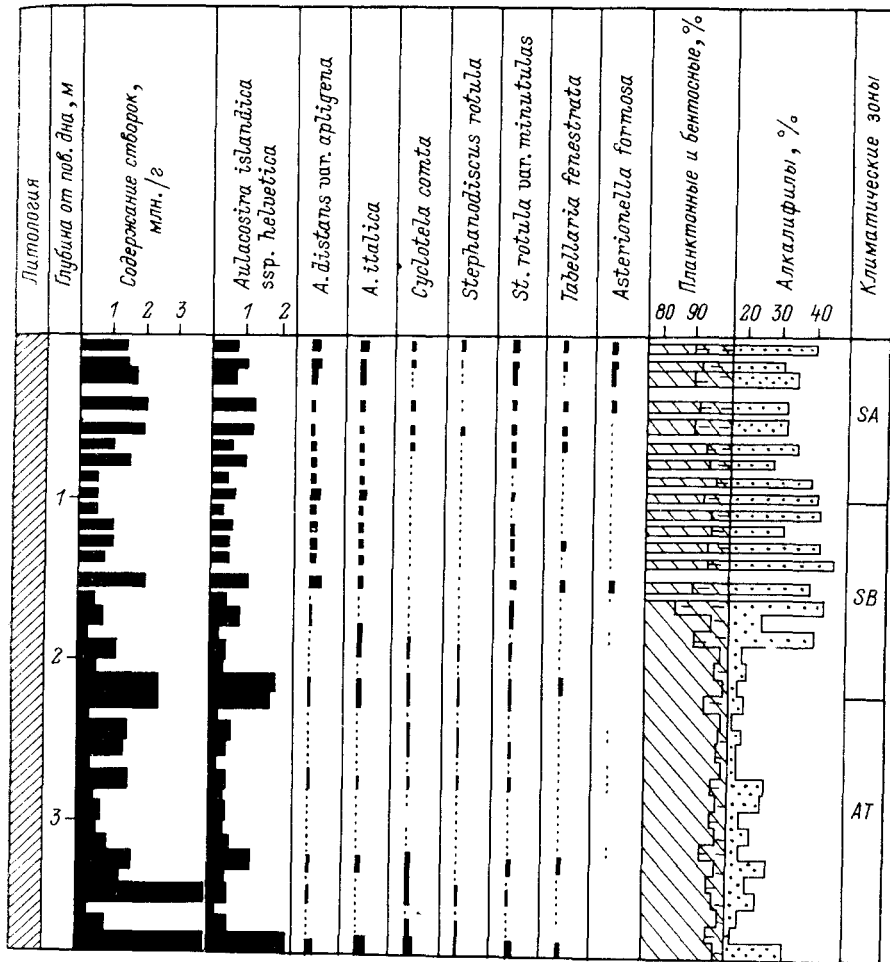


Рис. 17. Диатомовая диаграмма колонки 405.

разования, а именно — в росте содержания органического вещества в донных отложениях, росте общей численности диатомей в осадках (количество створок достигло 1.2 млн в центральной области, 3,6 млн — в зал. Лехмалахти, 4 млн — в глубоководной впадине близ о-ва Валаам). Доминантом в отложениях открытого озера, как и ранее, осталась планктонная *Aulacosira islandica*, возросла численность большой группы планктонных диатомей, 3 из которых становятся субдоминантами. Среди характерных диатомей — *A. granulata* (Ehr.) Sim. и *A. ambigua*, которые, как известно, достигают массового развития в мезотрофных и эвтрофных водах. С атлантического времени регулярно, хотя и в небольших количествах, в отложениях открытого озера появляется *Cyclostephanos dubius* — обитатель планктона эвтрофных озер. Содержание створок планктонных диатомей в осадках открытых районов составляет 92—99 %. Иной характер у диатомовых

комплексов из отложений залива, где существенную роль играют бентосные диатомеи, составляющие в нижнем интервале 66—97, в среднем — 40—52, в верхнем — 23—28 %. Пять бентосных диатомей входят в доминирующий комплекс. Следовательно, в атлантическое время бентос играет ведущую роль в формировании диатомовых комплексов в осадках залива, причем в нем обильны преимущественно развивающиеся представители флоры раннего голоцен — виды *Paralia*, *Eunotia clevei*, *Gyrosigma*, *Opephora*, *Coccconeis disculus*, *Diploneis domblittensis*. В отложениях атлантики встречено 145 видов и разновидностей диатомей, видовое разнообразие по сравнению с бореалом возросло в 1,5 раза. Наряду с североальпийскими в озере появляются бореальные виды умеренно теплолюбивой природы. Среди них, хотя и в малом количестве, встречены диатомеи эвтрофных вод — *Stephanodiscus hantzschii* Grun., *Synedra parasitica* Grun. et var. *subconstricta* Grun., *Cymbella ehrenbergii* Kütz. и др. Активность процесса переотложения морских диатомей здесь затухает — единично в осадках центральной акватории встречен *Campylodiscus clypeus*.

Отложения суббореала (рис. 15—17) — времени развития Ладожской трансгрессии — изучены методом диатомового анализа в 17 разрезах по всей акватории озера. На станциях с глубиной более 40 м донные отложения представлены илами, в зал. Лехмалахти — глинистыми алевритами, а на юге — песками с примесью гравия, алевритистыми илами. В центральной области на контакте илов с подстилающими их гомогенными или ленточными глинами имеется песчаная прослойка. Численность диатомей в отложениях центральной части озера достигает 0,5 млн, в зоне максимального илонакопления — 3 млн, а в Лехмалахти — до 6 млн. По сравнению с атлантическим временем доминирующий комплекс несколько обедняется. Повсеместно массовой, как и ранее, остается *Aulacosira islandica*, а численности субдоминанта в открытых районах достигает *Cyclotella vorticosa*, иногда планктонные *Stephanodiscus rotula*, *Cyclotella comta* и *Aulacosira distans* var. *alpigena*. Представители бентоса в отложениях открытого озера малочисленны.

Существенно изменяется состав диатомовых комплексов в зал. Лехмалахти, где, как и в открытых районах, начинают доминировать планктоные формы. Малочисленными становятся доминанты прежней эпохи — *Paralia arenaria* и *Eunotia clevei*. Всего в отложениях суббореала встречено 254 вида и разновидности диатомей, из которых 40 планктонных, т. е. происходит дальнейшее обогащение флоры озера при полном и повсеместном преобладании представителей планктона; это отражает условия Ладожской трансгрессии.

Отложения субатлантики (рис. 15—17), обнаруженные в 25 донных колонках, в глубоководной зоне представлены илами, илами с примесью песка и гравия — вблизи берегов, на мелководьях — песками. Численность диатомей в отложениях открытых районов составляет 0,6—1 млн, в зал. Лехмалахти — 5—6 млн. Самая высокая численность отмечена в глубоководной впадине к югу от о-ва Валаам, где найдено до 40 млн створок. Эта впадина является своеобразной «ловушкой», где оседают на дно створки, приносимые плотностным

течением, направленным в озере против часовой стрелки и отклоняющимся от восточного берега на запад. Илы этой впадины имеют зеленый оттенок за счет высокого содержания в них хлорофилла, как и в глубоководной колонке 405 (Давыдова, Трифонова, 1982).

В открытых районах озера доминантом в отложениях является *Aulacosira islandica*, субдоминанты — группа планктонных диатомей, на северо-востоке и юге в их число входят диатомеи, развивающиеся в более высокотрофных водах, — *A. granulata* и *Thalassiosira lacustris* (Grun.) Hasle. В северо-западных глубоководных впадинах в заметных количествах накапливаются диатомеи бентоса, выносимые из щернного района озера, что вносит большую нестроту в их состав. В зал. Лехмалахти вторым доминантом является *Aulacosira distans* var. *alpigena*. Состав субдоминантов и характерных диатомей здесь существенно пополняется за счет диатомей бентоса.

В Сортавальском заливе состав диатомовых комплексов отложений показывает существенные изменения, произошедшие в экосистеме под влиянием антропогенного фактора. Эти изменения отразились в характере доминирующего комплекса, в состав которого входят показательные диатомеи эвтрофных вод — *Stephanodiscus hantzschii*, *Cyclostephanos dubius*, *Diatoma elongatum* (Lyngb.) Ag., а численность *Aulacosira islandica* понижена.

Всего в отложениях субатлантики встречено 278 видов и разновидностей пресноводных диатомей, из них 40 планктонных и 3 морских диатомеи, находящихся во вторичном залегании, — *Thalassiosira gravida*, *Th. excentrica*, *Rhabdonema arcuatum* (Lyngb.) Kütz. Субатлантическая флора отличается наибольшим богатством и разнообразием.

Материалы диатомового анализа в совокупности с другими сведениями о донных отложениях Ладожского озера позволяют восстановить основные этапы развития его экосистемы на протяжении поздне-последниковья с учетом региональных особенностей, проявившихся в общем характере осадкопокопления, его темпе и скорости развития процессов эвтрофирования.

### Остатки беспозвоночных в донных отложениях

Остатки беспозвоночных животных изучены в колонке грунта, взятой в северной, глубоководной части озера на глубине около 220 м. Длиной 130 см, извлеченная колонка представляет собой однородный песчано-глинистый монолит серого цвета без прослоек. Она изучена послойно: от поверхности грунта до глубины 10 см — через 1 см, а глубже — через 5 см. Численность остатков животных подсчитывалась в 1 см<sup>3</sup> обводненного грунта (Кордэ, 1960).

В донных отложениях Ладожского озера обнаружены остатки кладоцер, сипулы губок, домики простейших (тинтиниды), коконы турбеллярий, фрагменты насекомых. Среди кладоцер преобладали фрагменты *Bosmina longirostris*, *Chydorus sphaericus*, *Alona* sp. Общее количество остатков животных на разных глубинах грунта значительно колебалось (рис. 18). Максимальные значения обнаружены

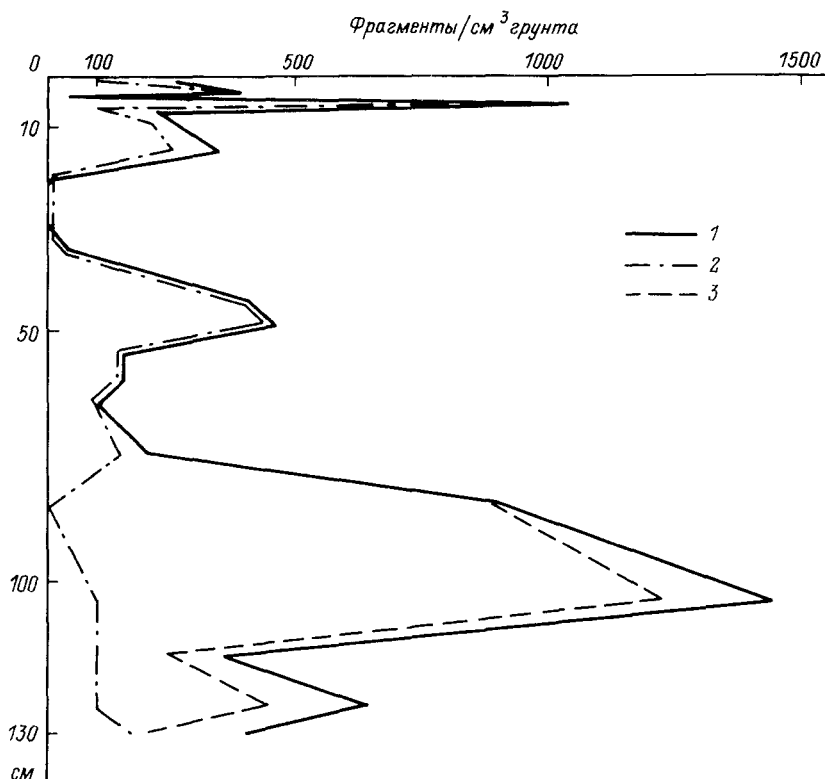


Рис. 18. Численность фрагментов животных в колонке донных отложений (в  $1 \text{ см}^3$  обводненного грунта).

1 — общая численность, 2 — кладоцеры, 3 — спикулы губок.

на глубине 100—110 (за счет спикул губок) и на 5—6 см (за счет остатков кладоцер).

В нижней части колонки (130—80 см) доминируют остатки губок, в более поздних отложениях встречающиеся либо в малых количествах, либо не попадающие в подсчет. Кладоцеры в промежутке от наибольших изученных глубин грунта до почти 50 см присутствуют в умеренном количестве, но в интервале 25—15 см число всех остатков резко убывает, после чего число остатков кладоцер вновь увеличивается, чтобы на глубине 5—6 см достичь максимума — 800 фрагментов в  $\text{cm}^3$ .

Таким образом, в колонке отмечается смена доминирующих групп фауны. Обильное развитие губок указывает на значительное содержание кислорода и кремния, малое содержание взвеси. Увеличение абсолютной численности кладоцер связано с повышением трофности водоема.

Первая попытка изучить остатки беспозвоночных в колонке донных отложений Ладожского озера, взятой в его самой глубокой части, показывает перспективность этого метода и необходимость его широкого применения при дальнейших исследованиях.

## Глава 6

### ИСТОРИЯ ОЗЕРА ПО ЗООГЕОГРАФИЧЕСКИМ ДАННЫМ

#### История озера по данным об ихтиофауне

Ихтиофауна Ладожского озера и его бассейна отличается, во-первых, относительным видовым богатством (45 видов и основных подвидов — Кудерский, 1961) и, во-вторых, неоднородностью с экологических позиций. По особенностям реакции на температурный фактор, например, обитающие в Ладожском бассейне рыбы составляют ряд от стенотермных, холодолюбивых видов, куда входят налия *Salvelinus alpinus* (L.), озерный лосось *Salmo salar* m. *sebago* Girard, озерная форель *Salmo trutta* m. *lacustris* L., хариус *Thymallus thymallus* (L.), ладожская рогатка *Triglopsis quadricornis* lönbergi Berg, до относительно теплолюбивых, южных форм — сом *Silurus glanis* L., красноперка *Scardinius erythrophthalmus* (L.), синец *Abramis ballerus* (L.) и др.

Обе отмеченные черты обусловлены особенностями формирования водоема и его ихтиофауны.

Современный видовой состав рыб, населяющих Ладожское озеро и водоемы его водосборного бассейна (большие и малые озера, реки), складывался на протяжении поздне- и послеледникового времени под определяющим влиянием как исторических, так и экологических факторов. Первые включают геологическую историю Ладожского озера и его предшественников, а также историю связей с соседними водными системами на протяжении последних 11—12 тыс. лет. Эти факторы определили возможность вселения в прошлом отдельных видов рыб в формирующийся ладожский бассейн из смежных водоемов. Экологические факторы обусловили выживание вселившихся рыб в конкретных условиях среды обитания и сохранение их в водоемах до настоящего времени. Холодолюбивые рыбы смогли выжить в Ладожском озере благодаря его глубоководности, наличию водных масс с пониженными температурами в течение всего года и общему олиготрофному облику водоема. Более теплолюбивые виды сохранились в относительно теплых мелководных предустьевых участках и связанных с Ладогой хорошо прогреваемых озерах.

Появление рыб в южной части Ладожского озера восходит к времени существования в этом регионе отдельных приледниковых водоемов, а затем — Балтийского Ледникового озера, восточный залив которого занимал котловину современной Ладоги. Этот самый начальный этап формирования ихтиофауны будущего Ладожского озера от современного периода отделяют более чем 11 тыс. лет (Квасов, 1975).

Балтийское Ледниковое озеро, которое с юга омывало ледник, отступивший на территорию современных Финляндии и Швеции, может рассматриваться как местообитание той относительно немногочисленной по количеству видов фауны, которая во время максимального продвижения ледника к югу не погибла, а сохранилась в многочисленных приледниковых озерах.

В связи с близостью Балтийского Ледникового озера и приледниковых озер к ледниковому циту условия обитания организмов были достаточно суровыми. Поэтому с большой долей вероятности можно считать, что сохранившиеся в приледниковых водоемах рыбы относились к холодолюбивым формам. Этот комплекс видов рыб из Балтийского Ледникового перешел в Ладожское озеро, которое сформировалось как самостоятельный водоем в период существования в Балтике так называемого Йольдиевого моря (около 9.8 тыс. л. н. — Квасов, 1975). К первым обитателям Ладожского озера могут быть отнесены такие встречающиеся в нем и в его бассейне и теперь рыбы, как речная *Lampetra fluviatilis* L. и ручьевая *L. planeri* (Bloch) миноги, налия *Salvelinus alpinus*, озерный лосось *Salmo salar* m. *sebago*, озерная *S. trutta* m. *lacustris* и ручьевая *S. trutta* m. *fario* L. форель, ряпушка *Coregonus albula* L., многочисленные формы сигов *C. lavaretus* L., хариус *Thymallus thymallus*, налим *Lota lota* (L.), ладожская рогатка *Triglopsis quadricornis lönnerbergii*, окунь *Perca fluviatilis*, плотва *Rutilus rutilus* (L.) и некоторые другие виды.

Дальнейшее обогащение фауны рыб Ладожского бассейна произошло, по-видимому, в анциловое время, когда Ладога на непродолжительный период превратилась в залив заполнявшего котловину Балтики пресноводного Анцилового озера. Есть основания считать, что в анциловое время в бассейн Ладожского озера вселились многие из обитающих в нем в настоящее время рыб, в том числе атлантический осетр *Acipenser sturio* L., различные виды карловых рыб — сырть *Vimba vimba* (L.), голавль *Leuciscus cephalus* (L.), линь *Tinca tinca* (L.), лещ *Aramis brama* (L.) и др., а также судак *Stizostedion lucioperca* (L.).

Необходимо отметить, что одни и те же виды рыб, обитая поочередно в приледниковых водоемах, Балтийском Ледниковом озере, Йольдиевом море (которое было почти пресным), Анциловом озере, претерпевали микроэволюционные преобразования, приводившие к возникновению местных популяций. Поэтому, вселяясь в Ладожский бассейн, одни и те же виды рыб оказывались различающимися как между собой, так и с местными формами, что находит свое отражение и в современном облике подобных видов.

Подтверждением сказанному служит ладожская рогатка *Triglopsis quadricornis lönnerbergii*. Как известно, в озерах Северо-Запада рогатка представлена двумя формами — онежской *Triglopsis quadricornis onegensis* Berg et Popov, наибольее уклонившейся от исходного морского типа, и ладожской *T. quadricornis lönnerbergii*, занимающей как бы промежуточное положение между рогатками из Онежского озера и Балтийского моря (Берг, 1949). По-видимому, первоначально в Ладожский объем еще на стадии приледникового водоема (озеро Рамзая) вселилась рогатка, близкая к онежской. В анциловое время в Ладожское озеро проникла другая ее форма, более близкая к морскому предку. В настоящее время она является типичной для озера. Таким образом, ладожская рогатка может рассматриваться как прямой остаток фауны Анцилового озера. В той же роли выступает и крупная форма ладожской корюшки *Osmerus eperlanus eperlanus*.

и. *ladogensis* Berg в отличие от ее мелкой формы, происходящей от ихтиофауны приледниковых водоемов.

Свидетельством обмена между ихтиофаунами Ладожского и Анцилового озер могут служить такие некоторые особенности ладожского судака и лосося. Так, при сравнении судака из Ладожского озера, Выборгского залива и Невской губы обнаружена большая близость первых двух популяций (Ильинкова, 1975). Установлено также, что лосось из р. Хитолы ближе невскому, чем лососю из р. Свири (Кудерский и др., 1982). Примеры с судаком и лососем подтверждают наличие в прошлом водной связи между Ладожским и Анциловым озерами, проходившей по северной части Карельского перешейка от Выборгского залива к северной Ладоге.

Все это дает представление об истории формирования холодноводного и сравнительно эвритеческого комплекса рыб Ладожского бассейна.

Менее ясны пути проникновения теплолюбивых, южных рыб. Предполагается, что эти виды расселились по водоемам Балтийского бассейна в эпоху температурного оптимума. Вероятно, тогда существовали относительно легко преодолимые для рыб каналы связи между северными и южными речными системами. Через них в Ладожский бассейн проникли красноперка *Sceardinius erythrophthalmus*, верховка *Leucaspis delineatus* (Heckel), жерех *Aspius aspius* (L.), белоглазка *Abramis sapo* (Pallas), синец *A. ballerus*, карась *Carassius carassius* (L.) и др. В этот же период в Ладожское озеро проник берш *Sitzostedion volgensis* (Gmelin), впоследствии здесь вымерший и в настоящее время встречающийся южнее главного водораздела Восточно-Европейской равнины.

Проникновение южных видов рыб в Ладожский бассейн осуществлялось в основном в два этапа. Первый из них — расселение из речных систем Понто-Каспийского бассейна в речные системы Балтийского бассейна; второй — проникновение из последних непосредственно или через опресненные районы Балтики в Ладожское озеро и его бассейн. Рассмотренные выше пути заселения рыбами Ладожского бассейна наглядно представлены здесь в виде схемы (рис. 19).

Следует заметить, что тюлень *Phoca hispida lagodensis*, обитающий в настоящее время в Балтийском море, в Ладогу вселился, вероятно, в период существования Анцилового озера.

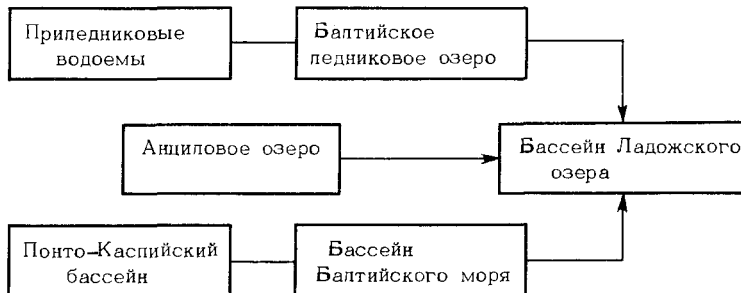


Рис. 19. Пути формирования ихтиофауны Ладожского озера.

## История озера по данным о фауне высших ракообразных

В Ладожском озере и водоемах его бассейна обитает 9 видов высших ракообразных, которые по своему генезису распадаются на две группы. Одну из них составляют такие типично пресноводные виды, как изонода *Asellus aquaticus* L., амфиопода *Gammarus lacustris* Sars, широкональный рак *Astacus astacus* L. и узкональный рак *A. leptodactylus* Eschholz. Во вторую группу входят 5 видов реликтовых ракообразных, в том числе изонода *Mesidothea entomon* L., мизида *Mysis oculata* var. *relicta* Lovén, амфиопиды *Pontoporeid affinis* Lindstr., *Gammaracanthus loricatus* Sars, *Pallasea quadrispinosa* Sars.

Пресноводные виды высших раков широко распространены в водоемах Европы (Бирштейн, Виноградова, 1933; Бирштейн, 1951; Бекман, 1954). В отличие от них ареал реликтовых ракообразных ограничен районами, покрывающимися последним ледником или непосредственно примыкавшими к нему с юга (Кудерский, 1971). В связи с этим в проблеме формирования фауны высших раков Ладожского бассейна наибольший интерес представляет анализ путей происхождения реликтовых видов. По этому вопросу существует две точки зрения. Одна из них восходит к С. Ловену и объясняет наличие реликтовых ракообразных в пресных водоемах обширными морскими трансгрессиями. В соответствии с этой точкой зрения считается, что Ладожское озеро в позднеледниковое время входило в состав морского бассейна, который соединялся на востоке проливом с Белым морем. Однако эти представления противоречат накопленным к настоящему времени обширным материалам по четвертичной истории североевропейских территорий.

Согласно второй точке зрения, опирающейся на анализ географического распространения реликтовых ракообразных, особенностей их экологии и на геологические данные, реликтовые ракообразные проникли в Ладожское озеро, как и в другие водоемы Северной Европы, из приледниковых водоемов (Кудерский, 1971, 1972, 1982). В последнее межледниковье нынешние реликтовые виды ракообразных обитали в солоновато-водных участках морского бассейна (Эмское, Мгинское или «Бореальное» море), существовавшего на месте современных Балтийского и Белого морей и простиравшегося далее на восток. При наступлении последний ледник отделил от океана участки межледникового морского бассейна, которые опреснились за счет талых ледниковых вод. При продвижении ледника к югу приледниковые водоемы, перемещаясь перед его краем, затопляли все более и более высокорасположенные части суши. В них частично сохранилась фауна опресненных частей межледникового моря в виде реликтовых форм и, также частично, типично пресноводная фауна. Из обитающих в бассейне Ладожского озера пресноводных форм высших ракообразных в приледниковых водоемах смогли пережить суворые условия ледникового периода водяной ослик *Asellus aquaticus* и гаммарус *G. lacustris*.

В пределах современной котловины Ладожского озера комплекс реликтовых и два вида пресноводных ракообразных появились более 11 тыс. л. н., когда там размениались воды Ладожского плёса приледникового озера Рамзая, а затем Ладожский залив Балтийского Ледникового озера (Квасов, 1975). Таким образом, реликтовые ракообразные смогли появиться в Ладожской котловине почти за 2 тыс. лет до образования на месте современной Балтики позднеледникового Йольдиевого моря. Причем в бассейн Ладожского озера высшие ракообразные (в том числе и реликтовые формы) могли проникать как из приледниковых водоемов, размещавшихся южнее, так и из Балтийского Ледникового озера. Хотя позднее Ладога входила в состав Анцилового озера в виде его восточного залива, на современном составе фауны высших ракообразных этот эпизод истории озера не отразился.

Широкопалый рак *Astacus astacus* начал расселяться в бассейне Ладожского озера предположительно уже в послеледниковое время, проникнув сюда, по-видимому, из речных систем Днепровского бассейна. Что касается узкопалого рака *A. leptodactylus*, то он появился в рассматриваемом районе в недалеком прошлом при помощи человека (искусственные пересадки, расселение по каналам и т. п.). В последние десятилетия узкопалый рак активно расширяет свой ареал, вытесняя широкопалого рака.

### История озера по данным о фауне моллюсков

В Ладожском озере встречается 49 видов и 9 подвидов гастронод, принадлежащих 15 родам, и 30 видов двустворчатых моллюсков, которые относятся к 9 родам (Герд, 1946; Иоффе, 1948; Стальмакова, 1968; Слепухина, Алексеева, 1982; Петрова, 1987). Нашими исследованиями впервые для озера установлены 8 видов гастронод и 4 вида двустворок. Наиболее распространены представители родов *Lymnaea* (16 видов), *Anisus* (9 видов), *Valvata* (4 вида); родам *Planorbarius*, *Bithynia*, *Viviparus* принадлежит по 3 вида. Среди двустворок наибольшее число видов относится к роду *Euglesa* (9 видов), а также *Anodonta*, *Unio* (по 5 видов); роду *Sphaerium* принадлежит 4 вида. Виды родов *Euglesa* и *Neopisidium* принимаются здесь в обычном (широком) понимании. Биотоны дна и соответствующие им биоценозы донных животных Ладожского озера рассматриваются в работах Ц. И. Иоффе (1948) и Г. Н. Стальмаковой (1968).

Наиболее богатством и разнообразием отличается фитофильный биоценоз, сформированный в условиях значительных по площади зарослей макрофитов, что располагаются вдоль южного побережья озера (Свирская и Волховская губы, бухта Петропрепость), а также в вершинах заливов щерной его части. В составе этого биоценоза 29 видов гастронод и 9 видов двустворок. Большая их часть принадлежит родам *Lymnaea*, *Anisus*, *Planorbis*, *Planorbarius*, *Valvata*, *Viviparus*.

Скалистая и каменистая литораль в северной части озера и у

островов заселена литореофильными (прибрежные участки) и фитореофильными (затишные участки) моллюсками. Присутствие в литореофильном биоценозе большого числа настоящих литореофилов объясняется значительным сходством условий в литорали Ладожского озера и в реках. Здесь встречаются *Lymnaea stagnalis turgida*, *L. dorianae*, *L. atra*, *L. ovata*, *L. patula*, *Anisus contortus*, *A. vortex*, *Ancylus fluviatilis*.

Песчаная литораль, которая занимает значительные участки дна вдоль восточного и западного берегов, а также большую часть южной половины озера, заселена слабо. На подвижных песках литорали моллюски полностью отсутствуют и начинают появляться на глубине 5–6 м, где пески становятся более уплотненными (Стальмакова, 1968). В состав псаммофильного биоценоза входят *Sphaerium corneum*, *Pisidium amnicum*, *Euglesa henslowana*, *E. supina*. Ц. И. Иоффе (1948) выделяет также псаммопелофильный биоценоз — промежуточный между псаммофильным и пелофильным. Из моллюсков здесь встречаются *Contectiana ladogensis*, *Cincinnna piscinalis*, *Bithynia tentaculata*, *Anisus albus*, *A. contortus*, *Sphaerium corneum*, *Euglesa henslowana*, *E. casertana*, *E. subtruncata*.

Сублитораль представляет собой зону, переходную от разнообразной по условиям литорали к однообразной профундали. Здесь распространены *Lymnaea ovata*, *L. baltnica*, *Cincinnna piscinalis*, *Valvata cristata*, *Euglesa lilljeborgi*, *Pisidium amnicum*, которые встречаются также в пределах литорали, и *Neopisidium conventus*, характерный для профундали.

Пелофильный биоценоз занимает профундальную зону центральной и северной частей озера. Моллюски встречаются в основном до глубины 30 м и представлены видами *Euglesa henslowana*, *E. casertana*, *E. nitida*, *E. lilljeborgi*, *Neopisidium conventus*, последний из которых — на глубинах до 180 м (Стальмакова, 1968; Слепухина, Алексеева, 1982).

В зоогеографическом отношении малакофауна Ладожского озера неоднородна. Основу ее составляют виды с европейским (39 видов, или 52 %) и европейско-западносибирским (18 видов, или 24 %) ареалами распространения. Более широкими ареалами обладают 16 видов, из которых наиболее широкими, голарктическим и палеоарктическим, — 4 вида (5 %), остальные же являются европейско-сибирскими видами. Среди этой последней группы можно выделить три подгруппы видов: заходящие восточнее Лены (4 вида, или 6.5 %), доходящие до Лены (3 вида, или 4 %) и доходящие до бассейна Енисея (5 видов, или 7 %). Сибирско-европейские элементы здесь представлены только одним видом (1.5 %). В отличие от Онежского озера в Ладожском отсутствует сибирский вид *Cincinnna sibirica*, но значительно возрастает число европейских и европейско-западносибирских видов. Это говорит о том, что, несмотря на принадлежность к одной зоогеографической провинции (Балтийская провинция, по схеме зоогеографического районирования Я. И. Старобогатова, 1986) и сходство природных условий, история формирования малакофауны этих озер имеет некоторые отличия.

Ко времени последнего оледенения на территории Восточно-Европейской равнины сложилась плейстоценовая фауна моллюсков, почти не отличающаяся от современной (Старобогатов, 1970). На протяжении голоцене не было отмечено появления новых видов. Последнее оледенение оттеснило моллюсков к югу и юго-западу. Некоторые холодолюбивые виды, такие как *Euglesa ruut*, *Neopisidium conventus*, оказались на юге Западной Европы, в районе Альп, о чем свидетельствует их арктоальпийский ареал (Старобогатов, 1970).

В послеледниковые времена по мере потепления климата прежние ареалы распространения видов начинают восстанавливаться. Расселение моллюсков происходит по речным долинам Днепра, Волги, Камы, ими используются многочисленные соединения речных бассейнов, возникающие при стоке вод тающего ледника (Берг, 1949; Квасов, 1975).

В аллорёде, когда Ладожское озеро становится заливом Балтийского Ледникового озера, происходит первое вселение на северо-запад Русской равнины холодолюбивых видов моллюсков *Anisus stroemi*, *A. acronicus*, *Euglesa substrancata*, *E. nitida*, а также климатически нейтральных видов *Lymnaea ovata*, *L. auricularia*, *L. stagnalis*, *L. atra*, *Anisus albus*, *Euglesa (Casertiana)* sp. (Даниловский, 1955). Поскольку все эти виды широко распространены в Ладожском озере, этот этап можно считать первым в его заселении.

Следующий этап массового вселения моллюсков в Ладожское озеро связан с boreальным временем, к которому озеро представляет собой залив пресноводного Анцилового озера. К этому времени И. В. Даниловский относит вселение многочисленных видов от холодолюбивых до умеренно теплолюбивых, таких как существующие ныне в озере *Ancylus fluviatilis*, *Acroloxus lacustris*, *A. oblongus*, *Euglesa supina*, *E. henslowana*, *E. tetragona*, *E. nitida*. Максимального развития достигают планориды. Среднюю и южную части Анцилового озера населяют также *Lymnaea ovata* var. *baltica*, *Bithynia tentaculata*, *Sphaerium sueticum*, *Cincinnna piscinalis*, *Planorbis planorbis*, *Physa fontinalis*. К этому же времени относится вселение *Unio rostratus*, *U. conus*, *Batavusiana atra*, *Anodonta cygnea*.

В атлантическое время Балтика перестает служить источником вселения моллюсков в Ладожское озеро, так как там образовалось Литориновое море, соленость которого была выше, чем соленость современного Балтийского моря. Ладожское озеро в это время стало самостоятельным бассейном со стоком через северную часть Карельского перешейка (Квасов, 1975). Тогда же происходит последнее массовое вселение на территорию северо-запада теплолюбивых видов. Это широко распространенные вивипариды *Lymnaea tabulei*, *L. dupuyi*, *Planorbarius cornueus*, *Shadinicydas rivicola*, *Amesoda solida*.

В атлантическое время окончательно сложился современный облик фауны моллюсков, так как в это время происходит и окончательное восстановление ареалов их распространения (Старобогатов, 1970). Гастроноды достигли своего максимального развития в суббореальное и субатлантическое время, вероятно, благодаря зарастанию макрофитами мелководных акваторий преимущественно в южной части озера. Возможно, однако, что расселение продолжается и до

сих пор. Об этом свидетельствует тот факт, что некоторыми исследователями на рубеже XIX и XX веков (Кесслер, 1868) отмечалось нахождение моллюсков, принадлежащих родам *Unio* и *Anodonta*, а также вида *Viviparus viviparus* только в южной части Ладожского озера, тогда как теперь все эти виды встречаются и на севере.

По сравнению с результатами исследований бентоса, проводившихся в 60-х годах (Стальмакова, 1968), моллюски в глубоководной зоне озера стали встречаться значительно реже. По данным исследований последних лет можно заметить также более широкое развитие литоральных форм, особенно гастронод. Вероятно, это является результатом антропогенного воздействия на водоем.

Таким образом, изучение малакофауны Ладожского озера подтверждает его тесную связь с пресноводными бассейнами в Балтийской котловине, которая существовала не только в позднеледниковое время, но и во время бореала, когда климатические условия были уже довольно благоприятными, что и привело к образованию довольно разнообразной по видовому составу фауны моллюсков. Указанием на молодость фауны озера является полное отсутствие эндемичных видов и исторически сложившихся фаунистических различий между зонами литорали и профундами.

### История озера по данным о фауне олигохет

Малощетинковые черви (олигохеты) несомненно обитали на территории Приладожья еще в доледниковое время. По мере наступления ледников уцелевшие из олигохет оттеснялись в приледниковые озера вплоть до бассейна Волги. Холодолюбивые виды, продвигаясь к югу Европы, могли найти убежища в водоемах ее средней и южной частей.

По возрасту сравнительно молодая, фауна олигохет Ладожского озера сформировалась в течение последних 10—12 тыс. лет, в позднеледниковое время, первоначально в котловинах крупных озерных бассейнов — озера Рамзая и Балтийского Ледникового озера. Эти последние заселялись фауной малощетинковых червей, перенесших ледниковую эпоху на свободных от оледенения пространствах Западной Европы и Сибири. Из восточных регионов по цепи озерных и речных систем в Ладожское озеро вселились *Tubefex kessleri*, *T. smirnovi*, *Alexandrovia onegensis*, *Lamprodrilus isoporus* и др.; из центральной части Западной Европы — *Nais alpina*, *N. bretschieri*, *N. behningi*, *N. elinguis*, *Cernosvitoviella atrata*, виды родов *Mesenchytraeus*, *Stylodrilus*, *Rhyacodrilus*, *Tricodrilus* и т. п. *Nais alpina*, *Tetriella slovenica*, *Rhynchelmis*, *Stylodrilus* проникли, очевидно, из высокогорных и достаточно холодных водоемов.

Во время ранней ультраологотрофной фазы Ладожского озера условия особенно благоприятствовали развитию и распространению литореофильных видов (*Nais aplina*, *N. behningi*, *N. elinguis* и др.). По мере появления прибрежной растительности фауна олигохет обогащалась за счет фитофильных видов равнинных водоемов Север-

ной и Средней Европы и Сибири (*Aelosoma*, *Stylaria lacustris*, *Ripistes parasita*, *Ophidonaia serpentina*, *Vejdovskyella comata*, *N. communis* и т. п.). Многие виды, по мнению Т. Э. Тимма (1987), не успевшие восстановить свои ареалы, разрушенные покровным ледником, либо не прижились здесь совсем, либо освоились лишь на очень небольших и разобщенных участках. Следствием этого является распространение видов с разорванными ареалами (*N. alpina*, *Tatriella*, *Lamprodrilus*, *Stylodrilus parrus*, *S. brachystylus*).

Ввиду молодости современной фауны олигохет Ладожского и Онежского озер эндемичные формы имеют ранг только подвида (*Tubifex kessleri kessleri*, *Lamprodrilus isoporus variabilis*, *L. achaetus palearcticus*, *Rhynchelmis granuensis onegensis*). Единичные виды олигохет, создавшие малочисленные популяции в приледниковых озерах, постепенно территориально разобщались, сохранившись до наших дней в виде реликтовых популяций с прерывистым ареалом. *Tatriella slovenica*, например, кроме Ладоги и Онеги обитает в Татрах, на Кольском полуострове и на территории Коми АССР. Виды рода *Lamprodrilus*, происходящие из Байкала и оз. Охрид, вследствие значительной изоляции дали новые подвиды в Ладожском и Онежском озерах, в Финляндии и Карелии.

Основная часть фауны олигохет Ладожского озера проникла в него из бассейна Днепра, который во время оледенения был связан с бассейнами Немана, Западной Двины и Великой (Шульман, 1958). В период отступления ледника значительная часть фауны бассейна Днепра проникла в водохранилище Балтийского моря, а затем по Анциловому озеру и цепи пресных водоемов, сообщавшихся друг с другом, в Ладожское озеро и далее на север. В южной части водохранилища Балтийского моря мы обнаруживаем значительное богатство представителей южных видов из родов *Potamothrix*, *Psammoryctides*, *Isochaetides* (не менее 20—22 видов); значительно меньше их в бассейнах Ладожского (6 видов) и Онежского (5 видов) озер.

Характер фауны олигохет Ладожского озера — высокая требовательность большинства ее видов к пресноводным условиям — подтверждает точку зрения Д. Д. Квасова (1975, 1986), отрицающую проникновение морских вод в Ладогу и в поздне-, и в послеледниковое время. В течение голоценена в фауне олигохет Ладоги постепенно увеличивалась доля элосоматид, наидид и тубифицид, преимущественно видов, широко распространенных в настоящее время. Стали появляться и теплолюбивые виды, которые расширяли свои ареалы (*Potamothrix hammoniensis*, роды *Aulodrilus*, *Psammoryctides* и др.).

В последние столетия с появлением и развитием судоходства и созданием системы каналов усилился процесс проникновения в Ладогу по транспортным путям (вместе с судами) ряда видов олигохет южного происхождения, особенно поントкасийцев (*Potamothrix*, *Psammoryctides*, *Isochaetides*). Это привело к изменению в озере пелофильных комплексов тубифицид; доминирующее положение стали занимать некоторые из пришедших транзитным путем,

прежде всего *Potamothrix hammoniensis*, *Isochaetides newensis*.

Усиление антропогенных воздействий на экосистему Ладожского озера и его водосборную площадь повысило трофический статус водоема, изменило в нем скорости продукции-деструкционных процессов. В результате изменилась структура сообществ олигохет: в их составе уменьшилось число видов (до одного-двух), стали доминировать *Limnodrilus hoffmeisteri*, *Tubifex tubifex*, реже — *Potamothrix hammoniensis*.

## Глава 7

### ОСНОВНЫЕ ЭТАПЫ РАЗВИТИЯ ОЗЕРА

Проведенные в последние годы исследования геологического строения Приладожья, древних береговых линий и доиных отложений Ладожского озера и путей формирования его фауны позволили гораздо более обоснованно судить о возникновении и развитии крупнейшего озера Европы.

Еще недавно считалось общеизвестным, что озерная котловина возникла в результате дифференцированных тектонических движений. Теперь же можно считать доказанным, что в Приладожье их почти не было начиная с венда. В рифее на месте современной Ладоги существовала грабен-синклиналь, возможно, занятая озерным бассейном, которая к началу венда была заполнена терригенными и вулканогенными отложениями. В дальнейшем на этой территории вилоть до начала четвертичного периода не было никаких признаков озер. Современная озерная котловина создана ледниковым выпахиванием, которое удалило из нее значительную часть рифейских терригенных отложений, оставив на месте выходов вулканогенных пород Валаамский архипелаг и другие острова. Единственным типом движений, который оказывает существенное влияние на развитие Ладоги, является изостатическое поднятие под влиянием освобождения территории от ледниковой нагрузки.

В течение десятков лет обсуждался вопрос о проникновении в Ладожскую котловину вод поздне-четвертичных морских бассейнов. Предполагалось, что в поздне- и послеледниковое время Ладога была частью Йольдиевого и Литоринового морей и через нее осуществлялось Беломорско-Балтийское морское соединение. Считалось также, что многие представители ладожской фауны являются прямыми потомками морских видов. Все эти предположения не подтвердились.

Теперь доказано, что соленые воды проникали в Ладогу единственный раз, когда во время последнего (микулинского) межледникового существовало Мгинское море. На всем протяжении поздне- и послеледникового времени в Ладожской котловине располагались пресноводные бассейны. В аллереи, позднем дриасе и бореале Ладога соединялась проливами с пресными озерами, существовавшими западнее Карельского перешейка, а в преобореале и начиная с атлантического времени — была самостоятельным озером. Отдельные обломки морских диатомей, которые иногда находят в отложениях

Ладоги, переотложены из мгинских отложений. Фауна Ладожского озера происходит не из Балтийского или Белого морей, а из пресноводных водоемов, в частности из приледниковых озер и Анцилового озера, которое занимало Балтийскую котловину. Поздне- или послеледникового Беломорско-Балтийского морского соединения не существовало.

Удалось также по-новому осветить историю Ладожской трансгрессии. До недавнего времени считалось, что она закончилась около 4 тыс. л. н. и тогда же образовалась р. Нева. Теперь ясно, что окончание трансгрессии и возникновение Невы датируются приблизительно 2 тыс. л. н. Сток из Ладоги первоначально осуществлялся через северную часть Карельского перешейка. Район порога стока испытывал изостатическое поднятие, а высотное положение южного Приладожья почти не менялось. Это привело к затоплению южных, юго-западных и юго-восточных берегов озера. Уровень достиг максимума (на южных берегах — 21—22 м) 3700 л. н., после чего снизился на несколько метров, чтобы вновь подняться, составив около 2 тыс. л. н. 14—15 м (на южных берегах). Переезд через водораздел между Мгой и Тосной привел в это время к образованию р. Невы.

Можно наметить 11 основных этапов истории озера.

1. В рифе образовалась Ладожская грабен-антиклиналь, в которой, возможно, существовало озеро. К концу рифея котловина была заполнена терригенными и вулканогенными отложениями и перестала существовать.

2. В раннем и среднем плейстоцене в результате ледникового выщахивания, удалившего часть рифейских терригенных отложений, возникла котловина, где существовали приледниковые озера. Отложений межледниковых озер здесь пока не найдено. Каждое последующее оледенение удаляло из котловины большую часть накопившихся ранее плейстоценовых отложений. Поэтому история озер, существовавших в Ладожской котловине, вероятно, никогда не будет полностью известна.

3. Во время последнего (микулинского) межледникового в Ладожскую котловину проникали воды Мгинского моря.

4. Валдайские ледники удалили из Ладожской котловины большую часть образовавшихся ранее четвертичных (в том числе мгинских) отложений и продолжили выщахивание дочетвертичных отложений, сформировав основные черты современного рельефа дна и побережья озера.

5. К началу аллера́да край ледникового щита в пределах Ладожской котловины отступил на северо-северо-запад. В северной, глубоководной части котловины местами, возможно, до начала голоцене сохранились массивы мертвого льда, содержащего большое количество моренного материала и поэтому не вспывавшего.

6. В самом начале аллера́да в южной и средней частях котловины образовался Ладожский плёс приледникового оз. Рамзая с уровнем (в районе устья Свири) 24 м, а затем — 15 м. В средней части котловины в результате изостатического поднятия береговые линии

оз. Рамзая находятся теперь на значительной высоте. Так, на северном склоне Центральной возвышенности Карельского перешейка они имеют абсолютные отметки около 65 и 50 м. Уровень оз. Рамзая определялся отметками порогов стока, находившихся на территории Эстонии. В озере отлагались ленточные глины.

7. Около 11.8 тыс. л. н. в северной Эстонии ледники отступили от возвышенности Пандивере, что привело к резкому падению уровня оз. Рамзая, остатки которого стали частью Балтийского Ледникового озера. Водный бассейн в Ладожской котловине был заливом этого озера, который сообщался с основной акваторией через пролив в северной части Карельского перешейка. В тектонически стабильных районах, в частности в юго-восточном Приладожье, уровень Балтийского Ледникового озера был на 25—30 м ниже современного уровня океана, поэтому южная часть дна современной Ладоги была тогда сушей. Северное же побережье Ладоги находилось гораздо ниже, чем теперь, и было затоплено. В Балтийском Ледниковом озере продолжали отлагаться ленточные глины.

8. 10.2 тыс. л. н. в средней Швеции ледники отступили от горы Биллинген, что привело к падению уровня Балтийского Ледникового озера на 26 м и превращению его в Йольдиевое море, воды которого имели крайне незначительную соленость. Ладожское озеро впервые стало самостоятельным. Его уровень определялся порогом стока в северной части Карельского перешейка, который находился тогда гораздо ниже, чем теперь. Северное побережье современной Ладоги было затоплено, на юге же была осушена гораздо большая часть дна, чем на всех предыдущих и последующих этапах истории озера. В нем отлагались гомогенные глины.

9. Изостатическое поднятие средней Швеции привело к тому, что около 9.5 тыс. л. н. морской пролив там исчез, а на его месте возникла р. Свеа. В результате Йольдиевое море превратилось в Анциловое озеро, уровень которого быстро повышался по мере поднятия порога стока в истоках р. Свеа. В результате в северной части Карельского перешейка вновь образовался пролив, а Ладога превратилась в залив Анцилового озера. Он затоплял не только северное, но и юго-восточное побережье современной Ладоги. В это время в глубоководной части Ладожской котловины началось отложение илов.

10. Около 8.4 тыс. л. н. уровень Анцилового озера достиг высоты Дарского порога (в районе о-ва Рюген). Перелив через порог и его размыв вызвал резкое падение уровня Анцилового озера на 12—14 м. Северная часть Карельского перешейка осушилась, и на месте пролива там возникла короткая, но многоводная река, впадавшая в Выборгский залив. Истоки ее находились в районе пос. Вещево (Хейниоки) и служили порогом стока Ладоги, окончательно ставшей самостоятельным озером. Первоначально часть дна южной части современной Ладоги была еще сушей. Изостатическое поднятие порога стока вызвало постепенное затопление южной части котловины. По радиоуглеродным, палинологическим и археологическим данным, наибольший уровень (около 21—22 м на южном побережье)

был достигнут 3,7 тыс. л. и. Затем по не совсем ясным пока причинам уровень снизился на несколько метров. Возможно, это объясняется размывом порога стока у пос. Вещево. После этого уровень вновь поднялся, достигнув около 2 тыс. л. и. абс. высоты 14—15 м (на южном побережье).

11. Поднятие уровня привело к переливу через водораздел между Мгой (впадавшей в Ладогу) и Тосной (впадавшей в Финский залив). В результате около 2 тыс. л. и. образовалась Нева, врезание которой привело к быстрому падению уровня Ладожского озера до отметок, близких современным.

## Глава 8

### СОВРЕМЕННОЕ СОСТОЯНИЕ ОЗЕРА И ТЕНДЕНЦИИ РАЗВИТИЯ ПРИРОДНЫХ ПРОЦЕССОВ

Ладожское озеро — замыкающий водоем крупной озерно-речной системы, принимающей сток с водосборного бассейна площадью 258,6 тыс. км<sup>2</sup>. Любые изменения условий формирования воды в этой системе, как природного, так и антропогенного происхождения, отражаются в конечном итоге на качестве воды Ладожского озера. В силу относительно небольших скоростей изменений, происходивших на протяжении всей истории озера, экосистема успевала адаптироваться к новым условиям, поэтому перестройки видового состава и количественного соотношения гидробионтов носили в основном эволюционный характер. В результате этого сформировалась экосистема озера с высоким качеством воды: общая минерализация составляла 56 мг/л, т. е. была в два раза ниже байкальской.

За последние 25—30 лет качество ладожской воды заметно ухудшилось за счет интенсивного загрязнения и эвтрофирования. В результате сбросов сточных вод и хозяйственной деятельности на берегах озера и в его водосборном бассейне, осуществляющейся без необходимых водохранилищных мероприятий, в озеро поступают органические и минеральные взвеси, фенолы и нефтепродукты, биогенные элементы, соли литносульфатного комплекса и тяжелые металлы, а также ядохимикаты.

Основными источниками загрязнения являются предприятия целлюлозно-бумажной и химической промышленности, цветной металлургии, коммунальное хозяйство, агропромышленные и животноводческие комплексы, водный транспорт. По данным государственного учета использования вод, в бассейн Ладожского озера за год поступает 1,4 км<sup>3</sup> сточных вод, в том числе 280 млн м<sup>3</sup> неочищенных или недостаточно очищенных стоков. В местах сбросов отмечаются существенные превышения предельно допустимых концентраций, особенно по органическим и взвешенным веществам и нефтепродуктам.

Большое количество сточных вод, поступающих по р. Волхову, загрязняет Волховскую губу. Значительное количество загрязняющих веществ поступает в озеро со сточными водами городов и в резуль-

тате смыва с городских территорий (города Подпорожье, Сортавала, Лахденпохья и др.). Источник нефтяного загрязнения — водный транспорт, сбрасывающий до 10 тыс. т нефтесодержащих вод.

Ухудшение качества воды Ладожского озера, связанное с его загрязнением, усугубляется антропогенным эвтрофированием, обусловленным резко возросшим с середины 60-х годов поступлением в озеро биогенных веществ, прежде всего фосфора. Основными признаками современного эвтрофирования Ладожского озера является обильное «цветение» воды, охватывающее при «благоприятных» для него условиях значительную часть водной поверхности озера. При этом резко уменьшается прозрачность воды, меняются численность и видовой состав фитопланктона за счет уменьшения роли диатомовых и увеличения развития синезеленых водорослей. В 4—5 раз возрастает биомасса фитопланктона и концентрация органического вещества, разложение которого вызывает увеличение потребления растворенного кислорода и возникновение заморных зон. Случаи локального снижения содержания кислорода отмечаются начиная с 1981 г., на 20 % снизилась его среднегодовая концентрация.

В настоящее время около 40 % акватории озера подвергаются опасности сильного загрязнения в результате развития процессов эвтрофирования. Наибольшую опасность оно представляет для района устья р. Вуоксы, губ Петропрость, Волховская и Свирская, северо-восточного побережья и района о-ва Валаам. Здесь везде отмечается повышение бактериальной загрязненности, а при дальнейшем развитии эвтрофирования может возникнуть и токсическая опасность, связанная с развитием синезеленых водорослей и накоплением токсинов, выделяемых бактериями.

Основными источниками поступления фосфора, вызывающего эвтрофирование, являются промышленные и бытовые сточные воды. Фосфор поступает также по р. Волхову из оз. Ильмень. Кроме того, постоянно возрастающими источниками поступления фосфора становятся агропромышленные и животноводческие комплексы и птицефабрики, для которых отсутствует оптимальная технология утилизации их отходов.

Прогнозные расчеты потоков фосфора показывают, что при сохранении существующего положения дел с очисткой сточных вод поступление фосфора в Ладожское озеро возрастет к 2000 г. до 11 тыс. т в год, намного превысив критический уровень. Озеро неизбежно перейдет в эвтрофное состояние со всеми неблагоприятными последствиями для состояния экосистемы и качества воды.

Таким образом, анализ современного состояния Ладожского озера свидетельствует о том, что в нем получили интенсивное развитие процессы загрязнения и эвтрофирования, которые могут привести к необратимым изменениям экосистемы и резкому ухудшению качества воды. Для улучшения состояния озера во всем бассейне необходимо осуществить комплексную систему природоохранных мероприятий, обеспечивающих действенную охрану и рациональное использование природных ресурсов.

## Часть 2

# ОНЕЖСКОЕ ОЗЕРО

---

### Глава 1

#### ПРИРОДНЫЕ ОСОБЕННОСТИ ОЗЕРА

Онежское озеро является вторым по площади озером Европы, занимая 9690 км<sup>2</sup>. Вытянутое в меридиональном направлении, оно в центральной и южной частях представляет собой единую слабо расчлененную акваторию, а в северной — систему заливов-губ, крупнейшими из которых являются Заонежский и продолжающий его Повенецкий заливы, заливы Малое и Большое Онего и Кондопожская губа. При общей длине береговой линии (без учета береговой линии островов) 1810 км, на основную часть озера приходится 580 км, а 1230 км — на северные заливы и губы. В северной части озера имеется много островов общей площадью 250 км<sup>2</sup>. Средняя глубина озера — 30, наибольшая — 120 м. В северных заливах и губах отмечаются большие контрасты глубин, в то время как дно основной части озера относительно ровное. Объем водной массы — 292 км<sup>3</sup>.

С 1952 г. уровень Онежского озера поднерт плотиной Верхне-Свирской ГЭС, до строительства которой, по данным наблюдений за 1883—1951 гг., средняя абсолютная отметка уровня составляла 32.77 м, а после строительства ГЭС (по данным за 1953—1974 гг.) увеличилась до 33.04 м. Высота подпора составляет, таким образом, 0.27 м. До строительства ГЭС наивысший уровень, отмеченный 14—28 июня 1924 г., составлял 33.77 м, а самый низкий — 7—8 октября 1940 г. — 32.21 м; после строительства — соответственно 33.74 м, зафиксированный 20 сентября 1961 г., и 32.42 м — 18 апреля 1960 г.

В течение года уровень Онежского озера меняется незначительно: до строительства ГЭС средняя разница между самым низким и самым высоким уровнем составляла 62 см, после строительства — 65 см. Таким образом, подпор не вызвал существенных изменений уровенного режима Онежского озера (Устинов, Рубушкива, 1977).

Водосборный бассейн Онежского озера имеет площадь 52 970 км<sup>2</sup>. Сток наиболее многоводных притоков — Шуи, Суны и Водлы — зарегулирован озерами, находящимися в их водооборотах. В южной части водосборного бассейна Онежского озера малых озер гораздо меньше. Вытекает из Онежского озера р. Свирь, впадающая в Ладожское озеро.

Приходную часть водного баланса озера, оцененного по данным наблюдения за 1932–1974 гг. (Устинов, Рубушкива, 1977), формируют приток рек и ручьев, доставляющих в озеро ежегодно в среднем 15,5 км<sup>3</sup> воды, еще 5,2 км<sup>3</sup> дают атмосферные осадки (слой осадков 539 мм); расходную часть — испарение с водной поверхности в размере 3,3 км<sup>3</sup> (слой испарения 341 мм) и сток по р. Свири объемом 17,4 км<sup>3</sup>.

По термическому режиму Онежское озеро мало отличается от Ладожского. Здесь в глубинах озера также постоянно господствуют низкие температуры, а весенне-прогревание долго не распространяется на центральные районы озера, отделенные от прибрежных мелководий термическим баром, который исчезает только 20–25 июня. В июле температура поверхностных вод достигает 18–20°, а в наиболее теплые годы — 23–24°.

Воды Онежского озера имеют очень низкую минерализацию — 34–36 мг/л. В них преобладают гидрокарбонатные ионы и ионы кальция. В последние годы увеличилось поступление фосфора, азота, нефтепродуктов и отходов деревообрабатывающей и целлюлозно-бумажной промышленности.

Онежское озеро входило в состав Новгородской Руси, и через него проходили важные торговые пути. В настоящее время большая часть побережья находится в пределах Карельской АССР, а на юге — в Ленинградской и Вологодской областях. Озеро с другими бассейнами связано через Свири, Беломорско-Балтийский канал и Волго-Балтийский водный путь. Акватория озера используется для интенсивного судоходства, рыболовства, побережье — для отдыха. Особенную известность в последние годы получил выдающийся памятник деревянной архитектуры Кижи.

Изучение истории Онежского озера позволяет судить о том, какие изменения его режима можно ожидать в будущем в случае изменений климата и при разных вариантах хозяйственной деятельности человека.

## Глава 2

### РАЗВИТИЕ ПРЕДСТАВЛЕНИЙ ОБ ИСТОРИИ ОЗЕРА

В те времена, когда считалось, что морена отлагалась в море с плавающими айсбергами, Онежское озеро рассматривали как остаток этого моря. А. А. Иностранцев (1871) писал, что море занимало пространство между Онежским озером и Белым морем. В середине 70-х годов прошлого века стала общеизвестной ледниковая теория. Изменились также взгляды А. А. Иностранцева (1977), который теперь объяснял возникновение рельефа Прионежья и котловины Онежского озера ледниковым вынашиванием; с отступлением ледника в отрицательных формах ледникового рельефа возникали пресные озера.

Возврат к предположению о проникновении морских вод в Онежскую котловину произошел в последние годы XIX в., когда Г. Де Геер (De Geer, 1896) выдвинул точку зрения о существовании в доаци-

тэвое время ледникового (Йольдиевого) моря. В. Рамзай (Ramsay, 1898, 1904), изучавший побережье Онежского озера, описал там террасу ледникового моря, через которое якобы осуществлялось Беломорско-Балтийское соединение. Впоследствии, однако, стадия ледникового моря была разделена на две стадии: Балтийского Ледникового озера и Йольдиевого моря (Ramsay, 1917). Те береговые линии на побережье Онежского озера, которые считались морскими, теперь рассматривались как берега пресноводных бассейнов.

Следующий этап исследований связан с изучением террас и приуроченных к ним неолитических стоянок. Б. Ф. Земляков (1935, 1936) показал, что северные берега Онежского озера испытали весьма значительное поднятие. В это время вновь обсуждался вопрос о проникновении в Онежскую котловину морских вод в позднеледниковое время (в аллэрёде), когда якобы существовало так называемое I Йольдиевое море. Подробный анализ всех относящихся к этому вопросу материалов показал, что такого моря не существовало, и, следовательно, его воды не могли проникнуть в Онежскую котловину (Горецкий, 1949, 1951; Бискэ, 1959; Квасов и др., 1970).

В последние годы высказывались предположения о большой роли новейших тектонических движений в формировании рельефа Прионежья (Бискэ и др., 1971). Но изучение мезолитических и неолитических стоянок, приуроченных к террасам побережья Онежского озера (Панкрушев, 1966, 1984), показало, что в северном Прионежье происходило плавное изостатическое поднятие. Изучены также спорово-пыльцевые спектры террасовых отложений (Девятова, 1986).

Важные материалы получены также при изучении ценных отложений Онежского озера. Изучена их литология (Семенович, 1973; Курочкина, 1976), проведен спорово-пыльцевой (Хомутова, 1976) и диатомовый (Давыдова, 1976) анализы. Было установлено, что на всем протяжении своей поздне- и послеледниковой истории Онежское озеро было глубоким пресным водоемом (Палеолимнология... 1976); показано, что глубоководные впадины образовались только в начале голоцен — до этого они были заняты мертвым льдом (Давыдова, 1985). Была составлена также схема развития Онежского озера (Квасов, 1976). Результаты исследований, выполненных в последние годы, служат основой для суждения о происхождении Онежского озера и его эволюции и о возможных изменениях, которые можно ожидать в будущем.

## Глава 3

### ПРОИСХОЖДЕНИЕ И РАЗВИТИЕ ОЗЕРНОЙ КОТЛОВИНЫ

#### Рельеф озерной котловины

Котловина Онежского озера во многом сходна с котловиной Ладоги. Обе они находятся на границе Фенно-Скандинавского кристаллического щита и Восточно-Европейской плиты. Рельеф северной и средней частей Онежской котловины во многом определяется

особенностями структуры кристаллических пород. Ориентированные в направлении северо-северо-запад—юго-юго-восток, тектонические нарушения, выраженные в кристаллическом фундаменте, предопределяют значительную расчлененность рельефа и соответствующую ориентировку его форм. Именно такую обстановку иллюстрирует собой север Онежского озера, где местами наблюдается широкий тип берегов. Крупные заливы и губы ориентированы обычно в указанном направлении (ССЗ—ЮЮВ), как например заливы Большое Онего (с губами Кондопожской, Большой Лижепской и Уницкой) и Новенецкий (с губами Святуха, Большая, Шуньга). Северная часть котловины озера отличается резко пересеченным рельефом дна, где вытянутые мели чередуются с ложбинами глубиной до 100 м. В пределах губ наибольшие глубины тяготеют к восточным берегам; крутизна склонов достигает 8—20° и более.

В северной и средней частях котловины выделяются следующие морфогенетические типы донного рельефа: денудационно-грядовый, слабохолмистая равнина озерно-ледниковой и озерной аккумуляции, равнина водно-динамической и терригенной аккумуляции, находящиеся на глубинах менее 20 м (Венус и др., 1966).

Дно южной части озера характеризуется относительно меньшими глубинами и слабо расчлененным рельефом. Крутизна склонов котловины здесь резко различается: наибольшие уклоны характеризуют западное побережье, меньше они у восточного берега и совсем небольшие на юге. Для юго-восточного побережья характерно наличие широких дугообразных бухт.

### Возникновение озерной котловины

Начиная с конца палеозоя на границе Фенно-Скандинавского кристаллического щита и Восточно-Европейской плиты происходила денудация (эрэзионный размыв). В дочетвертичное время южное Прионежье было расчленено сетью узких каньонообразных долин, тальвеги которых нередко имеют отрицательные отметки (Квасов, 1975). Наконец, в четвертичное время в Прионежье происходило ледниковое вынуживание.

Как отмечал еще А. А. Иностранцев (1877), ледники создали депрессии там, где на пути их движения находились менее устойчивые породы. В результате геологические структуры, возникшие в отдаленном геологическом прошлом, получили выражение в рельефе. Северная часть Онежской котловины возникла на месте Онежской рапанипротерозойской мульды — наиболее крупной из наложенных структур карелид (Кратц, 1963). Ее заполняют осадочные породы онежской серии — кварциты, доломиты, сланцы, шунгиты и др. Они прорваны интрузиями диабазов и габбро-диабазов. Осадочные породы смяты в пологие складки, оси которых ориентированы в направлении ССЗ—ЮЮВ. В этом же направлении двигался ледник, который глубоко вынуживал те места, где были распространены осадочные породы. Так, Новенецкий и Заонежский заливы образовались в местах выходов доломитов, сланцев и квар-

цитопесчаников, а ограничивающий их с юго-востока Заонежский полуостров сложен диабазами и габбро-диабазами.

Юго-западная часть Онежской котловины приурочена к восточному крылу Западно-Онежской протерозойской синеклизы, сложенному породами венгия — свитами песчаников и кварцитопесчаников и прорывающими их пластовыми интрузиями диабазов. Над современной котловиной Онежского озера покровы диабазов, поднимавшийся достаточно высоко на восточном крыле синеклизы, были прорван денудацией (Экман, 1972). Это создало условия для размыва кварцитопесчаников и песчаников. В результате образовался довольно крутой (типа куэстового уступа) восточный склон Шокшинской гряды.

Юго-восточная часть Онежской котловины находится в области распространения верхневендских и верхнедевонских глин и песчаников, слои которых залегают почти горизонтально (с очень небольшим наклоном к юго-востоку). С юго-востока этот район ограничен куэстовым уступом, сложенным карбоновыми известняками.

Основные черты современного рельефа Прионежья были созданы в четвертичное время. Во время оледенений через Онежскую мульду и далее на юго-юго-восток двигались ледники Онежско-Белозерской лопасти Скандинавского ледникового щита. Ледники удаляли из котловины как относительно менее устойчивые дочетвертичные породы, так и накопившиеся ранее ледниковые и межледниковые отложения.

#### **Развитие котловины во время микулинского межледникового**

Во время последнего (микулинского) межледникового в Онежскую котловину с севера проникали воды бореального (Мгинского) моря. Его отложения были обнаружены в г. Петрозаводске (Волосович, 1908), а позднее найдены также в районе г. Нудожа, на р. Оште, у пос. Вытегра. Во время валдайского оледенения почти все межледниковые морские отложения были удалены из Онежской котловины, что исключает возможность судить о пределах распространения межледникового моря. Не ясно даже, соединялись ли между собой бассейны, существовавшие в Онежской и Ладожской котловинах. Теперь доказано, что позднеледникового Беломорско-Балтийского морского соединения не существовало, но его, возможно, не было и в межледниковые времена.

#### **Позднеледниковая история озерной котловины**

Онежская котловина начала освобождаться от льда, когда отступали ледники лужской стадии, т. е. около 13 тыс. л. н. В первую очередь освободился район верховьев р. Вытегры, где образовалось Южно-Онежское приледниковое озеро, которое первоначально было частью Верхне-Волжской системы приледниковых озер с уровнем 130 м (Квасов, 1975, 1976). Водораздел Онежского и Белого озер (его высота до строительства каналов — 120 м)

в это время находился под водой, и прямо на нем отлагались ленточные глины (Яковлев, 1928).

В ходе дальнейшего отступления ледников освободилась долина Онта—Тукша—Оять, и Южно-Онежское приледниково озеро получило через нее сток на юго-запад, в результате чего его уровень снизился до 100 м. Озеро постепенно увеличивалось: на западе Онежской котловины оно простипалось до Кондопожской губы и занимало также шуйскую депрессию, а на востоке — Водлинскую низину. Террасы Южно-Онежского приледникового озера хорошо заметны на территории г. Петрозаводска.

Южно-Онежское озеро могло иметь огромный водохранилищный бассейн. Через Онежско-Белозерский водораздел в него, вероятно, поступал сток из Верхне-Волжской системы озер, уровень которых снизился до 120 м (Квасов, 1975, 1976). В дальнейшем образовалась долина прорыва в районе г. Ильи и на месте озер возникла речная сеть водохранилища Верхней Волги. Через водораздел рек Водлы и Онеги в Южно-Онежское озеро поступал также сток из системы приледниковых озер, находившихся в водохранилищах бассейна рек Онеги, Сев. Двины, Мезени и Печоры (Квасов, 1979). В этом районе юго-западное направление стока сменилось северным, когда образовался промежуточный между Скандинавским и Баренцевым ледниками щитами.

После отступления ледников из юго-восточного Приладожья Онежское озеро получило новый, гораздо более низкий порог стока по долине р. Свири. Уровень в южной части котловины последовательно снижался со 100 до 75, 55 и 45 м, а потом и до значений, близких к современным (Порывкин, 1960).

Вскоре ото льда освободилась вся Онежская котловина. Ее северная часть была в то время опущена под влиянием ледниковой нагрузки. Вероятно, что, когда край ледника находился в районе Сегозера, оно было заливом Онежского озера. После дальнейшего отступления ледников Сегозеро получило сток в Выгозеро и далее в Беломорское приледниково озеро. Онежское озеро получило низкий порог стока на водоразделе с Сегозером. Современная отметка водораздела — 117 м, тогда же он был примерно на 100 м ниже. В результате на короткое время сток из Онежского озера приобрел северное направление, а уровень озера снизился (Квасов, 1976).

Изостатическое поднятие щита стока уже в послеледниково время привело к тому, что уровень Онежского озера поднялся вновь, а сток по р. Свири возобновился. В дальнейшем северное Прионежье продолжало осушаться; поднятие продолжается и в настоящее время. Южное же Прионежье развивается в течение всего голоцене в условиях почти постоянного уровня озера.

## Глава 4

### ДРЕВНИЕ БЕРЕГОВЫЕ ОБРАЗОВАНИЯ

#### Геоморфология береговой зоны

На склонах Онежской котловины во многих местах наблюдаются лестницы террас. На юге и севере они имеют разное происхождение. В районе р. Вытегры были отмечены береговые образования Южно-Онежского приледникового озера на отметках 100, 75, 55 и 45 м (Порывкин, 1960). Два нижних террасовых уровня описаны также на побережье Шелтозерской губы в юго-западном Прионежье (Девятова, 1984). Одна из описанных Э. Н. Девятовой террас полого наклонена в сторону озера и имеет отметку тылового шва 55,5, а бровки — 50,5 м при ширине террасы от 100 м до километра. Более низкая терраса встречается почти повсеместно на склонах южной части котловины. Вблизи Шелтозера ее тыловой шов имеет отметку около 47 м, а бровка — около 39 м при ширине террасы в пределах 150–850 м. Поверхность ее покрыта нескими мощностью более 2 м и заметно изменена эоловыми процессами, проявлению которых способствовал сухой климат позднеледникового времени. Другие террасы района Шелтозера только на 3–4 м выше современного уровня Онежского озера; они образовались в голоцене.

На о-ве Суйсарь (окрестности г. Петрозаводска) выявлена абразионно-аккумулятивная терраса с отметками более 55 м. На поверхности террасы, наклоненной в сторону берега, много валунного материала. Это свидетельствует о том, что терраса формировалась, вероятно, вблизи края ледника. В районе о-ва Суйсарь происходило изостатическое поднятие, поэтому терраса с отметками 55 м может соответствовать более низкой террасе в южной части котловины.

На севере Онежской котловины террасовые поверхности, отметки которых в период образования были близки к современному уровню Онежского озера, подняты теперь изостатическими движениями на значительную высоту. В районе г. Медвежьегорска самая высокая терраса имеет отметку 95 м, а расположенные ниже береговые образования — 85, 66, 55 и 44 м. Г. С. Биско (Биско и др., 1971) отмечала, что на севере озера контакт морены с озерными осадками находится на отметке 125 м, а по направлению к югу верхняя граница озерных террас становится все ниже и ниже.

На юге и юго-востоке береговые линии древнего Онежского озера, образовавшегося после спада вод Южно-Онежского приледникового озера, находятся вблизи современного уреза воды. На это указывает тот факт, что неолитические наскальные изображения на мысу Бесов Нос (южнее устья р. Водлы) находятся на самом берегу и омываются волнами. Далее на юг оз. Муромское и многие другие озера-лагуны отчленены от основной акватории озера низкими пересыпями-косами, на поверхности которых местами образовались дюны. В основании кос и на подводном склоне озера

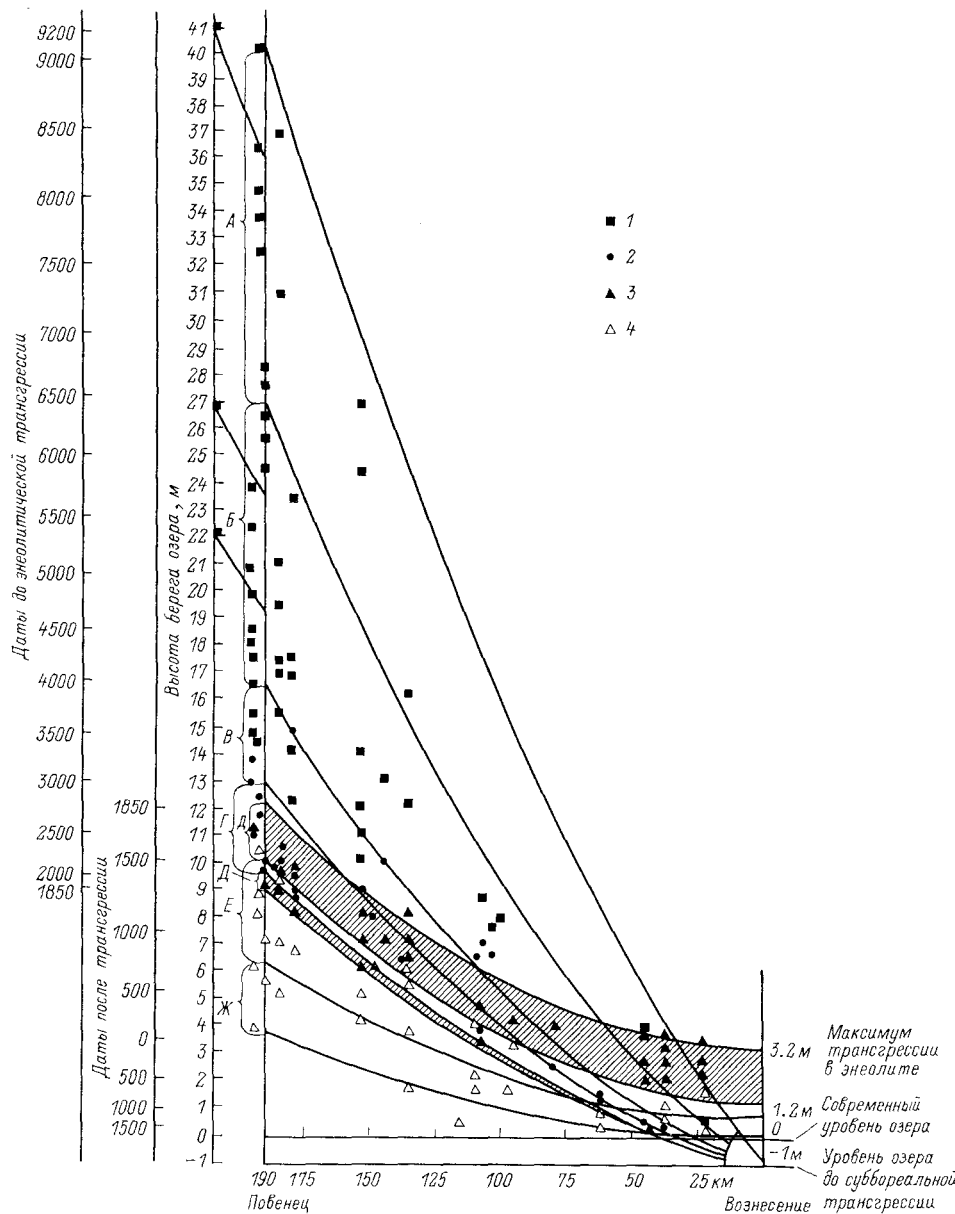


Рис. 20. Спектр высот древних береговых линий Онежского озера и приуроченных к ним археологических стоянок (по Г. А. Панкрущеву).

Стоянки: 1 — мезолит; 2 — неолит; 3 — ранний энеолит; 4 — поздний энеолит, бронзовый век и начало железного века.

Зоны стоянок: А — ранний мезолит; Б — поздний мезолит; В — ранний неолит; Г — развитый неолит; Д — начальный этап энеолита; Д<sub>1</sub> — ранний энеолит; Е — поздний энеолит (культура асBESTовой керамики); Ж — бронзовый век и начало железного века.

известны многочисленные скопления погребенной древесины, пни и целые древесные стволы. Это свидетельствует о том, что в отдельные периоды голоцена уровень Онежского озера стоял несколько ниже, чем теперь.

Данные о высотном положении древних береговых линий обобщены с помощью дистанционной диаграммы (рис. 20), ориентированной в направлении, перпендикулярном к ходу изобаз изостатического поднятия (ССЗ-ЮЮВ).

### Геохронология и палинология отложений озерных террас

Палинологическое и геохронологическое изучение отложений древнеозерных террас на побережье Онежского озера пока еще не обеспечивают надежную корреляцию береговых линий по всему периметру водоема. Палинологические исследования локализованы в пунктах нахождения археологических памятников, а имеющиеся радиоуглеродные датировки получены преимущественно по органическому материалу в разрезах древних стоянок (Девятова, 1984, 1986). Эти данные послужили для составления предлагаемого ниже обзора.

Положение, наиболее близкое к центру изостатического поднятия Фенноскандии, занимает глубоко вдающийся в сушу Повенецкий залив, где в районе Оровиаволока изучена серия из шести террас, каждая из которых осложнена разным числом дополнительных уровней. Две верхние (шестая и пятая) террасы сложены ленточными глинами и алевритовыми песками и по своей геоморфологической позиции соотнесены соответственно с поздним дриасом и пре boreалом.

Спорово-пыльцевые комплексы выделены в осадках четвертой террасы (абс. высота 48–53 м), которая в нижней части разреза сложена пылеватыми (алевритовыми) светло-бежевыми горизонтально-слоистыми песками, а верхняя — мелкозернистыми бежевыми песками с примесью средне- и грубозернистого песка, мелкого гравия и гальки. Содержание пыльцы в этих осадках невелико. В качестве ведущего компонента в нижней части разреза выступает пыльца сосны, содержание которой колеблется от 35 до 90 %, и березы — от 10 до 55 % с неизменной примесью пыльцы ее карликовой формы и небольшой (от 1 до 15 %) примесью ели. Преобладание верескоцветных или злаков в составе травянистых и кустарничков согласуется с доминирующей ролью сосны. На границе между нижней и верхней частями разреза аккумулятивного чехла террасы осадки также содержат незначительное количество пыльцы. Наиболее заметной особенностью осадков верхней части разреза является постоянная примесь пыльцы ели (до 10–30 %). Такой характер спорово-пыльцевых комплексов дает основание считать время образования аккумулятивного чехла и, следовательно, формирования четвертой террасы boreальным.

Палинология boreальных отложений изучалась и в расположенным на севере Онеги, но несколько южнее Оровиаволока районе

Негрема-Налайгуба. В средней ступени четвертой террасы вскрыты осадки раннего бореала, критерием для выделения которых послужило сравнительно малое количество пыльцы, в чьем составе преобладает пыльца сосны и березы (с участием карликовой бересклета). Отмечено относительное обилие пыльцы травянистых растений (главным образом полинии) и кустарничков. В осадках нижней ступени четвертой террасы пыльцы гораздо больше. В ее составе при господстве сосны постоянна примесь ели, а в группе трав и кустарничков — верескоцветных, злаков и разнотравья; эпизодически отмечается пыльца лещины. Совокупность этих особенностей позволила отнести время формирования нижней ступени четвертой террасы к позднему бореалу.

Отложения аккумулятивного чехла расположенной ниже третьей террасы, находящейся в районе Оровиаволока в интервале высот 41—47 м, характеризуются обилием пыльцы. Здесь в ее составе постоянна примесь пыльцы древесных широколистенных пород (дуба, липы, вяза, лещины), а также хмеля и богатого в видовом отношении лесного разнотравья. Обилие пыльцы бересклета и преобладание вяза среди широколистенных в отложениях верхней ступени террасы позволяют отнести время ее формирования к первой половине атлантического периода, а отложения, в которых преобладает пыльца сосны и ели, — ко второй его половине.

Для отложений третьей террасы района Негрема-Налайгуба (нижняя и средняя ступени) получена серия радиоуглеродных датировок в интервале 4200—6500 л. н. В районе стоянки Негрема-І, расположенной на нижней ступени террасы, высокая насыщенность пыльцой отмечается непосредственно в поверхностном слое отложений. На фоне большого количества пыльцы сосны наблюдается пик ели (до 25 %) — основной признак для датировки осадков концом атлантического — началом суббореального времени.

Крайнее юго-западное положение в числе исследованных районов занимает участок развития третьей террасы в окрестностях Шелтозера. В отложениях, залегающих непосредственно на поверхности культурного слоя на верхней ступени этой террасы, преобладает пыльца сосны (около 70 %) и ели (до 25 %), отмечается также примесь пыльцы широколистенных пород (до 8 %).

Нижний уровень третьей террасы в интервале отметок 36,5—37 м характеризуется чередованием маломощных дерново-гумусовых горизонтов и реликтовых почв с желтыми, светло-бежевыми и серыми мелкозернистыми песками. На стоянке Шелтозеро-ХI верхним горизонтом соответствует культурный слой, для которого имеются радиоуглеродные датировки  $5960 \pm 70$  л. н. (ТА-1313) и  $6480 \pm 70$  л. н. (ТА-1312). По данным спорово-пыльцевого анализа верхняя часть разреза относится к середине и второй половине атлантического времени; характерно высокое содержание пыльцы широколистенных пород (до 40 %) и лещины (до 44 %), присутствует также пыльца лиственницы (до 10 %).

Вторая терраса побережья Новенецкого залива (в районе Оровиаволоки) сложена осадками второй половины атлантического време-

мени. В них на фоне преобладания пыльцы ели много пыльцы сосны и встречается пыльца широколиственных пород и лещины, но в меньших количествах, чем в начале атлантического времени.

На юго-востоке Онежской котловины отложения второй террасы изучались в районе Шелтозера. Состав пыльцы здесь свидетельствует о ее суббореальном возрасте. Характерно большое количество пыльцы ели (до 40 %), которая достигла в это время наибольшего распространения; присутствует и пыльца широколиственных пород.

### **Возраст береговых образований по археологическим данным**

На берегах Онежского озера к настоящему времени установлено 588 стоянок первобытного человека. Раскопки были проведены в пределах 220 стоянок, из которых 72 относятся к мезолиту, 65 — к неолиту, 37 — к энеолиту, 14 — к эпохам бронзы и раннего железа и 6 — к раннему средневековью; 39 стоянок содержат смешанный инвентарь разных эпох (Панкрущев, 1978, 1984).

Внимание археологов давно привлекала связь между возрастом древних поселений на берегах Онежского озера и высотой их расположения над современным урезом воды (рис. 20). Теперь, когда открыты и изучены сотни стоянок, стало ясно, что наиболее высокие террасы заняты стоянками эпохи мезолита, ниже расположены неолитические памятники, еще пиже — памятники позднего энеолита, затем — бронзового века и начала железного века. Высота стоянок каждой временной группы над современным урезом воды плавно возрастает в направлении от южных к северным берегам озера. На южном побережье (к югу от истока р. Свири и устья р. Андомы) все древние поселения затоплены и размыты, чуть севернее (от Вознесенья до Рыбреки и от устья Андомы до Муромского озера) стоянки находятся на минимальной (до 1 м) высоте над современным урезом воды. Далее к северу высота стоянок постепенно возрастает. У Повенца памятники эпохи мезолита расположены на высоте от 14 до 40 м, неолита — от 9.6 до 16.6 м, позднего энеолита, бронзового века и начала железного века — от 3.6 до 10.2 м (здесь и далее все высоты стоянок над современным уровнем озера). Только энеолитические стоянки на всем протяжении берегов Онежского озера находятся на 2—5 м выше того уровня, который они занимали бы при условии плавного и постепенного поднятия. Это свидетельствует о том, что в суббореале происходила трансгрессия, приведшая к затоплению всех более ранних стоянок в южной части озера и позднеолитических стоянок — в северной. Высота энеолитических стоянок над современным урезом воды плавно возрастает от 1.2—2.3 м на юге озера до 9.0—12.2 м у Повенца.

Наиболее ранняя группа мезолитических памятников (15 стоянок) найдена в долине р. Повенчанки, в 1.5—2.5 км к северо-востоку от Повенца (Повенчанка I—XV). Все памятники этой группы расположены на озерных террасах высотой от 26 до 40 м. Следующая группа (34 стоянки) находится в 6—10 км к юго-востоку от Повенца

(Черная губа I—XXIII, Мянь-гора I—VIII). В ней представлены стоянки от мезолита до поздней бронзы. Диапазон их высот колеблется от 5 до 37 м. Высоты памятников мезолита варьируют от 15,5 до 37 м. Далее к юго-востоку, в 12—17 км от Новенца, на п-ове Оров-наволок найдены и частично исследованы 42 памятника всех эпох. Стоянки занимают ровные террасы, на поверхности которых сохранились береговые валы. Высота стоянок варьирует от 0,6 до 23 м. Еще дальше к юго-востоку, в 40—48 км от Новенца, на п-ове Западная Челмужская коса открыты 23 стоянки на высотах от 4 до 20 м. Самые ранние из них — мезолитические, наиболее поздние — бронзового века.

Аналогичные группы памятников имеются также на западных берегах Онежского озера; в Уницкой губе близ д. Петрема — 36 стоянок, в низовье р. Суны у пос. Сунский — 20, у Петрозаводской губы и оз. Логмозера (у пос. Соломенное) — 30. Разница высот расположения этих групп памятников, находящихся южнее предыдущих, намного меньше, чем у северных, что особенно заметно в самой южной из упомянутых групп — Соломенской. Например, неолитические стоянки в ней занимают высоты от 3,5 до 6,6 м (у Новенца — от 9,6 до 16,5 м).

На южном побережье Онежского озера известны три большие группы памятников: на юго-западном берегу у с. Шелтозеро — 41, на восточном — у д. Бесов Нос близ устья р. Черной — 38, на берегах р. Муромки и Муромского озера — 24. Диапазон высот стоянок у этих групп очень небольшой — от 0 до 3,8 м. В самой южной группе — муромской — стоянки мезолита, неолита и начала железного века находятся на высоте 0,3—0,7 м над современным уровнем Онежского озера. Только энеолитические стоянки приподняты над урезом воды до 1,2—3,2 м и отстоят от берега на десятки метров.

Значительный интерес представляют найденные на берегах южной части озера стоянки, погребенные под песчаными береговыми валами на глубине до 2 м. В ряде случаев такие места заселялись вторично, образуя двуслойные памятники, в которых нижний культурный слой отделен прослойкой песка от более позднего — верхнего: Бесов Нос-VI, Кладовец-VIII, Вигай-наволок-I, Шелтозеро-IV и некоторые другие. Нижний слой таких стоянок мезолитический или неолитический, а верхний — энеолитический. Эти стоянки являются особенно убедительными доказательствами суббореальной (энеолитической) трансгрессии Онежского озера. Других же более или менее заметных колебаний его уровня в голоцене археологические данные не подтверждают.

Наиболее ранние мезолитические стоянки относятся к первой половине IX тысячелетия до н. э. (11—10,5 тыс. л. н.). Для этой эпохи характерны орудия из сланца, кварца и кремния. Среди орудий — небольшие массивные сланцевые топоры и тесла без шлифовки, с заточенными лезвиями, сланцевые долота и стамески, кварцевые и кремневые скребки, резцы, ножи, наконечники стрел, коний и дротиков, долотовидные орудия.

Мезолит сменился неолитом на грани V и IV тысячелетий до

п. э. (около 6 тыс. л. н.). Каменный инвентарь к этому времени претерпел значительные изменения, повысилось качество обработки изделий (с помощью шлифования, шлекции, сверления), они стали более разнообразны. Наличие двух резко отличающихся друг от друга типов керамики (спиррингс и ямочно-зубчатая) свидетельствует о двух этнических общностях, населявших Карелию в эту эпоху. Для поселений с керамикой спиррингс характерен инвентарь из местных пород камня: сланца, кварца, шифера; для поселений с ямочно-зубчатой керамикой — преобладание кремневых изделий, особенно на ранних стоянках. В позднем неолите процессы консолидации сгладили эти различия.

Энеолитическая эпоха началась в Карелии на грани III—II тысячелетия до н. э. (около 4 тыс. л. н.) и закончилась в первой четверти I тысячелетия до н. э. (3.0—2.8 тыс. л. н.). Для этого времени характерно начало изготовления и применения медных изделий, хотя каменные орудия еще преобладали. Для начального периода энеолита характерно широкое применение ромбо-ямочной керамики; в конце энеолита ее сменила асбестовая керамика. Самые ранние стоянки энеолита расположены ниже неолитических памятников. Основная же, более поздняя, часть поселений этой эпохи находится выше стоянок более древних эпох, а на севере озера имеет ту же высоту, что и неолитические стоянки.

Ниже энеолитических стоянок расположены поселения бронзового века и начала железного века, которые датируются VII веком до н. э.—V веком н. э. (2700—1500 л. н.). В их культурных слоях найдены разнообразные типы керамики и другого инвентаря, что свидетельствует об этнической неоднородности населения. Местным типом керамики остается видоизмененная (плоскодонная) асбестовая. Наряду с ней встречено много керамики других типов: сетчатой, штрихованной, гладкой, позднекаргопольской, алано-инской.

Таким образом, археологические данные позволяют существенно уточнить возраст древних береговых образований и судить о колебании уровня Онежского озера и изостатическом поднятии северного Прионежья.

## Глава 5

### ДОННЫЕ ОТЛОЖЕНИЯ

#### Общая характеристика донных отложений

Сведения о стратиграфии донных отложений Онежского озера были получены в 1964—1972 гг. в ходе работ экспедиции Института озероведения АН СССР (Семенович, 1973; Курочкина, 1976; Венус и др., 1966). На дне озера залегают позднеледниковые и раннеголоценовые ленточные и неслоистые глины, которые перекрыты алевритоглинистыми, алевритовыми и песчаными отложениями средне- и позднеголоценового возраста (рис. 21). Толща

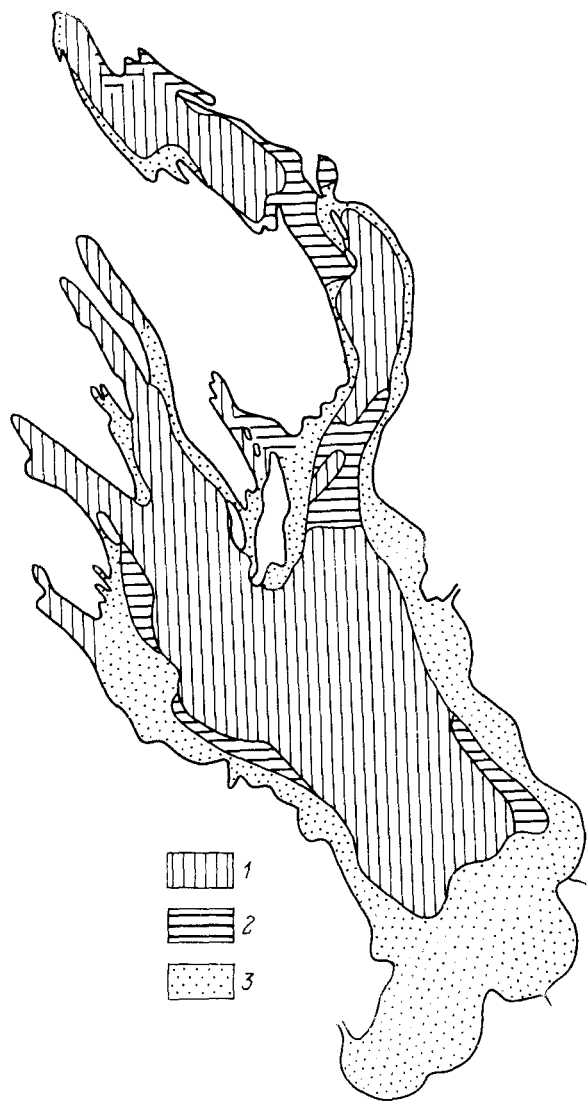


Рис. 24. Распределение донных отложений Онежского озера (Семенович, 1973).

1 — алеврит-шелитовые и шелит-алевритовые илы; 2 — алевритовые илы; 3 — грубозернистые осадки (пески, гравий, галька).

озерно-ледниковых и озерных отложений обычно подстилаются моренными отложениями.

В северной, глубоководной части Онежского озера (в губах, в Малом Онеге, в Повенецком заливе), где рельеф дна носит денудационно-грядовый характер, на гребнях гряд иногда полностью отсутствуют четвертичные отложения и обнажаются породы кристаллического фундамента. В депрессиях между грядами общая

мощность позднеплейстоценовых и голоценовых отложений достигает 20 м, при этом максимальная мощность илов -- 3 м. От центральной к южной части озера слабохолмистый рельеф дна сменяется плоским. На юге мощность ленточных глин возрастает, по данным геоакустического зондирования, до 20 м и более; одновременно мощность голоценовых озерных осадков уменьшается до нескольких сантиметров, а местами -- до нуля.

В южной части озера наиболее распространены пески различной крупности, иногда заиленные или с примесью гравия. Пески встречаются и в других районах озера вблизи берегов. Валуно-галечные отложения наблюдаются на отдельных прибрежных участках, преимущественно в северной части озера, где берега сложены кристаллическими породами, выходящими к урезу воды. Основная часть дна озера (глубоководная область Центрального Онего, Большое Онего с примыкающими к нему губами и заливами, Новенецкий залив) покрыта тонкими алевритоглинистыми отложениями -- илами.

Толща ленточных глин обычно бежевого, бежевато-серого или серого цвета сформировалась в позднеделниковое время. Мощность нары слойков - лент -- уменьшается от 15--20 мм в нижней части разреза до 1-2 мм в верхней. По гранулометрическому составу глины преимущественно пелитовые. Минеральный состав глинистой фракции ленточных глин (так же как и гомогенных глин и илов) имеет следующий набор основных компонентов: гидрослюдя, каолинит, хлорит, полевые шпаты, кварц. Кроме того, присутствуют хлорит-монтморилонитовые (вермикулитовые) образования. Ленточные глины обеднены органическим веществом.

Вверх по разрезу ленточные глины постепенно сменяются неслоистыми (гомогенными) глинами раннеголоценового возраста мощностью от 10 - 20 см до 2.5- 3 м. Обычно мягкие, вязкие, они часто имеют черные гидротроилитовые прослои; если глины выходят на поверхность дна, то в окислительных условиях в верхних горизонтах прослои приобретают буровато-окристую окраску. Минеральный состав гомогенных глин аналогичен минеральному составу ленточных глин. Но в гомогенных глинах возрастает содержание органического вещества и биогенных элементов.

Гомогенные глины перекрыты средне- и позднеголоценовыми илами, имеющими жидкую, полужидкую или мягкую консистенцию. Структура илов обычно комковатая, «творожистая». Окраска верхней части илов изменяется от окристой, желто-коричневой до зеленовато-буровой, а нижней -- от зеленовато-серой до серой (также картина наблюдается в илах Ладожского озера), характерны черные гидротроилитовые прослои; по гранулометрическому составу илы в основном алеврит-пелитовые и пелит-алевритовые. Набор глинистых и обломочных минералов тот же, что и в глинах. В илах в несколько раз возрастает содержание органического вещества, количество которого растет вверх по разрезу. Наибольшая мощность иловых отложений отмечена в Илем-губе -- более 3 м, в Малом Онего она составляет 1.4--2.5 м, в Новенецком заливе -- 0.8--

1.6 м, в центральной части озера — от нескольких сантиметров до 0.9 м. На контакте илов и глин местами отмечается песчано-алевритовая прослойка небольшой мощности (несколько сантиметров).

### **Стратиграфия озерных отложений по палинологическим данным**

Работы по спорово-пыльцевому анализу отложений Онежского озера были начаты в 60-х годах (Абрамова, 1967, 1969; Абрамова, Хомутова, 1973). К настоящему времени изучено 6 колонок длиной 5 м и 21 колонка длиной до 1 м (Хомутова, 1972, 1976, 1977). Исследовались также болота на побережье Онежского озера, возникшие на месте его заливов (Елина, 1981; Yelina, Khomutova, 1987) (рис. 22).

При сравнении спорово-пыльцевых диаграмм из озерных и береговых разрезов удалось выявить несомнение некоторых характеристик их спектров. В позднеледниковые в береговых разрезах всегда доминируют споры зеленых мхов, а в донных отложениях их гораздо меньше. В суб boreальное время содержание пыльцы ели достигает 70 % в озерных осадках, но только 35—40 % — в отложениях болот. В спектрах озерных отложений местные растительные ассоциации побережья (болота, луга) отражены весьма слабо; этим объясняется незначительное присутствие пыльцы мелколиственных пород (*Salix*, *Betula* sect. *Fruticosae*, *Alnus*) и разнотравья. Спектры береговых разрезов дают значительно больше информации не только о региональной, но и о локальной растительности. Здесь широко представлены пыльца травянистых растений разной экологии, разнообразен состав спор.

Данные спорово-пыльцевого анализа позволили произвести стратиграфическое расчленение колонок донных отложений и береговых разрезов (рис. 23). В среднем и позднем дриасе в колонках отмечается абсолютное господство пыльцы травянистых растений и *Betula nana* (рис. 24, см. вкладку). Содержание пыльцы древесных пород незначительно. В составе пыльцы травянистых растений господствуют *Artemisia* и *Chenopodiaceae*; как правило, отмечается пыльца типичного ксерофита *Ephedra*. Постоянно присутствует также пыльца и споры тундровых, арктических и арктоальпийских видов: *Lycopodium apressum*, *L. pungens*, *Botrychium boreale*.

Осадки аллерида встречены во многих разрезах. В общем составе спектров доминирует пыльца древесных пород (60—80 %), в основном *Pinus sylvestris* и *Picea abies*, однако участие пыльцы травянистых растений еще велико (15—40 %), споры составляют 5—15 %. Среди травянистых растений доминируют *Artemisia*, *Chenopodiaceae*, довольно много *Cyperaceae*. Несколько сокращается участие в спектрах пыльцы и спор, характерных для перигляциальной флоры, однако в небольшом количестве они присутствуют (*Lycopodium alpinum*, *L. apressum*, *Botrychium boreale*, *Selaginella selaginoides*).

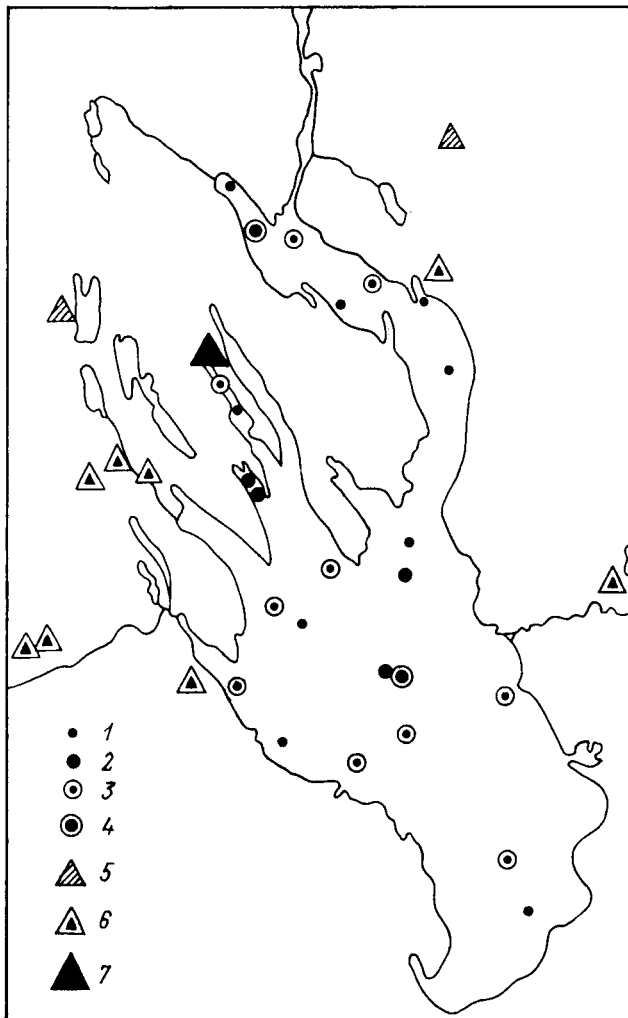


Рис. 22. Местоположение изученных грунтовых колонок (1—4) и континентальных разрезов болотно-озерного генезиса (5—7).

1—2 — колонки непрерывные (1 — короткие, 2 — длинные); 3—4 — колонки с перерывом в осадконакоплении (3 — короткие, 4 — длинные); 5—6 — разрезы озерно-болотные, датированные разными методами (5 — палинологическим, 6 — нацинологическим и радиоуглеродным); 7 — разрез болота Разломное.

Для спектров бореального периода (рис. 24, см. вкладку) в целом характерно абсолютное господство в спектрах пыльцы *Pinus sylvestris* (до 80 %), резкое сокращение по сравнению с предыдущей зоной пыльцы рода *Betula*, минимальное участие (особенно в первой половине бореала) *Alnus* (до 3 %) и *Betula nana* (до 2 %). Отмечаются единичные зерна широколиственных пород, в основном лещины и вяза. Пыльца травянистых растений практически отсут-

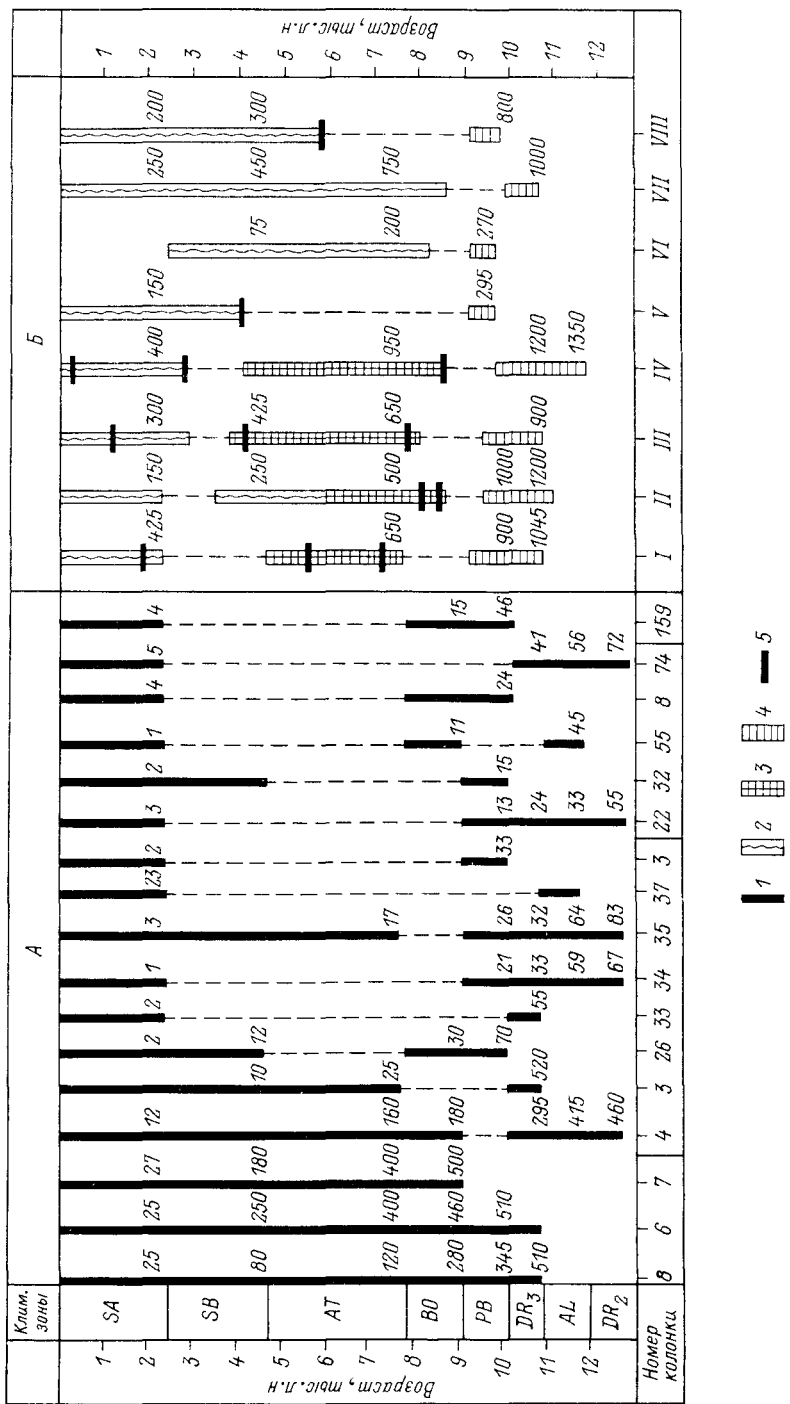


Рис. 23. Геохронология донных (*A*) и болотных (*B*) разрезов.  
 донные колонки, 2—4—одиерно болотные колонки (2—торф, 3—спиропел, 4—глина), I—VIII разрезы болот (I—Радоминское, II—Лебяжье, III—Данино, IV—Чечевицкое, V—Горановское, VI—Лесное, VII—Копыловское, VIII—Гайдрик и Колонок). Пунктир на Колонок

ствует. В составе спор, как правило, доминируют *Poypodiaceae* (до 80 %).

При стратиграфическом расчленении послеледниковых отложений в качестве опорного горизонта принимается горизонт времени климатического оптимума (атлантического периода). Для его спектров характерно увеличение содержания пыльцы *Picea abies* (30—50 %) при доминирующем положении пыльцы *Pinus sylvestris*, максимальное участие (3—5 %) пыльцы термофильных элементов (*Tilia cordata*, *Quercus*, *Ulmus*, *Corylus avellana*). В группе споровых в больших количествах отмечаются *Polypodiaceae*, иногда *Bryales* или *Sphagnum*.

На спорово-пыльцевых диаграммах суб boreальный период выделяется по резкому увеличению в спектрах пыльцы *Picea abies* (40—70 %), которая паряду с пыльцой *Pinus sylvestris* становится доминирующей. Пыльца широколиственных пород почти исчезает, пыльцы *Alnus* также очень мало (1—2 %).

Начало субатлантического периода, вероятно, совпадает с уровнем резкого падения содержания пыльцы *Picea abies*, место которой занимает *Pinus sylvestris*. Отмечена также пыльца *Alnus* (до 4 %) и *Betula sect. Albae* (до 3 %). Подобные же спектры имеют и поверхностные пробы осадков, отражающие современную растительность таежного типа.

На спорово-пыльцевых диаграммах разрезов болотного и озерно-болотного генезиса, где велико значение в спектрах пыльцы локальных элементов, некоторые исследователи предлагают выделять «локальные зоны», тесно увязывая их с геохронологической шкалой. Особенно интересен разрез болота Разломного, расположенного на высоте 53 м над уровнем моря (20 м над уровнем Онежского озера) на месте исчезнувшего залива-губы Черга. При исследовании этого разреза применены палинологический и радиоуглеродный анализы, изучен ботанический состав и степень разложения торфа, проведены геоморфологические исследования (выполнены Г. Ц. Лаком) (Шевелин и др., 1988). Разрез, общая мощность которого 10.4 м (рис. 25, см. вкладку), вскрывает голубые и темные гумусированные глины, сапропель и торф. Обе разновидности глин формировались в исчезнувшем заливе Онежского озера на протяжении позднего дриаса, пребореала и, возможно, раннего бореала. С начала атлантического времени откладывются сапропель и сапропелевидный торф. Образование болота и накопление торфа началось лишь в субатлантическое время, около 2 тыс. л. н.

Мощность бореальных отложений в болоте Разломном весьма мала. В это время уже закончилось накопление глин, но еще не началось образование сапропеля. Какое-то время, пока залив еще не полностью отделился от губы Черга, в нем, вероятно, имели место быстрые течения, препятствовавшие накоплению осадков. К началу атлантического времени залив превратился в небольшое мелководное озеро, в котором происходило накопление сапропеля. Дальнейшее поднятие северо-восточного Прионежья и заполнение котловины привело к исчезновению озера. В течение всего суб boreала

осадконакопления не было. Только в начале субатлантики (около 2 тыс. л. н.) на месте озера образовалось болото, в котором накопилось 4,5 м торфа. Изучение болот на территории, бывшей до недавнего времени дном Онежского озера, позволяет, таким образом, судить о конкретных деталях его истории.

### Изменение экологических условий в озере по данным диатомового анализа

Начало исследований диатомовых водорослей в донных отложениях Онежского озера положили С. М. Вислоух и Р. Р. Кольбе (1927). В 1914 г. отобрав образцы илов и пробы летнего фитопланктона, они обнаружили в них 237 видов и разновидностей диатомей, а проведя эколого-флористический анализ, пришли к заключению о реликтовоморском характере диатомовой флоры, что долгое время служило одним из важных доказательств существования позднеледникового соединения Балтии с Белым морем через Ладожское и Онежское озера. Позднее В. С. Шенукова-Порецкая (1937, 1949) произвела ревизию этих материалов и установила пресноводный озерный характер флоры. Тем не менее дискуссия о Беломорско-Балтийском морском соединении продолжалась и в последующие годы. Исследования диатомей в толще донных отложений были проведены (Давыдова, 1976, 1985) в 5 колонках длиной до 1 м и в 5 пятиметровых колонках (рис. 26).

Ленточные глины среднего дриаса в северной оконечности Онежской котловины, отлагавшиеся в приледниковом бассейне, характеризуются, по данным колонки 4 из Повенецкого залива (рис. 27), очень низким содержанием створок диатомей, которое не превышает 650 в 1 г воздушно-сухого осадка. Но количеству створок в диатомовых комплексах преобладают диатомеи обрастаний (более 50 % створок), вкупе с донными (18 %), составляющие около 70 %. На долю планкtonных диатомей приходится до 30 % общего содержания створок, но самой многочисленной в осадках является планктонная североальянская диатомея *Aulacosira islandica*. Постоянно встречаются, но в небольших количествах планктонные *Cyclotella* и тиничные представители бентоса крупных олиготрофных водоемов *Orephora martyr* и *Paralia arenaria*. Диатомовый комплекс соответствует природным условиям приледникового холдингового олиготрофного бассейна (количество створок североальянских диатомей составляет более 30 %) и характеризуют его прибрежную область.

В отложениях аллера, изученных в той же колонке 4 и представленных ленточными глинами со слоями довольно большой монности, содержание створок диатомей возрастает более чем на порядок. По характеру диатомовых комплексов выделяются три фазы в режиме озера. В течение первой фазы в осадках господствовали бентосные диатомеи с наиболее массовой — *Gomphonema intricatum var. rutilum* Grun. Створки планктонных диатомей составляли не более 27 % их общего содержания. В среднем аллере доминируют планктонные диатомеи (56 % створок), а в позднем аллере при

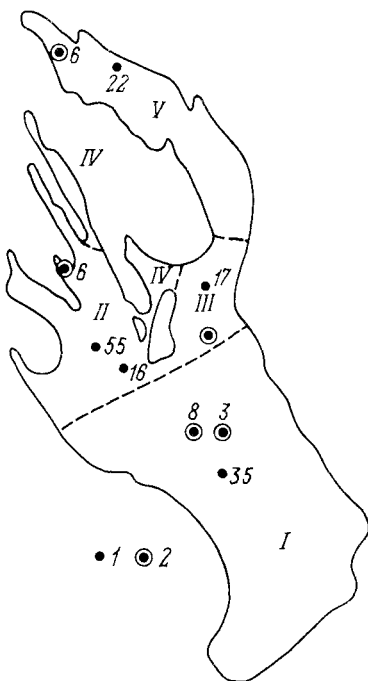
Рис. 26. Пункты отбора колонок донных отложений Онежского озера, исследованных методом диатомового анализа.

1-2 - колонки длиной соответственно до 1 и 5 м; I-V - районы озера (I - Центральное Онего, II - Большое Онего, III - Малое Онего, IV - мелководные губы, V - Новенецкий залив).

значительном увеличении общего содержания створок в отложениях снова господствуют бентосные диатомеи. Североальянские диатомеи играют в диатомовых комплексах более скромную роль (до 20 %). В целом диатомовая флора альпера-да насчитывает 97 видов и разновидностей пресноводных диатомей.

Отложения позднего дриаса изучены по данным 5 колонок (рис. 27-29). Повсеместно единственной массовой диатомеей является планктонная *Aulacosira islandica* — главный доминант фитопланктона Онежского озера и в современную эпоху. Численность диатомей в осадках низкая; наибольшая (11 тыс.) встречена в Центральном Онего (колонка 3). В диатомовых комплексах преобладают диатомеи планктона (до 90 % створок), только в Новенецком заливе (колонка 4) в верхах позднедриасовых отложений наблюдается увеличение содержания бентосных диатомей (до 54 %), характерных для приледниковых озер (*Opephora martyi*, *Navicula jennoscandica* A. Cl.). Всего в позднедриасовых отложениях встреченено 142 вида и разновидности пресноводных диатомей, в том числе ряд характерных представителей бентоса приледниковых водоемов. Подавляющее большинство диатомей имеет низкую численность и встречается спорадически. Очень высок процент североальянских диатомей (более 90 %). Формирование позднедриасовых отложений происходило в пресном глубоком холмоводном озере с развитым диатомовым планктом и разнообразным по составу, хотя количественно и не очень обильным бентосом. Увеличение общей численности и видового разнообразия диатомей свидетельствует о постепенном росте продуктивности озера.

Во всех колонках позднеледниковых отложений спорадически встречаются находящиеся во вторичном залегании створки морских диатомей эу- и мезогалобов, которых насчитывается 7 видов. Наиболее часто отмечены обломки створок *Paralia sulcata* (Ehr.) Sim., а также сенцы и фрагменты створок *Rhabdonema arcuatum*, *Grammatophora arctica* Cl., споры *Thalassiosira gravida*. Найденные единично *T. excentrica*, *Chaetoceros müllerii* Lemm., *Actinocyclus ehrenbergii* Ralfs свидетельствуют о значительных масштабах размытия межлед-



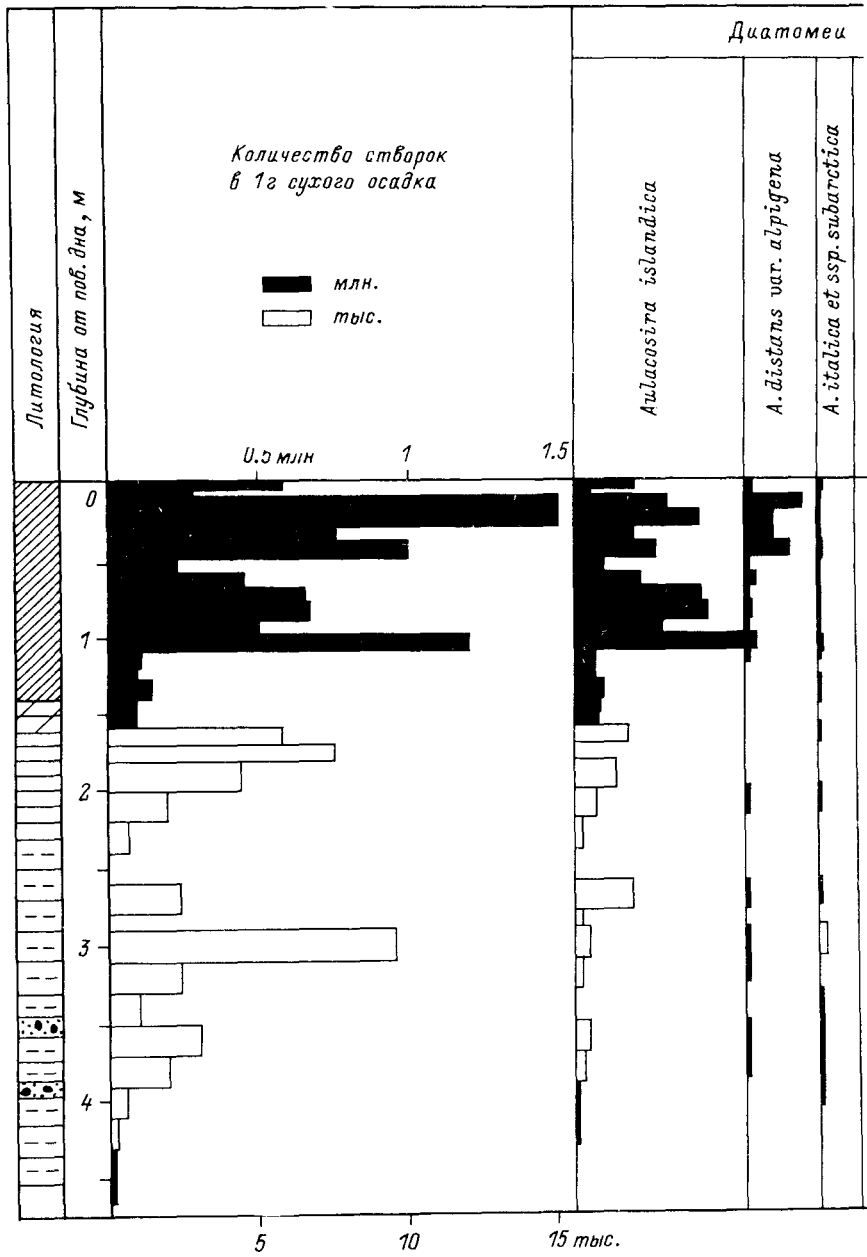


Рис. 27. Диатомовая диаграмма донных отложений Новенецкого залива (колонка 4).

никовых микулинских отложений, распространенных в водосборном бассейне озера.

Таким образом, начиная со среднего дриаса в Онежской котло-

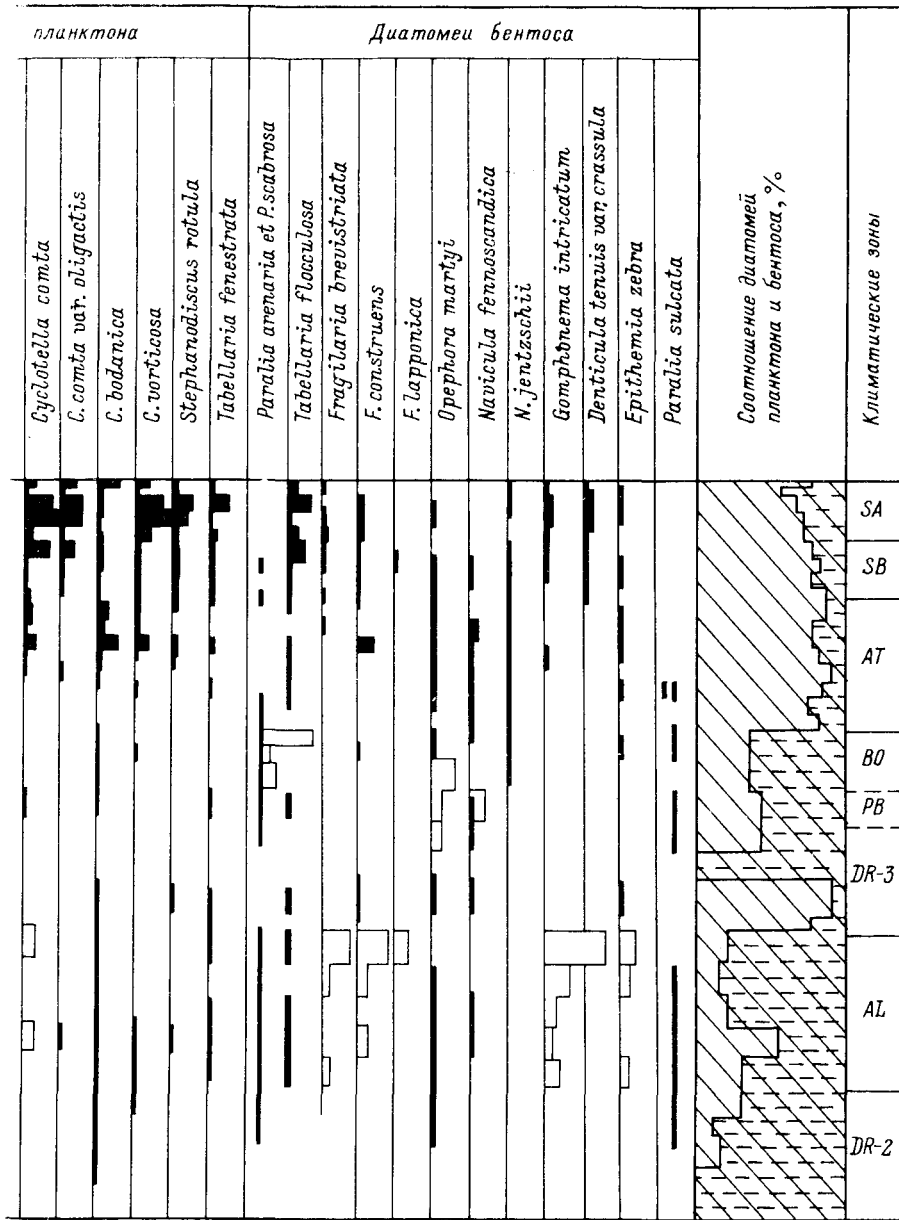


Рис. 27 (продолжение).

вии существовало холодное пресное олиготрофное озеро, уровень продуктивности которого постепенно повышался.

Отложения пребореального времени изучены в 4 колонках. Они представлены гомогенными глинами, содержание створок в которых

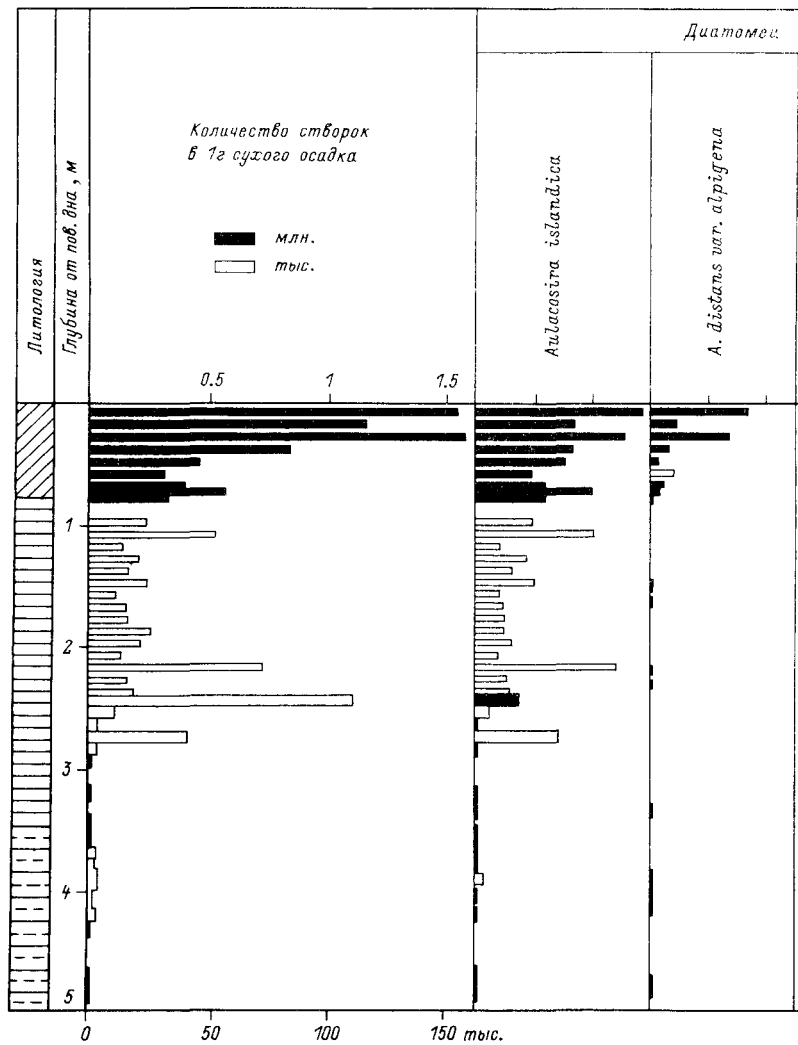


Рис. 28. Диатомовая диаграмма донных отложений Центрального Онего (колонка 8), не превышает 12 тыс. в 1 г воздушно-сухого осадка, а часто — существенно ниже. В открытых районах озера и в Повенецком заливе наиболее массовой в отложениях является *Aulacosira islandica*, кроме того, в Большом Онеге в массе встречается группа диатомей родов *Cyclotella* и *Stephanodiscus*. Планктонные диатомеи являются ведущими в диатомовых комплексах. В Повенецком заливе они составляют не более 43 %, значительной численности достигают *Opephora martyi* и *Navicula fennoscandica* — обитатели песчаных мелководий олиготрофных озер. В отложениях Илемгубы в начале пребореального времени доминируют *Aulacosira islandica* на фоне обилия других представителей рода *Aulacosira*, а доля участия планктонных диатом-

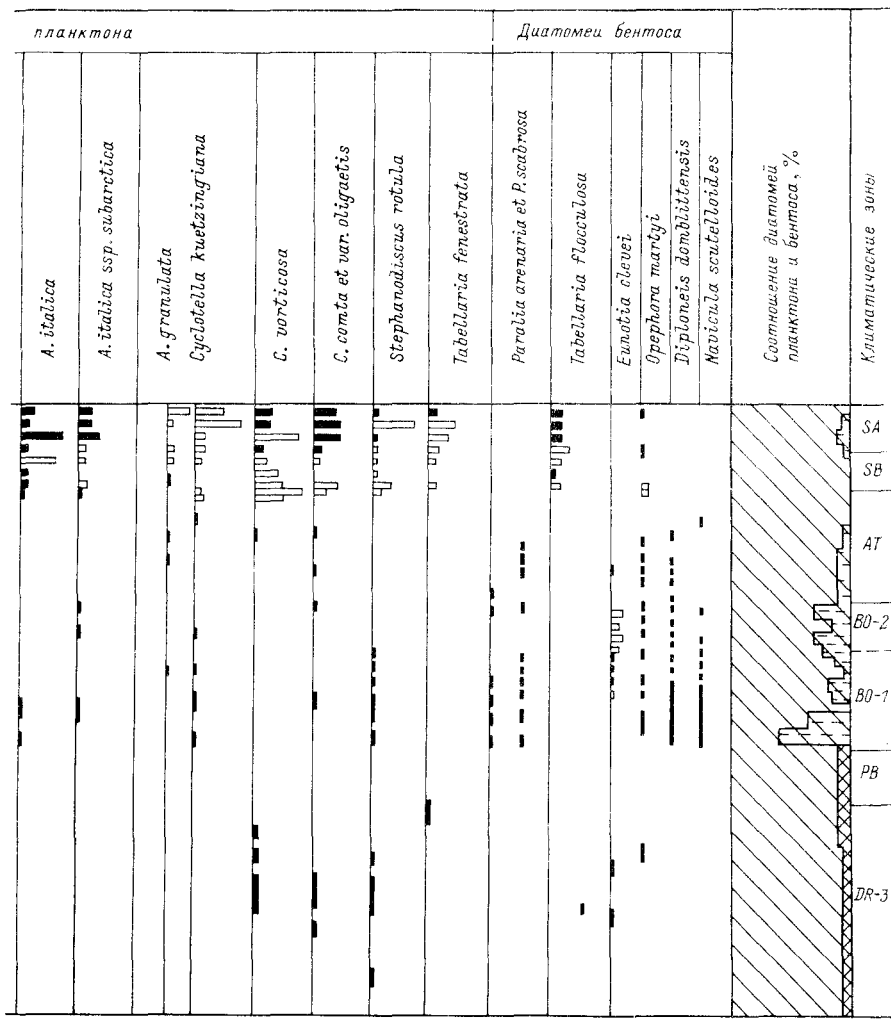


Рис. 28 (продолжение).

мей составляет 43 % общего содержания створок. Во второй половине пребореала в диатомовых комплексах господствуют бентосные диатомеи обрастаний, наиболее многочисленные из которых — *Fragilaria brevistriata*, *Gomphonema intricatum* var. *pumilum*, *Coccconeis placentula*. Всего в пребореальных отложениях найдены 131 вид и разновидность пресноводных диатомей, кроме того, в отложениях Повенецкого залива и Большого Онего единично встречены перенесенные створки морской *Paralia sulcata*. Таким образом, в пребореальное время происходит дифференциация диатомовых комплексов. В Центральном Онего господствуют планктонные диатомеи, а в небольшом заливе Илемгуба во второй половине пребореала в отложениях преобладают бентосные диатомеи обрастаний.

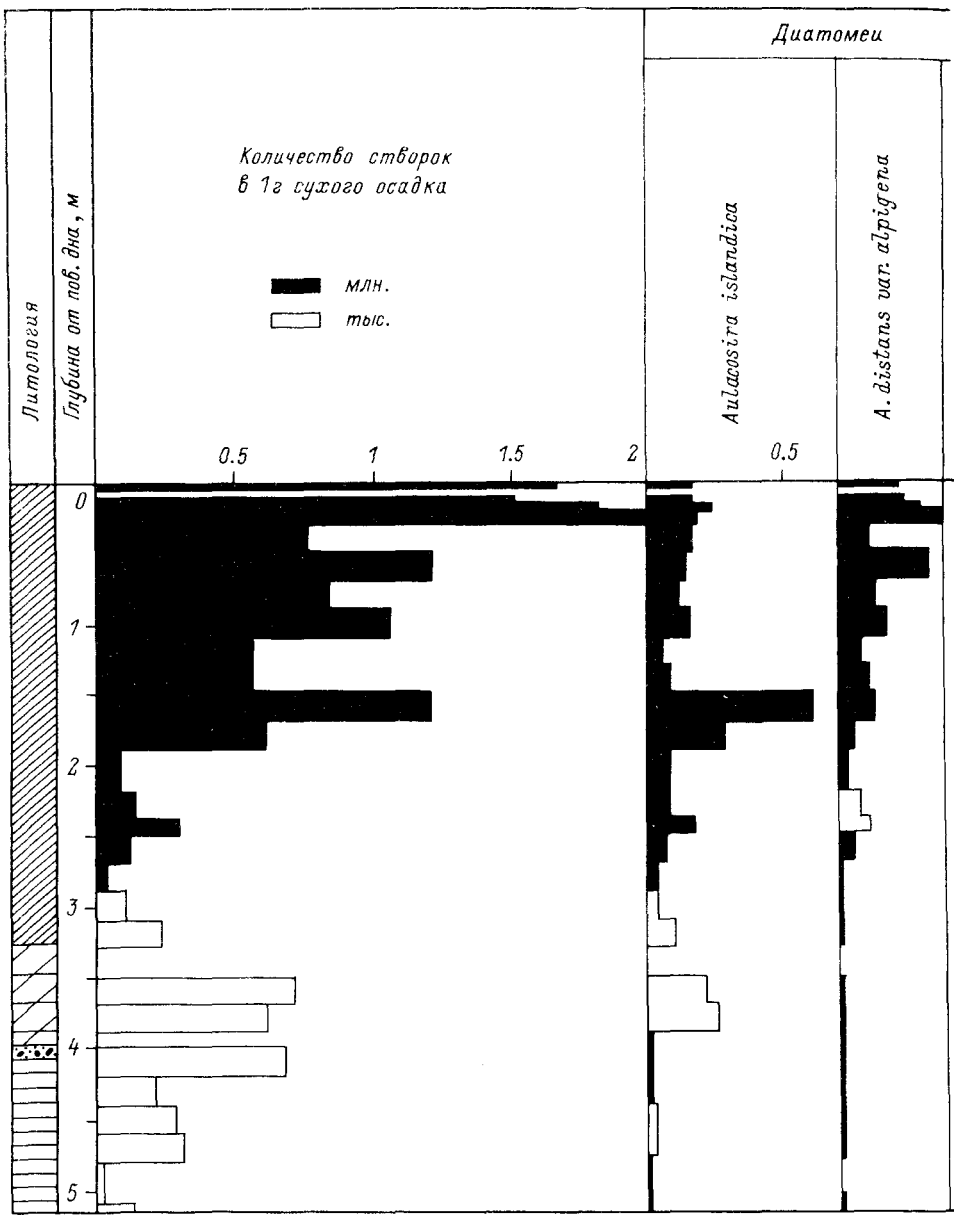


Рис. 29. Диатомовая диаграмма донных отложений Илемгубы Онежского озера (колонка 6).

Отложения бореального времени изучены в 5 колонках. Они представлены гомогенными глинами, а в Илемгубе — верхами гомогенных глин и нижними горизонтами иловой толщи. Численность диатомей

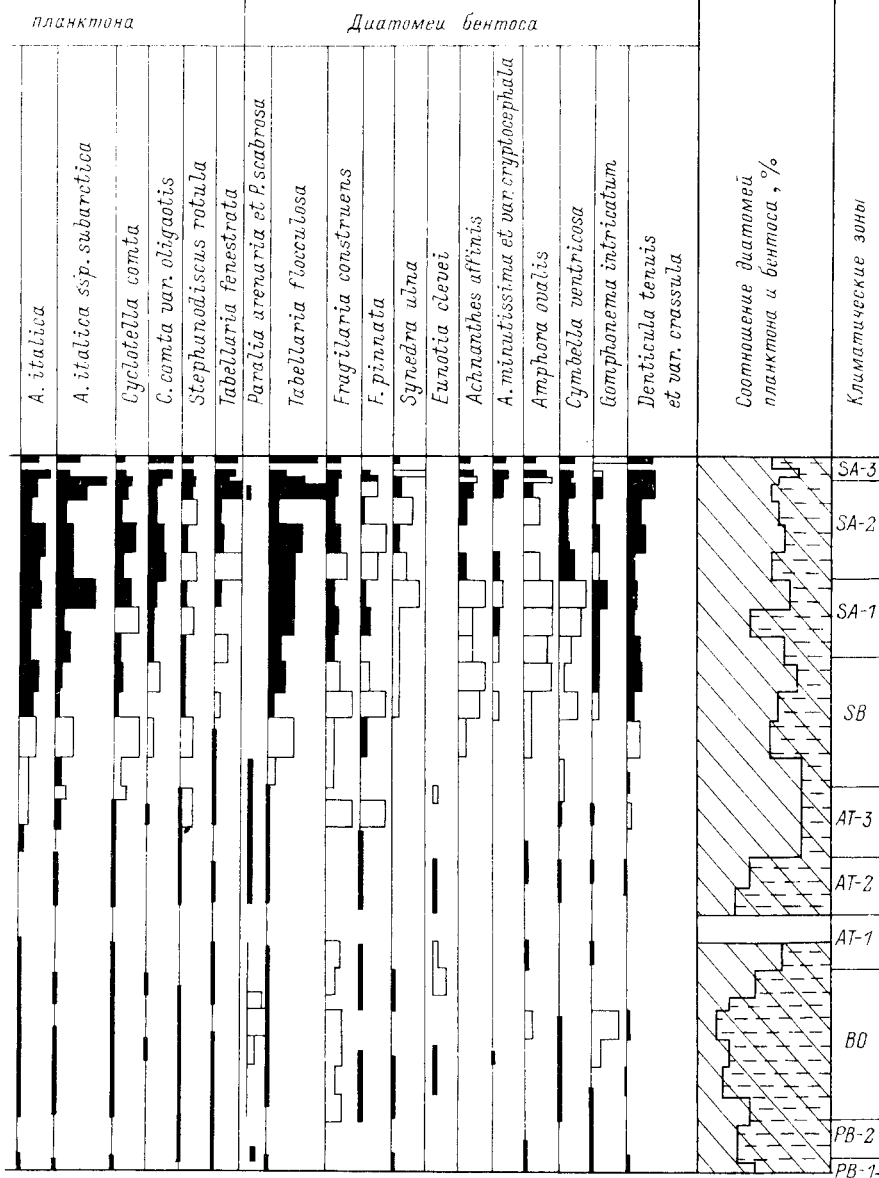


Рис. 29 (продолжение).

в отложениях бореала различна в разных районах озера. В Центральном Онего в первой половине бореала она достигает 71 тыс. створок, а в верхах бореальной толщи снижается до 20 тыс. Высокая численность, 67 тыс., отмечена в Илемгубе, в Малом Онего — 25 тыс., в Но-венецком — 7.5 тыс. В диатомовых комплексах доминирует *Aulacosira*

*islandica*, в Центральном Онего к концу бореала вторым доминантам становятся обитатель обрастаний североальянской диатомея *Eunotia clevei*, высокая численность которой отмечена в это время и в Илемгубе. В открытых районах озера в массе встречен ряд планкtonных *Cyclotella*, в Новенецком Онего — бентосные *Paralia arenaria* и *Orephora martyi*, характерные также для бореальных отложений ациллового озера Балтики и Ладоги. В Илемгубе число массовых бентосных диатомей возрастает. Для бореальных отложений выделена большая группа характерных планктонных и бентосных диатомей, среди которых еще присутствуют виды приледниковых олиготрофных озер — *Cocconeis disculus*, *Diploneis domblittensis*, *Nanula sentelloides* и др., что свидетельствует о том, что рост продуктивности водоема происходит еще очень медленно и проявляется более ярко в небольших прибрежных заливах, примером которых может быть Илемгуба. Следует отметить, что состав диатомовых комплексов в разных районах озера в бореале довольно существенно различался. В Илемгубе и Новенецком заливе преобладали бентосные диатомеи, главным образом донные *Paralia* и обрастатели *Orephora martyi*, виды *Fragilaria* и *Eunotia clevei*. Створки планктонных диатомей составляли 14—46 % их общего содержания. Даже в Центральном Онего в некоторых горизонтах отложений они составляли 40—63 %. Это показывает, что в бореале наблюдалось уменьшение глубины озера, сопровождавшееся развитием фитобентоса на прибрежных мелководьях.

Отложения атлантического времени изучены в 5 колонках. Для них характерен дальнейший рост содержания створок диатомей. В Центральном Онего оно достигло 554 тыс., в Малом Онего и Илемгубе — соответственно 273 и 280 тыс., а в Повенецком заливе превышало миллион (1200 тыс.). В открытых районах озера и в Повенецком заливе преобладали планктонные диатомеи (67—100 % створок); абсолютным доминантом повсеместно, как и ранее, была *Aulacosira islandica*. В массе накапливались створки планктонных, а также некоторых бентосных диатомей (*Orephora martyi* — в Новенецком заливе, *Tabellaria flocculosa* — в Центральном и Большом Онего). В Илемгубе атлантические отложения подразделяются на 3 интервала (Давыдова, 1985). В начальную и конечную фазы господствуют планктонные диатомы (68 и 80 % створок соответственно), а в средней атлантике заметную роль в осадках играют диатомеи бентоса (41—47 % створок), из которых два вида *Fragilaria* входят в число массовых форм. Большая группа планктонных и бентосных диатомей является характерной для атлантики, при этом численность бентосных диатомей в Центральном и Малом Онего ниже, чем в других районах озера. Всего в диатомовых комплексах атлантического возраста встречено 209 видов и разновидностей диатомей. Возрастание общей численности створок в осадках происходит преимущественно за счет диатомей планктона и свидетельствует о росте продуктивности планктонных сообществ.

Отложения суббореального времени встречены во всех изученных колонках. Содержание в них створок в открытых районах остается

близким к показателям атлантики и достигает в Центральном Онего — 456 тыс., в Малом Онего — 276 тыс., в Новенецком заливе — 1 млн., в Илемгубе — 1.2 млн. Как и ранее, повсеместно доминантную роль сохраняет *Aulacosira islandica*, но число массовых и характерных форм вдвое меньше, чем в атлантике; особенно значительно сократилось оно за счет диатомей бентоса, хотя общий видовой состав диатомей существенно увеличился: найдено 276 видов и разновидностей. Повсеместно в диатомовых комплексах господствуют диатомей планктона, причем доля участия *A. islandica* возрастает настолько, что в Центральном Онего и на востоке озера ее створки иногда составляют до 90 %. Вторая массовая диатомея в этих районах — *A. distans* var. *alpigena* — далеко уступает по численности *A. islandica*. В Новенецком заливе массового развития достигают виды *Cyclotella*, а в Илемгубе — *Aulacosira italicica* и обрастатель *Tabellaria flocculosa*. В число характерных форм входят виды холодноводных озер — *Cyclotella bodanica*, *C. vorticosa*, *C. operculata* (Ag.) Kütz., т. е. вновь в заметно больших количествах развивается «циклотельный планктон». Бентос в суббореале разнообразен по составу, но необилен, что и проявилось в сокращении числа характерных и массовых бентосных диатомей. Кроме указанных выше характерных диатомей имеется группа видов, встречающихся довольно часто, но в небольших количествах. Таковы бентосные *Amphora ovalis*, *Coccconeis placentula*, *Cymbella cistula* (Hemp.) Kirch., *Didymosphenia geminata*, *Eunotia clevei*, *E. pectinalis* var. *minor*, *Gomphonema acuminatum* Ehr., *Navicula bacillum* Ehr., *Rhopalodia gibba* (Ehr.) O. Müll. Имеется также группа широко распространенных, но не массовых в отложениях диатомей, среди которых следует упомянуть *Aulacosira ambigua*, *A. distans*, *Cyclotella quadriuncta* (Schröt.) Hust., *Stephanodiscus niagrae*. Анализ флоры показывает, что наряду с диатомами олиготрофных озер появились диатомеи более продуктивных вод — в заливах и прибрежной полосе.

Отложения субатлантического времени образуют верхнюю часть осадочной толщи во всех колонках и представлены в глубоководной зоне озера илами. Содержание диатомей в них максимально для всего разреза голоцен. В Центральном Онего оно достигает 1.6 млн., в Малом Онего — 3.1 млн., в Илемгубе — 2 млн., а в Новенецком заливе — 1.5 млн. Состав массовых и характерных диатомей в субатлантических отложениях отличается большим разнообразием, как и в осадках атлантики. Видовое разнообразие — максимальное: встречено 286 видов и разновидностей пресноводных диатомей. В диатомовых комплексах повсеместно господствуют планктоны диатомеи. Наибольшую численность в отложениях открытых районов имеет *Aulacosira islandica*, а в Илемгубе в субатлантике самой многочисленной становится *A. distans* var. *alpigena*, которая в других районах стоит на втором месте по численности. В Центральном и Малом Онего субдоминантом является *A. italicica*, в Новенецком Онего — виды *Cyclotella* и *Tabellaria flocculosa*, в Илемгубе в массе встречается *A. italicica* var. *subarctica*, а также бентосная *Denticula tenuis* var.

*crassula*, в заметных количествах встречаются многие характерные бентосные диатомеи.

Таким образом, имеющиеся материалы дают достаточно полную характеристику изменений состава диатомей в отложениях разных районов Онежского озера на протяжении поздне- и послеледникового времени и позволяют судить об основных этапах развития его экосистемы.

## Глава 6

### ИСТОРИЯ ОЗЕРА ПО ЗООГЕОГРАФИЧЕСКИМ ДАННЫМ

#### История озера по данным об ихтиофауне

Бассейн Онежского озера в соответствии со схемой зоогеографического районирования для пресноводных рыб расположены на границе Невского округа Средиземноморской подобласти и Европейского округа Циркумполлярной подобласти Голарктики (Берг, 1949). Однако несмотря на это, ихтиофауна бассейна подобна фауне рыб Ладожского бассейна и отличается от последней только меньшим числом видов за счет отсутствия ряда рыб понто-каспийского комплекса. В Онежском озере и связанных с ним водоемах нет таких карповых рыб, как жерех *Aspius aspius* (L.), линь *Tinca tinca* (L.), верховка *Leucaspis delineatus* (Heckel), белоглазка *Abramis sapo* (Pallas), сырть *Vimba vimba* (L.).

Сходство ихтиофауны водоемов обычно принято интерпретировать как свидетельство единства путей их происхождения. Но такой вывод справедлив не всегда. В случае Онежского и Ладожского бассейнов было бы большой ошибкой подобие ихтиофауны рассматривать как показатель совместного их формирования. Как свидетельствует анализ геологических материалов, в течение значительных отрезков времени в поздне- и послеледниковый период Онежское озеро существовало независимо от Ладожского (Квасов, 1976). Некоторое влияние ладожской ихтиофауны на онежскую можно выявить лишь в отношении периода климатического (температурного) оптимума, когда в бассейне Онежского озера появились такие рыбы, как синец *Abramis ballerus* (L.), густера *Blicca bjoerkna* (L.), красноперка *Scardinius erythrophthalmus* (L.), сом *Silurus glanis* L. и др. Однако и в отношении этих видов с достаточно большой уверенностью можно считать, что по крайней мере часть их проникла в бассейн Онежского озера непосредственно из Волжского бассейна через Белозерскую озерно-речную систему. В связи с этим правомерно полагать, что сходство ихтиофаун бассейнов Онежского и Ладожского озер обусловлено преимущественно сходством фауны рыб тех водоемов, откуда шло их расселение.

Фауна рыб Онежского озера включает 38 видов и основных подвидов (Кудерский, 1961). Она неоднородна в зоогеографическом отношении. В озере и связанных с ним водоемах обитают как холодноводные северные виды, сближающие онежскую ихтиофауну с Циркумполлярной подобластью, так и широко распространенные эвритермные

рыбы и рыбы, свойственные Понто-Каспийскому бассейну. Первыми вселенцами были холоднолюбивые степнотермные виды, которые до образования Онежского озера обитали в Верхне-Волжских приледниковых водоемах, сток из которых происходил понемногу в направлении Волги, Сев. Двины и на запад вдоль края ледника (Квасов, 1975). В границах современного Онежского озера эта группа рыб появилась более 11 тыс. л. н. во время существования Южно-Онежского приледникового озера, в которое, вероятно, проникла ихтиофауна, обитавшая ранее в системе Верхне-Волжских приледниковых водоемов. Свидетельством былой связи бассейнов Онежского озера и реки Онеги может служить водлозерская ряпушка *Coregonus sardinella maris-albi* Berg, близкая к сибирской (Покровский, 1967). Подобные формы ряпушки в водоемах, относящихся к Невскому округу, не встречены нигде, кроме восточной части бассейна Онежского озера (Водлозеро).

Из современных рыб, обитающих в Онежском озере и связанных с ним водоемах, от фауны Южно-Онежского приледникового озера ведут свою родословную озерный лосось *Salmo salar* m. *sebago* Girard, озерная *S. trutta* m. *lacustris* L. и ручьевая *S. trutta* m. *fario* L., форель, налим *Salvelinus alpinus* (L.), многочисленные формы сигов *Coregonus lavaretus* L., хариус *Thymallus thymallus* (L.), ряпушка *Coregonus albula* L., плотва *Rutilus rutilus* (L.), окунь *Perca fluviatilis*, налим *Lota lota* (L.), онежская рогатка *Triglopsis quadricornis onegensis* Berg et Popov. Большинство из этих рыб — холоднолюбивые виды (плотва, окунь — эвритеческие формы) и они сохранились в Онежском озере до настоящего времени благодаря его глубоководности, холодноводности и общему олиготрофному облику.

Некоторые из указанных видов отличаются от аналогичных видов, населяющих Ладожское озеро. В частности, онежская рогатка настолько значительно отличается от ладожской, что обе они обычно описываются в качестве самостоятельных подвидов (Берг, 1949). Различаются по своим особенностям некоторые формы онежских и ладожских сигов. В Онежском озере обитает не имеющая аналогов крупная форма ряпушки — кильец *Coregonus albula kiletz Michailowsky* (Правдин, 1939).

Приведенные примеры могут рассматриваться как свидетельство того, что холодноводные элементы ихтиофауны обоих крупных озер проникли в них из разных систем приледниковых водоемов. Онежские популяции этих рыб на протяжении всего периода существования в озере, по-видимому, не имели ни постоянных, ни временных контактов с ладожскими, несмотря на возникновение связи между озерами по р. Свирь. Лишь в отношении ладожского лосося можно допустить проникновение в Онежское озеро единичных особей.

Вторая волна вселения рыб в бассейн Онежского озера совпала с периодом климатического оптимума. В это время в озеро и связанные с ним водоемы могли вселиться судак *Stizostedion luciopercoides* (L.), щом *Silurus glanis* L. и ряд видов карловых рыб: голавль *Leuciscus cephalus* (L.), чехонь *Pelecus cultratus* (L.), густера *Blicca bjoerkna* (L.), синец *Abramis ballerii* (L.), карась *Carassius carassius* (L.).

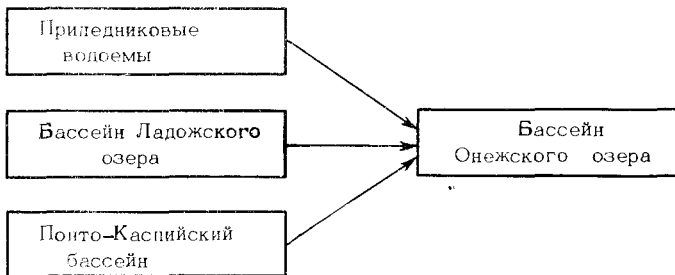


Рис. 30. Схема путей формирования ихтиофауны Онежского озера.

красноперка *Scardinius erythrophthalmus* (L.). Все эти виды — выходцы из Понто-Каспийского бассейна. Наиболее вероятный путь их вселения — контакты между бассейнами рек, впадающих в Онежское и Белое озера. Подобным же образом несколько видов рыб проникло в проницом в бассейн р. Онеги, прилегающий с востока к бассейну Онежского озера. Здесь в период климатического оптимума обитали щом, жерех *Aspius aspius* (L.), синец, красноперка. В настоящее время перечисленных видов в бассейне р. Онеги нет (Никольский, 1935, 1943). В бассейне Онежского озера названные выше виды встречаются, как правило, только в отдельных водоемах и обычно малочисленны (кроме судака). Возможно, что в проницом они были распространены более широко, но затем их ареалы сократились в результате похолода-ния, которое обусловило их вымирание и в бассейне р. Онеги.

Нельзя полностью исключать возможность проникновения некоторых из указанных выше видов из бассейна Ладожского озера (р. Свири). Таким путем в бассейне Онежского озера мог оказаться, например, голавль *L. cephalus* (L.). Но Свири поднимался также стечавшийся в проницом в Онежском озере атлантический осетр *Acipenser sturio* L. (Кудерский, 1983).

Таким образом, истоки современной ихтиофауны Онежского озера и его бассейна восходят, с одной стороны, к фауне приледниковых водоемов, с другой — к понто-каспийской фауне, которая расселялась как непосредственно, так и через Ладожский бассейн (рис. 30).

Последняя волна вселения рыб связана с хозяйственной деятельностью человека. В связи со строительством судоходных каналов, связывающих Онежское озеро с р. Волгой, перевозкой живой рыбы ее акклиматизацией в озере были встречены единичные экземпляры терпида *A. ruthenus* L., омуль *Coregonus autumnalis* (Pallas), нельзи *C. peled* (Gmelin). Однако самовоспроизводящиеся стада этих рыб здесь пока не сформировались.

### История озера по данным о фауне высших ракообразных

В бассейне Онежского озера обнаружено 7 видов высших ракообразных, в том числе изонода *Asellus aquaticus* L., мизида *Mysis galata* var. *relicta* Lovén, амфиноиды *Pontoporeia affinis* Lindstr., *Gammarus*

*maracanthus loricatus* Sars, *Pallasea quadrispinosa* Sars, *Gammarus lacustris* Sars и узконогий рак *Astacus leptodactylus* Eschholz (Гордеев, 1965). Из неречисленных видов узконогий рак вседен в некоторые озера искусственно и затем распространялся по соседним водоемам (Александров, 1968б). История расселения остальных нести видов ракообразных тесно связана с поздне- и последниковыми перестройками гидрографической сети.

Наибольшее внимание исследователей длительное время привлекают такие реликтовые виды, как мизида, понтонарх, гаммаракантус, наиласея, в связи с тем, что близкие к ним формы (считывающиеся исходными) населяют солоновато-водные морские акватории. В литературе длительное время обсуждается вопрос о возможных путях проникновения этих организмов в пресные воды, в том числе в Онежское озеро. В частности, бытует мнение, высказанное еще в середине прошлого века С. Ловеном, что в позднеледниковое время через котловину современного Онежского озера проходил пролив, соединявший морские водоемы, бывшие на месте Балтийского и Белого морей (Кудерский, 1971, 1972). Сторонники этой точки зрения считали, что реликтовые ракообразные сохранились в озере как остатки фауны указанного морского бассейна (Герд, 1949; Гордеев, 1949).

Однако проникновение реликтовых ракообразных в Онежское озеро и связанные с ним водоемы вполне логично объясняется без привлечения гипотез о широких позднеледниковых морских трангрессиях и морских проливах.

Как известно, во время последнего оледенения фауна водоемов северного склона Восточно-Европейской равнины была полностью уничтожена лишь в тех участках, в которых ледниковый покров продвинулся до главного водораздела между Балтийско-Беломорско-Баренцевоморским и Понто-Каспийским бассейнами. В таких районах талые ледниковые воды по долинам стока переливались в южные водоемы, в связи с чем лимнофильные водные организмы здесь не могли сохраняться. Однако на значительных пространствах последний ледник не достигал указанного водораздела. Вследствие этого талые воды скапливались в понижениях рельефа и образовывали у края ледяного покрова обширные приледниковые водоемы (Квасов, 1975). Последние служили своеобразными убежищами (рефугиями), в которых пережили ледниковый период многие виды водных организмов, в том числе реликтовые ракообразные, а также пресноводные водяной ослик *A. aquaticus* и гаммарус *G. lacustris*. При отступании ледника все эти виды ракообразных вместе с приледниковыми водоемами переместились к северу в районы современного обитания.

Появление в бассейне Онежского озера четырех видов реликтовых и двух видов пресноводных ракообразных относится ко времени возникновения Южно-Онежского приледникового озера (Квасов, 1976). В него проникла фауна Верхне-Волжской системы приледниковых озер, существовавших у края ледникового покрова во время его максимального продвижения к югу. По мере формирования собственно Онежского озера и водоемов его бассейна рассматриваемые нести видов высших ракообразных заселили многие озера, чому способство-

вали обширные водные связи. В настоящее время они обитают в тех водоемах, в которых сохранились благоприятные экологические условия (Кудерский, 1972, 1982).

### История озера по данным о фауне моллюсков

В Онежском озере обитает 34 вида и 5 подвидов гастронод, принадлежащих 12 родам, и 21 вид двустворчатых моллюсков, которые относятся к 7 родам (Герд, 1946; Александров, 1965; Соколова, 1965; Слепухина, 1975). Брюхоногие моллюски обитают обычно в литоральной зоне и в районах мелководий (луг), некоторые виды проникают и в сублитораль, двустворки заселяют также и биотоны профундали. Наибольшее число видов гастронод принадлежит родам *Lymnaea* (13 видов), *Anisus* (5 видов) и *Valvata* (5 видов). Из двустворок 10 видов относятся к роду *Euglesa*, 3 вида — к роду *Amesoda*, по 2 вида — к родам *Sphaerium* и *Neopisidium* и по 1 виду — к родам *Pisidium*, *Unio* и *Anodonta*. В Онежском озере распространены два карельских эндемика *Amesoda subsolida* и *Lacustrina dillata*. По ранее опубликованным данным (Понченко, Александров, 1983), двустворки *Unio* и *Anodonta* отличаются рассеянным распространением и не играют существенной роли в количественных показателях бентоса. В величине средней биомассы из моллюсков основную роль играют низидиумы (3–4 %) и сфериды (5 %).

Комплексный подход к исследованию донной фауны Онежского озера позволил В. И. Понченко и Б. М. Александрову (1983) критически пересмотреть схему биоценозов бентоса больших озер Карелии, которая была предложена С. В. Гердом еще в 1949 г. Особую роль в этом сыграли исследования Б. М. Александрова (1962, 1968) — основоположника классификации бентических сообществ Онежского озера. В своей работе В. И. Понченко объединяет биоценозы бентоса в пять основных групп: нелофильные, исаммофильные, лито-исаммофильные, лиофильные и фитофильные. Моллюски присутствуют в составе всех биоценозов.

Нелофильные биоценозы приурочены к профундальной зоне. На участках дна с глубинами свыше 30–40 м встречаются только представители родов *Euglesa* и *Neopisidium*. В неглубоких районах (глубина 10–30 м) встречаются виды *Euglesa henslowana*, *E. Littjeborgi*, *Neopisidium conwentzii*, *Amesoda solida*.

Исаммофильные биоценозы озера (глубина 5–10 м) являются наиболее бедными из-за подвижности песков, что отмечалось также Г. Н. Стальмаковой (1968) для Ладожского озера и С. В. Гердом (1949) для других озер Карелии. Здесь распространены некоторые виды родов *Pisidium*, *Neopisidium*, *Euglesa*, а в мелководной Свирской губе к ним присоединяются сфериды и вальваты.

Каменисто-несчленные грунты сублиторальной зоны озера (до 10–20 м) населены как лиофильными видами (*Anisus contortus*, *A. acro-nicus*, *Acroloxus lacustris*, *Valvata planorbulina*), так и представителями нелофильной группировки (*Neopisidium conwentzii*).

Типичными представителями каменистой литорали являются виды

*Lymnaea ovata*, *L. ballnica*, *L. atra*, *L. palustris*, *Anisus acronicus*, по скалистая прибрежная литораль и прибрежные районы с галечным дном почти не заселены моллюсками.

Состав фитофильного биоценоза наиболее разнообразен и богат. Подробно он рассматривается в работе Т. Д. Слепухиной (1975) «Зообентос литорали Онежского озера». Ею изучались биоценозы зарослей тростника, камыша, хвоща, нимфейных, горца земноводного и рдестов. Здесь чрезвычайно широко распространены гастроподы, а из двустворчатых моллюсков встречаются *Neopisidium conventus*, *Euglesa henslowana*, *Sphaerium suecicum*, *S. sorneum*.

Для того чтобы дать зоогеографическую характеристику фауны моллюсков Онежского озера, необходимо рассмотреть ареалы слагающих ее видов. Эти ареалы по широте можно разделить на несколько групп. Наиболее широкими, голарктическим и палеарктическим, ареалами обладают 4 вида, что составляет 7 %. Следующий по широте, европейско-сибирский ареал, включает несколько подгрупп: виды, заходящие восточнее Лены (4 вида, 7 %), виды, доходящие до Лены (2 вида, 4 %), виды, доходящие до бассейна Енисея (6 видов, 11 %) и виды, составляющие европейско-западносибирскую группу и заселяющие в Сибири только бассейн Оби (11 видов, 20 %). Следующую группу составляют европейские виды. Это самая многочисленная группа, включающая 25 видов (46 %). К сибирско-североевропейской группе относятся 3 вида (5 %), распространенные в Европе только на севере. Значительное число европейских и европейско-западносибирских видов (36) и малое число сибирских (3) говорят о сильном влиянии европейской и очень слабом — сибирской фауны на малакофауну Онежского озера.

Сравнивая видовой состав малакофауны Онежского озера и бассейнов крупных рек европейского севера — Сев., Двины, Мезени и Нечоры, нельзя не заметить возрастание роли сибирских элементов к востоку. В бассейне Сев. Двины сибирские виды представлены видом *Cincinnna sibirica*, в фауне Мезени прибавляется еще один вид — *Anodonta seisanensis*, в бассейне Нечоры насчитывается уже 9 видов (Лешко, 1983), в то время как число европейских видов уменьшается от 25 в Онежском озере до 5 видов в бассейне Мезени и 4 видов в бассейне Нечоры.

Рассматривая распространение моллюсков Онежского озера по глубине, необходимо отметить, что в озере наблюдается только экологическая вертикальная зональность. Большинство видов, обитающих в озере, не встречается глубже 40 м, на глубине 30—40 м отмечен только *Neopisidium conventus* (Герд, 1949). Фаунистически зоны литорали, сублиторали и профундали отличаются лишь отсутствием определенных видов на глубине. Сублитораль и профундаль населены эврибионтными видами *Neopisidium conventus*, *Euglesa lilljeborgi*, *E. casertana*, *E. henslowana*. Это объясняется молодостью фауны озера, которое стало заселяться только в голоцене.

Отличительной чертой, характерной для процессов заселения моллюсками Онежского озера, является затрудненность связи с Балтийским морем, которое сыграло огромную роль в заселении Ладож-

ского озера. Это сказалось на видовом разнообразии онежских моллюсков. Их фауна более тесно связана с фаунами рек европейского севера — Онеги, Мезени, Сев. Двины и Печоры. В позднеледниковое время наряду с распространенными в Ладоге и Онеге холодолюбивыми видами *Anisus stroemi*, *A. acronicus*, *Euglesa substrancata* в Онежское озеро ввешается сибирский вид *Cincinna sibirica*, который отсутствует в Ладожском озере, но присутствует в бассейнах Сев. Двины и Печоры. Из более поздних комплексов моллюсков, вселившихся в boreальное и атлантическое время, в Онежском озере отсутствуют представители наиболее теплолюбивых видов *Unio rostratus*, *Bavarusiana alra*, *Anodonta cygnea* из boreального комплекса, рода *Viriparus* — из атлантического комплекса, род *Planorbarius* представлен в озере только одним видом.

### История озера по данным о фауне олигохет

Фауна олигохет Онежского озера проникла в него из приледниковых водоемов, существовавших в бассейне верхней Волги. Багульные виды *Stylaria lacustris*, *Ripistes parasita*, *Aulodrilus*, *Limnodrilus*, *Tubifex tubifex*, *Hydridilus templetoni* и другие расселились через водораздел рек Ковжи и Вытегры. Некоторые виды (из родов *Isochaetides*, *Potamothrix*, *Psammoryctides*, *Aulodrilus* и др.) проникли по системе приледниковых озер в котловину Онежского озера. В первую очередь должны были проникнуть более холодолюбивые, в том числе boreальные виды, преимущественно степотермы (некоторые виды *Tatriella*, *Trichodrilus*, *Stylodrilus*, *Rhynchelmis*, *Nais alpina* и т. д.). Распространение ихило из средне-европейских рефугиев, в том числе из бассейна оз. Охрид. Малощетинковые черви некоторое время могли существовать в водоемах, образованных непосредственно у границы ледников. Эвритермные же виды в Онежское озеро, вероятно, проникли несколько позднее. Последними во время климатического оптимума голоцене начали проникать с юга теплолюбивые виды олигохет родов *Aulodrilus*, *Potamothrix*, *Isochaetides*, а также *Spirospelta ferox*, *Tubifex tubifex*, *Stylodrilus heringianus* и др.

Обогащение фауны олигохет Онежского озера шло и за счет восточно-сибирских элементов (*Tubifex kessleri*, *Alexandrocia onegensis*, *Lumbriculus*, *Lamprodrilus* и т. п.). Вселение малощетинковых червей с востока происходило, вероятно, через центр приледниковых озер, существовавших в Западной Сибири и в водохранилищах бассейнах рек Печоры, Северной Двины и Онеги.

В раннем голоцене в профундате Онежского озера обитала богатая фауна олигохет, состоящая из разных требовательных к кислороду видов (*Spirospelta ferox*, *Stylodrilus heringianus*, *S. parrus*, *Lamprodrilus isoporus*, *Rhynchelmis granuensis* и др.). Но мера накопления в донных отложениях детрита увеличивалась доля тубифицид за счет *S. ferox*, *Limnodrilus hoffmeisteri*, *L. claparedensis*, *L. udekemianus*, *Isochaetides newaensis*, *Tubifex tubifex*. Развитие прибрежно-водной растительности и потепление климата способствовало обогащению *Naididae*, особенно *Stylaria lacustris*, *Nais simplex*, *Vejdovskyllella*.

*comata*, *Daro*, *Chaetogaster* и др. Такой облик фауны олигохет на большей части акватории Онежского озера сохранился и до наших дней.

За последние столетия под влиянием хозяйственной деятельности человека (особенно создание каналов, развитие судоходства) усилился процесс проникновения ряда южных элементов фауны олигохет через Волжский бассейн (*Potamothrix hammoniensis*, *Isochaetides newaensis*, *Psammoryctides barbatus*, *Aulodrilus pluriseta*, *A. limnibius* и др.). Проникновение их сюда началось с момента создания в XIX в. Мариинской судоходной системы. С развитием промышленности (особенно целлюлозно-бумажной) и сельского хозяйства (в условиях применения минеральных удобрений, пестицидов) заметно стали изменяться фаунистические комплексы олигохет в профундации отдельных районов озера. Так, в Петрозаводской губе все меньшую роль стали играть *Spiroserpeta ferox*, *Stylodrilus heringianus*, *Lamprodrilus isoporus*, а в Кондопожской губе, загрязненной стоками ЦБК, единственным представителем олигохет в настоящее время является *Tubifex tubifex*.

В последнее время в фауне олигохет Онежского озера заметно увеличилась доля *Limnodrilus hoffmeisteri*, *Potamothrix hammoniensis*, *Tubifex tubifex*, что свидетельствует об усилении процесса эвтрофирования ряда его заливов (Новенецкий, Петрозаводская губа и др.).

## Глава 7

### ОСНОВНЫЕ ЭТАПЫ РАЗВИТИЯ ОЗЕРА

История Онежского озера сходна с историей Ладоги. Можно считать доказанным, что котловины обоих озер созданы денудацией, главным образом ледниковым выпахиванием. В обе котловины не проникали воды поздне- и поседеледниковых морских бассейнов, но в голоцене Онежское озеро развивалось не так, как Ладожское. На Ладоге происходило постепенное затопление южных берегов, а около 2 тыс. л. н. после образования р. Невы уровень озера резко снизился. Сток из Онежского озера шел по р. Свири в течение всего голоцена, очертания южных берегов почти не менялись, а изостатическое поднятие северной части котловины приводило там к осушению побережья. Можно выделить следующие основные этапы истории озера.

1. В протерозое в северной части современной Онежской котловины существовала тектоническая депрессия, возможно, занятая озером. К концу среднего протерозоя она была заполнена осадочными и вулканогенными породами. В дальнейшем на протяжении позднего протерозоя и почти всего кайнозоя никаких отрицательных форм рельефа и занимающих их обособленных водных бассейнов здесь не существовало.

2. Во время четвертичных оледенений через район будущего озера неоднократно продвигалась на юго-юго-восток Онежско-Белозерская ледниковая лопасть Скандинавского ледникового щита. Ледниковое выпахивание привело к образованию котловин в тех районах, где на поверхность выходили относительно менее устойчивые осадочные и метаморфические породы. Сложный рельеф возник на севере Онеж-

ской котловины, где заливы озера приурочены, как правило, к выходам протерозойских осадочных пород, а разделяющие их полуострова и острова — к выходам вулканогенных отложений. Южную часть Онежской котловины можно рассматривать как понижение между двумя куэстами — Шокшинской грядой, сложенной протерозойскими кварцито-несчаниками и пластовыми интрузиями диабазов, и карбоновым уступом, сложенным известняками.

3. Во время последнего (микулинского) межледникового в Онежскую котловину проникали с севера воды бореального (Мгинского) моря. Не ясно, соединялись ли между собой морские бассейны, существовавшие в Онежской и Ладожской котловине.

4. К концу валдайского оледенения из Онежской котловины была удалена большая часть сформировавшихся до этого четвертичных отложений, в результате чего она приняла очертания, близкие к современным. Северная часть котловины была опущена более чем на 100 м под тяжестью ледниковой нагрузки.

5. Около 13 тыс. л. н., когда началось отступление ледников лужской стадии валдайского оледенения, образовалось Южно-Онежское приледниковое озеро. Первоначально оно затопляло современный Онежско-Белозерский водораздел и было частью Верхне-Волжской системы приледниковых озер. Затем сток из озера шел по сквозной долине Онта—Тукша—Оять, а его уровень снизился до 100 м. Вскоре образовалась р. Свири, нижнее течение которой постепенно освобождалось от льда. Врезание Свири вызвало падение уровня Южно-Онежского озера до 75, 55, 45 м, а затем и до отметок, близких к современным (33 м).

6. Поскольку северная часть Онежской котловины была опущена, воды озера могли затопить современный Онежско-Сегозерский водораздел. В ходе дальнейшего отступления ледников Сегозеро получило сток в направлении Беломорской котловины. В этом же направлении мог в течение короткого времени происходить сток из Онежского озера, уровень которого должен был снизиться. Поднятие северного порога стока могло вызвать быстрое повышение уровня озера у южных берегов и возобновление стока по р. Свири. Существование этого этапа истории озера пока нельзя считать твердо установленным. Только дальнейшие исследования покажут, происходил ли в позднеледниковые времена сток из Онежского озера в северном направлении.

7. На протяжении последних 11 тыс. лет уровень озера определялся положением порога стока в верхнем течении р. Свири и по климатическим причинам мог изменяться не более чем на 1—2 м. В юго-восточной части котловины (до линии нос. Шемозеро—устье р. Водлы) все голоценовые береговые линии имеют высоты, лишь незначительно отличающиеся от высоты уровня современного озера, но плановое положение берегов значительно изменилось. На юго-востоке озера в пределах мелководий образовались косы-пересыпи, отделившие от основной акватории озера многочисленные лагуны. Таково, например, оз. Муромское. Часть лагун превратилась в болота. Вероятно, такой же характер имело южное и юго-восточное побережья Ладожского озера 2—3 тыс. л. н. (до образования р. Невы). К северо-

востоку от линии пос. Шелтозеро—устье р. Воды происходило изо статическое поднятие. Оно было наибольшим на побережье Новенецкого залива, где раннеголоценовые береговые линии подняты на 30–40 м выше современного уровня озера. Это привело к значительному сокращению акватории озера.

8. По археологическим данным установлено, что в середине суббореала (3,5–3,7 тыс. л. н.) уровень Онежского озера повышался на 2–3 м. Это могло быть вызвано только временным повышением высоты порога стока в верхнем течении р. Свири в результате засорения ее русла. Поскольку в суббореале атмосферные осадки и речной сток несколько уменьшились, Свири не смогла быстро углубить свое русло до прежних отметок; на это потребовалось несколько сот лет.

## Глава 8

### СОВРЕМЕННОЕ СОСТОЯНИЕ ОЗЕРА И ТЕНДЕНЦИИ РАЗВИТИЯ ПРИРОДНЫХ ПРОЦЕССОВ

Географическое положение и большой объем водных масс (292 км<sup>3</sup>) определяют Онежское озеро как холодноводный водоем, что обусловливает замедленное развитие биологических процессов, в том числе и процесса самоочищения. У онежской воды общая минерализация вдвое меньше, чем у ладожской, и для нее характерно высокое содержание кислорода во всей толще. Озеро относится к числу олиготрофных водоемов. С водосбора поступает около 850 т фосфора в год, а его среднее содержание в водах озера составляет 0,013 мг/л.

Загрязненность Онежского озера имеет локальный характер и приурочена к промышленным районам и трассам водного транспорта. Основными ее источниками являются сточные воды предприятий целлюлозно-бумажной промышленности, хозяйствственно-бытовые стоки городов Медвежьевогорск и Пудож и ливневые стоки г. Петрозаводска. Около 80 % общего количества загрязненных стоков поступает в озеро от Кондопожского целлюлозно-бумажного комбината, в районе которого среднегодовая концентрация органических веществ более чем в три раза превышает ПДК. Кондопожская губа потеряла рыбохозяйственное значение, а вода даже в 4–5 км от берега не может использоваться для питьевого водоснабжения.

Из-за сброса ливневых сточных вод г. Петрозаводска отмечается нефтяное загрязнение Петрозаводской губы, в 3 раза превышающее ПДК. Значительное нефтяное загрязнение наблюдается на трассах Беломорско-Балтийского водного пути и в Новенецком заливе, где содержание нефти в донных отложениях прибрежной зоны постигает 150–300 мг на 100 г сухого веса грунта.

В целом состояние Онежского озера является пока благополучным. Это обстоятельство имеет важное значение для замедления процессов эвтрофирования Ладожского озера, так как сток онежской воды по Свири способствует разбавлению волховской воды с большим содержанием фосфора. Вместе с тем дальнейшее изменение состояния Онежского озера внушиает тревогу. Неотложными задачами являются прекращение сброса загрязненных сточных вод Кондопожского ЦБК и ликвидация загрязнения нефтепродуктами.

## Часть 3

# ПСКОВСКО-ЧУДСКОЕ ОЗЕРО

### Глава 1

#### ПРИРОДНЫЕ ОСОБЕННОСТИ ОЗЕРА И ЕГО ВОДОСБОРНОГО БАССЕЙНА

Псковско-Чудское озеро относится к числу крупнейших внутренних водоемов Европы, а в европейской части СССР занимает по площади третье место, уступая только Ладожскому и Онежскому озерам. В народном хозяйстве оно играет важную роль как объект для развития водного транспорта и рыбного хозяйства. В связи с возрастающей добычей и переработкой горючих сланцев и с эксплуатацией Прибалтийской и Эстонской ГРЭС водные ресурсы озера приобретают все увеличивающуюся ценность и как охладители крупных котлов электростанций. Среди донных отложений озера имеются значительные запасы лечебных грязей и строительных материалов, а его воды являются энергетической базой работы Нарвской ГЭС. Псковско-Чудское озеро обладает самой большой среди крупных озер Северной Европы продуктивностью промышленного рыболовства (30 кг/га). Его берега, особенно северные, интенсивно используются для проведения отдыха (летом в объеме 0,5 млн человеко-дней). Но в условиях увеличения антропогенной нагрузки на озеро и его водообор в экосистеме водоема произошли существенные негативные изменения.

Псковско-Чудское озеро принадлежит к водоносному бассейну Финского залива Балтийского моря и состоит из трех частей, или плёсов: наиболее обширного, называемого Чудским озером (по-эстонски и по-английски — Нейси, по-немецки — Нейнес), южного, называемого Псковским озером (оз. Ихкви), и соединяющего их небольшого Теллого озера (Лиммиярв, Соэярв) (табл. 3).

В озеро впадает около 240 рек, ручьев и искусственных водотоков. Из них наиболее крупные — реки Великая и Суур-Эмайыги (норма стока 124 и 57,2 м<sup>3</sup>/с соответственно). Из озера вытекает короткая (77 км) и полноводная р. Нарва (норма стока 331 м<sup>3</sup>/с) с перепадом высот между истоком и устьем около 30 м.

Вода озера микробиологически относительно чистая — не более 1,4—2,4 млн кл./мл, а первичная продукция фитопланктона колеблется в пределах 0,76—2,90 мг/л кислорода в сутки. Летняя биомасса зоопланктона здесь высокая — 2,6—3,5 г/м<sup>3</sup>, биомасса бентоса достигает 50 г/м<sup>3</sup> (Чудско-Псковское озеро, 1983). В целом озеро относится к эвтрофному типу с мезотрофными чертами, причем отдельные его

Таблица 3

**Основные морфометрические показатели Псковско-Чудского озера при среднем многолетнем уровне воды (30.01 м) (Куллус, 1973)**

Площадь	Площадь		Объем		Глубина, м	
	км <sup>2</sup>	%	км <sup>3</sup>	%	максимальная	средняя
Чудское озеро	2613	73	21.8	87	12.9	8.4
Псковское озеро	709	20	2.7	11	5.9	3.8
Теплое озеро	236	7	0.6	2	15.3	2.6
Псковско-Чудское озеро в целом	3558	100	25.1	100	15.3	7.1

части в этом отношении различаются: Чудское озеро мезотрофное, Псковское озеро эвтрофное, а в Теплом озере преобладают дизэвтрофные черты.

В озере обитает более 66 видов водных растений, свыше 757 таксонов водорослей, свыше 416 таксонов зоопланктона, 89 таксонов бентоса и 34 вида рыб. Основными видами промысловых рыб являются снеток, окунь, плотва, ерш, ряпушка, щука, лещ и сиг (Чудско-Псковское озеро, 1983). Общий вылов составляет 9—12 тыс. т рыбы в год, но доля малоценных видов велика (Marksou, 1987).

Псковско-Чудское озеро имеет 35 островов общей площадью 27.2 км<sup>2</sup> (0.8 % площади озера), большинство из которых расположается в Псковском (15 с общей площадью 17.46 км<sup>2</sup>) и Терском (12 с общей площадью 9.4 км<sup>2</sup>) озерах. Крупнейшими из них являются Колппино (11.1 км<sup>2</sup>), Нийриссаар (7.39 км<sup>2</sup>) и Каменка (3.38 км<sup>2</sup>). Вследствие абразии берегов, изменений уровня воды и его перекоса в южном направлении площадь островов претерпела значительные изменения даже за историческое время. Так, по данным А. Мийлера (Mieler, 1926), площадь о-ва Нийриссаар в 1796 г. составляла 20.08, в 1834 г. — 10.64, в 1900 г. — лишь 7.59 км<sup>2</sup>. В дельтах и устьевых участках рек, впадающих в озеро, располагаются островки намывного происхождения, заливаемые при высоких уровнях воды. Их число в устье р. Великой — около 40, в устье р. Выханду — 3, в устьях рек Суур-Эмайыги, Логина и Самолва — по два. Интересно, что при повышении уровня озера, несмотря на затопление, общая площадь островов увеличивается за счет образования во время половодья на низких и извилистых береговых участках новых островов и островков. При уровне 31.8 м площадь островов составляет уже 32.9 км<sup>2</sup> (Чудско-Псковское озеро, 1983).

Характерной особенностью Псковско-Чудского озера являются значительные сезонные колебания уровня воды. Для уровенного режима характерно растянутое (около 1.5 месяца и более) весеннее половодье, длительный (4-5 месяцев) его спад и осенне-зимний межень, иногда сопровождаемая заметным осенним повышением уровня. Подъем уровня во время половодья обычно составляет не более 1 м, но наивысшая отметка превосходит среднее многолетнее значение на Чудском озере — на 176 см (12 V 1924), на Псковском — на 187 см (18 V 1924). Наибольшая амплитуда колебаний уровня озера равна 304 см (абсолютная высота самого низкого и самого высокого

кого уровней 28,72 и 31,76 м). Когда уровни превышают средний многолетний (30,01 м), озеро, выйдя из берегов, начинает затоплять прилегающие к берегу уголья. При уровне 30,5 м площадь затопления равна 181 км<sup>2</sup>, а при уровне 31,7 - 765 км<sup>2</sup>. В 1956 г. наибольшая площадь затопления составила 637 км<sup>2</sup>. (Чудско-Псковское озеро, 1983).

Современный рельеф озерной впадины и водосбора сформировался в результате ледниковой и водно-ледниковой аккумуляции последнего (валдайского) оледенения. Основная часть территории занята илестыми озерно-ледниковыми и слабоводистыми моренными равнинами. Почвообразующими породами везде являются четвертичные отложения разного генезиса и состава. Преобладают дерново-подзолистые окультуренные почвы. Наиболее расщепленностью характеризуются западные и южные районы водосбора (до 70 %), наименьшей - северные (20-30 % и меньше). Болота составляют около 10 % территории. Наиболее крупные болотные массивы расположены в северо-западной части водосбора (район Алутагузе), в нижнем течении р. Суур-Эмайыги и к востоку от Теллого озера.

Бассейн озера целиком находится в лесной зоне и относится к Восточно-Прибалтийской геоботанической подпровинции. И. Ласимер (Lasämer, 1964) в пределах Псковско-Чудской впадины выделяет районы: 1) верховых болот и тоянных лесов Северо-Восточной Эстонии; 2) болот и пойменных лугов бассейна р. Недья; 3) еловых и смешанных еловых лесов Восточной и Средней Эстонии; 4) пойменных болот низовья р. Суур-Эмайыги; 5) песчаных сосняков и 6) министых ельников и осинно-березовых лесов Едова - Осмино.

## Глава 2

### РАЗВИТИЕ ПРЕДСТАВЛЕНИЙ ОБ ИСТОРИИ ОЗЕРА

В предыдущей главе уже говорилось об ежегодном затоплении прибрежных районов озера. В 1840 и особенно в 1844 г. наблюдались катастрофические потоны, которые причиняли большой ущерб местному населению. Возникла также необходимость урегулирования рыбного хозяйства бассейна. Собранные для этой цели за более чем 20 лет экспедиционные материалы обобщились К. Й. Бэрром (1860) и Г. Гельмерсеном (1865, Helmersen, 1864). Г. Гельмерсен приводил убедительные данные о разрушениях на берегах островов и самого озера, определил типы берегов и дал их характеристику. Специально он (Helmersen, 1861) рассматривал геологию и развитие долины нижнего течения р. Парвы. Оба исследователя правильно считали, что подъем уровня воды Чудского и Псковского озер в начале 40-х годов прошлого столетия и в последующем являлся результатом мелиоративных работ и уничтожения лесов, вследствие чего приток вод в озеро увеличивался. За прошедшие полтора столетия составлен ряд проектов понижения уровня воды в озере, из которых отчасти реализован проект А. Вельнера (Pfipsi rinn, ... 1928).

Из наиболее существенных давних палеолимнологических и палеогеографических исследований, включая работы по дегляциа-

ции впадины, следует отметить работы Х. Хаузена (Hausen, 1913a, 1913b), А. Таммеками (Tammekanni, 1926, 1928, 1933, 1938), В. Рамзая (Ramsay, 1929) и К. К. Маркова (1931), усилиями которых были выяснены основные черты отступания ледника и развитие крупных ледниковых озер, образовавшихся перед его краем.

В послевоенное время в результате геологического картирования и специальных исследований эти представления были значительно дополнены и уточнены (Orviku, 1959; Пирна, 1960; Rähni, 1961; Ряхни, 1963; Раукас, Ряхни, 1966, 1969; Раукас и др., 1971; Каак, 1963; Каак, 1964; Раукас, Квасов, 1970; Квасов, 1975; Исаченков, 1965a, 1967, 1969a, 1970a; Либлек, 1969; Саммет, 1965; Геоморфология и четвертичные отложения северо-запада европейской части СССР, 1969; Геология СССР, 1971. Т. 1). Значительно пополнились наши знания о дочетвертичном рельфе (Саммет, 1961; Исаченков, 1969b, 1970b; Ряхни, Таваст, 1981). Появились новые интересные представления о генезисе впадины (Саммет, 1961; Исаченков, 1966, 1975, 1976; Таваст, Раукас, 1982), а также результаты изучения по-отектонических, в частности голоценовых и современных, движений, проявляющихся во впадине (Исаченков, 1969a, 1982, 1984; Можаев, 1973; Желнин, 1973; Валлнер, Желнин, 1975; Мийдел, 1981). Несмотря на достигнутые успехи, неразработанность некоторых проблем, например распространения береговых линий разных стадий Псковско-Чудского озера, не позволяет составить достаточно обоснованной картины о влиянии движений земной коры на эволюцию озера.

Развитию речных долин, тесно связанному с движениями земной коры и развитием самого озера как базиса эрозии, посвящено немалое число работ (Orviku, 1960, 1969; Haag et al., 1964; Liblik, 1966; Исаченков, 1965b, 1969a; Мийдел, 1966a; Мийдел, Таваст, 1981; Малаховский, 1981; Г. Хант, 1987). С целью выяснения развития озера были проведены необходимые для этого палинологические исследования болотных и озерных отложений, а обобщенные результаты опубликованы (Zirna, Pirrus, 1961; Сарв, Ильвес, 1975; Нирруус и др., 1985). В литературе затронуты вопросы по геологии современных берегов Псковско-Чудского озера (Таваст, 1988; Tavast, 1984; Raunkas, Tavast, 1987) и подробно освещены донные отложения (Донные отложения..., 1981).

Псковско-Чудское озеро находится на границе двух республик — РСФСР и Эстонской ССР, которые одинаково пользуются его богатствами и одинаково должны нести ответственность за его состояние. С целью согласования действий двух республик по рациональному использованию и охране озера и его водосбора по инициативе Совета Министров Эстонской ССР в конце 1984 г. был создан координационный совет по Чудскому озеру. Два года спустя Государственный комитет СССР по науке и технике утвердил целевую программу исследований озер Советского Союза на XII пятилетку, в которую входит также программа комплексного исследования Псковско-Чудского озера (Симм, 1987). Общим руководителем и координатором программы является Институт озероведения АН СССР.

## Глава 3

### ПРОИСХОЖДЕНИЕ И РАЗВИТИЕ ОЗЕРНОЙ КОТЛОВИНЫ

#### Рельеф дна озера

Исковско-Чудское озеро мелководно и имеет (как типичная лопастная гляциодендрессия) довольно простые очертания в плане. Самый большой из иллюсов, Чудское озеро, является и самым глубоководным (по преобладающим глубинам). Средняя глубина его равна 8,3 м при максимальной 12,9. На 80 % площади озера его глубины свыше 6 м. Вся центральная часть характеризуется ровным дном на глубине 8–10 м, где местами вырисовываются небольшие пологие овальные впадины глубиной 10–12 м. Генезис их, видимо, экзарационный (Раукас, Ряхни, 1981).

Сложным мелководным рельефом выделяется район о-ва Нийрисаар, окруженного широкой полосой песчаных отмелей, над которыми глубина воды колеблется от 0,3 до 2 м. Это создает большие трудности для водного транспорта и образует природную границу между Чудским и Тёплым озерами. Отдельные подводные банки, представляющие собой затонувшие камы и конечные морены, встречаются также к юго-востоку от Расконельского залива (Расконельские банки и банка Островицы), близ Мээрангу и Ветвеника.

В Тёплом озере между Мехикоформа и Пиево обнаружена максимальная для всего водоема глубина, равная 15,3 м, однако по преобладающим глубинам оно самое мелководное – средняя глубина всего лишь 2,6 м. Наиболее глубокие участки тяготеют к большой оси озера, где в рельефе дна выражены затонувшие долины реки Великой и ее притоков (Мийдел, Таваст, 1981). Бывшая долина р. Великой неравномерно заполнена донными отложениями, чем обусловливаются и большие разницы в глубинах озера. «Прижимы» в районе Мехикоформа и Пиево подразделяют Тёплое озеро на две части – Северный и Южный Ляммиярв.

Наиболее ровным и однообразным является рельеф дна Исковского озера, средняя глубина которого 3,8 м, максимальная (близ о-ва Колинио) – 5,9 м. 2-метровая изобата удалена от берега на 0,2–0,5 км (Чудско-Исковское озеро, 1983). Почти на всей акватории озера дно плавкое или слегка волнистое (относительные высоты дна не превышают 0,5–0,7 м) с преобладающими глубинами 3,5–4,5 м. Мелководный район расположен в окрестностях Талабских островов.

В отличие от центральной части озера прибрежная полоса, особенно вдоль западного берега, довольно расчлененная, как например участок береговой зоны между п-овом Лисье и банкой Ройкицы, где кроме ряда подводных ям на глубине около 3 м прослеживается четкий уступ. На такой же глубине наблюдается уступ в районе Талабских островов и вокруг о-ва Земского. В береговой зоне Исковского озера встречается много подводных барок, относительная высота которых 2–3 м; слой воды над ними обычно не более 0,5–1,5 м.

## **Рельеф поверхности коренных пород**

Условной границей меридионально вытянутой Псковско-Чудской впадины является 40-метровая изогинса рельефа коренных пород (Таваст, Раукас, 1982). Небольшие понижения и возвышения с относительной высотой обычно до 10 м, а наиболее крунные — в северной ее части, у с. Радовели (абс. выс. 45 м) и Агусалу (абс. выс. 35 м), расчленяют впадину. В сторону озера рельеф вследу постепенно понижается, и в озерной котловине абсолютные отметки колеблются в основном в пределах от 0 до +20 м (рис. 31, см. вкладку). У банки Сахмен в северной части озера коренные породы обнаружены на абсолютной отметке — 5 м (Каjak, 1964). С юга Псковскую впадину ограничивает крутой склон девонской кухты, относительная высота которой достигает 20 м (Исаченков, 1969б).

Поверхность коренных пород Псковско-Чудской впадины расчленена древними долинами. Они частично или полностью заполнены четвертичными отложениями. Большинство погребенных долин в современном рельефе не прослеживается. Только древняя долина р. Иллюссы отчетливо выражена в современном рельефе (Саммет, 1961). Дно этой долины у с. Крапивно находится на абсолютных отметках 13, а вблизи с. Чернаво — 7 м. Долины рек Жельчи, Толбы и Черной, вероятно, тоже расположены над древними долинами. Коренные породы вскрыты здесь на абсолютных отметках до —29 м. Сложная сеть древних долин обнаружена на южном берегу Псковского озера (Исаченков, 1969а). В долине р. Обдека у д. Соки дно долины находится на абс. отметке 13 м, у д. Ванина Гора — 21 м, у г. Нечоры — 2 м, у д. Вымореки — 6 м.

А. Таммеканн (Tammekann, 1928) предполагал, что в доледниковое время воды текли в северном направлении через впадину, ныне занятую болотной системой Мурока, и по долине р. Пуртсе, а также в западном направлении по долине р. Суур-Эмайыги через Среднюю Эстонию в Матсалуский залив. В дальнейшем он коренным образом изменил свои взгляды (Tammekann, 1949) и считал, что сток по Псковско-Чудской впадине был направлен на юг. По мнению Д. Д. Квасова (1955), доледниковый сток проходил со стороны нынешнего местоположения г. Пскова через долины Рыуге и Абья в сторону современного Рижского залива. Близкие взгляды разделяют также В. А. Исаченков (1981) и Д. Б. Малаховский с Б. Г. Федоровым (1984). В настоящее время наибольшее количество фактов говорит все же в пользу существования в Псковско-Чудской впадине меридионального стока (рис. 32). В дальнейшем воды, видимо, направились через Выру-Харгласскую долину и древнюю долину р. Гауга на запад (Мейропс, Страуме, Юникевич, 1974; Müdel, Tavast, 1978). Наличие меридиональной долины на дне Талого озера доказано геофизическими методами (Tavast, 1978).

## **Формирование озерной котловины**

Примыкающая к озерной котловине с севера Лужско-Нарвская низина по возрасту очень древняя. Опираясь на факт несоглас-

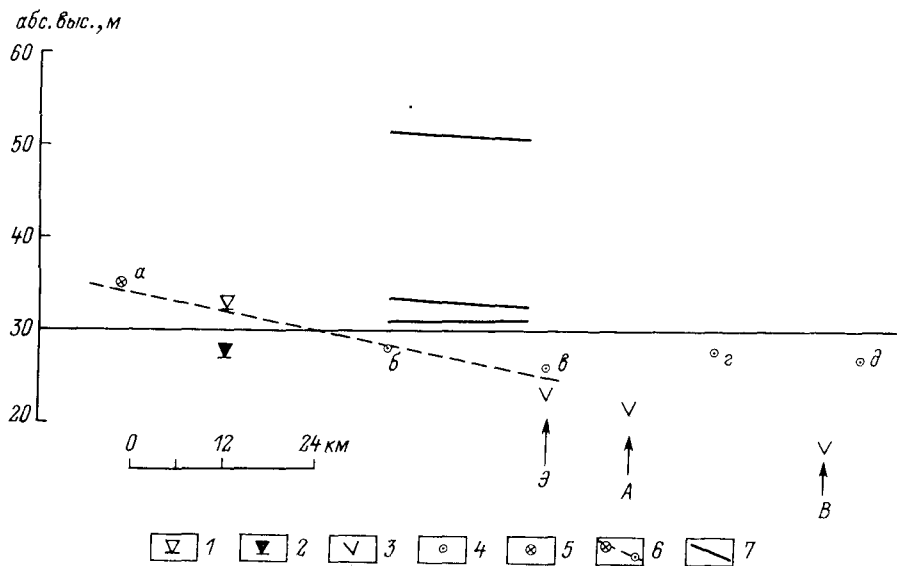


Рис. 32. Спектр поднятия (при азимуте 326°) некоторых геоморфологических элементов Псково-Чудского озера (Майдеа, 1981).

1 - земная поверхность у с. Яама (истоки р. Нарвы); 2 - максимальный II Балтийский уровень Э. Саммета у с. Яама; 3 - дно р. Суур-Эмайыги (Э), р. Ахья (А) у с. Ляянисте. Выходи (В) у пос. Ряпина; 4 - граница В<sub>1</sub>/АТ<sub>2</sub> в разрезе Алласоо (б), Савику (в), о-ва Городица (г) и в устье р. Ровъя (д); 5 - расположение озерной равнины у с. Раадна; 6 - предполагаемый уровень озера в атлантическое время; 7 - древние уровни (показаны только самый высокий и два самых низких), по Т. Либлик (1969).

нного залегания пород среднего девона на ордовикских, многие ученые (Шмидт, 1883; Марков, 1931; Ташекан, 1949) считали, что эта низина начала формироваться уже в досреднедевонское время. На древность дочетвертичного рельефа косвенно указывает также наличие в западной части Ленинградской области эрозионного рельефа, погребенного под среднедевонскими отложениями.

Согласно Э. Ю. Саммету (1961), в средней части ордовикского плато находится досреднедевонская депрессия шириной 10–12 км, заполненная отложениями среднего девона мощностью 30–45 м. Этот эрозионный рельеф четко проявляется на карте додевонского рельефа, составленной И. Туулингом (1988а). Южный склон депрессии известен под названием «везенбергский уступ». Его верхняя часть сложена крепкими известняками раквереского горизонта. И. Туулингом уточнено положение «везенбергского уступа» под девонскими отложениями также в крайней северной части озерной котловины. Известно, что связанный с раквереским горизонтом уступ пересекает всю Северную Эстонию.

Таким образом, северная часть озерной котловины представляет собой в основном откапанный эрозионно-денудационный рельеф досреднедевонского возраста, который в большей части озерной котловины погребен под средне- и верхнедевонскими, а частично и под силурийскими породами.

Основная часть Псковско-Чудской озерной котловины подстилается средне- и верхнедевонскими отложениями и, следовательно, по возрасту моложе. Учитывая приведенные выше данные о распространении погребенных долин на окружающей территории, можно предположить, что в неогене котловина была освоена речной сетью, сток которой направлялся на юг и юго-запад. Судя по распространению погребенных долин, дочетвертичный водораздел проходил через северную часть Псковско-Чудской озерной котловины (Саммет, 1961). Севернее водораздела сток был направлен во впадину Финского залива (погребенные долины Вазавере, Савала и др.), а южнее от него — на юго-запад, в сторону Рижского залива. Доледниковая речная сеть на территории западной части Псковской области направлялась в котловину Псковско-Чудского озера (Исаченков, 1966). Все это показывает, что зародыш озерной котловины существовал уже до начала четвертичного периода.

Некоторые исследователи рассматривают котловину и прилегающие к ней низины как денудационные формы (Марков, 1931; Orgviki, 1959), отрицая участие тектоники в их формировании. Другие придают основное значение тектоническому фактору. По Э. Ю. Саммету (1961), об этом свидетельствуют падение в котловину древних долин, ее форма, уступы на западном берегу и брахиантиклинальные структуры в Чудском озере. Ряд исследователей связывает образование озерной котловины либо с меридиональной зоной разломов кристаллического фундамента (Николаев, 1967; Щульц, 1969), либо с меридиональной мобильной полосой (Каплан, Сувейзис, 1970), наличие которой доказывается находкой диабазов в скважине Муствеэ (правильно Алатекиви) и отсутствием пород силура и пярнуиского горизонта девона к востоку от этой полосы.

Приведенные доказательства не вполне убедительны. При наличии вдоль озерной котловины меридиональной мобильной полосы последняя должна отражаться в распределении фаций и мощностей ордовикских отложений, но, судя по данным Р. Минниля (1966), этого не наблюдается. Восточная граница распространения силурийских пород эстонскими исследователями (Силур Эстонии, 1971) принимается как эрозионная. Нет в кристаллическом фундаменте также крупных меридиональных разломов. По Р. Вахеру (1972), поверхность кристаллического фундамента понижается в южном направлении постепенно. До сих пор нет также данных, которые указывали бы на смещение слоев на бортах котловины. Учитывая это, нельзя уверенно говорить о тектонической природе Псковско-Чудской озерной котловины.

В последнее время многие исследователи подчеркивают большое значение ледниковой экзарации в развитии рельефа поверхности коренных пород. По оценкам В. А. Исаченкова (1975, 1976) и А. Н. Маккавеева (1975), плейстоценовые ледники в языковых понижениях, к числу которых принадлежит и Псковско-Чудская впадина, могли спести слои коренных пород общим мощностью до 100 м. Нет сомнения, что в этой впадине во время всех оледенений располагались активные ледниковые языки и происходила интенсивная экзарация. Об этом говорят небольшая мощность плейстоценовых отложе-

ний, почти полное отсутствие нижне- и среднеплейстоценовых отложений и простое геологическое строение четвертичного покрова. Интенсивной эрозией во впадине содействовали широкое распространение относительно легко эродируемых среднедевонских алевролитов и песчаников и наличие меридиональной неогеновой эрозионной сети в котловине. В свете сказанного, озерная котловина получила свой нынешний облик благодаря эрозии плейстоценовых ледников, как это предполагали А. Таммеканн (Tammekann, 1949), Э. Таваст и А. Раукаас (1982) и многие другие.

Таким образом, котловина Исковско-Чудского озера по времени образования разновозрастная, а по генезису — полигенетическая, в основном эрозионная. Избирательной эрозии и денудации, возможно, содействовал и тектонический фактор, в частности трещиноватость пород, но выяснение его роли требует дальнейших исследований.

### Геологическое строение озерной котловины

Котловина Исковско-Чудского озера расположена на южном склоне Балтийского щита. Кристаллический фундамент, залегая в северной части котловины на глубине около 250 м (в скв. Яма на глубине — 289 м), погружается на юг с очень небольшим уклоном — 2.0–2.2 м/км (Вахер, 1972), а на юге у Вярека находится на глубине 563 м. На фоне спокойного залегания существенных отклонений нет, за исключением структуры Мишина Гора, которая А. И. Шмаеноком с С. Н. Тихомировым (1974) рассматривается как трубка взрыва, а В. Л. Масайтисом (1973) — как метеоритный кратер (астроблема) позднедевонского возраста.

На кристаллическом фундаменте залегают вендские и кембрийские терригенные породы (песчаники, алевролиты, глины и др.) мощностью 130–210 м, в котловине не обнажающиеся. Ордовикские породы мощностью 180 м, представленные в основном карбонатными породами, для которых характерны относительно большие глинистость и доломитизация (Polma, Kleesment, 1985), начиная от раквереского горизонта в котловине выходят в виде почти субширотных полос разной ширины. В северной ее части самую большую площадь занимают выходы набаласского и пиргуского горизонтов. Хотя ордовик состоит главным образом из карбонатных пород, эти породы по физико-механическим свойствам и, следовательно, по устойчивости к эрозионно-денудационным процессам далеко не однородны. Наиболее устойчивыми являются желтовато-серые плотные афанитовые известняки раквереского и афанитовые или микрокристаллические, местами с тонкими слоями мергелей, известняки набаласского горизонта. Сильная доломитизация увеличивает их сопротивление к истиранию и химическую стойкость. С этими породами в рельефе коренных пород связаны иластовые возвышения и уступы. Вормсийский и пиргуский горизонты сложены доломитизированными глинистыми и известковистыми мергелями и известняками с разным содержанием глинистого материала. В поркунском горизонте рас-

пространены дегритовые и оолитовые известняки. Силурийские породы в пределах котловины мало распространены.

Основная часть котловины сложена среднедевонскими и крайняя южная — верхнедевонскими породами. Только в скважине Вярска установлены и нижнедевонские. Отложения девона, на юге достигающие 450-метровой мощности, представлены в основном терригенными породами. В большей части котловины на ордовике залегают песчаники резекненского горизонта, но они не обнаруживаются. Вышележащий пярнусский горизонт состоит из слабо- или среднецементированных розоватых мелкозернистых песчаников. Наровский горизонт, местами обнажающийся в северной части котловины, представлен серыми долеритами, глинами и алевролитами, содержащими прослои долеритов и доломитов. Арукюлааский и буртниекский горизонты представлены песчаниками, причем в первом большую роль играют слабоцементированные песчанистые алевролиты. В окраске пород преобладают красные тона.

Нижняя часть верхнего девона сложена светлыми кварцевыми песками гауйского горизонта, распространенными в южной части озерной котловины. Песчанистыми породами представлен и подстилающий аматский горизонт. Разрез девона в озерной котловине завершается спегогорскими слоями плявинского горизонта, состоящего из микрокристаллических тонкослоистых доломитов и долеритов. Эти породы участвуют уже в строении верхнедевонского плато и уступов на южном и восточном берегах Исковского озера.

На сильно дислоциированном кристаллическом фундаменте залегают отложения слабо нарушенного платформенного чехла. Его современной региональной структурой является Эстонская моноклиналь, для которой характерно общее погружение согласно поверхности фундамента слоистой толщи коренных пород на юг под углом 2–3,5 м/км. Структура осадочной толщи в северной части котловины, входящей в Прибалтийский фосфорито-сланцевый бассейн, детально изучена Р. Вахером (1983) и Н. Туулингом (1988а, 1988б).

## Неотектонические и современные движения

В неогене и раннечетвертичное время впадина испытывала в основном восходящие движения. В течение четверичного периода движения земной коры имели, вероятно, колебательный характер в зависимости от чередования ледниковых нагрузок и разгрузок. Поздне- и послеледниковые движения земной коры изучены лучше прочих, а наиболее ценные сведения получены в результате исследования древних береговых форм водоемов, образовавшихся в Исковско-Чудской котловине. Для позднеледниковых водоемов составлено много диаграмм эпигенетического поднятия (Mieler, 1926, 1929; Tammekann, 1926; Пярна, №960; Раукас, Ряхни, 1969; Либлик, 1969; Раукас, Ряхни, Мийдел, №71), которые в связи с использованием разных азимутов наиболее интенсивного поднятия несколько отличаются друг от друга. Все они указывают на перекос впадины в ре-

зультате гляциоизостатических движений, имеющих большую интенсивность на севере, чем на юге.

Если допустить, что уровни Чудского приледникового озера Рe-I - Рe-IV действительно древнее, чем установленные Т. Либлик (1969) уровни Чудского озера, то придется признать, что интенсивность (скорость) поднятия в северной части впадины уменьшалась очень быстро. По А. Раукасу и Э. Ряхин (1969), уровни Рe-I и Рe-II имеют градиенты поднятия порядка 55—65 см/км, а более молодые уровни, по Т. Либлик (1969), — только от 4—6 до 8—9 см/км. Исходя из данных Х. Кессел и А. Мийдела (1973) эти градиенты, следовательно, и интенсивность поднятия земной коры сравнимы с градиентами береговых линий конца Литоринового и начала Лимнинового морей.

Нока не выяснена величина позднеледникового поднятия в районе Исковского озера, но, учитывая данные о высоте и возрасте речных террас в долинах Южной Эстонии, можно предположить (Мийдел, 1981), что эта часть озерной котловины в позднеледниковое время была относительно стабильной.

Высота и распространение голоценовых береговых образований Исковеко-Чудского озера еще мало изучены, но была предпринята попытка определить положение одного из уровней голоценового возраста (Мийдел, 1981). Вероятно, с какой-то из фаз развития озера в голоцене связаны хорошо выраженные и геоморфологически явно молодые береговые образования у Раадна (вблизи Ранна-Пунгерья), перед которыми расположена местами заболоченная терраса абсолютной высотой 35—36 м (рис. 32). По Р. Пиррус, небольшое болото, расположенное на этой террасе, начало развиваться в конце атлантического периода. Видимо, и возраст береговых образований такой же. В этом случае величина поднятия земной коры в северной части котловины с конца атлантического периода составляет около 5 м. Градиент предполагаемого уровня между Раадна и устьем р. Суур-Эмайыги составляет 14.5 см/км при азимуте поднятия 326°. Такой градиент соответствует градиентам поднятия береговых линий Литоринового моря (Кессел, Мийдел, 1973).

Неравномерное поднятие земной коры привело к поднятию базиса эрозии и вместе с тем — к заболачиванию южных берегов озера и на-коплению аллювиальных и аллювиально-озерных отложений в нижнем течении рек, впадающих в озеро (Орвику, 1960; Мийдел, 1966а; Мийдел, Таваст, 1981). Этот процесс, судя по данным спорово-пыльцевого анализа, начался в общем во второй половине атлантического периода или в начале суб boreального периода, местами и позже, в зависимости от рельефа минеральных отложений. В устье р. Суур-Эмайыги процесс поднятия уровня воды восстановлен на основе изучения разреза Савику (Сарв, Ильвес, 1975).

Перекос озерной ванны продолжается. По картам современных движений земной коры в ее северной части намечается поднятие со скоростью 0.2—0.4 мм/год, а в южной части — опускание со скоростью до 1.2 мм/год (Валлнер, Желлин, 1975). Эта тенденция подтверждается геолого-геоморфологическими и историко-археологиче-

скими данными. О наступлении вод в южном направлении говорят результаты многих исследований (Mieler, 1926; Кајак, 1964; Раукас, Ряхни, 1969; Пиррус и др., 1985). О подъеме уровня воды в южной части впадины свидетельствуют также находки развалин разных построек под водой в районе островов Городец, Вороний и др. (Караев, 1966; Тюлипа, 1966). Перекос озерной котловины подтверждается также анализом продольных профилей рек Псковско-Чудского бассейна: у впадающих в Чудское озеро с севера они близки к прямолинейным, в южной части котловины — вогнутые и с характерно убывающим в направлении устьев падением, не превышающим 5 см/км (Майдел, 1966а).

### Мощность и характер четвертичного покрова

В пределах Псковско-Чудской впадины мощность четвертичных отложений значительно колеблется. В северной ее части она обычно не превышает 5 м, а наибольшие значения (до 15—20 м) приурочены к краевым ледниковым образованиям Авинурме-Тудулинна и к лимногляциальным камам севернее озера (Раукас, 1978). На западном берегу Чудского и Псковского озер мощности отложений изменчивы, но обычно не более 5—10 м, при этом и здесь наибольшие их значения связаны с краевыми ледниковыми образованиями, например в районе Тэльязе, Наутразе, Кайу и Мустоя, но особенно — с погребенными долинами: в г. Калласте — 49 м, в пос. Алатскиви — 55 м, в д. Линте — около 145 м и т. д. На восточном берегу Чудского озера мощность четвертичных отложений также обычно не превышает 5 м, но часто не достигает даже 1 м (у с. Орлово, ст. Добручи, вблизи с. Большие Поля и др.). От с. Хитово до с. Сицино мощность четвертичных отложений обычно составляет 2—5 м и лишь у с. Лантвицы достигает 8 м. Значительная мощность отложений (более 10 м) обнаружена в пределах краевых ледниковых образований. Так, у с. Городинце она превышает 30 м; в погребенной долине р. Плюссы у с. Крапивно доходит до 45,6 м; в южной части Псковско-Чудской впадины обычно составляет порядка 10 м (Исаченков, 1969а, 1969б), но местами (у пос. Изборск, с. Сенно и др.) коренные породы обнажаются на земной поверхности. Мощность четвертичных отложений до 10 м отмечается также на озерной равнине перед Псковским уступом, а большая и здесь характерна для древних долин. Так, в древней долине р. Начковки она составляет 55 м, в долине р. Обдеха у д. Сосно — 47 м, в долине р. Ниузы у д. Вымореки — 50 м (Саммет, 1961). Данных о мощности отложений в акватории озера немного. Близ банки Сахмена мощность четвертичных отложений, преимущественно плейстоценовых, достигает 27,5 м (Кајак, 1964), но в целом она небольшая (Ряхни, Таваст, 1981).

В пределах впадины пока надежно установлены лишь верхневалдайские отложения, причем по условиям залегания морен можно предположить наличие ледниковых отложений нескольких стадий или фаз (Раукас, 1963; Кајак, 1964). Местами, например у Роостоя и Тудулинна, разновозрастные стадиальные морены залегают непосредственно одна на другой, а в других районах (Лисье, Ляэнисте)

они отделены друг от друга водно-ледниками отложениями, в частности ленточными глинами различной мощности (Rippenberg, 1935; Раукас и др., 1971). Развившиеся стадиальные или фазиальные морены обычно четко отличаются по литологическому составу.

Нижнеплейстоценовые отложения во впадине не обнаружены. Лишь условно можно говорить также о наличии в ней среднеплейстоценовых (московских).

Наиболее широко распространена морена, средняя мощность которой колеблется от 2 до 8 м. Обширные территории, включая северную часть современной озерной впадины, покрыты также лимногляциальными отложениями, особенно ленточными глинами мощностью 8—10 м (например, в Роостоя). Флювиогляциальные отложения, развитые менее широко, представлены в форме флювиогляциальных камов (Мустве), озов (Сланцы) и дельт (о-в Ийриессаар). В долинах рек Выханду, Ниуза и других встречаются позднеледниковые древнеаллювиальные несечные отложения, рассматриваемые некоторыми исследователями как долинные заноры.

Из голоценовых отложений наиболее широко развиты болотные отложения, мощность которых достигает 8—9 м (болото Пухату и Большой Мох). Под торфяниками нередко залегают озерные сапропели (болота Сели, Пятистый Мох, Чистый Мох и др.), мощность которых на дне оз. Вярека доходит до 10,6 м.

Доловые отложения широко развиты на северном побережье Чудского озера, в пределах камового поля Киякъя Гора, близ с. Подборье, восточнее Тешлого озера и в ряде других мест. Мощность их доходит до 20—25 м (Выхма). Аллювиальные отложения ввиду относительно небольших размеров долин имеют во впадине ограниченное распространение, но мощность их довольно велика (в долине р. Илюсы южнее г. Сланцы — порядка 10 м, в нижнем течении р. Выханду — 13,5 м).

### Развитие гидрографической сети в водооборном бассейне озера

Задование современной гидрографической сети началось в позднем плейстоцене во время отениской стадии последнего оледенения, когда образовались I и II Несковские приледниковые озера, занявшие и межледниковые Вырускую низину. Их уровень, видимо, не превышал 100 м. Террасы в долине р. Пюхайыги и ровные гребни камов выше 100 м — вероятно, следы былых локальных ледниковых озер на Отениской возвышенности. Процесс понижения уровня и расширения озер сопровождался периодами их стабилизации. Тогда же в долине р. Пюхайыги формировались наклоненные в сторону Выруской низины речные террасы на высотах 97, 94, 92, 90, 87, 85, 83, 80—81, 77, 75 м над ур. моря. В Выруской низине им соответствуют террасы в лимногляциальных песках на высотах 95, 87—88, 85, 80, 77, 75, 73, 71,5 м; в долине р. Мустайыги — на высотах 79, 77,5, 75, 73 м; на Средне-Гауйской низменности — на высотах 91, 89, 70 м. Горизонтальное расположение и сходное строение террас позволяют предпо-

ложить, что уровни воды в Исковском и Средне-Гауйском водоемах были одинаковыми.

Важным моментом в развитии гидрографической сети явилось прекращение сообщения водоемов через Вырусскую долину в связи с падением уровня воды ниже 75 м, т. е. ниже высоты водораздела бассейна рек Гауй и Ниузы у с. Набина (Либлик, 1966). Талые воды мертвых льдов Отениской и Хааньской возвышенности начали себе путь через долину р. Мустайги в водоем на Средне-Гауйской низменности. Понижение уровня этого водоема маркируют террасы р. Мустайги на высоте 69, 67, 65, 62, 60 м. С этим водоемом по долине р. Вийке-Эмайиги (террасы на высоте 64 и 52 м) соединялся и водоем, существовавший на Выртсъярвекой низине.

Дальнейшее отступление ледника привело к образованию I, II и III Чудских приледниковых озер с несколькими фазами (Раукас, Ряхни, 1969). Сток из последнего осуществлялся через древнюю долину Суур-Эмайиги, которая в это время представляла собой короткий пролив между приледниковыми озерами. Со стороны Отениской возвышенности в этот пролив впадали долины Кавильды, Эльвы и Консу.

В позднем плейстоцене началось заложение долин также в восточной части котловины Исковско-Чудского озера. Верховья относительно коротких долин рек Черной, Толбы и Иковы формируются еще до того, как растаял мертвый лёд на Лужской возвышенности. Этим объясняется извилистость долин на возвышенности. Река Йельча течет по древней эрозионной ложбине, которая в позднем плейстоцене была залита водами Чудского приледникового озера. Сквозные реликтовые долины на водоразделе Исковско-Чудского озера и р. Йлюссы свидетельствуют о существовании в прошлом связи между приледниковыми озерами, существовавшими в котловине Чудского озера и далее к востоку.

В результате понижения уровня приледниковых озер в долинах образовались террасы, сложенные флювио- и лимногляциальными отложениями без каких бы то ни было растительных остатков или органических прослоек. Корреляция речных террас и береговых образований рассмотрена многими исследователями (Нанг et al., 1964; Майдел).

В долинах южной части бассейна террасы начинаются в среднем течении рек, образуя открытые в направлении устьев спектры террас из разной относительной высоты. При этом в отдельных долинах террасы вышадают из спектра целыми группами. Во время остановки края ледника на линии Мехиокоорма-Пиево уровень воды в Исковском приледниковом озере был 60–62 м (Раукас, Ряхни, 1969). На такой же высоте в ряде долин расположены группы террас. Почти каждой остановке края ледника соответствует определенная группа террас в Южно-Эстонских долинах, что объясняется более или менее стабильным уровнем приледникового озера перед краем ледника. В ходе отступления ледника освобождались из подо льда более низкие пороги стока. В результате этого уровень в озере быстро поникался, что приводило к врезанию в долинах.

Ввиду отсутствия достоверных датировок отложений террас трудно определить скорость врезания во время отдельных этапов дегляциации. Если предположить, что образование террас началось во время сакалаской стадии, т. е. 12 250 л. н., и прекратилось в позднем дриасе около 10 200 л. н., получается, что средняя скорость вреза составляла в долине р. Выханду 14,8 мм/г, а р. Ниузы — 20,4 мм/г.

После отступания ледника до краевых образований сакалаской и пандивересской стадий котловина озера освободилась ото льда, а гидрографическая сеть приобрела очертания, близкие к современным. На севере началось развитие верховьев долин рек, стекающих с южных склонов Пандивереской возвышенности. В конце позднеледникового времени произошла глубокая регрессия Чудского приледникового озера, на месте которого возникло Малое Чудское озеро (Орвику, 1969; Раукас, Ряхин, 1969). В южной части на дне современной котловины сформировалась долина р. Великой, притоками которой были реки Эмайыга, Желча, Выханду, Толба, Ниуза и др.

В голоцене были выработаны относительно неглубокие долины северной части впадины. Для долин южной части характерно формирование широких аккумулятивных пойм. Это объясняется поднятием базиса эрозии и соответственно уменьшением продольного уклона долин. Выделяются русловая, пойменная и старичная фации, причем мощность пойменных отложений увеличивается вниз по течению. Мощность аллювия в устье р. Суур-Эмайыги составляет 5—6 м, р. Выханду — 13,5 м, р. Ниузы — 10 м, р. Онтека — 10 м. Развитие долин в среднем и верхнем течениях рек происходит под действием и других геологических факторов (характер рельефа коренных пород, литология размываемых отложений и др.).

В пределах пойм часто встречаются старицы, но до сих пор нет точных данных о возрасте старицальных отложений, поэтому отсутствуют и достоверные данные о палеогидрологическом режиме и его изменениях. Предварительные данные позволяют заключить, что расходы воды были относительно стабильными в течение всего голоцена.

## Глава 4

### СОВРЕМЕННЫЕ БЕРЕГА И ДРЕВНИЕ БЕРЕГОВЫЕ ОБРАЗОВАНИЯ

#### Современные берега и их рекреационное значение

Современная береговая линия Псковско-Чудского озера характеризуется плавными очертаниями и расчленена слабо. Вся северная часть озера полностью лишена бухт и заливов. В юго-восточной части Чудского озера лежит Раскоцельская бухта, в Теплом озере — Желчинская, в северо-западной части Псковского озера — Вярскасская бухта. Все они по площади небольшие и мелководные и не удобны для стоянки и зимовки судов. Волновое воздействие в береговой зоне ввиду малых глубин озера и ограниченных размеров Теплого и Псковского иллесов довольно слабое, а по причине постепенного наступления вод к югу на недавно занятую озером территорию — еще и очень крат-

современное. Поэтому очертания современной береговой линии здесь практически полностью обусловлены неровностями первичного рельефа (Раукас, Ряхни, 1981).

Общая длина береговой линии всего водоема составляет 520 км, из которой на Чудское озеро приходится 260 км (50 %), на Псковское — 177 км (34 %), Тенлое — 83 км (16 %). Показатель развития берега составляет 1,44, 1,88 и 1,52 соответственно (Чудско-Псковское озеро, 1983).

Систематическое изучение берегов Псковско-Чудского озера начато сотрудниками Института геологии АН СССР в 1969 г. (Tavast, 1984; Raukas, Tavast, 1987; Raukas и др., 1988). С целью исследования объема и скорости абразии берегов заложены экспериментальные полигоны.

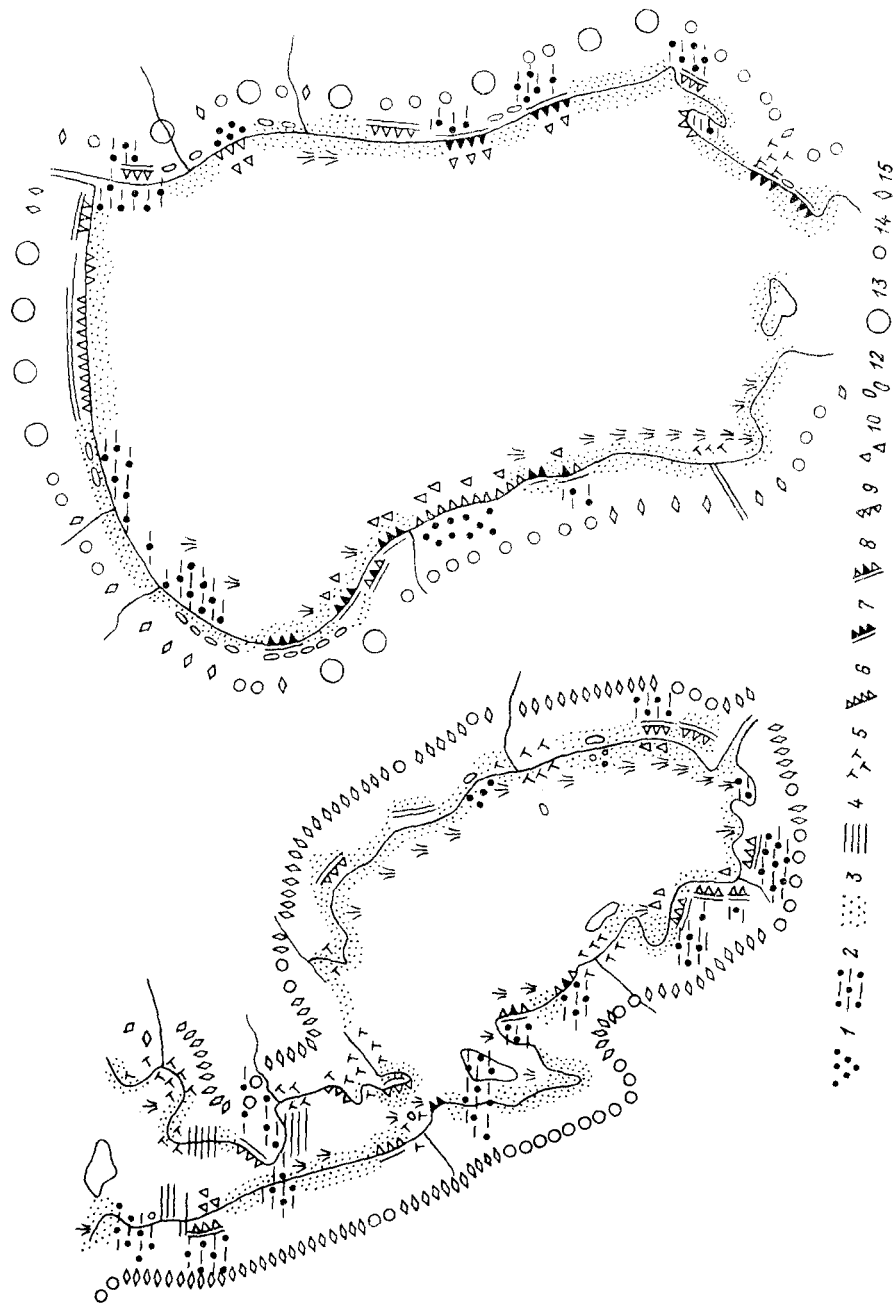
Для озера характерны как обрывистые, так и плавмениные берега (рис. 33), клифовые в коренных породах встречаются редко. На западном берегу в районе г. Калласте в девонских песчаниках выработан абразионный уступ высотой 8 м, в нижней части которого имеются волнно-прибойные ниши; на восточном аналогичный встречается в Скамье и в Полично. Обычно песчаники покрыты мореной и тонким слоем песка. На подводном склоне и у подножия клифа расположены многочисленные эрратические валуны.

Широко развиты абразионные уступы, сложенные четвертичными отложениями; уступы, сложенные мореной, встречаются во всех частях озера, имея длину от нескольких десятков метров до нескольких километров, и обычно покрыты маломощным (5—100 см) слоем песка (например, в окрестностях Подлинье, Кленно и Ветвенника). Перед уступами развита каменная мостовая и расположены эрратические валуны.

Моренные берега могут быть активными, отмирающими (у д. Дривлика и с. Лисье) или отмершими (у д. Расконель, на Талабских островах). Перед отмирающим уступом находится задернованный моренный пляж шириной 10—20 м. Реже на урезе воды расположен узкий песчаный пляж.

Абразионные уступы, сложенные песками, особенно широко распространены на северном и западном побережьях Чудского озера. В уступах обнажаются древние дюны, береговые валы или камовые отложения. На северном берегу Чудского озера береговой уступ в древних дюнах и береговых отложениях прослеживается на протяжении 30 км. Местами встречаются два или даже три уступа. Ширина активного пляжа перед уступом колеблется в зависимости от уровня воды от 3 до 15 м. Мощность песчаных наносов на пляже и на подводном склоне небольшая, но они пополняются материалом абразии дюн при эпизодических нагонах и при сильных штормах. При сноса на осушеннем подводном склоне местами обнажается морена. Ширина осушки достигает 100 м. Некоторый избыток песка наблюдается только у устьев рек и ручьев, поэтому там встречаются самые высокие дюны (у д. Смолицы и Алайыэ).

На восточном берегу Чудского озера береговой уступ в дюнах прослеживается вблизи устья р. Симаневки. Высота уступа составляет



1,5 м. Ширина дюнных гряд достигает 50 м, высота дюн 2 м. Несколько уступы, в которых обнаруживаются древние береговые валы, можно наблюдать на восточном и западном берегах Чудского озера, на западном берегу Тенглого озера и на южном и восточном берегу Исковского озера.

Уступ в камовых песках обнаружен на восточном берегу Чудского озера севернее д. Подборовье. Длина уступа составляет 2 км, высота 7 м. Поверхностные слои камовых песков перевеяны в дюны высотой 5–6 м.

Уступ, сложенный торфом, расположено на восточном берегу Чудского озера у д. Подоленце. Высота уступа достигает 70 см, длина 1,5 км.

Низменные песчаные, изистые, торфянные и моренные берега встречаются везде, но особенно широко — на Исковском озере. На западе Чудского озера низменный песчаный берег расходится от с. Таммикия до г. Мустаси и южнее д. Ильинская; на востоке — у д. Подборовье и близ д. Синицыно, а на Тенглом озере — у с. Мэрраналу. Пляж обычно задернован и ограничен низким береговым валом высотой 0,5–1,5 м. На подводном склоне тростниковая зона достигает шириной 200 м (например, в устье р. Омеду).

Низменный торфяной берег прослеживается на Тенглом озере в бухте Жельчи, южнее устья р. Ровья; на Исковском озере в устьях рек Черной и Толбы; на Чудском — в окрестностях устья р. Суур-Эмайиги. Низменные изистые и моренные берега в основном свойственны Тенглому и Исковскому озерам, а на Чудском — редки.

Исковско-Чудское озеро — излюбленное место отдыха. В летние дни на его берегах одновременно пребывают десятки тысяч отдыхающих. И уже сейчас на озерном побережье Чудского озера наблюдаются неоправимые следы небрежного отношения людей к природе (опишки в строительной политике, интенсивное вытаптывание, засорение и т. д.), требующие немедленного рассредоточения отдыхающих по побережью озера. В озерной впадине или в ее непосредственной близости имеются большие и еще не используемые заначы лечебных грязей (Вярека, Раскопелье, Городец, Лахенера, Умбъярв, Лямымярв) и минеральных вод (Вярека, Аллаткиви, Мехикоформа, Кунингакюла, Иылва, Выру, Нечоры), что способно обеспечить значительное расширение курортного хозяйства. В то же время большая неремежаемость типов берегов и широкое развитие их песчаных разновидностей позволяют не только рассредоточить отдыхающих, но и увеличить их количество, в частности на восточном побережье Чудского озера.

По рекреационному значению берега озера целесообразно разделить на весьма пригодные (активные песчаные), пригодные (задер-)

Рис. 33. Типы берегов и пригодность их для отдыха. Составила Ю. Х. Таваст.

1 — девонские песчаники; 2 — морена; 3 — песок; 4 — глина; 5 — торф; 6 — киф; 7—9 — уступы в четвертичных отложениях (7 — активный, 8 — отмираний, 9 — отмерший); 10 — валуны; 11 — береговой вал; 12 — заросли тростника и камыша; 13—15 — степени пригодности берега для отдыха (13 — весьма пригодные, 14 — пригодные, 15 — малопригодные и непригодные).

нованные песчаные, уступовые моренные, клифовые), малопригодные (моренные, илистые) и непригодные (торфяные, сильно задернованные илистые) (рис. 33).

### Древние береговые образования

Древние береговые образования — береговые валы, абразионные уступы и склоны, а также абразионно-аккумулятивные террасы на 7 разных уровнях — были описаны на части побережья Исковско-Чудского озера, между Кавасту и Алаткиви (Либлик, 1969). При составлении спектра этих образований использован азимут самого высокого поднятия —  $326^{\circ}$  (рис. 34). Уклоны разновозрастных уровней составляют для более древних 8—9 см, а для более молодых — 4—6 см на 1 км. Эти береговые формы возникли в конце позднеледникового времени и в начале голоцена, когда уровень воды понизился до уровня Малого Чудского озера. Для восстановления позднеледникового этапа развития озера могут быть использованы еще и дюнные гряды, а также ровные гребни озов и камов и абсолютные высоты илоских поверхностей флювиогляциальных дельт (рис. 35).

Среди широко распространенных древних абразионных уступов самые высокие и морфологически четкие имеют высоту до 10—13 м и прослеживаются на склонах краевых ледниковых образований, хуже сохранившись на склонах древних дюн. На бровке уступов местами встречаются дюны высотой 1—15 м. В условиях нерасчлененного рельефа и при малых уклонах образовались абразионные склоны и террасы. Береговые валы высотой не более 1—2 м распространяются прерывистыми грядами начиная от Локбуу до устья р. Омedu.

В ряде случаев на положение древней береговой линии указывают также дюны. Самые крупные древние дюны расположены в северной и восточной частях Исковско-Чудской впадины, меньшие — во многих районах побережья. Между устьем р. Ранна-Пунгерья и д. Лагеди развит комплекс береговых образований, который по геологическому строению и возрасту делится на две части. Северная часть представляет собой дюнную гряду высотой до 12 м, которая начинается у р. Ранна-Пунгерья и протягивается на запад на 8 км до р. Авийиги. Южный подветренный склон имеет уклон  $28-35^{\circ}$ , а северный  $16-20^{\circ}$ . К. Марков (1931) предполагает, что эта дюнная гряда образовалась в атлантическое время. Перед ней находится болото, и подножие ее дюн покрыто торфяником. Южная часть береговых образований, расположенных южнее посёлка Йыхви-Мустивэ, состоит из 10—14 дюнных валов высотой до 1—2 м и шириной от 20 до 30 м, простирающихся параллельно современному берегу. Межгрядовые ложбины заболочены. Эти дюнные валы формировались в течение длительного времени: с момента отступания Малого Чудского озера до атлантического периода.

Прекрасно сохранившиеся древние дюны располагаются на северном и восточном побережьях, а самые высокие из них, достигая 10—20 м, находятся вблизи устья р. Алайыэ. Дюнное поле состоит из двух гряд. Обращенные к озеру склоны имеют ступенчатую конфигурацию, за что и получили название «ступенчатые дюны» (Orviku, 1933). На

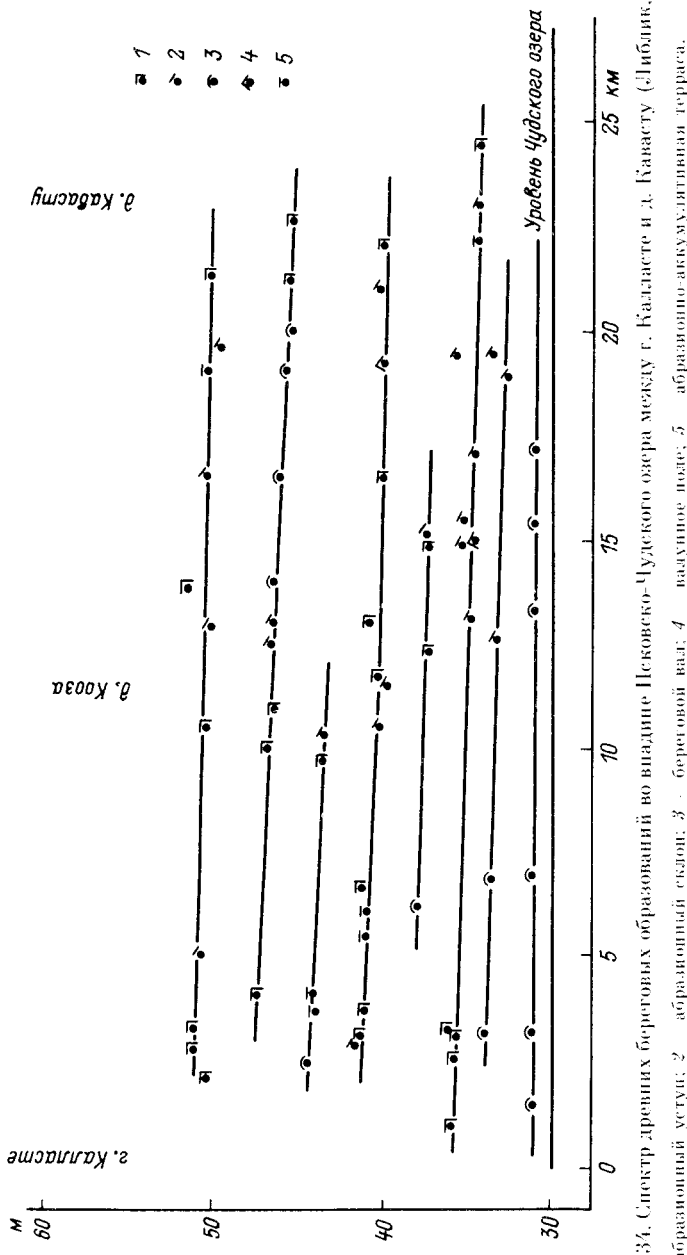


Рис. 34. Спектр древних береговых образований во впадине Нековско-Чудского озера между г. Калласте и д. Канасу (Либоня, 1969).  
 1 - абразионный уступ; 2 - абразионный склон; 3 - береговой вал; 4 - пляжное поле; 5 - абразионно-аккумулятивная терраса.

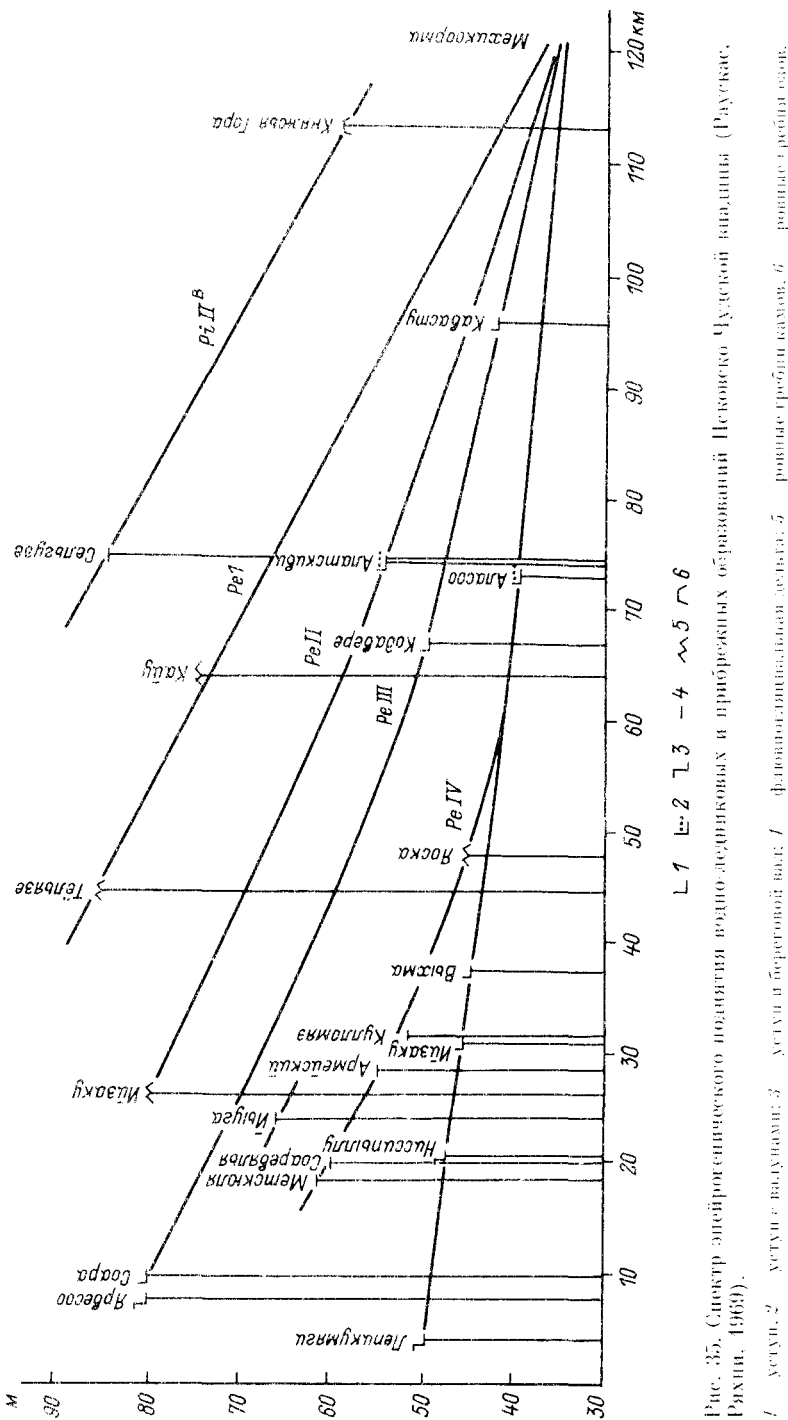


Рис. 35. Синкогрэфический метод определения количества прибрежных и приливовых обрывов на берегах Невской губы (Рыбка, 1980).

и винограда, а также из яблонь и груш. Виноградные сорта: «Саперави», «Мцхетский красавец», «Кахетинский красавец», «Гурджаани», «Джанычевский», «Ланчхутский», «Белый Ашуг», «Черный Ашуг» и др.

многих уступах древних дюн образовались современные дюны. Наветренный склон дюнной гряды обычно крутой и абрэдированный. За первой грядой сразу же следует другая, более высокая. Встречаются здесь и валообразные дюны северо-восточного профиля. На северном побережье озера все дюнны полы имеют сходное строение в окрестностях Смольницы, Куру, Калямаа и в других местах. Дюнны поля, находящиеся на восточном берегу озера, обычно состоят из двух или трех гряд, но случается и из семи, как например у д. Синцово.

### Археологические памятники и заселение побережья озера

По данным археологии (Яните, 1959; Jaanits, 1983), побережье богатого рыбой Пековско-Чудского озера привлекало первобытного человека начиная с мезолита (середина VIII тысячелетия IX тысячелетие до н. э.) (рис. 36). Первые обитатели прибыли сюда, вероятно, с юга — двигаясь вдоль р. Великой, и частично с запада из бассейнов озер Выртсъярв и р. Суур-Эмайыги. Свидетельствами присутствия рыболовов и охотников этого периода считаются костяные предметы (наконечники гарпунов, наконечник стрелы, рыболовный крючок), извлеченные со дна северной части Чудского озера в 4–10 км от берега, в том числе недалеко от ныне размытого острова Куйвлоо (Moora, 1965; Jaanits, 1983) и в районе Сахменской банки. Костяной гарпун найден также на берегу р. Омеду под торфом. Не исключено, что мезолитическим является и каменный топор с северо-восточного берега озера. Однако мезолитические стоянки на берегах Пековско-Чудского озера пока неизвестны. Правда, вблизи устья р. Суур-Эмайыги, в песке под погребенным культурным слоем более позднего поселения Акали обнаружены остатки сложенного из камней очага, радиоуглеродная датировка которого примерно 4300 лет до н. э. (Пуннинг и др., 1968), но, по мнению Л. Янитса, — это лишь остатки временного костра мезолитических рыболовов.

В эпоху неолита (III тысячелетие середина II тысячелетия до н. э.) численность населения в Причудье возросла. Об этом свидетельствует увеличение количества археологических памятников (рис. 36). Стоянки раннего неолита приурочены главным образом к берегам рек, впадающих в Чудское и Пековское озера, а также к берегам р. Парвы. Кроме уже отмеченной стоянки Акали вблизи устья р. Суур-Эмайыги существовала еще одна неолитическая стоянка (Кулаламяги). Остатки ранненеолитических поселений, по сообщению Л. Янитса, обнаружены и на берегу р. Обдека, впадающей в Пековское озеро, и на территории г. Пекова.

В ранненеолитических поселениях паряду с рыбной ловлей и охотой значительную роль играло собирательство. Кроме растительной пищи (ягод, грибов и пр.) собирали также итчицы яйца, мед диких пчел, улиток и т. д. (на поселении Акали попадается много разбитых ракушек) (Яните, 1959). Териофауна и растительный покров Причудья стали заметно изменяться под воздействием человека в связи с важнейшим событием в развитии хозяйства и ростом численности

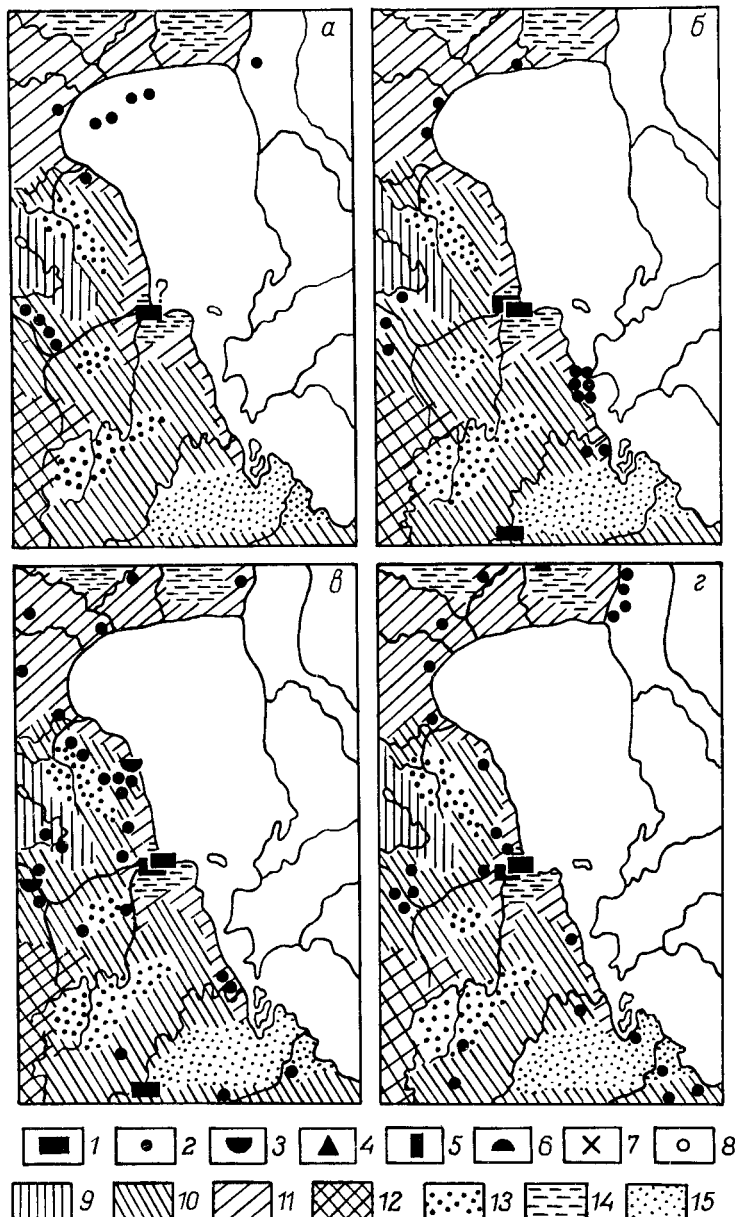


Рис. 36. Распространение археологических памятников и находок на западном побережье Псковско-Чудского озера (Янитс и др., 1982, с дополнениями).

*a* — мезолит; *б* — ранний неолит; *в* — памятники и находки культуры ладьевидных боевых топоров; *г* — поздний неолит и эпоха ранней бронзы; *д* — эпоха поздней бронзы и раннего железа; *е* — эпоха железа римского времени; *ж* — эпоха среднего железа; *з* — эпоха позднего железа.

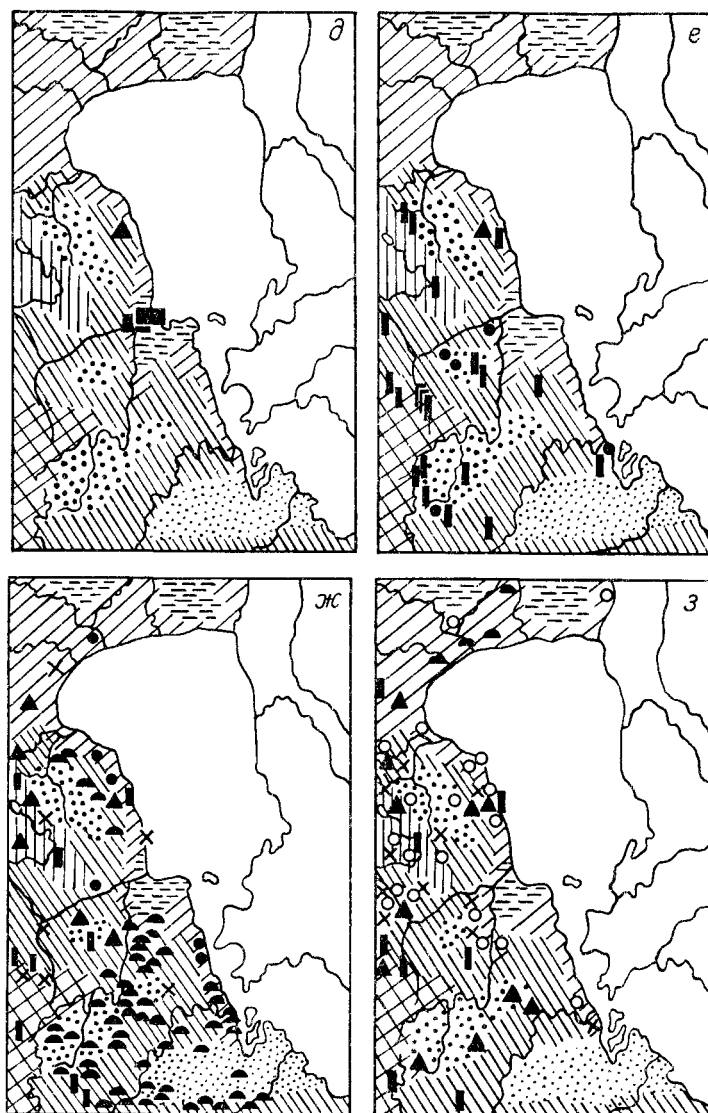


Рис. 36 (*продолжение*).

1–8 – археологические памятники и находки (1 – поселение, 2 – случайная находка, 3 – погребение племен культуры ладьевидных боевых топоров, 4 – укрепленное поселение или городище, 5 – каменный могильник, 6 – курган, 7 – клад, 8 – грунтовое погребение эпохи позднего железа); 9–15 – основные типы ландшафтов (9 – дренированные волны, 10 – моренные равнины, 11 – озерно ледниковые равнины, 12 – моренные возвышенности, 13 – камыз, 14 – болота, 15 – заицровые равнины).

населения в позднем неолите, в конце III тысячелетия до н. э., когда на территории, заселенные охотниками-рыболовами, стали проникать племена культуры ладьевидных боевых топоров. Основным занятием этих племен, вторгшихся с юга, было скотоводство и в меньшей

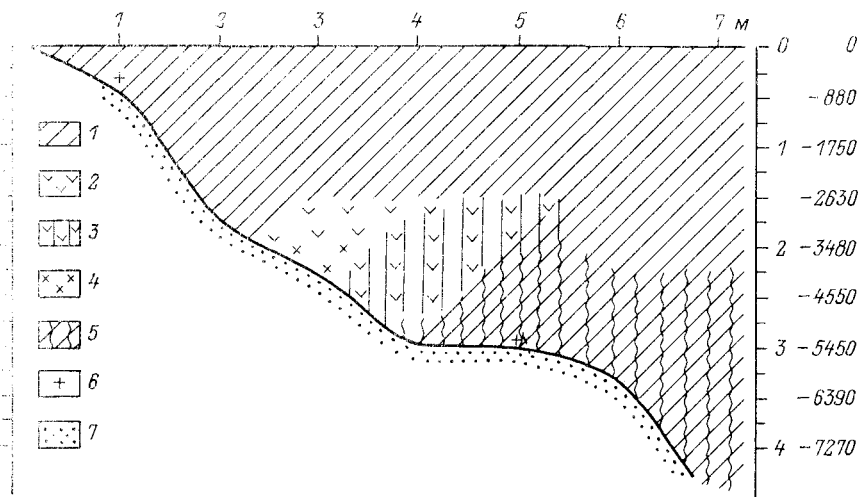


Рис. 37. Строение залежи торфа на северо-восточном склоне погребенного холма Акали.

типы торфа (1 — осоковый, 2 — травяной, 3 — древесно-ольхово-травяной, 4 — листственный, 5 — тростникового осоковый); 6 — кусочки древесного угля; 7 — песок. Т — возраст, определенный по радиоуглеродным датировкам.

тени примитивное земледелие. Среди найденных в их могильниках многочисленных костей животных встречаются уже остатки скота (кроме лошади) основных видов сельскохозяйственных млекопитающих Прибалтики (Наавер, 1965). Будучи скотоводами, обители этих племен часто перемещались с места на место, вследствие чего в их стоянках найдены лишь слабые следы. Известны также некотоные погребения. На поселениях Акали и Кулламяги население продолжало заниматься преимущественно рыбной ловлей и охотой.

Интереснейший материал для иллюстрации развития Несковско-Чудского озера представляет поселение Акали, обитаемое со времени раннего неолита (позднего мезолита?) до раннего железа и расположение на небольшом песчаном холме в сильно заболоченной прибрежной части р. Суур-Эмайыги, на юго-западном берегу р. Акали, сливавшейся с речкой Калли (рис. 37). Наиболее низкие участки культурного слоя поселения Акали лежат в настоящее время под торфом мощностью в 2,5 м (Яните, 1959). Первоначально поселение занимало приречную часть склона холма. Повышение уровня грунтовых вод, связанное с повышением уровня в южной части Несковско-Чудского озера, привело к тому, что нижние части склона холма постепенно покрывались все более толстым слоем торфа и делались непригодными для постоянного проживания. Это обусловило перенесение поселения Акали вверх по склону холма, как и поселения, расположенного на холме Кулламяги.

Около 7300 л. н. уровень болота был на 4 м, а 6400 л. н. — на 3,5 м выше современного. Болота вокруг поселения Акали тогда еще не было (Moora et al., 1988). В последующие два тысячелетия медленное

наступление болота продолжалось. Примерно 3500 л. н., в конце неолита и начале бронзового века, более низкие места стали заболачиваться, и место поселения превращалось в минеральный «остров» среди расширяющегося болота.

Археологических находок эпохи бронзы (середина II тысячелетия – 7-й в. до н. э.) в Причудье мало (рис. 36). Поселения продолжали существовать в Акали и на Кулламяги. К ним можно добавить около 50 каменных топоров позднего типа, найденных близ Пековско-Чудского озера большей частью случайно. Переход от каменного века к эпохе раннего металла совершился постепенно: присваивающая и производящая формы хозяйства существовали долгое время параллельно (Moora, 1956).

В рассматриваемый период в Восточной Прибалтике произошло сменение различных этнических групп и всеобщее распространение получили скотоводство и первобытное земледелие. В связи с этим население начинает больше тяготеть к более плодородным землям, в частности к возвышенным моренным равнинам. Косвенным свидетельством развития земледелия в эпоху бронзы в Причудье являются обнаруженные К. Киммел пыльцевые зерна культурных злаков в донных отложениях Тенга озера, соответствующих границе суббореал-субталантика.

Эпоха раннего железа (VI в. до н. э.– I в. н. э.) на территории Причудья, как и большинства районов Средней и Южной Эстонии, отличается крайней скучностью археологических находок. В общих чертах к этому времени скотоводство и примитивное земледелие заняли среди способов добывания средств к существованию уже прочное место. Следы хозяйственной деятельности человека по-прежнему обнаруживаются на поселениях Акали и Кулламяги, но вскоре они были окончательно оставлены. Вообще заметно, что в I тысячелетии до н. э. старые, принадлежавшие общинам охотников и рыболовов поселения были броныены, а новые поселения не так тесно связаны с водоемами. На западном берегу Чудского озера в это время уже существовало городище в Алатскиви; укрепленное поселение было, вероятно, и на месте нынешнего Пекова (Jaavits, 1983).

Качественно новый этап в истории взаимоотношений человека с природной средой Причудья наступает в первой половине I тысячелетия н. э., когда земледелие и скотоводство постепенно становятся основой хозяйства.

## Глава 5

### ДОННЫЕ ОТЛОЖЕНИЯ

#### Гранулометрический состав

Нпитание озера осадочным материалом как в прошлом, так и в настоящем происходит главным образом за счет продуктов абразии дна и берега. В зону волнового воздействия коренные породы попадают в немногих местах. Они всегда представлены легко абрадируемыми девонскими песчаниками и алевролитами (например, близ

Калласте), обогащающими донные отложения мелкозернистыми песчано-алевритовыми фракциями. С гораздо большим трудом размываются плотные морены и ленточные глины. Легко подвергались абразии озерно-ледниковые и флювиогляциальные отложения, которые в виде флювиогляциальных делт и камов широко развиты около о-ва Нийриссаар, вблизи Подборовья, Расконелья и в некоторых других местах. Четвертичные отложения обогащали донные отложения Нековско-Чудского озера в основном мелкозернистыми (песчаными, алевритовыми и пелитовыми) фракциями. Вымытые из морены валуны и галька оставались на месте, образуя защитный слой, предохраняющий морену от последующей абразии.

Аллювиальные выносы на гранулометрический состав донных отложений существенного влияния не оказали. Главные артерии, по которым они осуществляются, — реки Великая и Суур-Эмайыга, доставляющие в озеро довольно большое количество алевритово-пелитового и биогенного материала, который в дальнейшем перераспределяется ветровыми волнами, но немалое участие в этом принимают и течения, особенно в Тейлом озере (Раукас, Ряхни, 1981; Раукас и др., 1988). Из-за плоского дна озера мощность донных осадков и их структурные типы весьма однообразны (рис. 38). В Чудском озере мощность осадков не просто небольшая, но значительные площади дна вовсе лишены их. «Голые участки» особенно широко представлены в мелководной, северо-западной части озерной котловины на расстоянии до 10 км от берега. В виде узкой широтной полосы они присутствуют также в северной прибрежной части озера, в окрестностях Сахменской банки и близ устья р. Суур-Эмайыги. В северной части озера на «голых участках» обнажаются морена или ленточные глины, а в южной — торф. Торфяники в большинстве случаев нигребены под песками или алевритами. Такие погребенные торфяники мощностью от 0,5—2 до 3—4 м нами обнаружены во многих местах (рис. 39, см. вкладку, и 40). Часто торф в донных отложениях встречается в виде отторженцев или небольших катунов.

На плоском дне центральной, глубоководной (свыше 5 м) части Чудского озера залегают донные отложения мощностью обычно 2—4 м. Представлены они в основном пелитовыми (реже пелитовыми) алевритами, которые местами содержат остатки растений, катуны торфа и линзы алевритистых и алевритовых песков. В северо-западной части озера пелитовые и пелитистые алевриты залегают лишь глубже 7—8 м. Некоторое исключение представляет южная часть озера, где залегающие на морене пески местами доходят до глубины 9 м.

Прибрежные части дна озера в основном покрыты мелкозернистыми песками. Если на берегу и в прибрежной части озера обнажается морена, то мощность донных отложений, как правило, не превышает 1 м. У низменных песчаных и задернованных берегов мощности донных отложений несколько больше — до 3—4 м (в районе Подборовья, Расконелья и Варни).

Ввиду непродолжительности развития Нековского озера мощность его донных отложений небольшая — чаще всего 1—2, редко — 3 м.

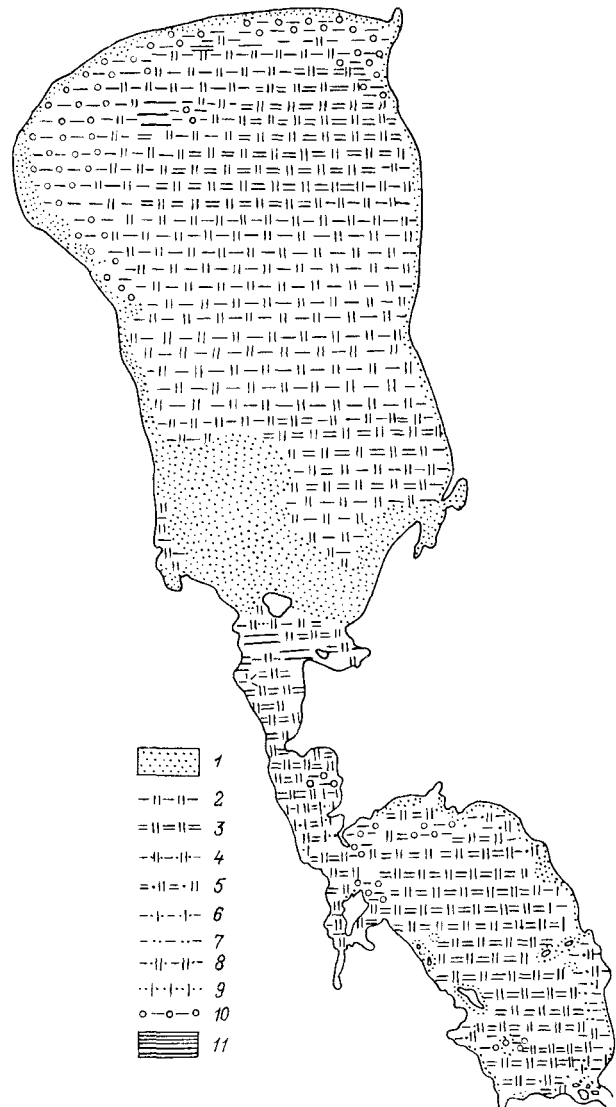


Рис. 38. Схема донных отложений Псково-Чудского озера.

1 — песок; 2 — нелитистый алеврит; 3 — нелитовый алеврит; 4 — нелитисто- песчаный алеврит; 5 — песчанисто-нелитовый алеврит; 6 — нелитистый песок; 7 — нелитисто-алевритистый песок; 8 — нелитисто-алевритовый песок; 9 — алевритистый песок; 10 — морена; 11 — ленточная глина.

В прибрежной части котловины местами она равна пулью и на поверхности выходят морена, флювиогляциальные песчано-гравийные отложения или торф. Наибольшие мощности донных отложений установлены в пределах затопленной долины р. Великой, к северо-востоку от о-ва Колпино и в зал. Вярска (до 10 м).

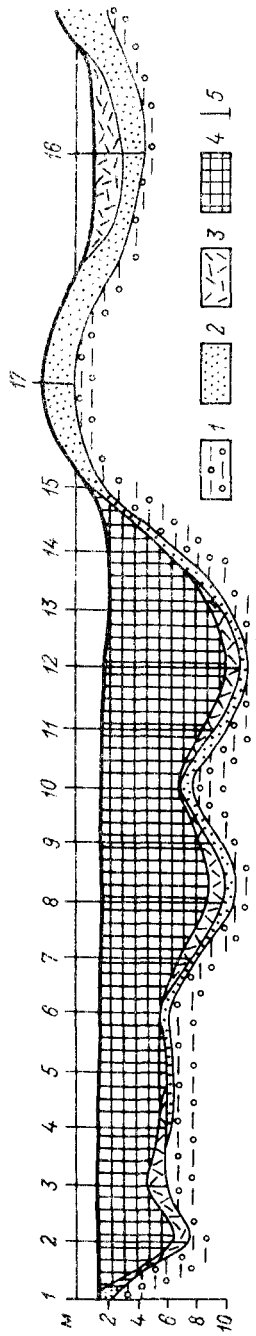


Рис. 40. Геологический разрез донных отложений заст. Виртека (Норрье, Гасса, 1981).  
1 - торф; 2 - песок; 3 - песчаник; 4 - болотный торф; 5 - буровое скважина.

Гранулометрический состав донных отложений Нековского озера весьма однообразен (рис. 39). Значительная часть дна покрыта пелитовыми и пелитистыми алевритами. К югу и востоку от Талабских островов развиты песчанисто-пелитовые алевриты. В прибрежной части всюду увеличивается песчанистость отложений и здесь, особенно широко в северо-восточной части озера, преобладающими становятся мелководнистые пески, содержащие местами большое количество алевритовых и пелитовых частиц. Мелководнистые пески широко развиты также в непосредственной близости от Талабских островов, о-ва Каменки и устья р. Великой.

Вследствие того, что первичный рельеф дна Тенглого озера расчленен значительно, чем в Чудском и Нековском озерах, мощности донных отложений превышают здесь местами 10 м (рис. 39, см. вкладку). Наиболее характерными донными отложениями Тенглого озера являются пелитовые алевриты, которые покрывают значительную часть дна озера (рис. 39). Реже встречаются пелитистые и песчано-пелитистые алевриты. К периферийным частям озера чаще всего приурочены алевритовые, алевритистые, пелитисто-алевритовые и алевритисто-пелитовые пески (Раукас, Ряхин, 1981). Характерной особенностью Тенглого озера являются выходы тростникового и древесного торфа близ устья р. Выханда мощностью, превышающей 3 м, и часто покрытого линь очень маломощным (до 20–30 см) слоем донных осадков или встречающегося в минеральных отложениях в виде линз и катаунов.

Наличие значительных территорий, лишенных покрова донных отложений, и большая перемежаемость структурных типов последних по площади во многом обусловлены интенсивными стоковыми течениями, вызванными ви-

дающими в южную часть Исковско-Чудского озера полноводными реками Великой, Выханду и Ниузой. В вертикальном разрезе отложений Исковско-Чудского озера существенных различий в гранулометрическом их составе не наблюдается (Раукас, Ряхин, 1981). В большинстве изученных скважин они в низах разреза становятся несколько более грубыми, т. е. пелитовые или пелитистые алевриты сменяются пелитисто-алевритовыми или мелкозернистыми песками. В свете постепенного повышения уровня воды в озере за последниковое время такое явление приобретает вполне закономерный характер.

### Вещественный состав

Вещественный состав донных отложений Исковско-Чудского озера изменяется в пределах его акватории (Раукас, 1981; Раукас, Таваст, Калм, 1988). В минеральном составе несчано-алевритовых фракций всюду наблюдается наличие 25–30 различных минералов или минеральных групп, среди которых преобладают кварц, полевые шпаты и карбонаты, составляющие обычно более чем 95% всех анализированных минералов. Содержание тяжелой подфракции (плотностью свыше  $2.89 \text{ г}/\text{см}^3$ ) невысокое и составляет в мелконесчаной фракции донных отложений Исковского и Тенгло озер в среднем 0,33 %, а Чудского озера — 0,61 %. В крупноалевритовой фракции тяжелых минералов значительно больше, но и здесь практического интереса они не представляют. Средние значения их количественного содержания в донных отложениях Чудского, Тенгло и Исковского озер соответственно 4,26, 1,86 и 2,27 %.

В глинистой составляющей (во фракции менее 0,001 мм) установлены гидрослюды (40–75 %), каолинит (от следов до 22 %), хлориты (от следов до 20 %), монтмориллонит (до 15 %) и смешаннослоистые образования типа гидрослюда-монтмориллонит (5–40 %) и монтмориллонит-хлорит (редки). В образцах присутствуют также неглинистые минеральные примеси, особенно часто кварц, полевые шпаты, доломит и кальцит, реже гематит, гетит и сидерит. Последние два встречены только в донных отложениях Исковского озера.

Кривая распределения аморфного кремнезема согласуется с распределением в отложениях нацирой диатомовых водорослей. Вследствие малых своих размеров диатомовые в процессе седиментации концентрируются в осадках более глубокой части озера, где преобладают тонкозернистые отложения. В целом донные отложения Чудского озера богаче аморфным кремнеземом (до 7,14 %), чем донные осадки Исковского (до 6,58 %) и особенно Тенгло озер (до 2,58 %).

В отличие от аморфного кремнезема наиболее высокие концентрации подвижного фосфора приурочены к прибрежной зоне, особенно к заливам и населенным пунктам. Это, видимо, связано с поступлением в озеро хозяйственных стоков и фосфорных удобрений. Среднее содержание фосфора в Чудском, Тенгло и Исковском озерах составляет 5,5, 11,8 и 6,3 мг на 100 г породы соответственно.

Содержание органического вещества в донных отложениях Исковско-Чудского водоема колеблется от следов до 39 % в Чудском озере, до 83,3 % в Тенгло озере и до 34,5 % в Исковском озере. Наиболее

существенные различия в содержании органического вещества наблюдаются в донных отложениях Теплого озера. Органическое вещество встречается в отложениях в основном в тонкораспыленном виде, но местами также в виде переотложенного торфа.

С увеличением дисперсности осадков содержание органического вещества, как правило, повышается. Пески и песчаные алевриты бедны органическим веществом (обычно ниже 5 %), за исключением случаев выявления в них макроскопических остатков растений или кусков торфа. В целистистых и пелитовых алевритах (илах) количество органического вещества чаще всего колеблется в пределах от 10 до 30 %.

Результаты валового химического анализа донных отложений указывают на генетическую связь их с литологическим составом пород бассейна сноса. Они теснейшим образом зависят от гранулометрического состава отложений и от количества органического материала. Количество микроэлементов в большей части анализов не превышает соответствующих клярковых содержаний.

Территориальные различия в содержании микроэлементов несущественные и часто не превышают точности метода. Наиболее уловимым является несколько повышенное содержание циркония на выходах девонских отложений, особенно в донных осадках Исковского озера.

### **Возраст и стратиграфическое расчленение донных отложений**

Ввиду того что северная часть впадины поднималась и поднимается интенсивнее южной части, озеро постепенно наступает в южном направлении, покрывая своими водами все новые и новые территории. По данным галиногеологического изучения донных отложений Вярскской бухты, выполненного Р. Пиррус (Пиррус, Тасса, 1981), начиная с boreального климатического периода уровень воды в этой бухте повысился почти на 10 м. Скорость повышения уровня воды постепенно замедлялась. В преоблае здесь наблюдались мелководные условия и отлагались маломощные пески и алевриты (рис. 41, см. вкладку). В первой половине boreала уровень воды понизился и даже в самых глубоких частях бухты Вярска развивалось низинное тростниковое болото. Но уже во второй его половине уровень несколько возрос, о чем свидетельствует внесенный в торф алевритовый материал. В атлантическом периоде началось быстрое повышение уровня воды и интенсивное накопление сапропеля, которое продолжается и в настоящее время. В течение субатлантики уровень воды в заливе Вярска повысился еще не менее чем на один метр. Это говорит о продолжающемся наступлении вод озера к югу.

Судя по данным изучения разреза Савику (Сарв, Ильвес, 1975), в приустьевой части р. Суур-Эмайыги и болот Аласоо и Ровья, южная и средняя части впадины освободились от озерно-ледниковых вод в конце позднего дриаса. Прежние данные по истории болот в том же районе устья р. Суур-Эмайыги (Thomson, 1939) показали, что уровень воды был там ниже современного не менее чем на 6 м. Этот вывод под-

тврждается и изучением строения долины р. Выханду в ее нижнем течении, где понижение уровня воды составляло не менее 10 м и, возможно, достигало 13,5 м (Мийдел, 1966а).

Таким образом, в северной части бассейна осадконакопление было непрерывным за все поздне- и последнекровое время, а в самой южной части оно началось лишь совсем недавно. К сожалению, до сих пор в нашем распоряжении нет ни одной скважины по северной части озера, которая вскрывала бы базальные части озерных осадков. Наиболее полные и информативные разрезы находятся в южной части бассейна, в частности в Тенлом озере. Приведем краткое описание некоторых из них.

Подводный разрез Лане находится в 5 км к северу от населенного пункта Мехикоформа и в 300 м к востоку от западного берега Тенлого озера на глубине 1,6 м. На алевритах с остатками гиннового мха (4,1–4,3 м) позднедриасового возраста залегает торфянная залежь (1,6–4,1 м), нижняя часть (4,05–4,1 м) которой представлена гинновым торфом пре boreального возраста, а верхняя – древесным торфом boreального, атлантического (2–4,05 м) и суб boreального (1,6–2 м) возраста. В верхней части разреза значительно повышенное содержание спор *Polypodiaceae* (в том числе *Dryopteris thelapteris*) и *Equisetum*, а также пыльцы ивы указывают на образование здесь тони. В начале суб boreала торфяник был залит водой (Ширрус, Мийдел, Раукас, 1985).

В 300 м к востоку от описанного выше разреза в более глубоководных условиях (глубина воды 4 м) находится еще более полный разрез, начинающийся озерно-ледниковые отложениями (8,3–8,8 м). На них лежит маломощный слой алеврита с детритом торфа boreального возраста, покрывающийся такими же отложениями (7,75–8,25 м) атлантического возраста и красновато-бурым маломощным слоем плотного алеврита с ходами корней водных растений или тростника (7,45–7,75 м). Возраст их – граница суб boreала. Эти отложения образовались в прибрежных мелководных условиях, на что указывают наличие кусков торфа в отложениях и следы корней тростника. Верх разреза мощностью около 3,5 м представлены сапропелистичными алевритами суб boreального и современного возраста, возникшими в условиях повышения уровня воды.

Подводный разрез Мэкссиона на глубине 9 м вскрыт в 3 км южнее Мехикоформы, 0,5 км восточнее западного берега Тенлого озера. На маломощном (около 0,2 м) слое надморенного песка залегают алевриты (10,85–11,50 м) пре boreального и boreального возраста, содержащие куски торфа. Это – мелководные прибрежные отложения, на что кроме литологического состава указывает и высокое содержание спор *Equisetum*, пыльцы *Cyperaceae*, *Gramineae* и *Salix* (5–6%). Выше лежащие сапропелевые иллитистые алевриты (9,0–10,85 м) атлантического и более молодого возраста образовались уже в относительно глубоководном водоеме (Ширрус и др., 1985).

Зимой 1987 г. в Тенлом озере пробурены еще две скважины, достаточно полно характеризующие развитие Чековско-Чудского озера. Первая из них расположена у о.ва Салу, примерно в 4 км от восточ-

ного берега, в середине предполагаемой древней долины, вторая — на склоне древней долины, в 200 м к востоку от первой скважины. Глубина воды на месте первой скважины 7,5 м, второй — 6,5 м. Более полным является первый разрез (рис. 41):

7,50	15,75	иллитовый алеврит,
15,75	15,80	алевритовый песок,
15,80	16,0	алеврит с прослойками песка,
16,0	16,50	мелкозернистый песок.

Пробы для палинологического анализа взяты через 5 см.

Базальные пески и проедолики алеврита на глубине 17,75—16,40 м отложились в пре boreале. Господствует пыльца древесных пород (береза и сосна); пыльца травянистых растений составляет 16—28 % общей суммы пыльцы и спор; пыльцы ивы — 2—5 %; характерно высокое содержание пыльцы травянистого растения *Filipendula ulmaria* — 2—7 %.

Алевриты на глубине 14,25—15,75 м накончились во второй половине бореала. Очень резкое начало непрерывных кривых ольхи (сразу 15 %), ленцины (7 %) и широколиственных пород (сразу 5 %) свидетельствует о стратиграфическом перерыве в начале бореала. Алевриты на глубине 11,30—14—25 м отложились в атлантическом климатическом периоде. Содержание широколиственных (10—18 %), ольхи и ленцины относительно высокое. Верхняя часть алеврита (7,50—11,30 м) накончилась в суб boreальном и субатлантическом климатических периодах. На диаграмме обнаруживаются как нижний, так и верхний максимумы ели. Первое зерно культурных видов (злаков) найдено на глубине 9,4 м на границе суб boreала и субатлантики.

### Эволюция диатомовой флоры

Диатомовые водоросли были изучены в двух колонках донных отложений из Тенглого озера, в Пековском озере (Давыдова, 1981) и оз. Лахепера, бывшем ранее заливом Чудского озера (Наан и др., 1981), что позволило охарактеризовать особенности диатомовых комплексов в позднеледниковых и голоценовых осадках Пековско-Чудского озера (рис. 42, см. вкладку).

Верхи верхнедриасовых отложений вскрыты в колонке из северной части Тенглого озера, где представлены ленточными глинами с очень низким содержанием диатомей. В диатомовых комплексах господствуют планктонные формы, доминантом является *Aulacosira islandica* — диатомея, характерная для планктона приледниковых и крупных современных озер окраины Балтийского царства (Давыдова, 1985). Заметной численности достигают диатомеи, свойственные планкtonу более высокопродуктивных мезотрофных водоемов, — *A. ambigua*, *A. italica*, *Asterionella formosa*, *Diatoma elongatum*. Всего встречено 17 видов и разновидностей пресноводных диатомей, что свидетельствует о формировании осадков в глубоком пресноводном водоеме, который по уровню трофности можно считать олиготрофным с чертами мезотрофии.

После спуска озера Рамзая крупный бассейн существовал только в наиболее глубокой части Чудского озера, а в понижениях рельефа могли существовать небольшие озерки. В исследованных колонках к пребореалту отнесены лишь пески, вскрытые в основании 9-метровой колонки, взятой в южной части Тенглого озера во впадине остаточного водоема. Содержание створок в песках низкое, из планктонных диатомей в состав доминантов входят виды *Aulacosira*, обитавшие ранее в приедниковом водоеме. В заметном количестве встречены бентосные диатомы обрастианий из рода *Fragilaria* и *Orephora martyi*, что указывает на небольшую глубину бассейна. Всего в пребореальных отложениях встречен 31 вид и разновидность пресноводных диатомей. Створки солоноводных и морских диатомей отсутствуют, что подтверждает мнение о том, что в котловину Псковско-Чудского озера воды Балтийского моря не проникали.

В бореальных отложениях, представленных сапропелями, содержание створок диатомей возрастает, при этом в оз. Лахенера и в северной части Тенглого озера в них господствуют планктонные диатомы, створки которых составляют до 60 % их общего содержания, а в южной части Тенглого озера их содержание существенно ниже. Оно возрастает здесь только в верхней части бореальных отложений. Помимо важную роль в доминирующих комплексах играют планктонные *Aulacosira*. Виды *Cyclotella* и *Cyclostephanos dubius* характерны для отложений оз. Лахенера и северной части Тенглого озера, а бентосные *Fragilaria* играют заметную роль в бореальной толще южной части Тенглого озера, для которой характерен высокий темп осадконакопления. Поднятие уровня озера и обводнение котловины наиболее ярко отразилось на оз. Лахенера и северной части Тенглого озера, а на его южной части — не так сильно. Продуктивность водоема в бореале ново-сместно повысилась, о чем свидетельствует доминирование в осадках *Aulacosira granulata* и *A. ambigua*, характерных для планктона мезотрофных и слабо эвтрофных озер, и сокращение доли участия *A. islandica*. По-видимому, уже в бореале водоем стал мезотрофным. Всего в бореальных отложениях встречено 97 таксонов диатомей.

В отложениях атлантического возраста в оз. Лахенера и северной части Тенглого озера абсолютно господствуют планктонные диатомы, тогда как в его южной части преобладают бентосные *Fragilaria*, *Paralia arenaria*, *Gyrosigma attenuatum*. Планктонные *Aulacosira granulata* и *A. ambigua* обильны только в нижнем интервале осадков. Судя по обилию в отложениях *A. granulata* и *Cyclostephanos dubius*, водоем становится эвтрофным. Всего в атлантических отложениях встречено 100 видов и разновидностей диатомей, из них 25 планктонных.

Начиная с суббореального времени во всех изученных разрезах господствуют планктонные диатомы, возрастает общее содержание створок, что отражает дальнейшее развитие трансгрессии. В оз. Лахенера темп осадконакопления остается по-прежнему высоким и даже несколько возрастает по сравнению с атлантическим временем (в среднем 0.84 мм/год в суббореале и 0.77 мм/год в атлантике). В доминирующем комплексе здесь отсутствует *Aulacosira islandica*, количество литоральных *Fragilaria* увеличено. В северной части Тен-

лого озера паряду с характерными для эвтрофных озер *Aulacosira ambigua*, *A. granulata* высокой численности достигают *A. islandica* и *Tabellaria fenestrata*. Важная перестройка диатомовых комплексов происходит в это время в южной части Тенлого озера, где несколько снижается темп осадконакопления (0,8 мм/год против 1 мм/год в атлантике); преобладающими становятся планктонные диатомеи, дающие 64–94 % общего содержания створок. Всего в осадках суб boreала найдено 113 видов и разновидностей диатомей, из них 29 планктонных. Рост глубины озера вызывает бурное развитие фитопланктона во всех изученных районах.

В субатлантике Лахенера отличается от основной акватории и постепенно заболачивается. В северной части Тенлого озера темп осадконакопления остается низким, в южной – несколько снижается (до 0,6 мм/год), а в Исковском озере достигает 0,4 мм/год. Новсеместно в осадках количественно преобладают планктонные диатомеи, но существенного развития достигают и диатомеи бентоса. Количество диатомей бентоса заметно возрастает в верхних сантиметрах осадочной толщи, что сопровождается появлением диатомей, развивающихся при усилении процессов антропогенного эвтрофирования: *Synedra berolinensis*, *S. parasitica*, *Nitzschia angustata*, *Cumatopleura elliptica*. Диатомовая флора субатлантики насчитывает 156 видов и разновидностей пресноводных диатомей, из них 28 планктонных. Всего в толще озерных осадков найдено 217 таксонов диатомей, 35 планктонных и 182 бентосных.

Таким образом, по изменениям в составе и характере диатомовых комплексов можно реконструировать изменения обводненности и трофического статуса водоема на протяжении поздне- и послеледниковой.

### Донные отложения как полезные ископаемые

Донные отложения Исковско-Чудского озера могут быть использованы и отчасти уже используются в разных отраслях народного хозяйства. Перспективы применения имеют строительные пески, особенно в Чудском озере, где установлены четыре района их разработки (рис. 43): 1) банка Паха-Кодавере близ г. Кааласте; 2) банка Мээрраналу; 3) окрестности о-ва Пийриссаар; 4) участок между Раскопельем и Нодоленцем. В Тенлом озере наиболее перспективным является участок близ мыса Сиговец, за ним следуют пески близ бани Нодборовье и береговая зона от этой бани до одноименной деревни. В береговой зоне Исковского озера наиболее перспективными для добычи являются дельта р. Великой, окрестности Талабских островов и береговая зона близ Дунно и Пункова.

Разведка донных песков в целях их использования в строительстве в районе о-ва Пийриссаар и базы Кодавере–Нина проведена бывшим управлением геологии СМ ЭССР. По полученным данным, общие запасы в окрестности Пийриссаар и западнее и северо-западнее от о-ва Одолец – 2,1 млн. м<sup>3</sup>. Пески там мелкозернистые, алевритовые или алевритистые, поэтому в естественном виде их можно использо-



Рис. 43. Важнейшие районы распространения строительного песка (1) и сапропеля (2).

вать лишь в качестве балластного материала и засыпного песка. Для строительства эти пески используются лишь после прибавления средне-или крупнозернистого песка в объеме около 50 %. Мощность песков в береговой зоне Кодавере—Нина в среднем 1—1.5 м. Запасы их составляют здесь 2,7 млн. м<sup>3</sup>. По своим свойствам они близки к пескам в районе о-ва Пийриссаар.

Большая часть дна Псковско-Чудского озера покрыта тонкозернистыми алеврито-шелитовыми отложениями (рис. 38). Низкое содержание в них органического вещества в значительной мере ограничивает использование этих осадков в качестве удобрений и корма для птиц и животных, а также в лечебных целях. Наибольший практи-

ческий интерес представляют сапропелевые отложения в полузакрытых заливах. Самым крупным и высококачественным из изученных до сих пор остается месторождение сапропелей в зал. Вирека (Нирруус, Тасса, 1981). Средняя мощность сапропелей — 4,12 м, запасы для лечебного и сельскохозяйственного использования при влажности 60 % — 7,42 млн. м<sup>3</sup>. По данным среднемасштабной геолого-гидро-геологической съемки, отложения с повышенным содержанием органического вещества (25–33 %) продолжаются от Вирека до о-ва Колпино. Общие запасы здесь составляют 44,5 млн. м<sup>3</sup>. В ходе геологической съемки выяснены еще месторождения Расконечье в пределах одноименного залива с запасами 27,9 млн. м<sup>3</sup> и Городец (близ впадения р. Жельча) с прогнозными запасами 6,65 млн. м<sup>3</sup> (рис. 43). Не менее крупные запасы имеются в древних, в настоящее время уже отделенных (оз. Умбъярв близ Мехикоорма) или практически отделенных от основного водоема (оз. Лахенера) заливах. В этом отношении особый интерес представляет месторождение Лахенера на западном берегу Чудского озера, южнее Алатскиви (Наан и др., 1981), освоение которого уже начато.

Сапропели всех изученных месторождений средне- или высокозольные (43,87–70,02 %) и довольно карбонатные, содержащие до 15 (Лахенера)–22 % (Умбъярв) CaO и до 2 % MgO. Содержание азота, фосфора и серных соединений относительно низкое. Количество микроэлементов тоже не превышает характерных для сапропелей северо-западной европейской части СССР содержаний. Судя по предварительным анализам, рассматриваемые отложения пригодны для известкования почв и для производства комплексных гранулированных видов удобрений, а сапропелевые отложения месторождений Лахенера и Вирека, видимо, пригодны также для биохимической промышленности, в частности для производства лизина.

## Глава 6

### ИСТОРИЯ ОЗЕРА ПО ЗООГЕОГРАФИЧЕСКИМ ДАННЫМ

#### Состав и формирование современной фауны

Исковско-Чудское озеро обладает разнообразной фауной. Найдено свыше 360 видов донных и около 160 видов планктонных животных, не считая очень слабо изученных одноклеточных и представителей микробентоса (Мяэмсте, 1966; Т. Тимм и др., 1982). Сохранению разнообразия способствует хорошая аэрация всей толщи воды летом в результате ветрового перемешивания, что, однако, вызывает прогревание придонной воды, поэтому здесь отсутствуют многие холодноводные реликты.

В профундали, где зимой кислорода мало, обитают немногие донные виды, главным образом личинки хирономиды *Chironomus plumosus* и олигохета *Potamothrix hammoniensis*. Второй вид олигохеты *Tubifex tubifex* представлен в профундали карликовой формой и может рассматриваться как реликт мезотрофной стадии развития озера (Т. Тимм, 1987). Все действительно оксифильные донные

животные встречаются только на плотных грунтах сублиторали или (слабее развитой) литорали.

Из классических «ледниковых реликтов» в озере обитают только ракообразные *Pallasea quadrispinosa* и хирономида *Corynocera ambigua*, обитающие на песке. Весьма близки к *Pallasea* в экологическом и зоогеографическом смысле некоторые олигохеты. Это прежде всего *Lamprodrilus isoporus*, наиболее массовый вид на песках Чудского озера. Он встречается также в некоторых озерах Северной Европы (небольшая популяция сохранилась и в соседнем оз. Выртсъярв) и в Байкале с ангарскими водохранилищами. Менее обильны *Tasserkidrilus acapillatus* (известен еще из Каспийского моря и Байкала) и *Reipzidrilus pussilus* (известен также из Онежского озера и, может быть, из водоемов Татранских гор). Все они — строго озерные животные. Они могли проникнуть в современные разорванные ареалы через приледниковые озера подобно *Pallasea* (Segerstrale, 1957; Т. Тимм, 1987). К реликтам олиготрофной и мезотрофной стадий развития озера можно отнести также хирономиду *Monodiamesa gathypnila*, но она способна к полету из озера в озеро.

Среди океаноидных животных значительно больше таких видов, которые обитают преимущественно в текущей воде. На севере они передко встречаются в богатых кислородом холодноводных озерах, иногда вплоть до профундали, а в Прибалтике обитают главным образом в реках и ручьях. В Исковско-Чудском озере некоторые из них находят приют в прибрежной литорали и в верхней сублиторали, где вода с весны до осени почти всегда в движении от ветра. К этой группе относятся олигохеты *Proprappus volki*, *Nais behningi*, *N. alpina*, *N. elinguis*, *N. bretschneri*, *Stylodrilus heringianus*, *Limnodrilus profundicola*; ручейники *Hydropsyche contubernalis*, *H. angustipennis*, *Polycentropus flavomaculatus*, *Athripsodes* sp., *Lepidostoma hirtum*, *Notibodia ciliaris*; поденки *Heptagenia sulphurla* и *Baetis* sp., моллюски *Theodoxus fluviatilis* и *Ancylus fluviatilis*, а, может быть, также хирономида *Potthastia* sp.

Замечательно распространение олигохеты *Thyacodrilus coccineus*. Складывается впечатление, что этот вид проник в реки Эстонии из пресноводного Аницлового озера, существовавшего в Балтийской котловине. Он обычен во впадающих в море реках и ручьях, а также в приморских остаточных озерах, но отсутствует в реках и малых озерах бассейна Исковско-Чудского озера (кроме озера Йыуга-Лийвъярв). Однако он обычен в самом Исковско-Чудском озере и найден также в нескольких местах в крупном озере Выртсъярв, связанном с первым судоходной рекой. По всей вероятности, он уже давно завезен в эти крупные озера на лодках или сетях рыбаков.

По мере создания судоходных каналов между реками с XIX в. в Европе стали быстро распространяться первичноводные виды центрокаспийской лиманной фауны. Некоторые из них завезены судами и в устья эстонских рек Пярну и Парва. Исковско-Чудского озера с помощью человека достигли в разное время олигохеты *Potamothrix moldaviensis* (была широко распространена уже в 60-е

годы текущего столетия) и *Paranaia frici* (первая находка в 1982 г.); имеются также непроверенные указания (Минина, 1982) о проникновении в озеро *Isochaetides newaensis* и *I. michaelensi*. О появлении в 30-е годы моллюска *Dreissena polymorpha* будет сказано в следующем разделе.

В 70-е годы пытались осуществить интродукцию двух видов цианокаспийских ракков-мизид и прибайкальской популяции ракка-бокоплава *Gammarus lacustris* (Т. Тимм и др., 1982; В. Тимм и др., 1985), но они не увенчались успехом. В 1980-е годы был случайно завезен байкальский вид бокоплавов *Gmelinoides fasciatus*, который теперь встречается в массовых количествах.

Основными группами животных планктона Псковско-Чудского озера являются коловратки (72 вида), ветвистоусые (57 видов) и веслоногие (28 видов). Только последняя группа не приспособлена к пассивному распространению, а коловратки и ветвистоусые весьма легко переносятся из водоема в водоем, особенно при помощи водоплавающих птиц. В Западной Европе были найдены в отложениях последнего ледникового и позднеледникового периода 25 видов ветвистоусых (Frey, 1958). Из них уже в Первом Псковском приледниковом озере (Раукас и др., 1971) могли обитать встречающиеся и в современном Псковско-Чудском озере виды *Acroporus harpae*, *Alona costata*, *A. guttata*, *A. rectangula*, *Alonella nana*, *A. exigua*, *Biapertura affinis*, *Chydorus sphaericus*, *Graptolebris testudinaria*, *Pleuroxus trigonellus* и *Pera cantha truncata*. В приледниковых озерах могли обитать также встречающиеся в наших озерах зимой ветвистоусые *Daphnia cristata*, *Bosmina longirostris*, *B. longispina* и др. А. Тинемани (Thienemann, 1950) относит к приледниковым видам еще *Eurycercus glacialis*, *Camplocercus fennicus*, *Alona karellica*, *Ophryoxus gracilis* (которых нет в современном Псковско-Чудском озере), *Drepanothrix dentata* и *Limnosida frontosa*. Последний вид в действительности был более теплолюбивым (Mäemets, 1961) и мог появиться в озере несколько позже.

Из веслоногих в приледниковых озерах вероятно обитание *Eudiaptomus gracilis* (или, может быть, *E. glacialis*). По всей вероятности, уже во Втором Псковском приледниковом озере обитал *Eurotemora lacustris* (которого нет в современном Псковско-Чудском озере), иначе трудно объяснить находки этого вида в малых озерах Саадъярви и Вагула, где он исчез только в 70-е годы.

С антилого времени в озере могли обитать ветвистоусые, встреченные и в современном озере: *Limnosida frontosa*, *Latona setifera*, *Holopedium gibberum*, *Daphnia cucullata*, *Bosmina coregoni* (крупные формы), *Hyocryptus acutifrons*, *Alonopsis elongata*, *Chydorus piger*, *Bythotrephes longimanus* (s. lat.) и *Polyphemus pediculus*. Особенно интересно чрезвычайное разнообразие форм *Bosmina coregoni* (s. lat.). В современном озере можно встретить наряду с *B. longispina obtusirostris* еще 7 форм крупных босмин: *coregoni*, *berolinensis*, *gibbera*, *tilljee borgi*, *kessleri*, *thersites* и *crassicornis*. В то же время гибриды между ними, например *gibbera* × *thersites* или *berolinensis* × *gibbera*, довольно редки. В остальных озерах Эстонии обнаружено

одновременно не более одной-двух форм крупных босмин. В литературе тоже нет указаний на такое разнообразие. Очень возможно, что центр видообразования *Bosmina coregoni*, группы, вероятно, эндемичной для бассейна Балтийского моря, находится именно в Псковско-Чудском озере. В роде *Bythotrephes* тоже встречаются вместе две формы, *B. longimanus* и *B. cederstroemi*, которые некоторыми авторами (Мордухай-Болтовской, Ривьер, 1987) соединяются в один вид. Возможно, что эндемиком Псковско-Чудского озера является котловратка *Ploesota peipsiense* (Mäemets, Kutikova, 1979), встречающаяся здесь уже начиная с 1909 г.

Первые пробы зоопланктона были собраны в Псковско-Чудском озере (Расконоельский залив, Тешлое и Псковское озера) в 1909 г. Н. Самсоновым и впоследствии обработаны А. Мяэметсом. Последовали сборы 1934 г., обработанные В. Рыловым (Соколов, 1941), 1950-х годов (М. Ф. Соколова, 1951 г.) и 1962 г. (Мяэметс, 1966). С тех пор в зоопланктоне произошли некоторые качественные изменения. В начале столетия здесь еще отсутствовала *Daphnia galeata*, которую обнаружили впервые в 1950 г. Только в пробах 1962 г. были впервые отмечены личинки моллюска *Dreissena polymorpha*, обитающего в озере с 1930-х годов (см. следующий раздел). А в 1964 г. был встречен в последний раз только в северной части Чудского озера индикатор олиготрофных вод *Holopedium gibberum*.

### История фауны моллюсков

В Псковско-Чудском озере обнаружено 63 вида пресноводных моллюсков, в том числе 35 видов двустворчатых и 28 — брюхоногих (Г. Тимм и др., 1982). Однако среди них нет форм, которые можно было бы рассматривать в качестве реликтов. Оксифильные виды брюхоногих — *Theodoxus fluviatilis* и *Ancylus fluviatilis*, — обитающие на камнях литорали, являются представителями, скорее, речной фауны; мелкие двустворчатые из семейства *Pisidiidae* распространены по всей площади дна, тогда как большинство брюхоногих ограничивается литоралью и сублиторалью, а в профундали, где господствуют мягкие грунты и содержание кислорода в воде временами понижено, из брюхоногих можно встретить *Valvata antiqua* и *V. ambigua*. Крупные двустворчатые из учионид (*Unio timidus*, *U. pictorum*, *Anodonta cygnea*, *A. minima*, *Pseudanodonta complanata*) немногочисленны и обитают чаще в нижней части сублиторали.

Документированные изменения в малакофауне озера происходят с 1930-х годов, когда здесь впервые появился (был случайно завезен?) понтокаспийский вид *Dreissena polymorpha* (Mikelsaar, Vinkel, 1936; Иоффе, 1948). Этот моллюск вскоре стал наиболее массовым организмом в озере, запасы которого (не менее 0.5 млн. т) на целый порядок больше запасов как всех остальных доинших животных вместе взятых, так и запасов рыб или высших растений (Peipsi..., 1985). В Чудском озере его сырая масса в 1985—1987 гг. достигала в среднем 330 г/м<sup>2</sup> с максимумом (на банке Сахмен) до 7.4 кг/м<sup>2</sup>. В сублиторали он образует особый биоценоз, где

предоставляет остальным донным животным и приют между своими друзьями, и иннцу в качестве коагулированного сестона. Дрейссена играет здесь важную геохимическую роль как мощный фильтратор воды — ежегодно пропускает сквозь жабры воду в объеме, равном четырехкратному объему Чудского плёса. При этом она осаждает на дно около 200 г/м<sup>2</sup> сестона в сухом весе. Ее раковины разносятся течениями и льдом во все зоны озера и стали постоянным компонентом донных осадков; в послевоенные годы существовал даже их промысел.

## История ихтиофауны

По современным данным в Исковско-Чудском озере и впадающих в него реках обитает 32 вида рыб (Петров, 1947; Ширкова, Пиху, 1966; Пиху, 1985). Исходя из задач исторического анализа все они могут быть подразделены на три группы. Одна из них включает такие холодноводные виды, как ряпушка *Coregonus albula* (L.), чудской сиг *C. lararetus maraenoides* Poljakov, хариус *Thymallus thymallus* (L.), корюшка и ее мелкая форма — снеток *Osmerus eperlanus* (L.), налим *Lota lota* (L.). Во вторую группу могут быть отнесены эвритермные формы: плотва *Rutilus rutilus* (L.), окунь *Perca fluviatilis* L., щука *Esox lucius* L. и некоторые другие. Наконец, третью группу составляют теплолюбивые южные выходы — красноперка *Scardinius erythrophthalmus* (L.), густера *Blicca bjoerkna* (L.), карась *Carassius carassius* (L.), сом *Silurus glanis* L., судак *Stizostedion lucioperca* (L.) и некоторые другие. В эту же группу может быть отнесен и синец *Aramis ballerus* (L.), который обитал в Исковском озере еще в историческое время. В культурных слоях I—XIII веков, вскрытых на территории г. Искова, найдено немало костных остатков этой рыбы (Лебедев, 1960), впоследствии исчезнувшей из озера. Близки по своей экологии к теплолюбивым формам и такие виды, как лещ *Aramis brama* (L.), жерех *Aspius aspius* (L.), линь *Tinca tinca* (L.), уклей *Alburnus alburnus* (L.), сырть *Vimba vimba* (L.).

Пути вселения рыб в Исковско-Чудское озеро и связанные с ним малые озера и реки обусловлены историей формирования самого бассейна и особенностями экологии рыб, прежде всего их отношением к температурному режиму водоемов. Первое появление рыб в котловине этого озера относится ко времени отступления края ледникового покрова к южным берегам Финского залива. В этот период, отстоящий от современного на 12 тыс. лет, на месте Исковско-Чудского водоема существовал один из плёсов приледникового озера Рамзая. Около 11 тыс. л. н., во время существования Балтийского ледникового озера, Чудское озеро сформировалось как самостоятельный водоем (Раукас, Ряхни, 1969; Квасов, 1975).

Первыми вселенцами в Чудской плёс озера Рамзая и затем в Чудское озеро могли быть такие холодолюбивые рыбы, населявшие приледниковые водоемы, как ряпушка, сиг, хариус, корюшка, налим, а также окунь, плотва, щука. Как показывает история формирования

ихтиофауны внутренних водоемов Севера и Северо-Запада европейской территории СССР, эти виды совместно с рядом других рыб были представлены в приледниковых водоемах р. Печоры. Можно предполагать, что на начальных этапах формирования Псковско-Чудского водоема группа холодолюбивых рыб была богаче по числу видов и сходна по видовому составу с подобной группой рыб Ладожского и Онежского озер. Но по мере потепления климата и происходящего параллельно ему изменения условий обитания в мелководном Псковско-Чудском водоеме часть холодолюбивых рыб исчезла. В результате эта группа представлена здесь в настоящее время в обедненном составе. Источинению отдельных холодолюбивых и оксифильных видов рыб способствовала также нарастающая эвтрофикация водоема.

Постепенное потепление климата обусловливало не только исчезновение некоторых холодолюбивых видов, но и обогащение фауны рыб за счет многих южных форм. Введение последних происходило как бы несколькими волнами, причем наиболее теплолюбивые виды появились в Псковско-Чудском водоеме во время голоценового климатического оптимума. Основываясь на отношении рыб к температурному фактору, можно полагать, что завершающая волна вселенцев включала такие виды, как красноперка, густера, карась, сом, отсутствующий в настоящее время в озере синец и др.

Учитывая историю формирования гидрографической сети бассейна Псковско-Чудского водоема и смежных территорий, можно считать, что расселение второй группы рыб происходило из бассейна р. Днепра. Этому способствовало наличие многочисленных контактов водных систем в первой половине голоцена. Таким образом, ихтиофауна Псковско-Чудского озера и связанных с ним водоемов формировалась преимущественно из двух источников: существовавших ранее на северном склоне Восточной Европы приледниковых водоемов и речной системы Днепра.

## Глава 7

### ОСНОВНЫЕ ЭТАПЫ РАЗВИТИЯ ОЗЕРА

Псковско-Чудское озеро образовалось в позднеледниковое время в ходе отступления последнего оледенения. Перед краем ледника находились крупные подирудные озера (Раукас, Ряхни, 1969; Раукас и др., 1971).

Около 13 тыс. л. н. на северо-западе Восточно-Европейской равнины образовалась единая система стока со всех свободных ото льда территорий, примыкающих к Балтийскому морю. Д. Д. Квасов (1975) предложил дать этой стадии название Балтийской системы приледниковых озер. Одним из обособленных плёсов этой крупной озерной системы являлось Псковское приледниковое озеро, или Древний Пихва, по Й. Орвику (Orviku, 1959), которое находилось во впадине Псковского и в южной части Чудского озера (рис. 44, а, б). Псковское приледниковое озеро имело уровни на абсолютных высотах около 95, 85, 75, 70, 60, 50 и 38 м (Раукас, Ряхни,

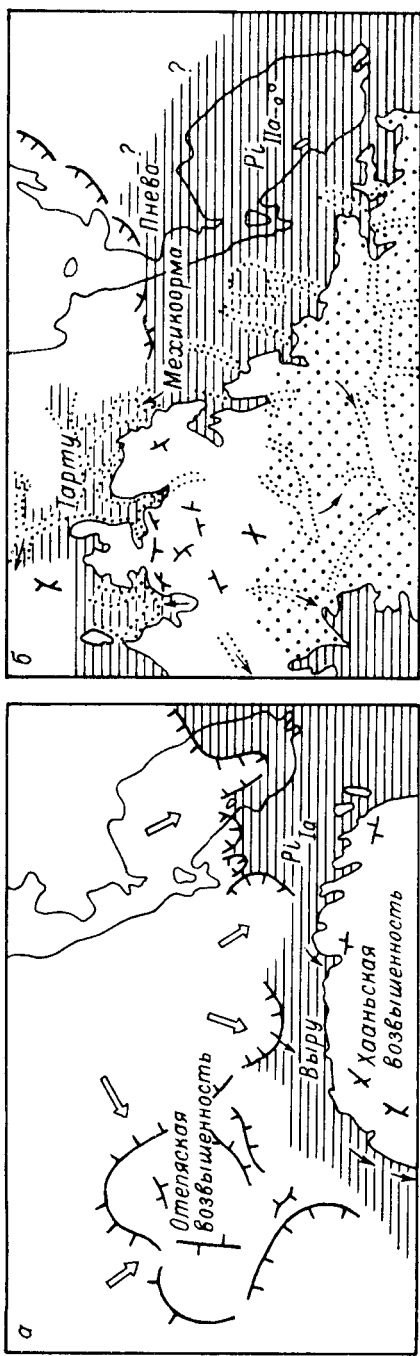


Рис. 44. Эволюция Псковско-Чебоксарского озера в погане и постледниковое время (Раукас, Ряни, 1969).

*a*, *b* — псковское приледниковое озеро (*a* — фаза  $P_{L1a}$ ; *b* — фаза  $P_{L1b}$ ); *c* — чудское приледниковое озеро (*a* — фаза  $P_{L1a}$ ; *b* — фаза  $P_{L1b}$ ); *d* — направление ледниковых потоков; *e* — край активного ледника; *f* — морфологическая граница ледника; *g* — направление стока; *h* — речки.

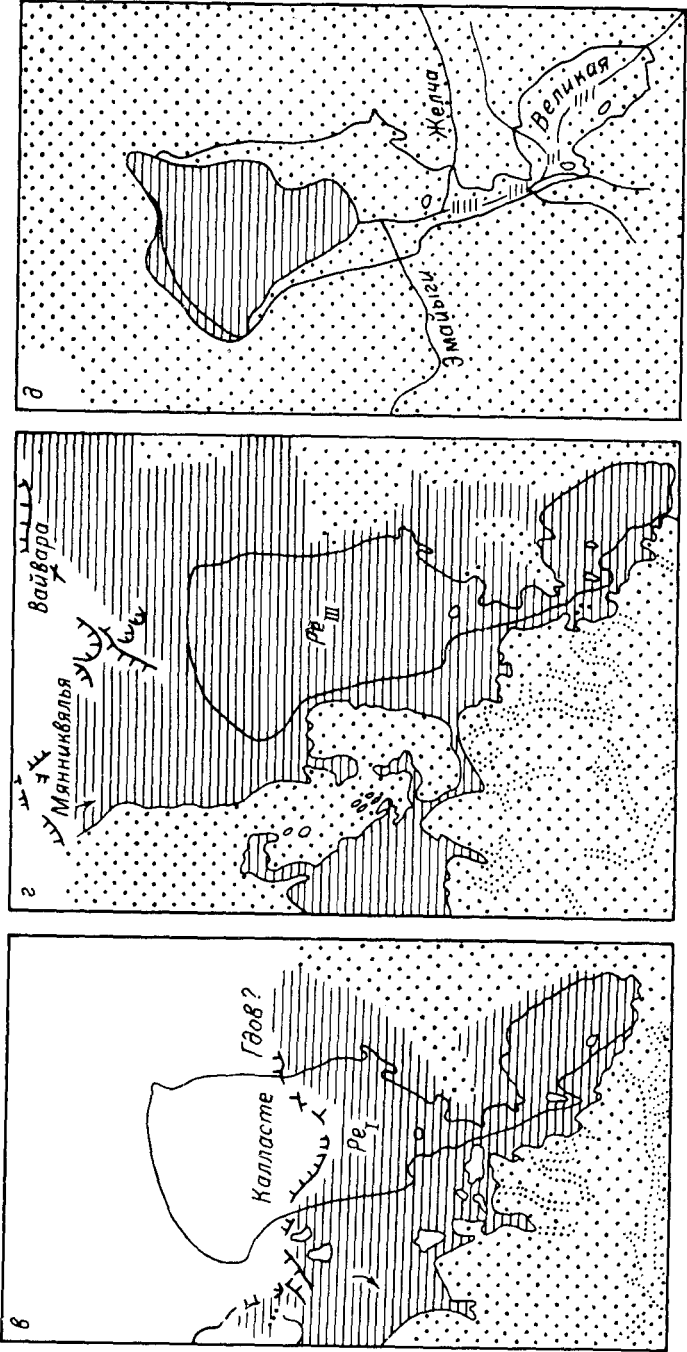


Рис. 44 (продолжение).

1969), соответствующие четко выраженным остановкам края ледника. Уровни с отметками 75 м и выше относятся к первому Исковскому приледниковому озеру, а уровни ниже 75 м — ко второму. Последнее образовалось после того, как ледник отступил от Отепянской возвышенности, освободив более низкие пороги стока. Сток из Исковского приледникового озера поступал в бассейн р. Гауды.

В результате кратковременного наступления льдов сакалаской стадии около 12 250 л. н. перед краем Чудской лопасти ледника образовалось Чудское приледниковое озеро (рис. 44, в), о котором писал еще В. Рамзай (Ramsay, 1929). Сток из Чудского приледникового озера (древнее озеро Нейней, но К. Орвику, — Orviku, 1959) проходил через крутое приледниковое озеро в Выртсъярвской впадине по долине Вийке-Эмайыги в южном направлении. Позднее, когда ото льда освободились пороги стока близ г. Вильянди, сток из этого озера осуществлялся по одноименной древней долине в западном направлении.

По мере отступления края ледника от краевых образований сакалаской стадии уровень Чудского приледникового озера неоднократно падал, но, несмотря на это, его воды, продвигаясь за отступающим ледником, затапливали все более обширные территории. При этом второе Чудское приледниковое озеро вошло в сообщение с приледниковым озером в бассейне р. Луги, так что его можно называть также Лужско-Чудским приледниковым озером (Ряхни, 1963). Оно соединялось с приледниками озерами, расположенным далее к востоку. Вместе они образовывали озеро Рамзая (Квасов, 1975).

Всего в истории развития Чудского приледникового озера выделяются четыре фазы (Раукас, Ряхни, 1969). Третье приледниковое озеро, которое соответствует приблизительно Большому Нейней, но Хаузену (Hausen, 1913б), соединялось через узкую долину в районе современной долины р. Суур-Эмайыги с крутым приледниковым озером А<sub>1</sub> (Нирна, 1962), расположенным на склонах Пандивересской возвышенности и в низменных районах Южной и Западной Эстонии, а четвертое Чудское приледниковое озеро являлось отдельным плёсом еще более крутым приледникового озера А<sub>2</sub> (Нирна, 1960).

После отступления льдов от северного склона Пандивересской возвышенности около 12 тыс. л. н. (рис. 44, г) произошло очень важное, с палеогеографической точки зрения, событие — соединение бассейнов, расположенных западнее и восточнее Пандивересской возвышенности — Южно-Балтийского приледникового озера и озера Рамзая, что привело к формированию Балтийского Ледникового озера первой стадии развития Балтики (Квасов, 1975). В результате Чудское озеро резко спиздило свой уровень, высота которого с тех пор определяется отметкой порога стока в истоках р. Нарвы.

Некоторые авторы предполагают, что после отступления ледника с территории Эстонии в Финском заливе существовало готигляцциальное Йольдиевое (Saartamo, 1958), или Карельское (Нууррэ, 1963) море, имеющее связи с водоемом во впадине Чудского и Исковского озер (Таштекани, 1926; Карак, 1964). Но даже если бы это соедине-

ние и имело место, проникновение солоновато-водных вод за относительно короткий промежуток времени через узкие проливы в Чудско-Псковский водоем исключается. Во впадину не проникали также воды Балтийского ледникового озера (фаза В<sub>3</sub>) и пребореального Йольдиевого моря. В пребореальное время северное побережье Чудского озера несомненно было свободно от краиных озерных бассейнов. Это доказывается данными изучения болот Мурака, Сели, Пухату и Корсаков Мох, указывающими на существование отдельных изолированных озер, где накопление органогенных озерных отложений началось уже в пребореале (Основные этапы..., 1975).

В начале голоцена впадина Псковского озера и южная часть впадины Чудского озера были сушей, а озеро сохранялось лишь в северной части Чудской впадины (рис. 44, *д*). Река Великая в это время впадала в Чудское озеро, а Ниуза, Выханду и другие реки, впадающие в настоящее время в Псковское озеро, были притоками р. Великой. Изолированные озерки сохранились лишь в более глубоких частях впадины: например, у Мээксиоя в пребореале и бореале отлагались терригенные озерные отложения. С первой фазой развития Малого Чудского озера можно, видимо, связывать подводные уступы, установленные на глубине 9 м около о-ва Пийриссаар и в других районах. В связи с новышением уровня воды на 3–3.5 м (на это указывают уступы на глубине около 6 м в средней и южной частях озера), вероятно, возникли уже изолированные пебольшие водоемы и в южной части впадины (Rähni, 1973; Основные этапы..., 1975).

Как указывалось выше, поднятие порога стока привело к расширению водоема и подъему уровня грунтовых вод. Этот процесс сопровождался интенсивным торфообразованием, начинавшимся в устье р. Кунести — в начале атлантического периода, в устьях рек Суур-Эмайыги и Ровьы — во второй половине атлантического периода, в устье р. Самоловы — в начале суббореального периода и на о-ве Городище — в конце атлантического периода (Основные этапы..., 1975). Быстрое повышение уровня воды привело на юге впадины также к заполнению переуглубленных долин аллювиальными и аллювиально-озерными отложениями. Таким образом, атлантическое время было переломным в развитии водоема.

Изучение болота Раадна показало, что в атлантическое время водой была залита большая территория вдоль северного побережья Чудского озера, в том числе вся полоса современной сушки между береговыми образованиями Раадна (вблизи Раппа-Пунгерья) и современным озером.

Результаты комплексного изучения болотной системы около устья р. Суур-Эмайыги (Лооршапи, 1964) свидетельствуют о том, что к началу атлантической климатической стадии (около 6–7 тыс. л. н.) уровень воды в этом районе поднялся до абсолютных отметок около 25 м (современный уровень воды 30 м), к суббореальной климатической стадии (около 3–4 тыс. л. н.) — до 27 м и к субатлантической климатической стадии (около 2.5 тыс. л. н.) — до 28.5–29 м. Поднятие уровня шло неравномерно (Мийдел, 1981). Торфооб-

разование в низинных болотах на берегах Чудского и Псковского озер отражает динамику изменения уровня озер. Это дало возможность использовать данные по разрезу Савику вблизи устья р. Суур-Эмайыги для характеристики скорости поднятия уровня (Сарв, Ильвес, 1975). Интенсивное заболачивание у Савику началось в атлантическом периоде около 5690 л. н. С того времени до границы атлантического и суб boreального периодов (абсолютный возраст около 4620 лет) уровень воды поднимался со скоростью около 1,0 мм/год. В первой половине суб boreального периода скорость поднятия воды уменьшилась до 0,6 мм/год и составила во второй половине того же периода 0,5 мм/год. В субатлантическом периоде в промежутке времени от 2800 до 1600 л. н. возросла до 1,5 мм/год, а в течение последних 1600 лет снова составляла около 0,6 мм/год. Причины субатлантической трансгрессии могли быть разными: затрудненный сток по р. Нарве из-за более интенсивного поднятия земной коры на севере или более влажный климат субатлантического периода по сравнению с суб boreальным (Мийдел, 1981).

В 1926 г. А. Вельнер и Э. Тильтсен составили проект пополнения уровня озера на 0,3 м, т. е. на ту предельную величину, на которую, согласно мирному договору между РСФСР и Эстонией от 1920 г., было разрешено изменить уровень озера (Тильтсен, 1933). Работы по углублению русла в истоке р. Нарвы производились в 1930—1940 гг., но не в полном объеме. Поскольку грунт между бунами и южным молом не был удален, а буны и мол сильно пострадали в многоводном 1957 г. и во время сильных штормов 1967 г., в течение последних десятилетий условия стока вновь ухудшились (Чудско-Псковское озеро, 1983). Поэтому в настоящее время уровень поднимается не только в южной, но и в северной части Псково-Чудского озера (Раукас, Ряхни, 1969).

## Глава 8

### СОВРЕМЕННОЕ СОСТОЯНИЕ ОЗЕРА И ТЕНДЕНЦИИ РАЗВИТИЯ ПРИРОДНЫХ ПРОЦЕССОВ

Важнейшей проблемой Псково-Чудского озера в настоящее время является качество воды, которое вследствие антропогенного воздействия ощутимо ухудшилось. Саморегуляция и способность к самоочищению нарушены, что представляет серьезную опасность для экосистемы озера (Симм, 1987). Из процессов, происходящих в озере под воздействием человека, особенно важно антроногенное эвтрофирование. Наибольшая биогенная нагрузка наблюдается в Псковском озере и Чудском около устья р. Суур-Эмайыги.

Основное количество биогенных элементов, в частности соединений фосфора и азота, поступает в озеро с водами рек Великой и Суур-Эмайыги. При этом содержание общего фосфора в обеих реках было близко к экологически допустимой концентрации. Но соотношению азота и фосфора Псковское озеро следует считать гипертрофным ( $N:P=12:1$ ), Тешное озеро — либо гипертрофным, либо эвтрофным ( $15:1$ ), а Чудское озеро — эвтрофным ( $21:1$ ). В северной части Чудского озера концентрация общего фосфора умень-

шается в западном, а общего азота — в восточном направлениях (Peipsi-Pihkva järve vee omadused..., 1987).

Большую тревогу вызывает увеличение содержания сульфатов в озере. Годовой их приток с речной водой составляет порядка 280 тыс. т., или 90—95 % общего поступления; 5—10 % выпадает с атмосферными осадками. Особенно велико содержание сульфатов в водах р. Ранна-Пунгерья, которая является приемником большого количества шахтных вод (Peipsi-Pihkva järve restuskoormuse..., 1987). Озеро загрязняют также различными вредными соединениями (масла, фенолы, тяжелые металлы и др.) многочисленные точечные и диффузные источники, в том числе в значительной мере водный транспорт.

В микробиологическом (по численности бактерий, в том числе сапроптических) и гидробиологическом отношениях озеро в настоящее время в целом является еще довольно чистым. Так, в гидробиологическом отношении Чудское озеро севернее линии Варнья — Расконель является мезотрофным с признаками олиготрофии, южная часть Чудского озера — мезотрофной с признаками эвтрофии, Тенлое озеро — дисэвтрофным, а Псковское озеро — эвтрофным (Mäemets, Pihc, 1973). Но дальнейшее развитие промышленности в водосборном бассейне озера, возрастающий приток коммунальных вод и увеличение использования удобрений и химических средств защиты растений ставят современное удовлетворительное состояние озера под угрозу. Учитывая водохозяйственное, рыбопромышленное и рекреационное значение Псковско-Чудского озера, нельзя не понять, что сохранение или улучшение его состояния имеет большое экономическое и социальное значение для всего региона. Для охраны вод озера намечен ряд мероприятий (Симм, 1987), пока явно недостаточных.

Серьезные проблемы связаны также с охраной берегов и улучшением уровня режима озера. Как указывалось выше, в настоящее время наступление вод в южной части виадины продолжается. По данным Г. Желнина (1973), южную часть Чудско-Псковского озера оконтуривает 1-миллиметровая изобаза опускания. Опускание земной коры под озером вызывает затопление обширных пизменных районов и усиливает абразию берегов. Под воду могут попасть также отдельные здания. Например, развалины церкви, построенной в 1458 г. на о-ве Озолице и уничтоженной в следующем году, найдены в 1959 г. под водой на глубине 2.5 м (Тюлина, 1966).

Ввиду преобладания ветров юго-западного, южного и западного направлений и штормовых ветров юго-восточного направления особенно сильной абразии подвергаются северные берега Чудского озера, где находятся наилучшие пляжи. Во время ураганного шторма в октябре 1987 г. берег местами отступил здесь на расстояние до 4 м (Таваст, 1988).

Большой материальный ущерб сельскому хозяйству и населенным пунктам приозерья наносит ежегодное затопление берегов. В 1924 г. заливаемая площадь составила 775 км<sup>2</sup>, а продолжительность наводнения 190 суток. В ходе высокого половодья в 1956 г. площадь

затонления достигла 647 км<sup>2</sup> и берега озера были частично затончены в течение всего года (Чудско-Псковское озеро, 1983).

Аномально высокие уровни в озере вызваны различными причинами. Истоки р. Нарвы находятся в районе неотектонического поднятия, в русле реки обнаруживаются трудно размываемые карбонатные породы. Поэтому сток вод из Чудского озера по реке затруднен и из года в год ухудшается. С созданием Нарвского водохранилища ухудшились зимние условия стока у д. Омути (на участке выклинивания подпора водохранилища) из-за чрезвычайно большого скопления донного льда в зоне подпора (Чудско-Псковское озеро, 1983). Скопления торосистого льда нередко образуются также перед истоком р. Нарвы в самом озере. После разрушения штормовым волнением защитного мола в половодье 1958 г. большую опасность представляет занос истока река песком. В ноябре 1971 г. песчаные напоны и зарастание водной растительностью русла обусловили образование ледяно-шуговой перемычки перед истоком реки, в результате чего в течение нескольких суток расход реки сократился на 156 м<sup>3</sup>/с и 22 ноября составил катастрофический минимум – 25,8 м<sup>3</sup>/с. Была приостановлена работа Нарвской ГЭС. Для предотвращения нежелательного подъема уровня необходимо завершить начатые в 30-х годах дноуглубительные работы и восстановить буны и дамбы в истоке р. Нарвы (Чудско-Псковское озеро, 1983).

Прогнозировать дальнейшее развитие природных процессов весьма трудно. Общий характер береговых процессов определяется изменениями уровня озера, которые зависят от движений земной коры. Наиболее вероятно продолжение поднятия на севере и опускания на юге. Но на севере озера нельзя ожидать понижения уровня озерных вод. Не исключено, что истоки р. Нарвы будут заполняться паносами. Это может привести к повышению уровня и к опасной активизации абразионных процессов на северном берегу. Результаты абразии наглядно проявились во время осеннего шторма в 1987 г. Интенсивная абразия в свою очередь усилила вдольбереговой поток паносов, имеющий восточное направление. В результате истоки р. Нарвы стали еще более интенсивно заноситься песчаными отложениями. При планировании рекреационных мероприятий на северном побережье целесообразно исходить из возможного относительного новшества уровня воды.

Как известно, на западном берегу озера весьма широко распространены задернованные и застраивающие берега. Это, с одной стороны, объясняется защищенностью берега от волновой деятельности, а с другой – более интенсивным процессом эвтрофирования озера. Повышение уровня воды способствовало бы увеличению самоочищающей способности озера. Для предотвращения нежелательного усиления абразионной деятельности необходимы специальные защитные меры на северном и северо-западном берегах, где наблюдаются значительные нарушения пляжа и всей береговой зоны.

## Часть 4

### БАЙКАЛ

#### Глава 1

##### ПРИРОДНЫЕ ОСОБЕННОСТИ ОЗЕРА

Среди озер мира Байкал по глубине (наибольшая 1620 м) занимает первое место, второе и третье делит африканское оз. Танганьика (435 м) и озеро-море Каспийское (945); по объему водной массы (23 тыс. км<sup>3</sup>) — второе место, уступая только Баскую по площади (31,5 тыс. км<sup>2</sup>) — седьмое, в СССР уступая только Каспию и Аразу, а за рубежом — Виктории, Танганьике, Гурону и Мичигану. Байкал расположен в самой глубокой впадине суши: в месте его наибольшей глубины отметка дна находится на 4181 м ниже уровня моря.

Один из наиболее древних водоемов, Байкал имеет историю, уходящую в глубь веков на 20—25 млн. л. Расположенное в довольно узкой котловине, окаймленной горными хребтами, озеро в плане имеет вытянутую серповидную форму (длина 636 км, наибольшая ширина, между Усть-Баргузином и Онгуренами, — 79,4 км, наименьшая против дельты р. Селенги, — 25 км. Длина береговой линии озера (без островов) около 2 тыс. км. Среди 19 островов Байкала самый крупный — о-в Ольхон площадью 729 км<sup>2</sup> и длиной 71,7 км. Он отделен от материка широким водным пространством, называемым Малым Морем. В открытой части озера против п-ва Святой Нос расположена группа Ушканых островов. Заливы и бухты распределены по побережью очень неравномерно. На многих участках береговая линия озера совершенно прямая на протяжении многих километров, а на западном склоне котловины скалы непосредственно обрываются в воду.

По распределению глубин и рельефу дна Байкал делится на три основные впадины — южную, среднюю и северную. Наибольшая глубина озера (1620 м) расположена севернее о-ва Ольхон, на расстоянии 10 км от мыса Ухан. Карта глубин Байкала свидетельствует о сложности рельефа дна, местами представляющего собой то подводную горную страну, то сглаженные большим слоем донных отложений участки. Особенности рельефа дна складывались на протяжении всей геологической истории Байкала под воздействием тектонических движений, которые не прекращаются до настоящего времени, и непрерывного накопления на дне осадочных толщ.

На климатические условия байкальской котловины влияют резко выраженные различия между термическим режимом водной массы озера, обладающей огромной теплоемкостью, и окружающих озеро горных массивов, быстро нагревающихся летом и быстро же охлажддающихся зимой. Эти различия лежат в основе не только теплобмена между озером и сушей, но и возникновения мощной местной воздушной циркуляции в пределах котловины. Как следствие взаимодействия местных атмосферных процессов с общей циркуляцией атмосферы на Байкале рождается система ветров.

Вода Байкала отличается исключительной прозрачностью, которая, достигая 40 м, намного превосходит прозрачность вод других озер. Выделяется Байкал и своим водным балансом. Единственный исток его — река Ангара — ежегодно выносит из озера 61 км<sup>3</sup> воды и 10 км<sup>3</sup> воды каждый год испаряется с его поверхности. Взамен утраченной воды в озеро ежегодно вливается около 58 км<sup>3</sup> из 336 его притоков, на поверхность его выпадает примерно 9 км<sup>3</sup> осадков в виде дождя и снега, 3 км<sup>3</sup> поставляет подземный сток и около 1 км<sup>3</sup> — конденсация водяных паров из атмосферы на холодной поверхности озера.

Основной источник байкальских вод — это многочисленные реки, впадающие в озеро, которое имеет водосбор площадью 557,5 тыс. км<sup>2</sup>. Вдоль всего западного побережья водораздел проходит на расстоянии всего нескольких километров от берега озера (рис. 45). Наиболее многоводной рекой, впадающей в Байкал, является р. Селенга, источники которой находятся в Монголии. Водосборный бассейн Селенги (465 тыс. км<sup>2</sup>) составляет 83,4 % всей водосборной площади Байкала. Следующий по размерам — водосборный бассейн р. Баргузин (20 тыс. км<sup>2</sup>), на долю которого приходится всего лишь 3,5 % общей водосборной площади озера. Водный баланс и уровеньный режим Байкала позволяет рассматривать озеро как мощный регулятор стока. Это определяет исключительно важное значение Байкала в комплексе гидро сооружений на Ангаре, для которых озеро играет роль естественного водохранилища.

Данные по физическим и химическим свойствам байкальских вод неоднократно публиковались в сборниках и монографиях соответствующего содержания и поэтому здесь не рассматриваются.

Байкал выделяется своими удивительными эндемичными фауной и флорой, эволюция которых тесно связана с историей самого озера. В озере насчитывается более 1550 видов и разновидностей животных и 1085 видов растений, из которых более 85 % характерны только для Байкала. Из беспозвоночных самыми многочисленными в видовом отношении являются гаммариды (225), моллюски (83), олигохеты (более 100), планарии (более 40), остракоды (более 100), гарпактииды (50), простейшие (более 300), хирономиды — (более 100 видов); из позвоночных встречается большое число рыб и среди них байкальский хариус, омуль, сиг, осетр, бычковые и др., а также байкальская нерпа; из водорослей наиболее массовыми являются диатомовые (509), синезеленые (90), конъюгаты (48), улотриковые

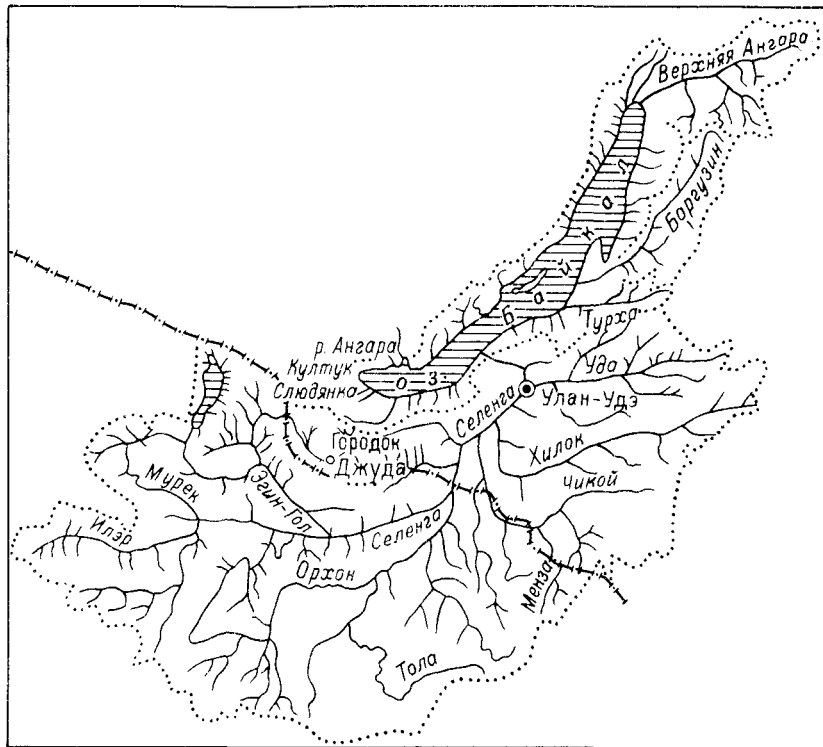


Рис. 45. Водосборный бассейн Байкала.

(45), вольвоксовые (13). Такое разнообразие водных фауны и флоры трудно найти в любых иных пресноводных бассейнах.

В последние годы в связи с интенсивным освоением природных ресурсов бассейна Байкала остро встала проблема рационального использования и охраны озера от загрязнений. Были расширены и углублены исследования по водным и биологическим ресурсам озера, качеству воды, инженерной геологии, сейсмике, гидрометрии и лесоведению.

## Глава 2

### ПРОИСХОЖДЕНИЕ И РАЗВИТИЕ ОЗЕРНОЙ КОТЛОВИНЫ

#### Морфоструктура

Байкальская котловина -- центральное звено крупнейшей в Евразии внутреннеоконтинентальной рифтовой зоны, протянувшейся почти на 2000 км от оз. Хубсугул на юго-западе до р. Олекмы на северо-востоке при общей ширине от 100--150 км до несколько более 300 км. Контур рифтовой зоны подчинен границам литосферных плит и микро плит. Лишь ее северо-восточная оконечность

счет структуры древнего фундамента. Очевидно, что столь строгая подчиненность кайнозойской структуры древним элементам не случайна и позволяет говорить о предопределении места проявления рифтогенеза.

В поперечном сечении рифтовой зоны вырисовывается сложное сводово-глыбовое поднятие (Байкальский свод), в центральной части которого расположены рифтовые впадины. Байкальский свод с запада и востока сопровождается сопряженными с ним неотектоническими структурами, образующими закономерно построенные латеральные ряды (Соотношение..., 1979) или предрифтовые зоны — Прибайкальскую и Забайкальскую (Золотарев, Белоусов, 1981). Они субпараллельны границам Байкальского свода и включают систему неотектонических поднятий и прогибов.

Предрифтовые структуры начали формироваться в конце мела — начале налеогена, когда образовались отдельные мелкие депрессии. Основной этап развития приходится на эоцен—нижний илиоцен. В это время сформировалось большинство впадин, глубина погружения которых достигала 300—400 м. В это же время образовалась основная часть осадочной призмы Байкальской впадины. Сопряженность развития предрифтовых структур и Байкальского рифта, первоначально показанная И. А. Ногачевым (Нагорья..., 1974), — свидетельство общности причин их образования.

Впадина Байкала включает три кулисообразно расположенные котловины — Южную, Среднюю и Северную, которым соответствуют три впадины, в рельфе коренного ложа разделенные подводными перемычками, ориентированными под острым углом к общему простиранию Байкальской впадины (Лут, 1964). Перемычки представляют собой асимметричные горсты с крутыми разломами ограничениями с одной или обеих сторон и с перекошенной поверхностью, обычно наклоненной к западу (рис. 46). В рельфе коренного ложа выделяется прямой к западному борту впадины осевой грабен, в котором мощность осадков максимальна (Николаев и др., 1985). Суммарная мощность рыхлой толщи, по-видимому, доходит до 5—6 км. Максимальные мощности отмечены в Южной впадине и в районе северной оконечности Северной (Нагорья..., 1974). Но в целом рельеф коренного ложа изучен слабо.

В поперечном сечении Байкальская впадина асимметрична. Ее северо-западные бортовые зоны образованы системой крупных крутых разломов; юго-восточные склоны более пологие и в их оформлении существенна роль изгибовых деформаций и частных разрывов (Флоренсов, 1960). Морфоструктурную асимметрию связывают с асимметрией глубинного строения, в частности с асимметричностью выступа аномальной мантии (рис. 47) под Байкальской зоной (Недра Байкала..., 1981). Но каков бы ни был глубинный механизм, определяющий байкальскую асимметрию, несомненно определяющая морфоструктурная роль древних глубинных разломов, протягивающихся вдоль западных бортовых зон.

Бортовые зоны Байкальской впадины осложнены разномасштабными продольными тектоническими блоками, последовательно опу-

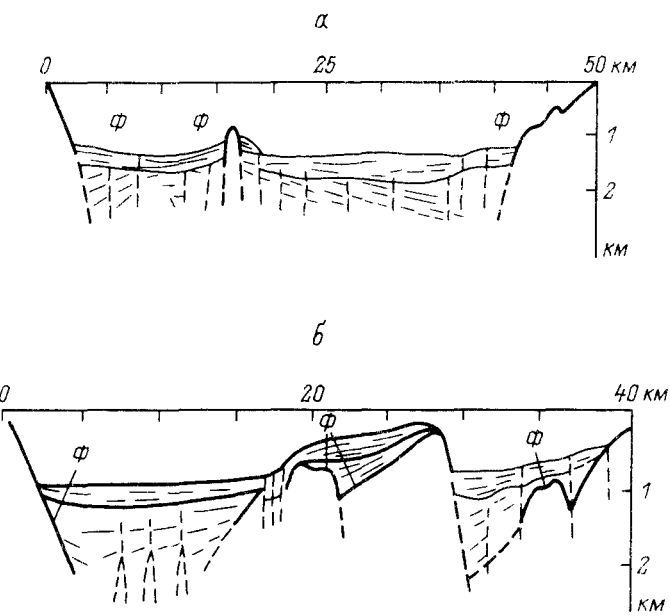


Рис. 46. Интерпретация сейсмических разрезов через Посольскую Банку (а) и Академический хребет (б).

Ф — кровля акустического фундамента (Геолого-геофизические..., 1979, с. 408).

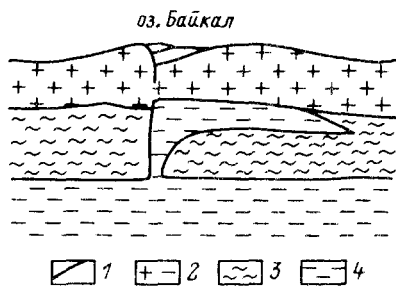


Рис. 47. Схематический разрез вкрест Байкальской впадины (Недра Байкала, 1981, с. 74).

1 — кайнозойские осадки; 2 — кристаллическая земная кора;  
3 — мантия с нормальными свойствами; 4 — астеносфера  
(вещество мантии с аномальными свойствами).

ценными в глубь впадины. Среди них различаются предельно узкие блоки-пластины и сравнительно широкие — от первых километров до 10–15 км — промежуточные ступени (Замараев, Мазукабзов, 1978). Поверхности ступеней восточных бортов впадины наклонены к ее оси. На них формируются наклонные предгорные аллювиально-пролювиально-озерные равнины. Промежуточные ступени западных бортов более разнообразны. Поверхности части из них наклонены во

внутрь впадины, но чаще — к поднятому плечу рифта. На них сформированы асимметричные впадины, заполненные разновозрастными (от миоцена до среднего плеистоцена) отложениями, среди которых преобладают озерные. Наклоны поверхностей промежуточных ступеней к оси впадины связаны с медленным формированием ограничивающих разрывов за счет флексур. При быстром опускании блоков и вы полаживании сместителя с глубиной поверхность блока приобретает наклон к поднятому плечу рифта (Казьмин, 1982; Плещанов, Ромазина, 1981) и смещение блока уподобляется таковому при оползнях. Подобные блоки, ограниченные листрическими сбросами, формируются в условиях близгоризонтального растяжения (Михайлов, 1984) и обеспечивают реализацию растяжения приповерхностной (хрупкой) части земной коры (Казьмин, 1987).

Рассмотрим подробней строение бортовых зон Байкальской впадины. На западных побережьях берег часто непосредственно оформлен крутыми тектоническими уступами, устья притоков в большинстве случаев подвещены, местами формируются далеко выдвинутые в глубь акватории аккумулятивные мысы. Озерные террасы сохраняются в рельефе лишь изредка. На восточных побережьях почти непрерывно тянется более или менее широкая предгорная равнина, берега часто сложены рыхлыми кайпозойскими толщами, в устьях притоков обычно эстуарии, на значительных расстояниях прослеживаются низкие байкальские террасы. От юго-западной оконечности Байкала и до северного окончания о-ва Ольхон протягивается высокий уступ Обручевского сброса, по которому глубоководная зона Байкала непосредственно примыкает к поднятому плечу рифта. Прослеживающаяся с перерывами абразионная платформа играет роль узкого шельфа. Лишь на отдельных участках берега существует узкая (первые метры) полоса пляжа, сложенного плохо окатанной галькой и мелкими валунами. Аккумулятивные мысы редки и почти не выдвинуты в глубь озера. Местами береговая зона непосредственно образована скалистыми обрывами, местами — подмытыми шлейфами склоновых отложений.

Общая высота уступа по породам фундамента достигает 5 и более километров. В районе бухт Несchanая—Бабушкина—Сенная выделяется промежуточная ступень с реликтами мел-палеогеновой коры выветривания и древних (мел—палеоген) озерных отложений.

В районе устья р. Бугульдейки к Обручевскому сбросу с его северо-западного крыла примыкает Приморский сброс, прослеживающийся на сушу до района с. Мал. Кочериково. Зажатый между этими разломами клиновидный в плане блок образует наиболее крупную промежуточную ступень — Тажеранско-Ольхонскую. Кайпозойские движения по Приморскому сбросу проявились по древней системе разломов краевого шва Сибирской платформы. Амплитуда Приморского сброса от почти нулевой у устья р. Бугульдейки возрастает к северо-востоку до 400 и более метров, и, таким образом, движения по сбросу имеют шарнирный характер (Плещанов, Ромазина, 1981). Зона разлома включает ряд узких блоков-пластин, для части которых предполагается гравитационно-тектонический генезис.

Поверхности пластин представляют наклонные платформы, в тыловых швах которых местами видны неглубокие рвы, свидетельствующие о поглощении рыхлого материала (Уфимцев, 1987). На участке Зама-Онгурены разлом объединяет серию сравнительно коротких кулисообразно расположенных сбросовых уступов — обновленных отрезков древних разрывов, образующих эшелонированную систему.

По разломам системы Приморского сброса отмечены малоамплитудные правые сдвиги (Шерман, 1977). Но в целом в сдвиговые смещения (в том числе левые) вовлечен ряд субпараллельных узких пластин, дифференцированно перемещающихся вдоль частных разрывов. Продольные разломы рассечены системой коротких поперечных разрывов, с которыми связаны грабенообразные опускания. В наземном рельефе они выражены широкими плоскодонными долинами. Наиболее крупная структура этого типа — верхний отрезок долины р. Ангары. С рядом понеречных разломов связаны подводные каньоны (Геолого-геофизические... 1979).

Упомянутая выше Тайгеранско-Ольхонская ступень детально изучена С. И. Илешановым и А. А. Ромазиной (1981). Ее поверхность, наклоненная к поднятому плечу рифта, ступенчато снижается к северо-востоку от р. Бугульдейки до южной оконечности Ольхона, а затем вновь поднимается, достигая максимума на северо-восточном конце острова. Одновременно с этим к северо-востоку увеличивается глубина и ширина Маломорского опускания и возрастает высота поднятого плеча рифта. Все это подчеркивает паиринский характер движений по Приморскому сбросу и сопряженность движений поднятого плеча рифта и блоков внутри впадины.

Северо-восточной частью ступени является поднятие Ольхонского блока. Его поверхность, так же как поверхность всей ступени, но более круто, наклонена к поднятому плечу рифта. В морфоструктуре этого участка выделяется Маломорской рифт, представляющий собой центроклинальную оконечность впадины Северного Байкала. На бортах Маломорского рифта (рис. 48) многочисленны второстепенные блоки с наклоненными поверхностями, частично перекрытыми миоценовыми и илиоценовыми озерными осадками, прилегающими к поверхности кристаллических пород разновозрастными слоями. Поверхности второстепенных блоков наклонены в разные стороны от оси Маломорского рифта. Таким образом, здесь сформировалась система блоков, характерная для структур растяжения (рис. 49). В южной половине Малого Моря отчетливы признаки ингрессии вод Байкала (Флоренсов, 1964), обусловленной разрастанием Маломорского рифта по простиранию в юго-западном направлении и одновременным продолжением перекосом поверхности Ольхонского блока.

Сухонутным продолжением Маломорского опускания к юго-западу являются Чернорудская и Таготская долины-впадины. Они разделены поднятием Кучелгинско-Таготского гранитогнейсового купола. Чернорудская впадина представляет собой узкий ступенчатый неотектонический грабен, образованный сбросами Приморского и Кучелгинского разломов, — это формирующаяся на наших глазах

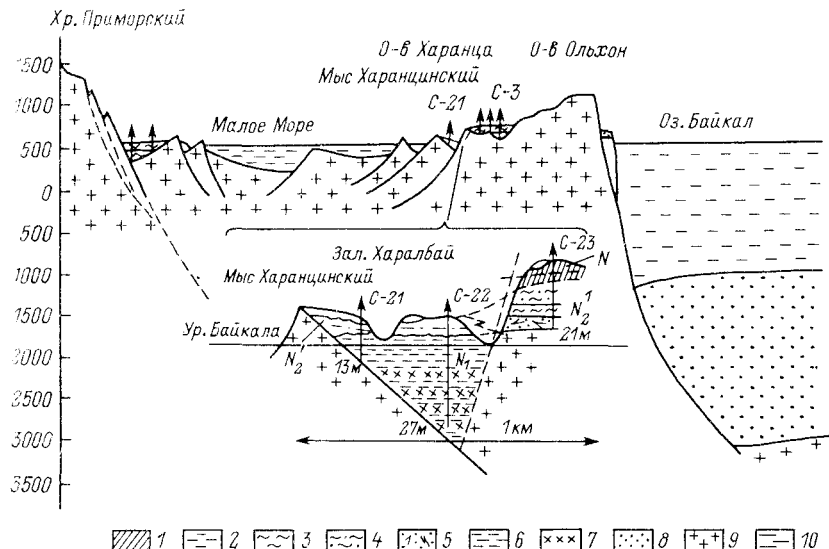


Рис. 48. Схема строения Маломорского рифта.

1 — верхний яйноцен, харанцинская свита — красновато бурые делювиальные глины, налеоны; 2 — верхний миоцен - нижний яйноцен, сасинская толща [2 — субзразильные члены, суглиники, налеоны]; 3-5 — осадки крупного озера (3 — глины, 4 — известковые отложения малых озер, 5 — пески пляжево-ланзы); 6-7 — миоцен (6 — монтмориллонитовые глины малых озер; 7 — они же загипсированные); 8 — кайнозойская толща; 9 — фундамент; 10 — водная масса. На врезке — детали геологического строения района мыса Харанциногоре.

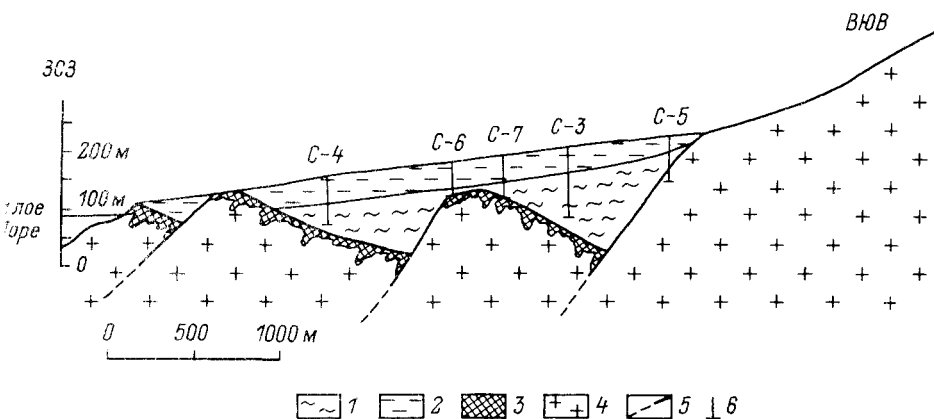


Рис. 49. Разрез неогена на о-ве Ольхон, залегающего на системе блоков фундамента, которые сформировались в условиях растяжения.

1, 2 — халатейская свита (1 — известковистые глины мелководных озер, 2 — песчанистые глины крупного озера); 3 — каолинитовая кора выветривания; 4 — кристаллический фундамент; 5 — разрывные нарушения; 6 — скважины.

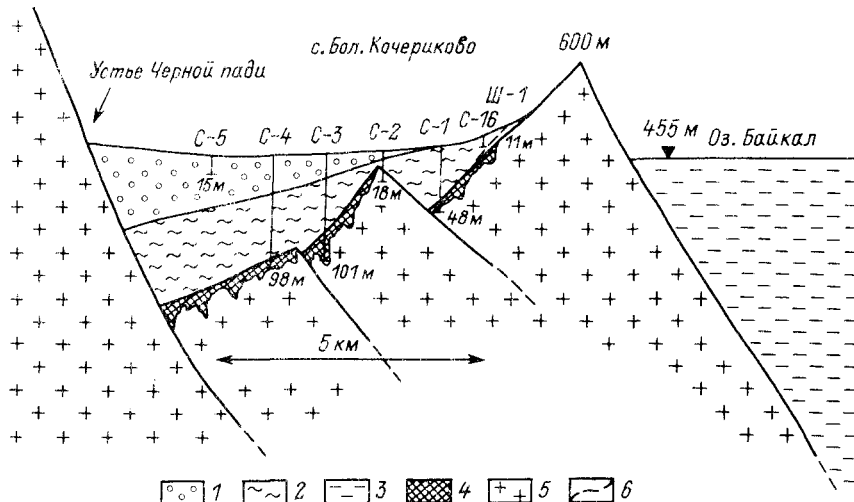


Рис. 50. Схема строения Кочериковской впадины.

1 — четвертичные аллювиально-проливиальные валуно-гальванические отложения; 2, 3 — халы гайкаев свита (2 — озерные, озерно-болотные бурьи глины; 3 — делювиальные красные глины); 4 — кора выветривания; 5 — кристаллический фундамент; 6 — разрывные нарушения.

миниатюрная рифтовая долина — аналог осевого грабена, выявляемого в структуре фундамента Байкальской впадины по данным НСИ.

На отрезке берега к северо-востоку от устья р. Зундук протягиваются Заминская, Онгуречская, Кочериковская промежуточные ступени. На них сформировались небольшие впадины. Более крупная и лучше изученная Кочериковская впадина сформировалась на блоке, поверхность которого наклонена к поднятым плечу рифта. От ванты Байкала впадина отделена вздернутым краем блока фундамента, рассеченного разломом. Впадина заполнена неогеновыми озерными глинами. Мощность отложений определяется глубиной погружения фундамента (рис. 50).

Севернее с. Кочериково до мыса Котельниковского прослеживаются еще несколько узких промежуточных ступеней. На них местами сохранились реликты мел-налеогеновой коры выветривания и развиты маломощные четвертичные отложения предгорий. Поверхность этих ступеней наклонена в сторону впадины. Некоторые из них расположены выше уровня Байкала (Шартлинская — около 400 м, Саган-Морянская — около 100 м), некоторые — по данным В. И. Галкина, на небольшой глубине (Нагорья., ., 1974). Благодаря последним напротив устьев долин, рассекающих склон Байкальского хребта, на таких участках сформированы аккумулятивные мысы, сложенные в основном отложениями селей и материалом вдольберегового потока наносов (Лут, 1978). Берега бухт здесь чаще абразионные, что связано с дефицитом наносов.

От мыса Котельниковского и далее к северу выделяется крупная Котельниковско-Тыйская ступень протяженностью более 100 км при ширине до 10–15 км. Она с запада ограничена Рельским и Тыйским разломами, а с востока – Кичерским и Куркулинским. Вдоль границы ступени с поднятым плечом протягивается узкая впадина, заполненная ледниковыми отложениями плейстоцена. Она напоминает Чернорудскую впадину. Котельниковско-Тыйская ступень во многом сходна с Тажеранско-Ольхонской.

В районе Чилимских и Слюдянских озер Котельниковско-Тыйская ступень осложнена Рель-Слюдянской впадиной. Она морфогенетически аналогична Кочериковской, но заполнена плейстоценовыми осадками (рис. 51). В районе г. Северо-Байкальска поверхность ступени и лежащие на ней среднелейстоценовые отложения расчленены береговыми сбросами и опущены на 100–150 м по вертикали (рис. 52). Возраст этих сбросов послесреднелейстоценовый. Особенности Котельниковско-Тыйской ступени указывают на формирование осложняющих ее морфоструктур в условиях растяжения и о молодом (послесреднелейстоценовом) возрасте последних крупномасштабных движений по сбросам.

К граничным разломам западного борта Байкальской впадины примыкает поднятое плечо рифта. Как отмечено выше, от внутривпадинных структур оно отделено высокими тектоническими уступами (Илешанов, Ромазина, 1981; Уфимцев, 1987). Особенности строения зоны тектонических уступов указывают на расширение впадины за счет горного обрамления. Наибольшей морфологической выразительности сбросовые эскары и фасеты достигают в Южной и Средней впадинах. Тектонический уступ на большей части Северной впадины значительно расчленен экзогенными процессами.

Поднятое западное плечо рифта включает морфоструктуры Ольхинско-Голоустинского плато, Приморского и Байкальского хребтов. Плато примыкает к впадине в ее юго-западной оконечности, от п. Култук до р. Ангары (Ламакин, 1968) и далее до р. Бугульдейки. Верхняя поверхность плато субгоризонтальна и практически совпадает с реликтами мезо-палеогенового пиненлена, который здесь образует большую часть водоразделов в интервале абсолютных высот 900–1100 м.

Приморский хребет протягивается от долины р. Бугульдейки до верховий р. Чанчур. Его поверхность постепенно подымается, образуя отчетливо выраженный асимметричный свод, который достигает максимальной высоты 1600–1700 м. Юго-восточный склон свода рассечен Приморским сбросом. Водораздельные пространства хребта образованы реликтами мезо-палеогеновой поверхности выравнивания в интервале высот 1300–1500 м. Они в значительной степени деформированы и на обеих «юкатях» хребта образуют широкие площадки, наклоненные (до 40°) от осевой зоны. Под поверхностью выравнивания на 100–300 м возвышаются вершины-останцы более древнего (мезозойского?) яруса рельефа. В древнюю поверхность выравнивания неглубоко врезаны широкие пологие долинообразные понижения – седловины – реликты неогеновой и четвертичной эро-

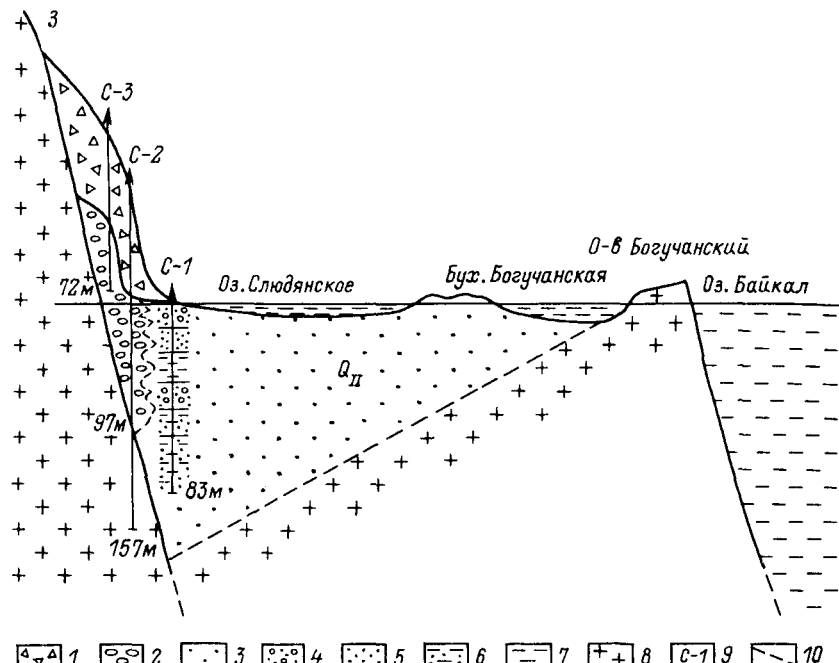


Рис. 51. Схема строения Слюдянской впадины.

1 - склоновые грубообломочные отложения; 2 - 7 - среднеплейстоценовые озерные (2 - галечники, 3 - пески разнозернистые, 4 - пески с галькой, 5 - пески мелкозернистые, 6 - пески алевритовые, 7 - алевриты); 8 - кристаллический фундамент; 9 - скважины; 10 - разрывные нарушения.

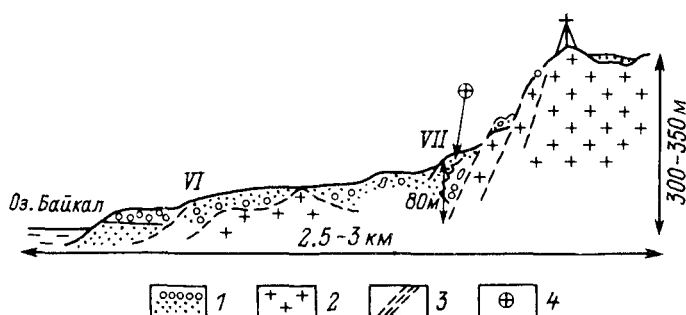


Рис. 52. Среднеплейстоценовые отложения, смещенные бортовым разломом Байкальской впадины. Мыс Курла (г. Северобайкальск).

1 - озерные, аллювиально-пролювиальные и ледниковые отложения; 2 - кристаллические породы; 3 - сбросы; 4 - местонахождение скелета мамонта раннего тайга и планктонных диатомовых байкальского комплекса. Римские цифры -- номера террас.

зионной сети. «Дряхлые» элементы рельефа глубоко прорезаны V-образными, ущельеобразными долинами современных притоков Байкала. На юго-восточных склонах хребта нологие древние четвер-

тические долины и связанные с ними своеобразные отложения гигантских глыб обрваны сбросовым уступом Приморского разлома и опущены к подножию склона на 100–200 м по вертикали (Смолянский, Ман, 1987).

Приморский хребет к северо-востоку сменяется Байкальским, который достигает 2–2,5 км абсолютной высоты. В поперечном сечении он представляет полусвод, вдоль максимальных отметок которого протягивается предельно крутой тектогенный уступ западного борта Байкальской впадины. В пределах хребта широко развиты ледниковые формы, и он имеет характерный альпинотипный облик. Реликты мезо-палеогеновой поверхности выравнивания на большей части уничтожены, хотя нельзя полностью исключать возможность их обнаружения.

Границы крупных морфоструктур поднятого плеча рифта строго совпадают с границами геологических структур. Ольхинско-Голоустенское плато сформировано на слабо приподнятом крае Сибирской платформы. Приморский и Байкальский хребты захватывают краевую зону Байкальской складчатой области, причем Байкальский хребет приурочен к позднекарельскому Северо-Байкальному вулканическому поясу, а Приморский охватывает раннекарельский складчатый комплекс.

Вдоль подножий западных склонов хребтов проходит цепь понижений, общей протяженностью более 500 км. Они отделяют морфоструктуры Приморского и Байкальского хребтов (поднятое плечо рифта) от поднятой Охотской возвышенности, а к северу от верховьев р. Лены – от Приленского плато.

С востока Байкальская впадина ограничена сложной системой поднятий. На севере протягивается крутое Баргузинское поднятие, представляющее тиничный асимметричный глыбовый свод. Западный склон хребта (более пологий) – ступенчатый. В высотном поясе 600–1000 м выделяется первая низкогорная ступень с мягкими формами рельефа. Более высокие ступени и водораздельная область интенсивно расчленены эрозионно-денудационными процессами, в том числе ледниковой экзарацией. Баргузинский хребет достигает отметок более 2800 м. В северной части хребта отмечен «...структурно-денудационный трог, заложенный вдоль оси свода...» (Геоморфология..., 1981, с. 38) и довольно значительные площасти изъятых поверхностей возможно, реликтов доилиоценового единства. К югу Баргузинский хребет сужается, заканчиваясь вблизи устья р. Баргузин, южнее которого Байкальскую впадину ограничивает Морской хребет максимальной высотой 1800 м и характерного ассимметричного строения. На крайнем юге и юго-востоке же впадине Байкала примыкает крупное Хамар-Дабанское водораздельное поднятие, в осевой части которого выделяется Верхнетункинская впадина. В целом горное окружение Байкальской впадины включает фланги Саяно-Хамар-Дабанского и Байкало-Станового поднятий, разделенных Селенгинской седловиной (Нагорный..., 1974) в районе Южно-Байкальской впадины. Эта область сниженного рельефа совпадает с зоной минимальных (34–36 км) значений

мощности земной коры, тогда как под Северо-Байкальской впадиной они почти на 10 км больше (Недра Байкала, т. д., 1981).

Поднятия восточного обрамления Байкальской впадины сопровождаются более или менее широкими предгорными ступенями, упомянутыми выше. Их поверхности наклонены в сторону впадины и на них сформировались наклонные аккумулятивные равнины. Ступени характеризуются устойчивой тенденцией к опусканию приозерных крыльев, сопряженному с периодическими поднятиями прихребтовых крыльев. В связи с этим в предгорной части формируются низкие террасы (обычно 3–4), высота которых в приозерной части снижается и иногда они сливаются, т. е. здесь имеет место соединение по типу «ложниц». Наиболее крупные предгорные равнины отмечаются на Южном Байкале (Утуликско-Солзанская, Муринско-Танхойская) и на Северном (Сосновская, Давицкая и др.).

Выделяются два этапа формирования современной поверхности аккумулятивных равнин. Древний (по-видимому, позднеплиоцен-среднелейстоценовый), с которым связано формирование аккумулятивного уровня, прорезанного современными реками на 80–120 и более метров, и позднелейстоценовый – прорезанный водотоками на 20–30 м. В предгорной части равнина сложена аллювиально-пролювиальными, ледниковыми, озерно-ледниковыми отложениями. Обвально-осыпные деавиально-пролювиальные отложения связаны обычно с ледниковыми интервалами плейстоцена. В приозерной части они фактически замещаются байкальскими отложениями. Вниз по разрезу также происходит смена грубобломочных наземных отложений озерными. Аккумулятивная равнина образовалась за счет заполнения озерными осадками быых прибрежных зон Байкала и последующего формирования аллювиально-пролювиального покрова. На ранних этапах граница озера проходила непосредственно у подножия коренных склонов, а теченье отодвинута в глубь впадины на несколько (до 10 и более) километров от первоначального положения.

Особой проблемой геоморфологии и неотектоники Байкальской впадины, перенимированной до сего времени, является вопрос о террасах Байкала. Он оживленно обсуждается в ряде работ В. Н. Думитриенко, В. В. Ламакина, Б. Г. Назышина, Н. А. Флоренсова и др. В. В. Ламакин (1968) считал, что на Байкале есть только четыре четвертичные террасы, при этом они формировались лишь на восточных (поднимающихся, но Ламакину) берегах. Многие площадки, которые В. Н. Думитриенко выделяла в качестве байкальских террас, оказались текточескими ступенями. Специальное изучение низких террас (Мац, 1974) подтвердило наличие четырех уровней. Возраст самой высокой из них (20–25 м) – верхний плейстоцен (заря). На восточных побережьях они отчетливо выражены в рельефе, тогда как на западных сохранились лишь реликты террас, что связано с высокой интенсивностью их денудационного разрушения. Террасы на западных берегах, как правило, цокольные, с маломощным покровом озерных галечников. Цоколи сложены кристаллическими породами. Крупность блоков уменьшается вверх по раз-

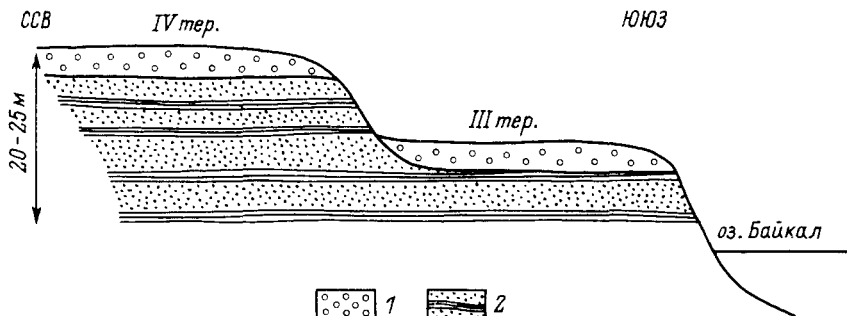


Рис. 53. Байкальские террасы с цоколем, сложенным среднеплейстоценовыми озерными отложениями. Район мыса Бирея, Сев. Байкал.

1 - озерные галечники аккумулятивной части разреза; 2 - озерные пески и алевриты с планктонными диатомовыми байкальского комплекса в цоколе террас.

резу. Террасы на восточных и южном побережьях частью аккумулятивные, частью цокольные, по цоколи их обычно сложены отложениями кайнозоя (рис. 53). Как отмечено выше, крупность обломков увеличивается вверх по разрезу.

Высота первой и второй террас выдержанна по всему Байкалу. Высота третьей меняется в связи с неотектоническими деформациями, скорость которых оценена в 0,1 см/год. Однозначно установлены более высокие, чем четвертая, четвертичные террасы. В частности, 80-метровая терраса на Тыйском мысу — не поднятая четвертая, как считал В. В. Ламакин, а самостоятельная (VII или VIII) среднеплейстоценовая терраса. Хорошо выражена 150-метровая терраса на мысе Валукан (Ламакин, 1968). На ее поверхности вскрыты озерные валунно-галечные отложения. Широкие абразионные площадки прослежены на о-ве Ольхон на высотах 150–180 м. На них рассеяны дисковидные (озерные) гальки полимиктового состава. Серия озерных террас до высоты 216 м над Байкалом хорошо выражена на Ушканых островах (Ламакин, 1968). Отмечены высокие террасы и на п-ве Святой Нос (Ескин и др., 1959). Байкальские отложения с эндемичной спонгиофауной на высотах в несколько сот метров описаны в районе Слюдянских озер и в долине р. Томиды (Думитрашко, Мартинсон, 1940). Толщи галечников известны на водораздельных седловинах в вершине долины р. Зундук и на водоразделе рек Чанчур—Глубокая. Эти и другие разрозненные данные говорят о наличии реликтов высоких озерных и аллювиальных геоморфологических уровней, но они требуют специального исследования.

### Осадочная толща

Байкальская котловина вмещает мощные бассейновые отложения, покровные толщи и сложный террасовый комплекс. Их возрастной диапазон охватывает весь кайнозой и, по-видимому, мааст-

рихт (Мац, 1987). Для береговых зон восточного и южного побережий и донных отложений акватории характерны разрезы, в составе которых преобладают озерные и аллювиально-озерные отложения. Они силоинным чехлом покрывают промежуточные ступени фундамента, наклоненные к оси впадины. Северо-западные прибрежные зоны или линены кайнозойского покрова, или он слагает небольшие площади и отличается малой мощностью, представленный главным образом четвертичным делювием. Линии в небольших впадинах на поверхностях промежуточных ступеней, наклоненных к поднятыму плечу рифта, распределены более древние озерные отложения.

Суммарная мощность кайнозойских отложений, по геофизическим оценкам, достигает 5–6 км в Южно-байкальской впадине и на севере Байкала (Нагорья..., 1974). В зонах подводных перемычек она снижается до нескольких сот метров (Николаев и др., 1985; Геолого-геофизические..., 1979). Наиболее представительный разрез вскрыт в дельте р. Селенги, где весь комплекс осадочных пород объединен в усть-селенгинскую толщу (Решения..., 1981). Последняя вскрыта скважинами до глубины 3100 м, а ее общая мощность, по-видимому, достигает более 5000 м (Замараев, Самсонов, 1959). Толща сложена преимущественно озерными полимиктовыми песками, песчаниками, алевролитами, глинами; изредка встречаются прослои бурого угля, часто — гравийные, гравийно-песчаные, гравийно-галечные отложения, редко — рассеянные гальки. Роль грубобломочных пород возрастает к прибрежным зонам. Разрез расчленен по спорово-пыльцевым данным. По Н. А. Логачеву, возраст нижней части разреза, по-видимому, эоценовый (Нагорья..., 1974). Вышележащая часть разреза охарактеризована миоценовыми, илиоценовыми и четвертичными царапинокомплексами.

Кайнозойские отложения расчленяются на три крупных литостратиграфических комплекса — верхнемеловой — эоценовый, олигоценовый — нижнеплиоценовый, верхнеплиоценовый — четвертичный. Наиболее сильны различия между верхнемеловым — эоценовым и более молодыми комплексами.

Верхний мел — эоцен (70–33 млн. л. н.) известен в ограниченном числе пунктов в контуре Байкальской впадины и на окружающих поднятиях. Возраст отложений определен преимущественно по литостратиграфической коррекции с Предбайкалем (Кайнозойские..., 1976). Отложения залегают на позднемеловой или эоценовой каолинитовой (местами латерит-каолинитовой) коре выветривания, которая является реликтом мицкого покрова, залегавшего на исходной поверхности выравнивания (Нагорья..., 1974; Кульчицкий, Ломносова, 1975). Осадочные образования представлены переотложенными продуктами коры выветривания — их цеолитовые фракции имеют каолинитовый состав, а более крупные сложены главным образом кварцем и обогащены другими минералами, устойчивыми к выветриванию. В контуре Байкальской впадины среди отложений различаются озерные, аллювиальные, проливные. Особенности пространственного распределения различных

генетических типов отложений свидетельствуют о заложении прообраза основных морфоструктурных элементов Байкальской впадины в позднем мелу—среднем налеогене.

Глубина эрозионного расчленения вряд ли превышала первые десятки метров, во всяком случае врезы, как правило, не проникали за пределы коры выветривания. Над почти плоской поверхностью возвышались останцы более древнего (мезозой?) яруса рельефа, высота которых достигала первых сот метров.

С концом мела—первой половиной налеогена связаны слабые проявления щелочно-базальтового вулканизма в области будущего подводного Академического хребта. Калий-argonовый возраст пород —  $52 \pm 8$  млн. лет (Екин и др., 1978), что близко к границе налеоцена и эоцена.

Литологические особенности отложений и налеоботанические данные показывают, что Прибайкалье в рассматриваемый отрезок времени входило в пределы влажного субтропического пояса.

Олигоцен—ранний плиоцен (33—3.5 млн. лет) слагает основную часть осадочной призмы Байкальской впадины. Наиболее широко распространены озерные отложения. Базальные слои комплекса имеют разный возраст — от олигоцена до позднего миоцена. Верхняя граница повсеместно датируется концом раннего плиоцена и также обычно фиксируется несогласием. Отложения наиболее широко распространены на южном и юго-восточном побережьях Южного Байкала, известны в Приольхонье и на о-ве Ольхон, а также на западном побережье и-ва Святой Нос. Геофизическими методами аналоги олигоцен-нижнеплиоценовой толщи выделены в донном разрезе Южной и Средней впадин Байкала и отмечено их отсутствие на дне Северного Байкала (Николаев и др., 1985), но в районе северной оконечности впадины мощность осадочной толщи более 3 км.

На Южном Байкале олигоцен-нижнеплиоценовые отложения обнаружены в цоколе позднеплиоцен-четвертичной аккумулятивной предгорной равнины на Хамар-Дабанском побережье. Традиционно в этом районе к олигоцену раннему плиоцену относили угленосную толщу мелководистых отложений — танхойскую свиту, а распространенные на соседних площадях грубобломочные отложения выделяли в аносовскую свиту верхнего (или среднего—верхнего) плиоцена (Логачев, 1958, 1964). Позднее установлено, что грубобломочные отложения образуют две разновозрастные толщи, одна из которых (осиновская свита) является стратиграфическим аналогом танхойской свиты, а другая (шанхаихинская свита), по фауне мелких млекопитающих, имеет верхнеплиоценовый возраст. Осиновская и шанхаихинская свиты разделены перерывом, сопровождавшимся интенсивным выветриванием и несогласием (Ман, 1985).

Полученные данные о стратиграфическом соответствии осиновской и танхойской свит имеют важное палеогеографическое значение, поддерживая геологическими аргументами давно развивавшиеся палеонтологами и биологами представления о существовании

крупных глубоководных озер в контуре Байкальской впадины с конца палеогена - начала миоцена (Кожев, 1972; Мартинсон, 1964; Понова, 1981).

В Средне-Байкальской впадине аналоги танхойской свиты установлены на западном побережье п-ва Святой Нос, где они выделяются в южносибирскую свиту.

Рассмотренные отложения слагают разобщенные на сучие площади, однако, судя по данным геолокации, они непрерывно прослеживаются под дном озера, образуя единую призму, формирование которой связано с крупным глубоководным бассейном.

На западных побережьях отложения рассматриваемого стратиграфического диапазона известны в центральной части Зап. Прибайкалья. Они слагают несколько небольших изолированных линз не древнее среднего миоцена, формировавшихся во впадинах на поверхности промежуточных ступеней. Озерные отложения центральных частей впадин тесно связаны с озерно-делювиальными и субаэральными отложениями. Линзы на о-ве Ольхон присутствуют осадки довольно значительного водоема, который возможно представлял залив крупного палеозера Средне-Байкальской впадины. Литогенетическая нестабильность разреза и сложность стратиграфических соотношений различных его элементов определяют сложность стратиграфических построений для этой части региона (Плиоцен..., 1982). Наиболее важное стратиграфическое и палеогеографическое значение имеют разрезы на о-ве Ольхон, где выявлена уникальная для Сибири последовательная серия палеонтологически датированных разрезов в диапазоне от среднего миоцена до нижнего плейстоцена включительно.

Среднемиоцен-нижнеплиоценовые отложения района объединены в халагайскую свиту (Логачев и др., 1964). Верхняя часть ее разреза фациально замещается сасинской толщей, в составе которой различаются отложения крупных озер, а также отложения субаэральные и малых озер (Плиоцен..., 1982). Халагайская свита выполняет малые тектонические впадины, сформировавшиеся на наклонных поверхностях блоков, ограниченных листрическими сбросами. Наиболее распространены ее выходы на о-ве Ольхон; разрозненные пятна пород известны в Приольхонье - в Загалмайской, Оингуренской, Кочериковской впадинах и у нос. Курма.

Нижняя часть разреза свиты включает богатую средне-позднемиоценовую фауну Тагайского местонахождения (Логачев и др., 1964). Угленосная часть разреза охарактеризована спорово-пыльцевыми комплексами и диатомовыми. Состав фауны и флоры характеризует теплоумеренные степные ландшафты (семиаридные) и мелководные водоемы. Ольхонский неоген прилегает разными горизонтами к наклонной поверхности кристаллического фундамента (рис. 49), демонстрируя несогласие растяжения.

Сасинская толща (верхний миоцен и нижний плиоцен) сложена озерными и субаэральными отложениями преимущественно глинистого состава. Мощность толщи во впадинах достигает 50--60 м, сокращаясь до минимума над поднятиями фундамента.

Характерны контакты прилегания базальных слоев к наклонной поверхности фундамента.

Озерные отложения представлены тремя типами разрезов. Первый формировался в крупном сравнительно глубоководном бассейне (Сасинское палеозеро) вероятно, заливе Палеобайкала. Второй представлен осадками лагун, третий формировался в мелководных озерах в небольших бессточных котловинах. Осадки второго и третьего типов озерных отложений протягиваются по периферии призмы отложений Сасинского палеозера, фациально заменяя их, и в свою очередь заменяются и переслаиваются с субаэральными осадками. Среди них обычны красноцветно-пестроцветные отложения, часто высококарбонатные. Многие субаэральные образования отнесены к палеопочвам — коричневым, красновато-коричневым, черным глиниоземам. Их современные аналоги формируются в тропическом и субтропическом поясах (Воробьев и др., 1987). В разрезах найдены остатки мелких и крупных млеконитающих — туролий и русциний, водных и наземных моллюсков, отложения получили палеомагнитную характеристику (Плюцен., 1982; Покатилов, 1985), в них встречены остатки харовых, диатомей, остракоды (Мац и др., 1985).

Литохимические особенности пород и специфика палеонтологической характеристики позволяют реконструировать ландшафты как сухие стени, временами полупустыни, временами саванны и оценивать палеоклиматы как теплоумеренные, временами сухих субтропиков. Особенности палеоклимата определяли лимнические процессы и семидентацию в малых озерах и слабо влияли на крупные озера.

Верхний плиоцен—эоцен — это палеостоицил наиболее полно представлен на южном и юго-восточном побережьях Южного Байкала. Новсеместно в этих разрезах господствуют грубообломочные отложения, сменяющиеся вверх по разрезу песками, выделенные в шанхаихинскую свиту. Значительная часть отложений накапливавшаясь в крупном глубоководном бассейне, во многом сопоставимом с современным Байкалом, но все же, судя по размерности обломочного материала, несколько уступавшим ему по динамическим характеристикам береговой зоны. Свита залегает то на докембрийском фундаменте в зонах поднятий, образуя аккумулятивный уровень 100–150 м над Байкалом, то несогласно перекрывает низкий цоколь, сложенный танхайской или осиновской свитами, в свою очередь образуя верхнюю часть цоколя 20–60-метровых четвертичных террас. Местами ее аналоги слагают верхнюю часть констративно наслоенного комплекса. На юго-восточных побережьях Среднего и Северного Байкала они выполняют небольшие впадины — седловиты. Указанные особенности залегания — свидетельство интенсивных дифференцированных движений блоков.

Шанхаихинская свита в нижней части разреза охарактеризована позднеплиоценовыми мелкими млеконитающими (сибирский вариант ханровского фаунистического комплекса — Адаменко и др., 1975) и комплексом диатомей с эндемичными байкальскими формами (Мац и др., 1985). В верхней части разреза ее аналогов

в Тункинских впадинах собраны мелкие млекопитающие, параллелизуемые с таманским комплексом (в широком смысле — Адаменко и др., 1984).

На тектонически устойчивых блоках вне зон влияния прибрежных поднятий выделяются собственно верхнеплиоценовые и эоцейстоценовые отложения. Наиболее обоснованно они расчленены на о-ве Ольхон, где выделены харанцинская свита верхнего плиоцена и почвенно-лессовая толща эоцейстоцена.

Верхний плиоцен представлен харанцинской свитой субаэральных глин, залегающей с перерывом на подстилающих, нередко озерных отложениях. Перерыв связан с поднятиями в начале позднего плиоцена. Накопление глин сопровождалось преобразованием их почвенными процессами (Воробьева и др., 1987).

По разрезу харанцинской свиты установлены направленные изменения литолого-геохимических особенностей пород, типа почвенных образований, состава наземной малакофауны, свидетельствующие о тенденции к похолоданию и увеличению плажности. В верхних горизонтах появляются криогенные деформации. В раннехаранцинское время климат был теплым с сухим жарким летом и влажной теплой зимой, в подзнехаранцинское время — умеренным, умеренно холодным. Свита охарактеризована мелкими млекопитающими, параллелизуемыми по возрасту с ханровским фаунистическим комплексом (Илиоцен. . ., 1982).

Эоцейстоцен представлен почвенно-лессовой толщей красновато-бурых лессовидных делювиально-эоловых суглинков с реликтами погребенных почв. Это древнейшие в регионе слои эпохи лессообразования. Разрез толщи включает до семи ритмов «суглинки — почвы». На нескольких уровнях отмечены деформации солифлюкционного типа. Породы охарактеризованы мелкими млекопитающими, составленными по возрасту с одесским фаунистическим комплексом (Покатилов, 1985), среди которых преобладают *Villaniya* — характерные степные формы.

Суммируя имеющиеся по Прибайкалью данные о ландшафтно-климатических особенностях эоцейстоцена, можно наметить три различные обстановки. Для раннего этапа характерны признаки иссушения климата, сопровождавшегося кратковременными глубокими похолоданиями и формированием степных, лесостепных растительных ассоциаций. В среднем эоцейстоцене распространились темнохвойные леса с примесью широколистенных форм. Климат был мягче современного. В позднем эоцейстоцене стало суще и прохладнее. Эти флуктуации параллелизуются с дунаем, дунаем-гюнцем и гюнцем.

После резкого усиления расчлененности рельефа в позднем плиоцене наметилась некоторая стабилизация и снижение энергии рельефа в конце плиоцена — эоцейстоцене.

Эоцейстоцен — нижний плеистоцен присутствует на о-ве Ольхон (нюрганская свита) и мысе Лударь. Нюрганская свита сложена озерными (с единичными диатомиями, в том числе эндемичных байкальских видов — определены Г. И. Черняевой)

и делювиально-пролювиальными песками с линзами пролювиально-озерных щебнисто-глыбовых отложений. Они накапливались в мелководной прибрежной зоне озерного бассейна, по-видимому, связанныго с Иллеобайкалом. Подопытные свиты залегают несколько ниже уровня Байкала. Близкие по возрасту до плейстоценовым слоям Юрганской свиты делювиально-пролювиальные пески и супеси постепенно сменяют лёссово-почвенные толщи низов зон плейстоцена в разрезе Тагай и известны в Заглинском разрезе. Они охарактеризованы мелкими млеконитающими второй половины зон плейстоцена с *Allorhaionys* (Покатилов, 1985). На мысе Лударь (Северный Байкал) нижнеплейстоценовые отложения также залегают вблизи уровня Байкала. В обоих районах они охарактеризованы остатками млеконитающих, позволяющих отнести вмещающие слои к верхам зон плейстоцена — низам плейстоцена (Плиоцен..., 1982); в Лударьском разрезе — мелкие млеконитающие, в составе которых *Prosiphneus* ex gr. *pseudormandi*, *Lagurus* (*Eolagurus*) ex gr. *simlicedens* и др.; в Юрганском — наряду с грызунами (группировка *Eolagurus*, *Lagurodon* с единичными *Allorhaionys*, *Mimomys*) многочисленны остатки древней лошади *Equus* sp., которая не моложе раннего плейстоцена (заключение Э. А. Вангенгейм), *Bison* и др. В низах разреза (ниже слоев с фауной) проходит инверсия Брюнес — Матуяма, а в Лударьском разрезе выделяется нижележащая прямо намагниченная зона (Харамильо?).

Но смене палинокомплексов и малакофауны в Юрганском разрезе в слоях, лежащих выше инверсии Брюнес — Матуяма, устанавливаются следы климатической обстановки мягче современной, а выше по разрезу — суровых условий, сопровождавшихся криогенезом (Плиоцен..., 1982). По-видимому, раннепиорганское время может параллелизоваться с гюнц-минделем, а позднепиорганское — с минделем, но следы ледниковых событий неизвестны.

Средний плейстоцен слагает байкальские террасы средневысотного (30—80 м) комплекса. Их типовой разрез представлен в районе г. Северобайкальска (устье р. Тыи). Здесь хорошо выражены четыре верхнеплейстоценовые террасы (до 20—22 м) и расположенные выше террасы (V—VII) и увалы в интервале высот 30—80 м, отнесенные к среднему плейстоцену. Последние сложены озерными аллювиальными и делювиальными песками и песками таласоподобных депрессий, аллювиально-пролювиальными валуно-галечными отложениями, мореноидными валунными суглинками. В озерных песках встречаются гигантские ледниковые валуны, свидетельствующие о существовании айсбергов. Новсеместные следы криогенеза. В разрезе V (30—35 м) байкальской террасы постоянны сингенические конвективные деформации на нескольких уровнях.

В разрезе 80-метровой террасы найден скелет мамонта раннего типа (Базаров и др., 1982). В озерных песках среди диатомовых — байкальские эндемичные виды (определения Е. А. Черемисиновой и Г. Н. Черняевой). Н. В. Кулагиной описаны спорово-пыльцевые спектры, главным образом травянистых растений. Среднеплейстоценовые осадки разорваны бортовым сбросом Байкальской впадины

и смещены почти на 200 м (см. рис. 51). По-видимому, этим смещением обусловлено формирование дозины прорыва в устье р. Тын.

На юго-восточном побережье среднеплейстоценовые пески слагают террасоуvalы в интервале высот 35—80 м, а также вскрываются в цоколях низких террас. На ряде участков полигенетические пески слагают плащеобразные покровы.

На протяжении большей части среднего плейстоцена господствовали стенные и лесостенные ландшафты. Уровень Байкала был максимально высоким. Выше 80-метровой байкальской террасы, которая должна быть отнесена к наиболее молодой части среднего плейстоцена, имеются разрозненные следы более высоких абразионных и аккумулятивных образований. Сейчас невозможно аргументированно датировать эти высокие уровни и оценить долю вклада в их формирование неотектоники и колебаний уровня Байкала. Но наиболее вероятен среднеплейстоценовый возраст большей их части. Возможно, что основную роль в их формировании сыграл, как это считает Н. А. Логачев (Нагорья..., 1974), подъем уровня вод, обусловленный тектоническим поднятием западного борта Байкальской впадины в начале плейстоцена, приведшим к разрыву Ираманзурского канала стока вод Байкала в Лену и поднятию уровня озера до высоты нового порога стока в районе южной оконечности Байкала, через систему р. Иркута в Енисей (Кононов, Мац, 1986).

Одним из важнейших палеогеографических событий среднего плейстоцена было оледенение (максимальное). Ледники полуокровного типа занимали значительные площади хребтов, окружавших Северный Байкал. Через выводные долины ледниковые языки синукались в Байкал, где формировались айсберги.

Верхний плейстоцен слагает байкальские террасы низкого (до 20—25 м) комплекса. Нижняя часть его разреза (рисс вюрм) обнажена в цоколях низких террас. В более молодой части разреза выделяются озерные, ледниковые, покровные и склоновые отложения, которые расчленены на два ледниковых и один меандрированный горизонты.

*Нижний ледниковый* (томинский, сопоставляется с ермаковским) горизонт включает образования горно-долинного оледенения, морены которого достигают береговой зоны Байкала, комплекс склоновых и флювиогляциальных отложений (нижняя коллювиально-аллювиальная пролювиальная толща) и озерные отложения IV (20—22 м) байкальской террасы.

Ледниковые образования выделены на Северном Байкале. Считается спорным их наличие на Хамар-Дабанском побережье (Ивановский, 1982), но нашими материалами подтверждаются давнишние представления об их присутствии на юге Байкала (Шальшин, 1955). В горах Северного Прибайкалья ледниковые отложения лежат на дне долин, на многие сотни метров прорезающих поверхность, с которой связаны среднеплейстоценовые ледниковые образования (Салон, 1964; Геоморфология..., 1981). Морены включают линзы флювиогляциальных песков, а также гальки, заимствованные из подстилающих озерных и аллювиальных отложений.

Единичным радиоуглеродным определением возраст морены оценен в  $39\,240 \pm 1780$  лет (СОАН-1626). Последнее охлаждение было многофазным. Уровень Байкала во время разных фаз был, по-видимому, различным: в одних случаях ниже современного, в других — близок к нему (Галкин, 1961; Лут, 1964).

Палинологические данные свидетельствуют о формировании растительных группировок холодных степей и ерниковых ассоциаций. Имеющиеся в литературе данные о наличии темнохвойной тайги на Байкале в это время (Белова, 1975) опираются на палинокомплексы, определенные из морен, в составе которых в массе присутствует обломочный материал, заимствованный из подстилающих отложений, очевидно, что при этом в морену попадали также споры и пыльца.

Перед фронтом морен простираются наклонные аккумулятивные равнины, сложенные флювиогляциальными валунно-галечными отложениями и отложениями озер и болот перигляциальной зоны. В тылу морен распространены ленточные алевриты плотинных озер. Этот комплекс осадков прорезан современными водотоками на 20—25 м, и их поверхность по своему гинсометрическому уровню соответствует IV байкальской террасе.

Озерные отложения томинского горизонта слагают IV (22—25 м) байкальскую террасу. В ее типовом разрезе на мысе Лударь ритмично чередуются озерные галечники и субаэральные пески, охарактеризованные соответственно лесными и степными спорово-пыльцевыми спектрами. Вблизи тылового шва пески фациально замещаются суглинками с криогенными деформациями. В связи с чем следует полагать, что осложнение было вызвано не только иссушением климата, но и похолоданием. В фазы похолодания-иссушения уровень Байкала снижался и накапливались пески, в фазы потепления-увлажнения — поднимался и формировались озерные галечники. В целом выделяется не менее трех фаз похолодания и иссушения, разделенных двумя фазами потепления и увлажнения.

*Второй межледниковый горизонт* (тalamунский, сопоставляется с каргинским) представлен озерными ленточными алевритами («таламунские глины») плотинных озер в тылу морен, более молодыми аллювиальными песками (бираканскими) и песчано-галечными накоплениями III байкальской террасы. Ее высота, колебаясь от 9,5 до 21—24 м, обычно равна 12—14 м. Типично выраженный нижний горизонт (губа Туркуйт, где терраса примыкает к морене) представлен глыбово-галечными отложениями. Глыбы — перлювий морены, промежутки между ними заполнены хорошо окатанными озерными гальками.

Средний горизонт чаще всего сложен озерными песчано-галечными отложениями, местами замещающимися светло-серыми аллю-

виаглинистыми песками и галечниками. В ряде разрезов они охарактеризованы лесными «теплыми» наливокомплексами.

В верхней части разреза террасы лежат бурые песчано-галечные отложения озерного и аллювиально-пролювиального генезиса, фациально замещающие друг друга. В них часто наблюдаются мелкие криогенные деформации. Повсеместно на поверхности III террасы развиты мощные покровные суглинки или делювиально-коллювиальные щебнисто-глыбовые отложения с криогенными деформациями. На мысе Курла покровные отложения, согласно данным А. М. Сизикова и И. Е. Шмыгуна, датированы по  $C^{14}$  —  $14\,150 \pm 960$  (СОАН-1398) и  $13\,160 \pm 960$  (СОАН-1396 к). Таким образом, формирование III террасы охватывает довольно большой стратиграфический интервал, в целом отвечающий вюрму (без наиболее молодых слоев).

*Второй ледниковый* (рельский) горизонт представлен отложениями II байкальской террасы и ледниковыми образованиями карового и горно-долинного оледенения. Конечные морены последнего на западном побережье Северного Байкала выходили на прибрежную равнину. Вторая терраса почти повсеместно хорошо выражена на восточных, юго-восточных побережьях, изредка ее реаликты сохранились на западных побережьях. Высота террасы, колебляясь от 6 до 12 м, обычно равна 8 м. Имеющиеся данные говорят о незначительных и проявляющихся линиях на отдельных участках неотектонических деформациях. Наиболее характерны для разреза террасы мелкие («пуговичные») озерные галечники и пески. В их разрезе местами хорошо выражена ритмичность. Очень характерны интенсивные криогенные деформации и отсутствие покровных отложений.

Возраст II террасы — конец плейстоцена — начало голоцен. Ее поверхность перекрыта золовыми песками, радиоуглеродный возраст которых 8—9 тыс. лет ( $8767 \pm 395$  л. н. — Rb-53, датированы в Севморгео В. С. Векслером), и ископаемой почвой возрастом  $10\,325 \pm 85$  л. н. (СОАН-1433).

Озерные фации нижнего голоцена представлены нижней частью разреза I (3 м) байкальской террасы, которая соответствует высокой пойме рек и хорошо прослеживается на значительном протяжении восточных и юго-восточных побережий. Местами отмечается слабо развитая нижнеголоценовая почва ( $C^{14}$ :  $10\,325 \pm 85$  л. н. — СОАН-1433 и  $9280 \pm 40$  л. н. — СОАН-1056). Терраса сложена пляжевыми песками, галечниками, лагунными глинисто-алевритовыми отложениями. Г. Н. Черняевой и В. А. Федоровой в них описаны донные и эпифитные диатомеи того же видового состава, что и современные.

Наиболее полный разрез оптимума голоцена представлен в разрезе чивыркуйских торфяников, возраст которых от 7990 до 4560 л. н. (оптимум —  $6580 \pm 50$  — СОАН-1430), голоустенской черноземовидной ископаемой почвы возрастом по  $C^{14}$   $8005 \pm 210$  —  $7810 \pm 90$  (СОАН-1597, 1597А) и более молодых ископаемых почв. К этому же времени относится ряд мезо- и неолитических поселений в береговой полосе Байкала. Среднеголоценовые слои охарактеризованы наливокомплексами темнохвойной тайги.

В позднем голоцене отмечены следы похолодания, фиксированные криогенными деформациями, в том числе деформирована ископаемая почва, возраст которой по  $C^{14}$   $5180 \pm 40$  (СОАН-1589).

## История развития котловины

Работами Н. А. Флоренсова и Н. А. Логачева показаны два основных этапа развития — ранний орогенный и собственно рифтовый поздний орогенный (необайкальский), граница между которыми близко совпадает с границей раннего и позднего плиоцена. Наиболее полно этанность развития рассмотрена Н. А. Логачевым (Нагорья, ..., 1974). Позднейшие исследования позволили внести определенные уточнения и корректиды. Согласно им, выделяются докарстовый и рифтовый мегаэтапы (Мац, 1987). Приведем их краткую характеристику.

**Докарстовый мегаэтап** включает геологические события с начала протерозоя и до конца мезозоя, предопределившие место проявления рифтогенеза.

**Рифтовый мегаэтап** (70—0 млн лет) охватывает конец мела и кайнозой. Но литолого-формационным, тектоническим, палеогеоморфологическим критериям он разделен на предрифтовый (крипторифтовый) и рифтовый этапы.

**Предрифтовый этап** (маастрихт—эоцен — 70—35 млн л. н.). Главным его содержанием было денудационное выравнивание обширных территорий, которое происходило в условиях влажного жаркого субтропического климата. Сформировавшаяся в Прибайкалье поверхность выравнивания и послужила исходной поверхностью, за счет преобразования которой возник морфоструктурный комплекс рифтовой зоны.

Выравнивание сопровождалось формированием линейно-площадной каолинитовой (латерит-каолинитовой) коры выветривания и накоплением прерывистого осадочного покрова, сложенного «зрелыми» продуктами, сохраняющими преемственность состава осадочного вещества от коры выветривания. Прибайкалье представляло собой слабо приподнятое денудационное плато, круто обрывавшееся на юго-востоке высоким уступом в зоне Селенгино-Витимского разлома (Нагорья, ..., 1974). В рельфе плато наметились общие контуры, прообраз морфоструктур, развившихся впоследствии в рифтовый ансамбль. В пределах краевого поднятия Сибирской платформы (Олхинско-Голоустенское плато) рельеф поверхности был близок к пепелену. В складчатой области размах рельефа достигал первых сотен метров. Выровненная поверхность была осложнена овальными и плоскими опусканиями. Образование обширных пенепленизованных пространств свидетельствует об изостатической уравновешенности литосферы и выравнивании не только рельефа дневной поверхности, но и рельефа поверхности Мохо.

В области будущей Байкальской рифтовой впадины сформировались понижения рельефа, занятые озерами, отдельные грабеноподобные морфоструктуры и имели место первые проявления

щелочно-базальтового вулканизма. Это — свидетельство геодинамической обстановки растяжения, что служит одним из аргументов выделения предрифтового этапа. В области современного Приморского хребта существовало низкое сводовое поднятие, сопровождавшееся на флангах продольными речными долинами. Фрагменты крупной транзитной продольной долины отмечены и на севере Байкальской впадины.

Особенности проявления позднемелового эоценового этапа в Прибайкалье были аналогичны таковым на обширной территории Центральной Азии, где этот отрезок времени характеризовался минимальными контрастами рельефа и формированием каолинитовой и латеритной кор выветривания (Николаев, 1967; Девяткин, 1981).

Осадочные комплексы предрифтового и рифтового этапа относятся к кардинально различным формациям и разделены fazой тектогенеза (тункинской) в первой половине олигоцена (27—25 млн. л.), близкой по времени савской fazе, по Г. Нтилле.

**Рифтовый этап** (30—0 млн л.) разделяется на две стадии.

*Протобайкальская (раннеорогенная) стадия* (30—3.5 млн л.) была временем формирования крупных не полностью компенсированных осадками рифтовых впадин, в которых возникли глубоководные бассейны — прямые предшественники Байкала. В них по крайней мере с олигоцена обитали моллюски эндемичного байкальского семейства *Baicaliidae* (Мартинсон, 1961; Попова, 1981), а со второй половины миоцена (в Тункинском разрезе) — холодноводный комплекс планктонных диатомей с *Aulacosira (Melo-sira) baicalensis*, *Cyclotella baicalensis* и др. (Черняева и др., 1985). Осадки бассейнов похожи на современные донные осадки Байкала. Активное опускание дна впадин обусловливало низкое положение базиса эрозии и развитие глубоких эрозионных врезов в прибрежных зонах. С этим связано поступление в бассейны седimentации наносов полимиктового состава и грубообломочного материала. Скорость осадконакопления оценивается в 8—12 см/тыс. лет.

Крупный бассейн сформировался в пределах Южной и Средней впадин. Он имел палеозалив в зоне Маломорского рифта. Сколько-нибудь крупные понижения рельефа и озерные бассейны на месте большей части современной Северной впадины существовали лишь в ее северной половине (Лут, 1964; Нагорья..., 1974).

*Необайкальская (собственно орогенная) стадия* (3.5—0 млн. л.). В это время происходил рост Байкальского свода, углубление и разрастание рифтовых впадин, морфоскульптурное (в том числе ледниковое) моделирование рельефа. Резко возросла расчлененность рельефа, увеличился поток грубообломочного материала. В начале плейстоцена (0.7—0.8 млн л.) быстро поднималось западное плечо рифта. Это привело к разрыву существовавшего в позднем плиоцене Ленского направления стока вод Байкала, к деформации тальвегов долин системы Ираманзурки и повышению уровня Байкала, обусловленному более высоким, чем прежде, положением нового порога стока у южной оконечности Байкала (Нагорья..., 1974; Конопов, Мац, 1986). Эта фаза поднятий,

названная приморской, близка по времени проявления валахской фазе, по Г. Штилле. Фаза движений (поднятий и опусканий) по бортовым сбросам, отмеченная также в конце среднего начале позднего плейстоцена (0,15—0,1 млн л.), названа тыйской. Эти фазы расчленяют необайкальскую стадию на приподстадии.

*Ранняя подстадия* (3,5—0,8 млн лет) характеризуется максимальной расчлененностью рельефа прибортовых зон в начале и снижением энергии рельефа во второй половине. Соответственно в этих зонах грубообломочные отложения («охристая моласса») сменились вверх по разрезу преимущественно песчаными. На тектонически устойчивых блоках накапливались красно-бурацветные глинистые толщи. Интенсивно проявились сдвиговые движения. С ними связано формирование впадин трансформного разлома — Быстринской и возможных ее аналогов, а также впадин-сателлитов на восточных прибортовых зонах — Давицкой и других. Возможно, с этой подстадией связано вырождение ряда озерных впадин Байкальской рифтовой зоны (Тункинской, Баргузинской, Верхнеангарской) и превращение их в суходольные. Скорость формирования мощности осадочной толщи оценивается в 80 см/тыс. лет.

*Средняя подстадия* (0,8—0,1 млн л.) отличалась сравнительно низкой энергией рельефа, высоким уровнем вод Байкала и массовым накоплением песков.

*Поздняя подстадия* (0,1—0 млн л.) знаменуется значительными поднятиями и опусканиями, предельной расчлененностью рельефа, формированием максимальных глубин Байкала, который приобрел современный вид. Скорость формирования мощности осадочной толщи достигала 200 см/тыс. лет. Чрезвычайно интенсифицировалась глубинная эрозия, и врезы относительно средней подстадии составили многие сотни метров. В связи с этим интенсивно уничтожаются реликты пологосклонного рельефа, созданного в более ранние этапы кайнозоя, но тем не менее они до сих пор сохранились на значительных площадях.

Образование Байкальской впадины обусловлено рифтогенезом. Комплексными геофизическими исследованиями (Логачев, Зорин, 1984; Недра Байкала..., 1981) выявлены резкие изменения мощности земной коры: от минимальных значений — 34—35 км, установленных над центральной, наиболее глубоководной частью Байкала, до 40—44 км под Северным Байкалом. Эти существенно различные блоки сочленяются вблизи линии Обручевского сброса, диагонально пересекающего Байкальскую впадину.

Байкальская рифтовая зона приурочена к западной окраине обширной области с аномальной мантией, которая охватывает значительную территорию Центральной Азии, вовлеченнную в кайнозойский орогенез. Непосредственно под рифтовой зоной располагается выступ аномальной мантии («рифтовая подушка»), верхняя кромка которой примыкает к подошве земной коры. Западная граница аномального слоя субвертикальна и совпадает с глубинным разломом. К юго-востоку аномальный слой простирается за границей Байкальской рифтовой зоны. Выступ аномальной мантии, имеющий в поперечном

сечении асимметричную грибовидную форму, узким вертикальным каналом соединяется с астеносферой. Мощность аномальной мантии 17 км, а ее кровля и подошва залегают соответственно на глубинах 38 и 55 км (Недра Байкала..., 1981). Наиболее высоко ее кровля поднята под средней частью Байкальской впадины. В рельефе дневной поверхности этой зоне соответствует Селенгинская перемычка — область минимальных высот поднятий, окружающих Байкальскую впадину.

Разрабатываются модели активного и пассивного рифтогенеза. В соответствии с первой внедрение астенофера в виде широкого выступа вызывает изостатическое вздымание сводового поднятия. «Рост высоты этого выступа (первая стадия развития зоны), а затем и растекание его в стороны (вторая стадия) обусловили растяжение коры, ориентированное вкрест простирания поднятия» (Логачев, Зорин, 1984, с. 123). Это привело к формированию рифтовых впадин.

В модели пассивного рифтогенеза первичным является растяжение обширных областей земной поверхности, а рифты рассматриваются «... как линейные зоны деформации в литосфере, возникающие в поле региональных растягивающих напряжений. При этом положение отдельных зон определяется не глубинными причинами, а неоднородностью субстрата» (Казьмин, 1987, с. 187). Растяжение и утоньшение литосферы приводит к опусканиям и формированию впадин, а также вызывает «пассивное» поднятие аномальной мантии, которое приводит к позднейшему росту сводового поднятия. Анализ регионального историко-геологического материала по Байкальской рифтовой зоне показывает его согласованность с моделью пассивного рифтогенеза.

Анализ тектоники Южной и Юго-Восточной Азии привел к выводу об образовании структур Байкальского региона в связи с Индо-Евразиатским столкновением. Л. И. Зоненшайн с соавторами показал, что структуры этого региона сформировались в связи с перемещениями нескольких микроплит, образовавшихся при раздроблении Евразиатской плиты (Геолого-геофизические..., 1979).

Анализ и сопоставление кайнозойских формаций Байкальской впадины и других кайнозойских впадин южного пояса гор Сибири и Монголии показал их общее сходство и синхронность основных кайнозойских геологических событий, что заставляет думать об общих причинах. Наиболее вероятно связать их с Индо-Евразиатским столкновением. Важнейшее значение в определении места проявления рифтогенеза имели структурные неоднородности литосферы, созданные в итоге процессов дорифтового этапа.

## Глава 3

### РЕЛЬЕФ ДНА

На дне Байкала выделяются прибрежная отмель, или шельф, глубоководный склон и ложе (рис. 54).

Прибрежная отмель формируется под воздействием абразии и аккумуляции. Абрационный тип отмели развит преимуще-

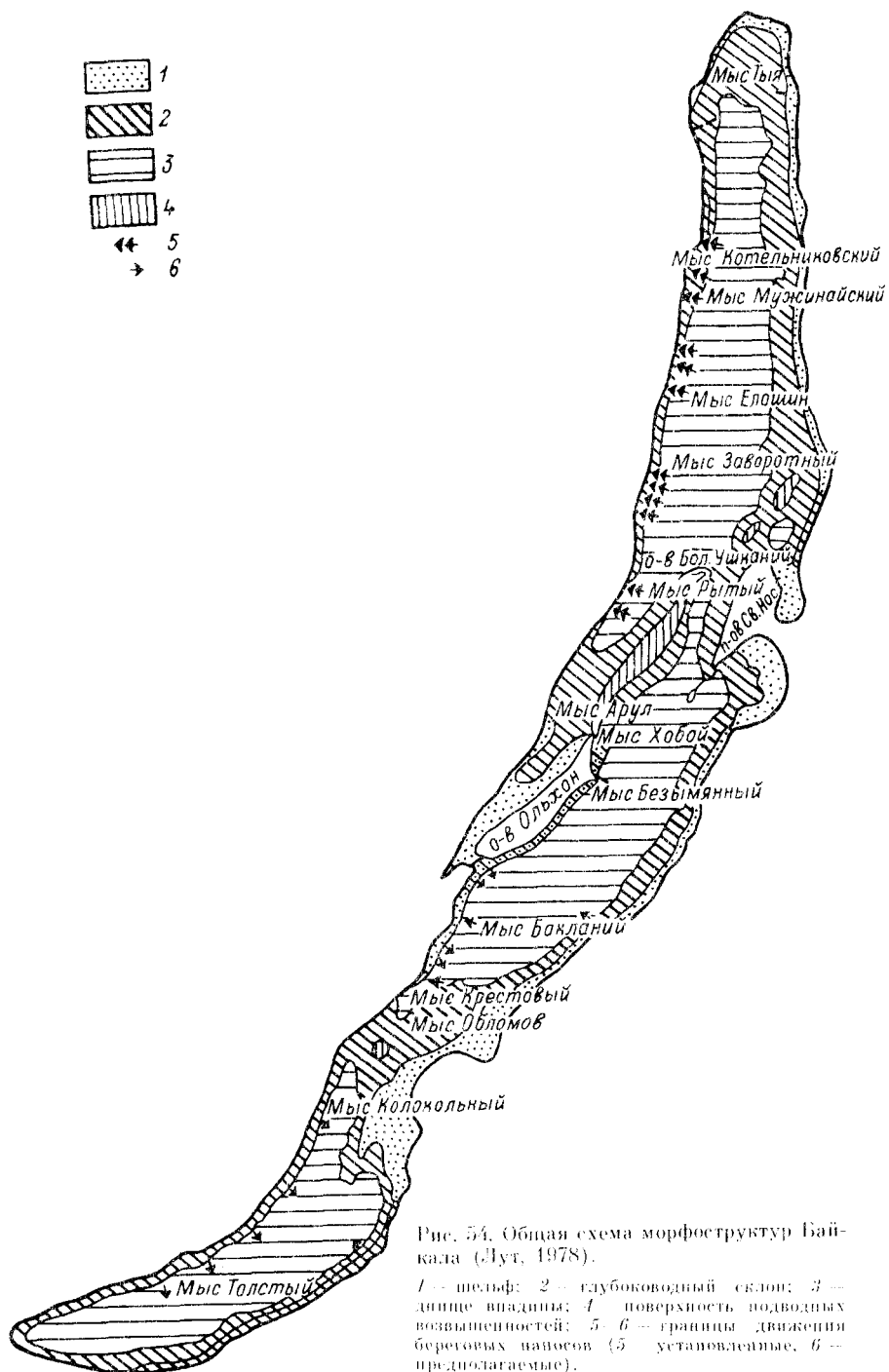


Рис. 54. Общая схема морфоструктур Байкала (Лут, 1978).

1 — шельф; 2 — глубоководный склон; 3 — линии впадин; 4 — поверхность подводных возвышенностей; 5, 6 — границы движения береговых настоев (5 — установленные, 6 — предполагаемые).

ственno у высоких берегов, сложенных кристаллическими породами, уходящими непосредственно под уровень воды, а также там, где в береговой зоне скапливается незначительное количество пролювиально-делювиального материала, образующего наклонную предгорную равнину. Абрационный шельф окаймляет около 70 % берегов Байкала.

Типичное абрационное мелководье наблюдается вдоль большей части западного берега, особенно на участке от Култука до пролива Ольхонские Ворота, а также вдоль восточных берегов о-ва Ольхон. Берега здесь крутые, местами даже обрывистые. Большие глубины наблюдаются недалеко от берега, что обуславливает небольшую ширину шельфа. Докембрийские кристаллические породы (сланцы, гнейсы, гранитогнейсы, кристаллические известняки) весьма устойчивы к разрушению волновыми процессами. К тому же энергия волнения у западного берега недостаточно высокая, так как преобладают западные ветры. Выдающиеся в озеро мысы при продольных ветрах подвергаются значительному воздействию волн. Мысы Толстый, Половинный, Колокольный окаймляют широкая мелководная платформа. Незначительно выдвинутые в озеро мысы Ангинский, Улан-Нур, Орсо, Ижимей имеют очень узкую платформу. Узкая абрационная платформа характерна также для отдельных участков восточного берега. Она наблюдается между мысами Толстый и Бакланий в Среднем Байкале и местами также на западных берегах п-ва Святой Нос, на Черемшанском берегу (севернее Чивыркуйского залива) и в других местах.

Абрационно-аккумулятивный тип платформы развит главным образом вдоль низких восточных берегов Байкала, сложенных в основном песчано-галечечно-валунными отложениями озерно-речного, водно-ледникового и ледникового происхождения. Подобные берега занимают около 45 % всего побережья Байкала и распространены в междуречьях Утулик—Салзан и Хара-Мурин—Снежная и далее на северо-востоке до с. Новорот. В Среднем Байкале это участки в районе губ Малая, Сухая, Таланка, Безымянная. Такими же берегами представлены участки северо-восточного побережья Байкала от р. Сосновки до губы Дагарской. Глубина на границе шельфа и глубоководного склона составляет, как правило, 20 м (Лут, 1964).

При выработке профиля равновесия в третичных породах, состоящих из переслаивающихся пластов различной прочности (глины, угли, мергели), происходит избирательная абразия и более прочные породы образуют на дне уступы, стенки, отдельные выступы, а мягкие — различные углубления. Конфигурация и ориентировка этих форм определяются структурными особенностями третичной толщи. Особенно сложным становится рельеф дна там, где третичные отложения сильно дислоцированы. На участках побережья, подвергавшихся оледенению, широко распространены банки и мели, образованные валунами, вымытыми из морены. Иногда над поверхностью воды выступают отдельно лежащие крупные валуны.

Аккумулятивный шельф распространен на всех участках, лежащих против устьев больших и малых рек. Аккумулятивным можно считать также шельф, примыкающий к некоторым мысам на северо-

западном берегу. Основное направление движения прибрежного потока напосов около мысов Большой и Малый Солонцовские ориентировано с юго-запада на северо-восток. Достигая оконечности мысов, поток попадает в зону так называемой волновой тени, где происходит аккумуляция части влекомого материала. Аналогичный генезис имеют мелководья, развитые у северо-восточных берегов Байкала около Кедровых мысов. Далеко выдвинувшийся в озеро конус выноса речки Заворотной блокирует от воздействия волнения участок берега на протяжении 10—15 км при юго-западных ветрах.

Процесс формирования прибрежной отмели Байкала активно продолжается в настоящее время. Особенно он активизировался в связи с изменением уровня Байкала после завершения строительства Иркутской ГЭС.

Рельеф глубоководных склонов. Западный борт Байкальской впадины расположен в зоне громадного сброса, и средние уклоны глубоководного склона очень велики — до 30—35°. Местами крутизна подводного склона еще большая: в Южном Байкале в районе мыса Колокольного она достигает 60—65° и на расстоянии 800—900 м от берега глубины превышают 1300 м. Несколько более пологий, но все же достаточно крутой склон продолжается и дальше на северо-восток, до пролива Ольхонские Ворота, и вдоль восточного берега о-ва Ольхон. Крутизна ольхонского подводного склона — около 45°.

На северо-западных берегах Байкала (севернее мыса Рытого) паряду с береговыми откосами, сложенными коренными породами, на значительном протяжении вдоль берега тянется предгорная равнина, образованная в результате слияния конусов выносов и постоянных и временных водотоков, расчленивших высокий и крутой восточный склон Байкальского хребта. Глубоководный склон здесь имеет очень слабое расчленение, так как вследствие отсыпки рыхлого материала полностью снивелированы все неровности коренного дна. Однако в нижней части склона, в районе мысов Солонцовых, Заворотного и некоторых других, в профилях дна вырисовываются характерные бугристые очертания — признак широкого развития оползней и оплывин. В местах, где насыпной плащ на подводном склоне отсутствует и склон сложен коренными породами (район речки Ледяной, мысов Хибелен, Красный Яр и др.), он значительно расчленен рытвинами и бороздами, следующими от прибрежного мелководья до глубин 100 м и более. Эти формы придали склону своеобразные очертания, напоминающие гофрированную поверхность.

На крайнем северо-западе Байкальской впадины между мысом Лударь и Нижнеангарском глубоководный склон некрутой и относительно плавно переходит в днище впадины. Поверхность склона расчленена подводными долинами, которые проникают глубоко, даже в авандельты рек Слюдянки и Тыи, и вершины их отстоят от берега на несколько десятков метров. Особенно сильно расчленена авандельта р. Тыи, внешний край которой приобрел характерное бахромчатое очертание.

На восточном склоне Байкальской впадины имеются формы рельефа как явно тектонического происхождения (эндогенные), так и созданные экзогенными процессами. К эндогенным следует отнести продольные уступы на подводном склоне, обнаруженные между речками Снежной и Выдриной и к юго-западу от речки Безымянной, а также ряд более мелких уступов, большинство из которых расположено в верхней части склона. Ориентированы они большей частью параллельно берегу.

Экзогенными формами рельефа являются подводные дельты речек Безымянной, Утулика, Хара-Мурина, Мишихи и др., а также многочисленные оползневые формы, широко развитые по всему подводному склону. Характерные оползневые (бугрестые) формы рельефа обнаружены даже в местах минимальных уклонов дна (около  $2^{\circ}$ ), в зоне перехода от склона к днищу. К этому же типу рельефа, по нашему мнению, должны быть отнесены также серии гряд в районе губы Мамай на глубинах 300—500 м. Гряды имеют северо-восточную ориентировку и относительную высоту около 100 м.

Глубоководный склон расчленен подводными долинами (каньонами), которые распространены весьма широко, особенно на восточном склоне озера. Каньоны в некоторых случаях продолжают наземные долины. Однако очень часто они генетически не связаны с ними. Случается и так, что небольшие наземные долины имеют мощное подводное продолжение.

С своеобразен участок дна Байкала, примыкающий к обширной дельте р. Селенги, общей протяженностью более 60 км. Дельта занимает понижение между хребтами Хамар-Дабаном и Морским и вклинивается в пределы озера более чем на 20 км. Не менее чем 10 км дельта продолжается под водой. Как бы из-под осадков дельты с южной и северной сторон выходят две грядообразные возвышенности с относительной высотой до 1000 м. Протяженность каждой из гряд достигает 30—35 км. Их простиранье совпадает с общей ориентировкой Байкальской впадины в этом районе. Гряды, по-видимому, являются отрогами одной возвышенности, засыпанной в центральной части выдвинувшейся дельтой Селенги (Лут, 1964). Вдоль восточной стороны предполагаемой возвышенности через всю подводную часть селенгинской дельты отмечена непрерывная цепь понижений, большинство которых имеет резко асимметричный попеченный профиль, указывающий на сбросовое происхождение этих форм. Высота сбросового уступа в некоторых случаях достигает 100 м, а расположение его совпадает с общим падением восточного склона возвышенности и в какой-то мере отражает развитие вдоль него разрывных дислокаций. Общая протяженность возвышенности достигает 100 км.

Между северным отрогом возвышенности и дельтой Селенги (в районе протоки Северной) имеется впадина глубиной до 600 м, получившая название «пучина». К востоку от нее располагается один из крупнейших заливов на Байкале — Провал, площадью около  $200 \text{ км}^2$ , образовавшийся при сильном землетрясении в начале 1862 г. Район дельты Селенги подвержен частым землетрясениям, при кото-

рых происходят значительные изменения рельефа дна Байкала. Существенные изменения произошли при землетрясении силой до 9 баллов в августе 1959 г. Эпицентр его располагался под дном Байкала к северу от залива Провал в 10–18 км от береговой линии (Солоненко, Трекков, 1960).

В 1958 г. Байкальской лимнологической станцией в районе зал. Провал была произведена съемка рельефа дна методом эхолотирования. Сравнение этих данных с повторными промерами в районе эпицентра землетрясения показало, что в нижней части склона (примерно с его середины) произошел большой оползень, захвативший довольно значительный участок склона (до 10 км). Мощность оползшего слоя составляет около 30 м. Глубины Байкала за пределами подводного склона увеличились на 10–15 м.

Современная чаша Байкала состоит из трех обособленных котловин — Южной, Средней и Северной, разделенных перемычками. Одна из них с минимальной глубиной 360 м находится против дельты р. Селенги. Средняя и Северная котловины разделены Академическим хребтом, который пересекает озерную впадину по диагонали от о-ва Ольхон до архипелага Ушканьи острова и далее к восточному берегу по направлению к устьям рек Туркулика и Сосновки. Район наибольших глубин Байкала (более 1600 м) расположен в Средней котловине между мысами Ижимей и Хара-Хушун — в 8–12 км от Ольхонского берега, т. е. вблизи западного (бросового) берега. В пределах ложа Байкала его дно довольно ровное.

Перемычка против дельты Селенги многими авторами рассматривается как результат аккумуляции речных наносов реки. Однако имеется и иная точка зрения, согласно которой Селенгинская перемычка обязана своим происхождением деформации коренного дна впадины (Лут, 1964, 1978). Анализ последних данных позволяет сделать вывод, что Селенгинская перемычка представляет крыло погребенной сбросовой ступени в коренных породах дна.

Академический хребет на всем протяжении имеет средние глубины 300–350 м, минимальную — 260 м. В одном месте хребет-перемычка выступает над поверхностью озера в виде Ушканьих островов. Западный склон Академического хребта, обращенный к Северной котловине, пологий, без видимых резких нарушений поверхности, восточный же склон имеет довольно сложное строение за счет развития разрывных дислокаций. Кристаллический фундамент разорван вблизи Ушканьих островов, в результате чего склон приобрел здесь крутизну, достигающую 35–40°. Сбросовым является склон подводной перемычки и около о-ва Ольхон.

## Глава 4

### ДОННЫЕ ОТЛОЖЕНИЯ

Изучение осадочных образований в Байкале по 10–12-метровым колонкам позволяет выяснить многие стороны позднекайнозойской истории озера. Современный слой донных отложений изучен достаточно полно (рис. 55). Выделяются поля песков с грубообло-

Рис. 55. Распределение современных донных отложений Байкала (Голдырев, 1982).

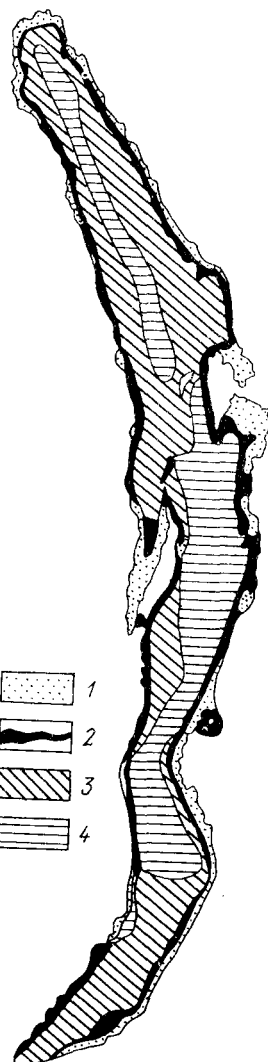
1 — песчаные отложения; 2 — крупноалевролитовые илы или другие пятнисто-расположенные осадки; 3 — мелкоалевролитовые илы; 4 — глинистые илы.

мочной примесью в прибрежных участках, крупноалевритовых илов, мелкоалевритовых илов и пелитовых илов.

Грубообломочные отложения и я в прибрежной мелководной зоне Южной котловины часто перемежаются с песками (Князева, 1954); в Малом Море в этой зоне они распространены повсеместно (Натрикевича, 1959), а в Среднем и Северном Байкале — как примесь среди песка, лишь у мысов образуя большие скопления. У восточного побережья ширина полосы галечника кое-где достигает 6–8 км, у западного — не более 2–3 км. Лучшая окатанность обломков на юго-восточном более пологом склоне. Грубый материал поступает в прибрежную зону с окружающих горных сооружений в виде аллювия или непосредственно со скалистых берегов. По петрографическому составу обломки представлены различными метаморфическими и магматическими породами окружающей суши (Голдырев, Выхристюк, 1968).

Зона песков в южной котловине по юго-восточному склону достигает ширины 5 км и опускается часто до глубин 1200 м. В районе авандельты р. Селенги ширина песчаной полосы от 0,6 до 6 км, в заливах Посольском и Провале — 0,3–1,5 км; широкое пятно песков находится в 8–8,5 км от устья р. Харауз на глубинах 30–40 м, оно отделено от основной песчаной полосы полем алевритовых илов. В Среднем и Северном Байкале песчаные отложения занимают прибрежные полосы шириной от 0,2 до 8 км. В Баргузинском заливе пески распространены на 15–18 км от берега преимущественно до глубин 100–150 м, а у некоторых мысов — до 230–250 м (мыс Крестовский) и даже до 1200 м (мыс Ижимей) (Голдырев, Выхристюк, 1968).

Крупноалевритовые илы занимают в основном склоны котловины. Почти сплошная полоса, прерывающаяся на крутых склонах либо за отсутствием отложений, либо занесением сверху более грубым материалом, распространена по всей котловине. Сортированность крупноалевритовых илов плохая: они содержат значительную примесь песчаного и тонкоалевритового материала. Механи-



ческая обработка зерен этих илов также плохая, преобладают угловатые обломки (Князева, 1954). На авандельте Селенги крупноалевритовые илы распространены узкой полосой шириной 0,3—0,7 км в северо-восточной части и шириной 3 км в юго-западной на глубинах от 20 до 50 м. Содержится значительная примесь более крупных и более мелких размеров частиц, о чем свидетельствует коэффициент сортировки (3,58). Минеральный состав аналогичен составу илеков (Голдырев и др., 1971). Крупные алевриты Среднего и Северного Байкала образуют полосу шириной 0,3—1,5 км, примыкающую к илекам. В Баргузинском заливе ширина этой полосы достигает 6 км. Глубины распространения крупных алевритов составляют от 50 до 1200 м (Голдырев, Выхристюк, 1968).

Мелкоалевритовые илы распространены наиболее широко (рис. 5б, см. вкладку). В Южной котловине они занимают всю южную ее половину. В их составе более 50 % мелкоалевритовой фракции и обычно примесь более крупного алеврита и пелитового размера частиц. В составе мелкоалевритовой фракции значительная доля диатомового ила. В северной котловине мелкоалевритовые илы занимают значительно большие двух третей глубоководной части, а в средней — не более одной четверти. Глубины их распространения от 25 до 1550 м. Минеральный состав полимиктовый (Голдырев, Выхристюк, 1968).

Распространение пелитовых илов определяется наличием крупных притоков и гидродинамическим режимом. Отложения этого типа занимают огромную площадь средней и северной части южной котловины против устьев рек Селенги, Турки и Баргузина. В северной котловине их распространение ограничено узкой полосой вдоль центральной части котловины и лишь там, где впадают Верхняя Ангара и Кичера, эта полоса несколько расширяется. Пелитовые илы обычно сложены терригенным материалом и остатками диатомовых водорослей. Пелитовая фракция составляет более двух третей и лишь одна треть представлена преимущественно мелкоалевритовой размерностью.

Диатомовые илы широко распространены среди отложений Байкала, занимая центральные части озера на минимальной глубине в основном 300—500 м у юго-восточного и 700—1400 м — у северо-западного берега. Они состоят наполовину из остатков диатомовых водорослей и наполовину из терригенного пелитового и мелкоалевритового ила. В диатомовых илах Северного Байкала было установлено 224 вида диатомей (Черняева, 1970; Федорова, 1975).

Минеральный состав современных отложений Байкала изучался довольно подробно. В Южной котловине выделено четыре минералогические провинции. Одна из них примыкает к северо-западному, другая к юго-восточному борту котловины, третья — к авандельте р. Селенги, четвертая находится в средней части Южной котловины (Князева, 1954). Терригенно-минералогическая провинция зал. Провал обладает минеральным комплексом, обусловленным приносом веществ р. Селенгой (Казенкина, 1960). В пределах акватории, примыкающей к побережью между дельтой р. Селенги и Баргу-

зинским заливом, выделен ряд терригенно-минералогических провинций: энидовая, сферновая, гранатовая, ильменитовая (Кирасирова, Туговик, 1970).

Наиболее широко распространены породообразующие минералы. Некоторые аксессорные минералы иногда достигают значительных концентраций и переходят в разряд породообразующих, например магнетит и ильменит в условиях естественного шлихования в Курбуликском заливе и в Малом Море. Сложность минералого-петрографического состава осадков озера находится в полном соответствии со сложностью питающей провинции. В распределении, сортированности, механической обработанности обломочного материала существенная роль принадлежит также динамике вод озера. Роль породообразующих в осадках Байкала выполняют те же минералы, что и в породах питающей провинции.

Железо, марганец, фосфор, органическое вещество и аутигенный кремнезем в поверхностных отложениях распределяются неравномерно в силу сложностей условий седиментации и поступления в водоем. С увеличением количества пелитовой фракции их содержание повышается. Так, содержание железа от 3 % в песках и более крупных фракциях возрастает до 7 % в пелитовых илах. Фосфора в песках 0.05 %, в пелитовых илах — 0.40 %, марганца в крупнозернистых отложениях — 0.05 %, в пелитовых илах — 0.5 %. Несколько более сложный характер носит распределение в водоеме аутигенного кремнезема, основным источником которого являются остатки диатомовых водорослей и спикулы губок. Подобно железу, фосфору и марганцу содержание кремнезема также увеличивается в тонкозернистых отложениях. Вместе с тем отмечается увеличение содержания кремнезема вблизи рек Селенги, Мантурихи и др. В Малом Море наибольшее содержание его приурочено к тонкозернистым илам (максимум 56.2 %) (Патрикеева, 1959). Самое высокое содержание аутигенного кремнезема отмечено в диатомовых илах Среднего Байкала (60 %), где они концентрируются в пределах поля пелитовых и мелкоалевритовых илов (Голдырев, Выхристюк, 1968).

Неравномерность распределения органического вещества в донных осадках связана с различиями в биологической продуктивности и разной степенью минерализации  $C_{опт}$  до его захоронения в отложениях. Наиболее низкой продуктивностью характеризуется Северный Байкал, в осадках которого содержится 0.5—1.5 %  $C_{опт}$ . В осадках Южной и Средней котловин 1.5—2.5 %  $C_{опт}$ . Изменения содержания органического азота в поверхностном слое осадков выражены менее отчетливо (Выхристюк, 1980).

Байкал, представляя собой единую цельную область озерной седиментации в условиях влажного и резко континентального умеренно холодного климата, характеризуется наличием сугубо специфических по совокупности условий фациальных участков: это центральные глубоководные части котловины, северо-западный и юго-восточный склоны котловины, заливы Курбуликский, Баргузинский, Провал, Иосольский, Фролиха, Аяя, Лиственичный, авандельты

крупных притоков, возвышенные участки рельефа (Академический хребет, Песольская и Муринская банки) и пролив Малое Море. Каждый из этих участков характеризуется значительным своеобразием в условиях седиментации.

Исходя из всего фактического материала и комплекса всех условий осадкообразования и сугубо специфических обстановок следует выделить определенные генетические типы донных отложений. Нелитовые и мелкоалевритовые илы центральных глубоководных равнин занимают большую часть дна. Обычно они однородны по составу и текстурам, иногда с тонкими прослойками песка или с примесью диатомового ила. Характеристики этих илов выдерживаются на значительных расстояниях. Совершенно иной генетический тип отложений формируют суспензионные потоки, выносящие порции седиментационного материала, из которых формируются небольшой мощности прослои (единицы—первые десятки сантиметров) с характерной для них градационной текстурой (турбидиты). Они встречаются даже в центральных частях котловины. Другой тип отложений — это отложения подножий склонов, особенно широко распространенные в юго-восточной части котловины. В самых верхних частях склонов в юго-восточной части котловины на пологих участках формируются круниообломочные и песчаные отложения мелководной зоны. К этой же зоне следует отнести бухты и заливы. Очень хорошо выражен такой генетический тип, как осадки дельт, особенно широко развитые в пределах аранделяты Селенги. И, наконец, осадки, формирующиеся на значительных по площади мелководных участках в Курбуликском заливе и в Малом Море. Для них характерен смешанный гранулометрический состав — от гравия до нелитовых илов (Голдырев, 1982).

При изучении колонок донных отложений длиной 10–12 м обнаружены значительные различия между верхними и нижними частями колонок. Верхняя часть разрезов, соответствующая условиям осадконакопления в современном Байкале, была отнесена к байкальским образованиям, а совершенно иная по составу и строению нижняя часть — к прабайкальским (рис. 57).

Пробайкальские осадочные образования широко распространены в котловине Байкала. Они представлены разновозрастными и разного генезиса отложениями. Среди них широким распространением пользуются глины, аналогичные отложениям таихойской свиты юго-восточного побережья Байкала. Они плотные, темно-серые или голубовато-серые, часто с примесью песка или с маломощными его прослойками, иногда хорошо выражены рассланцеванные и комковатые текстуры, что характерно для глин, распространенных на юго-восточном берегу озера. Такие отложения прослеживаются по юго-восточному склону в Южной и Средней котловинах Байкала. В таихойском комплексе по юго-восточному склону Южной котловины наряду с глинами широко распространены также алевролиты с примесью песка, иногда отмечаются тонкие прослои углистых сланцев. Если нелитовая часть современного слоя донных отложений представлена гидрослюдами, реже монтмориллонитом или их смесью,

Рис. 57. Прабайкальские отложения в котловине Байкала (Голдырев, 1982).

1 — песок; 2—4 — глины (2 — с примесью обломочного материала, 3 — в переслаивании с песками, 4 — в переслаивании с верхнеплиоценовыми диатомитами); 5 — выходы коры выветривания.

то прабайкальские отложения включают полиминеральный комплекс глинистых минералов: каолинит, гидрослюды, монтмориллонит.

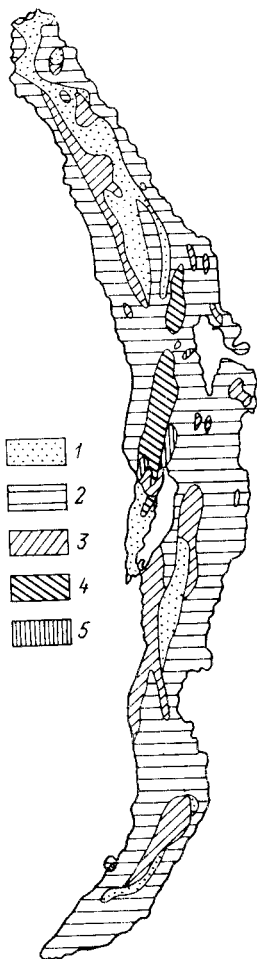
В разрезе отложений танхойского комплекса было выделено три спорово-пыльцевых комплекса, указывающих на то, что его нижняя часть образовалась в раннем миоцене, а верхняя — в позднем миоцене и раннем плиоцене (Мазилов и др., 1972). Танхойские отложения образовались в мелководном водоеме, в котором широкое развитие имели озерно-болотные фации при подчиненном значении аллювиальных: климат был теплым и умеренно влажным (Пальшин, 1955). Прабайкальские отложения юго-восточного склона Южной и Средней котловин аналогичны образованиям танхойского комплекса как по возрасту, так и по условиям образования (Голдырев, 1982).

Другая разновидность прабайкальских осадочных образований, широко распространенная в районе Академического хребта, представлена переслаивающимися плотными голубовато-серыми глинами и диатомитами (Федорова, 1975). В них резко преобладает верхнеплиоценовая диатомея.

К прабайкальским отложениям относятся также широко распространенные очень плотные глины со значительной примесью обломочного компонента. Эти глины образовались позже глин, переслаивающихся с верхнеплиоценовыми диатомитами. Плотные глины аналогичны другим глинам из прабайкальской части колонок. С перекрывающими байкальскими отложениями их разделяет четкая граница, нередко являющаяся поверхностью размыва.

Толща переслаивания глин и песков распространена во всех трех частях котловины и аналогична отложениям верхнего миоцена — нижнего плиоцена юго-восточного побережья Байкала.

Завершают прабайкальскую часть разреза пески мощностью более 10—12 м. В Северной котловине ширина полосы песков — от 5—10 км на севере котловины до 20 км в средней и южной частях ее (Голдырев, 1982). Полоса песков в Средней котловине шириной 5—10 км протянулась от Ольхона до авандельты Селенги. В южной котловине песков относительно мало.



Необходимо отметить довольно сильную уплотненность песчаных отложений. Данные по гранулометрии прабайкальских песчаных отложений свидетельствуют о совершенно иных условиях их формирования по сравнению с современными. Петрографический и минеральный состав песчаной толщи весьма разнообразен: в ней встречаются более 20 наименований горных пород магматического и метаморфического комплексов (в составе гравия и гальки) и 46 минералов. В песчаной толще выделяется три горизонта. Нижний представлен грубообломочными отложениями, выше залегает горизонт мелкозернистых песков, сложенный полимиктовыми однородными по гранулометрическому составу и однообразными по текстурам, обычно неслоистыми по всему разрезу мелкозернистыми песками; третий горизонт, как и нижний, — грубо-зернистыми песками. Судя по его структурно-текстурным особенностям, накопление осадков происходило в мелководных условиях. Пески, составляющие значительную часть прабайкальской толщи, завершают ее разрез.

Необходимо отметить также наличие элювиальных продуктов коры выветривания в ряде мест на дне котловины. Наиболее широко они распространены в районе северных ворот Малого Моря и северного подводного склона о-ва Ольхон (Академический хребет). Отдельные выходы зафиксированы в районе между Ушканьими островами и п-вом Святой Нос, у мысов Заворотного, Солонцового, в губе Кулинда. Коры выветривания состоят из элювия кристаллических пород с частым сохранением структурных признаков коренной породы в нижних горизонтах элювия. Среди кор выветривания широко распространены песчано-глинистые их разновидности мощностью более 10 м, имеющие буро-ржавую окраску (Голдырев, 1982).

Байкальская часть осадочной толщи в котловине Байкала, перекрывающая отложения прабайкальской части толщи, наиболее широко распространена в глубоководной части котловины. Это толща целиковых илов, достаточно широко распространенная особенно в Средней котловине, и мелкоалевритовых илов. Эти две разновидности глубоководных отложений Байкала занимают почти всю котловину. Мощности их разрезов различные, и наиболее полные — в центральных частях котловины. Необходимо отметить существенную долю турбидитов, распространенных во всех частях котловины и отображающих специфичность условий седиментации глубоководного Байкала, находящегося в сейсмически активном регионе.

Байкальская часть разреза отложений существенно отличается от прабайкальской. Отмечается полная согласованность байкальской части с фациальной обстановкой и конкретными условиями седиментации современного Байкала. Незначительные изменения состава отложений свидетельствуют о том, что существенных изменений в условиях седиментации в период формирования байкальской части разреза в глубоководном Байкале не было.

Современное осадкообразование в Байкале характеризуется поступлением терригенного материала и обильным образованием аутигенного компонента — диатомовых водорослей. Эти две состав-

ляющие и формируют отложения глубоководного Байкала, образуя также и сугубо специфический тип отложений — турбидиты как продукт широкого распространения супензионных потоков.

## Глава 5

### ИСТОРИЯ ОЗЕРА ПО БИОГЕОГРАФИЧЕСКИМ И ПАЛЕОНТОЛОГИЧЕСКИМ ДАННЫМ

#### Значение фауны и флоры Байкала для изучения истории озера

В течение многих десятилетий проблема происхождения фауны и флоры Байкала вызывала огромный интерес у ученых различного профиля. Можно без преувеличения сказать, что ни для одного другого озера не было выдвинуто столько гипотез о происхождении и истории его органического мира и не велось столько горячих споров, связанных с этим вопросом. Среди выдвинутых наиболее популярными были гипотезы Г. Ю. Верещагина (1940, 1947) и Л. С. Берга (1934). Л. С. Берг полностью отрицал влияние моря на формирования байкальской фауны, считая, что ее предки происходили из третичных озер Азии, где были широко распространены. Г. Ю. Верещагин, наоборот, отстаивал морское происхождение байкальских животных и растений. Он, конечно, хорошо понимал, что морские воды в район Байкала не проникали после раннего палеозоя, но высказывал предположение о влиянии на формирование предков байкальских водных организмов мезозойских морских трансгрессий в районы Восточного Забайкалья и севера Сибирской платформы. Считалось общеизвестным, что предки современных обитателей Байкала пришли в этот уникальный водоем откуда-то извне. Решение данной проблемы зависело главным образом от планомерных палеонтологических и палеогеографических исследований. За последнее время такие работы проводились и были получены интересные результаты.

Существуют очень древние пресноводные организмы, широко распространенные в озерах почти всех частей света, относенные к палеолимническому комплексу; известны менее древние обитатели озер, существовавшие на более ограниченных территориях и в более поздние эпохи, называемые мезолимническими. Наконец, встречаются молодые иммигранты, проникшие в озера сравнительно недавно, относящиеся к неолимническому комплексу. В Байкале обитает большое количество эндемичных форм, возникших в самом озере (Мартинсон, 1967).

Наиболее древний, палеолимнический комплекс, возник в континентальных бассейнах позднего палеозоя, триаса и юры. За период своего длительного существования эта фауна имела возможность, в результате перемещения литосферных плит и неоднократных соединений древних континентов, распространиться по водоемам почти всего Земного шара и приспособиться к разнообразным условиям обитания. В Байкале этот комплекс представлен так назо-

ваемым сибирским элементом, обитающим в настоящее время не в открытых водах озера, а в заливах, бухтах и речных дельтах.

Мезолимнический комплекс фауны возник в континентальных бассейнах Азии в течение мела и палеогена. Об этом свидетельствуют находки раковин брюхоногих моллюсков из семейства *Baicaliidae* в альбских отложениях Долины озер в Монголии. В осадочных толщах аналогичного возраста Нилгинской впадины Монголии и в позднемеловых отложениях Южной Гоби (маастрихт) были также найдены раковины моллюсков рода *Benedictia*, отнесенных ныне к эндемикам Байкала. Моллюски и губки, а, вероятно, и многие другие беспозвоночные (не сохранившиеся в ископаемом виде) продолжали обитать в древних озерах, не теряя свою биологическую и экологическую специфику.

В палеоген-неогеновое время представители мезолимнической фауны уже обитали в озерах Прибайкалья. Раковины байкальских моллюсков и спикулы губок были найдены в отложениях древних кайнозойских террас Южного Байкала. Вместе с ними встречены раковины теплолюбивых моллюсков, обитающих ныне в юго-восточной Азии, и нытьца субтропических родов растений, которые в дальнейшем погибли в результате похолодания. Некоторые более выносливые организмы мезолимнического комплекса приспособились к пониженным температурам и сохранились в Байкале до настоящего времени.

Неолимнический комплекс фауны проник в Байкал сравнительно недавно, в четвертичное время. К нему относятся такие активные иммигранты, как перна и омуль, которые, вероятно, проникли по речным системам из северных морей.

Основные корни байкальской эндемичной фауны и флоры ведут к мел-палеогеновым внутренним бассейнам Центральной Азии. Эти древние водоемы отличались прежде всего длительностью существования и значительной гидрологической стабильностью, что способствовало видообразованию пресноводных организмов. В течение десятков миллионов лет здесь формировалась целая серия крупных внутренних бассейнов, которые, вероятно, являлись центром развития пресноводной фауны и флоры на Азиатском материке. История этих бассейнов значительно отличалась от истории более позднего Понто-Каспийского бассейна, в котором морские условия неоднократно сменялись периодами сильного опреснения.

Из азиатского центра формирования пресноводная фауна постепенно расселялась как на север и северо-восток, так и на юго-запад. Возможно, что некоторые представители этой фауны проникли в кайнозойское время в район Понто-Каспия в периоды его опреснения. Такая широкая миграция лимнобионтов, по-видимому, и объясняет генетическое родство некоторых байкальских и каспийских животных, установленное Д. Н. Талиевым (1940) методом иммунной реакции преципитации и А. Я. Базикаловой (1940) по амфиподам, губкам и бычковым рыбам. Совершенно очевидно, что никакой непосредственной связи между Байкалом и Каспием никогда не существовало, но общие корни у этих животных вели к древним

бассейнам в Центральной Азии. Сеть озерно-речных систем Монголии и Китая служила транзитными путями для миграции южных и южно-восточных форм на север и северо-запад. Однако, судя по находкам ископаемых моллюсков, предки байкальской фауны заполнили лишь определенные биологические ниши, встречаясь среди широкораспространенных теплолюбивых форм в весьма ограниченном количестве.

Существование палеоген-неогеновых озерных систем, о которых говорил Л. С. Берг, в настоящее время не вызывает сомнения, о них свидетельствуют многочисленные озерно-континентальные отложения, с остатками субтропической фауны и флоры на Азиатском материке. Недавние находки целого комплекса пресноводных моллюсков в эоцен-олигоценовых отложениях в районе устья р. Лены (Мартинсон и др., 1986), генетически близких к фауне танхойской свиты Прибайкалья, указывают на проникновение теплолюбивых форм в северные широты и на непосредственную связь между озерными системами Восточной Азии в палеогеновое время.

Эндемизм байкальской фауны и флоры объясняется прежде всего сохранением в этом глубоководном бассейне своеобразных реlictов прошлого, вымерших в других районах Азии, и дальнейшим интенсивным видообразованием, происходившим в Байкале в условиях изоляции.

### **История озера по данным о фауне моллюсков и других беспозвоночных**

В кайнозойских осадочных образованиях Байкальской впадины и сопредельных территорий раковины моллюсков были встречены в подавляющем большинстве стратиграфических подразделений, но степень соответствия их исходным малакофаунам, а также экологическая принадлежность моллюсков в тех или иных толщах очень различна. В зависимости от этого меняется, естественно, и степень достоверности информации, и характер полученных на основе анализа малакофаун данных. Сникулы губок встречены лишь в некоторых свитах, но сведения, полученные на основе их изучения, имеют принципиальное значение при обсуждении проблемы эндемизма байкальской фауны. Находки остракод в отложениях Байкальской впадины единичны.

Многие вопросы истории Байкала решаются на основе изучения современной малакофауны, позволяющей судить о длительности существования отдельных групп моллюсков, характере видообразования, причинах эволюционных преобразований в группах и биogeографической дифференциации.

Сведения о малакофаунах кайнозоя Байкальской впадины, а также соседних впадин Байкальской рифтовой зоны и Предбайкальского прогиба дополнены анализом современной малакофауны Байкала. Приводятся также некоторые сведения об истории фаун губок и остракод.

Моллюски олигоцена и раннего миоцена (38–14,4 млн л. н.) встречаются в низах танхойской свиты в Южно-

Байкальской впадине, а именно — на юго-восточном побережье Байкала по берегам р. Половинки и вдоль железнодорожного полотна между станциями Танхой и Малиновка, а также вскрыты бурением севернее дельты р. Селенги (район поселков Загза и Ствольная). Основным по представительности малакофауны является местонахождение по правому берегу р. Половинки, в 2–3-х км от ее устья. Работами Е. С. Раммельмейер (1931, 1940), М. Г. Мартинсона (1961), С. М. Поповой (1964, 1981) здесь выявлено около 55 видов и подвидов моллюсков, относящихся к сем. *Viviparidae*, *Fluminicolidae*, *Amblemidae*, *Unionidae*, *Pisididae* и следующим родам: *Cipangopaludina*, *Sinotaia* (подрод *Sinotaia*), *Tulotomoides*, *Lithoglyphopsis*, *Baicalia* (подроды *Eubaicalia*, *Gerstfeldtia*, *Trichiobaicalia*, *Pseudobaicalia*), *Acuticosta*, *Pseudobaphia*, *Cuneopsis* (подрод *Cuneopsis*), *Lanceolaria*, *Nodularia* (подрод *Nodularia*), *Sinohyriopsis*, *Nipponihyria*, *Lepidodesma*, *Cristaria*, *Sinanodonta*, *Limnocyrena*, *Sphaerium* s. l., *Pisidium* s. l. Из этих таксонов в Байкале и его заливах, как и в водоемах Прибайкалья в целом, ныне сохраняются только роды *Baicalia* и *Lio-baicalia* сем. *Baicaliidae*, род *Benedictia* сем. *Benedictiidae* и *Pisidium* и *Sphaerium* сем. *Pisidiidae*. При этом надо учесть, что *Baicaliidae* и *Benedictiidae* — эндемики Байкала, реликты неогенового времени.

Встречные в танхойской свите роды и подроды характерны ныне для юга Китая и Юго-Восточной Азии; пределом их распространения является северная граница субтропической зоны ( $40^{\circ}$ – $42^{\circ}$  с. ш.), а ряд таксонов родового и подродового ранга не встречается севернее центральной подзоны субтропиков ( $34^{\circ}$  с. ш.). В олигоцене и раннем миоцене в озерах и других водоемах Прибайкалья обитала малакофауна, близкая к современной малакофауне Китайской подобласти Сино-Индийской зоogeографической области (Попова, 1981). Климат раннетанхойского времени был субтропическим — со среднегодовыми температурами около  $15^{\circ}$ – $20^{\circ}$ .

Присутствие байкалид, представленных родами *Baicalia* и *Lio-baicalia*, встречающихся и в современном Байкале, свидетельствует о наличии в это время крупных и глубоких озер и о том, что предшественником современного Байкала было олигоцен-миоценовое озеро в Южно-Байкальской впадине. В низах танхойской свиты встречаются также спикулы губок обитающего в современном Байкале эндемичного семейства *Lubomirskiiidae*. Они найдены не только в Южно-Байкальской, но и в Тункинской впадине (Мартинсон, 1940, 1948). Судя по значительному морфологическому разнообразию раковин байкалид, эволюция этой группы проходила не в одном водоеме, а в системе озер.

Сравнение малакофауны танхойской свиты со среднемиоценовой малакофауной баяндайской свиты Предбайкальского прогиба дало основание датировать танхойскую малакофауну поздним палеогеном — ранним миоценом (Логачев, Попова, 1963), как более теплолюбивую. Данные по спирам и пыльце, полученные В. М. Климановой (по сборам С. М. Поповой и Г. Н. Черняевой) из слоев, непосредственно подстилающих толщу с моллюсками по р. Половинке, свиде-

тельствуют о позднеолигоценовом — раннемиоценовом возрасте. Мнение о эоценовом возрасте таинской малакофауны, основанное на ее сходстве с найденной в районе устья р. Лены по р. Кенгдей эоценовой малакофауной (Мартинсон и др., 1986), недостаточно аргументировано, так как сохранность малакофауны в коллекции с севера Сибири позволяет проводить определения в основном только до рода и подрода и, что не менее важно, эти два местонахождения отстоят очень далеко друг от друга.

Малакофауна среднего и позднего миоцена (14.4—5.1 млн л. н.) очень малоочислена; она встречена в тагайской подсвите халагайской свиты на о-ве Ольхон. Г. Г. Мартинсон, проводивший исследования моллюсков, отметил их сходство, а в ряде случаев и тождество с видами, обнаруженными в баяндайской свите Предбайкальского прогиба (Логачев и др., 1964). Ревизия этой малакофауны показала, что в силу плохой сохранности представленные здесь формы не могут безусловно идентифицироваться с найденными в баяндайской свите. Наличие в основном легочных моллюсков позволяет сделать вывод о мелководности водоемов или же заливов крупных озер, в которых они обитали.

Климат Прибайкалья в целом позволяет охарактеризовать достаточно представительная средне-позднемиоценовая малакофауна баяндайской свиты Предбайкальского прогиба (известно 30 таксонов). Судя по присутствию рода *Oreas* и обилию видов рода *Gastrocopta* он был субтропическим (вероятно, сходным с климатом современного Северного Китая) и характеризовался среднегодовыми температурами, близкими к 10—12°.

Малакофауна раннего и среднего плиоцена (5.1—3.3 млн л. н.) представлена в основном наземными формами. Захороненные в массовом количестве в отложениях сасинской толщи (сарайская и одонимская пачки) харалгайской свиты (Плиоцен . . . , 1982), раковины имеют очень хорошую сохранность. Эта малакофауна, видимо, довольно полно характеризует малакофауну ксеро- и мезофитных экотонов, в меньшей мере — влажных. В сарайской пачке выявлено 14 таксонов, в одонимской — 31. И в той и в другой широко представлен род *Gastrocopta* (5 и 7 видов соответственно), ныне отсутствующий на территории Прибайкалья и характерный для северной части субтропиков. Рода *Oreas*, встречающегося в миоцене, в плиоцене уже нет.

Осадки озерного генезиса раннего — среднего плиоцена с захороненной в них малакофауной имеют небольшое распространение, также приурочены к сасинской толще (одонимской пачке) и характеризуют отложения или заливы крупных водоемов (обнажение в бухте Харалдай), или же собственно мелководных озер (обнажение в бухте Сарайской). Интересно отметить, что водная малакофауна мелких озер и мелководных заливов, представленная, естественно, в основном легочными моллюсками, ближе к современной прибайкальской, чем наземная.

В отложениях среднего плиоцена (одонимская пачка) встречены остракоды рода *Pseudocandona* (определены Г. Ф. Мазеновой), пред-

ставители обитают в Байкале (24 вида и 3 подвида), а единичные виды известны в оз. Охрид и в ряде водоемов Европы высоким содержанием кислорода в их водах. Наличие остракод рода *Pseudocandona* в заливах иллюценового Байкала может рассматриваться также как свидетельство существования крупных водоемов у современного западного побережья Ольхона (Илюцен, ..., 1982).

Поздний иллюцен (3,3—4,8 млн л. н.) — время значительной перестройки малакофауны, особенно наземной, в связи со значительным похолоданием. Достаточно представительная наземная малакофауна этого времени имеется в ольхонских разрезах и характеризует низы харанцинской свиты. Она резко отличается от ранне-среднеплиоценовой значительным сокращением числа видов рода *Gastrocopla*, причем в позднеплиоценовых отложениях из оставшихся двух видов этого рода один вымерший и в то же время отсутствующий ниже по разрезу, второй — современный, наиболее нетребовательный к теплообеспеченности вид — *Gastrocopla theeli* West. Число современных видов относительно велико, но часть из них не обитает ныне в Прибайкалье (*Pupilla* ex. gr. *aeoli* Hilber, *Vallonia excentrica* Sterki).

В общих чертах малакофауна этого времени может быть сравнена с малакофауной южной половины Амурской надпровинции Амурской зоогеографической области (подобласти) и характеризует климат со среднегодовыми температурами несколько ниже +5 °С.

Эоплейстоценовые (1,8—0,8 млн л. н.) малакофауны известны как в Байкальской впадине, так и на прилегающих территориях (Тункинская впадина, Предбайкальский прогиб). Во впадинах Байкальской рифтовой зоны малакофауна представлена наземными формами; в Предбайкальском прогибе в ангинской свите она характеризует старичные осадки, в которых захоронены в основном водные моллюски, а количество наземных незначительно.

В Байкальской впадине к эоплейстоцену можно отнести малакофауну верхней подсвиты харанцинской свиты в разрезах зал. Харалдай, где выявлено 14 таксонов. Здесь на общем фоне подавляющего числа палеарктических элементов встречаются рецентные, но не присутствующие в составе малакофауны современного Прибайкалья виды: *Gastrocopla* aff. *theeli* (West.), *Vertigo* aff. *substriata* (Say). О распространении *G. theeli* мы уже говорили, *V. substriata* обитает ныне в Европе, включая европейскую часть СССР, и на Северном Кавказе. В ангинской толще Предбайкальского прогиба малакофауна имеет сходную зоогеографическую структуру, хотя представлена другой группой моллюсков. Здесь встречено около 30 таксонов, среди которых, кроме обитающих и ныне в Прибайкалье, есть и вымершие повсеместно или регионально. Родство этих таксонов или дауньевосточное, или европейское, но в том и другом случае это элементы более теплолюбивых фаун. К вымершим видам и подвидам принадлежат *Planorbis starobogatori* S. Popova, *Helicorbis minima* S. Popova, *Corbicula tibetensis praebaicalensis* S. Popova, причем род *Corbicula* имеет в основном южный ареал: в пределах СССР на западе обитает в Средней Азии и на Кавказе, на востоке — в При-

морье и на Сахалине. Малакофауна, найденная в ангинской свите, характеризует климат со среднегодовыми температурами, близкими к 5 °С.

Ранненейстоценовые (0,8–0,4 млн л. н.) малакофауны Байкальской впадины известны из низов нюрганской свиты (о-в Ольхон, Нюрганская бухта). Характеризуют они и отложения V–IV террас р. Ангары (в первом случае – в районе Усолья, во втором – в месте впадения р. Осы).

В этих малакофаунах кроме моллюсков, встречающихся на территории Прибайкалья и ныне, обнаружены формы, обитающие в Европе (*Crassiana* sp., *Amesoda* ex. gr. *solida* (Norg.) и на Дальнем Востоке (*Sphaerinora compressa* Mouss.). Кроме того, здесь есть *Bithynia* (*Parabithynia*) *krasnojarsica* S. Popova – подрод этот отсутствует в водах Сибири, встречаясь значительно южнее. Из наземных моллюсков следует отметить все еще сохранившиеся в малакофауне *Gastrocopta* aff. *theeli* West., свойственную Амурской зоогеографической области, и *Vertigo substriata* (Gerstl.), обитающую в Европе. Все это свидетельствует о накоплении осадков в более мягких климатических условиях, чем современные, а значение среднегодовых температур может быть оценено в первые градусы тепла. Присутствие в осадках IV террасы р. Ангары *Baicalia angarensis* (Gerstl.), обитающего и ныне в Южном Байкале и верхнем течении Ангары, доказывает существование во время формирования этой террасы ангарского направления стока воды из Байкала.

Малакофауна среднего и позднего плейстоцена (0,4–0,01 млн л. н.) известна из большого числа местонахождений. В Байкальской впадине ею охарактеризована верхняя – средненейстоценовая часть разреза нюрганской свиты. В Тункинской впадине местонахождения многочисленны и приурочены к глинисто-торфянистой, несчаной толщеам и толще сизых супесей; малакофауны этого возраста присутствуют в отложениях III–I террас рек бассейна Ангары.

Малакофауны времени походений – это обедненный вариант современной малакофауны юга Сибирской подобласти Палеарктической области. В аллювиальных и сопряженных с ними осадках наиболее часто встречаются *Valvata* (*Sibirovalvata*) *centusa* (West.), *Pisidium amnicum* (Müll.), *Lymnaea* (*Peregrina*) *lagotis* (Schrenk), *L.* (*Radix*) *auricularia* (L.), в субарктических – *Succinea* ex gr. *oblonga* (Drap.), *S. putris* (L.), *Pupilla asiatica* (Moell.), *P. lundströmi* (West.), *Vallonia tenuilabris* (Al. Br.).

Малакофауны более значительных и продолжительных потеплений характеризуются редким присутствием относительно теплолюбивых видов – *Crassiana crassa* Philipsson и *Unio annulatus* Kobelt. Эта малакофауна характеризует климат несколько более теплый, чем современный.

Голоценовые (0,01 млн л. н. – современность) малакофауны по систематическому составу не отличаются от современной. В течение голоцена происходили изменения численного соотношения видов. В целом голоценовая малакофауна отличается от средненейстоце-

новой в Прибайкалье больше, чем соответствующие малакофауны европейской части СССР (Попова, 1981). Если там обитают виды, пережившие похолодания на более южных территориях, то в Сибири они сохранились в рефугиумах, в частности, видимо, в районах выходов термальных вод.

В Байкальской впадине голоценовые озерные малакофауны известны, в частности, из изученного А. М. Сизиковым разреза в районе зал. Мухор (Малое Море). Анализ этой малакофауны позволяет проследить изменение озерного режима во времени: финал плейстоцена — мелководные постоянные, полупостоянные и временные озера на периферии конусов выноса (наличие легочных форм и горошинки тупой), климат холоднее современного; древний голоцен — преимущественно полу постоянные и временные, термокарстовые по генезису озера, развивающиеся при климате более холодном, чем ныне, но более мягким, чем при образовании озер предыдущего периода; ранний—средний? голоцен — преимущественно постоянные мелководные озера, поросшие растительностью, с обильной относительно богатой в систематическом отношении малакофауной, развивающейся при климате, близком к современному.

Анализируя данные (Ситникова, 1983) о байкальских эндемичных видах рода *Megalovalvata* (сем. *Valvatidae*), можно проследить три ветви развития, берущие начало от одного вида: в одной из этих ветвей наблюдаем появление и развитие килей на раковине, в другой — сужение пупка, уплощение раковины и появление подшовного плеча. Каждому из конечных видов в этих ветвях свойственны свои типы грунта и место распространения. При поиске исходной формы особого внимания заслуживает *M. kozhovi*, достаточно близкая по морфологии раковины к общесибирскому виду *C. sibirica* и обитающая, как и внебайкальские вальватиды, на заиленном песке на небольших глубинах (до 20 м) бухт и заливов Байкала. Вероятно, близкая к этому виду форма и дала начало развития остальным мегаловальватам.

Вальватиды, судя по палеонтологическим данным (Мартинсон, 1961), обитали в южной Сибири еще до возникновения Байкала. Это палеолимнические моллюски (Мартинсон, 1967) с очень широким ареалом. Одна из групп этого семейства, род *Megalovalvata*, так и не сумела освоить в Байкале глубины свыше 50—70 м, тогда как другая — *Pseudomegalovalvata* — приспособилась к жизни только в глубоководной части озера (200 м и более). Поэтому входящие в эту ветвь виды можно считать более молодыми. Сем. *Benedictiidae* возникло позже, в мезозое (мелолимническая группа), и ныне не известно вне Байкала, хотя его представители в мелу обитали в водоемах Центральной Азии (Мартинсон, 1961). В систему Байкальских озер предок 16 современных видов этого семейства вселился позднее вальватид.

В различных систематических группах со своей историей наблюдается существование ветвей развития отдельных видов, заселяющих глубины Байкала свыше 200 м, формирование которых несомненно связано с нарастанием глубин озера (Бекман, Старобогатов, 1975).

На глубинах около 20–70 м в зоне с достаточно стабильными условиями, сосредоточено наибольшее морфологическое разнообразие представителей семейства *Baicaliidae* — *Baicalia duthiersi* W. Dub., *B. pulla* W. Dub., *B. wrzesniowskii* W. Dub., *Liobaicalia stiedae* W. Dub. и др., причем обитают они совместно на заиленных песках. В отличие от обитающих на малых глубинах виды здесь гораздо обособлены морфологически. Соответственно можно сделать вывод, что все эти таксоны имеют возраст больший, чем виды верхней части литорали и виды, заселяющие большие глубины, и их формирование произошло не в едином водоеме, а в системе озер палеоген-неогенового времени.

### История озера по данным о фауне позвоночных (рыбы и нерпа)

В Байкале присутствует сообщество эндемичных коттоидных рыб. Для того чтобы оценить историю Байкала с точки зрения происхождения и формирования его эндемичной ихтиофауны, мы проанализировали ареал коттоидных рыб (Талиев, 1955), сходство современных и ископаемых форм и уровень специализации эндемичных видов.

Центр возникновения морских коттоидных рыб находился в северной части Тихого океана. Проникновение их в пресные воды Азии и Северной Америки происходило, вероятно, неоднократно. В настоящее время в водоемах тихоокеанского побережья Азии обитает 13 видов; по мере удаления от центра видеообразования (исключая Байкал) количество видов уменьшается. В Байкале находится вторичный центр видеообразования коттоидных рыб, или, как их еще называют, «северных бычков». Если во всех пресных водах Восточной Сибири их всего 2 вида, то в Байкале насчитывается 29 видов, относящихся к трем семействам, два из которых эндемичны. Среди ихтиофаун других крупных пресноводных озер мира Байкал имеет самый высокий ранг эндемизма на уровне семейств. Большое количество эндемичных форм и их высокий таксономический ранг свидетельствуют о том, что новые виды возникают лишь в тех местообитаниях, где изменение условий в геологических масштабах времени происходит медленнее, чем вырабатываются наследственные адаптации. Для образования эндемичных семейств относительно постоянные условия должны господствовать еще более продолжительное время. Ранг эндемизма на уровне семейств предполагает значительно более древний возраст Байкала, чем других озер. Так, например, в Танганьике комплекс эндемичных рыб соответствует таксономическому рангу рода.

Ископаемые пресноводные коттоидные рыбы изучены Д. Смитом (Smith, 1975) из пресноводных плиоценовых отложений оз. Айдахо (штат Орегон, США). Анализ байкальских рыб показал, что сходное строение с ископаемыми формами имеют только 7 прибрежных видов семейства *Cottidae*, и поэтому временем их вселения в Байкал можно считать период плиоцена.

Два других эндемичных семейства, *Cottoperidae* и *Abyssocottidae*, имеют значительные отличия, которые обусловлены более длительным обитанием в условиях древнего холодноводного глубоководного озера. Эти отличия являются результатом длительной адаптации рыб к высокому содержанию кислорода, низким температурам, высокому давлению на больших глубинах. Виды эндемичных семейств *Cottoperidae* и *Abyssocottidae* оксифильны, приспособлены к обитанию в богатых кислородом частях Байкала, асфиксия у них наступает при наличии еще высоких концентраций кислорода ( $6.6 - 2.8 \text{ см}^3/\text{л}$ ), к тому же они стенотермы. Так, для представителей семейства *Cottoperidae* температуры в пределах  $8.7 - 9.8^\circ\text{C}$  являются летальными (Талиев, 1955). Донные виды, обитающие на глубинах 400–1600 м, имеют глубокие изменения на биохимическом уровне, связанные с адаптацией к высоким давлениям (Brauer et al., 1984). Эти особенности эндемичных семейств свидетельствуют о более раннем по сравнению с мелководным семейством *Cottidae*, вероятно, миоценовым (а возможно, олигоценовым), вселением предковых форм в глубоководный водоем, который существовал на месте современного Байкала.

Вторичноелагические (беспузырные) голомянковые рыбы (термин А. П. Андрияшева) (семейство *Cottoperidae*) имеют настолько глубокие приспособления к жизни в толще воды, включая живорождение, что это могло явиться результатом только длительной эволюции в озере с глубинами в несколько сот метров.

Морфофизиологические и экологические особенности байкальской нерпы также являются результатом приспособления к условиям глубоководного озера с продолжительным периодом ледостава. Мощные когти передних ластов позволяют проделывать и сохранять от промерзания отдушины для дыхания в силошном льду толщиной около метра. Новьшенная концентрация гемоглобина в крови является адаптацией к глубоководному погружению на длительное время с выключенным дыханием. Длительная лактация позволяет вывести детенышей в условиях продолжительного периода силошного ледового покрова и обитания в снежных логовах. Эти свойства нерпы могли возникнуть только в условиях глубокого и холодноводного Байкала, или водоема, существовавшего на его месте. По-видимому, для этого требовалось довольно длительное время. Изолированные в четвертичное время формы колючайной нерпы в Балтийском море, в Ладожском и Сайменском озерах не имеют тех морфологических отличий от арктических и дальневосточных форм, которые налицо у байкальской нерпы (Пастухов, 1979).

Таким образом, анализ особенностей современных байкальских эндемичных рыб и нерпы дает полное основание говорить о том, что Байкал — древний водоем, который начиная с миоцена, а возможно, и с олигоцена был крупным глубоководным озером с относительно низкими температурами воды.

## История озера по данным о диатомовой флоре

В Байкале, встречается свыше 700 видов и разновидностей диатомовых водорослей. Им принадлежит ведущая роль в круговороте кремния — одного из основных компонентов байкальских осадков. Диатомеи широко распространены в кайнозойских отложениях Прибайкалья. Наибольший интерес представляет корреляция отложений на дне Байкала с отложениями его побережий (Ольхон, юго-восточное побережье).

Самым древним местонахождением диатомей на Байкале являются отложения в зал. Тагай, относящиеся к тагайской толще (подсвите) халагайской свиты о-ва Ольхон, но многочисленным палеонтологическим остаткам (моллюски, споры и пыльца, позвоночные животные) датированные средним и поздним миоценом (Логачев и др., 1964; Плиоцен..., 1982). Здесь В. М. Климановой выделено 22 вида диатомей. В их составе отсутствуют планктонные виды, и по своей экологии они являлись обитателями мелководного водоема. Позднее нами в отложениях тагайского разреза выявлено около 80 видов и разновидностей. Преобладают диатомеи рода *Aulacosira* — *A. granulata* (Ehr.) Sim., *A. italica* (Ehr.) Sim. var. *italica*, *A. ambigua* (Grun.) Sim. Видовое же разнообразие определяют представители родов *Pinnularia*, *Navicula*, *Eunotia*, *Cymbella*, *Gomphonema*, *Tetracyclus* — обитателей дна и обрастаний. В небольшом количестве отмечены створки *Aulacosira paeislandica* f. *curvata* (Jouss) Sim., *Pontodiscus miocenicus* (Krasske) Moiss. et Sheshuk., *Actinella brasiliensis* Grun., *Tetracyclus ellipticus* var. *ancea* (Ehr.) Hust., *Cymbella* aff. *lanceolata* var. *grandipunctata* Moiss., *Navicula americana* Ehr., к настоящему времени вымершие или живущие в более теплом климате. Диатомеи, изученные нами, судя по наличию доминирующих планктонных видов, характеризуют более глубоководный бассейн, чем диатомеи, выявленные В. М. Климановой. Они существовали в пресноводном, хорошо прогреваемом водоеме с глубинами в несколько десятков метров (Логачев и др., 1964). Климат в это время был теплым (ближким к субтропическому), отмечаются фазы потепления и увлажнения. Происходили изменения гидрологического режима водоема и колебания степени минерализации вод, что нашло отражение в неравномерном распределении диатомей по разрезу тагайской толщи.

В раннем и среднем плиоцене на Ольхоне существовало крупное Сасинское озеро (Плиоцен..., 1982). Осадки его залива приурочены к верхней (одонимской) пачке сасинской толщи халагайской свиты о-ва Ольхон. По фауне мелких млеконитающих и малакофауне отложения датированы средним плиоценом. Здесь нами впервые выявлены диатомеи, не обильные по количеству и разнообразию, но чрезвычайно показательные в видовом отношении: *Aulacosira baicalensis* (K. Meyer) Sim., *Cyclotella baicalensis* Skv., *Stephanodiscus asraea* var. *intermedius* Fricke, *St. aff. niagarae* var. *magnifica* Schmidt.

Почти аналогичный плиоценовый комплекс диатомей был отмечен В. А. Федоровой в низах колонок донных осадков Байкала, взятых в районе подводного Академического хребта (Федорова, 1975; Голдырев, 1982). В него входит *Stephanodiscus niagarae* cf. var. *magnifica* Schmidt, *St. astraea* var. *intermedius* Fricke f. *fossilis*, *Cyclotella baikalensis* Sky., *Aulacosira baikalensis* (K. Meyer) Sim. Благодаря электронной микроскопии были выявлены дополнительные систематические признаки некоторых видов, что позволило уточнить их таксономическую принадлежность. Позднейшая обработка А. И. Логиновой и Г. К. Хуреевич (1986) новой колонки донных осадков подтвердила правильность выводов, сделанных В. А. Федоровой (Литодинамика . . . , 1984). Сходный комплекс встречен также в донных отложениях Южно-Байкальской впадины.

Близкий по составу комплекс был определен в отложениях юго-восточного побережья оз. Байкал, относимых к осиновской свите (Мац, 1987). В нижней части разреза, вскрытого в устье р. Дулихи, выявлено 32 таксона диатомей, среди которых доминируют отсутствующие ныне представители той же стефанодискусовой флоры, которая отмечена в плиоценовых осадках на дне Байкала и в среднеплиоценовых отложениях о-ва Ольхон: *Stephanodiscus carconeiformis* Churs. et Log. (= *St. carconensis* Grun.), *St. bellus* Churs. et Log. (= *St. carcencensis* var. *pusilla* Grun.), *St. grandis* Churs. et Log. (= *St. niagarae* cf. var. *magnifica* Schmidt), *St. aff. niagarae* Ehr. Довольно часто встречаются также *Cyclotella* aff. *temporei* Perag. et Herib., в меньшем количестве, но постоянно присутствуют *Eunotia polyglyphoides* Sheshuk., *Gomphonema* aff. *praelanceolatum* Tschet. и представители рода *Tetracyclus*. Аулакозированная флора присутствовала в основном в виде спор с высокой оценкой обилия.

Присутствие характерных древних видов рода *Stephanodiscus* позволяет считать близкими по возрасту отложения озера однократного времени на побережье зал. Харалдай (Ольхон), озерного бассейна юго-восточного побережья оз. Байкал и плиоценового озера в районе Академического хребта, скрытого водами современного Байкала. Судя по достаточно большому числу (30 %) вымерших видов и отсутствию в комплексе диатомей древнего озера на юго-восточном побережье створок байкальских эндемиков, отмечаемых в сасинских отложениях о-ва Ольхон и донных осадках Байкала в районе Академического хребта, осадконакопление в палеоводоеме на юго-восточном побережье происходило, возможно, в течение более раннего этапа сасинского времени. Комплекс из озерных отложений в районе р. Дулихи хорошо сопоставляется с комплексом диатомей из низов колонки донных осадков Южно-Байкальской впадины, изученных Л. И. Логиновой и Г. К. Хуреевич. Эти отложения по спорово-пыльцевому комплексу датированы ранним плиоценом (Литодинамика . . . , 1984).

Близкий видовой состав диатомей во всех указанных местонахождениях, преобладание среди них планктонных вымерших видов одновременно с большим числом диатомей прибрежной фации позволяют предполагать, что осадки, в которых они захоронились, форми-

ровались в одном или нескольких крупных водоемах, находившихся в пределах современных Южно- и Средне-Байкальской впадин.

Климат этого времени (ранний—средний плиоцен) характеризуется как переходный от субтропического к умеренному; к концу этого времени температуры снижаются. В составе диатомей среднего и позднего плиоцена в отложениях о-ва Ольхон, на юго-восточном побережье Байкала и в его донных осадках отсутствуют теплолюбивые виды, несколько позже появляются *Aulacosira baicalensis* (K. Meyer) Sim., *Cyclotella baicalensis* Skv. — виды, живущие ныне в Байкале при низких температурах и имеющие максимум развития ранней весной подо льдом. Такое противоречие может найти объяснение в существовании диатомей в крупных и глубоких озерах, термический режим которых достаточно специфичен.

В верхней части дулихинского разреза Южно-Байкальской впадины (шанхайхинская свита — поздний плиоцен—ранний плейстоцен) выявлен комплекс диатомей, резко отличающийся от нижележащего. В составе диатомей отсутствуют вымершие виды рода *Stephanodiscus*. Видовой состав флоры становится более разнообразным. Доминантами, хотя и с невысокими количественными оценками, являются *Stephanodiscus rotula* (Kütz) Hendey, *Aulacosira italicica* var. *valida* (Grun.) Sim. Появляются бентосные виды, обитающие в современном Байкале: *Coccconeis skvortzovii* (Skv.) Sheshuk., *Navicula unipunctata* Skv., *N. dahurica* Skv.

Раннеплейстоценовый этап в истории Байкальской котловины охарактеризован диатомеями, выявленными в низах пюрганской свиты. В глинистой прослойке озерных осадков, содержащих также малакофауну, выявлено 9 видов диатомей с невысокой оценкой обилия. В основном это виды, живущие в прибрежной зоне — формы обрастаний и планктона: *Aulacosira italicica* (Ehr.) Sim., *A. granulata* (Ehr.) Sim., *Cyclotella baicalensis* Skv., *Stephanodiscus cf. carconeiformis* Churs. et Log., *Fragillaria pinnata* Ehr., *Cymbella cistulata* (Hemp.) Grun., *Eunotia monodon* Ehr., *Comphonema intricatum* var. *fossilis* Pant., *Actinella brasiliensis* Grun. Доминируют *Aulacosira italicica* (Ehr.) Sim., *Fragilaria pinnata* Ehr. В составе диатомей отложений пюрганской свиты встречены два вымерших вида — *Stephanodiscus cf. carconeiformis* Churs. et Log. и *Gomphonema intricatum* var. *fossilis* Pant. и теплолюбивая *Actinella brasiliensis* Grun., которая обитает теперь только в областях с относительно теплым климатом (оз. Ханка). Здесь же встречены синкулы байкальских губок.

В нижнеплейстоценовых горизонтах донных осадков Байкала доминируют *Aulacosira baicalensis* (K. Meyer) Sim., *Cyclotella baicalensis* Skv. и их разновидности, отмечается разнообразный состав пенинатных диатомей, редко встречается *Stephanodiscus carconeiformis* Churs. et Log. (= *St. carconensis* Grun.). Присутствие в раннеплейстоценовых отложениях о-ва Ольхон и в донных осадках Байкала общего вида *Stephanodiscus carconeiformis* Churs. et Log. примерно с одинаковой степенью обилия (местонахождение диатомей в низах пюрганской свиты является единственным) позволяет рассматривать осадки как одновозрастные. Этот древний вид отмечен также в раннеплейстоценовых отложениях Японии (Mori, 1975).

Присутствие в составе диатомей вымерших таксонов, не обитающих ныне в водоемах умеренной зоны, дает основание предполагать относительно теплые климатические условия раннего плейстоцена. Терролюбивые виды как реликты неогена сохранились в Прибайкалье до начала четвертичного времени.

Состав диатомей в голоцене, известный из донных отложений Байкала, не отличается от современного. Количество створок в 1 г натурального осадка неоднозначно и колеблется в широких пределах — от нескольких десятков до 200 млн. Главная роль принадлежит видам класса *Centrophysaceae*, как это наблюдается и в других глубоко-водных водоемах. Доминантами остаются *Aulacosira baicalensis* (K. Meyer) Sim., *Cyclotella baicalensis* Sky. — основные обитатели современного Байкала. Им сопутствуют разнообразные диатомей класса *Pennatophysaceae*, не имеющие, как правило, высокой количественной оценки, но по числу видов эта группа диатомей является преобладающей. Видовое разнообразие пенинатных диатомей связано с большой прозрачностью байкальской воды. Живые клетки диатомей с хорошо сохранившимися хроматофорами были обнаружены на глубине до 115 м (Проблемы..., 1978), среди них *Eunotia cleve* Grun., *Gomphonema bergii* Sky., *Cocconeis placentula* Ehr. et var., *Amphora mongolica* Oest., *A. sibirica* Sky. Эти же диатомей, а также представители родов *Navicula*, *Pinnularia*, *Cymbella*, *Neidium* и другие характерны как для современного Байкала, так и для его осадков голоценового времени. Среди байкальских диатомей отмечается значительное количество древних, основное развитие которых проходило в неогеновое время.

Современный комплекс диатомей открытого Байкала, по данным Г. И. Поновской, включает небольшое число массовых видов (Проблемы..., 1978): *Aulacosira baicalensis* (K. Meyer) Sim., *A. islandica* (O. Müll.) Sim., *Stephanodiscus binderanus* (Kütz.) Krieg. (= *Melosira binderanus* Kütz.), *Cyclotella baicalensis* Sky., *C. minuta* (Sky.) Antip., *Synedra acus* subsp. *radicans* (Kütz.) Skab., *S. ulna* subsp. *danica* (Kütz.) Skab., *Nitzschia acicularis* W. Sim. Количественно в нем, как правило, доминирует *A. baicalensis*, но в отдельные годы основную численность диатомей составляют виды родов *Synedra* и *Nitzschia*. Сравнивая комплексы диатомей в планктоне и в донных отложениях, нельзя не отметить, что в осадках не проявляется количественное преобладание родов *Synedra* и *Nitzschia*.

Комплекс диатомей современного Байкала, по мнению Е. А. Черемисиновой (1973), сформировался в плиоцене. К такому выводу она пришла при изучении неогеновых диатомей Тункинской впадины. По нашим данным в совокупности с результатами спорово-пыльцевого анализа, байкальский комплекс существовал уже в позднем миоцене. Кроме неогеновых отложений Тункинской долины *A. baicalensis* (K. Meyer) Sim. встречена «в массе» в миоценовых отложениях Витимского плоскогорья в комплексе с характерным вымершим ныне видом *Aulacosira jouseana* (Moiss.) Moiss. (Ендрихинский, Черемисинова, 1970; Резанов и др., 1986). В литературе есть также указание, что *A. baicalensis* (K. Meyer) Sim. найдена в отложениях

древних озер Подмосковья (Wertebnaja, 1929) и Центральной Камчатской депрессии (Кунев, Ливеровский, 1949). Таким образом, *A. baicalensis* (K. Meyer) Sim. в древних водоемах была распространена довольно широко и, судя по высокому обилию ее створок в осадках древних озер, она играла важную роль в палеоводоемах, но крайней мере Восточной Сибири. Приспособившись к условиям жизни в современном Байкале, она стала, как и некоторые другие диатомеи, эндемиком, обладающим видовым рангом.

### История развития растительности и палеоклиматология побережья озера по науконаучным данным

Науконаучный анализ позволяет получить информацию об условиях развития ландшафтов Прибайкалья начиная с эоцена.

Эоцен-олигоценовые отложения достоверно установлены в Усть-Селенгинской впадине (Базаров, 1986). Из них З. И. Файзулиной и Е. И. Козловой выделены науконаучные комплексы (гл. 1700–2500 м), характеризующие хвойно-широколистственные леса со значительной примесью (20–25 %) тропических и субтропических форм: миртовые, сумаха, араукарий, мирики, писсы, магнолий, пальм, кедра. Сибирь-пыльцевые спектры, полученные В. А. Беловой (1975) с глубины 870–960 м из скв. № 4, район с. Исток, содержат пыльцу тусяги, водяной сосны, ногоплодника, кетелирии, вяза, дзельквы, лещины, каракаса, итерокарии, платикарии, каштана, дуба, буке, магнолии, сумаха, стиракса, писсы, пальм, пандановых. Спектры близки по составу основных компонентов к комплексам, выделенным Г. И. Таракановой в верхней части булусинской свиты на юге Сибирской платформы. Эти отложения датируются олигоценом.

В раннем миоцене образовались нижние горизонты танхойского и клюевского комплексов. Они содержат пыльцу ели секции оморика, болотного кипариса, гикори, дуба, водяной сосны, ореха, ланины, ильма, каштана, магнолии, буке, писсы, лещины, лины, тюльпанного дерева, дзельквы, тутовых, споры осмунды, многоядровых. К среднему миоцену относятся средний горизонт танхойского комплекса и минихинский фаунистический комплекс. Они содержат пыльцу ольхи, болотного кипариса, ели, гикори, тусяги, каштана, сосны секции стробус, ореха, ланины, лины, березы. К позднему миоцену относятся средний горизонт клюевского фаунистического комплекса. Преобладает пыльца ольхи, ели, сосны, тусяги, лещины, вяза, ореха, дзельквы, восковника и споры напоротников. В озерных осадках верхнего горизонта клюевского фаунистического комплекса выявлена пыльца тусяги, ели, березы, сосны, ольхи, лещины, ореха, надуба, что свидетельствует о раннем плиоценовом возрасте (Седова, 1965; Литология . . ., 1972; Белова, 1975; Белова, Ендирихинский, 1980).

К среднему и позднему плиоцену относится ансовская свита юго-восточного побережья Байкала и Тункинской впадины (Логачев, 1968). В. А. Белова для опорного разреза на р. Шанхаихе выделяет три науконаучных комплекса: 1) пыльца тусяги, пихты, ели, ореха, граба, лещины, лины — первая половина среднего плиоцена; 2) пыльца

сменанных хвойно-широколиственных лесов с большим количеством травянистых степных форм — по-видимому, середина верхнего плиоцена; 3) пыльца ели, сосны, березы, ольхи, тсуги, лецины, вяза, липы — переход от плиоцена к плейстоцену (Адаменко и др., 1975; Белова, Ендрихинский, 1980).

В Боярском опорном разрезе в плиоценовой толще обнаружена пыльца сосны обыкновенной, березы, пихты, сосны кедровидной, ольхи, тсуги, ильма, лецины, ореха, дуба, граба, единично — гикори, ясения, лапини. В плиоценовых отложениях Верхне-Ангарской впадины содержится пыльца ели, разнообразных сосен, ногоплодника, буквы, дуба, ильма, восковника, березы, ивы, душекии (Базаров, 1986).

В целом в плиоценовых спорово-пыльцевых спектрах примесь широколиственных пород еще значительна, но уменьшается с юга на север. На юге котловины произрастали орех, дуб, граб, лецина, а в Приольхонье присутствует в основном ильм, как наименее требовательный к температурным условиям.

К эоплейстоцену Прибайкалья отнесены отложения, вскрытые в Итанинском опорном разрезе, который включает группу частных разрезов между деревнями Засухино и Ключево (Базаров и др., 1974). Для отложений низов (3 пачки) Засухинского разреза отмечается преобладание пыльцы сосны с кедром с участием березы и пихты. Выше по разрезу также в условиях преобладания древесной растительности встречена пыльца сосны, кедра, ели, березы; травянистые растения представлены ксерофитами — полынью, лебедовыми. Лёссовидные суглинки, венчающие разрез, формировались в условиях похолодания и иссушения. В спектрах из этих отложений древесных форм содержится до 3.8 % при абсолютном господстве травянистых растений — до 98 % (Базаров, 1986).

К эоплейстоценовым образованиям относятся также отложения Боярского опорного разреза. Из них получены спорово-пыльцевые спектры, свидетельствующие о наличии открытых сообществ. Пыльца древесных составляет в спектрах 23 %, травянистых (злаки и полыни) — до 65 %, споровых — 12 %. В прибрежных местообитаниях произрастали леса с березой, сосной и душекией.

Эоплейстоцен-нижнеплейстоценовые отложения залегают в разрезе высоких аккумулятивных террас высотой 160—200 м (впадины Байкальской рифтовой зоны) и 80—112 м (впадины Селенгинского среднегорья). В Верхне-Ангарской впадине эоплейстоценовые отложения содержат пыльцу пихты, ели, березы, ивы, кедра, ногоплодника (Базаров, 1986). В спектрах из нижнэоплейстоценовых отложений Южной котловины присутствует пыльца сосны, ели, тсуги, сосны кедровидной, ильма, дуба, лецины, ореха, березы. Среднэоплейстоценовые отложения характеризуются пыльцой ильма, ореха, лецины, тсуги, ольхи, березы — единично. Много пыльцы пихты, ели, сосны кедровидной, обыкновенной, березы, ольхи. Травянистые представлены пыльцой ксерофитов — полыни, эфедры, а также спорами плаунов, плаунков, многояйковых (Базаров и др., 1974; Белова, 1975; Геоморфология . . . , 1981). В отложениях нижнего плейстоцена

Южно-Байкальской котловины определена пыльца лиственницы, пихты, ели, сосны, кедра, ольхи, березы, единично — лины, лещины, туги.

В пределах Средне-Байкальской котловины преобладает пыльца сосны, единично встречается пыльца туги, пихты, ели, кедра, березы; появляется пыльца кедрового стланика (Белова, 1985).

К среднеплейстоценовым отложениям юго-восточного Прибайкалья относятся пески кривоярской свиты, в которых содержится пыльца сосны обыкновенной, сосны сибирской, ели, туги, березы, осины, ивы, единично — ореха, лещины, гикори. Это свидетельствует о сравнительно влажном, умеренно теплом климате. На севере Байкала среднеплейстоценовые отложения содержат пыльцу степной растительности: лебедовых, сложноцветных, полыни, лютиковых, злаковых. Встречены споры сфагновых мхов, кочедыжниковых, ежеголовниковых (Базаров, 1986).

Отложения казанцевского горизонта верхнего плеистоцена содержат пыльцу березы, сосны обыкновенной, пихты, ели, кедра, единично — туги, ильма, клена, лещины, дуба, а также злаковых, осоковых, полыни, зонтичных, маревых, розоцветных.

В отложениях зырянского горизонта на юге котловины встречена пыльца кедра, сосны обыкновенной, ели сибирской, лиственницы, березы. Отмечено много пыльцы кедрового стланика, кустарниковых берез, дущекии. Травянистые формы представлены пыльцой вересковых, злаковых, осоковых. В северной части Байкала в спектрах встречена пыльца пихты, ели, лиственницы, сосны обыкновенной, кедра, березы, кедрового стланика, дущекии, верескоцветных, полыни, злаковых, споры напоротников и плаунов (Белова, 1975).

В отложениях каргинского горизонта позднего плеистоцена выделены палинокомплексы, характеризующие лиственнично-березовые леса с елью на севере региона: лиственница, сосна, ель, береза, пыльца сем. злаковых, споры напоротников, различных мхов. Степной облик имеют спектры каргинских отложений Среднего Байкала: лютиковые, гвоздичные, маревые, гречишные, сложноцветные, пыльца полыни, осоковые, злаковые. На юге региона спектры характеризуют существование пихтово-елово-кедровых лесов с примесью широколиственных элементов: ильма, липы, дуба. Единично встречается пыльца туги (Адаменко и др., 1972). Спорово-пыльцевые спектры Селенгинского среднегорья отражают существование бересово-сосновых лесов с примесью широколиственных: лещины, дуба, ильма, клена.

Отложения сартанского горизонта верхнего плеистоцена на юге Байкальской рифтовой зоны содержат споры и пыльцу растительности «холодных» степей (Резанов, Иметхенов, 1982): пыльцу полыни, маревых, злаковых, споры плаунника сибирского и кровавокрасного. В Тункинской котловине для отложений сартанского времени характерно наличие пыльцы кедра, сосны, лиственницы — единично. Доминирует пыльца ксерофитных трав: эфедры, полыни, гречишных, маревых, гвоздичных, злаковых. Отложения сартанского горизонта на севере региона, в Верхне-Чарской котловине, характе-

ризуются налипокомплексами, представленными пыльцой вереско-цветных, осоковых, злаковых, гвоздичных, гречишных, ивы, душеки, березки и кедрового стланика (Белова, 1985).

Налипология голоцена Восточной Сибири пока изучена недостаточно. В осадках донных отложений оз. Котокель (Виннер, 1968) выделены позднеледниковые фазы — аллэрёд (сосново-березовые с елью леса на общем безлесном фоне) и поздний дриас (почти полная деградация лесов, развитие степных грушировок).

Отложения boreального периода на севере региона содержат пыльцу лиственницы — единично, березы, сосны, кедра, душекии, в меньшем количестве пыльцу ели, пихты. Из трав — пыльцу гераниевых, кипрейных, ежеголовниковых (Белова, 1975). Озерно-болотные отложения Среднего Байкала содержат спектры с доминированием пыльцы и спор трав, в основном пыльцы эфедры, ежеголовника, злаковых, гвоздичных (Белова, 1985). На юге региона, в Тункинской котловине, отложения boreального времени содержат спектры, в которых господствует пыльца ели, кедра, лиственницы, березы, сосны, ольхи, ивы. Среди пыльцы трав господствует пыльца осоковых, злаковых, полыней (Равский и др., 1964).

Отложения атлантического периода на севере региона содержат спектры с господством пыльцы древесных форм: ели, пихты, кедра, березы, сосны; единично встречается пыльца широколиственных — бересклета приземистого, дуба монгольского, липы сибирской. Донные отложения средней части Малого моря содержат спектры с господством (до 90 %) пыльцы древесных: ели, кедра, пихты, сосны, березы. Травянистые формы представлены единичными пыльцевыми зернами осок, злаков и мезофитного разнотравья (Белова, 1975).

Отложения атлантического времени южного побережья оз. Байкал характеризуются спектрами с господством пыльцы древесных: пихты, ели, кедра, сосны, березы, кедрового стланика; много спор многоножковых, пыльцы верескоцветных. В отложениях этого времени в Тункинской котловине господствует опять же пыльца древесных: сосны, березы, ольхи. Постоянные компоненты спектров — пыльца дуба монгольского, бересклета приземистого. Разнообразен и состав пыльцы трав: злаковые, осоковые, маревые, лилейные, зонтичные, лютиковые, гречишные, розоцветные и т. п. (Равский, 1972).

В отложениях первой половины суббореального времени на севере региона спорово-пыльцевые спектры содержат пыльцу кедра, сосны, ели, пихты, кедрового стланика, березки. В южной котловине в отложениях суббореала преобладают пыльца кедра, пихты, березы, из кустарников — душекия, березка кустарниковая, кедровый стланик. Отложения на юге региона, датированные второй половиной суббореального времени, содержат пыльцу кедра, ели, березы, из кустарников — березки, душекии (Зубарев, 1981; Савина, 1982).

Отложения первой половины субатлантического времени в южном Прибайкалье содержат спектры с господством в них пыльцы кедра, сосны, березы; во второй половине субатлантики к ним добавляется пыльца лиственницы (Зубарев, 1981).

## Глава 6

### ОСНОВНЫЕ ЭТАНЫ РАЗВИТИЯ ОЗЕРА

Формирование и развитие байкальской впадины и самого озера происходили в течение длительного геологического времени. Благодаря тектоническим процессам менялись структура впадины и положение в ней озерных бассейнов. Хорошо различимы два крупных этапа, отличающиеся тектоническим режимом, климатом и характером осадков. Первый этап протекал в условиях относительно спокойного рельефа, медленного прогибания и теплого климата. Второй этап происходит в условиях значительной тектонической активности, он характеризуется интенсивным прогибанием днищ впадин и более суровым климатом. В работе Н. А. Логачева (1958) первый этап датирован миоценом — ранним плиоценом, а второй — поздним плиоценом — современным временем. Н. А. Флоренсов (1968) выделил предорогенные, или раннеорогенные формации, относящиеся к интервалу верхний олигоцен — нижний плиоцен, и синорогенные, или рифтогенные формации (средний плиоцен — голоцен). Он предложил различать два этапа в развитии байкальской впадины: раннебайкальский и позднебайкальский (необайкальский).

В период раннебайкальского этапа началась перестройка плана и структур «рифтогенных долин», погружение их внутренних частей, слабое поднятие гор по краям, увеличение размеров и глубин озерных бассейнов. В этот период на месте Южного и Среднего Байкала возник крупный озерный бассейн с большим количеством бухт и заливов, отложения которого обнаружены на юго-восточном берегу современного Байкала. Эти отложения содержат богатый комплекс субтропической фауны и флоры и датируются олигоцен-миоценовым временем. В полузамкнутых заливах Пробайкала происходило накопление углистого материала. Во время раннебайкальского этапа происходило постепенное снижение среднегодовых температур, что сказалось на теплолюбивой фауне и флоре. Сток из озера происходил в направлении верховьев р. Лены. В позднем плиоцене формируется сток по системе Иркут — Ангара.

Во время позднебайкальского этапа произошло структурное объединение впадин и Байкальская рифтовая зона приобрела черты единства на всем своем протяжении. В это время происходит образование единого водоема с его тремя впадинами и накопление глубоко-водных терригенных и диатомовых илов. Формируется современный сток Байкала через Ангару. Тектоническая активность постепенно несколько ослабевает.

Переломный момент в развитии Байкальской рифтовой зоны связан с возникновением контрастного рельефа впадины. Это привело к паразитанию глубин озера и накоплению грубообломочных отложений. Происходило также резкое ухудшение климата, вызванное изменение наземной растительности и обеднение органического мира озера, исчезновение в нем субтропических, а затем и пре boreальных элементов, возникновение эндемичных видов среди лимнобионтов.

## СОВРЕМЕННОЕ СОСТОЯНИЕ ОЗЕРА И ТЕНДЕНЦИЯ РАЗВИТИЯ ПРИРОДНЫХ ПРОЦЕССОВ

Современная экологическая обстановка на Байкале ставит перед исследователями сложную задачу — разработать меры по охране природы и рациональному использованию этого уникального водоема. В настоящее время на берегах Байкала развивается промышленность, завершается строительство БАМа и новых поселков, увеличивается судоходство и туризм, проводится вырубка лесных массивов, что исключительно неблагоприятно сказывается на состоянии водных масс и озера в целом. Особенно отрицательное воздействие на озеро оказывают Байкальский целлюлозный завод (БЦБК) в районе Солзана и Селенгинский целлюлозно-картонный комбинат на Селенге.

Острые дискуссии вокруг этих целлюлозных комбинатов ведутся уже давно и о них неоднократно писалось во многих научных, журнальных и газетных статьях. Наиболее подробно эта проблема изложена в статье Г. И. Галазия (1987), в которой отмечается, что основным источником поступления в Байкал загрязняющих веществ служат сточные воды и выбросы в атмосферу газов и пепла Байкальского целлюлозно-бумажного комбината и предприятий, расположенных в бассейне р. Селенги. Промышленные стоки БЦБК, пройдя сложную систему очистных сооружений, все же сохраняют в виде остаточных загрязнений довольно большое количество вредных и токсических веществ. Устойчивое загрязнение толщи байкальских вод прослеживается по различным компонентам на площади более 50 км<sup>2</sup> вокруг сбросного коллектора. Волокнистые и другие взвешенные и коллоидные вещества по подводным склонам каньона скатываются на глубину до 250 м. Для предотвращения загрязнения Байкала и его охраны необходимо сохранить такое состояние экосистемы бассейна, при котором могли бы нормально существовать гидробиоценозы, следует также осуществить очистку всех промышленных сточных вод предприятий и бытовых стоков г. Улан-Удэ, разработать мероприятия по охране воздушной среды от загрязнения атмосферными выбросами указанных комбинатов. Предлагается еще ряд мероприятий по сохранению окружающей среды.

Большой вред озеру наносит также и «аграрный пояс» Байкала, охватывающий более 700 сельскохозяйственных объектов. Причем большинство из ферм, складов, мастерских, храницниц находится в непосредственной близости от рек и речек, питаяющих своими водами сибирское озеро-море, а стоки животноводческих ферм, мазут, минеральные удобрения выносятся прямо в него. Все это настоятельно требует перевода этих хозяйств на экологически безопасные методы ведения сельского хозяйства.

Усиление процесса поступления биогенных элементов в озеро, вызывающее его эвтрофирование, неизбежно приводит к изменению состава донных осадков, отлагающихся в водоемах. Донные отложения являются одним из основных источников информации о темпах

развития процесса эвтрофирования озер. Известно, что наиболее чутким показателем в этом отношении являются геохимические модели подвижности микроэлементов, построение которых основано на использовании парных коэффициентов корреляции между последними. Получены интересные данные о содержании микроэлементов в осадках Байкала (Князева, 1954; Голдырев и др., 1971; Голдырев, 1982).

За последние годы в северной части Байкала, где у мыса Курла возник город Северобайкальск, появился новый очаг загрязнения. Цельнейшее развитие этого города, который может стать крупным промышленным центром, вызывает растущее беспокойство о состоянии Северного Байкала. Лимнологическим институтом СО АН СССР проведены специальные исследования в этом районе. В связи с необходимостью оценить фоновые характеристики антропогенного воздействия на этом участке озера был выбран прибрежный район Байкала между реками Тыя и Кичера, непосредственно прилегающий к железнодорожному полотну. Процесс эвтрофирования в северной части озера сопровождается закономерной эволюцией литогенеза. Для осадконакопления в условиях антропогенных изменений здесь характерен, с одной стороны, ряд общих черт в седimentации в условиях естественного эвтрофирования, а с другой — некоторые особенности, обусловленные геохимической спецификой антропогенного фактора (аккумуляция нефтепродуктов, сульфидной пыли, бытовые стоки, сильная эрозия и т. п.), что позволяет обоснованно установить историю и условия протекания эвтрофикации в этой части Байкала.

Антропогенные воздействия на водоем, происходящие в настоящее время, со временем могут нанести большой ущерб Байкалу. Сделано уже довольно много для сохранения этого уникального озера, но предстоит провести еще ряд крупных мероприятий, чтобы стабилизировать обстановку. В 1987 г. ЦК КПСС и Совет Министров СССР приняли постановление «О мерах по обеспечению охраны и рационального использования природных ресурсов бассейна озера Байкал в 1987—1995 гг.». Недавно создан «Фонд Байкала», цель которого — объединить все общественные силы, желающие помочь делу охраны «славного моря». Есть основание полагать, что широкие мероприятия, намеченные за последнее время, приведут к сохранению Байкала и его бассейна.

## Часть 5

### ОЗЕРО ХАНКА

#### Глава 4

#### ПРИРОДНЫЕ ОСОБЕННОСТИ ОЗЕРА

Изучением истории оз. Ханка занимаются Тихоокеанский институт географии, другие институты Дальневосточного отделения Академии наук СССР, а также некоторые геологические и географические организации Владивостока и Хабаровска. Непосредственное участие в сборе и обработке материалов, характеризующих современные, плейстоценовые и неогеновые отложения озера, принимали А. М. Горчаков, В. И. Китаев, М. А. Михайлов, В. Б. Курносов, Л. П. Караполова, В. И. Росликова, М. П. Тарышкина и многие другие, за что им приносится благодарность.

Озеро Ханка находится на Дальнем Востоке, на границе между Советским Союзом и Китаем, и принадлежит к водосборному бассейну Амура. Площадь озера — 4070 км<sup>2</sup>, наибольшая глубина — 6,5 м, средняя абсолютная высота уровня — 69 м. Водосборный бассейн озера площадью 17,5 тыс. км<sup>2</sup> большей своей частью (97 %) располагается на территории Советского Союза. В прошлом к водообороту Ханки относился также бассейн р. Раздольной, которая теперь впадает в Японское море. Из Ханки вытекает р. Сунгач — приток р. Уссури.

Озеро окружено обширной Ханкайской равниной, которая простирается на севере до места впадения в Уссури р. Мулинхе; восточная ее окраина проходит вдоль подножия хр. Синего (с абс. выс. 600—1000 м), входящего в систему хребта Сихотэ-Алиня; на юге большая часть водораздела бассейна р. Раздольной и оз. Ханка находится в пределах Хорольского мелкогорья. Лишь бассейн р. Абрамовки, входящей в Ханкайский водосбор, дренирует северную часть Раздольненской депрессии. Западная граница Ханкайской равнины проходит по подножию хр. Пограничного, входящего в систему Восточно-Маньчжурских гор (рис. 58). Для этой части Ханкайского бассейна характерен постепенный переход рельефа от средне- и низкогорного к мелкогорному, холмисто-увалистому, а затем к останцово-денудационному и далее к аккумулятивным равнинам. Ханкайская равнина ограничена зоной мелкогорья, рассеченного на отдельные массивы кайнозойскими наложенными впадинами (Гродековской, Реттиховской, Йуриковской и др.). В этой зоне образовались значительные по мощности коры выветривания и покровный чехол глинисто-щебнистых склоновых отложений. Более низкая зона холмисто-

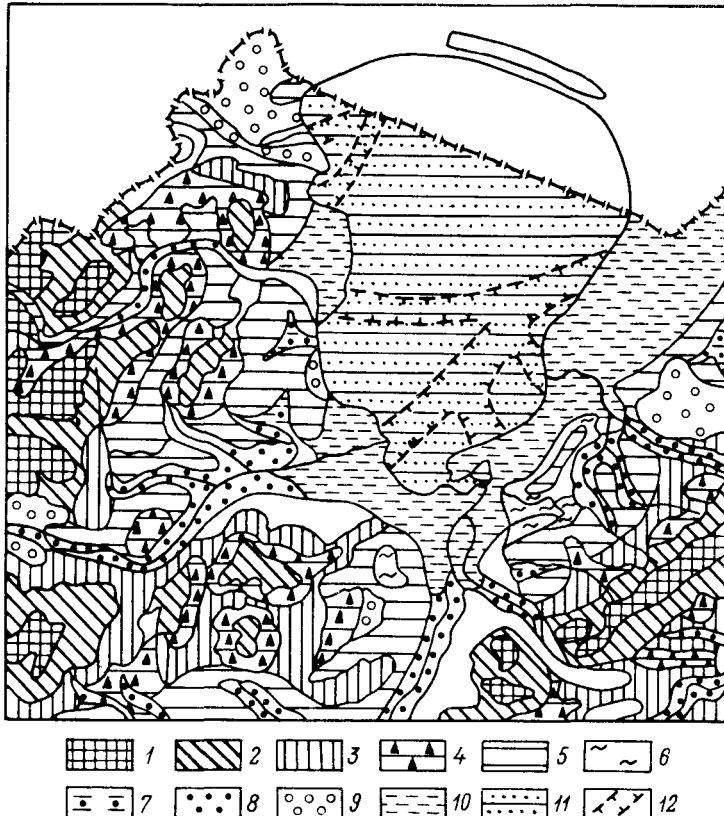


Рис. 58. Геоморфологическое строение Хаткайской котловины и ее обрамления.

1 — визкогорье; 2 — мелкогорье; 3 — плиоценовая поверхность выравнивания; 4 — останцовые массивы с педиментами; 5 — поверхность инжечетвертичной аккумуляции; 6 — зона аккумуляции покровных бурых суглинков; 7 — участки аллювиально-балочной аккумуляции; 8 — участки четвертичной аллювиальной аккумуляции и голоценовые дельты; 9 — плиоценовые террасы; 10 — поверхность позднечетвертичной озерной аккумуляции; 11 — поверхность современной озерной аккумуляции; 12 — переуглубленные долины.

увалистого рельефа расположена в пределах Хорольского мелкогорья и у подножия Восточно-Маньчжурских гор. Для этой зоны характерно сочетание отдельных останцовых массивов и разделяющих их денудационных поверхностей («пьедесталов»). Широкое развитие мощных кор выветривания в совокупности со слабым эрозионным расчленением привело к формированию на всех элементах рельефа мощного чехла, сложенного глинами и суглинками (Короткий и др., 1972).

Высокая аккумулятивная равнина (абс. отм. 100—120 м), широко развитая в обрамлении озера, сопряжена прежде всего с кайнозойскими тектоническими впадинами (Литология ..., 1979). Она возникла в конце плиоцена, когда интенсивный эрозионный врез привел к возникновению террасы с современной высотой уступа 40—60 м (Юг Дальнего Востока, 1972). Широкая полоса останцово-денудаци-

онного рельефа и высокой аккумулятивной равнины прослеживается на южном и западном побережьях озера.

Самой низкой ступенью рельефа является низкая аккумулятивная озерно-аллювиальная равнина. Вблизи озера ее абсолютная отметка колеблется в пределах 70—73 м, понижаясь в северной части, в месте слияния рек Уссури и Мулинхе, до 61—62 м. Низкая равнина простирается также вверх по долинам рек, впадающих в озеро. Особенно она широка в нижнем течении рек Илистой и Мельгуновки (до 30—40 км). Возникновение равнины связано с позднечетвертичным этапом аккумуляции, когда уровень озера достиг максимальных для приэстуарного отмечена отметок (Литология..., 1979; Короткий и др., 1982).

Озеро Ханка вытянуто в меридиональном направлении и имеет овальную форму. Береговая линия его слабо расчленена, особенно в восточной части. При общей ее длине в 309 км на долю изрезанного абразионно-денудационного побережья приходится только 47 км (Короткий и др., 1975). Коэффициент извилистости для северного побережья — 1.01, западного — 1.25, южного и юго-восточного — 1.10. Лишь в пределах западного и юго-западного берегов выделяются несколько мысов и полуостровов (п-ов Лузанова Сопка, Стародевицанский, мысы Николаевский, Камень, Белоглининский и др.) и сопряженных с ними заливов (Лузанов, Малый Ханкайчик, Астраханский, Члатоновский).

Водный баланс оз. Ханка приводится по данным наблюдений за 1949—1971 гг. (Васьковский, 1978). Среднегодовой слой атмосферных осадков на поверхность озера составляет 567 мм, формируя 54 % приходной части баланса, остальные 46 % приходятся на речной приток, годовой объем которого 1.72 км<sup>3</sup>. Основная его часть поступает по рекам Илистой (0.78 км<sup>3</sup>), Комиссаровке (0.34 км<sup>3</sup>), Мельгуновке (0.32 км<sup>3</sup>) и Сиасовке (0.21 км<sup>3</sup>). Расходная часть баланса складывается из испарения с поверхности озера (годовой слой 584 мм, или 56 % общих потерь воды) и стока по р. Сунгач (44 %), средний расход которой составляет 51.1 м<sup>3</sup>/с. Уровенный режим озера определяется многолетними колебаниями атмосферных осадков и положением порога стока в истоках р. Сунгач, высота которого была в последние годы искусственно снижена.

## Глава 2

### ПРОИСХОЖДЕНИЕ И РАЗВИТИЕ ОЗЕРНОЙ КОТЛОВИНЫ

#### Рельеф дна озера

У оз. Ханка сравнительно ровное дно с очень пологим понижением к зоне наибольших глубин, что расположена в северной части. Береговая отмель, в пределах которой развиты подводные валы, по данным М. Г. Васьковского (1978), ограничивается изобатой 1 м. Эта зона, достаточно хорошо выраженная лишь на аккумулятивных побережьях, очень постепенно переходит в дно озера. Выделение подводного склона в интервале глубин 1—3 м возможно лишь на отдельных участках, например в устьях рек, где он оноясывает

границы подводных дельт. Ширина береговой отмели на аккумулятивных участках побережий достигает 0,5 км и сокращается на участках активной абразии до 80–100 м. Широко развиты издавни, особенно вдоль плавких аккумулятивных берегов. Заросли водной растительности (шириной от 50 до 700 м), представленной тростником обыкновенным, цинанией, осоками, риской, рдестом, водяным орехом, наибольшего развития достигают на глубинах 0,2–0,7 м.

В средней части озера по линии мыс Иллюминесцентный – мыс Лебединский наблюдается пологое поднятие дна с глубинами до 4 м. Есть основания предполагать, что оно представляет собой древний водораздел, разделяющий озерную котловину на северную (продолжение Турьбережской мульды) и южную (продолжение Ильинской и Жариковской мульды). Не исключено, что в недалеком прошлом в пределах этого мелководья находились острова, уничтоженные к настоящему времени абразией. Об этом свидетельствуют находки аркозово-гравийных песков с неокатанными обломками коренных пород и резкое повышение содержания тяжелой фракции за счет граната, эпидота и сфена (Короткий, Карапуза, 1870; Нитология..., 1979).

### Причины возникновения плейстоценовых озерных бассейнов

Ханкайская котловина представляет собой синклинальный прогиб, в пределах которого на разных этапах кайнозоя возникали озера (Денисов, 1965; Юг Дальнего Востока, 1972; Ивашинников, 1978; Короткий, 1985). Решающую роль при этом играла разная интенсивность аккумуляции аллювия, приводящая к образованию «аллювиальных плотин» (Короткий и др., 1975; Короткий, Навлюткин 1983; Короткий, 1985). Большая скорость осадконакопления наблюдается в речных долинах, дренирующих Сихотэ-Алинь (р. Уссури) и Восточно-Маньчжурские горы (р. Мулинхе). На участке слияния этих рек (район городов Лесозаводск и Дальнереченск) она была максимальной для всей депрессии; там уже в нижнем плейстоцене возникла крупная внутренняя аллювиальная дельта. В речных системах южной и западной частей Ханкайского водосбора скорость аккумуляции была гораздо ниже.

Темпы аккумуляции в котловине оз. Ханка оставались значительными до тех пор, пока в него впадала р. Раздолынья, отложения которой выполняют палеоврез в долине р. Абрамовки (Навлюткин, 1986). После перестройки речной сети р. Раздолынья стала впадать в Японское море, в результате чего резко сократилось поступление обломочного материала в южную часть Ханкайской котловины. Разная интенсивность аккумуляции на севере и юге Уссури-Ханкайской депрессии вызвала в среднем плейстоцене возникновение небольших озер в пределах крупной переуглубленной палеодолины, расположенной на продолжении современных тальвегов рек Мельгуновки и Илистой (Короткий и др., 1980). По мере роста «аллювиальной плотины» на севере депрессии в ее южной части все более расширялся озерный водоем. К концу среднего плейстоцена древнее озеро заняло

всю низину вдоль р. Сунгач и достигло центральной части современного озера, а в долинах рек Ханкайского водообора возникли заливы. Глубины озера в соответствии с распределением твердого стока увеличивались с севера на юг, что зафиксировано в фациальных комплексах осадков (преобладание на севере озерно-болотных отложений, а на юге — озерных). По мере подъема уровня возник водоем, очертания которого были близки к границам низкой озерной террасы (Короткий, Карапова, 1970; Никольская, 1972; Юг Дальнего Востока, 1972; Ивашинников, 1978; Короткий и др., 1980). Возникновение озер в Ханкайской котловине на разных этапах плейстоцена регулировалось климатической ритмикой. Площадь водоема увеличивалась в эпохи похододаний и сокращалась в эпохи потеплений (Короткий и др., 1982).

### **Развитие котловины в дочетвертичное время**

В геологическом разрезе высокой аккумулятивной равнины вскрываются четко выраженные литологические толщи.

I. В основании разреза вскрываются верхнеолигоцен-среднемиоценовые нерасчлененные отложения, сопоставляемые с надеждинской и усть-давыдовской свитами региональной стратиграфической схемы (Ивашинников, 1978). Почти повсеместно в основании залегают базальные конгломераты, выше — ритмичное переслаивание песчаников, алевритов и аргиллитов. В центральных частях отдельных впадин преобладают мелкозернистые озерные осадки. Существование пра-Ханки подтверждается составом диатомовых водорослей.

II. В средней части разреза по обрамлению ханкайской котловины вскрываются белесые аллювиальные пески, галечники и валунники с прослойями туфогенных алевритов, по возрасту относимых к верхнему миоцену—нижнему плиоцену (Денисов, 1965; Юг Дальнего Востока, 1972). Ближе к современной береговой линии и в центре отдельных впадин Уссури-Ханкайской депрессии бурением установлены озерно-аллювиальные (дельтовые фации) и озерные отложения, представленные мелкозернистыми песками и иловатыми глинами. В основании разреза — разнозернистые пески, залегающие с размывом на среднемиоценовых озерных отложениях (Ивашинников, 1978). Не исключено, что озерная трансгрессия достигла максимума в конце этого ритма аккумуляции. Ей соответствуют красноцветные пляжевые галечники и пески, установленные в Турьерогской и Спасской мульдах (Юг Дальнего Востока, 1972). Существует и другая точка зрения, согласно которой разрез верхнего миоцена—нижнего плиоцена во впадинах Уссури-Ханкайской депрессии представлен исключительно аллювиальными фациями (Карасев, 1963).

III. В верхней части разреза высокой аккумулятивной террасы в обрамлении Ханкайской котловины отмечается почти повсеместное развитие толщи красноцветных глин и бурых суглинков, мощность которой увеличивается от 3—5 м (вблизи бровки террасы) до 40 м (в ее шовной части) (рис. 59). Эта толща характерна и для денудационного уровня, где она имеет сходное строение и литологическую

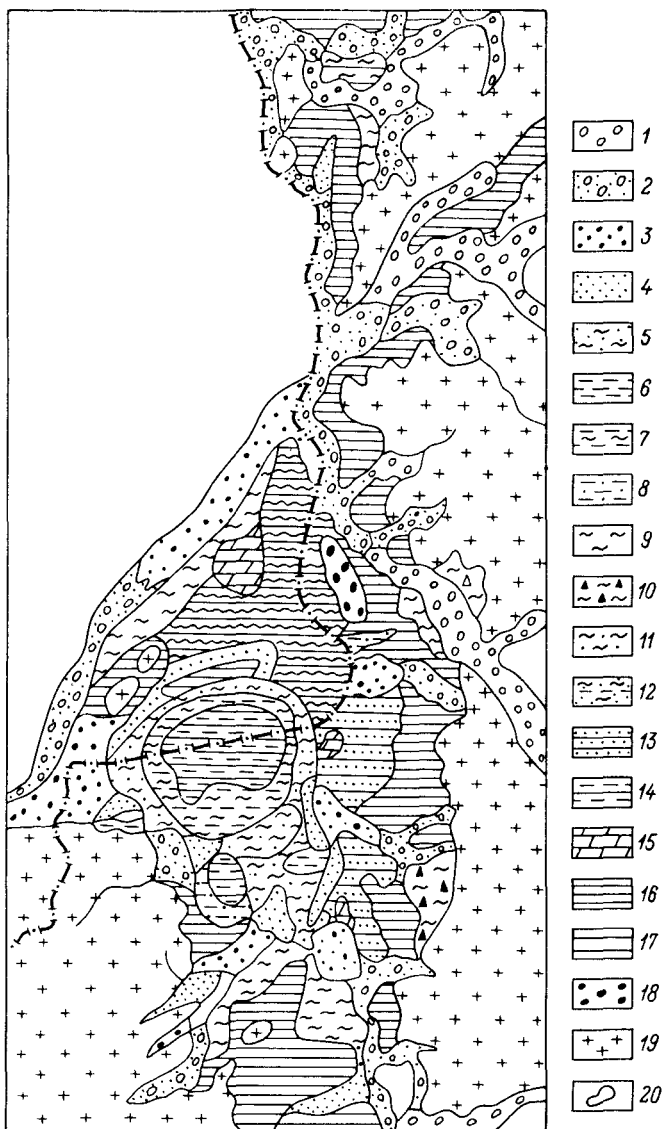


Рис. 59 Схема распределения осадков разной крупности в котловине оз. Ханка и ее обрамлении.

1 — валунно-галечечно-щебчаные отложения; 2 — галька с илеском; 3 — гравий с галькой и илеском; 4 — илески; 5 — илески глинистые; 6 — алевриты; 7 — алевриты глинистые; 8 — алевриты песчанистые; 9 — суглинки пойменные; 10 — суглинки щебистые; 11 — суглинки песчанистые; 12 — супеси глинистые; 13 — глина песчанистая; 14 — глина алевритистая; 15 — глины вивиантитовые с органическим веществом; 16 — покровные бурые глины и суглинки; 17 — торф; 18 — древние грубообломочные отложения; 19 — область денудации; 20 — контуры озер.

характеристику. По своим литолого-фацальным характеристикам она подразделяется на 5 пачек (Короткий, 1983).

1. Пачка красноцветных глин кирнично-красных и ярко-желтых разностей с переслаиванием в основании разреза белесых, охристо-красных и фиолетово-розовых глин; в ее кровле отмечаются исконные почвы типа феррисолей. По генезису эта пачка является чаще всего пролювиально-склоновой, а в отдельных разрезах — озерно-аллювиальной (мыс Белоглининский) или пойменно-аллювиальной (разрез Одарка). Формирование пачки красноцветов происходило в теплумеренном, но с переменным увлажнением климате, когда во внутриматериковых впадинах получали распространение саванноподобные ландшафты (Юг Дальнего Востока 1972; Короткий, 1983; Павлюткин, 1986).

2. Пачка «шоколадных» глин, по представлениям В. К. Сохина (1972), образует поверхность нижнечетвертичной озерной террасы с абсолютными отметками от 90 до 300 м. Сложена она тяжелыми глинами с высоким содержанием конкреций железа (до 79 % общего состава тяжелой фракции). Минеральный состав глинистой фракции изменяется в зависимости от характера подстилающих (обычно сильно выветрелых) коренных пород: на гранитах — с высоким содержанием гидрослюд (до 40 %) и каолинита (до 30 %), на базальтах — монтмориллонита (до 70 %). Для толщи характерна грубая слоистость за счет разной насыщенности гидроокислами железа и дресвой коренных пород, а также наличия погребенных почв в ее разрезе. Довольно точно следя за характером кровли элюированных коренных пород, слоистость характеризуется хорошо выраженной инволюцией и морозобойными трещинами (Короткий, 1975; Болиховский, 1978; Павлюткин, 1986).

3. Пестроцветная пачка бурых глин и суглинков приурочена к склонам крупных балочных систем, дренирующих зону холмисто-увалистого рельефа и высокую аккумулятивную террасу. Для нее характерны желтовато-бурый и синевато-бурый цвет с хорошо выраженным пятнистым ожелезнением, грубая параллельная слоистость с наклоном слоев к центру эрозионных систем. В основании пачки встречаются песчанистые алевриты и ожелезненные глинистые пески. Вещественный состав толщи свидетельствует о ее формировании как за счет размыва кор выветривания, так и свежих коренных пород. Накопление толщи происходило при резкой изменчивости окислительно-восстановительного потенциала среды, вызываемой, вероятно, колебаниями уровня грунтовых вод в пределах заболоченных ландшафтов в условиях холодного климата, чему соответствует состав почвенных и болотных видов диатомей и «фригидные» комплексы спор и пыльцы. Сильная оглеенность погребенных почв, входящих в состав пестроцветной пачки, по данным В. Ф. Болиховского (1978), связана с их формированием в условиях многолетней мерзлоты.

4. Пачка бурых суглинков местами отмечается на поверхности наиболее уплощенных водоразделов и характеризуется монотонным механическим составом (с преобладанием алевритов). Предположи-

тельно она частично имеет золовое происхождение (Короткий, 1983; Навлюткин, 1982), на что в тяжелой фракции указывает обилие слюд, пироксенов, амфиболов, а в легкой — кварца и полевых шпатов (независимо от петрографического состава подстилающих пород, даже на базальтах).

5. Пятая почка, приуроченная к тальвегам балочных систем, сложена серыми и синевато-серыми алевритами, песчанистыми суглинками с прослойками торфа; в ее основании отмечены линзы косо- и горизонтально-слоистых мелкозернистых песков. Для нее характерно высокое содержание органики, закисного железа и присутствие вивианита. Накопление отложений, фиксируемых на абсолютных высотах от 70—72 м до 100—140 м, происходило преимущественно в условиях холодного климата в слабопроточных системах. Отложения почки отнесены к балочному аллювию (Короткий, 1970, 1983; Юг Дальнего Востока, 1972).

Сходный литологический комплекс отложений, развитый преимущественно в обрамлении депрессий, широко распространен на юге Дальнего Востока. Генезис этих отложений, известных под названием «толщи бурых глин и суглинков», вызвал длительные споры. Часть исследователей рассматривала эту толщу как озерные осадки, фиксирующие трансгрессии (с амплитудой до 100 м), которые приводили к образованию гигантских озер во всех внутриконтинентальных впадинах юга Дальнего Востока (Берсенев и др., 1962; Сохин, 1972). В качестве доказательств озерного генезиса толщи приводились большая мощность осадков (до 40 м), выдержанность верхней границы, однородный механический состав. Другая группа исследователей пришла к выводу о полигенном происхождении толщи (Короткий, 1970, 1983; Короткий и др., 1972, 1980; Юг Дальнего Востока, 1972; Болиховский, 1978; Ивашинников, 1978; Литология..., 1979; Навлюткин, 1981, 1982, 1986).

Сравнение основных литологических особенностей проблематичных «озерных» отложений и современных литолого-фацальных комплексов оз. Ханка (Литология..., 1979) показало следующее.

1. Бурые суглинки в отличие от современных озерных отложений обладают плохо выраженной грубой слоистостью, обусловленной в основном наличием горизонтов погребенных почв и повторяющей поверхности склона и кровлю коренных пород.

2. В разрезе толщи бурых суглинков отсутствуют осадки, которые можно было бы сопоставить с пляжевой и литоральными фациями, прекрасно выраженными в современных озерных отложениях.

3. Изменения гранулометрического состава суглинков и глини хорошо увязываются с особенностями рельефа: более грубые разности наблюдаются в зонах низкогорного и мелкогорного рельефа, более тонкие — в зоне недиментного выравнивания. Более грубодисперсные отложения отмечаются на днищах балок и на склонах вблизи оз. Ханка. Иными словами, гранулометрия свидетельствует об обратной зональности осадков, нетипичной для озер гумидной зоны. Отсутствуют и четкие переходы от одной литологической разности осадков к другой. Следует отметить, что содержание

шелитов в бурых суглинках и глинах значительно выше, чем в озерных отложениях (соответственно 40—60 и 9—20 %).

4. Минералогические ассоциации алевро-псаммитовой фракции красноцветных глин и бурых суглинков отражают состав подстилающих пород; значительное по сравнению с озерными отложениями обогащение устойчивыми минералами, вероятно, связано с тем, что глины и суглинки возникли в результате переработки плиоценовых красноцветных и более древних кор выветривания. Встреченные в бурых суглинках минералы являются локальными, имея радиус перемещения кластогенного материала, по данным А. И. Животовской (1956), от 2 до 6 км. Вещественный состав озерных отложений отражает осредненную минералогию водосборного бассейна (литология..., 1979).

5. В красноцветных глинах и бурых суглинках по сравнению с озерными отложениями отмечено обилие аутигенных минералов — гидроокислов железа и марганца (до 60—90 % общего состава тяжелой фракции). Преобладание красного и бурого цветов у глин и суглинков проблематичной толщи является надежным признаком субаэральной седиментации (Чухров, 1975). Изменение окраски красноцветных глин и суглинков хорошо контролируется положением и возрастом геоморфологических поверхностей: более высокие водоразделы заняты ржаво-бурыми и коричневыми глинами, склоны водоразделов — нестабильной толщей, днища балочных систем — толщей серых песчанистых суглинков. Таким образом, «проблематичную» толщу можно отнести к терригенно-хемогенным осадкам (обломочные + аутигенные материалы), современные озерные — к преимущественно терригенным.

6. В легкой фракции красноцветных глин и суглинков отмечается резкое по сравнению с озерными отложениями преобладание выветрелых и глинисто-слюдистых обломков, а содержание кварца соответствует тому, что в подстилающих породах, и в основном меньше (до 40 %), чем в современных озерных отложениях.

7. Каолин-монтмориллонитовый состав глинистых минералов в красноцветных глинах отражает более глубокую стадию изменения исходных пород по сравнению с озерными осадками. Это вполне объяснимо, если учесть, что современные озерные отложения, для которых характерна нестабильность в составе глинистых минералов, формируются в основном за счет размыва умеренно выветрелых и невыветрелых пород в зонах среднегорного и низкогорного рельефов. Для красноцветных глин и суглинков установлена четкая связь состава глинистых минералов с подстилающими породами (корами выветривания) (Животовская, 1956; Болиховский, 1978).

8. В красноцветных глинах и суглинках практически отсутствует рассеянное органическое вещество, а соотношение трех- и двухвалентного железа контрастно. Для озерных отложений оно меняется в пределах от 4 до 8 %, в осадках проблематичной толщи отмечается резкое преобладание  $\text{Fe}_2\text{O}_3$ .

Все это показывает, что комплекс проблематичных красноцветных глин и суглинков обладает целым рядом признаков, которые сбли-

жают их с покровными отложениями гумидных и semiгумидных районов Евразии, расположенных в умеренно теплом климате (Животовская, 1956; Короткий и др., 1972; Чухров, 1975).

## Глава 3

### МОРФОЛОГИЯ И ДИНАМИКА БЕРЕГОВОЙ ЗОНЫ

Береговая зона оз. Ханка достаточно четко подразделяется на четыре района (Ивашинников, 1978): 1) Западно-Ханкайский (Турий Рог — с. Астраханка); 2) Южно-Ханкайский (мыс Камень — зал. Тростниковый); 3) Восточно-Ханкайский (зал. Тростниковый — истоки р. Сунгач); 4) Северо-Ханкайский (в пределах Китая). Описание морфологии и динамики берегов оз. Ханка дано по их состоянию на 1969—1974 гг., которым отвечает высокий уровень озера. Последующее снижение уровня, вызванное естественными причинами и усиленное влиянием деятельности человека привели к существенной перестройке процессов в береговой зоне. При выделении отдельных типов берегов принятая классификация, сходная с таковой для морских побережий (рис. 60).

Абрационный тип берега, выработанный в коренных породах, развит локально: активные клифы с непропусками (во время высокого уровня воды) или с абрационной платформой (при снижении уровня) отмечаются у мыса Белоглиняного, к югу от пос. Новокачалиска, на северном побережье Платоновского залива и на западном окончании п-ва Лузановой сопки. Слабое распространение абрационных берегов связано с замедлением абразии при достаточно стабильном уровне озера. Кроме того, слабая литификация кайнозойских отложений, широкое развитие кор выветривания и мощных склоновых глинистых отложений способствуют быстрому превращению в абрационно-денудационные.

Для абрационно-денудационного выровненного типа берега, широко распространенного в Западно-Ханкайском районе, характерны достаточно крутый уступ, у подножия которого наблюдается при слойный пляж или серии вдольбереговых валов, а также расчленение оврагами, логами и балками, что свидетельствует о значительной древности этого типа берега. Его развитие, особенно на первых этапах озерной трансгрессии, сопровождалось крупными оползнями и обвалами. Наиболее значительные древние оползни отмечаются между пос. Турий Рог и мысом Белоглиняным (рис. 61).

Среди абрационных берегов следует отдельно рассмотреть низкие аккумулятивные берега, подвергающиеся в настоящее время интенсивной абразии (низкие абрационно-аккумулятивные берега, по классификации Ю. К. Ивашинникова, 1978). Они достаточно широко распространены в Западно- и Южно-Ханкайском районах и обычно характеризуются активным клифом (высотой от 1,5—2 до 4—5 м) и абрационной платформой, особенно хорошо выраженной на участках размыва глинистых пород (район мыса Камень у с. Астраханка). Этот тип берега особенно свойствен древним аккумулятивным выступам — дельтам, возникшим при снижении уровня озера (или полном

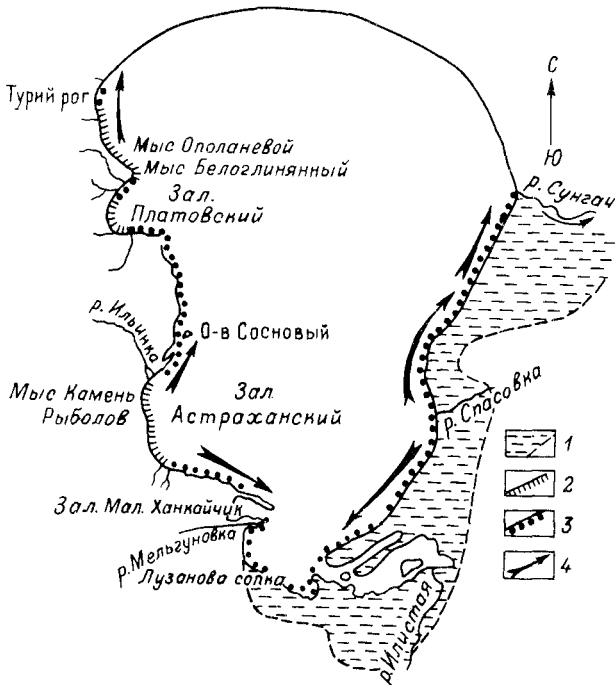


Рис. 60. Морфодинамическая схема берегов оз. Ханка и вдольбереговые потоки наносов.

1 — контуры позднечетвертичной озерно-аллювиальной равнины; 2 — абразионные и абразионно-денудационные берега; 3 — аккумулятивные берега; 4 — вдольбереговые потоки наносов.

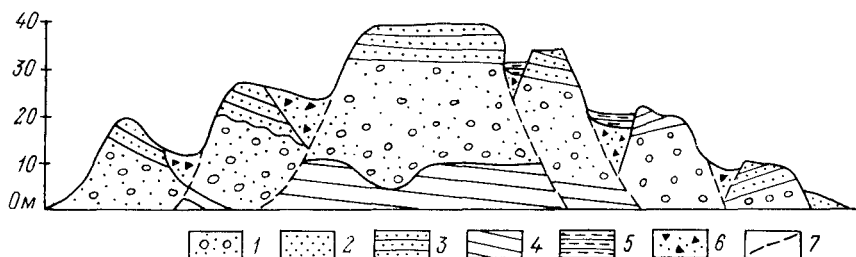


Рис. 61. Геологическое строение абразионно-денудационного уступа на участке развития древних оползней.

1 — галечники с песком; 2 — песок; 3 — красноцветный глинистый песок; 4 — алевролиты; 5 — органогенные глины; 6 — диамикиты; 7 — зона смещения.

его исчезновении) в устьях рек Комиссаровки, Мельгуновки и Спассовки. Неравномерная скорость абразии приводит к образованию на таких участках побережий абразионно-бухтового типа берега. Так, например, Платоновский залив возник в результате ускоренной абразии древней пролювиально-склоновой толщи, сложенной глинисто-песчаными отложениями. Глины удаляются в виде взвеси,

а небольшое количество песка быстро перемещается на подводный склон. В местах широкого развития песчаных накоплений абразия аккумулятивных форм связана с вывозом песка из пляжевой зоны (Бороткий и др., 1975). Размыв аккумулятивных форм в районе пос. Троицкого и с. Астраханки вызван многолетней эксплуатацией песчаных пляжей. В устье р. Комиссаровки аккумулятивный берег с 1938 по 1970 г. отступил почти на 120 км. Вблизи мыса Камень из-за вывоза песка в 1960—1970 гг. уничтожен участок берега шириной 15—20 м и длиной до 200 м (Литология. . ., 1979).

Абрация аккумулятивных форм особенно резко усиливается в периоды максимально высокого стояния уровня вод в оз. Ханка. Подъем воды ведет к подтоплению устьев рек, впадающих в озеро, с чем связано уменьшение доли влекомых наносов, поступающих в волноприбойную зону. Снижение уровня озера в 1975—1985 гг. по сравнению с 1972 г. привело к резкому ослаблению абразии.

Аккумулятивные берега преобладают в Восточно- и Северо-Ханкайском районах. Аккумулятивный выровненный тип берега фиксирует существование в береговой зоне значительных по протяженности потоков наносов с избытком влекомого материала. В южной и юго-восточной части побережья преобладают потоки наносов юго-западного и юго-восточных направлений (рис. 60). Их формирование связано с максимальной длиной разгона волны при ветрах северо-западных и северных румбов. К северу от устьев рек Комиссаровки и Сиасовки образование вдольбереговых потоков наносов происходит под действием южных и юго-западных ветров. Потоки наносов наблюдаются не только в пляжевой зоне, но и на прибрежных мелководьях, в пределах которых обломочный материал накапливается при понижении уровня озера.

На аккумулятивных выровненных берегах почти повсеместно наблюдается полоса песчаного пляжа шириной до 8—10 и высотой до 1,5 м. Обмеление озера, наблюдающееся в настоящее время, привело к резкому расширению песчаных пляжей и быстрому зарастанию луговой растительностью береговых валов, соответствующих волноприбойной зоне 1970—1972 гг. В пределах более древних участков аккумулятивной равнины (к северу от Нузановой сопки) отмечаются вдольбереговые валы, понижения между которыми заняты болотами.

Аккумулятивные дельтовые берега распространены в устьях рек Мельгуновки и Комиссаровки, выносящих во вдольбереговую зону песчано-галечный материал. Внутренняя часть дельтовой равнины р. Мельгуновки высотой до 2,5—3 м, сложенная с поверхности глинисто-алевритовым материалом с нигребенными почвами, отвечает стадии заполнения осадками залива (12—8 тыс. л. н.). Две другие внешние лопасти, сложенные песком, возникли при более низком уровне озера. Переопределение наносов при разных его уровнях привело к формированию аккумулятивной дуги на внешнем контуре дельты с образованием залива Малый Ханкайчик.

Аккумулятивно-ингрессионный тип берега сопряжен с устьями рек, несущими мало наносов. В таких устьях образуются заливы,

далеко проникающие в глубь суши. В нижнем течении рек в зонах приустьевого спада уровней во время паводков возникли глубоко врезанные эрозионные каналы глубиной до 6–7 м. Поступление обломочного материала с вдольбереговыми потоками наносов (рис. 60) определило блокировку устьевых «эстуариев» и образование крупных дельт, для которых характерны обширные болота и озера (например, в устье р. Илистой).

Аккумулятивно-фитогенный тип берега встречается на низменных заболоченных участках побережья, где абразии подвергаются древние лагуны, озера и болота. В пределах прибрежных мелководий наблюдается широкая полоса водной растительности (плавни). По простиранию береговой линии фитогенные участки включены обычно в состав аккумулятивного выровненного побережья (устье р. Илистой, зал. Малый Ханкайчик, устье р. Малый Сунгач и др.).

Широкое развитие аккумулятивного выровненного берега на востоке и изрезанность абразионно-аккумулятивного на западе озера, по мнению Г. С. Гапешина (1957), связаны прежде всего с медленным поднятием восточного и опусканием западного побережий. По нашему мнению, возможно и другое объяснение геоморфологической асимметрии (Юг Дальнего Востока, 1972; Литология..., 1979). На восточном и южном побережьях в котловину озера выносят грубообломочный материал реки с большим объемом твердого стока. За счет этого здесь в позднем плейстоцене и голоцене скопились массы обломочного материала, перемещение которого со вдольбереговыми потоками наносов и привело к образованию обширной аккумулятивной суши. На западном побережье озера, где нет крупных рек (за исключением р. Комиссаровки), наблюдается дефицит рыхлого материала, с чем связана активная абразия. Последняя усиливается тем, что в составе продуктов абразии преобладает глинисто-алевритовый материал, легко удаляемый во взвешенном состоянии из волноприбойной зоны.

## Глава 4 ДОИННЫЕ ОТЛОЖЕНИЯ

Доинные отложения оз. Ханка формируются в основном за счет обломочного материала, во-первых, приносимого реками, во-вторых, образующегося в результате размыва коренных берегов, сложенных слабо литифицированными кайнозойскими отложениями (западное побережье), в-третьих, поставляемого золовым переносом, особенно значительным в холодные эпохи плейстоцена (Навлюткин, 1982). Помимо этого на озере наблюдается ледовый разнос грубообломочного материала.

Главным поставщиком песчаногалечного материала в оз. Ханка является р. Комиссаровка. Большинство же рек, впадающих в озеро с запада и юго-запада, выносят в водоем песчаные и алевронесчаные осадки. Песчаноглинистые осадки поступают в озеро по рекам Илистой и Спасовке, малые уклоны которых вызывают почти полное осаждение песчаного материала в нижнем их течении.

Вдольбереговые потоки наносов способствуют осреднению структуры озерных осадков на значительных площадях. Это приводит к резкому различию структур аллювия, поступающего в зону литорали, и того, что накапливается здесь. Кроме того, гравийно-нагонные течения нивелируют состав взвесей, в результате чего возникают крупные поля довольно однородных по структуре осадков. Этому же способствует и мелководность озера, определяющего его бурность и неоднократную селекцию взвешенного материала, обусловливая уменьшение доли глинистой фракции в осадках озера, за исключением наиболее его глубоководной части (Короткий и др., 1975). Большое значение имеют также колебания уровня озера. Так, наблюдавшиеся вблизи устьев рек поля грубого материала образовались в эпохи понижения уровня или полного исчезновения озера в среднем голоцене (Короткий и др., 1980).

Литологические типы современных отложений оз. Ханка (рис. 62) выделены на основе подробного визуального описания поверхностного слоя осадков (197 станций) и 105 анализов для глин, алевритов и песков и 15—для галечников (Литология..., 1979).

Галечники (2—10 см) поступают в озеро исключительно в результате абразии и встречаются в составе осадков пляжей и сублиторали. По структуре обломочного материала выделяются два типа галечных отложений.

Первый тип галечников, сложенный хорошо окатанными обломками разнообразного вещественного состава, распространен в основном на северо-западном побережье оз. Ханка (севернее м. Белоглинского), где абразии подвергаются песчано-галечные отложения неогена. Размыв этих отложений водами озера приводит к тому, что здесь пляжевая зона и подводный склон до глубины 2 м сложен галечниками, по структуре и вещественному составу сходными и с плиоценовыми (Литология..., 1979). Хорошо окатанные галечники, связанные с размывом плиоценовых отложений, отмечены также в районе пос. Камень-Рыболов.

Второй тип галечников, наблюдаемый в местах абразии древних коренных пород, распространен на участке между мысами Белоглинским и Камень-Рыболов и в районе Лузановой сопки. На первом участке, где абрадируются сильно выветрелые гранитоиды, образуются плохо окатанные кварц-полевошпатовые галечники и арковые пески. На втором, где размываются умеренно выветрелые эффузивы, пляжевая фашия сложена хорошо окатанными галечниками. В пределах акватории галечный материал отмечается в качестве примеси к пескам в западной части озера, где в недавнем прошлом, видимо, были выходы сильно выветрелых гранитов на месте междепрессионной перемычки, разделяющей Турьерогскую и Жариковскую мульды.

Пески (0.1—1 мм) среди донных и пляжевых отложений оз. Ханка занимают значительное место (рис. 62). Пляжи и мелководья сложены песками практически на всем протяжении, за исключением отдельных бухт и заливов. Среди песчаных грунтов по соотношению фракций крупнее 0.1 мм с другими фракциями выделяются пески

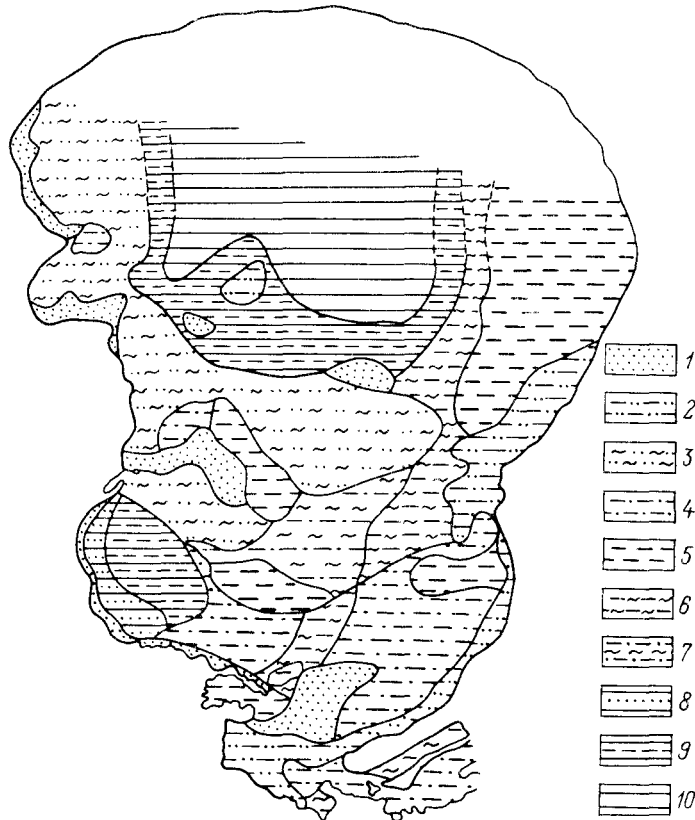


Рис. 62. Распределение современных донных отложений оз. Ханка.

*1 — песок; 2 — песок алевритовый; 3 — рит мелкий; 4 — алеврит глинистый; 5 — алеврит; 6 — алеврит глинистый; 7 — алевритовый; 8 — глина нес粘истая; 9 — глина глинистый; 10 — глина.*

(80—100 %), пески алевритовые (64—68 %) и глинистые (56—72 %).

В северо-западной части озера в местах размыва отложений неогена пески занимают подчиненное положение среди галечного материала (около 30—50 %). К северу, в районе пос. Турга, пляжи сложены преимущественно песком. Это связано с существованием здесь вдольберегового потока наносов северо-западного направления. Соответственно в этом направлении полоса кварц-полевошпатовых песков расширяется с 10—40 (мыс Белоглиняный) до 80—150 м (пос. Турга).

Южнее мыса Белоглинского наблюдается крупная абразионная дуга, выработанная в сильно выветрелых гранитоидах, где пляжевые осадки представлены плохо сортированными аркозовыми песками с примесью плохо- и умеренно окатанных обломков гранитов и кварца. Непосредственно к пляжу примыкает на мелководье полоса глинистых песков.

Далее к югу наблюдается крупный выступ аллювиально-дельтовой равнины р. Комиссаровки, имеющей возраст от верхнего плейстоцена до сего времени. В осадках этой равнины на участках, отвечающих позднему плейстоцену, преобладающими в разрезе являются именные суглиники и глины. В соответствии с этим на пляже и в зоне мелководья наблюдаются глинистые пески. Аккумулятивный выступ в устье р. Комиссаровки возник за счет аккумуляции аллювия, частично переработанного в зоне литорали. Пляжевые отложения шириной до 140—120 м представлены здесь хорошо сортированными мелкозернистыми песками, а на участках размыва аллювия — среднезернистыми песками с галькой. Выносимый р. Комиссаровкой обломочный материал вдольбереговым потоком северо-северо-восточного направления распространяется вплоть до о-ва Соснового (Бороткий и др., 1975).

К югу от устья р. Комиссаровки и до с. Астраханки наблюдается абразионная дуга, выработанная в осадочных породах мела, неогена и сильно выветрелых гранитоидах. Участку размыва неогеновых отложений отвечают хорошо сортированные мелко- и среднезернистые преимущественно кварцевые пески. В зоне абразии гранитов — кварц-полевошпатовые аргазовые пески.

В южной части оз. Ханка на участке от мыса Астраханского и до устья р. Мельгуновки процесс пляжевого осадконакопления подавляется биогенной аккумуляцией. Лишь в районе авандельты Мельгуновки за счет перемещения алевронечсаного материала в юго-восточном направлении возникла песчаная надводная коса, отчленившая зал Малый Ханкайчик.

К югу от устья Мельгуновки и до зал. Лузановая Сонка озером размывается древняя озерно-аллювиальная равнина. Возникающая на глинистых породах абразионная площадка перекрыта мало-моющим слоем песка, поступающего с потоком насыпей от устья Мельгуновки. Развитию песчаных форм препятствует мощная водная растительность. Аккумулятивный выступ к северу от устья Илистой возник за счет периодического поступления песчаного материала от устья Спасовки (рис. 60), где размывается древнеголоценовая дельта этой реки. Соответственно на этом участке побережья наблюдается чередование песчаных (косы на трассе потоков насыпей) и торфяно-илистых осадков (застойные озера и низинные болота). Пляжевые пески здесь слагают узкую полосу, а основная масса хорошо сортированного песка перемещается в зоне литорали.

К северу от устья Спасовки тянется широкая полоса древних пляжевых песков. Современный пляж и полоса литорали сложены хорошо сортированными кварц-полевошпатовыми мелко- и тонкозернистыми песками. Накопление песчаных осадков на востоке и северо-востоке происходило за счет перераспределения обломочного материала вдольбереговыми потоками насыпей северного направления.

Песчаные отложения имеют широкое распространение в зоне литорали, где по структуре и минеральному составу весьма сходны с пляжевыми: при сгонно-нагонных явлениях и сейшах они легко переходят в надводные образования. В пределах литорали развиты

подводные песчаные волны, фиксирующие трассы продольного перемещения наносов и участки интенсивной их подачи к береговой линии озера.

Помимо этого песчаные отложения довольно широко распространены и в пределах относительно глубоководной части озера (рис. 62), а также вблизи дельт рек Мельгуновки и Комиссаровки, при этом зона с максимальным содержанием песчаной фракции (до 90 %) там совпадает с древними дельтами этих рек.

В западной части озера, к юго-востоку от мыса Платоновского, выделяется крупное поле, где содержание песчаной фракции составляет 50—70 %. Это поле песчаных плохо сортированных осадков на мелководье (глубины 3—3.5 м) почти делит озеро на две части; длина его с запада на восток составляет около 20 км, а ширина в центральной части озера — около 7—10 км. Почти на всей площади поля осадков встречаются отдельные плохо окатанные мелкие гальки гранитов, а песок представляет собой продукты разрушения коренных пород (гранитоидов). Пятна слабо сортированного аркозового песка на мелководьях отмечены и в северной части озера. Возможно, там в недавнем прошлом существовали острова, сложенные выветрелыми гранитами. На остальной акватории озера содержание песка в донных осадках составляет 10—30, а в северной части — менее 10 %.

Алевриты (0.1—0.010 мм) среди донных отложений оз. Ханка занимают значительное место (рис. 62). В западной и центральной частях озера преобладают крупные их разности, на северо-востоке и на отдельных участках центральной и южной частей озера — мелкие. Наибольшее поле почти чистых алевритов расположено в северо-восточной части озера, примыкающей к истокам р. Сунгач. Здесь наблюдается обширная зона мелководья с серией подводных береговых валов, возникшая за счет аккумуляции обломочного материала, поступающего с юга. Мелководье и усиленный ветровой режим обусловливают сильное взмучивание донных осадков и удаление глинистой фракции с водами р. Сунгач. Алевриты отмечаются также непосредственно против устьев рек Илистой, Снасовки и Мельгуновки. Поля умеренно сортированных алевритов здесь непосредственно примыкают к береговой линии и трассируют зону сброса паводковых вод. Сопутствующие алевритам другие фракции находятся в тесной связи с гидродинамическим режимом рек: для рек Илистой и Снасовки характерны глины (до 20—30 %), а для Мельгуновки — песчаные фракции. К югу от Центрально-Ханкайского мелководья поля алевритов встречены на глубинах менее 6.0 м. Донные отложения здесь характеризуются высокой степенью сортировки и относятся к классу тонких алевритов.

Таким образом, распределение и сортировка алевритов на акватории оз. Ханка хорошо сопоставляются с зонами гидродинамической активности. Наиболее их высокое содержание на северо-востоке озера совпадает с относительно мелководными участками, где ветровое волнение приводит к взвешиванию пелитов и быстрому удалению их со стоком р. Сунгач. Подача тонкого материала в эту часть озера обеспечивается течениями, возникающими летом и ранней

осеню при южных ветрах. Бурность озера в сочетании с его мелководностью способствует широкому распространению алевритов практически по всей акватории озера, за исключением северной котловины (преобладают глины) и Центрально-Ханкайского мелководья (преобладают пески).

Озерные отложения в целом содержат меньшие глинистых частиц ( $0.01$  мм), чем поступающие в озеро взвешенные напосы рек. Отмечается тесная связь содержания глин в осадках с глубиной водоема (рис. 62). Самое большое поле с содержанием цеолитов выше 70 % наблюдается в северной части озера, где преобладают грубые глины (56 %). Содержание фракций менее 0.001 мм не превышает 20 %. В качестве сопутствующих фракций наблюдаются алевриты (до 19 %) и реже — мелкозернистый песок (до 10 %). Поле с высоким содержанием глин (50—70 %) находится также в Астраханском заливе к югу от устья р. Комиссаровки, которое образовалось за счет выносов этой реки и абразии глинистых кор выветривания: поздне-плиоценовых красноцветов, а также четвертичных бурых глин и суглинков. Наконец, установлено накопление глин в полузакрытых бухтах и лагунах, почти потерявших связь с озером (бухта Тихая — выше 65 %, оз. Лотосовое — 55 %, Лузанов залив — 62 % фракции 0.01 мм).

Следует отметить, что в донных грунтах содержание фракции менее 0.001 мм, т. е. тонкодисперсных глин, низкое — не выходящее за пределы 20 % почти на всей площади озера. Лишь в северной, наиболее глубоководной его части, а также против устьев рек Мельгуновки и Комиссаровки и в лагунах оно превышает 30 %. Содержание фракции менее 0.001 мм в донных отложениях оз. Ханка значительно меньше, чем в других крупных озерах гумидной зоны, включая сюда и сильно проточенные водоемы. Так, в донных осадках Онежского озера содержание тонкодисперсных глин составляет 80—85 %, в оз. Ильмень — 77—80 % (Россолимо, 1953).

Озеро Ханка в силу своей мелководности и климатических особенностей по характеру протекающих в нем гидродинамических процессов может быть отождествлено с обширной береговой отмелю с глубинами до 6 м. Волновым перемещиванием охвачена практически вся толща воды, и взмученный тонкодисперсный материал, находясь во взвешенном состоянии, не способен осесть на дно. Устойчивые южные ветры создают систему поверхностных течений, обеспечивающих вынос цеолитов в северную часть озера (рис. 60). Высокая динамическая активность водной массы озера максимально усиливает тесноту зависимости между типом донных осадков и рельефом дна, особенно очевидную для песков и крупных алевритов. Так, полосы глубин от 0 до 1.5 м соответствуют разнозернистые пески с гравием и мелкой галькой; от 1.5 до 3.5 м — преобладание мелкозернистых и тонкозернистых песков с пятнами несчанистых алевритов. Если подобные глубины встречаются на удалении от берега, то и здесь соответственно наблюдаются более крупные осадки по сравнению с соседними, более глубокими частями озера. На глубинах от 3.5 до 6 м в осадках современного дна господствуют слабонесчанистые алевриты.

и тонкие их разности. Исключение составляет юго-восточный угол Ханки, где при глубинах до 4 м накапливаются глинистые алевриты. Мелководные заливы, отчлененные от акватории озера косами или плавнями и почти потерявшие связь с основным руслом р. Илистой, служат своеобразными отстойниками, где происходит осаждение алевритоглинистых частиц.

В оз. Ханка ежегодно поступает 146 тыс. т аллювия, приносимого реками, 16 тыс. т продуктов абразии и 4 тыс. т золового материала, т. е. в целом 166 тыс. т. По р. Сунгач в виде взвешенных наносов из озера выносится 94.5 тыс. т. Следовательно, в озере каждый год остается 71.5 тыс. т терригенных осадков. При площади зеркала в 4070 км<sup>2</sup> рассчитанная скорость осадконакопления составляет около 0.01 мм/год. Фактически наблюдаемая скорость осадконакопления на 6-метровой изобате в центре оз. Ханка составила 30 см за 3 тыс. лет, т. е. около 0.1 мм/год (Короткий и др., 1982). Расхождение может быть объяснено как неточностями в балансовой схеме, так и возможным более активным поступлением материала в озеро за счет размыва древних дельт. Вблизи устьев крупных рек и в пляжевой полосе скорости терригенного осадконакопления для последних 3 тыс. лет оцениваются величиной 0.15—0.3 мм/год, а органогенного — около 0.6 мм/год. И все же в сравнении с другими озерами гумидной зоны скорость осадконакопления в оз. Ханка весьма мала.

Незначительная скорость осадконакопления в центральной части озера объясняется его гидродинамическим режимом, т. е., как уже упоминалось, бурностью в сочетании с мелководностью, обусловливающими интенсивное перемешивание воды и постоянное взмучивание осадков. Наибольшая мутность — от 167 г/м<sup>2</sup> вблизи берега до 145 г/м<sup>3</sup> в центре озера — наблюдается при сильных ветрах, в зимний период она постепенно снижается до 6.6—10.7 г/м<sup>3</sup>.

В мелководных озерах происходит накопление более грубых осадков, чем выносимых рекой взвесей и продуктов разрушения покровных и гипергенных образований. В составе неогеновых озерных отложений Ханкайской котловины очень мало пелитов. Это объясняется слабым их поступлением с заросших водохранилищ, взмучиванием донных осадков в мелководных озерах и их транзитным удалением за пределы котловины.

## Глава 5

### ИСТОРИЯ ОЗЕРА ПО ЗООГЕОГРАФИЧЕСКИМ ДАННЫМ

#### История озера по данным об ихтиофауне

В бассейне оз. Ханка зарегистрировано около 60 видов рыб, обитающих как в озере, так и в связанных с ним реках (Никольский, 1956). Для сравнения отметим, что в бассейне Амура, к которому относится и оз. Ханка, встречается немногим более 100 видов рыб.

Подавляющая часть видов ханкайских рыб — общая с ихтиофауной других участков бассейна Амура и не специфична для

оз. Ханка. Поэтому рыбное население этого озера может рассматриваться как обедненная часть фауны рыб Амура. Лишь два подвида — голюян Черского *Phoxinus szekanowskii szerski Berg* и ханкайская востробрюшка *Hemiculter Leucisculus Lucidus* (Dybowski) — являются эндемичными формами, встречающимися в оз. Ханка и впадающих в него реках. Они проникают и в р. Уссури. В Амуре обе формы заменяются близкими подвидами. Такой состав ихтиофауны оз. Ханка свидетельствует о ее тесной генетической связи с фауной рыб Амурского бассейна в целом. Поэтому можно считать, что рыбы оз. Ханка в подавляющей массе — вселенцы из соседних участков Амурского бассейна.

Очень низкий уровень эндемизма ханкайской ихтиофауны свидетельствует об ее относительной молодости. Этот вывод в общем согласуется с историей становления оз. Ханка как самостоятельного водоема. В начале плейстоцена в Ханкайской котловине озера не было. Здесь в это время существовала развитая речная сеть, связанная с бассейном палео-Амура (Короткий и др., 1982; Павлюткин и др., 1986). Озерный водоем возник в среднем плейстоцене, причем размеры озера на протяжении среднего и позднего плейстоцена и голоцене сильно изменились. В современных границах оз. Ханка сформировалось около 3 тыс. л. н. (Короткий и др., 1982).

Принимая во внимание данные о времени формирования оз. Ханка и длительности его непрерывного существования, можно считать, что история современной ханкайской ихтиофауны восходит к среднему плейстоцену. Именно в этот период в озере начал складываться тот комплекс видов рыб, который обитает в нем и поныне.

Ихтиофауна оз. Ханка формировалась из двух источников. Одним из них служили остатки рыбного населения речных систем, существовавших в ханкайской впадине до формирования озера. Полный список видов рыб этой группы восстановить достаточно сложно. Но вполне вероятно, что современные эндемики ханкайской ихтиофауны (голюян Черского, ханкайская востробрюшка), а также возможно, горбушика *Erythroculter oxyccephalus* (Bleeker) представляют собою остатки фауны рыб, населявшей речные системы в раннем плейстоцене. Вторым источником формирования рыбного населения оз. Ханка послужили прилежащие к озеру участки амурского бассейна. Отсюда в озеро проникло большинство обитающих в нем в настоящее время видов рыб.

Таким образом, по отношению к фауне рыб оз. Ханка основная часть бассейна р. Амур играла роль своеобразного резервата, в котором рыбы переживали периоды регрессии озерных водоемов, разместившихся в Ханкайской впадине, и вновь вселялись сюда при возникновении крупных озер.

### История озера по данным о фауне моллюсков

Малакофауна оз. Ханка довольно богата и включает более 50 видов брюхоногих и двустворчатых моллюсков. Основную роль играют лимнофильные формы мягких грунтов. Вторую группу

составляют обитатели прибрежных зарослей — фитофилы — это прежде всего многочисленные представители легочных моллюсков. На прибрежных лугах, затопляемых во время паводков, также обитает немало видов легочных моллюсков, образующих группу тельматофилов — обитателей временных водоемов. Помимо этих трех основных групп в тех участках озера, которые примыкают к устьям рек, встречаются реофильные виды, предпочитающие жить в условиях относительно быстрого течения и обитающие в основном в реках.

Обращают на себя внимание два существенных факта. Во-первых, все известные из Ханки виды достаточно широко распространены в бассейне Уссури, населяя как русло этой реки, так и многочисленные водоемы речной долины; при этом ханкайские формы никаких заметных отличий от уссурийских не имеют. Во-вторых, среди лимнофилов и реофилов, обитающих в Ханке и Уссури, нет ни одного вида, общего с реками юга Приморья (Раздольной, Артемовкой и др.); напротив, все фитофильные и тельматофильные виды — общие с бассейнами южно-приморских рек. Такая разница объясняется тем, что две последние группы моллюсков могут расселяться, преодолевая водоразделы, тогда как для остальных необходима водная (межбассейновая) связь.

Некоторые ханкайско-уссурийские виды распространяются далеко за пределы бассейна Уссури, а отдельные виды свойственны даже всему бассейну Амура. Тем не менее наблюдается некоторое общее обединение фауны в направлении от бассейна Уссури (Уссурийская провинция) к участку бассейна Амура, от Буреинского хребта до Богородского (Хабаровская провинция) и далее к низовым Амура, от Богородского до лимана (Нижнеамурская провинция). Верхняя часть бассейна Амура, выше Буреинского хребта (Аргунь-Зайская провинция) обединена еще более, что легко объясняется трудностью расселения против течения и более суровым климатом (Старобогатов, 1986).

Из описанных выше фактов следует, во-первых, что оз. Ханка на протяжении довольно длительного времени не соединялось с реками южного Приморья, несмотря на то, что водоразделы, отделяющие их от притоков озера, имеют незначительную высоту. Есть все основания считать, что котловина Ханки в течение всего плейстоцена и позднего миоцена (а может быть, и более длительный срок) дренировалась системой Уссури. Отсутствие сколько-нибудь заметных различий ханкайских и уссурийских популяций одних и тех же видов свидетельствует о том, что оз. Ханка — водоем сравнительно молодой, и, вероятнее всего, его образование следует датировать плейстоценом или началом голоцен. В этой связи мнение В. В. Никольской (1952) о миоценовом возрасте озера представляется неправдоподобным, так как в этом случае в озере образовались бы свои эндемичные виды (как это произошло за тот же или меньший срок в Байкале).

Вероятно, в плиоцене бассейн Амура был населен фауной моллюсков, очень близкой к современной уссурийской. Плейстоценовые похолодания вызывали гибель этой теплолюбивой фауны в северных частях бассейна и отеснение ее на юг в Ханкайскую котловину.

При плейстоценовых потеплениях и позже, в голоцене, моллюски из этого убежища расселялись вниз по Уссури и далее по Амуру. Поскольку процесс расселения довольно медленный и к тому же ему препятствуют некоторые различия в климатических условиях между югом и севером бассейна, сейчас мы наблюдаем постепенное обединение фауны к северу и вверх по Амуру.

## Глава 6

### Основные этапы развития озерной котловины

В пределах Уссури-Ханкайской депрессии, испытавшей устойчивое тектоническое опускание на протяжении всего кайнозоя, выделяется несколько эпох мощных озерных трансгрессий. В раннем и среднем кайнозое (вплоть до позднего миоцена) образование озер было связано с интенсивным погружением в многочисленных небольших тектонических впадинах — мульдах. В них в течение олигоцена и раннего миоцена накопились довольно мощные толщи в разной степени дислоцированных аллювиальных, озерно-аллювиальных и озерно-болотных отложений. Самая большая озерная трансгрессия на этом этапе развития впадины произошла в течение раннего и среднего миоцена.

Начиная с позднего миоцена чередовались эпохи озерных трансгрессий и эпохи интенсивного эрозионного расчленения ранее возникших аккумулятивных равнин. В позднем плиоцене произошло наиболее интенсивное расчленение плиоценовой аккумулятивной равнины (Денисов, 1965; Юг Дальнего Востока, 1972; Короткий, Навлюткин, 1984). Чередование эпох эрозии и аккумуляции привело к образованию в позднем кайнозое четко выраженных осадочных ритмов, для которых характерно накопление в первой половине ритма грубообломочного аллювия, во второй половине — более тонко-зернистых аллювиально-озерных, озерных и озерно-болотных отложений (рис. 63, см. вкладку). В настоящее время детально изучены эсадки, выполняющие позднеплиоценовые переуглубленные долины. Они вскрыты глубокими скважинами непосредственно в пределах котловины оз. Ханка (Короткий, Кауалова, 1970; Короткий и др., 1980; Муратова и др., 1981; Навлюткин, 1986).

К началу плейстоцена в пределах Уссури-Ханкайской впадины сформировалась сеть переуглубленных долин глубиной (относительно поверхности плиоценовой террасы) до 150 м. В результате на месте плиоценовой озерной равнины возникла речная сеть, сток по которой происходил в направлении нижнего течения р. Большой Уссури.

В раннем плейстоцена сеть магистральных долин была выполнена мощной (до 40—50 м) толщей аллювиальных (на юге) и аллювиально-болотных (на севере озерной котловины) отложений. Во второй половине раннего плейстоцена ( $Q^2$ ) в северной части Ханкайской котловины отмечается заболачивание, приведшее к накоплению в краевых частях крупных долин и в пределах Уссури-Сучанского междуречья черных вивиантитовых глин. Наиболее интенсивное

формирование низинных болот (о чем свидетельствуют комплексы диатомей, полученные из черных глин) происходило на правобережье долины р. Сунгач, в бассейне р. Белой и южнее слияния рек Уссури и Мулинхе. Заболачивание было вызвано возникновением «аллювиальной плотины» в месте слияния Уссури и Мулинхе (рис. 58). К началу среднего плейстоцена в центральной и северной частях котловины оз. Ханка возникли отдельные неглубокие озерные водоемы, осадки которых (с соответствующим комплексом диатомей и четко выраженной слоистой текстурой) вскрыты скважинами в среднем течении р. Сунгач и к северу от устья о. Комиссаровки. Цепочка неглубоких озер, где формировались черные вивианитовые глины, существовала и по восточному борту Ханкайской котловины. Однако единого водоема еще не существовало.

Похолоданию среднего плейстоцена ( $Q_1^2$ ) отвечает первая, достаточно крупная озерная трансгрессия (рис. 64). С ней связано широкое распространение озерных осадков непосредственно в Ханкайской котловине и их появление в разрезах аллювиальных дельт (устья рек Мельгуновки, Илистой, Спасовки). Среднеплейстоценовое озеро было мелководным, о чем свидетельствует преобладание пляжевых и мелководно-озерных (литоральных) отложений, в том числе и в скважинах на акватории современного озера.

В середине среднего плейстоцена (шмаковское время) глубины водоема увеличились до 6–12 м. В результате в пределах всей южной части современной акватории начали отлагаться глинистые осадки с тонкой горизонтальной слоистостью.

В конце среднего плейстоцена озеро обмелело (рис. 64). Появились пористые бурые суглиники (вероятно, пойменные). В результате дальнейшего падения уровня на них сформировался почвенный горизонт, представленный темно-бурыми пятнисто-ожелезненными суглинками с прекрасно выраженными вертикальными отдельностями. Судя по структуре спорово-пыльцевого комплекса из погребенной почвы, регрессия происходила во время второго среднеплейстоценового межледниковья ( $Q_{II}^2$  — сунгачское время). Озеро, вероятно, полностью не исчезало. Сохранился залив на продолжении переуглубленной долины рек Мельгуновки и Илистой. Вероятно, единый водоем шмаковского времени распался на ряд мелководных озер, соединенных протоками или реками.

Похолодание в конце среднего плейстоцена ( $Q_{II}^2$  — вяземское время) привело к трансгрессии (более высокой, чем в шмаковское время). Единый озерный водоем существовал на всем пространстве от широты г. Лесозаводска и до нижнего течения р. Илистой. Он существенно отличался от современного озера. В северо-западной части современной акватории на продолжении мыса Белоглиняного и к северу от о-ва Соснового сохранялись участки супи, которым в настоящее время соответствуют мелководные банки (до 4 м), сложенные аркозовыми песками с щебнем гранитов (рис. 62).

В устьях наиболее крупных рек существовали заливы, о чем свидетельствуют находки песков и алевритов с тонкой горизонтальной слоистостью, вскрытые в устьях Мельгуновки, Илистой и Спасовки.

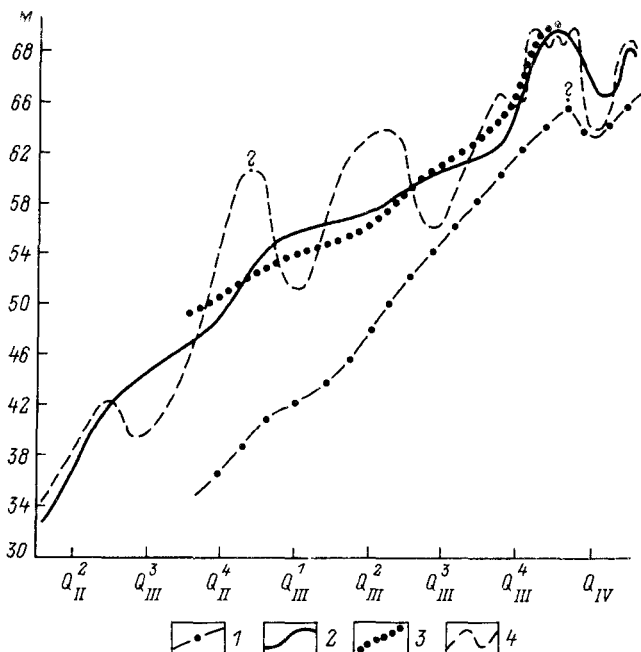


Рис. 64. Положение разновозрастных уровней четвертичной седиментации и кривая колебаний уровня оз. Ханка в плеистоцене.

1-3 — положение кровли и подошвы мезоритмов (1 — скв. 77, акватория озера; 2 — скв. 2-10; 3 — скв. 3-ю, устье р. Мельгуновки; 3 — скв. 10, устье р. Илистой); 4 — кривая колебаний уровня озера.

Обилие тонко рассеянного растительного детрита (вплоть до мелких обломков древесины) и наличие линзочек торфа говорят о мелководности этих заливов и спокойном режиме седиментации. Гранулометрический анализ осадков показал их полное тождество с современными осадками оз. Ханка.

К сожалению, из осадков вяземского горизонта получены лишь единичные, хотя и довольно богатые комплексы диатомей. Встреченные среди них представители рода *Melosira* (*Aulacosira*) свидетельствуют о значительной глубине водоема. Расчет глубины водоема по положению кровли и подошвы вяземского горизонта в центральной и краевой частях Ханкайской котловины дает суммарную величину подъема уровня воды в озере около 12—12,5 м.

К началу рисс-вюрма (находкинское время —  $Q_{III}^I$ ) озерная трансгрессия достигла своего максимума. Граница между средним плеистоценом и рисс-вюрмом, фиксируемая по изменению спорово-пыльцевых спектров, выявлена в литологически однородной толще. Но вскоре уровень озера снизился и выше озерных отложений образовалась пачка песчанистых осадков, которая накапливалась в пределах прибрежного мелководья. В ней сохранились вертикально ориентированные окаменелые остатки растений. По составу спорово-пыльцевых спектров эта пачка соответствует концу межлед-

никовья и переходу к ранневюрмскому похолоданию (Караулова, Назаренко, 1972; Короткий и др., 1980).

Сохранилось ли озеро в пределах котловины в течение рисс-вюрма, установить трудно. Даже на акватории озера пока не установлен полный разрез находкинского горизонта, хотя здесь и вскрыты осадки со снектрами, соответствующими климатическому онтимуму рисс-вюрма (ландшафт широколиственных полидоминантных лесов, в которых существенное место занимали *Carpinus cordata*, *Quercus dentata*, а также реликты тургайской флоры *Castanea*, *Fagus*, *Pterocarya*, *Celtis*). Накопление осадков происходило в сильно обмелевшем озере, на что указывают встреченные в этом слое почвенные формы диатомей. Амплитуда снижения уровня озера в рисс-вюрме, определяемая по положению кровли осадков находкинского горизонта, составляет не менее 8 м (рис. 64).

Озерная трансгрессия, начавшаяся в конце рисс-вюрма, достигла своего максимума в лазовское время ( $Q_{III}^2$  — аналог зырянского времени Сибири), которому отвечает значительное похолодание климата. В пределах Уссури-Ханкайской депрессии оно привело к смене полидоминантных широколиственных лесов березово-листовничими заболоченными ландшафтами (Короткий, Караулова, 1975). Подъем уровня озера на первом этапе трансгрессии был умеренным, о чем говорит довольно значительная абразия ранее сформировавшихся осадков. Об этом же свидетельствует и заметно резкая смена в разрезе илистых осадков (находкинский горизонт —  $Q_{III}^1$ ) грубозернистыми отложениями (конец рисс-вюрма — начало раннего вюрма). Повышение уровня во время ранневюрмской трансгрессии, определенное по положению кровли лазовского горизонта, составляет 10—12 м (рис. 64).

Перерыв в осадконакоплении в краевых частях озера был характерен для первой половины черноручинского времени ( $Q_{III}^3$  — средний вюрг — аналог каргинского горизонта Западной Сибири). Он привел к образованию глубинной эрозии в пределах прибрежной равнины и образованию здесь переуглубленных тальвегов, в которых накопились грубозернистые осадки (пески). Перерыв в осадконакоплении зафиксирован и в центральной части озера. Уровень озера снизился на 4—5 м. В северной части Ханкайской котловины в результате образовались обширные низинные болота, в которых накапливались вивианитовые глины.

В позднеледниковое время происходила трансгрессия, во время которой впервые за плейстоценовое время уровень оз. Ханка превышал современный на 1.5—2 м. Возник озерный водоем, простиравшийся на север до широты г. Лесозаводска и проникавший по долинам рек Мельгуновки, Илистой и Спасовки на 4—12 км от современного берега озера. Помимо современных рек в озеро впадали: на востоке — р. Белая, на западе р. Мулинхе, древние дельты которых хорошо прослеживаются в современном рельфе позднечетвертичной озерной террасы. В позднеледниковое время происходило быстрое выдвижение дельт и заполнение возникших в долинах заливов преимущественно песчаным материалом.

Озерный генезис песков и песчаных алевритов доказывается хорошо выраженной в них тонкой горизонтальной слоистостью и наличием остатков малакофауны (*Limnea stagnalis*, *Anadonta woodiana*, по заключению Е. И. Шорникова и Е. Н. Семеновой). В составе диатомей отмечены типично озерные формы. Накопление песков происходило в пределах прибрежных мелководий, куда обломочный материал приносился такими реками, как Комиссаровка, Мельгуновка, Спасовка, Белая и, возможно, Мулинхе, в бассейнах которых широко развиты коры выветривания на гранитоидах или плиоценовые песчано-галечные отложения. Важным источником песка явились и участки абразии древних кор выветривания и плиоценовых отложений по западному и северо-восточному побережьям озера. Там же, где размывались глинистые толщи (юго-восточное побережье и бассейн р. Илистой), в разрезах озерных позднеледниковых отложений преобладают тонкодисперсные осадки. Накопление песчаной почки сопровождалось развитием вдольбереговых потоков наносов. Они были особенно активны на восточном и северо-западном побережьях позднеледникового озера, где в рельефе низкой озерной террасы хорошо сохранились древние береговые валы, сложенные песком и частично переработанные ветром. Развитие потоков наносов приводило к отшпурковыванию лагун, в которых накапливались озерно-болотные отложения. В центральной части озера в позднем вюрме происходила аккумуляция песчаных алевритов и глин.

Во время начальной фазы трансгрессии, когда береговая линия располагалась на абсолютных отметках 63—64 м и происходило накопление песчано-гравийно-галечных наносов, существовало озеро глубиной 4—6 м. Далее произошел быстрый подъем уровня (до отметок 70—72 м), который вызвал накопление даже в прибрежной зоне почки песчанистых глин и алевритов. Последующее снижение уровня озера вызвало появление в верхней части этой почки (абс. отм. 66—67 м) вертикально ориентированных остатков растений и вивиапита. Именно в этой части разреза в устье р. Мельгуновки обнаружены бивни мамонта ( $15\ 300 \pm 140$  л. п. — Ки-1130) и мощный «шиевый горизонт» (*Larix*, *Picea*) на 5 м ниже кровли разреза позднечетвертичной озерной террасы. Снижение уровня озера сопровождалось накоплением типично пляжевых крупнозернистых кварц-полевошпатовых песков. В это время происходило хорошо заметное потепление климата, о чем свидетельствуют спорово-пыльцевые спектры, в которых преобладает пыльца темнохвойных и значительно сокращается доля пыльцы мелколиственных пород (по сравнению с климатическим минимумом позднеледникового).

Снижение уровня озера, совавшее с потеплением климата, было непродолжительным. Последовавший подъем уровня озера снова достиг отметок, максимальных для плейстоцена (+72 м). Во время этого подъема на акватории происходило накопление песчанистых глин и алевритов, в прибрежной зоне — тонких глин (с содержанием фракции  $<0.001$  до 40—60 %). Эти различия в седиментации, возможно, связаны с широким «отшпурковыванием» лагун на последних этапах трансгрессии, которые и явились ловушками

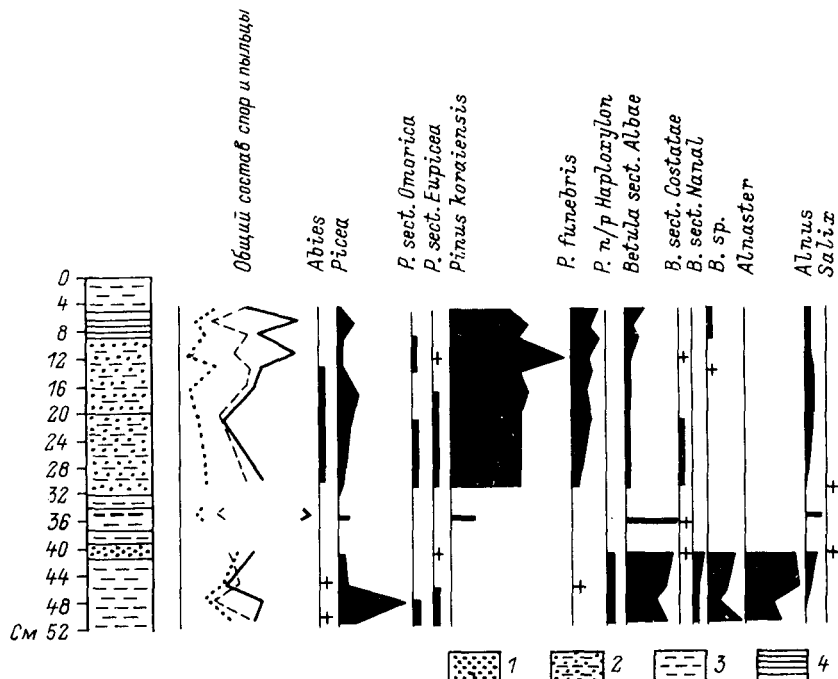


Рис. 65. Спорово-пыльцевая диаграмма скв. 326 (центральная часть акватории оз. Ханка).

1 — песок; 2 — песчанистый алеврит; 3 — алеврит; 4 — глина; 5 — глинистые «окатыши»; 6 — сумма пыльцы древесных и кустарниковых пород; 7 — сумма пыльцы травянистых растений; 8 — сумма спор.

для тонкодисперсных частиц. Аналогичная ситуация наблюдается и теперь на современном восточном, юго-восточном и южном побережьях оз. Ханка.

Последний этап позднеледниковой трансгрессии сопровождался небольшими, но довольно продолжительными сидами и подъемами уровня озера. Спады уровня зафиксированы в разрезе низкой озерной террасы двумя довольно мощными пластами погребенных лугово-болотных почв с хорошо выраженным криотурбацией. По времени возникновение почв отвечает периодическим потеплениям климата конца позднеледникового. Формирование разделяющего их пласта озерных отложений совпадает со среднедриасовым похолоданием климата (Короткий, 1975).

Понижение уровня озера в аллере́де сопровождалось активным разрушением вечной мерзлоты на прибрежной равнине, зафиксированным четко выраженным проявлением солифлюкции и термокарста в верхней погребенной почве. Начавшееся в аллере́де снижение уровня озера явилось предвестником голоценовой регрессии. В это время происходит быстрое выдвижение аллювиальных дельт и перекрытие озерных отложений почвы пойменными суглинками. Зафиксирован-

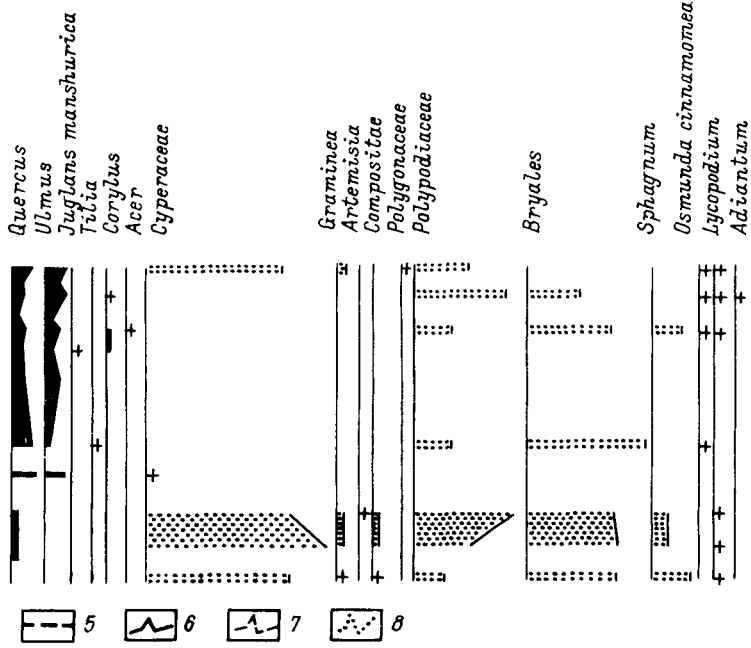


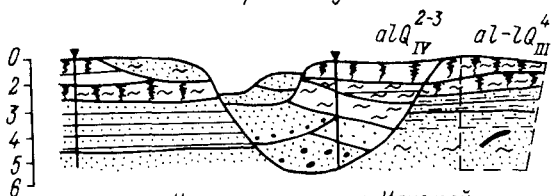
Рис. 65 (продолжение).

рованные в этих суглинках морозобойные трещины предположительно связаны с позднедриасовым похолоданием климата, четко выраженным на юге Дальнего Востока (Караулова, 1974; Короткий, Караулова, 1975).

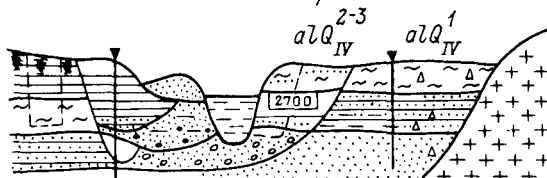
В котловине оз. Ханка водоем в современных его границах существует лишь последние три тысячи лет. В осадках оз. Ханка, даже в его более глубоководной северной котловине, установлен хорошо выраженный стратиграфический перерыв. Так, в колонке озерных осадков (мощностью 0,54 м), взятых трубкой ГОИН в наиболее глубокой части озера (скв. 326), вскрыт двухслойный разрез (Короткий, Караулова, 1975). На отложениях аллера и позднего дриаса залегают субатлантические отложения (рис. 65). Это свидетельствует о перерыве в осадконакоплении, связанном с обмелением или даже кратковременным полным исчезновением озера. Снижение уровня во время голоценовой регрессии относительно максимального уровня в позднем плейстоцене достигало 6–8 м. Регрессия вызвала врезание в нижнем течении рек, впадающих в оз. Ханка, на глубину до 4–7 м (рис. 66). В нижнем течении р. Илистой образовался переуглубленный до 8 м тальвег, который был затем выполнен осадками среднего и позднего голоцена.

На акватории современного озера против устьев рек Спасовки, Мельгуновки и Комиссаровки до глубин 3–4 м вскрыты поля плохо и умеренно сортированных глинистых песков с гравием

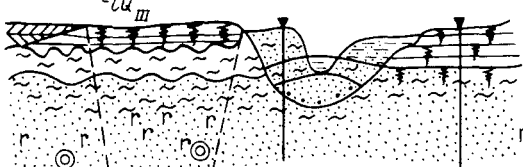
Устье р. Мельгуновки



Нижнее течение р. Илистой



Устье р. Спасовка



Пос. Малый Сунгач

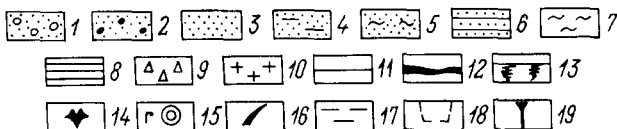
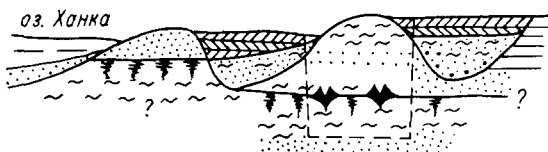


Рис. 66. Соотношение верхнечетвертичных и голоценовых отложений в обрамлении оз. Ханка.

1 — песок с галькой; 2 — песок с гравием; 3 — песок; 4 — песок глинистый; 5 — суглинок песчанистый; 6 — глина песчанистая; 7 — суглинок; 8 — глина; 9 — щебень; 10 — коренные породы; 11 — криотурбации; 12 — почвы; 14 — «пнейовый» горизонт; 15 — остатки древесины и травянистых растений; 16 — бивни мамонта; 17 — вода; 18 — карьеры и расчистки; 19 — скважины.

и галькой (Короткий и др., 1975). По своим литологическим характеристикам эти осадки сходны с аллювием этих рек. Поля песчаного материала, вероятно, являются дельтами, образовавшимися в период регрессии озера.

Начало современной трансгрессии оз. Ханка пока не имеет точной временной привязки. Отсутствие атлантических и суб boreальных озерных осадков на глубинах до 4—5 м дает основание предполагать,

что быстрый подъем уровня озера начался в конце суббореала — начале субатлантики. Вероятно, это повышение было достаточно быстрым: отмечается почти одновременное формирование верхней пачки как озерных, так и болотных отложений в ближайшем обрамлении озера.

Подъему уровня озера соответствует активная аккумуляция в речных долинах. К концу суббореального времени уровень аккумуляции в долинах рек Илистой, Сиасовки и Мельгуновки был близок к современному, что подтверждается  $^{14}\text{C}$  — датами, полученными для основания высокой поймы ( $2350 \pm 50$  — МАГ-332;  $2750 \pm 50$  — МАГ-333). К настоящему времени уровень аккумуляции в речных долинах достиг поверхности позднечетвертичной террасы, в результате чего в краевых частях речных долин отмечено «наноплазание» современного аллювия на поверхность древней озерной террасы (реки Мельгуновка и Илистая). Трансгрессия вызвала также образование огромных болот по восточному и северному обрамлению озера. Произошло интенсивное заболачивание Уссури-Сунгачского между-речья.

Накопление озерных и озерно-болотных отложений в Уссури-Ханкайской депрессии тесно связано с климатической ритмикой позднего кайнозоя. Для четвертичного времени очевидна связь трансгрессий с похолоданиями климата, а регрессий — с теплыми климатическими эпохами (рис. 64). Уровень озера определялся не изменениями увлажненности, а условиями седиментации. Значительные подъемы уровня (до 10—12 м) определялись интенсивной аккумуляцией в месте слияния рек Мулинхе и Уссури и усилением «плотинного эффекта». Именно поэтому мощности «холодных» пачек аллювия в долине р. Уссури хорошо коррелируются с высотой трансгрессий оз. Ханка. Сокращение амплитуды колебания уровня озера от среднего плейстоцена к позднеледниковому обусловлено прежде всего заполнением озерной котловины обломочным материалом. В результате повышения уровня аккумуляции площадь озера в эпохи трансгрессий позднего плейстоцена увеличивалась, а амплитуда уменьшалась. Соотношение современных отметок дна озера (+61 м) и уровня «аллювиальной плотины» в долине р. Уссури (+64 м) исключает возможность большого повышения уровня озера.

Регрессии оз. Ханка связаны с усилением эрозии и уменьшением аккумуляции в долине р. Уссури. В четвертичное время потепления сопровождались увеличением атмосферных осадков и стока. Связь между значительными потеплениями в плейстоцене и развитием эрозионных процессов хорошо подтверждается анализом соотношения «теплых» и «холодных» пачек аллювия в речных долинах Уссури-Ханкайской равнины. Прекращение интенсивной аккумуляции и оживление эрозии в долине р. Уссури (глубина вреза в голоцене до 3—5 м) вызывало значительное увеличение среднего уклона р. Сунгач, в долине которой также усиливались эрозионные процессы. Уменьшение высоты порога стока озера приводило к резкому увеличению стока из него. По нашим расчетам, при увеличении среднегодовых расходов р. Сунгач до  $100 \text{ м}^3/\text{с}$  (в настоящее время они

составляют  $51 \text{ м}^3/\text{с}$ ) уровень озера понизится на 4–6 м по сравнению с современным уровнем за 12–15 лет.

Именно по этой причине в начале голоцена произошла быстрая регрессия озера — оно сильно уменьшилось по площади, а может быть, даже исчезло совсем. Подобным же образом происходили и другие регрессии при переходе от холодных и относительно засушливых к теплым и влажным эпохам плейстоцена.

Учет роли «аллювиальной плотины» в долине р. Сунгач, вытекающей из оз. Ханка, позволил объяснить кажущуюся парадоксальной ситуацию: повышение уровня озера при усилении относительной засушливости климата и понижение при его повлажнении.

## ПАМЯТИ ДМИТРИЯ ДМИТРИЕВИЧА КВАСОВА

Очередной том «Истории озер СССР», посвященный больши́м озерам гумидной зоны страны, выходит в свет, когда инициатора, редактора и основного автора этой монографической серии — видного советского географа, ведущего научного сотрудника Института озероведения АН СССР доктора географических наук Дмитрия Дмитриевича Квасова — уже нет среди нас. Он скончался 26 августа 1989 г. в Коктебеле на 58-м году жизни. Ушел из жизни талантливый ученый необычайно широкого круга интересов и научного кругозора, крупный исследователь в области палеогеографии, замечательный знаток многих озерных районов СССР.

Д. Д. Квасов родился в Ленинграде 20 июля 1932 г.; воспитывался в семье деда — выдающегося отечественного натуралиста и географа академика Л. С. Берга. В 1954 г. он окончил географический факультет Ленинградского государственного университета по специальности «гидрология суши». В 1958 г., вскоре после окончания аспирантуры, успешно защитил кандидатскую диссертацию.

Научная деятельность Д. Д. Квасова протекала в Лаборатории аэротехнологии Мингео СССР, Ленинградском отделении Института океанологии, Лаборатории (затем Институте) озероведения АН СССР. Здесь в круг его научных интересов вошли проблемы геологической истории морских и озерных бассейнов Евразии (Балтийское, Каспийское, Черное и Аральское моря; озера Балхаш, Иссык-Куль, Байкал). Палеогеографические реконструкции этих водных бассейнов легли в основу его докторской диссертации, защищенной в 1974 г. Вскоре был опубликован получивший наиболее широкую известность его монографический труд «Позднечетвертичная история крупных озер и внутренних морей Восточной Европы» (1975 г.), после некоторого сокращения и доработки изданный также в Финляндии (1979 г.).

В 70–80-х годах Д. Д. Квасов публикует большинство оригинальных теоретических работ о климатической природе плейстоценовых оледенений и эволюции Скандинавского, Баренцева, Канадского и Антарктического ледниковых щитов, их влиянии на рельеф и ландшафты Земли.

С 1983 г., уже в качестве сотрудника Института озероведения, Д. Д. Квасов возглавил работы по созданию монографической серии

«История озер СССР». Помимо общего редактирования первых пяти томов серии он осуществил непосредственную подготовку и составление первого (Методы изучения озер) и четвертого (Озера Ладожское, Онежское, Ильменско-Чудское, Байкал и Ханко) томов. Весомое авторское участие Д. Д. Квасов принял и в составлении пятого тома, посвященного крупным озерам аридной зоны СССР. В его замыслах оставался специальный том об озерах страны в плейстоцене.

Перу Д. Д. Квасова принадлежит также обширный цикл работ по методологии и истории отечественного естествознания. Им подготовлен к печати и снабжен предисловием широкоприветственный труд Л. С. Берга «Номогенез», новое издание которого («Труды по теории эволюции») при поддержке передовых ученых страны удалось осуществить в 1977 г. Анализу деятельности и научного наследия деда поэвзицена и его последния (написанная в соавторстве с В. А. Исаченковым) книга «Л. С. Берг» (1988 г.). Публикации того же цикла освещали различные стороны творческой деятельности и других замечательных естествоиспытателей и мыслителей, в числе которых Н. А. Кроноткин, В. И. Вернадский и С. И. Вавилов.

Д. Д. Квасов был активным участником множества международных и всесоюзных конгрессов, съездов и совещаний по различным проблемам геологии, гляциологии и океанологии. По его инициативе и при активном участии были организованы привлекшие внимание научной общественности всесоюзные симпозиумы по истории озер СССР, первый из которых состоялся в Ленинграде в 1965 г., восьмой — в Минске в 1989 г.

Д. Д. Квасов вел большую научно-организационную работу в качестве председателя Гидрологической комиссии Географического общества СССР и члена его Ученого Совета.

Светлая память о Дмитрие Дмитриевиче Квасове навсегда останется в сердцах его коллег и товарищей.

## ЛИТЕРАТУРА

- Абрамова С. А. Палинологические исследования донных отложений Онежского озера // Материалы II симпоз. по истории озер Северо-Запада СССР. Минск, 1967, С. 7—9.
- Абрамова С. А. Палинологические исследования отложений Иновенецкого залива // Предварительные результаты работ комплексной экспедиции по исследованию Онежского озера. Петрозаводск, 1969. Вып. 3, С. 104—107.
- Абрамова С. А., Давыдова Н. Н. К палеолимнологии Ладожского озера // Изв. Всесоюз. геогр. о-ва, 1966, Т. 98, № 1, С. 19—25.
- Абрамова С. А., Давыдова Н. Н., Квасов Д. Д. История Ладожского озера в голоцене по данным спорово-пыльцевого и диатомового анализов // История озер Северо-Запада. Л., 1967а, С. 413—432.
- Абрамова С. А., Давыдова Н. Н., Квасов Д. Д. О восточных пределах распространения прибрежного юльдинского моря // Baltica, 1967б, З, С. 14—22.
- Абрамова С. А., Хомутова В. И. Палинологические исследования донных отложений Онежского озера // Палинология голоцена и морино-палинология. М., 1973, С. 27—33.
- Адаменко О. М., Белова В. А., Иопова С. М. и др. Биостратиграфия верхнеплейстоценовых отложений Тункинской впадины // Геология и геофизика, 1975, № 6, С. 78—84.
- Адаменко О. М., Адаменко Р. С., Белова В. А. О возрасте молассовых толщ Байкальской рифтовой зоны по фауне мелких млекопитающих // Среда и жизнь на рубежах эпох кайнозоя в Сибири и на Дальнем Востоке. Новосибирск, 1984, С. 489—493.
- Александров Б. М. Схема биоценозов Онежского озера // Гидробиологические исследования. Тарту, 1962, Т. 3, С. 481—486.
- Александров Б. М. Двусторчатые моллюски озер Карелии // Фауна озер Карелии. М.: Л., 1965, С. 96—110.
- Александров Б. М. Об изучении состава донной фауны Онежского озера // Предварительные результаты работ комплексной экспедиции по исследованию Онежского озера. Петрозаводск, 1968а, Вып. 3, С. 37—89.
- Александров Б. М. О раках Карелии // Тр. Карельского отд. Гос. ИИОРХ, 1968, Т. 4, Вып. 3, С. 188—209.
- Амантов А. В., Сидиринов М. А. Геология Ладожского озера // Сов. геология, 1989, № 4, С. 83—86.
- Базаров Д. Б. Кайнозой Прибайкалья и Западного Забайкалья. Новосибирск, 1986, 181 с.
- Базаров Д. Б., Будаев Р. Ц., Калмыков Н. Н. О возрасте плейстоценовых террас северо-западного побережья оз. Байкал // Поздний плейстоцен и голоцен юга Восточной Сибири. Новосибирск, 1982, С. 155—157.
- Базаров Д. Б., Ербаева М. А., Резанов И. Н. Геология и фауна опорных разрезов антропогена Западного Забайкалья. М., 1976, 148 с.
- Базаров Д. Б., Иметханов А. Б., Резанов И. Н. О плиоцен-четвертичных отложениях и геоморфологическом строении юго-восточного Прибайкалья // Геология и полезные ископаемые Забайкалья. Улан-Удэ, 1974, С. 136—143.
- Базикарова А. Я. Каспийские элементы в фауне амфипод Байкала // Тр. Байкальской лимнол. станции, 1940, Т. 10, С. 357—368.

- Бекман М. Ю. Биология *Gammarus lacustris* Sars прибайкальских водоемов // Тр. Байкальск. лимнол. ст. 1954. Т. 14. С. 263–311.
- Бекман М. Ю., Старобогатов Я. И. Байкальские глубоководные моллюски и родственные им формы // Новое о фауне Байкала. Новосибирск, 1975. Ч. 1. С. 92–111.
- Белова В. А. История развития растительности котловин Байкальской рифтовой зоны в позднем кайнозое. М., 1975. 142 с.
- Белова В. А. Растительность и климат позднего кайнозоя юга Восточной Сибири. Новосибирск, 1985. 158 с.
- Белова В. А., Ендрехинский А. С. Палеонтологическое обоснование стратиграфии неогеновых отложений Байкальской рифтовой зоны // Палеонауки Сибири. М., 1980. С. 84–92.
- Берг Л. С. О предполагаемых морских элементах в фауне и флоре Байкала // Изв. АН СССР. Сер. мат. и естеств. наук. 1934. № 7. С. 25–31.
- Берг Л. С. Рыбы пресных вод СССР и сопредельных стран. М.; Л., 1949. Ч. 3. С. 929–1381.
- Берсенев И. И., Морозова В. Ф., Салуц С. А. Новые данные по стратиграфии аллювиальных, озерно-аллювиальных и озерных четвертичных отложений Приморья и Среднего Приуралья // Сов. геология. 1962. № 9. С. 78–86.
- Берсенев И. И., Сохин В. К. Четвертичные отложения // Геология СССР. М., 1969. Т. 32, ч. 1. С. 373–395.
- Бирштейн Я. А. Пресноводные ослики (*Asellota*). М.; Л., 1951. 143 с.
- Бирштейн Я. А., Виноградов Л. Г. Пресноводные Decapoda СССР и их географическое распространение // Зоол. журн. 1933. Т. 13, вып. 1. С. 39–70.
- Бискэ Г. С. Четвертичные отложения и геоморфология Карелии. Петрозаводск, 1959. 308 с.
- Бискэ Г. С., Лак Г. Ц., Лукашов А. Д. Строение и история котловины Онежского озера. Петрозаводск, 1971. 73 с.
- Болиховский В. Ф. Ископаемые почвы и генезис покровных бурых суглинков Южного Приморья // Палеогеография плейстоцена Дальнего Востока и его морей. Владивосток, 1978. С. 76–80.
- Бэр К. Э. Отчеты начальника комиссии, исследовавшей рыболовство в Чудском озере и Байкальском море: Седьмой отчет // Исследования о состоянии рыболовства в России. СИб., 1860. Т. 1. 97 с.
- Валлиер Л. А., Желенин Г. А. Новая карта изобаз территории ЭССР // Современные движения территории Прибалтики. Тарту, 1975. С. 48–57.
- Васиковский М. Г. Гидрологический режим озера Ханка. Л., 1978. 176 с.
- Вахер Р. Современная структура поверхности фундамента Эстонии // Изв. АН ЭССР. Химия. Геология. 1972. Т. 21, № 3. С. 236–244.
- Вахер Р. М. Тектоника фосфоритно-сланцевого бассейна северо-восточной Эстонии. Минск, 1983. 22 с.
- Венус Б. Г., Лильков А. Г., Тырин А. К. Геолого-геоморфологическое строение дна Онежского озера по данным геоакустического зондирования // Вестн. ИГУ. 1966. № 24. С. 110–116.
- Верещагин Г. Ю. Происхождение и история Байкала, его фауны и флоры // Тр. Байкальской лимнол. станции. 1940. Т. 10. С. 73–240.
- Верещагин Г. Ю. Байкал. Иркутск, 1947. 168 с.
- Виннер И. Б. Взаимоотношения леса и стени в горных условиях юго-восточного Забайкалья // Ботан. журн. 1968. Т. 53, № 4. С. 491–504.
- Вислоух С., Колльбе Р. Материалы по диатомовым Онежского и Ладожского озер. Л., 1927. 76 с.
- Волосович К. А. Петрозаводский морской постциоцен // Материалы для геологии России. СИб., 1908. Т. 23, вып. 2. С. 297–318.
- Воробьев Г. А., Мац В. Д., Шимареева М. К. Плиоцен – зонплейстоценовое почвообразование на Байкале // Геология и геофизика. 1987. № 9. С. 20–28.
- Выхристюк Л. А. Органическое вещество донных осадков Байкала. Новосибирск, 1980. 80 с.
- Галазий Г. И. Рациональное использование и охрана природных ресурсов Байкала // Путешествия Байкала. Новосибирск, 1987. С. 275–293.
- Галкин В. М. К вопросу о характере оледенения на побережье оз. Байкал //

- Материалы по геологии мезокайнозойских отложений Восточной Сибири. Иркутск, 1961. Вып. 3. С. 50–59.
- Ганенкин Е. С. Геоморфология Приморья. Л., 1957. 135 с.
- Гельмерсен Г. Н. Чудское озеро и верховье реки Наровы. СПб, 1865. 85 с.
- Геология СССР. М., 1971. Т. 1. 504 с.
- Геологогеофизические и подводные исследования озера Байкал. М., 1979. 201 с.
- Геоморфология и четвертичные отложения Северо-Запада европейской части СССР (Ленинградская, Нековская и Новгородская области) / Отв. ред. Д. Б. Малышевский, К. К. Марков. Л., 1969. 256 с.
- Геоморфология Северного Прибайкалья и Станового нагорья / Д. Б. Базаров, И. Н. Резанов, Р. Ц. Будаев и др. М., 1981. 197 с.
- Герд С. В. Обзор гидробиологических исследований озер Карелии // Тр. Карело-Финск. отд. ВИНОРХ. 1946. Т. 2. С. 27–150.
- Герд С. В. Биоценозы бентоса больших озер Карелии // Тр. Карело-Финск. унив. 1949. Т. 4. С. 4–197.
- Голдырев Г. С. Осадкообразование и четвертичная история котловины Байкала. Новосибирск, 1982. 182 с.
- Голдырев Г. С., Выхристюк Л. А. Донные отложения Северного и Среднего Байкала // Мезодайские и кайнозойские озера Сибири. М., 1968. С. 98–124.
- Голдырев Г. С., Выхристюк Л. А., Назо Ф. И. Донные отложения аландельты р. Селенги // Лимнология придельтовых пространств Байкала. Л., 1971. С. 43–64.
- Гордеев О. Н. Реликтовые ракообразные озер Карелии. Петрозаводск, 1949. 15 с.
- Гордеев О. Н. Высшие ракообразные озер Карелии // Fauna озер Карелии: беспозвоночные. М.; Л., 1965. С. 153–171.
- Горецкий Г. И. Карельское межледниково море // Вопросы географии. М., 1949. Сб. 12. С. 97–132.
- Горецкий Г. И. Доказано ли существование Онежско-Беломорского позднеледникового соединения? // Изв. Всесоюз. геогр. о-ва. 1951. Т. 83, вып. 2. С. 186–193.
- Гримм О. А. К познанию фауны Балтийского моря и истории его возникновения // Тр. С.-Петерб. о-ва естествоиспыт. 1877. Т. 8. С. 407–438.
- Гурина Н. Н. Stratigraphicheskie osobennosti neoliticheskogo poseleniya Ust'ery bjezno v svyazi s geologicheskimi dannymi juzho-vostochnogo Priladожya // Материалы Всесоюз. совещ. по изуч. четвертичн. периода. М., 1961. Т. 1. С. 483–492.
- Давыдова И. И. К характеристике диатомовых водорослей донных отложений Ладожского озера // Ботан. журн. 1961. Т. 46, № 5. С. 722–726.
- Давыдова И. И. Палеогимнология Ладоги в поздне- и послеледниковое время по данным диатомового анализа // Материалы кシンпозиуму по истории озер Северо-Запада. Л., 1965. С. 111–114.
- Давыдова И. И. Диатомовая флора голоценовых отложений Ладожского озера / Ископаемые диатомовые водоросли СССР. М., 1968. С. 97–102.
- Давыдова И. И. Комплексы диатомей в донных отложениях Онежского озера // Палеогимнология Онежского озера. Л., 1976. С. 130–158.
- Давыдова И. И. Диатомовые водоросли в колонках донных отложений Нековско-Чудского озера // Донные отложения Нековско-Чудского озера. Таллинн, 1981. С. 74–81.
- Давыдова И. И. Диатомовые водоросли – индикаторы экологических условий водоемов в голоцене. Л., 1985. 244 с.
- Давыдова И. И., Рыбалко А. Е., Смирнов М. А., Субботто Д. А. Новые данные по стратиграфии донных отложений Ладожского озера // Изучение озерно-болотной формации в целях палеогеографических реконструкций. Таллинн, 1986. С. 24–30.
- Давыдова И. И., Трифонова И. С. Изменения в составе диатомовых комплексов и содержание хлорофилла «а» в осадках разных районов озера // Антропогенное эвтрофирование Ладожского озера. Л., 1982. С. 202–206.
- Даниловский И. В. Опорный разрез отложений Скандинавского оледенения Русской равнины и четвертичные моллюски. Л., 1955. 201 с.
- Девяткин Е. В. Кайнозой Внутренней Азии. М., 1981. 180 с.

- Левитова Э. И. Палеогеография стоянок Шоттозера // Археологические памятники бассейна Онежского озера. Петрозаводск, 1986, С. 25—57.
- Левитова Э. И. Природная среда и ее изменения в голоцене. Петрозаводск, 1986, 107 с.
- Левитова Э. И., Какум Т. Некоторые особенности спорово-пыльцевых комплексов осадков позднего плейстоцена и голоцена в северо-восточном Приладожье // Stratigraphia et paleogeographia quartariorum periodi severa europei partis CCCP. Петрозаводск, 1977, С. 119—122.
- Лелюшина Н. В. Спорово-пыльцевой анализ донных отложений Ладожского озера // Вестн. ЛГУ. Геология. География. 1988, Вып. 3, С. 106—108.
- Денисов Е. И. Новейшая тектоника и позднекайнозойский вулканизм южного Приморья и прилегающих областей. Владивосток, 1965, 83 с.
- Джиноридзе Р. Н. Диатомовые водоросли из осадков акватории восточной части Финского залива // Вестн. ЛГУ. Геология. География. 1986, Вып. 3, С. 118—123.
- Докучаев В. В. Способы образования речных долин Европейской России. СНБ, 1878, 222 с. Соч. М.; Л., 1949, Т. 1, С. 413—273.
- Донные отложения Исковско-Чудского озера // Отв. ред. А. В. Раукас. Таллинн, 1981, 160 с.
- Думитрашко И. В., Мартинсон Г. Г. Результаты изучения спонгифауны террас Прибайкалья // Изв. АН СССР. Сер. геол. 1940, № 5, С. 114—125.
- Елин Г. А. Принципы и методы реконструкции и картирования растительности голоцена. Л., 1981, 456 с.
- Ендрехинский О. С., Черемисина Е. А. О нахождении миоценовых отложений на Витимском плоскогорье // ДАН СССР, 1970, Т. 191, № 4, С. 885—888.
- Ескин А. С., Нальшин Г. Б., Гречишев Е. К., Галазий Г. Н. Геология и некоторые вопросы неотектоники Униканых островов на Байкале // Тр. Вост.-Сиб. геол. ин-та СО АН СССР. Сер. геол. 1959, Вып. 2, С. 429—452.
- Желдин Г. А. Результаты изучения современных движений Прибалтики // Современные движения земной коры. Тарту, 1973, № 5, С. 79—87.
- Животовская А. И. О «бурых» глинах Южного Приморья и третично-четвертичной границе // Материалы ВСЕГЕИ. Нов. сер. 1956. Вып. 1, С. 74—88.
- Кузнецов А. И. Палеогеография водоемов на основе диатомового анализа. Л., 1939, 86 с.
- Замараев С. М., Мазукабзов А. М. Роль промежуточных тектонических ступеней в структуре Байкальской рифтовой зоны // Динамика земной коры Восточной Сибири. Новосибирск, 1978, С. 94—98.
- Замараев С. М., Саимсонов В. В. Геологическое строение и нефтегазоносность Селенгинской депрессии // Геология и нефтегазоносность Восточной Сибири. М., 1959, С. 435—475.
- Земляков Б. Ф. Негрекемская неолитическая стоянка // Тр. Комис. по изуч. четвертичн. периода. Л., 1932, Т. 2, С. 47—68.
- Земляков Б. Ф. Работы по строительству Беломорско-Балтийского канала // Изв. Гос. акад. истории материальной культуры. 1935, Вып. 109, С. 11—22.
- Земляков Б. Ф. Неолитические стоянки восточного берега Онежского озера // Равдоникас В. И. Наскальные изображения Онежского озера и Белого моря. М.; Л., 1936, С. 111—144.
- Знаменская О. М., Анапова Е. И. Новые данные по истории западного побережья Ладожского озера // История озер Северо-Запада. Л., 1967, С. 132—140.
- Знаменская О. М., Соколова В. Б., Хомутова В. И. Сравнительный анализ палеогеографических условий развития южных и западных берегов Ладожского озера // История озер. Вильнюс, 1970, С. 319—331.
- Золотарев А. Г., Белоусов В. М. Карта новейшей тектоники юга Восточной Сибири: Объяснительная записка. Иркутск, 1981, 114 с.
- Зубарев А. И. История лесной растительности среднегорного Хамар-Дабана в голоцене // Палеоботанические исследования в лесах Северной Азии. Новосибирск, 1987, С. 30—44.
- Зубев В. Ф. Путешественные записки от С.-Петербурга до Херсона. СНБ, 1787, 275 с.
- Ивановский Л. И. Проблема древнего оледенения и селеопасность на южном побережье Байкала // Позднекайнозойская история озер в СССР. Новосибирск, 1982, С. 38—42.

- Иванчиников Ю. К. Палеогеоморфология депрессионных морфоструктур юга Дальнего Востока. М., 1978. 132 с.
- Ильинкова С. А. Морфологическая характеристика северной части Финского залива и Ладожского озера // Изв. ГосНИОРХ. 1975. Т. 93. С. 61–68.
- Иностранцев А. А. Геологический очерк местности между Белым морем и Онежским озером // Тр. С.-Петерб. о ва естествоиспыт. 1871. Т. 2. № 4. С. 1–83.
- Иностранцев А. А. Геологический очерк Новенецкого уезда. СПб., 1877. 728 с.
- Иностранцев А. А. Доисторический человек каменного века побережья Ладожского озера. СПб., 1882. 244 с.
- Воффе Ц. И. Донная фауна крупных озер Балтийского бассейна и ее рыбохозяйственное значение // Изв. ВНИОРХ. 1948. Т. 24, вып. 2. С. 88–144.
- Исаченков В. А. О происхождении и развитии приледниковых водоемов на территории Псковской низины // Материалы к симпозиуму по истории озер Северо-Запада. Л., 1965а. С. 78–80.
- Исаченков В. А. О некоторых особенностях новейших и молодых тектонических движений северо-запада Русской равнины // Современные движения земной коры. Тарту, 1965б. № 2. С. 217–224.
- Исаченков В. А. О происхождении основных форм дочетвертичного рельефа на территории северо-запада Русской равнины // Вопросы региональной палеогеоморфологии. Уфа, 1966. С. 38–40.
- Исаченков В. А. Некоторые особенности развития котловины Псковско-Чудского водоема // Материалы II симпоз. по истории озер Северо-Запада СССР. Минск, 1967. С. 62–64.
- Исаченков В. А. Материалы по геоморфологии долины р. Великой. // Учен. зап. Псковского пединститута. 1969а. Вып. 22. С. 21–31.
- Исаченков В. А. О девонской куэсте на территории Псковской области // Учен. зап. Псковского пединститута. 1969б. Вып. 22. С. 3–10.
- Исаченков В. А. О приледниковых водоемах Псковской низины // История озер. Вильнюс, 1970а. Т. 2. С. 179–189.
- Исаченков В. А. Новые данные о куэстовом рельфе северо-запада Русской равнины // Вестн. МГУ. География. 1970б. № 1. С. 117–120.
- Исаченков В. А. Формирование рельефа северо-запада Русской равнины. М., 1975. 49 с.
- Исаченков В. А. Плейстоценовая экзарация и происхождение котловин крупных приледниковых озер северо-запада Русской равнины // Природа и хозяйственное использование озер северо-запада Русской равнины. Л., 1976. Т. 1. С. 3–10.
- Исаченков В. А. О происхождении долинообразных понижений поверхности дочетвертичных пород северо-запада Русской равнины // Вестн. МГУ. География. 1981. № 6. С. 45–50.
- Исаченков В. А. Происхождение рельефа поверхности дочетвертичных пород северо-запада Русской равнины // Доледниковый рельеф северо-запада Русской равнины. Л., 1982. С. 3–18.
- Исаченков В. А. Новейшая тектоника и некоторые особенности гляциального морфогенеза северо-запада Русской равнины // Палеогеография и стратиграфия четвертичного периода Прибалтики и сопредельных районов. Вильнюс, 1983. С. 207–215.
- Казенкина Г. А. О минеральном составе современных осадков залива Прявал // ДАН СССР. 1960. Т. 130, № 4. С. 850–853.
- Казьмин В. Г. Развитие континентальных рифтов. М., 1982. 44 с.
- Казьмин В. Г. Рифтовые структуры Восточной Африки – раскол континента и зарождение океана. М., 1987. 208 с.
- Кайтозские коры выветривания и осадочные формации Западного Прибайкалья / С. Ф. Наклов, С. А. Кашик, Т. К. Ломоносова и др. Новосибирск, 1976. 143 с.
- Каплан А. А. Суэйздис Н. И. Некоторые особенности тектоники Прибалтики в связи с ее нефтепосностью // Бюл. МОИИ. Отд. геол. 1970. № 3. С. 69–88.
- Караев Г. И. Результаты подводного археологического обследования северной части Тяньшанского озера // Ледовое побоище 1242 г. М.; Л., 1966. С. 60–64.
- Карасев М. С. Геологическое развитие и палеогеография Суйфунской впадины в палеогене и неогене. Владивосток, 1963. 27 с.

- Караурова Л. И. Основные палинологические комплексы плеистоценовых и голоценовых отложений Приморья. М., 1974. 25 с.
- Караурова Л. И., Назаренко Е. М. К характеристике климата Приморья в антропогене по данным споро-пыльцевого анализа // Проблемы изучения четвертичного периода. М., 1972. С. 388–392.
- Каяк К. Ф. О краевых ледниковых образованиях Юго-Восточной Эстонии // Тр. Комис. по изуч. четвертичн. периода. 1963. Т. 21. С. 66–75.
- Квасов Д. Д. Позднечетвертичная история крупных озер и внутренних морей Восточной Европы. Л., 1975. 278 с.
- Квасов Д. Д. Происхождение котловины Онежского озера // Палеолимнология Онежского озера. Л., 1976. С. 7–40.
- Квасов Д. Д. Происхождение котловин современных озер и их классификация // История озер СССР: Общие закономерности возникновения и развития озер. Методы изучения истории озер. Л., 1986. С. 20–27.
- Квасов Д. Д., Баканова И. И., Давыдова И. И. Основные вопросы поздне-ледниковой истории восточной Балтики // Baltica. Вильнюс, 1970. Т. 4. С. 65–92.
- Квасов Д. Д., Краснов И. И. Основные проблемы изучения истории приледниковых озер северо-запада европейской части СССР // Материалы к симпозиуму по истории озер Северо-Запада. Л., 1965. С. 3–9.
- Квасов Д. Д., Краснов И. И. Основные вопросы истории приледниковых озер Северо-Запада // История озер Северо-Запада. Л., 1967. С. 7–17.
- Квасов Д. Д., Назаренко В. А. О датировке максимума ладожской трангрессии // История озер. Вильнюс, 1970. С. 332–341.
- Квасов Д. Д., Раукас А. В. О позднеледниковой истории Финского залива // Изв. ВГО, 1970, Т. 102, вып. 5. С. 432–438.
- Кессл Х., Мийдел М. О поздне- и последледниковых движениях земной коры на территории Эстонии // Изв. АН ЭССР. Химия. Геология. 1973. Т. 22, № 3. С. 257–264.
- Кесслер К. Ф. Материалы для познания Онежского озера и Обонежского края преимущественно в зоogeографическом отношении. СИБ., 1868. 144 с.
- Кирасирова В. И., Туговик Г. И. Минералогические провинции и ассоциации юВ побережья оз. Байкал // Тр. Отд. геол. Бурятск. фил. СО АН СССР. 1970. Вып. 2(10). С. 147–152.
- Кириллова В. А. Ладожское озеро: Гидрологический режим // Природные ресурсы больших озер СССР и их вероятные изменения. Л., 1984. С. 45–49.
- Князев А. М. Осадкообразование в озерах влажной зоны СССР: Южный Байкал // Образование осадков в современных водоемах. М., 1954. С. 180–236.
- Кожев М. М. Очерки по байкаловедению. Иркутск, 1972. 254 с.
- Колокольцева Э. М. Морфометрические характеристики озера Байкал // Мезозойские и кайнозойские озера Сибири. М., 1968. С. 483–488.
- Конопов Е. Е., Мац В. Д. История формирования стока вод Байкала // Изв. вузов. Геология и разведка. 1986. № 6. С. 91–98.
- Кордэ Н. В. Биостратификация и типология русских сапропелей. М., 1960. 220 с.
- Короткий А. М. Корреляция современного рельефа и осадков для целей палеогеоморфологии. Владивосток, 1970. 167 с.
- Короткий А. М. Следы криогенных явлений в четвертичных отложениях Приморья // Вопросы геоморфологии и четвертичной геологии юга Дальнего Востока СССР. Владивосток, 1975. С. 431–438.
- Короткий А. М. Палеогеоморфологический анализ рельефа и осадков горных стран. М., 1983. 264 с.
- Короткий А. М. Анализ коррелятивных отложений и реконструкции рельефа горных стран. М., 1985. 190 с.
- Короткий А. М., Карапурова Л. И. К истории развития Ханкайской котловины в позднем кайнозое // Вопросы геологии, геохимии и металлогении северо-западного сектора Тихоокеанского пояса. Владивосток, 1970. С. 27–30.
- Короткий А. М., Карапурова Л. И. Новые данные по стратиграфии четвертичных отложений Приморья // Вопросы геоморфологии и четвертичной геологии юга Дальнего Востока СССР. Владивосток, 1975. С. 79–110.
- Короткий А. М., Карапурова Л. И., Бедянина И. И., Наэлюктин Б. И.

- Четвертичные озерные трансгрессии в Уссури-Ханкайской впадине // Позднекайнозойская история озер в СССР. Новосибирск, 1982. С. 109–117.
- Короткий А. М., Карапурова Л. Н., Троицкая Т. С. Четвертичные отложения Приморья. Новосибирск, 1980. 244 с.
- Короткий А. М., Китаев И. В., Михайлова Н. А., Горчаков А. М. К литологической характеристике современных осадков оз. Ханка // Осадочные формации нефтегазоносных областей Дальнего Востока. Владивосток, 1975. С. 78–96.
- Короткий А. М., Никонова Р. И., Пода Б. Н. Условия формирования «бурых» суглинков и глин Приморья // Проблемы изучения четвертичного периода. М., 1972. С. 57–63.
- Короткий А. М., Павлюткин Б. И. Роль «аллювиальных плотин» в формировании четвертичных озер межгорных впадин // История озер в СССР. Таллинн, 1983. Т. 2. С. 86–87.
- Короткий А. М., Павлюткин Б. И. Переуглубленные долины юга Дальнего Востока (время и условия образования) // Возраст и генезис переуглублений на шельфах и история речных долин. М., 1984. С. 160–165.
- Кратц К. О. Геология Карелии. М.: Л., 1963. 212 с.
- Кропоткин П. А. Исследование о ледниковом периоде. СПб, 1876. 717 с.
- Кудерский Л. А. Материалы по зоогеографии рыб внутренних водоемов Карелии // Материалы по зоогеографии Карелии. Петрозаводск, 1961. Вып. 1. С. 19–33.
- Кудерский Л. А. О происхождении реликтовой фауны в озерах северо-запада европейской части СССР // Изв. ГосНИОРХ, 1971. Т. 76. С. 113–124.
- Кудерский Л. А. О путях проникновения реликтовой фауны в озера Балтийско-Беломорского бассейна // Изв. ГосНИОРХ, 1972. Т. 82. С. 111–115.
- Кудерский Л. А. Распространение реликтовых ракообразных в водоемах северо-запада европейской части РСФСР, Белоруссии и Прибалтики // Изв. ГосНИОРХ, 1972. Т. 71. С. 34–49.
- Кудерский Л. А. Осетровые рыбы в бассейнах Онежского и Ладожского озер // Сб. науч. трудов ГосНИОРХ. Л., 1983. Вып. 205. С. 128–149.
- Кудерский Л. А., Лейзорович Х. А., Мельникова М. Н., Чистобабева Р. Е. Локальные стада лосося в Ладожском озере // Сб. науч. трудов ГосНИОРХ. Л., 1982. Вып. 190. С. 86–94.
- Кузнецов С. И. Микрофлора озер и ее геохимическая деятельность. Л., 1970. 440 с.
- Куллус Л. Н. Водный баланс Ижевско-Чудского озера. Вильнюс, 1973. 23 с.
- Кульчицкий А. А., Ломоносова Т. К. О мел-палеогеновой коре выветривания на северо-западном побережье оз. Байкал // Минералогия и геохимические условия формирования кор выветривания. Новосибирск, 1975. С. 73–89.
- Курочкина А. А. Литология и хемостратиграфия донных отложений Онежского озера // Налеолимнология Онежского озера. Л., 1976. С. 74–127.
- Кунин С. Л., Живеровский Ю. А. Геоморфологический очерк Центральной Камчатской депрессии // Тр. Ин-та географии АН СССР, 1949. Вып. 32. С. 3–86.
- Ладожское озеро: Развитие рельефа и условия формирования рельефа котловины / Отв. ред. Г. С. Биска. Петрозаводск, 1978. 206 с.
- Лак Г. Ц. Диатомовая флора морских и озерных надморенных отложений в котловине Ладожского озера. Петрозаводск, 1976. 64 с.
- Лак Г. Ц. Экологические особенности ископаемой диатомовой флоры северо-восточного побережья Ладожского озера. Петрозаводск, 1980. 78 с.
- Ламакин В. В. Неотектоника Байкальской впадины. М., 1968. 247 с.
- Лебедев В. Д. Пресноводная четвертичная ихтиофауна европейской части СССР. М., 1960. 404 с.
- Лешко Ю. В. Пресповодные моллюски бассейна Нечоры. Л., 1983. 127 с.
- Либлик Т. О древних береговых образованиях на западном побережье Чудского озера // Уч. зап. Тартуского ун-та, 1969. Вып. 237. С. 3–18.
- Лийва А. А., Сарв А. А., Экман И. М. К истории послеледникового (голоценового) развития Ладоги // Природа, береговые образования и история развития внутренних водоемов и морей Восточной Прибалтики и Карелии. Петрозаводск, 1971. С. 23–26.

- Литодинамика и осадкообразование Северного Байкала / В. Ф. Лут, Л. К. Власова, В. А. Фиалков и др. Новосибирск, 1984, 288 с.
- Литология и геохимия современных озерных отложений гумидной зоны, М., 1979, 124 с.
- Литология третичных отложений впадин юго-западной части Байкальской рифтовой зоны / В. И. Мазилов, Т. К. Ломоносова, В. М. Климанова и др. М., 1972, 120 с.
- Тогачев Н. А. Кайнозойские континентальные отложения впадин байкальского типа // Изв. АН СССР, Сер. геол. 1958, № 4, С. 18–20.
- Тогачев Н. А. Кайнозойская грунта // Геология СССР, М., 1964, Т. 35, С. 258–284.
- Тогачев Н. А., Зорин Ю. А. Строение и стадии развития Байкальского рифта // 27-й Междунар. конгр. геол. докл. сов. геологов, М., 1984, Т. 7, С. 426–434.
- Тогачев Н. А., Ломоносова Т. К., Климанова В. М. Кайнозойские отложения Иркутского амфитеатра, М., 1964, 196 с.
- Тогачев Н. А., Попов С. М. Об ископаемых моллюсках байкальской свиты (Ангаро-Ченское междуречье) и стратиграфии третичных отложений Прибайкалья // Геология и геофизика, 1963, № 8, С. 26–37.
- Тогинова Л. И., Хурсевич Г. К. Новые и редкие виды диатомей родов *Cyclotella* Kütz. и *Stephanodiscus* Ehr. из донных отложений оз. Байкал // Новые и малоизвестные виды ископаемых животных и растений Белоруссии, Минск, 1986, С. 142–148.
- Лут Б. Ф. Геоморфология дна Байкала // Геоморфология дна Байкала и его берегов, М., 1964, С. 5–123.
- Лут Б. Ф. Геоморфология Прибайкалья и впадины озера Байкал. Новосибирск, 1978, 213 с.
- Маккавеев А. Н. О роли плейстоценовых оледенений в создании изменистостей северо-запада Русской равнины // В. Всесоюз. совещ. по изучению краевых образований материковых оледенений: Тез. докл. Киев, 1976, С. 85–86.
- Малаховский Д. Б., Грейсер Е. А. Балтийско-Ладожский уступ // Геоморфология, 1987, № 4, С. 94–98.
- Малаховский Д. Б., Саммет Э. Ю. Ледниковые отторженцы и гляциодислокации северо-запада Русской равнины // Материалы гляциологических исследований, М., 1982, Вып. 44, С. 121–129.
- Малаховский Д. Б., Федоров Б. Г. О генезисе и возрасте переуглублений на севере Европы // Возраст и генезис переуглублений на шельфах и история речных долин, М., 1984, С. 134–143.
- Малышева Е. С., Спирidonова Е. А. О некоторых вопросах методики спорово-пыльцевого анализа четвертичных отложений Северо-Запада // Палеонтология в геологических исследованиях Прибалтики и Балтийского моря. Рига, 1983, С. 9–13.
- Марков К. К. Развитие рельефа северо-западной части Ленинградской области, М.; Л., 1931, 256 с.
- Марков К. К. Польдневое море и проблема позднеледникового Беломорско-Балтийского соединения // Изв. Гос. геогр. об-ва 1933, Т. 65, вып. 4, С. 369–384; 1935, Т. 67, вып. 4, С. 264–303.
- Марков К. К. Последниковая история юго-восточного побережья Ладожского озера // Вопросы географии, М., 1949, Вып. 12, С. 213–220.
- Марков К. К., Норецкий В. С., Шляминина Е. В. О колебаниях уровней Ладожского и Онежского озер в послеледниковое время // Тр. Комис. по изуч. четвертичн. периода, 1934, Т. 4, вып. 1, С. 71–129.
- Мартинсон Г. Г. Материалы по исследованию ископаемой микро- и спонгиофауны Прибайкалья // Тр. Байкальск. лимнол. ст. М.; Л., 1940, Т. 10, С. 425–455.
- Мартинсон Г. Г. Ископаемые губки из Тункинской впадины в Прибайкалье // ДАН, 1948, Т. 61, № 5, С. 897–900.
- Мартинсон Г. Г. Мезозойские и кайнозойские моллюски континентальных отложений Сибирской платформы, Забайкалья и Монголии, М.; Л., 1961, 238 с.
- Мартинсон Г. Г. Проблема происхождения фауны Байкала // Зоол. журн., 1967, Т. 46, вып. 10, С. 1595–1597.
- Мартинсон Г. Г., Бирюков А. С., Абрамова Л. И. Находки пресноводных моллюсков в палеогеновых отложениях Северного Приверхояния // Изв. АН СССР, Сер. геол. 1986, № 6, С. 116–118.
- Масаттие В. Л. Геологические последствия падений кратерообразующих метеоритов, Л., 1973, 19 с.

- Майд В. Д. Байкальские террасы низкого комплекса // Природа Байкала. Новосибирск, 1974, С. 34—56.
- Майд В. Д. Новые данные о стратиграфии миоценовых и плиоценовых отложений на юге Байкала // Вопросы геологии и палеогеографии Сибири и Дальнего Востока. Иркутск, 1985, С. 36—53.
- Майд В. Д. Кайнозой Байкальской впадины. Иркутск, 1987, 42 с.
- Майд В. Д., Ионова С. М., Черняева Г. И. Миоцен-плиоценовые ископаемые озера Байкальской впадины // Круговорот вещества и энергии в водоемах: Метеорология и климат, геолитодинамика, осадкообразование. Иркутск, 1985, С. 55—56.
- Мейропс Ф. В., Страуме Я. А., Юнгсевиче В. В. Характеристика дочетвертичной поверхности Латвии и некоторые вопросы формирования погребенных долин // Вопросы четвертичной геологии. Рига, 1974, № 9, С. 9—21.
- Мийдел А. О связи между современными движениями земной коры и эрозионно-аккумулятивной деятельностью рек Эстонии // Изв. АН СССР. Сер. физ.-мат. и техн. наук, 1966, Т. 15, № 4, С. 121—133.
- Мийдел А. М. О проблемах изучения неотектонических движений в Пековско-Чудской впадине // Донные отложения Пековско-Чудского озера. Таллинн, 1981, С. 116—126.
- Мийдел А., Таваст Э. Развитие речной сети Пековско-Чудской впадины // Донные отложения Пековско-Чудского озера. Таллинн, 1981, С. 143—153.
- Минина И. Сезонные и годовые изменения zoобентоса Пековско-Чудского озера // Гидробиологические исследования. Тарту, 1982, Т. II, С. 79—109.
- Михайлова А. Е. О глубинном строении земной коры и перспективах его изучения // Изв. вузов. Геология и разведка, 1984, № 3, С. 15—24.
- Можаев Б. Н. Новейшая тектоника северо-запада Русской равнины. Л., 1973, 229 с.
- Мордухай-Болтовская Ф. Д., Ривьеर И. К. Хищные ветвистоусые фауны мира. М., 1987, 182 с.
- Муратова М. В., Воскресенская Т. Н., Аленинская З. В. Палеограffitiя и стратиграфия плейстоцена Приханкайской депрессии. М., 1981, 160 с.
- Мяиниль Р. М. История развития Балтийского бассейна в ордовике. Таллинн, 1966, 199 с.
- Мяэмсте А. Х. О летнем зоопланктоне Пековско-Чудского озера // Гидробиология и рыбное хозяйство Пековско-Чудского озера. Таллинн, 1966, С. 80—96.
- Нагорья Прибайкалья и Забайкалья / Н. А. Логачев, Н. А. Антоценко-Оленев, Д. Б. Базаров и др. М., 1974, 358 с.
- Недра Байкала (по сейсмическим данным). Новосибирск, 1981, 105 с.
- Нейштадт М. И. История лесов и палеогеография СССР в голоцене. М., 1957, 403 с.
- Николаев В. Г., Ваниякин М. А., Калинин В. В. Строение осадочного чехла озера Байкал // Бюл. МОИИ. Отд. геол. 1985, Т. 60, вып. 2, С. 48—58.
- Николаев Н. И. Неотектоника и сейсмичность Восточно-Европейской платформы // Изв. АН СССР. Сер. геогр. 1967, № 2, С. 13—27.
- Никольская В. В. Некоторые данные по палеогеографии озера Ханка // Тр. ин-та географии АН СССР, 1952, Вып. 51, С. 215—226.
- Никольская В. В. Морфоскультура бассейна Амура. М., 1972, 295 с.
- Никольский Г. В. Список рыб из неолита бассейна р. Онега // Бюл. МОИИ. Отд. биол. 1935, Т. 44, вып. 3, С. 113—118.
- Никольский Г. В. К истории ихтиофауны бассейна Белого моря // Зоол. журн. 1943, Т. 22, вып. 1, С. 27—32.
- Никольский Г. В. Рыбы бассейна Амура. Москва, 1956, 551 с.
- Орвику К. К. О неотектонических движениях в Эстонской ССР на основе геологических данных // Материалы совещ. по вопр. неотектон. движений в Прибалтике. Тарту, 1960, С. 120—143.
- Орвику К. К. Влияние поднятия земной коры на геолого-геоморфологическое развитие территории Эстонии в позднеледниковое время и голоцене // Новейшие движения, вулканизм и землетрясения материков и дна океанов. М., 1969, С. 163—174.
- Основные этапы развития Пековско-Чудской озерной впадины / А. Мийдел, Р. Нирруу, А. Раукая, Э. Ряхий // История озер в голоцене. Л., 1975, С. 50—55.
- Нааваэр К. Л. Формирование террофауны и изменчивость мlekопитающих Прибалтики в голоцене. Тарту, 1965, 496 с.
- Наап Ю., Вески Р., Нааду В. О геологии озера Лахенера и составе его

- отложений // Донные отложения Псковско-Чудского озера. Таллинн, 1981. С. 94—115.
- Павлюткин Б. И. Четвертичные отложения юго-восточной части Уссури-Ханкайской депрессии и признаки плейстоценовых трангрессий озера Ханка // Развитие природной среды в плейстоцене (юг Дальнего Востока). Владивосток, 1981. С. 40—50.
- Павлюткин Б. И. О генезисе и возрасте бурых суглинков Приморья // Четвертичные отложения Востока СССР. Магадан, 1982. Вып. 3. С. 27—28.
- Павлюткин Б. И. Геологическое развитие Раздольненско-Ханкайской впадины в позднем кайнозое. Новосибирск, 1986. 20 с.
- Павлюткин Б. И., Величкович Ф. Ю., Ковалюх Н. Н. История возникновения и развития озера Ханка // История современных озер. Л.: Таллинн, 1986. С. 135—136.
- Палеолимнология Онежского озера. Л., 1976. 202 с.
- Пальшин Г. Б. Кайнозойские отложения и оползни юго-восточного побережья Байкала. М., 1955. 202 с.
- Пальшин Г. Б. К вопросу о распространении террас на оз. Байкал // Тр. Вост.-Сиб. фил. АН СССР. Сер. геол. 1959. Вып. 10. С. 3—21.
- Панкрущев Г. А. Применение данных неотектоники для датировки древних поселений // Новые памятники истории древней Карелии. М.; Л., 1966. С. 5—43.
- Панкрущев Г. А. Мезолит и неолит Карелии. Л., 1978. Ч. 1. 136 с.; Ч. 2. 164 с.
- Панкрущев Г. А. Формирование берегов Онежского озера в голоцене (по археологическим данным) // Археологические памятники бассейна Онежского озера. Петрозаводск, 1986. С. 5—24.
- Пастухов В. Д. Адаптивные особенности иерны Байкала и их возникновение // Тр. XIV Тихоокеанск. науч. конгр. М., 1979. С. 24—26.
- Патрикеева Г. И. Донные отложения Малого Моря // Тр. Байкальск. лимнол. ст. М.; Л., 1959. Т. 17. С. 205—254.
- Петров В. В. Векторы формирования ихтиофауны Псковско-Чудского водоема // Изв. ВИИОРХ. 1947. Т. 26, вып. 1. С. 3—110.
- Петрова Т. Н. Возможные пути вселения малакофауны в Ладожское и Онежское озера // Геологическое строение и развитие Балтийского моря и закономерности формирования минеральных ресурсов. Таллинн, 1988. С. 62.
- Пиррус Р. О., Майдел А. М., Раукас А. В. К голоценовому развитию Псковско-Чудского озера / Проблемы исследования крупных озер СССР. Л., 1985. С. 163—167.
- Пиррус Р., Тасса В. Геология месторождения сапропеля в заливе Вярска // Донные отложения Псковско-Чудского озера. Таллинн, 1981. С. 82—93.
- Писаревский С. А. Палеомагнитный метод // История озер СССР: Общие закономерности возникновения и развития озер. Методы изучения истории озер. Л., 1986. С. 114—116.
- Ихух Э. Р. К вопросу о реконструкции ихтиофауны Псковско-Чудского озера // Проблемы исследования крупных озер СССР. Л., 1985. С. 171—174.
- Илемянов С. И., Ромазина А. А. Некоторые вопросы кинематики развития разломов центральной части Байкальского рифта // Проблемы разломной тектоники. Новосибирск, 1981. С. 129—141.
- Плиоцен и плейстоцен Среднего Байкала / Мац В. Д., Покатилов А. Г., Попова С. М. и др. Новосибирск, 1982. 192 с.
- Позднекайнозойская история озер в СССР. К XI конгрессу ИНКВА в СССР. М., 1982. 423 с.
- Покатилов А. Г. Геология и фауна позднекайнозойских отложений в Прибайкалье // Изв. АН СССР. Сер. геол. 1985. № 3. С. 52—65.
- Покровский В. В. О морфологических особенностях, происхождении и географическом распространении беломорской ряпушки // Изв. ГосНИОРХ. 1967. Т. 62. С. 100—114.
- Попова С. М. К позиции палеогеновых и неогеновых моллюсков Прибайкалья и юга советского Дальнего Востока // Тр. Нимнол. ин-та СО АН СССР. 1964. Т. 4. С. 151—270.
- Попова С. М. Кайнозойская континентальная малакофауна юга Сибири и сопредельных территорий. М., 1981. 185 с.
- Попченко В. И., Александров Б. М. Донная фауна Онежского озера // Пресноводные гидробионты и их биология. Л., 1983. С. 102—126.

- Порывкин М. Н. Образование поперечных террас реки Вытегры и история развития Онежского озера // Тр. Гидропроекта. 1960. Сб. 3. С. 221–233.
- Правдин И. Ф. О ладожском рифузе и онежском кильце // Изв. ВНИОРХ. 1939. Т. 21. С. 251–267.
- Проблемы Байкала. Новосибирск, 1978. 293 с.
- Шуппинг Я.-М., Лийва А., Ильвес Э. Список радиоуглеродных датировок Института зоологии и ботаники Академии наук ЭССР: Сообщ. 3 // Изв. АН ЭССР. Биология. 1968. Т. 17. № 4. С. 116–125.
- Шярия К. Т. Геология Балтийского приледникового озера и больших местных приледниковых озер на территории Эстонии // Тр. Ин-та геол. АН ЭССР. 1960. Т. 5. С. 269–278.
- Равский Э. И. Осадконакопление и каймата Внутренней Азии в антропогене. М., 1972. 335 с.
- Равский Э. И., Александрова Н. И., Вантенгейм Э. А. Антропогенные отложения юга Восточной Сибири. М., 1964. 380 с.
- Раммельмайер Е. С. К вопросу о фауне третичных террас Байкала // Изв. АН СССР. Отд. матем. и естеств. наук. 1931. № 10. С. 1395–1399.
- Раммельмайер Е. С. Ископаемые моллюски пресноводных отложений Забайкалья // Тр. Байкальск. лимнол. ст. М.: Л., 1940. Т. 10. С. 399–423.
- Раукас А. В. Литология разновозрастных морей в Эстонской ССР. // Тр. Ин-та геол. АН ЭССР. 1963. Т. 12. С. 3–21.
- Раукас А. Плейстоценовые отложения Эстонской ССР. Таллинн, 1978. 310 с.
- Раукас А. О вещественном составе донных отложений Исковско-Чудского озера // Донные отложения Исковско-Чудского озера. Таллинн, 1981. С. 23–41.
- Раукас А., Ряхни Э. К вопросу об отступании материкового льда последнего оледенения с территории Эстонской ССР // Ежегодник Эстонск. геогр. об-ва 1964/65. Таллинн, 1966. С. 5–17.
- Раукас А., Ряхни Э. О геологическом развитии впадины и бассейнов Чудского и Исковского озер // Изв. АН ЭССР. Химия. Геология. 1969. Т. 18. № 2. С. 113–127.
- Раукас А., Ряхни Э. Структурные типы донных отложений Исковско-Чудского озера и особенности их формирования // Донные отложения Исковско-Чудского озера. Таллинн, 1981. С. 7–22.
- Раукас А., Ряхни Э., Майдеа А. Краевые ледниковые образования Северной Эстонии. Таллинн, 1971. 226 с.
- Раукас А., Таваст Э., Каалм В. Донные и береговые отложения Тенгого озера (озера Лиммиэяр) // Изв. АН ЭССР. Геология. 1988. Т. 37. № 3. С. 103–113.
- Резанов И. Н., Иметхенов А. Б. К палеогеографии позднего плейстоцена юго-восточного Прибайкалья // Поздний плейстоцен и голоцен юга Восточной Сибири. Новосибирск, 1972. С. 158–164.
- Резанов И. Н., Черняева Т. Ц., Савинова В. В. К истории накопления миоценовой толщи Джидинской впадины (Западное Забайкалье) // История древних озер. Л., 1986. С. 74–76.
- Решение З-го Межведомственного регионального стратиграфического совещания по мезозою и кайнозою Средней Сибири. Новосибирск, 1981. 89 с.
- Россолимо Л. Я. Очерки по географии внутренних вод СССР. М., 1953. 303 с.
- Рулье К. Жизнь животных по отношению к внешним условиям // Рулье К. Публичные лекции. М., 1852. С. 4–1217.
- Ряхни Э. Э. Геохронология ленточных глин Северо-Восточной Эстонии // Тр. Ин-та геол. АН ЭССР. 1963. Т. 12. С. 81–94.
- Ряхни Э., Таваст Э. Рельеф коренных пород в Исковско-Чудской впадине и его роль в распределении донных отложений // Донные отложения Исковско-Чудского озера. Таллинн, 1981. С. 127–133.
- Савина Л. И. Тенденция развития прибрежных ландшафтов оз. Байкал по данным палеогеографических исследований / Позднекайнозойская история озер в СССР. Новосибирск, 1982. С. 42–52.
- Савукинене И. П., Каименова Г. И. Субреентные спорово-пыльцевые спектры континентальных и морских отложений залива Куриш-Марес // Тр. АН ЛитССР. Сер. Б. 1986. Т. 2 (153). С. 131–136.
- Салон Э. И. Геология Байкальской горной области. М., 1964. Т. 1. 515 с.
- Саммет Э. Ю. Некоторые вопросы четвертичной геологии и геоморфологии западной части Ленинградской области // Палеогеография четвертичного периода СССР. М., 1961. С. 7–20.

- Саммет Д. Ю. Основные этапы развития некоторых типов приледниковых озер в западной части Ленинградской и Иркутской областей // Материалы к симпозиуму по истории озер Северо-Запада. Л., 1965. С. 75–78.
- Сарв А., Ильвес Э. О возрасте голоценовых отложений приступы реки Эмайыги (по материалам изучения разреза Савику). // Изв. АН ЭССР. Химия. Геология. 1975. Т. 24. № 1. С. 64–69.
- Седова М. А. Миоценовые спорово-пыльцевые комплексы юго-восточного Прибайкалья // Атлас миоценовых спорово-пыльцевых комплексов различных районов СССР. Л., 1956. С. 86–96.
- Семенович Н. И. Донные отложения Ладожского озера. М.; Л., 1966. 424 с.
- Семенович Н. И. Донные отложения Онежского озера. Л., 1973. 104 с.
- Сизиков А. М., Аггеева М. С., Пойкова С. М. Биостратиграфия мессовских отложений района г. Иркутска // Тр. Ин-та геологии и геофизики СО АН СССР. 1986. Вып. 647. С. 129–133.
- Силур Эстонии // Отв. ред. Д. Л. Калье. Таллинн, 1970. 343 с.
- Симм Х. Проблемы Печевско-Чудского озера // Изв. АН ЭССР. Биология. 1987. Т. 36. № 2. С. 105–110.
- Ситников Т. Я. Система байкальских эндемичных видов рода *Megalovolvula* и некоторые вопросы систематики семейства *Valvatidae* (*Gastropoda, Pectinobranchia*) // Зоол. журн. 1983. Т. 62, вып. 1. С. 32–43.
- Слепухина Т. Д. Зообентос литорали Онежского озера // Литоральная зона Онежского озера. Л., 1975. С. 169–182.
- Слепухина Т. Д., Алеクseeva Н. А. Донные беспозвоночные // Антропогенное эвтрофирование Ладожского озера. Л., 1982. С. 181–190.
- Смолянский Е. Н., Мац В. Д. Об одном типе кайнозойских крупноглыбовых отложений в зоне Приморского разлома и их индикационном значении // Геология и полезные ископаемые Восточной Сибири. Иркутск, 1987. С. 40–42.
- Снежинский В. А. Практическая океанография. Л., 1954. 671 с.
- Соколов А. А. Чудско-Иркутское озеро. Л.; М., 1944. 223 с.
- Соколов И. И. Зообентос литорали южной половины Ладожского озера // Тр. Карельск. физ. АН СССР. 1956. Вып. 5. С. 76–87.
- Соколова В. А. Гастроподы озер Карелии // Фауна озер Карелии. М.; Л., 1965. С. 85–95.
- Соколова М. Ф. Планктон Иркутско-Чудского водоема. М., 1954. 40 с.
- Солоненко В. И., Тресков А. А. Среднебайкальское землетрясение 29 августа 1959 г. Иркутск, 1960. 36 с.
- Соотношение древней и кайнозойской структур в Байкальской рифтовой зоне / С. М. Замараев, Е. И. Васильев, А. М. Мазукабзов и др. Новосибирск, 1979. 124 с.
- Сохин В. К. Происхождение «бурых» глини Приморья и Приамурья // Проблемы изучения четвертичного периода. М., 1972. С. 63–67.
- Стальмакова Г. А. Зообентос Ладожского озера // Биологические ресурсы Ладожского озера (зоология). М.; Л., 1968. С. 4–70.
- Старобогатов Я. И. Фауна моллюсков и зоогеографическое районирование континентальных водоемов Земного шара. Л., 1970. 372 с.
- Старобогатов Я. И. Фауна озер как источник сведений об их истории // Общие закономерности возникновения и развития озер: Методы изучения истории озер. Л., 1986. С. 33–50.
- Субетто Д. А. Литологические особенности донных отложений Ладожского озера по результатам исследования длинных колонок // Вопросы гидрофизики, гидрохимии и гидробиологии озер. Л., 1986. С. 87–92.
- Таваст Э. К эволюции северного побережья Иркутско-Чудского озера // Геологическое строение и развитие Балтийского моря и закономерности формирования минеральных ресурсов. Таллинн, 1988. С. 85–87.
- Таваст Э., Раукас А. Рельеф коренных пород Эстонии. Таллинн, 1982. 194 с.
- Талиев Д. Н. Опыт применения реакции ионизации к познанию происхождения и истории байкальской фауны // Тр. Байкальск. лимнол. ст. 1940. Т. 10. С. 241–356.
- Талиев Д. Н. Бычки-подкамеищики Байкала (*Cottoidei*). М.; Л., 1955. 603 с.
- Гильтес Э. Работы по понижению уровня озера Нейнес в Эстонии. Л., 1933. 8 с. (IV гидрогеол. конф. Балтийских стран; Докл. № 18).

- Тимм В. Я., Тимм Т. О., Ярвекюльт А. А. Об акклиматизации озерного бокоплава в Исковско-Чудском озере // Сб. науч. тр. ГосНИОРХ. 1985. Вып. 232. С. 16–24.
- Тимм Т. Малоцетинковые черви (*Oligochaeta*) водоемов Северо-Запада СССР. Таллинн, 1987. 299 с.
- Тимм Т., Тимм В., Тыльни Й. Состав и многолетние изменения количества зообентоса в Исковско-Чудском озере // Гидробиологические исследования. Тарту, 1982. Т. 11. С. 7–78.
- Тихомиров А. И. Температурный режим и занасы тепла Ладожского озера // Температурный режим Ладожского озера. Л., 1968. С. 144–217.
- Тулини Г.И. Додевонский и дочетвертичный рельеф восточной части Прибалтийского бассейна горючих сланцев и фосфоритов (Лужско-Нарвская низина) // Изв. АН ЭССР. Геология. 1988а. Т. 37, № 4. С. 145–152.
- Тулини Г.И. Структура восточной части Прибалтийского бассейна горючих сланцев и фосфоритов // Изв. АН ЭССР. Геология. 1988б. Т. 37, № 2. С. 59–69.
- Тюлини Т. Ю. К вопросу о природных условиях в XIII в. в северной части Тенглого озера // Ледовое побоище. М.; Л., 1966. С. 103–121.
- Усикова Т. В., Малаховский Д. Б., Гарбард И. Д. Доминикулинские озерные отложения северо-западного Приладожья // История озер. Вильнюс, 1970. С. 123–133.
- Устинов Г. И., Рубушкина Л. Д. Уровенный режим Онежского озера в естественном и зарегулированном состоянии // Сб. работ Ленингр. гидромет. обсерватории. 1977. Вып. 11. С. 54–66.
- Фимин Г. Ф. Тектонические уступы и промежуточные ступени на бортах впадин байкальского типа // Процессы формирования рельефа Сибири. Новосибирск, 1987. С. 132–143.
- Файдулина З. И., Козлова Е. И. Результаты палинологических исследований третичных отложений // Геология и нефтегазоносность Вост. Сибири. М., 1966. С. 00–00.
- Федорова В. А. Диатомовые водоросли в донных отложениях // Динамика Байкальской впадины. Новосибирск, 1975. С. 273–282.
- Флоренсов Н. А. Мезозойские и кайнозойские впадины Прибайкалья. М.; Л., 1960. 258 с.
- Флоренсов Н. А. К морфологии берегов Среднего и Северного Байкала // Геоморфология дна Байкала и его берегов. М., 1964. С. 124–137.
- Флоренсов Н. А. Байкальская рифтовая зона и некоторые задачи ее изучения // Байкальский рифт. М., 1968. С. 40–56.
- Ханг Т. Корреляция речных террас в целях выяснения геологического развития Исковско-Чудского озера // Всесоюзное совещание по геоморфологической корреляции: Тез. докл. Тбилиси, 1986. 228 с.
- Хомутова В. И. Геохронология донных отложений по результатам палинологического анализа // Палеолимнология Онежского озера. Л., 1976. С. 41–67.
- Хотинский Н. А. Голоцен Северной Евразии. М., 1977. 200 с.
- Черемисина Е. А. Диатомовая флора неогеновых отложений Прибайкалья. Новосибирск, 1973. 68 с.
- Черняева Г. И. Диатомовые водоросли донных осадков Северного Байкала // Донные отложения Байкала. М., 1970. С. 144–155.
- Черняева Г. И., Шимареева М. К., Майд В. Д. Комплексное исследование трехсотметрового разреза озерных отложений Тункинской впадины // Круговорот вещества и энергии в водоемах: Метеорология и климат, геолитодинамика, осадкообразование. Иркутск, 1985. С. 75–76.
- Черняева Ф. А. Морфометрическая характеристика Ладожского озера // Гидрологический режим и водный баланс Ладожского озера. Л., 1966. С. 58–80.
- Чудско-Исковское озеро / Отв. ред. А. А. Соколов. Л., 1983. 162 с.
- Чухров В. Ф. Климатические факторы и образование окислов железа в зоне гипергенеза // Гипергенные окислы железа. М., 1975. С. 141–153.
- Шевели Н. С., Елияна Г. А., Хомутова В. И., Арсланов Х. А. Отражение колебаний уровневого режима Онежского озера в растительности и стратиграфии болота Разломное в голоцене // Болотные экосистемы Европейского Севера. Петрозаводск, 1988. С. 35–59.

- Шерман С. И. Физические закономерности развития разломов земной коры. Новосибирск, 1977. 102 с.
- Шеффер Е. Г. Некоторые черты развития южного Приладожья в голоцене // Вестн. АГУ. 1967, № 2, С. 159–162.
- Шемукова В. С. Диатомовые водоросли из четвертичных отложений центральной Баренции // Тр. Комис. по изуч. четвертичн. периода. 1937, Т. 5, С. 3–35.
- Шемукова В. С. Диатомовые водоросли иловых отложений и подстилающих их глин из озер Онего Беломорского водораздела // Тр. Ленингр. о-ва естественникателей. 1949, Т. 65, Вып. 3, С. 177–197.
- Ширкова А. И., Никуль Р. Р. Рыбы Иксовско Чудского водоема и их промысловое значение // Гидробиологические исследования. Таллинн, 1966, Вып. 4, С. 119–125.
- Шмайлик А. И., Тихомиров С. И. Мининогорская экспозиционная структура в районе Чудского озера // ДАН СССР. 1974, Т. 249, № 3, С. 701–703.
- Шмидт Ф. Б. Предварительный отчет об исследованиях, произведенных летом 1882 года // Изв. Геол. комитета. 1883, Т. 2, № 5, С. 107–123.
- Шульман С. С. Зоogeографический анализ паразитов пресноводных рыб Советского Союза // Основные проблемы паразитологии рыб. Л., 1958, С. 143–183.
- Экман И. М. Морфоструктуры западного Прионежья // Тр. Инст. геологии Карельск. фил. АН СССР. 1972, Вып. 13, С. 15–24.
- Экман И. М., Лак Г. Ц., Лийва А. А. К истории Ладожской транстессии // История озер в голоцене. Л., 1975, С. 38–45.
- Юрг Дальнего Востока. М., 1972. 423 с.
- Яковлев С. А. Насосы и рельеф Ленинграда и его окрестностей. Л., 1925, Ч. 1, 186 с.; 1926, Ч. 2, 264 с.
- Яковлев С. А. О связи бассейна Балтийского моря с бассейном р. Волги в позднеплейстоценовое время // ДАН СССР. Сер. А. 1928, № 3, С. 41–46.
- Яннис Э. Ю. Поселения эпохи неолита и раннего металла в приустье р. Эмайыги (Хевонская ССР). Таллинн, 1959. 382 с.
- Аагро R. The northern discharge channel of ancient Päijänne // Bul. Geol. Soc. Finland. 1969, Vol. 41, P. 3–20.
- Аагро J. Die geographische Entwicklung des Ladogasees // Fennia. 1915, Bd. 38, N 3, 157 S.
- Алонен R. The stages of the Baltic sea as indicated by the diatom stratigraphy // Acta bot. fenn. 1971, Vol. 92, 18 p.
- Бакинин V., Экман I., Загнуц G. Stratigraphic subdivision and correlation of varved clays in Lake Ladoga area based on geological, palynological and paleomagnetic studies // Palaeohydrology of the temperate zone. Tallinn, 1987, Vol. 1, P. 191–203.
- Брандер R. W., Сидельникова V. G., Даил M. B. et al. Physiological adaptation of cottoid fishes of lake Baikal to abyssal depth // Comp. bioch. Ser. A. 1984, Vol. 77, N 4, P. 699–705.
- Греер K. M. Long period geomagnetic secular variations since 12 000 yr BP // Nature, 1981, Vol. 292, P. 208–212.
- Греер K. M., Тучкова P. Secular variation as recorded in lake sediments: a discussion of North American and European results // Phil. Trans. R. Soc. Lond. Ser. A. 1982, Vol. 306, P. 87–102.
- Дегеер G. Översigt öfver sina kvartärgeologiska jakttakelser under en nyligen afslutat resa till Finland och Russland // Geol. Fören. i Stockholm Foch. 1893, Bd. 15, N 7, S. 537–538.
- Дегеер G. Om Skandinaviens geografiska utveckling efter istiden. Stockholm, 1986. 160 S.
- Еронен M. Late Weichselian and Holocene shore displacement in Finland // Shorelines and isostasy. New York, 1983, P. 183–207.
- Фрей D. G. The late-glacial cladoceran fauna of a small lake. // Arch. Hydrobiol. 1958, Vol. 54, N 1/2, P. 209–275.
- Хайд Е., Лийлик T., Линкруус E. On the relations between Estonian valley terraces and lake and sea levels in the lateglacial and holocene periods // Transactions of the Tartu University. 1964, Vol. 156, P. 29–42.
- Хаусен H. Materialen zur Kenntnis der pleistozänen Bildungen in den russischen Ostseeländern // Fennia. 1913a, Bd. 34, N 2, 181 S.
- Хаусен H. Über die Entwicklung der Oberflächenformen in den russischen Ostseeländern und angrenzenden Gouvernementen in der Quartärzeit // Fennia. 1913b, Bd. 34, N 3, 142 S.

- Helmersen G. Die geologische Beschaffenheit des untern Narowathals und die Versandung der Narovamündung. // Bul. Acad. Sci. St. Petersb. 1861, Bd. 1, N 3. S. 12–49.
- Helmersen G. Der Peipus-See und die obere Narova // Beiträge zur Kenntnis des Russischen Reiches, St.-Petersburg, 1864, Bd. 24, S. 1–88.
- Hyyppä E. Beiträge zur Kenntnis der Ladoga- und Ancylustransgressionen // Bul. Comm. geol. Finlande, 1943, Vol. 128, S. 139–178.
- Hyyppä E. On the Late-Quaternary history of the Baltic Sea // Fennia, 1963, Vol. 89, N 1, P. 37–48.
- Hyyppä E. The Late-Quaternary land uplift in the Baltic sphere and the relation diagram of the raised and tilted shore levels // Ann. Acad. Sci. Fennical. Ser. A III, 1966, N 90, P. 153–168.
- Jaanits L. Peipsimaa ajaloost. Tallinn, 1983. 25 lk.
- Kajak K. Peipsi nõo geoloogiast ja geomorfoloogiast // Eesti Geograafia Seltsi Aastaraamat 1963. Tallinn, 1964. Lk. 20–33.
- Kallejärv T. Peipsi koostused // Eesti Loodus, 1973, N 12, Lk. 727–731.
- Kvasov D. D. The late-Quaternary history of large lakes and inland seas of eastern Europe, Helsinki, 1979. 71 p.
- Laasimer L. Peipsi nõo taimkate ja selle kasutamise perspektiivid // Eesti Geograafia Seltsi Aastaraamat 1963. Tallinn, 1964. Lk. 103–115.
- Liblik T. Jooni Piisa oru geomorfoloogiast // Eesti Geograafis Seltsi Aastaraamat 1964/65. Tallinn, 1966. Lk. 34–55.
- Loopmann A. Ülevaade Enajõe suudmeala soostikust // Eesti Geograafia Seltsi Aastaraamat 1973. Tallinn, 1964. Lk. 73–102.
- Löven S. Om nagra i Vettern och Venern funna Crustaceer // Öfversigt af Kongl. Vetensk. Acad. Forhandl. 1861, Bd. 18, N 6, S. 285–314.
- Määmets A. Eesti vesikirbuliste (Cladocera) ökoloogiast ja fenoloogiast // Hüdrodioloogilised Uurimised. Tartu, 1961, Kd. 2, Lk. 408–458.
- Määmets A., Kutikova L. A neu rotifer *Bloesoma peipsiense* sp. nov. in Lakr Peipsi // ENSV TA Toimetised. Bioloogia, 1979, Kd. 28, Nr. 2, P. 98–101.
- Määmets A., Pihu E. Peipsi elustik ja järvetüüp // Eesti Loodus, 1973, Nr. 12, Lk. 732–738.
- Makssoo P. Peipsi järve sotsiaal-majanduslikust tähtaustest // ENSV TA Toimetised. Bioloogia, 1987, Kd. 36, N 2, Lk. 111–117.
- Mieller A. Ein Beitrag zur Frage des Vorrückens des Peipus an der Embachmündung und der peipusinsel Piirisaar im dem Zeitraum von 1682 bis 1900 // Acta et Comm. Univ. Tartuensis, Ser. A, 1926, Vol. 9, N 2, S. 191.
- Mieller A. Vorläufiger Bericht über die Geomorphologie des Peipusbeckens // Loodusuurijata Seltsi Aruanded, 1929, Kd. 35, Lk. 386.
- Middle A., Tavast E. Eesti mattunud orud // Eesti Loodus, 1978, N 2, Lk. 105–110.
- Mikelsaar N. O., Vinkel R. Uusi andmeid rändkarbi *Breissenia polymorpha* esinemisest Eestis // Eesti Loodus, 1936, N 4, Lk. 142–145.
- Moora H. Eesti rahva ja Naaberrahvaste kujunemisest arheoloogia andmeil // Eesti rahva etnilisel ajaloost. Tallinn, 1956, Lk. 41–119.
- Moora H. Jõgeva rajooni varaseimast asustusest // Jõgeva rajoonis. Tallinn, 1965, Lk. 10–14.
- Moora T., Ilomets M., Jaanits L. Muistsetest loodusoludest Akali kiviaja asulakoha lähiümbruses // Loodusteaduslike meetodeid Eesti arheologias. Tallinn, 1988.
- Mori S. Vertical distribution of Diatom in core samples from Lake Biwa // Paleolimnology of Lake Biwa and the Japanese Pleistocene, 1975, Vol. 3, P. 369–392.
- Orviku K. Tuiskliivi. Tartu, 1933. 64 lk.
- Orviku K. Peipsi järve minevikust // Rahva Hääl, 1959, 11 sept.
- Peipsi järve bioloogilistest varudest / S. Lokk, R. Langaste, A. Määmets, V. Timm, T. Timm, E. Pihu // Kaasaegse ökoloogia probleemid: Pakendusökoloogia küsimusi Eestis. Tartu, 1985, Lk. 71–72.
- Peipsi-Pihkva järve reostuskõormuse formeerumisest / T. Raia, A. Järvel, E. Loigu, A. Maastik // ENSV TA Toimetised. Bioloogia, 1987, Kd. 36, N 2, Lk. 156–161.
- Peipsi-Pihkva järve vee omadused ja nende seos biogeensets elementidega /

- A. Lindpere, N. Starast, A. Milius, A. Pihlaak // ENSV TA Toimetised. Bioloogia, 1987, Kd. 36, N 2, lk. 146 - 155.
- Peipsi piinna alandamine 0,3 m vörra (Toim. Aug. Vellner) // Sisevete Uurimise Büroo Aastaraamat 1926, Tallinn, 1928, lk. 150 - 158.
- Piiperberg E. Märkmeid Setumaa viirsavidest // Eesti Loodus, 1935, N 3, lk. 402.
- Põlimalu, Kee esmenet A. Peipsi-Pihkva nõo aluspõhja geoloogiast. // XIV. Eesti Loodusuurijate Päeva ettekannete kokkuvõtted, Tallinn, 1985, lk. 17 - 23.
- Rähn i E. Viimase mandrijää taganemisest põhja-Eestis // Geoloogiline kogumik, Tartu, 1961, lk. 70 - 83.
- Rähn i E. Peipsi nõo ja järve arengulugu // Eesti Loodus, 1973, N 42, lk. 716 - 721.
- Bamsey W. Beobachtungen über Strandlinien in der Umgebung des Sees Onega // Fennia, 1898, Bd. 16, N 1, S. 4 - 151.
- Bamsey W. Quartärgeologisches aus Onega-Karelien. // Fennia, 1904, Bd. 22, N 1, S. 1 - 10.
- Bamsey W. De s. k. marina gränserna i södra Finland. // Fennia, 1917, Bd. 40, N 7, 8 S.
- Bamsey W. Eisgestaute Seen und Rezession des Inlandeises in Südkarelien und im Neva tal // Fennia, 1928, Bd. 50, N 5, 21 S.
- Bamsey W. Niveauverschiebungen, eisgestaute Seen und Rezession des Inlandeisea in Estland // Fennia, 1929, Bd. 52, N 2, 38 S.
- Bankas A., Tavast E. Pihkva-Peipsi puhkemajanduse arendsmise geoloogilised geomorfoologilised eeldused // Eesti Geograafia Seltsi Aastaraamat, Tallinn, 1987, lk. 000.
- Saarnisto M. M. The Late Weichselian and Flandrian history of the Saimaa lake complex, Helsinki, 1970, 108 p.
- Saarnisto M., Siiriäinen A. Laatokan transgressioraaja // Eriaines Suomen museo, Helsinki, 1970, P. 10 - 22.
- Saarnisto M. Die Geschichte der Ostsee, Helsinki, 1958, 522 S.
- Schmidt F. Untersuchungen über die Erscheinungen der Glacialformation in Estland und auf Osel // Bul. de l'Acad. de St.-Petersbourg, 1865, T. 8, P. 339 - 368.
- Segerstrale S. G. On the immigration of the glacial relicts of Northern Europe, with remarks on their prehistory, Helsinki, 1957, 117 p.
- Smith G. R. Fishes of the Pliocene glenins Ferry formation south-west Idaho // Papers on paleontology, 1975, Vol. 5, N 14, P. 1 - 68.
- Tammekann A. Die Oberflächengestaltung des Nordestländischen Küstentafellandes, Tartu, 1926, 152 S.
- Tammekann A. Das Relief und die Abflussverhältnisse in Estland, Tallinn, 1928, 5 S. (2. Baltische hydrologische und hydrometeorologische Konferenz).
- Tammekann A. Eesti masstikutüübidi // Loodusuuri jate Seltsi Aruanded, 1933, Kd. 33, lk. 3 - 21.
- Tammekann A. Die Endmoränen in Estland // Comptes Rendus du Congrès International de géographie Amsterdam, Leyden, 1938, T. 2, P. 251 - 256.
- Tammekann A. Die präglaziale Züge in der Oberflächengestaltung Estlands // Apoph. Tartu, Soc. Litt. Est. in Svecia, Stockholm, 1949, S. 430 - 452.
- Tavast E. Gravimaetriga tavalisel Lämmijärvel // Eesti Loodus, 1978, N 2, lk. 111 - 112.
- Tavast E. Peipsi rannad // Eesti Loodus, 1984, N 7, lk. 461 - 468.
- Thiemermann A. Verbreitungsgeschichte der Süßwassertierwelt Europas, Stuttgart, 1950, 809 S.
- Thomson P. W. Ülevaade Eesti soodest // Eesti Loodus, 1939, N 2/3, lk. 90 - 98.
- Wertebnaja P. I. Über eine relictive Algenflora in der Seeablagerung Mittelruslands // Archiv für Hydrobiologie, 1929, Bd. 20, N 1, S. 124 - 133.
- Yelinia G., Khonina Uova V. Correlation of Holocene sequences of bottom sediments from Lake Onega and its old bays in terms of palynological data // Methods for the investigation of lake deposits: palaeoecological and palaeoclimatological aspects, Vilnius, 1987, P. 193 - 204.
- Zirna E., Pirkus R. Ojotolmuanalüüs tulemustest Kirde- ja Kesk-Eesti hoiotseenest setetest // ENSV TA Geoloogia Instituti Uurimused, 1961, Kd. 70, lk. 95 - 104.

## SUMMARY

This volume of the many - volume publication «History of Lakes of the USSR» contains characteristics of five great Lakes situated in the region of surplus moistering, viz., Ladoga, Onega, Pskovsko-Tchudskoe, Baikal and Hanka. Reviewes are given for each of that lakes of the history of water basin originating, composition and structure of the bottom sediment, development of biota and character of vegetation on the background of the evolution accounting for changes in natural processes. Materials presented herein allow one to judge about the influens of climatic factors as well as human activities on development of lakes.

## ОГЛАВЛЕНИЕ

Предисловие (Д. Д. Квасов)	5
<b>Часть 1. Ладожское озеро</b>	7
Глава 1. Природные особенности озера (Д. Д. Квасов)	7
Глава 2. Развитие представлений об истории озера (Д. Д. Квасов)	8
Глава 3. Происхождение и развитие озерной котловины	11
Рельеф озерной котловины (Б. И. Кошечкин)	11
Возникновение озерной котловины (А. В. Амантов, Д. Д. Квасов, Д. Б. Малаховский)	13
Развитие котловины во время межледниковых (Д. Б. Малаховский)	17
Позднеледниковая история озерной котловины (Д. Д. Квасов)	19
Изменения водосборного бассейна озера (Д. Д. Квасов)	21
Глава 4. Древние береговые образования	22
Геоморфология береговой зоны (Б. И. Кошечкин)	22
Возраст береговых образований по радиоуглеродным и радиогеологическим данным (Х. А. Арсланов, И. В. Делюсина, М. Г. Козырева, Б. И. Кошечкин)	26
Возраст береговых образований по археологическим данным (Б. И. Кошечкин, В. А. Назаренко)	33
Основные этапы развития береговой зоны (Б. И. Кошечкин)	35
Глава 5. Донные отложения	36
История исследования донных отложений (Н. Н. Давыдова)	36
Общая характеристика донных отложений (Д. А. Субетто, А. Е. Рыбалко, М. А. Спирidonов)	37
Датирование донных отложений с помощью палеомагнитного метода (В. А. Бахмутов)	42
Стратиграфия донных отложений озера и палеоклиматология Приладожья по палинологическим данным (И. В. Делюсина)	46
Изменение экологических условий в озере по данным диатомового анализа (Н. Н. Давыдова)	53
Остатки беспозвоночных в донных отложениях (Н. А. Шляхова)	61
Глава 6. История озера по зоogeографическим данным	63
История озера по данным об ихтиофауне (Л. А. Кудерский)	63
История озера по данным о фауне высших ракообразных (Л. А. Кудерский)	66
История озера по данным о фауне моллюсков (Т. Н. Петрова, Я. И. Старобогатов)	67
История озера по данным о фауне одногонч (В. И. Понченко)	70
Глава 7. Основные этапы развития озера (Д. Д. Квасов, Х. А. Арсланов, Н. Н. Давыдова, Б. И. Кошечкин)	72
Глава 8. Современное состояние озера и тенденции развития природных процессов (В. А. Румянцев)	75
<b>Часть 2. Онежское озеро</b>	77
Глава 1. Природные особенности озера (Д. Д. Квасов)	77
Глава 2. Развитие представлений об истории озера (Д. Д. Квасов)	78
Глава 3. Происхождение и развитие озерной котловины	79
Рельеф озерной котловины (Б. И. Кошечкин)	79
Возникновение озерной котловины (Д. Д. Квасов, А. В. Амантов)	80

Развитие котловины во время микулинского межледникового	81
(Д. В. Малаховский)	
Позднеледниковая история озерной котловины (Д. Д. Квасов)	81
<b>Глава 4. Древние береговые образования</b>	83
Геоморфология береговой зоны (Д. Д. Квасов, Б. И. Кошечкин)	83
Геохронология и палинология отложений озерных террас	85
(Б. И. Кошечкин, В. И. Хомутова)	
Возраст береговых образований по археологическим данным	87
(Г. А. Панкрущев)	
<b>Глава 5. Доные отложения</b>	89
Общая характеристика доных отложений (Д. А. Субетто)	89
Стратиграфия озерных отложений по палинологическим данным	92
(В. И. Хомутова, Г. А. Елина)	
Изменение экологических условий в озере по данным диатомового	96
анализа (Н. Н. Давыдова)	
<b>Глава 6. История озера по зоogeографическим данным</b>	106
История озера по данным об ихтиофауне (Л. А. Кудерский)	106
История озера по данным о фауне высших ракообразных	108
(Л. А. Кудерский)	
История озера по данным о фауне моллюсков (Т. Н. Петрова,	110
Я. И. Старобогатов)	
История озера по данным о фауне олигохет (В. И. Попченко)	112
<b>Глава 7. Основные этапы развития озера (Д. Д. Квасов)</b>	113
<b>Глава 8. Современное состояние озера и тенденции развития природных</b>	115
<b>процессов (В. А. Румянцев)</b>	
<b>Часть 3. Псковско-Чудское озеро</b>	116
<b>Глава 1. Природные особенности озера и его водосборного бассейна</b>	116
(А. В. Раукас)	
<b>Глава 2. Развитие представлений об истории озера (А. М. Мийдел,</b>	118
<b>А. В. Раукас)</b>	
<b>Глава 3. Происхождение и развитие озерной котловины</b>	120
Рельеф дна озера (А. В. Раукас)	120
Рельеф поверхности коренных пород (Э. Х. Таваст)	121
Формирование озерной котловины (А. М. Мийдел)	121
Геологическое строение озерной котловины (А. М. Мийдел)	124
Неотектонические и современные движения (А. М. Мийдел)	125
Мощность и характер четвертичного покрова (А. В. Раукас)	127
Развитие гидрографической сети в водосборном бассейне озера	128
(А. М. Мийдел, Т. Э. Ханг)	
<b>Глава 4. Современные берега и древние береговые образования</b>	130
Современные берега и их рекреационное значение (А. В. Раукас,	130
Э. Х. Таваст)	
Древние береговые образования (А. М. Мийдел, Э. Х. Таваст)	134
Археологические памятники и заселение побережья озера	137
(А. М. Р. Рыук)	
<b>Глава 5. Доные отложения</b>	141
Гранулометрический состав (А. В. Раукас)	141
Вещественный состав (А. В. Раукас)	145
Возраст и стратиграфическое расчленение доных отложений	146
(К. Каммел, Р. О. Ширкус, А. В. Раукас)	
Эволюция диатомовой флоры (Н. Н. Давыдова)	148

Донные отложения как полезные ископаемые (А. В. Рукас)	150
<b>Г л а в а 6. История озера по зоогеографическим данным</b>	152
Состав и формирование современной фауны (Т. Э. Тимм, А. Х. Мялметс)	152
История фауны моллюсков (В. Я. Тимм)	155
История ихтиофауны (Л. А. Кудерский, Э. Р. Ниху)	156
<b>Г л а в а 7. Основные этапы развития озера (А. В. Рукас)</b>	157
<b>Г л а в а 8. Современное состояние озера и тенденции развития природных процессов (А. М. Мийдел, А. В. Рукас)</b>	162
<b>Ч а с т ь 4. Байкал</b>	165
<b>Г л а в а 1. Природные особенности озера (Г. Г. Мартинсон)</b>	165
<b>Г л а в а 2. И происхождение и развитие озерной котловины (В. Д. Мац)</b>	167
Морфоструктура	167
Осадочная толща	178
История развития котловины	188
<b>Г л а в а 3. Рельеф дна (Б. В. Лугт)</b>	191
<b>Г л а в а 4. Донные отложения (Г. С. Голдырев, Ф. И. Лало, И. К. Шимараева, В. К. Кочетков, Г. П. Черняева)</b>	196
<b>Г л а в а 5. История озера по биогеографическим и палеонтологическим данным</b>	203
Значение фауны и флоры Байкала для изучения истории озера (Г. Г. Мартинсон)	203
История озера по данным о фауне моллюсков и других беспозвоночных (С. М. Нопова, Т. Я. Ситникова, И. В. Шибанова)	205
История озера по данным о фауне позвоночных (рыбы и перна) (В. Г. Сидилева)	211
История озероидным одиатомовой фауне (Г. П. Черняева)	213
История развития растительности и палеоклиматология побережья озера по палинологическим данным (Е. В. Безрукова)	217
<b>Г л а в а 6. Основные этапы развития озера (Г. Г. Мартинсон)</b>	221
<b>Г л а в а 7. Современное состояние озера и тенденции развития природных процессов (В. К. Кочетков, Г. Г. Мартинсон)</b>	222
<b>Ч а с т ь 5. Озеро Ханка (А. М. Короткий)</b>	224
<b>Г л а в а 1. Природные особенности озера</b>	224
<b>Г л а в а 2. И происхождение и развитие озерной котловины</b>	226
Рельеф дна озера	226
Причины возникновения илестоценоовых озерных бассейнов	227
Развитие котловины в дочетвертичное время	228
<b>Г л а в а 3. Морфология и динамика береговой зоны</b>	233
<b>Г л а в а 4. Донные отложения</b>	236
<b>Г л а в а 5. История озера по зоогеографическим данным</b>	242
История озера по данным об ихтиофауне (Л. А. Кудерский)	242
История озера по данным о фауне моллюсков (Я. И. Старобогатов)	243
<b>Г л а в а 6. Основные этапы развития озерной котловины</b>	245
Памяти Дмитрия Дмитриевича Квасова	255
<b>Л и т е р а т у р а</b>	257
<b>S u m m a r y</b>	273

## CONTENTS

Introduction ( <i>D. D. Krasov</i> ) . . . . .	5
<b>Part 1. Lake Ladoga . . . . .</b>	
Chapter 1. Lake natural features ( <i>D. D. Kvasov</i> ) . . . . .	7
Chapter 2. Lake history conceptual development ( <i>D. D. Kvasov</i> ) . . . . .	8
Chapter 3. The origin and development of Lake hollow . . . . .	11
The relief of lake hollow ( <i>B. I. Koshechkin</i> ) . . . . .	11
Lake hollow origin ( <i>A. V. Amantov, D. D. Krasov, D. B. Malakhovsky</i> ) . . . . .	13
Hollow development during Interglacial Time ( <i>D. B. Malakhovsky</i> ) . . . . .	17
Lateglacial history of lake hollow ( <i>D. D. Krasov</i> ) . . . . .	19
Lake watershed basin alterations ( <i>D. D. Krasov</i> ) . . . . .	21
Chapter 4. Ancient shore formations . . . . .	22
Geomorphology of shore zone ( <i>B. I. Koshechkin</i> ) . . . . .	22
Age of shore formations according to radiocarbon and palynologic data ( <i>Kh. A. Arslanov, I. V. Deljusina, M. G. Kozyreva, B. I. Koshechkin</i> ) . . . . .	26
Age of shore formations according to archaeological data ( <i>B. I. Koshechkin, V. A. Nazarenko</i> ) . . . . .	33
Principal stages of shore zone development ( <i>B. I. Koshechkin</i> ) . . . . .	35
Chapter 5. Bottom sediments . . . . .	36
Bottom sediments investigation history ( <i>N. N. Davydova</i> ) . . . . .	36
Common description of bottom sediments ( <i>D. A. Subetto, A. E. Rybalko, M. A. Spiridonov</i> ) . . . . .	37
Dating of bottom sediments by means of paleomagnetic method ( <i>V. A. Bakhmutov</i> ) . . . . .	42
Stratigraphy of bottom lake sediments and Ladoga paleoclimatology according to palynologic data ( <i>I. V. Deljusina</i> ) . . . . .	46
Change of ecological conditions in Lake according to diatom analysis data ( <i>N. N. Davydova</i> ) . . . . .	53
Invertebrate remnants in bottom sediments ( <i>N. A. Shljakhova</i> ) . . . . .	61
Chapter 6. Lake history according to zoogeographical data . . . . .	63
Lake history according to ichthyofauna data ( <i>L. A. Kudersky</i> ) . . . . .	63
Lake history according to higher Crustacea fauna data ( <i>L. A. Kudersky</i> ) . . . . .	66
Lake history according to Mollusca fauna data ( <i>T. N. Petrova, Ja. I. Starobogator</i> ) . . . . .	67
Lake history according to Oligochaeta fauna data ( <i>V. I. Popchenko</i> ) . . . . .	70
Chapter 7. Principal stages of Lake development ( <i>D. D. Kvasov, Kh. A. Arslanov, N. N. Davydova, B. I. Koshechkin</i> ) . . . . .	72
Chapter 8. Present Lake status and natural process development tendencies ( <i>V. A. Rumjantzev</i> ) . . . . .	75
<b>Part 2. Lake Onega . . . . .</b>	
Chapter 1. Lake natural features ( <i>D. D. Kvasov</i> ) . . . . .	77
Chapter 2. Lake history conceptual development ( <i>D. D. Kvasov</i> ) . . . . .	78
Chapter 3. The origin and development of Lake hollow . . . . .	79

The relief of Lake hollow (B. I. Koshechkin) . . . . .	79
Lake hollow origin (D. D. Krasov, A. V. Amantov) . . . . .	80
The hollow development during Mikulinsk Interglacial (D. B. Matakhovsky) . . . . .	81
Lateglacial history of Lake hollow (D. D. Krasov) . . . . .	81
<b>Chapter 4.</b> Ancient shore formations . . . . .	83
Geomorphology of shore zone (D. D. Krasov, B. I. Koshechkin) . . . . .	83
Geochronology and palynology of lake terrace sediments (B. I. Koshechkin, V. I. Khomutova) . . . . .	85
Age of shore formations according to archaeological data (G. A. Pankrushev) . . . . .	87
<b>Chapter 5.</b> Bottom sediments . . . . .	89
Common description of bottom sediments (D. A. Subetto) . . . . .	89
Stratigraphy of lake sediments according to palynologic data (V. I. Khomutova, G. A. Elina) . . . . .	92
Change of ecological conditions in lake according to diatom analysis data (N. N. Davydova) . . . . .	96
<b>Chapter 6.</b> Lake history according to zoogeographical data . . . . .	106
Lake history according to ichthyofauna data (L. A. Kudersky) . . . . .	106
Lake history according to higher Crustacea fauna data (L. A. Kudersky) . . . . .	108
Lake history according to Mollusca fauna data (T. N. Petrova, Ja. I. Starobogatov) . . . . .	110
Lake history according to Oligochaeta fauna data (V. I. Popchenko) . . . . .	112
<b>Chapter 7.</b> Principal stages of Lake development (D. D. Krasov) . . . . .	143
<b>Chapter 8.</b> Present Lake status and natural process development tendencies (V. A. Rumjantzev) . . . . .	145
<b>Part 3.</b> Pskovsko-Chudskoye Lake . . . . .	116
<b>Chapter 1.</b> Lake and its watershed basin natural features (A. V. Raukas) . . . . .	146
<b>Chapter 2.</b> Lake history conceptual development (A. M. Mijdel, A. V. Raukas) . . . . .	148
<b>Chapter 3.</b> The origin and development of Lake hollow . . . . .	120
The relief of Lake bottom (A. V. Raukas) . . . . .	120
The relief of rock-building surface (E. K. Tavast) . . . . .	121
Lake hollow formation (A. M. Mijdel) . . . . .	121
Lake hollow geological structure (A. M. Mijdel) . . . . .	124
Neotectonic and modern movements (A. M. Mijdel) . . . . .	125
Thickness and character of Quarternary cover (A. V. Raukas) . . . . .	127
Hydrographic net development in Lake watershed basin (A. M. Mijdel, T. E. Hang) . . . . .	128
<b>Chapter 4.</b> Present shores and ancient shore formations . . . . .	130
Present shores and their recreational value (A. V. Raukas, E. H. Tavast) . . . . .	130
Ancient shore formations (A. M. Mijdel, E. H. Tavast) . . . . .	134
Archaeological relics and lake shore settlement (A. M. R. Ryuk) . . . . .	137
<b>Chapter 5.</b> Bottom sediments . . . . .	141
Granulometric composition (A. V. Raukas) . . . . .	141

Substantial composition ( <i>A. V. Raukas</i> ) . . . . .	145
Age and stratigraphic dismemberment of bottom sediments ( <i>K. Kammel, R. O. Pirrus, A. V. Raukas</i> ) . . . . .	146
Diatom flora evolution ( <i>N. N. Davydova</i> ) . . . . .	148
Bottom sediments as minerals ( <i>A. V. Raukas</i> ) . . . . .	150
Chapter 6. Lake history according to zoogeographical data . . . . .	152
Modern fauna composition and formation ( <i>T. E. Timm, A. H. Mjamets</i> ) . . . . .	152
Mollusca fauna history ( <i>V. J. Timm</i> ) . . . . .	155
Ichthyofauna history ( <i>L. A. Kudersky, E. R. Pihu</i> ) . . . . .	156
Chapter 7. Principal stages of Lake development ( <i>A. V. Raukas</i> ) . . . . .	157
Chapter 8. Present Lake status and natural process development tendencies ( <i>A. M. Mijdel, A. V. Raukas</i> ) . . . . .	162
Part 4. Bajkal . . . . .	165
Chapter 1. Lake natural features ( <i>G. G. Martinson</i> ) . . . . .	165
Chapter 2. The origin and development of Lake hollow ( <i>V. D. Matz</i> ) . . . . .	167
Morphostructure . . . . .	167
Sediment thickness . . . . .	178
Hollow development history . . . . .	188
Chapter 3. Bottom relief ( <i>B. V. Lut</i> ) . . . . .	191
Chapter 4. Bottom sediments ( <i>G. S. Goldgrev, F. I. Lazo, I. K. Shimaraeva, V. K. Kochetkov, G. P. Chernjaeva</i> ) . . . . .	196
Chapter 5. Lake history according to biogeographical and paleontological data . . . . .	203
Baikal flora and fauna meaning for Lake history study ( <i>G. G. Martinson</i> ) . . . . .	203
Lake history according to Mollusca and other invertebrate fauna data ( <i>S. M. Popova, T. I. Sitnikova, I. V. Shibanova</i> ) . . . . .	205
Lake history according to vertebrate fauna (fish and seal) data ( <i>V. G. Sidileva</i> ) . . . . .	211
Lake history according to diatom fauna data ( <i>G. P. Chernjaeva</i> ) . . . . .	213
Vegetation development history and shore paleoclimatology according to palinologic data ( <i>E. V. Bezrukova</i> ) . . . . .	217
Chapter 6. Principal stages of Lake development ( <i>G. G. Martinson</i> ) . . . . .	221
Chapter 7. Present Lake status and natural process development tendencies ( <i>V. K. Kochetkov, G. G. Martinson</i> ) . . . . .	222
Part 5. Lake Khanka ( <i>A. M. Korotky</i> ) . . . . .	224
Chapter 1. Lake natural features . . . . .	224
Chapter 2. The origin and development of Lake hollow . . . . .	226
Lake bottom relief . . . . .	226
Causes of Pleistocene lake basin origin . . . . .	227
Hollow development during Pre-Quaternary Time . . . . .	228
Chapter 3. Morphology and dynamics of shore zone . . . . .	233
Chapter 4. Bottom sediments . . . . .	236
Chapter 5. Lake history according to zoogeographical data . . . . .	242
Lake history according to ichthyofauna data ( <i>L. A. Kudersky</i> ) . . . . .	242

Lake history according to Mollusca fauna data ( <i>Ja. I. Starobogator</i> )	243
Chapter 6. Principal stages of Lake hollow development	245
To the memory of Dimitriy Dmitrievich Kvasov	255
Bibliography	257
Summary	273